

**ПРАВИЛА**  
**ТЯГОВЫХ**  
**РАСЧЕТОВ**  
**ДЛЯ ПОЕЗДНОЙ**  
**РАБОТЫ**



МИНИСТЕРСТВО ПУТЕЙ СООБЩЕНИЯ СССР

---

ВСЕСОЮЗНЫЙ НАУЧНО-ИССЛЕДОВАТЕЛЬСКИЙ ИНСТИТУТ  
ЖЕЛЕЗНОДОРОЖНОГО ТРАНСПОРТА

УТВЕРЖДАЮ  
Заместитель министра путей сообщения  
15 августа 1980 г. *Ф. И. ШУЛЕШКО*

ПРАВИЛА  
ТЯГОВЫХ РАСЧЕТОВ  
ДЛЯ ПОЕЗДНОЙ РАБОТЫ



МОСКВА «ТРАНСПОРТ» 1985



Сканировал  
Вячеслав Михед  
Ака PatriotRR

**Правила тяговых расчетов для поездной работы. — М.: Транспорт, 1985. 287 с.**

Книгу подготовили к печати сотрудники ВНИИЖТ и МПС:  
д-р техн. наук П. Т. Гребенюк, канд. техн. наук А. Н. Долганов, д-р техн. наук О. А. Некрасов, кандидаты технических наук А. Л. Лисницын, П. П. Стромский, инженеры А. П. Боровников, Т. С. Чукова. Глава 5 написана при участии сотрудников ХАБИИЖТ. канд. техн. наук В. Г. Григоренко, инж. В. М. Перушина

Ответственный за выпуск А. Н. Долганов

Заведующий редакцией В. А. Дробинский

Редактор Н. П. Киселева

# 1. ОСНОВНЫЕ ПОЛОЖЕНИЯ ДЛЯ РАСЧЕТОВ

## 1.1. Общие указания

1.1.1. **Назначение Правил.** Настоящие Правила определяют порядок и методику тяговых расчетов, устанавливают основные нормативы, принимаемые в расчетах, а также являются основой для расчета расхода электроэнергии, топлива и воды на тягу поездов.

Правила применяются при тяговых расчетах для поездной работы локомотивов и моторвагонного подвижного состава на эксплуатируемых и проектируемых железных дорогах колеи 1520 мм и на железных дорогах узкой колеи (750 и 1067 мм).

Единицы физических величин даны в Международной системе единиц (СИ), за исключением сил<sup>1</sup>.

1.1.2. **Точность расчетов.** При тяговых расчетах принимать:

- а) расстояние — для элементов профиля в метрах, для перегонов — в километрах с одним знаком после запятой;
- б) уклоны — в промилле (‰) с одним знаком после запятой;
- в) силу тяги, силы сопротивления и тормозные — в килограмм-силах — с округлением до 50 кгс;
- г) удельные силы — в килограмм-силах на тонну с двумя знаками после запятой;
- д) ток — в амперах с округлением до 5 А;
- е) скорость — в километрах в час с одним знаком после запятой;
- ж) массу составов — в тоннах, грузовых с округлением до 50 т, пассажирских — до 25 т;
- з) общий расход топлива на тяговом участке — в килограммах с округлением до 10 кг;
- и) общий расход электроэнергии на тяговом участке — в киловатт-часах с округлением до 10 кВт·ч;
- к) удельный расход топлива — в килограммах на тонно-километр с округлением до 0,1 кг/10<sup>4</sup> т·км;
- л) удельный расход электроэнергии — в ватт-часах на тонно-километр [Вт·ч/(т·км)] с одним знаком после запятой;
- м) расход воды — в килограммах с округлением до 50 кг;
- н) перегонное время хода — в минутах, расчетное до 0,1 мин, для графика движения грузовых и пассажирских поездов при скоростях до 140 км/ч с округлением до 1 мин, а для пассажир-

<sup>1</sup> По согласованию с Госстандартом СССР в Правилах используется единица силы килограмм-сила вместо ньютона (письмо Госстандарта № 7/1-10-1249 от 31.08.83).

ских поездов при скоростях движения более 140 км/ч и пригородных поездов — до 0,5 мин;

о) температуру — в градусах Цельсия при проверке нагревания по отдельным элементам расчета до 0,01°C с округлением конечных результатов до 1°C.

1.1.3. Буквенные обозначения. При тяговых расчетах руководствоваться условными обозначениями величины, сокращениями и единицами измерения, приведенными в приложении 1.

1.1.4. Графическое изображение зависимостей. При графическом изображении зависимостей одной переменной величины от другой руководствоваться следующими основными правилами:

а) на графике обязательно наличие нулевой абсциссы, нулевой ординаты и полной сетки;

б) масштабы должны быть выбраны так, чтобы определение значений переменных при помощи миллиметровой линейки (между линиями сетки) не встречало затруднений;

в) оси координат вычерчивать толще других линий сетки;

г) на осях координат проставлять буквенные обозначения переменных и их единицу измерения.

1.1.5. Порядок расчетов. Тяговые расчеты выполнять по силе тяги на ободах движущих колес (по касательной силе тяги  $F_K$ ).

## 1.2. Сопротивление движению подвижного состава

1.2.1. Основное удельное сопротивление движению грузовых вагонов. Основное удельное сопротивление движению грузовых вагонов (в составе поезда) на звеньевом пути определять по формулам:

а) четырехосные вагоны на подшипниках скольжения и шестиосные вагоны на роликовых подшипниках ( $q_0 > 6$  т)

$$w_0'' = 0,7 + \frac{8 + 0,1v + 0,0025v^2}{q_0}; \quad (1)$$

б) четырехосные вагоны на подшипниках скольжения ( $q_0 \leq 6$  т)

$$w_0'' = 1,5 + 0,045v + 0,00027v^2; \quad (2)$$

в) четырехосные вагоны на роликовых подшипниках и вагоны рефрижераторных поездов ( $q_0 > 6$  т)

$$w_0'' = 0,7 + \frac{3 + 0,1v + 0,0025v^2}{q_0}; \quad (3)$$

г) четырехосные и шестиосные вагоны на роликовых подшипниках ( $q_0 \leq 6$  т)

$$w_0'' = 1,0 + 0,044v + 0,00024v^2. \quad (4)$$

д) восьмиосные вагоны на роликовых подшипниках

$$w_0'' = 0,7 + \frac{6+0,038v+0,0021v^2}{q_0} . \quad (5)$$

Основное удельное сопротивление движению грузовых вагонов (в составе поезда) на бесстыковом пути определять по формулам:

а) четырехосные вагоны на подшипниках скольжения и шестиосные вагоны на роликовых подшипниках ( $q_0 > 6$  т)

$$w_0'' = 0,7 + \frac{8+0,08v+0,002v^2}{q_0} ; \quad (6)$$

б) четырехосные вагоны на подшипниках скольжения ( $q_0 \leq 6$  т)

$$w_0'' = 1,5+0,042v+0,00018v^2; \quad (7)$$

в) четырехосные вагоны на роликовых подшипниках и вагоны рефрижераторных поездов ( $q_0 > 6$  т)

$$w_0'' = 0,7 + \frac{3+0,09v+0,002v^2}{q_0} ; \quad (8)$$

г) четырехосные и шестиосные вагоны на роликовых подшипниках ( $q_0 \leq 6$  т)

$$w_0'' = 1,0+0,042v+0,00016v^2; \quad (9)$$

д) восьмиосные вагоны на роликовых подшипниках

$$w_0'' = 0,7 + \frac{6+0,026v+0,0017v^2}{q_0} . \quad (10)$$

При тяговых расчетах для графика движения поездов средняя для состава масса, приходящаяся на ось колесной пары груженого вагона ( $q_0 > 6$  т) на рельсы, и доля в процентах вагонов на роликовых и скользящих подшипниках в составе задаются МПС.

**1.2.2. Основное удельное сопротивление движению пассажирских вагонов.** Основное удельное сопротивление движению цельнометаллических вагонов на роликовых подшипниках (в составе поезда) для скоростей движения до 160 км/ч определять по формулам:

а) на звеньевом пути

$$w_0'' = 0,7 + \frac{8+0,18v+0,003v^2}{q_0} ; \quad (11)$$

б) на бесстыковом пути

$$w_0'' = 0,7 + \frac{8+0,16v+0,0023v^2}{q_0} . \quad (12)$$

При тяговых расчетах для графика движения поездов средняя для состава масса, приходящаяся на ось колесной пары пассажирского вагона на рельсы, задается МПС.

**1.2.3. Основное удельное сопротивление движению локомотивов.** Основное удельное сопротивление движению локомотивов определять по формулам:

а) электровозы и тепловозы на звеньевом пути

$$w'_0 = 1,9 + 0,01v + 0,0003v^2; \quad (13)$$

$$w_x = 2,4 + 0,011v + 0,00035v^2; \quad (14)$$

б) электровозы и тепловозы на бесстыковом пути

$$w'_0 = 1,9 + 0,008v + 0,00025v^2; \quad (15)$$

$$w_x = 2,4 + 0,009v + 0,00035v^2; \quad (16)$$

в) паровозы на звеньевом пути

$$w'_0 = 2 + 0,02v + 0,00023v^2; \quad (17)$$

$$w_x = 3 + 0,002v + 0,0009v^2. \quad (18)$$

Основное удельное сопротивление движению локомотивов для расчетов, требующих повышенной точности, принимать по опытным кривым, приведенным на соответствующих рисунках в приложениях 5 и 6.

**1.2.4. Основное удельное сопротивление движению электропоездов и дизель-поездов.** Основное удельное сопротивление движению на звеньевом пути определять по формулам:

а) электропоезда ЭР1, ЭР2, ЭР9

$$w'_0 = 1,1 + 0,012v + 0,000267v^2; \quad (19)$$

$$w_x = 1,24 + 0,020v + 0,000267v^2; \quad (20)$$

б) электропоезд ЭР22

$$w'_0 = 1,1 + 0,012v + 0,000247v^2; \quad (21)$$

$$w_x = 1,22 + 0,018v + 0,000247v^2; \quad (22)$$

в) электропоезд С<sub>3</sub><sup>Р</sup>

$$w'_0 = 2,35 - 0,01v + 0,00043v^2; \quad (23)$$

$$w_x = 2,7 - 0,017v + 0,00053v^2; \quad (24)$$

г) другие серии электропоездов

$$w'_0 = 0,6 + 0,03v + 0,00008v^2; \quad (25)$$

$$w_x = 1,1 + 0,02v + 0,00023v^2; \quad (26)$$

д) дизель-поезда ДР1, Д1 и Д

$$w'_0 = 1,1 + 0,012v + \left(0,000217 + \frac{0,000461}{m_{дп}}\right)v^2; \quad (27)$$

$$w_x = w'_0 + w_3 \quad (28)$$

Удельное сопротивление движению от трения в звеньях силовых трансмиссий определять по формуле

$$w_3 = (0,47 + 0,14v) \frac{m_m}{m_{дп}}, \quad (29)$$

где  $m_{дп}$ ,  $m_m$  — соответственно общее число вагонов и число моторных вагонов в дизель-поезде.

Основное удельное сопротивление движению на бесстыковом пути определять по формулам:

а) электропоезда ЭР1, ЭР2, ЭР9

$$w'_0 = 1,1 + 0,01v + 0,000227v^2; \quad (30)$$

$$w_x = 1,24 + 0,018v + 0,000227v^2; \quad (31)$$

б) электропоезд ЭР22

$$w'_0 = 1,1 + 0,01v + 0,000207v^2, \quad (32)$$

$$w_x = 1,22 + 0,016v + 0,000207v^2; \quad (33)$$

в) электропоезд СЗ

$$w'_0 = 2,35 - 0,01v + 0,00037v^2; \quad (34)$$

$$w_x = 2,7 - 0,017v + 0,00047v^2, \quad (35)$$

г) другие серии электропоездов

$$w'_0 = 0,6 + 0,027v + 0,00005v^2, \quad (36)$$

$$w_x = 1,1 + 0,017v + 0,0002v^2; \quad (37)$$

д) дизель-поезда ДР1, Д1 и Д

$$w'_0 = 1,1 + 0,01v + \left(0,000167 + \frac{0,000461}{m_{дп}}\right)v^2, \quad (38)$$

$w_x$  — по формулам (28) и (29).

**1.2.5. Удельное сопротивление состава при трогании с места.** Удельное сопротивление состава при трогании с места на площадке ( $w_{тр}$ ) определять по формулам:

а) подвижной состав на подшипниках скольжения

$$w_{тр} = \frac{142}{q_0 + 7}, \quad (39)$$

б) подвижной состав на подшипниках качения

$$w_{\text{тр}} = \frac{28}{q_0 + 7} \quad (40)$$

При наличии в составе поезда разнотипных вагонов удельное сопротивление состава при трогании с места определяется как средневзвешенная величина.

**1.2.6. Дополнительное удельное сопротивление движению от уклона.** Дополнительное удельное сопротивление движению от уклона (подъема или спуска) для всех видов подвижного состава принимать равным числу промилле подъема или спуска, т. е.

$$w_i = i \text{ кгс/т.} \quad (41)$$

**1.2.7. Дополнительное удельное сопротивление движению от кривой.** Дополнительное удельное сопротивление движению от кривой на эксплуатируемых железных дорогах для всех видов подвижного состава принимать по формулам:

а) при длине поезда менее или равной длине кривой

$$w_r = \frac{700}{R} \quad (42)$$

или

$$w_r = 12,2 \frac{\alpha^0}{s_{\text{кр}}} \quad (43)$$

б) при длине поезда более длины кривой

$$w_r = \frac{700}{R} \frac{s_{\text{кр}}}{l_n} \quad (44)$$

или

$$w_r = 12,2 \frac{\alpha^0}{l_n} \quad (45)$$

Дополнительное удельное сопротивление движению от кривой при расчетах, требующих повышенной точности, а также при проектировании железных дорог для всех видов подвижного состава разрешается принимать по формулам:

а) при длине поезда менее или равной длине кривой

$$w_r = \frac{200}{R} + 1,5\tau_k \quad (46)$$

или

$$w_r = 3,5 \frac{\alpha^0}{s_{\text{кр}}} + 1,5\tau_k \quad (47)$$

б) при длине поезда более длины кривой

$$w_r = \left( \frac{200}{R} + 1,5\tau_k \right) \frac{s_{\text{кр}}}{l_n} \quad (48)$$

или

$$w_r = \left( 3,5 \frac{\alpha^0}{s_{кр}} + 1,5\tau_k \right) \frac{s_{кр}}{l_n}, \quad (49)$$

где  $\tau_k$  — непогашенное ускорение в кривой, м/с<sup>2</sup>.

Значение  $\tau_k$  задается как норматив или определяется по формуле

$$\tau_k = \frac{v^2}{13R} - \frac{h}{s_k} g, \quad (50)$$

где  $h$  — возвышение наружного рельса, мм;

$s_k$  — расстояние между кругами катания колес подвижного состава, мм (для колеи 1520 мм  $s_k = 1600$  мм);

$g = 9,81$  м/с<sup>2</sup> — ускорение свободного падения.

**1.2.8. Дополнительное удельное сопротивление движению от приведенного уклона.** Дополнительное удельное сопротивление движению от приведенного уклона принимать по формуле

$$i_k = i + w_r. \quad (51)$$

**1.2.9. Дополнительное удельное сопротивление движению от подвагонных генераторов.** Дополнительное удельное сопротивление движению от подвагонных генераторов определять по формуле

$$w_{пг} = \frac{136P'}{q_0 v}, \quad (52)$$

где  $P'$  — средняя условная мощность подвагонного генератора, приходящаяся на один вагон поезда, кВт.

Значение величины  $P'$  определяется из выражения

$$P' = \frac{P_{пг} n_{бк} + (P_{пг} + P_{гк}) n_{кв}}{m_n}, \quad (53)$$

где  $P_{пг}$  — фактическая мощность подвагонного генератора, расходуемая на служебные нужды вагона (кроме кондиционирования воздуха), кВт; для среднесетевых условий принимать  $P_{пг} = 2$  кВт;

$n_{бк}$  — число вагонов без кондиционирования воздуха, но имеющих подвагонные генераторы;

$P_{гк}$  — фактическая мощность подвагонного генератора, расходуемая на кондиционирование воздуха (средняя за время работы кондиционера), кВт; принимать  $P_{гк} = 9$  кВт;

$n_{кв}$  — число вагонов с кондиционированием воздуха;

$m_n$  — общее число вагонов в поезде.

Дополнительное удельное сопротивление от подвагонных генераторов учитывать при скоростях движения поезда  $v \geq 20$  км/ч.

**1.2.10. Дополнительное сопротивление движению от низкой температуры наружного воздуха.** При температурах наружного воздуха ниже  $-25^\circ\text{C}$  дополнительное сопротивление движению учитывать коэффициентом  $K_{ит}$  (табл. 1) в зависимости от скорости движения поезда.

**1.2.11. Дополнительное сопротивление движению поезда от ветра.** Дополнительное сопротивление движению поездов от встреч-

Таблица 1. Коэффициент  $K_{нт}$ , учитывающий низкую температуру наружного воздуха

| $v$ , км/ч | Грузовые вагоны при $t_{нв}$ , °С |      |      |      |      |      | Пассажирские вагоны при $t_{нв}$ , °С |      |      |      |      |      |
|------------|-----------------------------------|------|------|------|------|------|---------------------------------------|------|------|------|------|------|
|            | -30                               | -35  | -40  | -45  | -50  | -60  | -30                                   | -35  | -40  | -45  | -50  | -60  |
| 20         | 1,01                              | 1,01 | 1,01 | 1,01 | 1,01 | 1,01 | 1,01                                  | 1,01 | 1,01 | 1,01 | 1,01 | 1,01 |
| 40         | 1,03                              | 1,03 | 1,04 | 1,04 | 1,05 | 1,06 | 1,02                                  | 1,02 | 1,03 | 1,03 | 1,03 | 1,04 |
| 60         | 1,05                              | 1,06 | 1,07 | 1,07 | 1,08 | 1,09 | 1,03                                  | 1,04 | 1,04 | 1,05 | 1,06 | 1,07 |
| 80         | 1,07                              | 1,08 | 1,09 | 1,10 | 1,11 | 1,12 | 1,04                                  | 1,05 | 1,06 | 1,07 | 1,08 | 1,09 |
| 100        | 1,09                              | 1,10 | 1,12 | 1,13 | 1,14 | 1,15 | 1,05                                  | 1,06 | 1,07 | 1,09 | 1,10 | 1,11 |
| 120        | 1,11                              | 1,12 | 1,13 | 1,15 | 1,16 | 1,17 | 1,06                                  | 1,07 | 1,09 | 1,10 | 1,11 | 1,12 |
| 140        | —                                 | —    | —    | —    | —    | —    | 1,07                                  | 1,08 | 1,09 | 1,11 | 1,12 | 1,13 |
| 160        | —                                 | —    | —    | —    | —    | —    | 1,07                                  | 1,09 | 1,10 | 1,12 | 1,13 | 1,15 |

ного и бокового ветра учитывать коэффициентом  $K_v$  (табл. 2) в зависимости от скорости движения поезда.

Для графика движения поездов дополнительное сопротивление движению от встречного и бокового ветра учитывать при скоростях ветра до 12 м/с.

При скоростях ветра, превышающих 12 м/с, это дополнительное сопротивление учитывать на период возникновения особо неблагоприятных погодных условий. Значения коэффициентов  $K_v$  в этих расчетах принимать по номограммам, приведенным в приложении 2 (рис. 2.1—2.7) для различных значений плотности воздуха ( $\rho$ ), определяемой по формуле

$$\rho = 0,35 \frac{H_{бар}}{t_{нв} + 273}, \quad (54)$$

где  $H_{бар}$  — атмосферное давление, гПа (1 мм рт. ст. = 1,33 гПа);  
 $t_{нв}$  — температура наружного воздуха, °С.

Перечень участков, на которые распространяется п. 1.2.11, а также скорости ветра, используемые при выполнении расчетов для каждого принятого периода, устанавливаются дорогой на основе многолетних данных метеослужбы и утверждаются МПС.

Таблица 2. Коэффициент  $K_v$ , учитывающий встречный и боковой ветер

| Скорость ветра, $v_v$ , м/с | Скорость поезда $v$ , км/ч |      |      |      |      |      |      |      |      |
|-----------------------------|----------------------------|------|------|------|------|------|------|------|------|
|                             | 10                         | 20   | 40   | 60   | 80   | 100  | 120  | 140  | 160  |
| 6                           | 1,12                       | 1,11 | 1,09 | 1,08 | 1,07 | 1,06 | 1,05 | 1,04 | 1,03 |
| 8                           | 1,19                       | 1,17 | 1,15 | 1,13 | 1,11 | 1,09 | 1,08 | 1,07 | 1,06 |
| 10                          | 1,31                       | 1,28 | 1,24 | 1,20 | 1,16 | 1,14 | 1,12 | 1,10 | 1,09 |
| 12                          | 1,42                       | 1,39 | 1,32 | 1,27 | 1,23 | 1,19 | 1,15 | 1,14 | 1,12 |

### 1.3. Тормозные расчеты

1.3.1. **Тормозная сила локомотива.** В грузовых поездах на спусках до 20‰ тормозную силу пневматического тормоза локомотива и его массу в расчет не принимать. В остальных случаях, а также при движении одиночного локомотива тормозную силу локомотива и его массу учитывать.

Электрическое рекуперативное торможение электровоза применять как регулировочное при движении поезда по перегону. При определении скорости движения поезда тормозную силу электровоза принимать в соответствии с тормозными характеристиками. Значение тормозной силы электровоза не должно превышать ограничения по сцеплению. Электрическое торможение при определении тормозной силы поезда для остановочных торможений в расчет не вводить.

1.3.2. **Тормозная сила поезда.** Тормозную силу поезда определять как сумму произведений действительных сил нажатия тормозных колодок  $K$  на действительные коэффициенты трения колодок  $\varphi_k$  или как сумму расчетных (приведенных) сил нажатия тормозных колодок  $K_p$ , умноженную на расчетный (приведенный) коэффициент трения колодок  $\varphi_{кр}$ .

$$B_T = 1000 \sum K \varphi_k = 1000 \varphi_{кр} \sum K_p. \quad (55)$$

1.3.3. **Коэффициент трения.** При расчете тормозной силы с использованием действительной силы нажатия колодок действительный коэффициент трения  $\varphi_k$  колодки о колесо определять по формулам:

а) чугунные стандартные колодки

$$\varphi_k = 0,6 \frac{16K + 100}{80K + 100} \frac{v + 100}{5v + 100}; \quad (56)$$

б) чугунные колодки с содержанием фосфора 1,0—1,4%

$$\varphi_k = 0,5 \frac{16K + 100}{52K + 100} \frac{v + 100}{5v + 100}; \quad (57)$$

в) композиционные колодки

$$\varphi_k = 0,44 \frac{K + 20}{4K + 20} \frac{v + 150}{2v + 150}. \quad (58)$$

Чтобы не вводить в расчет зависимость коэффициента трения от силы нажатия на колодку, следует пользоваться расчетным коэффициентом трения  $\varphi_{кр}$  и расчетной силой нажатия на колодку  $K_p$ . При этом формулы для расчетного коэффициента  $\varphi_{кр}$  получают вид:

а) чугунные колодки стандартные и колодки с повышенным содержанием фосфора

$$\varphi_{кр} = 0,27 \frac{v + 100}{5v + 100}; \quad (59)$$

б) композиционные колодки

$$\varphi_{кр} = 0,36 \frac{v + 150}{2v + 150} . \quad (60)$$

Расчетные коэффициенты трения, вычисляемые по этим формулам, определены исходя из условия, что  $K=K_p=2,7$  тс для чугунных колодок и 1,6 тс — для композиционных. Эти значения  $K_p$  приняты условно и соответствуют среднему значению действительных сил нажатия на колодку четырехосного вагона при груженом и порожнем режимах торможения.

Переход от действительной силы нажатия на тормозную колодку к расчетной производить по следующим формулам:

а) чугунные стандартные колодки

$$K_p = 2,22K \frac{16K + 100}{80K + 100} ; \quad (61)$$

б) чугунные колодки с повышенным содержанием фосфора

$$K_p = 1,85K \frac{16K + 100}{52K + 100} ; \quad (62)$$

в) композиционные колодки

$$K_p = 1,22K \frac{K + 20}{4K + 20} . \quad (63)$$

**1.3.4. Сила нажатия.** Расчетные силы нажатия чугунных тормозных колодок на оси вагонов и локомотивов принимать по нормам, устанавливаемым МПС и издаваемым как приложение к графикам движения поездов.

При определении расчетной силы нажатия чугунных тормозных колодок поезда разрешается принимать данные, приведенные в табл. 3 и 4.

Расчетные силы нажатия композиционных колодок у пассажирских вагонов до 120 км/ч принимать одинаковыми с чугунными, а при больших скоростях в пересчете на чугунные колодки в следующем соотношении: от 120 до 140 км/ч — на 25% больше, чем для чугунных колодок; от 140 до 160 км/ч — на 30% больше, чем для чугунных колодок.

**1.3.5. Тормозной коэффициент.** Расчетным тормозным коэффициентом поезда называется отношение суммы тормозных расчетных сил нажатия всех тормозных колодок поезда к массе поезда

$$\varphi_p = \frac{\sum K_p}{Q + P_y} , \quad (64)$$

где  $\sum K_p$  — сумма расчетных сил нажатия на тормозные оси поезда, тс;  
 $Q$  — масса состава, электро-, дизель-поезда, т;  
 $P_y$  — учетная масса локомотива, т.

**Таблица 3. Расчетные силы нажатия чугунных тормозных колодок пассажирских и грузовых вагонов**

| Тип вагона  | Сила нажатия колодок на ось, тс |
|---|---------------------------------|
| Цельнометаллические пассажирские вагоны с массой тары:  |                                 |
| 53 т и более  | 10,0                            |
| 48 т и более, но менее 53 т   | 9,0                             |
| 42 т и более, но менее 48 т   | 8,0                             |
| Цельнометаллические пассажирские вагоны габарита 03-Т (РИЦ) с тормозом КЕс на режиме:                 |                                 |
| пассажирском  | 10,0                            |
| скоростном  | 15,0                            |
| Остальные вагоны пассажирского парка  | 6,5                             |
| Грузовые вагоны на порожнем режиме торможения   | 3,5                             |
| Грузовые вагоны, оборудованные чугунными колодками на режиме:   |                                 |
| груженом  | 7,0                             |
| среднем   | 5,0                             |
| Грузовые вагоны, оборудованные композиционными колодками (в пересчете на чугунные колодки) на режиме: |                                 |
| груженом  | 8,5                             |
| среднем   | 7,0                             |
| порожнем  | 3,5                             |
| Четырехосные изотермические и багажные ЦМВ с односторонним торможением                                | 6,0                             |
| Вагоны рефрижераторного подвижного состава на режиме:   |                                 |
| груженом  | 9,0                             |
| среднем   | 6,0                             |
| Хопперы-дозаторы ЦНИИ-2 и ЦНИИ-3 на режиме:   |                                 |
| груженом  | 3,5                             |
| порожнем  | 1,25                            |
| Хопперы-дозаторы ЦНИИ-ДВЗ и хопперы-цементовозы на режиме:  |                                 |
| груженом  | 6,0                             |
| порожнем  | 2,5                             |
| Думпкары ЗВС50, 4ВС50, 5ВС60 на режиме:   |                                 |
| груженом  | 6,0                             |
| среднем   | 4,5                             |
| порожнем  | 3,0                             |
| Думпкары ВС50, ВС95 на режиме:  |                                 |
| груженом  | 7,0                             |
| среднем   | 4,5                             |
| порожнем  | 3,5                             |

Примечания. 1. Для вагонов, оборудованных грузовым анторежимом, принимать силу нажатия тормозных колодок в соответствии с нагрузкой на ось при порожнем, среднем и груженом режимах.

2. Для рефрижераторных вагонов, удовлетворяющих специальным техническим условиям для скорости движения до 120 км/ч, силу нажатия на ось композиционных тормозных колодок в пересчете на чугунные принимать: на среднем режиме 12 тс, на порожнем режиме 8,5 тс.

Таблица 4. Расчетные силы нажатия чугунных тормозных колодок локомотивов и моторвагонного подвижного состава

| Тип и серия локомотивов  | Сила нажатия колодок на ось, тс |                |
|--|---------------------------------|----------------|
|  | груженный режим                 | порожный режим |
| <i>Электровозы</i>   |                                 |                |
| ЧС1, ЧС3   | 14,0                            | —              |
| ЧС2, ЧС2г, ЧС4, ЧС4г, ЧС200 на скоростном режиме   | 16,0                            | —              |
| ЧС2, ЧС2г, ЧС4, ЧС4г, ЧС200 на скоростном режиме при скоростях менее 60 км/ч и пассажирском режиме                                       | 12,0                            | —              |
| ВЛ80 <sup>к</sup> , ВЛ80 <sup>г</sup> , ВЛ80 <sup>с</sup> , ВЛ82, ВЛ82 <sup>м</sup> , ВЛ80 <sup>р</sup> , ВЛ10, ВЛ10 <sup>у</sup> , ВЛ11 | 14,0                            | 6,0            |
| ВЛ23, ВЛ60 всех индексов   | 11,0                            | 5,0*1          |
| Остальные серии электровозов   | 10,0                            | 5,0*1          |
| <i>Тепловозы</i>   |                                 |                |
| ТЭП60, ТЭ1, 2ТЭ116, 2ТЭП60, 2ТЭ10В(М), 3ТЭ10М, ТЭП70   | 12,0                            | 5,0*1          |
| ТЭП10, ТЭ7   | 11,5                            | —              |
| ТЭ2  | 9,0                             | 4,0            |
| ЧМЭЗ   | 11,0                            | 5,0            |
| ТГМЗА  | 8,0                             | 4,0            |
| Остальные серии тепловозов   | 10,0                            | 5,0*1          |
| <i>Паровозы</i>  |                                 |                |
| С <sup>у</sup> , ПЗ6   | 8,0                             | —              |
| Е <sup>а</sup> , Е <sup>м</sup> , Э <sup>р</sup> , Э <sup>м</sup> , СО, Л, ЛВ  | 6,0                             | 3,0            |
| ТЭ   | 9,0                             | —              |
| <i>Тендеры паровозов</i>   |                                 |                |
| ПЗ6  | 10,0                            | —              |
| ЛВ, ТЭ   | 8,0                             | 4,0            |
| Л  | 7,0                             | 3,0            |
| Е <sup>а</sup> , Е <sup>м</sup> , Э <sup>р</sup> , Э <sup>м</sup> , СО   | 5,0                             | 3,0            |
| С <sup>у</sup>   | 7,0                             | —              |
| <i>Электропоезда*2</i>   |                                 |                |
| Моторный вагон   | 10,0                            | —              |
| Прицепной и головной вагоны  | 9,0                             | —              |
| <i>Дизель-поезда*2</i>   |                                 |                |
| Серии Д, моторный вагон  | 12,0                            | —              |
| Прицепной вагон  | 9,0                             | —              |
| Серии ДР1, Д1, ДР1П, ДР1А, моторный вагон  | 10,0                            | —              |
| Прицепной вагон  | 8,0                             | —              |

\*1 При порожнем режиме.

\*2 Для колодок с повышенным содержанием фосфора принимать на 10% больше.

Таблица 5. Учетная масса локомотивов, электро- и дизель-поездов, число тормозных осей

| Серия локомотивов   | Число автотормозных осей локомотивов | Число осей ручного тормоза локомотива | Учетная масса локомотива, т |                      |
|---|--------------------------------------|---------------------------------------|-----------------------------|----------------------|
|   |                                      |                                       | максимальная                | в порожнем состоянии |
| <i>Электропоезда</i>  |                                      |                                       |                             |                      |
| ВЛ22 <sup>М</sup>   | 6                                    | 6                                     | 132                         | 130                  |
| ВЛ23, ВЛ60 всех индексов  | 6                                    | 6                                     | 138                         | 136                  |
| ВЛ8, ВЛ10, ВЛ80 <sup>К</sup> , ВЛ11 (две секции)                                      | 8                                    | 4                                     | 184                         | 180                  |
| ВЛ11 (три секции)   | 12                                   | 6                                     | 276                         | 270                  |
| ВЛ82, ВЛ80 <sup>Г</sup> , ВЛ80 <sup>С</sup>   | 8                                    | 4                                     | 190                         | 186                  |
| ВЛ82 <sup>М</sup> , ВЛ10 <sup>У</sup>   | 8                                    | 4                                     | 200                         | 196                  |
| ВЛ80 <sup>Р</sup>   | 8                                    | 4                                     | 192                         | 188                  |
| ЧС1, ЧС3  | 4                                    | 4                                     | 84                          | 84                   |
| ЧС2   | 6                                    | 2                                     | 120                         | 120                  |
| ЧС2 <sup>Г</sup>  | 6                                    | 2                                     | 128                         | 128                  |
| ЧС4, ЧС4 <sup>Г</sup>   | 6                                    | 2                                     | 126                         | 126                  |
| ЧС200   | 8                                    | 2                                     | 152                         | 152                  |
| <i>Тепловозы</i>  |                                      |                                       |                             |                      |
| ТЭ1, ТЭМ1, ТЭМ2   | 6                                    | 2                                     | 121                         | 115                  |
| ТЭ2   | 8                                    | 4                                     | 170                         | 166                  |
| ТЭ3, ТЭ7  | 12                                   | 4                                     | 254                         | 250                  |
| 3ТЭ3  | 18                                   | 6                                     | 381                         | 375                  |
| 2ТЭ10Л  | 12                                   | 4                                     | 258                         | 254                  |
| 2ТЭ10В, 2ТЭ10М  | 12                                   | 4                                     | 276                         | 264                  |
| 3ТЭ10М  | 18                                   | 6                                     | 414                         | 395                  |
| 2ТЭ116  | 12                                   | 4                                     | 274                         | 270                  |
| ТЭП10, ТЭ10   | 6                                    | 4                                     | 129                         | 125                  |
| ТЭП60 (1 секция)  | 6                                    | 2                                     | 128                         | 126                  |
| ТЭП10Л, ТЭП70   | 6                                    | 2                                     | 130                         | 127                  |
| ЧМЭ2  | 4                                    | 1                                     | 74                          | 68                   |
| ЧМЭ3  | 6                                    | 2                                     | 123                         | 121                  |
| ТГМЗА   | 4                                    | 2                                     | 68                          | 65                   |
| М62   | 6                                    | 2                                     | 117                         | 112                  |
| 2М62  | 12                                   | 4                                     | 240                         | 231                  |
| ВМЭ1  | 4                                    | 2                                     | 74                          | 68                   |
| <i>Электропоезда</i>  |                                      |                                       |                             |                      |
| Головной вагон:   |                                      |                                       |                             |                      |
| ЭР1, ЭР9П, ЭР9М   | 4                                    | 4                                     | 48                          | 38                   |
| ЭР2, ЭР9  | 4                                    | 4                                     | 50                          | 41                   |
| Моторный вагон:   |                                      |                                       |                             |                      |
| ЭР1   | 4                                    | 4                                     | 64                          | 52,5                 |
| ЭР2   | 4                                    | 2                                     | 64                          | 52,5                 |
| ЭР9, ЭР9П, ЭР9М   | 4                                    | 2                                     | 71                          | 60                   |
| С <sup>Р</sup> , С <sub>3</sub> <sup>Р</sup> , С <sub>3</sub> <sup>М</sup>            | 4                                    | 4                                     | 73                          | 62                   |
| ЭР22  | 4                                    | 1                                     | 78,5                        | 66                   |
| Прицепной вагон:  |                                      |                                       |                             |                      |
| ЭР1, ЭР9П, ЭР9М   | 4                                    | 4                                     | 48                          | 37                   |
| ЭР2, С <sub>3</sub> <sup>Р</sup> , С <sup>Р</sup> , С <sub>3</sub> <sup>М</sup> , ЭР9 | 1                                    | 4                                     | 50                          | 39                   |
| ЭР22  | 1                                    | 4                                     | 54,5                        | 41                   |

| Серия локомотивов               | Число автотормозных осей локомотивов | Число осей ручного тормоза локомотива | Учетная масса локомотива, т |                      |
|---------------------------------|--------------------------------------|---------------------------------------|-----------------------------|----------------------|
|                                 |                                      |                                       | максимальная                | в порожнем состоянии |
| <i>Дизель-поезда</i>            |                                      |                                       |                             |                      |
| Моторный вагон:                 |                                      |                                       |                             |                      |
| Д1                              | 4                                    | 4                                     | 81                          | 70,5                 |
| Д                               | 4                                    | 4                                     | 76                          | 65                   |
| ДР1, ДР1П, ДР1А                 | 4                                    | 1                                     | 68                          | 56                   |
| Прицепной вагон:                |                                      |                                       |                             |                      |
| Д1                              | 4                                    | 4                                     | 56                          | 37                   |
| Д                               | 4                                    | 4                                     | 50                          | 37                   |
| ДР1                             | 4                                    | 1                                     | 52                          | 34                   |
| ДР1П, ДР1А                      | 4                                    | 1                                     | 54                          | 36                   |
| <i>Паровозы</i>                 |                                      |                                       |                             |                      |
| ПЗ6                             | 4/6*                                 | 3*                                    | 230                         | 174                  |
| ЛВ                              | 5/6                                  | 3                                     | 190                         | 133                  |
| Л                               | 5/4                                  | 4                                     | 170                         | 124                  |
| Е <sup>а</sup> , Е <sup>м</sup> | 5/4                                  | 4                                     | 170                         | 111                  |
| СО                              | 5/4                                  | 4                                     | 165                         | 119                  |
| Э <sup>р</sup>                  | 5/4                                  | 4                                     | 150                         | 109                  |
| Э <sup>м</sup>                  | 5/4                                  | 4                                     | 130                         | 105                  |
| ТЭ                              | 5/4                                  | 4                                     | 136                         | 96                   |
| С <sup>у</sup>                  | 3/4                                  | 4                                     | 130                         | 109                  |

\* Тендеров.

Расчетные силы нажатия принимать в соответствии с п. 1.3.4 настоящих Правил. Учетная масса и число тормозных осей локомотивов, электро-, дизель-поездов даны в табл. 5.

В расчетах, где учитывается применение экстренного торможения, расчетный тормозной коэффициент принимать равным его полному значению. Если учитывается применение полного служебного торможения (например, при расстановке постоянных сигналов), расчетный тормозной коэффициент принимать равным 0,8 его полного расчетного значения.

При остановках на станциях и отдельных пунктах, предусмотренных графиком движения, расчетный тормозной коэффициент принимать равным 0,5, а для пассажирских поездов, электро- и дизель-поездов — 0,6 его полного расчетного значения.

При регулировочных торможениях, применяемых для поддержания заданной скорости движения, значение расчетного тормозного коэффициента принимать в зависимости от применяемой ступени торможения по табл. 6 и 7.

Таблица 6. Тормозные расчетные нормативы для грузовых поездов

| Нормативы  | Значение нормативов для ступеней служебного торможения |      |      |
|--|--|------|------|
|  | I  | II   | III  |
| Минимальное время торможения, мин                                  | 0,20   | 0,30 | 0,40 |
| Время полного отпуска и подзарядки тормозов поезда, мин            | 1,5  | 1,8  | 2,0  |
| Давление в тормозном цилиндре, МПа*, на режиме:                    |  |      |      |
| груженом   | 0,1  | 0,16 | 0,25 |
| среднем  | 0,09   | 0,12 | 0,18 |
| порожном   | 0,08   | 0,1  | 0,14 |
| Расчетный тормозной коэффициент, % от полного значения на режимах: |  |      |      |
| груженом и среднем   | 30   | 50   | 70   |
| порожном   | 50   | 65   | 80   |

\* 1 МПа = 10 кгс/см<sup>2</sup>.

Таблица 7. Тормозные расчетные нормативы для пассажирских поездов

| Нормативы  | Значение нормативов для ступеней служебного торможения |      |      |
|--|--|------|------|
|  | I  | II   | III  |
| Минимальное время торможения, мин                      | 0,20   | 0,20 | 0,25 |
| Время полного отпуска и подзарядки тормозов, мин       | 0,5  | 0,8  | 1,0  |
| Давление в тормозном цилиндре, МПа                     | 0,12   | 0,2  | 0,3  |
| Расчетный тормозной коэффициент, % от полного значения | 35   | 60   | 85   |

1.3.6. **Тормозной путь.** Тормозным путем называется расстояние, проходимое поездом от начала торможения (с момента поворота ручки крана машиниста или стоп-крана) до его остановки.

Тормозной путь  $s_T$  при расчетах принимать равным сумме подготовительного тормозного пути  $s_n$  и действительного пути торможения  $s_d$ :

$$s_T = s_n + s_d, \quad (65)$$

где 
$$s_n = 0,278v_0 t_n. \quad (66)$$

Действительный путь торможения

$$s_d = \sum \frac{500(v_n^2 - v_k^2)}{\zeta(1000\varphi_p \varphi_{кр} + w_{ох} + i_c)} \quad (67)$$

Здесь  $v_0$  — скорость поезда в момент начала торможения, км/ч;  
 $v_n$  и  $v_k$  — начальная и конечная скорости в расчетном интервале, км/ч;

- $\zeta$  — замедление поезда под действием удельной замедляющей силы (1 кгс/т), км/ч<sup>2</sup>;  
 $\varphi_{кр}$  — расчетный коэффициент трения тормозных колодок в интервале скоростей;  
 $\omega_{ох}$  — основное удельное сопротивление движению поезда при холостом ходе локомотива в расчетном интервале скоростей, кгс/т;  
 $i_c$  — удельное сопротивление от спрямленного (в профиле и плане) уклона, для которого производятся расчеты (при спуске значение со знаком минус), кгс/т.

Значение  $\zeta$  принимать:

|  |     |
|--|-----|
| Грузовые и пассажирские поезда . . . . . | 120 |
| Одиночно следующие:                      |     |
| электровозы . . . . .                    | 107 |
| пассажирские тепловозы . . . . .         | 118 |
| грузовые тепловозы . . . . .             | 112 |
| паровозы . . . . .                       | 121 |
| Электропоезда . . . . .                  | 119 |
| Дизель-поезда . . . . .                  | 116 |

Время подготовки тормозов к действию  $t_n$  (в секундах) определять по формулам:

а) грузовые составы длиной 200 осей и менее при автоматических тормозах и одиночно следующие грузовые локомотивы

$$t_n = 7 - \frac{10i_c}{1000\varphi_p \varphi_{кр}} ; \quad (68)$$

б) грузовые составы длиной более 200 осей (до 300 осей) при автоматических тормозах

$$t_n = 10 - \frac{15i_c}{1000\varphi_p \varphi_{кр}} ; \quad (69)$$

в) грузовые поезда длиной более 300 осей при автоматических тормозах

$$t_n = 12 - \frac{18i_c}{1000\varphi_p \varphi_{кр}} ; \quad (70)$$

г) пассажирские поезда при пневматических тормозах и одиночно следующие пассажирские локомотивы

$$t_n = 4 - \frac{5i_c}{1000\varphi_p \varphi_{кр}} ; \quad (71)$$

д) пассажирские поезда при электропневматических тормозах

$$t_n = 2 - \frac{3i_c}{1000\varphi_p \varphi_{кр}} ; \quad (72)$$

е) при ручных тормозах  $t_n = 60$  с.

При срабатывании автостопа время подготовки автоматических тормозов к действию  $t_n$ , определяемое по формулам (68) — (72), увеличивать на 14 с.

**Таблица 8. Повышение расчетного тормозного коэффициента  $\phi_p$  пассажирского поезда в процессе наполнения тормозных цилиндров**

| $\Delta t, c$ | Значение $\phi_p$ , % от полного $\phi_p$ , для экстренного торможения и полного служебного торможения при числе вагонов в составе |       |          |       |       |          |
|---------------|--|-------|----------|-------|-------|----------|
|               | до 18  | 19—25 | свыше 25 | до 18 | 19—25 | свыше 25 |
| 0—3           | 2  | 0     | 0        | 0     | 0     | 0        |
| 3—6           | 65   | 35    | 20       | 35    | 15    | 10       |
| 6—9           | 90   | 60    | 50       | 60    | 45    | 35       |
| 9—12          | 95   | 80    | 70       | 80    | 70    | 60       |
| 12—15         | 100  | 95    | 85       | 90    | 80    | 70       |
| 15—18         | —  | 100   | 95       | 95    | 90    | 80       |
| 18—21         | —  | —     | 100      | 100   | 95    | 90       |
| 21—24         | —  | —     | —        | —     | 100   | 95       |
| 24—27         | —  | —     | —        | —     | —     | 100      |

В формулах (67)—(72):

$\phi_p$  — расчетный тормозной коэффициент поезда (принимать для случая экстренного торможения);

$\phi_{кр}$  — расчетный коэффициент трения колодки о колесо при наибольшей скорости.

Для облегчения расчета в приложении 3 (рис. 3.1—3.22) приведены номограммы тормозных путей грузовых и пассажирских поездов при экстренном торможении в зависимости от расчетного нажатия тормозных колодок на 100 т массы состава ( $100 \phi_p$ ) при различной крутизне спуска.

При выполнении тормозных расчетов по интервалам времени методом численного интегрирования принимать данные для определения тормозного коэффициента, приведенные в табл. 8—11.

**Таблица 9. Повышение расчетного тормозного коэффициента  $\phi_p$  пассажирского поезда в процессе наполнения тормозных цилиндров при ступенчатых торможениях**

| $\Delta t, c$ | Значение $\phi_p$ , % от полного $\phi_p$ , при ступенчатых торможениях и числе вагонов в составе |       |          |       |       |          |       |       |          |
|---------------|---|-------|----------|-------|-------|----------|-------|-------|----------|
|               | I   |       |          | II    |       |          | III   |       |          |
|               | до 18   | 19—25 | свыше 25 | до 18 | 19—25 | свыше 25 | до 18 | 19—25 | свыше 25 |
| 0—3           | 0   | 0     | 0        | 0     | 0     | 0        | 0     | 0     | 0        |
| 3—6           | 30  | 35    | 35       | 15    | 15    | 15       | 10    | 10    | 10       |
| 6—9           | 33  | 55    | 60       | 30    | 40    | 45       | 30    | 35    | 35       |
| 9—12          | 35  | 60    | 80       | 35    | 55    | 70       | 35    | 55    | 60       |
| 12—15         | —   | —     | 85       | —     | 60    | 80       | —     | 60    | 70       |
| 15—18         | —   | —     | —        | —     | —     | 85       | —     | —     | 80       |
| 18—21         | —   | —     | —        | —     | —     | —        | —     | —     | 85       |

**Таблица 10. Повышение расчетного тормозного коэффициента  $\phi_p$  грузового поезда в процессе наполнения тормозных цилиндров**

| $\Delta t, c$ | Значение $\phi_p$ , % от полного $\phi_p$ , при экстренном торможении, полном служебном торможении и длине состава, м |     |      |      |     |     |      |      |
|---------------|---|-----|------|------|-----|-----|------|------|
|               | 500   | 800 | 1200 | 1600 | 500 | 800 | 1200 | 1600 |
| 0-3           | 0   | 0   | 0    | 0    | 0   | 0   | 0    | 0    |
| 3-6           | 20  | 15  | 2    | 0    | 15  | 2   | 0    | 0    |
| 6-9           | 45  | 35  | 20   | 10   | 40  | 25  | 20   | 10   |
| 9-12          | 65  | 50  | 35   | 25   | 60  | 45  | 30   | 20   |
| 12-15         | 80  | 65  | 50   | 35   | 75  | 60  | 45   | 30   |
| 15-18         | 90  | 75  | 60   | 45   | 85  | 70  | 55   | 40   |
| 18-21         | 95  | 85  | 70   | 55   | 90  | 80  | 65   | 50   |
| 21-24         | 98  | 95  | 80   | 62   | 95  | 90  | 70   | 55   |
| 24-27         | 100   | 98  | 85   | 70   | 100 | 95  | 75   | 60   |
| 27-30         | —   | 100 | 90   | 75   | —   | 98  | 80   | 65   |
| 30-33         | —   | —   | 94   | 80   | —   | 100 | 85   | 70   |
| 33-36         | —   | —   | 96   | 85   | —   | —   | 90   | 75   |
| 36-39         | —   | —   | 98   | 90   | —   | —   | 95   | 80   |
| 39-42         | —   | —   | 100  | 92   | —   | —   | 98   | 85   |
| 42-45         | —   | —   | —    | 95   | —   | —   | 100  | 90   |
| 45-50         | —   | —   | —    | 98   | —   | —   | —    | 92   |
| 50-55         | —   | —   | —    | 100  | —   | —   | —    | 95   |
| 55-60         | —   | —   | —    | —    | —   | —   | —    | 98   |
| 60-65         | —   | —   | —    | —    | —   | —   | —    | 100  |

**Таблица 11. Повышение расчетного тормозного коэффициента  $\phi_p$  грузового поезда в процессе наполнения тормозных цилиндров при ступенчатых торможениях**

| $\Delta t, c$ | Значение $\phi_p$ , % от полного $\phi_p$ , при ступенчатых торможениях и длине состава, м |     |      |      |     |     |      |      |     |     |      |      |     |     |      |      |  |  |
|---------------|--|-----|------|------|-----|-----|------|------|-----|-----|------|------|-----|-----|------|------|--|--|
|               | I  |     |      | II   |     |     | III  |      |     | I   |      |      | II  |     |      | III  |  |  |
|               | 500  | 800 | 1200 | 1600 | 500 | 800 | 1200 | 1600 | 500 | 800 | 1200 | 1600 | 500 | 800 | 1200 | 1600 |  |  |
| 0-3           | 0  | 0   | 0    | 0    | 0   | 0   | 0    | 0    | 0   | 0   | 0    | 0    | 0   | 0   | 0    | 0    |  |  |
| 3-6           | 10   | 15  | 15   | 2    | 2   | 2   | 0    | 0    | 0   | 0   | 0    | 0    | 0   | 0   | 0    | 0    |  |  |
| 6-9           | 25   | 35  | 40   | 20   | 25  | 25  | 15   | 20   | 20  | 20  | 10   | 10   | 10  | 10  | 10   | 10   |  |  |
| 9-12          | 30   | 45  | 55   | 30   | 40  | 45  | 20   | 30   | 30  | 30  | 15   | 20   | 20  | 20  | 20   | 20   |  |  |
| 12-15         | —  | 50  | 65   | —    | 45  | 55  | 28   | 40   | 40  | 40  | 20   | 30   | 30  | 30  | 30   | 30   |  |  |
| 15-18         | —  | —   | 68   | —    | 50  | 60  | 30   | 45   | 50  | 50  | 25   | 35   | 40  | 40  | 40   | 40   |  |  |
| 18-21         | —  | —   | 70   | —    | —   | 65  | —    | 48   | 60  | 60  | 28   | 40   | 45  | 45  | 45   | 45   |  |  |
| 21-24         | —  | —   | —    | —    | —   | 70  | —    | 50   | 64  | 64  | 30   | 44   | 50  | 50  | 50   | 50   |  |  |
| 24-27         | —  | —   | —    | —    | —   | —   | —    | —    | 66  | 66  | —    | 46   | 55  | 55  | 55   | 55   |  |  |
| 27-30         | —  | —   | —    | —    | —   | —   | —    | —    | 68  | 68  | —    | 48   | 60  | 60  | 60   | 60   |  |  |
| 30-35         | —  | —   | —    | —    | —   | —   | —    | —    | 70  | 70  | —    | 50   | 65  | 65  | 65   | 65   |  |  |
| 35-40         | —  | —   | —    | —    | —   | —   | —    | —    | —   | —   | —    | —    | 68  | 68  | 68   | 68   |  |  |
| 40-45         | —  | —   | —    | —    | —   | —   | —    | —    | —   | —   | —    | —    | —   | —   | —    | 70   |  |  |

В интервале времени  $\Delta t$  принимаются постоянными тормозная сила  $b_T$ , сила удельного основного сопротивления поезда  $w_{0x}$  с учетом локомотива и спрямленного уклона  $i_c$ .

Приращение скорости составляет

$$\Delta v = \frac{\zeta (b_T + w_{0x} + i_c) \Delta t}{3600}, \quad (73)$$

а проходимый тормозной путь

$$\Delta s_T = \frac{\Delta t v_{cp}}{3,6}, \quad (74)$$

где  $v_{cp}$  — средняя скорость в расчетном интервале, км/ч.

Общий тормозной путь определяется суммированием всех  $\Delta s_T$ .

**1.3.7. Расчеты при ручных тормозах.** При ручных тормозах принимать в расчет тормозную силу от действия тормозных колодок локомотивов, включая тендер, и тормозных вагонов.

Расчетную силу нажатия чугунных тормозных колодок на оси при ручном торможении принимать: для пассажирских цельнометаллических вагонов, вагонов рефрижераторных поездов — 4 тс; для остальных пассажирских вагонов и всех грузовых вагонов (с тормозной площадкой) — 2 тс; для электровозов, тепловозов, электро- и дизель-поездов — 5 тс; паровозов — 4 тс.

Фактическое число осей ручного торможения у локомотивов принимать по табл. 5.

Тормозную силу локомотива при удержании остановившегося поезда на станции, разъезде и обгонном пункте, имеющих спуск, вспомогательным тормозом локомотива определять по формуле

$$B_T = 0,25 \sum K_p. \quad (75)$$

## 1.4. Расчет массы состава и скорости движения поезда

**1.4.1. Общие указания.** Массу состава и скорость движения поезда определять исходя из условий полного использования мощности и тяговых качеств локомотивов, а также кинетической энергии поезда в соответствии с нормами, приведенными в настоящих Правилах. В необходимых случаях для обеспечения заданной массы состава и технической скорости предусматривать подталкивание, кратную тягу, более мощные локомотивы, перенос остановок с отдельных пунктов, расположенных перед затяжными подъемами и т. д.

В зависимости от характера профиля пути данного участка расчет массы состава грузового поезда выполнять исходя из условий безостановочного движения: по расчетному подъему с равномерной скоростью; по труднейшим подъемам с неравномерной скоростью с учетом использования кинетической энергии поезда.

В тех случаях, когда не представляется возможным реализовать установленные настоящими Правилами расчетные значения силы тяги локомотивов из-за ограничений массы поезда по длине станционных путей, необходимости повышения пропускной способности, в том числе линий с преимущественным пассажирским движением, условий унификации нормы массы состава и т. п., допускается повышение расчетной скорости при использовании полной мощности локомотива.

Для обеспечения устойчивой работы локомотивов на тех участках, где климатические условия значительно изменяются в зависимости от времени года, расчетную массу состава определять для летнего и зимнего периодов.

Масса состава, рассчитанная по нормам настоящих Правил, должна быть проверена в опытных поездках, проводимых в соответствии с действующими для этой цели инструктивными указаниями.

В тяговых расчетах, выполняемых при проектировании новых железных дорог и электрификации действующих линий, для определения массы состава силу тяги электровозов принимать на 5%, а тепловозов на 7% меньше расчетной, предусмотренной настоящими Правилами.

Масса состава пассажирских поездов устанавливается МПС по целым направлениям в зависимости от категории поезда (скорый, пассажирский и т. д.).

При определении скорости движения и времени хода поезд принимать за материальную точку, в которой сосредоточена вся его масса. Положение этой точки условно считать в середине поезда.

**1.4.2. Расчет массы состава при условии движения с равномерной скоростью на расчетном подъеме.** Если длина труднейшего на данном участке подъема, характер прилегающих к нему элементов профиля пути, допускаемые скорости движения по состоянию пути и расположение остановочных пунктов позволяют установить, что этот подъем не может быть преодолен с использованием кинетической энергии поезда, то такой подъем следует принимать расчетным ( $i_p$ ). Массу состава в этом случае определять по формуле

$$Q = \frac{F_{кр} - (w'_0 + i_p)P}{w_0 + i_p} \quad (76)$$

**1.4.3. Расчет массы состава с учетом использования кинетической энергии поезда (метод подбора).** Если характер профиля пути, расположение остановочных пунктов и допускаемые скорости движения по состоянию пути на участке не позволяют надежно определить расчетный затяжной подъем, то массу состава рассчитывают методом подбора.

Для этого следует задаться расчетным подъемом по значению меньшим, чем самый крутой на участке, определить по нему мас-

су состава по формуле (76) для данной серии локомотива и рассчитать удельные ускоряющие силы поезда. Полученную массу состава проверить на прохождение поездом участков профиля пути с подъемами большей крутизны, чем расчетный подъем, учитывая при этом использование кинетической энергии поезда; проверять графическим способом или аналитически.

При графической проверке, используя диаграммы ускоряющих сил поезда, необходимо определить скорость движения для всех перегонов, на которых крутизна подъемов по спрямленному профилю превышает крутизну подъема, принятую для расчета массы состава. Построение зависимости  $v=v(s)$  следует начинать с элемента профиля, где скорость движения поезда может быть заранее известна (например, от отдельного пункта, где была остановка; от равномерной скорости, когда перед проверяемым подъемом есть затяжные элементы профиля; от пункта, где имеется ограничение скорости, и т. д.).

Аналитическую проверку делать по формуле

$$s \leq \frac{4,17(v_n^2 - v_k^2)}{f_k - w_k}, \quad (77)$$

где  $s$  — длина проверяемого участка профиля с подъемом большей крутизны, чем у расчетного подъема, м;  
 $v_n, v_k$  — скорость движения поезда соответственно в начале и конце проверяемого подъема, км/ч;  
 $f_k - w_k$  — средняя ускоряющая сила, действующая на поезд в пределах интервала скорости от  $v_n$  до  $v_k$ , кгс/т.

Для повышения точности аналитического расчета интервалы изменения скорости следует брать в пределах 10 км/ч и тогда

$$s \leq \sum s_i = \sum \frac{4,17(v_{ni}^2 - v_{ki}^2)}{(f_k - w_k)_i}, \quad (78)$$

где  $v_{ni}, v_{ki}$  — начальная и конечная скорости интервала, км/ч;  
 $s_i$  — путь, проходимый поездом за время изменения скорости от  $v_{ni}$  до  $v_{ki}$ , м;  
 $(f_k - w_k)_i$  — средняя ускоряющая сила поезда за время изменения скорости от  $v_{ni}$  до  $v_{ki}$ , кгс/т.

При проверке любым способом массу состава следует считать определившейся, если скорость движения в конце проверяемого подъема получилась равной или несколько более расчетной скорости для данной серии локомотива.

В отдельных случаях для эксплуатируемых дорог в зависимости от местных условий разрешается выходную скорость со скоростных подъемов принимать:

а) для электровозов постоянного тока и двойного питания (ВЛ82, ВЛ82<sup>м</sup>) — по значению скорости при полном возбуждении последовательно-параллельного соединения тяговых электродвигателей;

б) для электровозов переменного тока — по значению скорости при нормальном возбуждении на 21-й позиции у электровозов серии ВЛ60к, ВЛ60р, ВЛ80к, ВЛ80г, ВЛ80с и 0,5 зоны 3 для электровоза ВЛ80р;

в) для тепловозов ТЭ3, М62 и 2М62 — 16 км/ч, тепловозов 2ТЭ10Л, 2ТЭ10В, 2ТЭ10М, 3ТЭ10М и 2ТЭ116 — 20 км/ч при выходе на ограничение по сцеплению с переходом на режимы, соответствующие промежуточным позициям контроллера машиниста.

Во всех случаях протяженность пути, проходимого со скоростью меньшей, чем расчетная, не должна превышать 500 м. Отступление от этой величины может быть допущено с разрешения МПС при наличии резервов пропускной способности участка и соблюдении установленных норм по нагреву тяговых электрических машин.

1.4.4. Проверка массы состава при трогании с места. Рассчитанная по пп. 1.4.2 и 1.4.3 масса грузового состава проверяется на трогание с места на остановочных пунктах по формуле

$$Q_{\text{тр}} = \frac{F_{\text{к тр}}}{\varpi_{\text{тр}} + i_{\text{тр}}} - P. \quad (79)$$

Масса состава, рассчитанная по пп. 1.4.2 и 1.4.3, должна быть меньше массы состава, полученной по формуле (79), т. е.  $Q < Q_{\text{тр}}$ .

1.4.5. Проверка массы поезда по длине приемо-отправочных путей. Длина поезда  $l_{\text{п}}$  не должна превышать полезной длины приемо-отправочных путей  $l_{\text{поп}}$  на участках обращения данного поезда (с учетом допуска 10 м на установку поезда), т. е.  $l_{\text{п}} \leq l_{\text{поп}}$ .

Длина поезда определяется из выражения

$$l_{\text{п}} = l_{\text{с}} + m_{\text{л}} l_{\text{л}} + 10, \quad (80)$$

где  $l_{\text{л}}$  — длина локомотива, м;

$m_{\text{л}}$  — число локомотивов;

$l_{\text{с}}$  — длина состава, м,  $l_{\text{с}} = \sum n_i l_i$ ;

$l_i$  — длина вагонов по осям автосцепки, из которых сформирован состав, м

Число однотипных вагонов в сформированном составе определять из выражения

$$n_i = \frac{Q}{q_i} \alpha_i, \quad (81)$$

где  $q_i$  — средняя для однотипной группы масса вагона (брутто), т;

$\alpha_i$  — доля (по массе) состава, приходящаяся на данную группу однотипных вагонов

Длина локомотивов и вагонов приведена в табл. 12.

1.4.6. Кратная тяга и подталкивание. Силу тяги локомотивов при кратной тяге принимать 100% расчетной; для подталкиваю-

Таблица 12. Длина подвижного состава (для определения длины поезда)

| Род подвижного состава   | Длина,<br>м |
|--|-------------|
| <i>Вагоны пассажирского парка</i>  |             |
| Четырехосные цельнометаллические   | 25          |
| Остальные четырехосные вагоны пассажирского парка, в том числе почтовые, багажные и служебные  | 20          |
| <i>Вагоны грузового парка</i>  |             |
| Восьмиосные полувагоны   | 20          |
| Восьмиосные цистерны   | 21          |
| Шестиосные   | 17          |
| Четырехосные крытые и изотермические   | 15          |
| Четырехосные крытые для перевозки скота (специальные)  | 18          |
| Четырехосные полувагоны и платформы  | 14          |
| Четырехосные цистерны, цементовозы и думпкары  | 12          |
| <i>Локомотивы</i>  |             |
| Электровозы:   |             |
| ВЛ22 <sup>М</sup>  | 16          |
| ВЛ23, ЧС3  | 17          |
| ВЛ8  | 28          |
| ВЛ10, ВЛ10 <sup>У</sup> , ВЛ11 (две секции), ВЛ80 <sup>К</sup> , ВЛ80 <sup>Р</sup> , ВЛ82 <sup>М</sup> , ВЛ82, ВЛ80 <sup>Т</sup> , ВЛ80 <sup>С</sup> | 33          |
| ВЛ60 <sup>К</sup> , ВЛ60 <sup>Р</sup> , ВЛ60 <sup>ПК</sup>   | 21          |
| ЧС2, ЧС2 <sup>Т</sup> , ЧС4, ЧС4 <sup>Т</sup>  | 19          |
| Моторные и прицепные вагоны электропоездов:  |             |
| ЭР1, ЭР2, С <sup>Р</sup> , С <sub>3</sub> <sup>Р</sup> , ЭР9, ЭР9П, ЭР9М   | 20          |
| ЭР22М  | 25          |
| Тепловозы:   |             |
| ТЭ1, ТЭМ1, ТЭМ2  | 17          |
| ТЭ2  | 24          |
| ТЭ3, ТЭ7, 2ТЭ10Л, 2ТЭ10В, 2ТЭ10М   | 34          |
| 2ТЭ116, 2М62   | 36          |
| 3ТЭ10М   | 51          |
| ТЭ10, ТЭП10, ТЭП10Л, ТЭП60 (1 секция)  | 19          |
| ТЭП70  | 22          |
| М62  | 18          |
| ТГ16   | 31          |
| ЧМЭ2, ТГМ3А, ВМЭ1  | 13          |
| ЧМЭ3   | 18          |
| Моторные и прицепные вагоны дизель-поездов   | 25          |
| Паровозы с теидером:   |             |
| П36  | 29          |
| ЛВ   | 26          |
| Л, ТЭ, С <sup>У</sup>  | 23          |
| Остальные серии  | 22          |

щих локомотивов (в хвосте поезда)  $F_k$  также принимать 100% расчетной.

В случае определения массы состава при кратной тяге с локомотивами разных серий расчетную скорость принимать равной расчетной скорости локомотива, у которого она больше.

Для предупреждения разрыва поездов наибольшая суммарная сила тяги локомотивов, находящихся в голове поезда, при трогании поезда с места определяется исходя из максимально допустимого продольного усилия на автосцепке при трогании, равного 95 тс, а наибольшая суммарная сила тяги при разгоне и движении по труднейшему подъему определяется исходя из максимально допустимого продольного усилия на автосцепке, равного 130 тс, т. е.:

при трогании поезда до скорости 10 км/ч

$$\sum F_{\text{ктр}} \leq 95\,000 + \sum P (w_{\text{тр}} + i_{\text{тр}}); \quad (82)$$

при разгоне и движении по труднейшим подъемам

$$\sum F_k \leq 130\,000 + \sum P (w'_0 + i_c) \quad (83)$$

Для обеспечения устойчивости вагонов от выжимания продольными силами при подталкивании или электрическом торможении локомотивами, находящимися в голове поезда, наибольшие значения сил тяги подталкивающих локомотивов и сил электрического торможения определяются исходя из максимально допустимых продольных сжимающих сил, зависящих от типа и степени загрузки вагонов, находящихся в поезде, с учетом сопротивления движению локомотивов. Для четырехосных вагонов допустимая продольная сила при  $q'_0 \leq 12$  тс — 50, а при  $q'_0 > 12$  тс — 100 тс, а для шести- и восьмиосных вагонов соответственно 100 и 250 тс. Здесь  $q'_0$  — нагрузка от оси колесной пары на рельсы наименее нагруженного вагона.

Для линии с кривыми радиусом менее 300 м допускаемые продольные усилия устанавливаются по местным условиям.

**1.4.7. Спрявление профиля пути.** Для учета влияния кривых и уклонов пути на сопротивление движению поезда при расчете массы состава, определении скорости движения и времени хода поезда необходимо спрямлять продольный профиль и план пути. При этом кривые в плане пути заменять фиктивными подъемами в пределах спрямленных элементов.

Элементы профиля и плана пути остановочных пунктов с элементами прилегающих перегонов не спрямлять. Спрямлять разрешается только близкие по значению уклона элементы профиля одного знака. Если между соседними элементами действительного профиля, имеющими большое протяжение, расположен короткий элемент (менее длины поезда), резко отличающийся по значению уклон, то он спрямляется с соседним элементом, более близким по уклону.

Возможность спрямления проверять для каждого элемента действительного профиля пути, входящего в спрямляемый участок, по формуле

$$s_i \leq \frac{2000}{\Delta i}, \quad (84)$$

где  $s_i$  — длина любого элемента действительного профиля пути, входящего в спрямленный элемент, м;

$\Delta i$  — абсолютная разность между фиктивным уклоном спрямленного элемента и действительным уклоном отдельного (проверяемого) элемента, по сокращенному продольному профилю пути, ‰.

Уклон (крутизну) спрямляемого элемента в продольном профиле пути определять по формулам:

$$i'_c = \frac{(H_k - H_n) 1000}{s_c} \quad (85)$$

или

$$i'_c = \frac{i_1 s_1 + i_2 s_2 + \dots + i_n s_n}{s_c}, \quad (86)$$

где  $H_k, H_n$  — соответственно конечная и начальная отметка продольного профиля пути спрямленного элемента, м;

$i$  — уклон (крутизна) каждого из элементов профиля, входящих в спрямляемый участок, ‰;

$s$  — длина каждого из элементов профиля, входящих в спрямляемый элемент, м;

$s_c$  — длина спрямляемого элемента, м.

Крутизну спрямленного участка в плане пути при наличии кривых в пределах этого элемента:

для эксплуатируемых дорог определять по формулам:

$$i''_c = \frac{700}{s_c} \sum_1^n \frac{s_{крl}}{R_l} \quad (87)$$

или

$$i''_c = \frac{12,2}{s_c} \sum_1^n a^0; \quad (88)$$

для расчетов, требующих повышенной точности, и при проектировании дорог разрешается определять по формулам:

$$i''_c = \frac{\sum_1^n \left( \frac{200}{R_l} + 1,5\tau_l \right) s_{крl}}{s_c} \quad (89)$$

или

$$i_c'' = \frac{\sum_1^n (200 + 1,5\tau_i R_i) \alpha_i^0}{57,3s_c}, \quad (90)$$

где  $s_{кр i}$ ,  $R_i$  — длина и радиус данной кривой в пределах спрямляемого элемента, м;  
 $\alpha_i^0$  — центральный угол данной кривой в пределах спрямляемого элемента, град.;  
 $\tau_i$  — значение непогашенного ускорения в кривой, м/с<sup>2</sup>.

Окончательный уклон (крутизна) спрямленного элемента в продольном профиле и плане пути

$$i_c = i_c' + i_c'' \quad (91)$$

**1.4.8. Определение скорости движения и времени хода поезда.**  
В уравнении движения поезда, приведенном к 1 т его массы,

$$\frac{dv}{dt} = \zeta (f_k - w_k) \quad (92)$$

коэффициент  $\zeta$  для поезда в целом при всех эксплуатационных расчетах принимать равным 120.

Скорость движения и время хода поезда определять графическим способом по спрямленному профилю пути, используя диаграммы ускоряющих и замедляющих сил поезда, или с помощью ЭВМ.

На режиме тяги интервалы скорости, в которых ускоряющие силы считаются постоянными, принимать не более 10 км/ч до выхода на автоматическую характеристику силы тяги.

На режиме холостого хода интервалы скорости, в которых замедляющие силы считаются постоянными, принимать не более 10 км/ч. На режиме торможения интервалы скорости, в которых замедляющие силы считаются постоянными, принимать не более 5 км/ч в диапазоне скоростей от 0 до 50 км/ч и не более 10 км/ч в диапазоне скоростей выше 50 км/ч.

Скорости движения поезда определять для двух вариантов: с остановками на всех отдельных пунктах, кроме проходных светофоров при автоблокировке, и без остановок.

При определении скорости движения поезда на расчетном и труднейшем подъемах участка с кривыми малого радиуса для локомотивов, имеющих в этих кривых ограничение по сцеплению, учитывать соответствующее снижение касательной силы тяги.

При трогании и разгоне поезда на подъеме и в пунктах, за которыми расположен трудный подъем, должно обеспечиваться увеличение скорости или движение с установившейся скоростью, соответствующей режимам работы локомотивов, указанным в пункте 1.4.3 (а, б, в); при этом допускается на расстоянии не более 500 м снижение скорости движения не свыше 3 км/ч с последующим ее увеличением, не вызывающим перегрев обмоток тяговых электрических машин локомотива.

Таблица 13. Поправка  $\Delta v$  при разных  $i_k$ 

| Поезда       | $\Delta v$ , км/ч для спусков $i_k$ , ‰ |   |   |    |    |    |    |    |
|--------------|---|---|---|----|----|----|----|----|
|              | 4                                       | 6 | 8 | 10 | 12 | 14 | 16 | 18 |
| Грузовые     | 4                                       | 4 | 4 | 4  | 5  | 6  | 7  | 8  |
| Пассажирские | 2                                       | 2 | 3 | 4  | 6  | 7  | 8  | 9  |

Для максимального использования кинетической энергии поезда скорость к началу подъема должна быть наибольшей, но не превышать при этом конструкционную скорость подвижного состава, допускаемые скорости по тормозам и состоянию пути. При этом учитывать также действующие предупреждения, утвержденные МПС, к разрабатываемым графикам движения поездов.

При наличии предупреждений об ограничении скорости определять ее следует исходя из установленной скорости преследования по всему месту действия предупреждения с учетом длины поезда. При этом расчет производить с использованием режима работы локомотива на частичных характеристиках (промежуточных позициях контроллера). При определении скорости движения поезда на затяжных спусках длиной до 10 км разрешается принимать скорость ниже допустимой по тормозам на  $\Delta v$  в зависимости от спуска. При графическом способе график скорости движения строить в виде горизонтальной линии с учетом этой поправки  $\Delta v$ . Значение  $\Delta v$  в зависимости от спуска принимать по табл. 13. На затяжных спусках длиной более 10 км или крутизной более 18‰ скорость движения определять, используя соответствующие диаграммы замедляющих сил.

На спусках до 4‰ значение  $\Delta v$  принимать равным нулю.

Для электропневматических тормозов в пассажирских поездах  $\Delta v$  принимать одинаковым с пневматическими тормозами на спусках до 6‰, а на более крутых спусках 3 км/ч независимо от крутизны спуска.

Таблица 14. Масштабы для графических расчетов

| Величина                    | Для грузовых и пассажирских поездов |     |     | Для электропоездов |     | Для тормозных и специальных расчетов |     |
|-----------------------------|-------------------------------------|-----|-----|--------------------|-----|--------------------------------------|-----|
|                             | 1                                   | 2   | 3   | 1                  | 2   | 1                                    | 2   |
| Сила, 1 кгс/т — $\kappa$ мм | 12                                  | 6   | 10  | 2                  | 3   | 2                                    | 1   |
| Скорость, 1 км/ч — $m$ мм   | 2                                   | 1   | 2   | 1                  | 1,5 | 2                                    | 1   |
| Путь, 1 км — $у$ мм         | 40                                  | 20  | 48  | 60                 | 90  | 240                                  | 120 |
| Постоянная — $\Delta$ мм    | 30                                  | 30  | 25  | 50                 | 50  | —                                    | —   |
| Время, 1 ч — $X$ мм         | 600                                 | 600 | 600 | —                  | —   | —                                    | —   |
| Время, 1 мин — $x$ мм       | 10                                  | 10  | 10  | 50                 | 50  | —                                    | —   |

При определении скорости движения поезда необходимо учитывать проверки действия тормозов в соответствии с действующей инструкцией по автотормозам машинисту локомотива. Снижение скорости при торможении допускать: 10 км/ч для пассажирских и 20 км/ч для грузовых поездов.

Выдерживать установленную скорость проследования по парковым и приемо-отправочным путям станций, разъездов и обгонных пунктов от места отправления до выходной стрелки с учетом длины поезда.

При ручном обмене жезлов или путевок при проследовании раздельного пункта без остановки скорость снижать до 40 км/ч к моменту прохода локомотивом места обмена. На раздельных пунктах с механическими жезлообменителями скорость должна быть не выше 70 км/ч.

При графических способах определения скорости движения и времени хода поезда применять масштабы по табл. 14.

## 2. ЭЛЕКТРИЧЕСКАЯ ТЯГА

### 2.1. Определение силы тяги

2.1.1. **Тяговые характеристики.** Силу тяги электровозов и моторных вагонов электропоездов в зависимости от скорости определять по прилагаемым к настоящим Правилам тяговым характеристикам (приложение 4, рис. 4.1—4.26).

Для остальных серий электровозов и моторных вагонов силы тяги определять по тяговым характеристикам, построенным для новых бандажей в соответствии с электромеханическими характеристиками тяговых электродвигателей, снятыми при испытании этих двигателей на стенде, или по расчетным характеристикам, гарантируемым заводом-изготовителем. Характеристики электроподвижного состава постоянного тока должны быть построены для напряжения на токоприемнике при тяговом режиме 3000 В, а при рекуперативном — 3300 В.

Тяговые характеристики электроподвижного состава переменного тока должны учитывать внешнюю характеристику устройств, преобразующих энергию на электровозе или моторном вагоне, и должны быть построены для напряжения на токоприемнике 25 000 В при тяге и рекуперации.

2.1.2. **Коэффициент сцепления.** Для электровозов расчетный коэффициент сцепления определять по формулам:

а) электровозы ВЛ10, ВЛ11, ВЛ10<sup>у</sup>, ВЛ82 и ВЛ82<sup>м</sup> при работе на постоянном и переменном токе

$$\psi_k = 0,28 + \frac{3}{50+20v} - 0,0007v; \quad (93)$$

Таблица 15. Конструкционные скорости электровозов и электропоездов

| Серия электровозов и электропоездов  | Передачное число $\mu$ | Тип тягового электродвигателя | Конструкционная скорость, км/ч |
|--|------------------------|-------------------------------|--------------------------------|
| <i>Электровозы</i>   |                        |                               |                                |
| ВЛ8  | 3,905                  | НБ-406                        | 80                             |
| ВЛ8 модернизированный  | 3,905                  | НБ-406                        | 100                            |
| ВЛ10, ВЛ10 <sup>У</sup> , ВЛ11   | 3,83                   | ТЛ2К1                         | 100                            |
| ВЛ22 <sup>М</sup>  | 4,56                   | НБ-411                        | 80                             |
| ВЛ22 <sup>М</sup>  | 4,45                   | ДПЭ-400                       | 75                             |
| ВЛ23   | 3,905                  | НБ-406                        | 100                            |
| ВЛ60 <sup>К</sup> , ВЛ60 <sup>Р</sup>  | 3,826                  | НБ-412К                       | 100                            |
| ВЛ60 <sup>ПК</sup>   | 2,73                   | НБ-412К                       | 100                            |
| ВЛ80 <sup>К</sup> , ВЛ80 <sup>Т</sup> , ВЛ80 <sup>Р</sup> ,<br>ВЛ80 <sup>С</sup> | 4,19                   | НБ-418К                       | 110                            |
| ВЛ82 <sup>М</sup> , ВЛ82   | 3,68                   | НБ-407Б                       | 110                            |
| ЧС2  | 1,75                   | АЛ4846еТ                      | 160                            |
| ЧС3  | 2,27                   | АЛ4846еТ                      | 120                            |
| ЧС2 <sup>Т</sup>   | 1,75                   | АЛ4846дТ                      | 160                            |
| ЧС4, ЧС4 <sup>Т</sup>  | 2,64                   | АЛ4442пР                      | 160                            |
| <i>Электропоезда</i>   |                        |                               |                                |
| С <sub>3</sub> <sup>Р</sup> , С <sup>Р</sup> , С <sup>М</sup>                    | 3,69                   | ДК-103                        | 85                             |
| ЭР9, ЭР9П, ЭР9М  | 3,17                   | РТ-51Д                        | 130                            |
| ЭР1, ЭР2   | 3,17                   | ДК-106Б, УРТ-110              | 130                            |
| ЭР22В  | 3,41                   | 1ДТ.003 1                     | 130                            |
| ЭР22   | 3,41                   | РТ113В                        | 130                            |

б) электровозы ВЛ22<sup>М</sup>, ВЛ23, ВЛ8

$$\psi_k = 0,25 + \frac{8}{100+20v}; \quad (94)$$

в) электровозы переменного тока восьми- и шестиосные ВЛ60, ВЛ60<sup>Р</sup>, ВЛ80<sup>Т</sup>, ВЛ60<sup>ПК</sup>, ВЛ80<sup>К</sup>, ВЛ80<sup>Р</sup>, ВЛ80<sup>С</sup>

$$\psi_k = 0,28 + \frac{4}{50+6v} - 0,0006v; \quad (95)$$

г) коэффициент сцепления при рекуперативном торможении для всех электровозов

$$\psi_p = 0,8\psi_k; \quad (96)$$

д) коэффициент сцепления электровозов ВЛ80<sup>т</sup> и ВЛ80<sup>с</sup> при реостатном торможении

$$\psi_T = 0,09 + \frac{11}{56 + v} - 0,00005v. \quad (97)$$

Если на расчетном и труднейших подъемах имеются кривые малого радиуса (менее 500 м), снижение расчетного коэффициента сцепления учитывать коэффициентом  $K_{кр}$  по формулам:

$$\psi_{кр} = \psi_k K_{кр}, \quad (98)$$

$$K_{кр} = \frac{250 + 1,55R}{500 + 1,1R}. \quad (99)$$

Снижение коэффициента сцепления в тоннелях допускать как исключение и определять его в этом случае опытным путем.

В зимний период при особо неудовлетворительных условиях сцепления (бураны, гололед и др.) в зависимости от особенностей участка расчетный коэффициент сцепления локомотивов уменьшается в соответствии с данными опытных поездок, но не более 15% от значений, полученных по формулам (93)—(97). Период времени, в течение которого действуют уменьшенные нормы расчетного коэффициента сцепления локомотивов, и степень уменьшения коэффициента сцепления локомотивов устанавливаются начальником дороги по согласованию с МПС.

**2.1.3. Конструкционные скорости.** Конструкционные скорости электроподвижного состава принимать по табл. 15.

## 2.2. Расчет массы состава и времени хода по перегонам

**2.2.1. Порядок расчетов при одиночной и кратной тяге.** Массу состава и время хода по перегонам рассчитывать в следующем порядке:

а) определить массу состава в соответствии с пп. 1.4.1 — 1.4.5 или задаться серией электровоза для пассажирского поезда заданного веса или выбрать серию электропоезда;

б) по полученной или заданной массе состава (серии и составности электропоезда) определить скорость движения, время хода поезда, токи электровоза или электропоезда и рассчитать нагревание тяговых электродвигателей (для электровозов), пользуясь характеристиками приложения 4, графическим способом или при помощи ЭВМ;

в) в случае изменения массы состава или режима его ведения электровозом после проверки на нагревание определить новые скорости движения, время хода и токи; вновь проверить нагревание тяговых электродвигателей;

г) при кратной тяге грузовыми электровозами характеристики приложения 4 приводить к числу шести- и восьмиосных локомо-

тивов, работающих в голове  $n_3$  и в хвосте  $m_3$  поезда в режиме тяги по формулам:

$$F_k^M = (n_3 + m_3) F_k; \quad (100)$$

$$I_d^M = I_d K_{I_d}; \quad (101)$$

$$I_3^M = I_3 (n_3 + m_3); \quad (102)$$

$$I_d^M = I_d (n_3 + m_3); \quad (103)$$

$$I_{da}^M = I_{da} (n_3 + m_3). \quad (104)$$

Коэффициент приведения  $K_{I_d}$  при кратности тяги  $n_3$  или  $m_3$ , равной 1,5; 2; 3, принимать соответственно 1,06; 1,04; 1,02. Для трехсекционного двенадцатиосного электровоза  $n_3 = m_3 = 1,5$ . Приведение делать для всех автоматических характеристик, расчетных точек и ограничений по сцеплению.

Величины  $F_k$ ,  $I_d$ ,  $I_3$ ,  $I_d$ ,  $I_{da}$  брать из таблиц соответствующих характеристик приложения 4. Затем все величины пересчитать для условий кратной тяги по формулам (100)—(104). В режиме электрического торможения коэффициент приведения  $K_{I_d}$  принимать равным 1.

**2.2.2. Расчетные скорости и силы тяги.** При расчете массы состава значения расчетной скорости и расчетной силы тяги электровозов принимать по табл. 16.

В кривых малого радиуса, в которых расчетный коэффициент сцепления снижается в соответствии с п. 2.1.2, снижение расчетных сил тяги по табл. 16 для электровозов, имеющих ограничение по сцеплению, учитывать коэффициентом  $K_{кр}$ , сохранив расчетную скорость на расчетном подъеме.

Для пассажирских поездов, а также для ускоренных грузовых и грузо-пассажирских поездов, следующих с пассажирскими электровозами, сила тяги и скорость на расчетном подъеме устанавливаются в соответствии с заданной массой состава таких поездов для равномерного движения.

Для этого на тяговых характеристиках электровоза следует построить зависимость полного сопротивления движению поезда от скорости с учетом основных сопротивлений движению вагонов и электровоза и сопротивлений движению от уклона и кривых. Точка пересечения этой кривой с той тяговой характеристикой, которая дает максимальную возможную скорость в пределах разрешенной на данном уклоне, даст скорость, силу тяги и режим работы электровоза на данном расчетном уклоне для данного поезда.

Для электропоездов массу моторных и прицепных вагонов с пассажирами принимать по табл. 5

**2.2.3. Сила тяги при трогании с места.** Силу тяги электровозов при трогании состава с места принимать по табл. 17.

При трогании с места в кривых малого радиуса, в которых расчетный коэффициент сцепления снижается в соответствии с п. 2.1.2., снижение силы тяги при трогании по табл. 17 для электровозов, имеющих ограничение по сцеплению, учитывать коэффициентом  $K_{кр}$ .

При трогании и разгоне поезда в пунктах, за которыми расположен трудный подъем, и на подъемах проверять выбранную массу состава по увеличению скорости при значениях силы тяги электровозов, нанесенных штриховыми линиями на тяговых характеристиках ниже ограничения силы тяги по сцеплению или по току, по формуле (76), где за  $F_{кр}$  считать значение силы тяги по штриховой кривой. Трогание и разгон рассчитывать по толстым линиям характеристик.

Штриховые линии определяют наименьшие значения силы тяги электровозов в процессе ступенчатого пуска. При проектировании новых железных дорог, электрификации действующих линий и выборе секционности электровозов проверку массы состава по увеличению скорости производить обязательно для трудных, расчетных и скоростных подъемов участка.

2.2.4. Расчет диаграмм ускоряющих и замедляющих сил. При расчете диаграмм ускоряющих сил значение силы тяги электро-

Таблица 16. Расчетные значения силы тяги и скорости электровозов

| Серия электровозов                    | Передач-<br>ное число | Тип тягового<br>электродвига-<br>теля | Режим работы при<br>полном (нормаль-<br>ном) возбуждении<br>тяговых двигателей | Сила тяги<br>$F_{кр}$ , кгс | Скорость $v_p$ ,<br>км/ч |
|---------------------------------------|-----------------------|---------------------------------------|--|-----------------------------|--------------------------|
| ВЛ8                                   | 3,905                 | НБ-406                                | П, ОП1   | 46 500                      | 43,3                     |
| ВЛ10, ВЛ11                            | 3,83                  | ТЛ2К1                                 | П  | 46 000                      | 46,7                     |
| ВЛ10 <sup>У</sup>                     | 3,83                  | ТЛ2К1                                 | П  | 50 200                      | 45,8                     |
| ВЛ22 <sup>М</sup>                     | 4,56                  | НБ-411                                | П  | 34 300                      | 35,5                     |
| ВЛ22 <sup>М</sup>                     | 4,45                  | ДПЭ-400                               | П, ОП1   | 34 300                      | 36,8                     |
| ВЛ23                                  | 3,905                 | НБ-406                                | П, ОП1   | 34 900                      | 43,3                     |
| ВЛ60 <sup>К</sup> , ВЛ60 <sup>Р</sup> | 3,826                 | НБ-412К                               | 29п<br>25п   | 36 800<br>37 600            | 43,5<br>37,0*            |
| ВЛ80 <sup>К</sup>                     | 4,19                  | НБ-418К                               | 29п<br>25п   | 49 000<br>50 000            | 44,2<br>38,0*            |
| ВЛ80 <sup>Г</sup> , ВЛ80 <sup>С</sup> | 4,19                  | НБ-418К                               | 29п<br>25п   | 51 200<br>52 170            | 43,5<br>37,5             |
| ВЛ80 <sup>Р</sup>                     | 4,19                  | НБ-418К                               | 0,5 зоны 4<br>Зона 3   | 51 200<br>52 300            | 43,5<br>37,0*            |
| ВЛ82                                  | 3,38                  | НБ-407Б                               | П  | 47 400                      | 51,0**                   |
| ВЛ82 <sup>М</sup>                     | 3,38                  | НБ-407Б                               | П  | 49 700                      | 50,5**                   |

\* Применяется для эксплуатируемых дорог при необходимости увеличить массу состава и при движении поезда с использованием кинетической энергии.

\*\* Для работы на постоянном и переменном токе.

Таблица 17. Сила тяги электровозов при трогании с места

| Серии электровозов  | Переда-<br>точное<br>число $\mu$ | Тип тягового<br>электродви-<br>гателя | Сила тяги<br>при трогании<br>с места $F_{к тр}$ ,<br>кге | Ограничение   |
|---|----------------------------------|---------------------------------------|--|---------------|
| ВЛ8   | 3,905                            | НБ-406                                | 60 700   | По сцеплению  |
| ВЛ10, ВЛ11  | 3,83                             | ТЛ2К1                                 | 62 600   | То же         |
| ВЛ10 <sup>у</sup>   | 3,83                             | ТЛ2К1                                 | 68 000   | »             |
| ВЛ22 <sup>м</sup>   | 4,56                             | НБ-411                                | 37 800   | По току 435 А |
| ВЛ22 <sup>м</sup>   | 4,45                             | ДПЭ-400                               | 38 600   | То же         |
| ВЛ23  | 3,905                            | НБ-406                                | 45 500   | По сцеплению  |
| ВЛ60 <sup>к</sup> , ВЛ60 <sup>р</sup>                     | 3,826                            | НБ-412К                               | 49 680   | То же         |
| ВЛ80 <sup>к</sup> , ВЛ80 <sup>т</sup> , ВЛ80 <sup>с</sup> | 4,19                             | НБ-418К                               | 66 200   | »             |
| ЗЛ80 <sup>р</sup>   | 4,19                             | НБ-418К                               | 69 080   | »             |
| ВЛ82  | 3,38                             | НБ-407                                | 65 300   | »             |
| ВЛ82 <sup>м</sup>   | 3,38                             | НБ-407                                | 68 020   | »             |

возов принимать по толстым линиям, нанесенным на тяговых характеристиках (см. приложение 4, рис. 4.1—4.26).

Если необходимо учесть ограничение по нагреванию тяговых двигателей, силы тяги принимать по характеристикам более низких позиций ослабления возбуждения и по позициям полного (нормального) возбуждения.

При ограничении скорости движения электровозов силу тяги принимать по характеристикам более низких ступеней регулирования.

Диаграмму замедляющих сил при рекуперации рассчитывать для всех тормозных характеристик в интервале скоростей движения, разрешенных на вредных уклонах. Для остановочного торможения электровозов переменного тока тормозные силы принимать по толстым линиям на тормозных характеристиках (см. приложение 4, рис. 4.27—4.41).

**2.2.5. Определение скорости движения поезда.** При определении скорости движения поезда в местах изменения режима работы локомотивов (изменение соединения тяговых электродвигателей или степени ослабления возбуждения, включение или выключение тока, применение рекуперации энергии, начало и конец торможения, начало и конец пониженного напряжения и т. д.) делать соответствующие отметки на кривой скорости или на выходной информации ЭВМ.

При движении поездов по спускам с электровозами, оборудованными рекуперативным или реостатным торможением, обеспечивать необходимую тормозную силу только за счет электрического торможения без применения пневматических тормозов. Если максимальная сила электрического торможения при установленной скорости на спуске недостаточна, считать, что она дополняется пневматическими тормозами.

При электрическом торможении с головы суммарная тормозная сила не должна превышать значений, приведенных в п. 1.4.6. При применении электрического торможения движение по спускам осуществлять при скорости, меньшей, чем разрешенная по условиям безопасности движения, или по другим ограничениям на  $\Delta v$ , определяемую согласно п. 1.4.8.

**2.2.6. Расчеты при пониженном напряжении в контактной сети.** Тяговые расчеты при пониженном напряжении в контактной сети выполняются каждый раз по специальному разрешению МПС. Значение расчетного пониженного напряжения на токоприемнике определяется для каждого конкретного случая в установленном порядке<sup>1</sup>.

Тяговые характеристики на всех позициях регулирования при пониженном напряжении перестроить на основе тяговых характеристик для нормального расчетного напряжения на токоприемнике, указанного в п. 2.1.1.

Перестраивать тяговую характеристику на данной позиции регулирования по нескольким точкам для нескольких значений силы тяги. При каждом расчете при данной силе тяги определять скорость  $v'$  при пониженном напряжении по формуле

$$v' = v \frac{U'_3}{U_3}, \quad (105)$$

где  $v$  — скорость по тяговой характеристике при нормальном напряжении  $U_3$ , на данной позиции и при этой же силе тяги;

$U'_3$  — расчетное пониженное напряжение на токоприемнике.

Ограничение силы тяги по сцеплению, ограничение по току и режим работы (позиция регулирования) грузовых электровозов на расчетном подъеме и электропоездов принимать те же, что и при нормальном напряжении.

Перестроив тяговые характеристики на пониженное напряжение и нанеся установленные ограничения, определить новые значения силы тяги и скорости электровозов на расчетном подъеме (взамен данных табл. 16).

Силы тяги при трогании с места не меняются (см. табл. 17).

Проверку массы состава по возможности разгона поезда на трудном подъеме за остановочным пунктом производить по указаниям п. 2.2.3. При этом штриховые линии на тяговых характеристиках на пониженное напряжение не перестраивать.

Толстые линии на тяговых характеристиках при пониженном напряжении для расчета диаграмм ускоряющих усилий наносить по аналогии с толстыми линиями на тяговых характеристиках нормального напряжения.

Тормозные и токовые характеристики рекуперативного торможения при пониженном напряжении принимать при нормальном напряжении. Диаграммы замедляющих усилий при рекуперативном торможении рассчитывать по указаниям п. 2.2.4.

<sup>1</sup> При расчетах электроснабжения.

Токовые характеристики тяговых двигателей электровозов и электропоездов переменного тока в тяговом режиме работы на всех позициях регулирования при пониженном напряжении строить на основе токовых характеристик для нормального напряжения. Перестраивать следующие токовые характеристики:

- $I_3$  — электровоза и моторного вагона постоянного тока;
- $I_d$  — тягового электродвигателя электровоза переменного тока;
- $I_d$  — приведенное значение выпрямленного тока электровоза и моторного вагона переменного тока;
- $I_{da}$  — действующее значение активного тока электровоза и моторного вагона переменного тока.

Перестраивать любую токовую характеристику на данной позиции регулирования следует для нескольких значений тока. При каждом расчете, производимом для данного тока, определять скорость  $v'$  при пониженном напряжении  $U'_3$  по формуле (105), где в данном случае  $v$  — скорость по токовой характеристике при напряжении  $U_3$  на данной позиции и при том же токе. Кривую ограничения тока по сцеплению и по нагрузке электрооборудования подвижного состава пересчитывать на пониженное напряжение, учитывая изменение скорости также по формуле (105).

### 2.3. Проверка тяговых электродвигателей на нагревание

**2.3.1. Основные положения.** Все расчеты на нагревание тяговых электродвигателей как при номинальном напряжении контактной сети, так и при напряжении, отличающемся от номинального, производятся путем определения превышения температуры лимитирующих обмоток над температурой наружного воздуха. При кратной тяге проверяется нагревание тяговых двигателей наиболее нагруженного электровоза.

Наибольшее допускаемое превышение температуры обмотки над температурой окружающего воздуха при его максимальной температуре  $\leq 40^\circ\text{C}$  определять по табл. 18.

Если  $t_{\text{ивмакс}} > 40^\circ\text{C}$ , то допускаемые превышения температур уменьшать на столько же градусов. Максимальную температуру наружного воздуха  $t_{\text{ивмакс}}$  принимать по данным метеорологических станций как среднюю многолетнюю (не менее 5 лет).

Нагревание проверяется для летнего и зимнего периодов.

**2.3.2. Начальные данные.** Расчетную температуру наружного воздуха принимать по данным метеорологических станций как среднюю многолетнюю (не менее 5 лет) по замерам в 7, 13 и 19 ч по местному времени и рассчитывать по формуле

$$t_{\text{ив}} = \frac{t_7 + 2t_{13} + t_{19}}{4} . \quad (106)$$

Расчетную температуру определять отдельно для летнего периода по замерам в июне, июле и августе, но не ниже  $+15^\circ\text{C}$  и для

Таблица 18. Допускаемые превышения температур обмоток тяговых электродвигателей  $\tau_{\text{доп}}$  в °С по ГОСТ 2582—81\* Е

| Обмотки | $\tau_{\text{доп}}$ , °С, для класса изоляции |       |       |
|---------|---|-------|-------|
|         | В   | Р     | Н     |
| Якоря   | 120*1   | 140   | 160*2 |
| Полюсов | 130*3   | 155*4 | 180   |

\*1 Электровозы ВЛ22<sup>М</sup>, ВЛ23, ВЛ8, ВЛ80<sup>К</sup>, ВЛ80<sup>Г</sup>, ВЛ80<sup>С</sup>, ВЛ80<sup>Р</sup>, ВЛ60<sup>К</sup>, ВЛ60<sup>ПК</sup>, ВЛ60<sup>Р</sup>, ЧС2, ЧС2<sup>Г</sup>, ЧС3;

\*2 Электровозы ЧС4, ЧС4<sup>Г</sup>;

\*3 Электровозы ВЛ10, ВЛ11, ВЛ10<sup>У</sup>;

\*4 Электровозы ВЛ82<sup>М</sup>, ВЛ82.

зимнего периода — по замерам в декабре, январе и феврале, но не ниже 0°С.

При отправлении электровоза со станции после длительной стоянки (свыше 2 ч) начальный перегрев тяговых электродвигателей принимать  $\tau = +15^\circ\text{С}$ . Если продолжительность стоянки равна или меньше 2 ч, перегрев определять по предыдущему рейсу как перегрев в момент прибытия, учитывая его снижение за время стоянки расчетом по кривой охлаждения. При включенных мотор-вентиляторах принимать рекомендованные значения постоянных времени нагревания (см. приложение 4, рис. 4.124—4.131); при выключенных мотор-вентиляторах постоянные времени нагревания принимать втрое больше, чем рекомендованные для номинального тока двигателей.

2.3.3. **Определение токов электровоза или электропоезда.** На участках постоянного тока ток электровоза или моторного вагона электропоезда определять на основании зависимости изменения скорости движения поезда по перегону  $v = v(s)$  с использованием токовых характеристик тяговых двигателей в тяговом и рекуперативном режимах (см. приложение 4, рис. 4.42—4.58; 4.85—4.90) для всех применяемых позиций регулирования. В случае электровозов переменного тока для проверки нагревания определять ток тягового электродвигателя  $I_d$  по токовым характеристикам тяговых двигателей (см. приложение 4, рис. 4.59—4.66; 4.91—4.97).

Таблица 19. Коэффициент  $K_{\text{НВ}}$  в зависимости от расчетной температуры воздуха

| Обмотки | Значения $K_{\text{НВ}}$ при температуре, °С |      |      |      |      |    |      |      |
|---------|--|------|------|------|------|----|------|------|
|         | 0  | 5    | 10   | 15   | 20   | 25 | 30   | 35   |
| Полюсов | 0,9  | 0,92 | 0,94 | 0,96 | 0,98 | 1  | 1,02 | 1,04 |
| Якоря   | 0,94   | 0,95 | 0,96 | 0,98 | 0,99 | 1  | 1,01 | 1,02 |

В расчетах по проверке нагревания при кратной тяге постоянного и переменного тока ток тягового электродвигателя наиболее нагруженного электровоза  $I_d^m$  определять по указаниям п. 2.2.1.

Для расчета расхода электрической энергии электровоза и моторного вагона переменного тока определять действующее значение активного тока  $I_{da}$  по токовым характеристикам (см. приложение 4, рис. 4.76—4.84; 4.102—4.103).

При проектировании участков на переменном токе для расчетов системы энергоснабжения, кроме того, определять приведенное значение выпрямленного тока  $I_d$  электровоза или моторного вагона по токовым характеристикам (см. приложение 4, рис. 4.67—4.75, 4.100, 4.101). С целью учета влияния на системы энергоснабжения вспомогательных машин полученные значения токов увеличивать независимо от напряжения на токоприемнике в соответствии с данными пп. 2.4.3 и 2.4.4.

**2.3.4. Определение превышения температуры тяговых электродвигателей.** Перегрев обмоток тяговых электродвигателей определять, руководствуясь изменением тока  $I=I(s)$ , по формуле

$$\tau = \tau_{\infty} \frac{\Delta t}{T} + \tau_0 \left(1 - \frac{\Delta t}{T}\right). \quad (107)$$

Остывание тяговых электродвигателей (при езде без тока) рассчитывать по формуле

$$\tau = \tau_0 \left(1 - \frac{\Delta t}{T}\right). \quad (108)$$

При этом интервалы времени  $\Delta t$  выбирать при условии  $\Delta t/T \leq 0,1$ . Значение тепловых параметров  $\tau_{\infty}$  и  $T$  в зависимости от тока приведены в приложении 4 (см. рис. 4.124—4.131).

Наибольшее значение превышения температуры  $\tau$ , полученное при тяговом расчете, привести к расчетной температуре наружного воздуха с учетом устройств снегозащиты по формуле

$$\tau_p = \tau K_{сз} K_{нв}, \quad (109)$$

где  $K_{сз}$  — коэффициент, учитывающий снегозащиту;  $K_{сз}=1,1$  — для зимних условий;  $K_{сз}=1$  — для летних;

$K_{нв}$  — коэффициент приведения превышения температуры обмоток тяговых электрических машин к расчетной температуре окружающего воздуха (табл. 19).

При напряжении, отличном от номинального, расчет нагревания ведется так же, как при номинальном.

## 2.4. Определение расхода и рекуперации электрической энергии

**2.4.1. Расход электрической энергии электровозами и моторными вагонами (отнесенный к токоприемнику электроподвижного состава).** Полный расход электроэнергии электровозами или мотор-

ными вагонами электропоездов определять суммированием расхода энергии на:

- а) движение с поездом или резервом по участку как при расчетной, так и при частичных характеристиках;
- б) собственные нужды;
- в) отопление пассажирских и почтово-багажных вагонов;
- г) движение по деповским путям.

Движение по перегону может сопровождаться также возвратом энергии в сеть при рекуперации.

**2.4.2. Расход электроэнергии на движение по участку в режиме тяги.** Расход электроэнергии на движение поездов и резервных электровазов постоянного тока по участку как при номинальном, так и при пониженном напряжении на токоприемнике определять на основе соответствующих зависимостей тока и времени хода от пути по перегонам, суммируя расход электроэнергии по отдельным элементам времени (шагам интегрирования) по формуле

$$A = \frac{\sum U_3 I_{3\text{ср}} \Delta t}{60 \cdot 1000}, \quad (110)$$

где  $\Delta t$  — время, мин;

$I_{3\text{ср}}$  — средний ток электроваза за время  $\Delta t$ ;

$U_3$  — фактическое напряжение на токоприемнике в этом интервале времени, равное нормальному либо пониженному ( $U_3'$ ).

При тяговом расчете без учета колебаний напряжения  $U_3 = 3000$  В.

Расход электроэнергии на движение поездов и резервных электровазов переменного тока определять по формуле

$$A = \frac{\sum U_3 K_v I_{d\text{аср}} \Delta t}{60 \cdot 1000}, \quad (111)$$

где  $I_{d\text{аср}}$  — действующее значение активного тока, среднее за время  $\Delta t$ ;

$U_3$  — фактическое напряжение на токоприемнике, среднее за полупериод в этом интервале времени;

$K_v$  — коэффициент формы кривой напряжения на данном  $U_3$ , получаемом из кривой (см. приложение 4, рис. 4.132).

При тяговом расчете без учета колебаний напряжения  $U_3 K_v = 25000$  В.

**2.4.3. Расход электроэнергии на собственные нужды электровазов.** Расход электроэнергии на вспомогательные машины, отопление и освещение определять исходя из средней потребляемой для этих целей электроэнергии и полного времени работы электровазов.

За полное время работы электровазов принимать суммарное время движения и стоянок под напряжением на участке. При этом среднее значение потребляемой электроэнергии вспомогательных цепей одного электроваза принимать в соответствии с табл. 20.

Расход электроэнергии на отопление учитывать дополнительно исходя из полного времени работы электровазов в отопительном

**Таблица 20. Среднее значение электроэнергии и тока, потребляемых вспомогательными машинами электровозов**

| Серия электровоза                       | Электроэнергия, кВт·ч/мин | Ток, А | Серия электровоза        | Электроэнергия, кВт·ч/мин | Ток, А |
|---|---------------------------|--------|--------------------------|---------------------------|--------|
| ВЛ8                                     | 1,67                      | 33     | ВЛ80 <sup>Р</sup>        | 5,83                      | 18     |
| ВЛ10, ВЛ10 <sup>У</sup> , ВЛ11          | 2,08                      | 42     | ВЛ82 <sup>М</sup> , ВЛ82 | 4,17                      | 12     |
| ВЛ22 <sup>М</sup>                       | 0,83                      | 17     | ЧС2                      | 1,17                      | 23     |
| ВЛ23                                    | 1,25                      | 25     | ЧС2 <sup>Т</sup>         | 1,33                      | 27     |
| ВЛ60 <sup>К</sup> , ВЛ60 <sup>Р</sup> , | 3,33                      | 10     | ЧС3                      | 0,83                      | 17     |
| ВЛ60 <sup>ПК</sup>                      |                           |        | ЧС4                      | 2,00                      | 6      |
| ВЛ80 <sup>К</sup>                       | 4,83                      | 14     | ЧС4 <sup>Т</sup>         | 2,33                      | 7      |
| ВЛ80 <sup>Т</sup> , ВЛ80 <sup>С</sup>   | 5,50                      | 16     |                          |                           |        |

сезоне и средней рекомендуемой электроэнергии 0,07—0,14 кВт×ч/мин на один электровоз. Расход электроэнергии на собственные нужды электровозов считать не зависящим от напряжения.

**2.4.4. Расход электроэнергии на собственные нужды электропоездов, пассажирских и почтово-багажных вагонов.** Расход электроэнергии на вспомогательные машины электропоездов определять исходя из полного времени их работы и потребляемой электроэнергии (табл. 21). Расход электроэнергии на собственные нужды и

**Таблица 21. Электроэнергия и ток, потребляемые вспомогательными машинами, отоплением и освещением электропоездов и почтово-багажных вагонов**

| Состав электропоезда  | Вспомогательные машины    |                | Отопление                 |        | Освещение                 |        |
|---|---------------------------|----------------|---------------------------|--------|---------------------------|--------|
|   | Электроэнергия, кВт·ч/мин | Средний ток, А | Электроэнергия, кВт·ч/мин | Ток, А | Электроэнергия, кВт·ч/мин | Ток, А |
| С <sub>3</sub> <sup>Р</sup> , С <sup>Р</sup> , С <sup>М</sup> — 3-вагонная секция | 0,08                      | 2              | 0,90                      | 18     | 0,04                      | 1      |
| ЭР1, ЭР2 — 10-вагонный поезд  | 0,58                      | 12             | 2,92                      | 58     | 0,30                      | 6      |
| ЭР9, ЭР9И, ЭР9М — 10-вагонный поезд   | 1,08                      | 3              | 2,92                      | 7      | 0,30                      | 1      |
| ЭР22В, ЭР22 — 8-вагонный поезд  | 1,25                      | 25             | 3,20                      | 64     | 0,37                      | 9      |
| Пассажирские вагоны   | —                         | —              | 0,80                      | 16/2*  | —                         | —      |
| Почтово-багажные вагоны   | —                         | —              | 0,40                      | 8/1*   | —                         | —      |

\* В числителе — при напряжении 3000 В, в знаменателе — 25 000 В

отопление электропоездов пассажирских и почтово-багажных вагонов считать не зависящим от напряжения.

**2.4.5. Расход электроэнергии на станционных путях и при маневровой работе.** При предварительных ориентировочных расчетах расход электроэнергии:

1. На движение по станционным путям принимать по числу электровозов и электропоездов, выдаваемых из депо в течение суток, считая:

а) на каждый электровоз ВЛ22<sup>м</sup>, ВЛ23, ЧС3, а также на трехвагонную секцию электропоездов С<sup>м</sup>, С<sup>р</sup>, С<sup>з</sup> по 10—15 кВт·ч;

б) на электропоезда ЭР1, ЭР2, ЭР9, ЭР9П, ЭР9М, ЭР22В, ЭР22 по 30—50 кВт·ч;

в) на электровозы ВЛ8, ЧС2, ЧС2<sup>т</sup>, ВЛ10, ВЛ10<sup>у</sup> по 20—30 кВт·ч;

г) на электровозы ВЛ60<sup>к</sup>, ВЛ60<sup>р</sup>, ВЛ60<sup>пк</sup>, ВЛ11 (2 секции), ЧС4, ЧС4<sup>т</sup> по 30—45 кВт·ч;

д) на электровозы ВЛ80<sup>к</sup>, ВЛ80<sup>т</sup>, ВЛ80<sup>с</sup>, ВЛ80<sup>р</sup>, ВЛ82 и ВЛ82<sup>м</sup> по 45—60 кВт·ч.

2. При маневровой работе в депо исходя из следующей ежесуточной затраты на каждый инвентарный электровоз или электропоезд:

а) электровозы ВЛ22<sup>м</sup>, ВЛ23, ВЛ8, ВЛ10, ВЛ10<sup>у</sup>, ВЛ11, ЧС2, ЧС4<sup>т</sup>, ЧС2<sup>т</sup>, ЧС3, ЧС4, одна секция С<sup>м</sup>, С<sup>р</sup>, С<sup>з</sup> по 5—10 кВт·ч;

б) электровозы ВЛ60<sup>к</sup>, ВЛ60<sup>р</sup>, ВЛ60<sup>пк</sup>, ВЛ80<sup>к</sup>, ВЛ80<sup>т</sup>, ВЛ80<sup>р</sup>, ВЛ80<sup>с</sup>, ВЛ82<sup>м</sup>, ВЛ82, электропоезда ЭР1, ЭР2, ЭР9, ЭР9П, ЭР9М, ЭР22В, ЭР22 по 15—30 кВт·ч.

3. При маневровой работе электровозов с вагонами на станциях из расчета затраты на 1 ч маневровой работы:

а) для электровозов постоянного тока — 100 кВт·ч;

б) для электровозов переменного тока — 200 кВт·ч.

Расход электроэнергии в депо и на станционных путях при маневровой работе считать не зависящим от напряжения. Установление норм расхода электроэнергии производить с учетом местных условий.

**2.4.6. Рекуперация электроэнергии.** Количество рекупируемой электроэнергии определять методом, указанным в п. 2.4.2, по кривым, приведенным в приложении 4 (см. рис. 4.85—4.90, 4.98, 4.99, 4.102, 4.103), принимая (в соответствии с п. 2.1.1), что напряжение в сети тяги постоянного тока 3300 В, переменного тока 25 000 В.

**2.4.7. Удельный расход электроэнергии.** Удельный расход электроэнергии определять по формуле

$$a = \frac{\sum A \cdot 1000}{(P + Q) L} \quad (112)$$

причем  $A$  в режиме рекуперации считать отрицательной величиной.

### 3. ТЕПЛОВОЗНАЯ ТЯГА

#### 3.1. Определение силы тяги

3.1.1. **Тяговые характеристики.** Силу тяги основных серий тепловозов и дизель-поездов в зависимости от скорости принимать по прилагаемому к настоящим Правилам тяговым характеристикам (см. приложение 5, рис. 5.1—5.21).

3.1.2. **Коэффициент сцепления.** Расчетный коэффициент сцепления определять по формулам:

Таблица 22. Основные данные тепловозов и дизель-поездов

| Серия тепло-<br>возов и ди-<br>зель-поездов | Конструкци-<br>онная скорость<br>$v$ , км/ч | Сцепной вес<br>$P_{сч}$ , тс | Расчетная<br>масса, т | Тип тягового<br>электровоза-<br>тедя | Передающее<br>отношение $\mu$ | Коэффициент<br>ослабления<br>возбуждения,<br>% | Длительная<br>или расчетная<br>скорость $v_{\infty}$ ,<br>км/ч | Длительная<br>или расчетная<br>сила тяги<br>$F_{\infty}$ , кгс | Длительный<br>ток $I_{\infty}$ , А |                |
|---|---|------------------------------|-----------------------|--------------------------------------|-------------------------------|--|--|--|------------------------------------|----------------|
|   |   |                              |                       |                                      |                               |  |  |  | гене-<br>ратора                    | двигат-<br>еля |
| ВМЭ1  | 80  | 74                           | 75                    | ТС3244/14                            | 4,81                          | 60   | 10,7   | 9 900  | 1400                               | 815            |
| ТГМЗА                                       | 70  | 67                           | 68                    | —                                    | 4,25                          | —  | 8,5  | 12 000   | —                                  | —              |
| ЧМЭ2  | 60  | 71                           | 72                    | ТЕ-004                               | 5,50                          | 45   | 12,5   | 12 600   | 1130                               | 500            |
| ТЭ1   | 95  | 119                          | 121                   | ДК-304Б                              | 4,69                          | 35   | 12,0   | 16 000   | 1250                               | 725            |
| ТЭМ1  | 90  | 118                          | 120                   | ЭДТ-200Б                             | 4,41                          | 42   | 9,0  | 20 000   | 1200                               | 820            |
| ТЭМ2  | 100   | 118                          | 120                   | ЭД-107                               | 4,53                          | 48,25  | 11,0   | 21 000   | 1210                               | 605            |
| ЧМЭ3  | 95  | 121                          | 123                   | ТЕ-006                               | 5,07                          | (35—45);<br>20                                 | 11,4   | 23 000   | 2350                               | 750            |
| ТЭ2   | 95  | 167                          | 170                   | ДК-304Б                              | 4,69                          | 42   | 17,0   | 21 800   | 1200                               | 725            |
| ТЭ3   | 100   | 250                          | 254                   | ЭДТ-200Б                             | 4,41                          | 48; 25   | 20,5   | 40 400   | 2460                               | 820            |
| М62   | 100   | 119                          | 120                   | ЭД107;<br>ЭД107А                     | 4,53                          | 60; 36   | 20,0   | 20 000   | 3570                               | 720            |
| 2М62  | 100   | 238                          | 240                   | ЭД107А;<br>ЭД107                     | 4,53                          | 60; 36   | 20,0   | 40 000   | 3570                               | 720            |
| ТЭ10  | 100   | 127                          | 129                   | ЭД107;<br>ЭД107А                     | 4,41                          | 60; 36   | 23,4   | 25 300   | 4320                               | 720            |
| 2ТЭ10Л                                      | 100   | 255                          | 260                   | ЭД107А;<br>ЭД107                     | 4,41                          | 60; 36   | 23,4   | 50 600   | 4320                               | 720            |
| 2ТЭ10В,<br>2ТЭ10М                           | 100   | 271                          | 276                   | ЭД118А                               | 4,41                          | (57—63);<br>(35—39)                            | 23,4   | 50 600   | 4320                               | 720            |
| 3ТЭ10М                                      | 100   | 406                          | 414                   | ЭД118А                               | 4,41                          | (57—63);<br>(35—39)                            | 23,4   | 75 900   | 4320                               | 720            |
| 2ТЭ116                                      | 100   | 271                          | 276                   | ЭД118А                               | 4,41                          | (57—63);<br>(35—39)                            | 24,2   | 50 600   | 5700*                              | 720            |
| ТЭ7   | 140   | 250                          | 254                   | ЭДТ-200Б                             | 2,54                          | 48; 25   | 35,5   | 23 300   | 2460                               | 820            |
| ТЭП10                                       | 140   | 127                          | 129                   | ЭД-107                               | 3,15                          | 60; 36   | 35,0   | 17 800   | 4320                               | 730            |
| ТЭП60                                       | 160   | 127                          | 129                   | ЭД-108                               | 2,32                          | 60; 36   | 47,0   | 12 700   | 4200                               | 700            |
| 2ТЭП60                                      | 160   | 254                          | 258                   | ЭД-108                               | 2,32                          | 60; 36   | 47,0   | 25 400   | 4200                               | 700            |
| ТЭП70                                       | 160   | 129                          | 131                   | ЭД-119                               | 3,12                          | 62; 38   | 48,3   | 17 000   | 5400*                              | 900            |
| ДР1   | 120   | 70,3                         | 318                   | —                                    | 2,58                          | —  | —  | —  | —                                  | —              |
| Д1  | 120   | 66                           | 250                   | —                                    | 1,77                          | —  | —  | —  | —                                  | —              |
| Д   | 120   | 64                           | 185                   | —                                    | 1,885                         | —  | —  | —  | —                                  | —              |

\* По выпрямительной установке.

а) для тепловозов ТЭ10 и 2ТЭ10Л

$$\psi_k = 0,118 + \frac{4}{22 + v}; \quad (113)$$

б) для остальных тепловозов, указанных в п. 3.2.2,

$$\psi_k = 0,118 + \frac{5}{27,5 + v}. \quad (114)$$

В зимний период при особо неудовлетворительных условиях сцепления (бураны, гололед и др.) в зависимости от особенностей участка расчетный коэффициент сцепления локомотивов уменьшается в соответствии с данными опытных поездов, но не более 15% от значений по формулам (113), (114). Период времени, в течение которого действуют уменьшенные нормы расчетного коэффициента сцепления локомотивов, и мера уменьшения коэффициента сцепления устанавливаются начальником дороги по согласованию с МПС. Снижение значения расчетного коэффициента сцепления при движении в тоннелях допускается на основании данных опытных поездов.

При наличии на расчетном и труднейших подъемах кривых малого радиуса (менее 800 м) расчетный коэффициент сцепления тепловозов определять по формулам:

$$\psi_{кр} = \psi_k K_{кр}; \quad (115)$$

$$K_{кр} = \frac{3,5R}{400 + 3R}. \quad (116)$$

### 3.1.3. Конструкционные скорости тепловозов и дизель-поездов.

Конструкционные скорости тепловозов и дизель-поездов принимать по табл. 22.

## 3.2. Расчет массы состава и времени хода по перегонам

3.2.1. **Порядок расчета.** Массу состава и время хода по перегонам рассчитывать в следующем порядке:

- а) определить массу состава в соответствии с пп. 1.4.1 — 1.4.5;
- б) определить скорость движения, время хода поезда и токи генератора или тяговых электродвигателей по полученной или заданной массе состава;
- в) произвести расчет нагревания генераторов или тяговых электродвигателей в случаях, предусмотренных в пп. 1.4.3 и 3.3.1;
- г) определить новые скорости, время хода и токи при изменении массы состава.

3.2.2. **Расчетные скорости и силы тяги.** При расчете массы состава грузовых поездов значения расчетной скорости и расчетной силы тяги тепловозов принимать по табл. 23.

В тех случаях, когда для линий и участков, обслуживаемых тепловозами ТЭЗ, необходимо увеличение провозной способности, разрешается принимать расчетную скорость  $v_p = 19$  км/ч и соответственно силу тяги  $F_{кр} = 43\,200$  кгс с последующей проверкой генератора на нагревание.

Таблица 23. Расчетные сила тяги и скорость грузовых тепловозов

| Тепловозы | Сила тяги $F_{кр}$ , кгс | Скорость $v_p$ , км/ч | Тепловозы | Сила тяги $F_{кр}$ , кгс | Скорость $v_p$ , км/ч |
|-----------|--------------------------|-----------------------|-----------|--------------------------|-----------------------|
| ТЭ2       | 21 800                   | 17,0                  | 2ТЭ10Л    | 50 600                   | 23,4                  |
| ТЭ3       | 40 400                   | 20,5                  | 2ТЭ10В,   | 50 600                   | 23,4                  |
| М62       | 20 000                   | 20,0                  | 2ТЭ10М    |                          |                       |
| 2М62      | 40 000                   | 20,0                  | 2ТЭ116    | 50 600                   | 24,2                  |
| ТЭ10      | 25 300                   | 23,4                  | 3ТЭ10М    | 75 900                   | 23,4                  |

Если на расчетных и скоростных подъемах имеются кривые малого радиуса, в которых расчетная сила тяги тепловоза  $F_{кр}$ , указанная в табл. 23, имеет ограничение по сцеплению, т. е.  $F_{кр} > F_{к\text{сц}}$ , то при расчете массы состава согласно пп. 1.4.2 и 1.4.3 за расчетную силу тяги принимать силу тяги по сцеплению ( $F_{к\text{сц}}$ ), определенную при расчетной скорости  $v_p$ .

При определении скорости движения и времени хода поезда в этих случаях разрешается использовать частичные характеристики тепловоза, принимая значение равномерной или выходной скорости по точке пересечения ограничения силы тяги по сцеплению с ближайшей частичной характеристикой, обеспечивающей реализацию силы тяги по сцеплению, определенную при расчетной скорости  $v_p$ , указанной в табл. 23.

Значение силы тяги по сцеплению при расчете веса состава определять по формуле

$$F_{к\text{сц}} = 1000 \psi_{к\text{кр}} P_{сц}. \quad (117)$$

Для пассажирских поездов, а также ускоренных грузовых и грузо-пассажирских поездов, обслуживаемых пассажирскими тепловозами, скорости на расчетных подъемах определять в соответствии с заданной массой составов этих поездов, установленной МПС.

Масса состава для маневровых тепловозов ВМЭ1, ТГМ3А, ЧМЭ2, ТЭ1, ТЭМ1, ТЭМ2 и ЧМЭ3 при работе на магистральных линиях определяется из условия обеспечения скорости движения на труднейших участках профиля пути, гарантирующей соблюдение графика движения поездов. Минимальные установившиеся скорости движения на этих участках при полном использовании мощности силовых установок тепловозов не должны быть ниже значений длительных скоростей, приведенных в табл. 22.

**3.2.3. Сила тяги при трогании с места.** Силу тяги тепловозов при трогании с места принимать по табл. 24.

При проверке массы состава по троганию с места на участках, расположенных в кривых малого радиуса, снижение силы тяги тепловозов, ограниченной сцеплением колес с рельсами, учитывать коэффициентом  $K_{кр}$ , приведенным в п. 3.1.2.

**3.2.4. Расчет диаграмм ускоряющих сил поезда.** При расчете диаграмм ускоряющих сил силу тяги тепловозов определять по

Таблица 24. Сила тяги тепловозов при трогании с места

| Серия тепловозов | Сила тяги $F_k$ тр, кгс |  | Ограничение       | Серия тепловозов | Сила тяги $F_k$ тр, кгс |  | Ограничение       |
|------------------|-------------------------|--|-------------------|------------------|-------------------------|--|-------------------|
|                  |                         |  |                   |                  |                         |  |                   |
| ВМЭ1             | 18 500                  |  | По пусковому току | 2М62             | 71 400                  |  | По сцеплению      |
| ТГМЗА            | 22 400                  |  | По сцеплению      | ТЭ10             | 38 200                  |  | То же             |
| ЧМЭ2             | 17 400                  |  | По пусковому току | 2ТЭ10Л           | 76 500                  |  | »                 |
| ТЭ1              | 35 700                  |  | По сцеплению      | 2ТЭ10В,          | 81 300                  |  | »                 |
| ТЭМ1             | 35 400                  |  | То же             | 2ТЭ10М,          |                         |  |                   |
| ТЭМ2             | 35 400                  |  | »                 | 2ТЭ116           |                         |  |                   |
| ЧМЭ3             | 36 300                  |  | »                 | 3ТЭ10М           | 96 000                  |  | По автосцепке     |
| ТЭ2              | 50 100                  |  | »                 | ТЭ7              | 33 500                  |  | По пусковому току |
| ТЭ3              | 58 200                  |  | По пусковому току | ТЭП10            | 34 000                  |  | То же             |
| М62              | 35 700                  |  | По сцеплению      | ТЭП60            | 20 500                  |  | »                 |
|                  |                         |  |                   | ТЭП70            | 29 400                  |  | »                 |

толстым линиям, нанесенным на тяговые характеристики (см. приложение 5, рис. 5.1—5.21).

В зонах переходов с одного режима работы на другой расчетные значения силы тяги при расчете диаграмм ускоряющих сил принимать как средние между значениями силы тяги при обоих режимах.

**3.2.5. Учет изменения силы тяги в зависимости от атмосферных условий.** Расчетные значения силы тяги при атмосферных условиях, отличающихся от стандартных (стандартные условия  $t_{нв} = 20^\circ\text{C}$ ,  $H_{бар} = 1013 \text{ гПа} = 760 \text{ мм рт. ст.}$ ), определять по формуле

$$F_k = F_{к0} (1 - k_t - k_p), \quad (118)$$

где  $F_{к0}$  — сила тяги при стандартных атмосферных условиях (см. приложение 5, рис. 5.1—5.21);

$k_t$  — коэффициент, учитывающий снижение мощности дизеля от изменения температуры наружного воздуха;

$k_p$  — коэффициент, учитывающий снижение мощности дизеля от изменения атмосферного давления.

Коэффициенты  $k_t$  и  $k_p$  определять по табл. 25 и 26.

Расчетные атмосферные условия для летнего и зимнего периодов устанавливает для каждого участка управление дороги на основе метеорологических данных.

### 3.3. Проверка тягового генератора и тяговых электродвигателей на нагревание

**3.3.1. Основные положения.** Проверку электрических машин тепловозов на нагревание делать в том случае, если вводится ограничение скорости движения на труднейших подъемах ниже расчетных или предусмотрено снижение скорости движения поезда менее скорости продолжительного режима. Расчет проводится для летнего и зимнего периодов.

Таблица 25. Значения коэффициента  $k_t$  в зависимости от температуры наружного воздуха

| Тип дизеля  | Тепловозы  | $k_t$ при $t_{нв}$ , °С |       |       |
|---|--|-------------------------|-------|-------|
|   |  | ≤ 20                    | 30    | 40    |
| 2Д100<br>10Д100, 11Д45, Д50                       | ТЭ3, ТЭ7   | 0                       | 0,045 | 0,090 |
|   | ТЭ1, ТЭ2, ТЭ10, 2ТЭ10Л,<br>2ТЭ10В, 3ТЭ10М, ТЭП10,<br>ТЭП60, 2ТЭП60, 2ТЭ10М | 0                       | 0,05  | 0,10  |
| 2Д50<br>М753<br>1А-5Д49, 2Д70<br>2А-5Д49<br>14Д40 | ТЭМ1   | 0                       | 0,03  | 0,06  |
|   | ТГМЗА  | 0                       | 0,017 | 0,034 |
|   | 2ТЭ116   | 0                       | 0,04  | 0,08  |
|   | ТЭП70  | 0                       | 0,045 | 0,09  |
|   | М62, 2М62  | 0                       | 0,055 | 0,11  |

Таблица 26. Коэффициент  $k_p$  в зависимости от атмосферного давления

| Тип дизеля                                | Тепловозы  | $k_p$ при $H_{бар}$ , гПа (мм рт. ст.) |              |              |              |               |
|---|--|--|--------------|--------------|--------------|---------------|
|   |  | 904<br>(680)                           | 933<br>(700) | 960<br>(720) | 987<br>(740) | 1013<br>(760) |
| 2Д100<br>10Д100, 11Д45,<br>Д50, 14Д40     | ТЭ3, ТЭ7   | 0,105                                  | 0,078        | 0,051        | 0,025        | 0             |
|   | ТЭ1, ТЭ2, М62, 2М62,<br>ТЭ10, 2ТЭ10Л, 2ТЭ10В,<br>3ТЭ10М, ТЭП10, ТЭП60,<br>2ТЭП60, 2ТЭ10М | 0,115                                  | 0,086        | 0,057        | 0,028        | 0             |
| 2Д50<br>М753<br>1А-5Д49, 2Д70,<br>2А-5Д49 | ТЭМ1   | 0,061                                  | 0,046        | 0,03         | 0,015        | 0             |
|   | ТГМЗА  | 0,045                                  | 0,034        | 0,022        | 0,011        | 0             |
|   | 2ТЭ116, ТЭП70  | 0,088                                  | 0,066        | 0,044        | 0,022        | 0             |
|   |  |  |              |              |              |               |

Все расчеты на нагревание генератора и тяговых электродвигателей производить путем определения превышения температуры обмоток якоря над температурой охлаждающего воздуха.

У тепловозов ТЭ1, ТЭМ1, ТЭ2, ТЭ3 и ТЭ7 на нагревание проверять тяговый генератор, у остальных тепловозов — тяговые электродвигатели. Для тягового генератора тепловоза ТЭ2 температуру охлаждающего воздуха принимать в зависимости от температуры наружного воздуха:

|                |    |    |    |    |    |    |    |
|----------------|----|----|----|----|----|----|----|
| $t_{нв}$ , °С  | 15 | 20 | 25 | 30 | 35 | 40 | 45 |
| $t_{ген}$ , °С | 20 | 29 | 35 | 42 | 48 | 55 | 63 |

Для тяговых генераторов тепловозов остальных серий температуру охлаждающего воздуха принимать равной температуре наружного воздуха

Наибольшее допускаемое превышение температуры обмоток над температурой окружающего воздуха при его максимальной температуре  $t_{нв\max} < 40^\circ\text{С}$  определять по табл. 27.

**Таблица 27. Допускаемое превышение температуры обмоток тяговых электрических машин над температурой охлаждающего воздуха  $t_{\text{доп}}$  (ГОСТ 2582—81\* Е)**

| Обмотки | $t_{\text{доп}}$ , °С, для классов изоляции |       |       |
|---------|---|-------|-------|
|         | В   | Ф     | Н     |
| Якоря   | 120*1                                       | 140*2 | 160*3 |
| Полюсов | 130   | 155   | 180   |

\*1 Тепловозы ВМЭ1, ЧМЭ2, ЧМЭ3, ТЭМ2, ТЭ1, ТЭМ1, ТЭ2, ТЭ3, М62, 2М62, ТЭ7, ТЭ10, ТЭП10, 2ТЭ10Л, ТЭП60, 2ТЭП60.  
 \*2 Тепловозы 2ТЭ10В, 3ТЭ10М, 2ТЭ116.  
 \*3 Тепловозы ТЭП70.

При максимальной температуре наружного воздуха более +40°С допускаемое превышение температур обмоток тяговых электрических машин уменьшать на соответствующее число градусов. Максимальную температуру наружного воздуха принимать по данным метеорологических станций как среднюю многолетнюю (не менее 5 лет).

3.3.2. **Начальные данные.** Расчетную температуру наружного воздуха принимать по данным метеорологических станций как среднюю многолетнюю (не менее 5 лет) по замерам в 7, 13 и в 19 ч по местному времени для летнего периода за июнь, июль и август и определять по формуле

$$t_{\text{нв}} = \frac{t_7 + 2t_{13} + t_{19}}{4}, \quad (119)$$

но не ниже +15°С, а для зимнего периода за декабрь, январь и февраль, но не ниже 0°С.

При отправлении тепловоза со станции после длительной стоянки (свыше 2 ч) начальную температуру перегрева обмоток якоря генератора и тяговых электродвигателей  $t_0$  принимать +15°С. При меньших стоянках температуру перегрева определять по предыдущему рейсу как температуру в момент прибытия, снижая ее за время стоянки по кривой охлаждения (см. приложение 5, рис. 5.47—5.52).

3.3.3. **Определение тока генератора или тяговых электродвигателей.** Токи тепловоза определять на основании изменения скорости движения поезда по перегону  $v = v(s)$ , используя токовые ха-

**Таблица 28. Значение коэффициента  $K_{\text{нв}}$  в зависимости от расчетной температуры наружного воздуха**

| Обмотки | $K_{\text{нв}}$ для $t_{\text{нв}}$ , °С |      |      |      |      |    |      |      |
|---------|--|------|------|------|------|----|------|------|
|         | 0  | 5    | 10   | 15   | 20   | 25 | 30   | 35   |
| Полюсов | 0,9                                      | 0,92 | 0,94 | 0,96 | 0,98 | 1  | 1,02 | 1,04 |
| Якоря   | 0,94                                     | 0,95 | 0,96 | 0,98 | 0,99 | 1  | 1,01 | 1,02 |

рактеристики  $I_T = I_T(v)$ , приведенные в приложении 5 (см. рис. 5.26—5.40).

**3.3.4. Определение превышения температуры обмоток генератора и тяговых электродвигателей.** Превышение температуры обмоток генератора и тяговых электродвигателей определять аналитическим способом, руководствуясь изменением тока  $I = I(s)$  по формуле

$$\tau = \tau_{\infty} \frac{\Delta t}{T} + \tau_0 \left( 1 - \frac{\Delta t}{T} \right). \quad (120)$$

Остывание тяговых электрических машин ( $I_d = 0$ ) рассчитывать по формуле (108). При этом интервалы времени выбирать из условия, чтобы было выдержано соотношение  $\Delta t/T \leq 0,1$ . Значения тепловых параметров  $\tau_{\infty}$  и  $T$  в зависимости от тока приведены в приложении 5 (см. рис. 5.41—5.46).

Охлаждение генератора и тяговых электродвигателей при езде без тока можно определять по графикам  $\tau = \tau(t)$  для  $I = 0$  (см. приложение 5, рис. 5.41—5.46).

Допускается расчет температуры перегрева обмоток тяговых электродвигателей и генераторов по кривым нагревания и охлаждения (см. приложение 5, рис. 5.47—5.52). На участках с сосредоточенными подъемами проверку нагревания генератора и тяговых электродвигателей выполнять от станции отправления до прохода последнего пикета подъема. При необходимости результаты расчета перегрева электрических машин проверять опытными поездками.

Наибольшее превышение температуры, полученное при расчете, следует привести к расчетной температуре наружного воздуха с учетом устройства снегозащиты по формуле

$$\tau_p = \tau K_{сз} K_{нв}, \quad (121)$$

где  $K_{сз}$  — коэффициент, учитывающий снижение расхода воздуха на охлаждение при постановке фильтров, принимается для зимних условий 1,1, а для летних условий  $K_{сз} = 1$ .

Значение коэффициента  $K_{нв}$  (см. п. 2.3.4) принять по табл. 28.

Для случаев, когда тепловоз работает на промежуточных позициях контроллера, превышение температуры ( $\tau_{\infty}$ ), приведенное в тепловых характеристиках тяговых электрических машин, умножается на коэффициент  $K_p$ , имеющий следующие значения:

|                                     |       |      |      |     |
|-------------------------------------|-------|------|------|-----|
| Позиция контроллера $n_k$ . . . . . | 13—12 | 11   | 10   | 9   |
| $K_p$ . . . . .                     | 1,05  | 1,08 | 1,15 | 1,2 |

### 3.4. Определение расхода топлива

**3.4.1. Определение расхода топлива за время движения по регионам.** Общий расход топлива тепловозом на перемещение состава, а также дизель-поездом определять как сумму расходов топ-

лива за отрезки времени, соответствующие постоянному расходу топлива и средней постоянной скорости движения в режиме тяги, и расхода топлива за время движения на холостом ходу

$$E = \sum_1^n G \Delta t + g_x t_x, \quad (122)$$

где  $G$  — расход топлива, соответствующий скорости движения поезда при используемой позиции контроллера машиниста, кг/мин;

$\Delta t$  — время работы дизеля, в пределах которого скорость движения поезда принята постоянной, мин;

$g_x$  — расход топлива тяговыми силовыми установками тепловоза или дизель-поезда на холостом ходу, кг/мин;

$t_x$  — время движения поезда по участку на холостом ходу, мин.

Расход топлива  $G$  и  $g_x$  определять по диаграммам, приведенным в приложении 5 (см. рис. 5.53—5.79).

Частота вращения коленчатого вала тепловозных дизелей при работе на холостом ходу и соответствующие им расходы топлива приведены в табл. 29.

**3.4.2. Расход топлива на собственные нужды дизель-поезда.** Расход топлива дизелями вспомогательных силовых установок дизель-поездов ДР1 определять исходя из полного времени их работы и средней потребляемой мощности агрегатов, обслуживаемых этими установками.

Таблица 29. Частота вращения коленчатых валов дизелей и соответствующие им расходы топлива на холостом ходу

| Тепловозы и дизель-поезда     | Частота вращения коленчатого вала $n_d$ , об/мин | Удельный расход топлива $g_x$ , кг/мин |                            |
|-------------------------------|--|--|----------------------------|
|                               |  | одним дизелем                          | тепловозом, дизель-поездом |
| ВМЭ1                          | 400/800  | 0,19/0,47                              | 0,19/0,47                  |
| ТГМЗА                         | 650  | 0,13                                   | 0,13                       |
| ЧМЭ2                          | 350  | 0,14                                   | 0,14                       |
| ТЭ1, ТЭМ1                     | 300  | 0,16                                   | 0,16                       |
| ТЭ2                           | 300  | 0,16                                   | 0,32                       |
| ТЭ10, ТЭП10, ТЭП10Л           | 400  | 0,38                                   | 0,38                       |
| 2ТЭ10, 2ТЭ10Л, 2ТЭ10В, 2ТЭ10М | 400  | 0,38                                   | 0,76                       |
| 3ТЭ10М                        | 400  | 0,38                                   | 1,14                       |
| ТЭ3, ТЭ7                      | 400  | 0,35                                   | 0,70                       |
| ТЭП60                         | 400  | 0,50                                   | 0,50                       |
| 2ТЭП60                        | 400  | 0,50                                   | 1,00                       |
| ТЭП70                         | 350  | 0,27                                   | 0,27                       |
| ТЭМ2                          | 300  | 0,10                                   | 0,10                       |
| М62                           | 400  | 0,42                                   | 0,42                       |
| 2М62                          | 400  | 0,42                                   | 0,84                       |
| 2ТЭ116                        | 350  | 0,25                                   | 0,50                       |
| ЧМЭ3                          | 350  | 0,15                                   | 0,15                       |
| ДР1                           | 700  | 0,14                                   | 0,28                       |
| Д1                            | 530  | 0,14                                   | 0,28                       |
| Д                             | 600  | 0,33                                   | 0,66                       |

Средний расход топлива на одну вспомогательную установку дизель-поезда ДР1 0,18 кг/мин, а на весь дизель-поезд — 0,36 кг/мин.

**3.4.3. Определение расхода топлива на стоянках и при движении по станционным и деповским путям.** При определении расхода топлива на стоянках пользоваться кривыми расхода топлива на холостом ходу в зависимости от частоты вращения вала дизеля (см. приложение 5, рис. 5.55, 5.57, 5.60, 5.64, 5.67, 5.72, 5.74, 5.76, 5.78).

В том случае, если отсутствуют специальные распоряжения по дороге о режиме работы дизелей на стоянках, учитывающие специфику местных условий, расход топлива на холостую работу дизелей принимать по табл. 29. При движении одиночных тепловозов в режиме тяги по станционным и деповским путям удельный расход топлива на один дизель (движение на 1-й ездовой позиции контроллера машиниста, скорость движения 10—15 км/ч) принимать для тепловозов равным:

ТЭ3, ТЭ7 — 0,6 кг/мин;  
 ТЭ10, 2ТЭ10Л, ТЭП10, 2ТЭ10В, 2ТЭ10М, 3ТЭ10М, ТЭП10Л — 0,5 кг/мин;  
 ТЭП60, 2ТЭП60 — 1,0 кг/мин;  
 2ТЭ116 — 1,0 кг/мин;  
 ТЭП70 — 1,0 кг/мин;  
 остальные серии, а также дизель-поезда — 0,3 кг/мин.

## 4. ПАРОВОЗНАЯ ТЯГА

### 4.1. Определение силы тяги

**4.1.1. Тяговые характеристики.** Силу тяги паровоза по котлу, машине и сцеплению в зависимости от скорости определять по прилагаемым к настоящим Правилам тяговым характеристикам паровозов (см. приложение 6, рис 6.1—6.10).

**4.1.2. Сила тяги по машине.** Расчетную силу тяги по машине принимать по расчетным отсечкам:

| Паровозы   | Расчетная отсечка * |
|--|---------------------|
| ЛВ, Л, СО, ЭР, М, ТЭ, С <sup>У</sup> , ПЗ6 . . . . . | 0,65                |
| Е <sup>А</sup> , М . . . . .                         | 0,7                 |

**4.1.3. Расчетные форсировки поверхности нагрева котлов паровозов.** Расчетные форсировки  $Z_m$  принимать по табл. 30.

**4.1.4. Коэффициент сцепления.** Расчетный коэффициент сцепления для паровозов определять по формуле

$$\psi_k = \frac{30}{100 + v} \quad (123)$$

Таблица 30. Расчетные форсировки  $Z_m$ 

| Серия паровозов       | Расчетная форсировка $Z_m$ , кг/(м <sup>2</sup> ·ч) |                    | Серия паровозов                  | Расчетная форсировка $Z_m$ , кг/(м <sup>2</sup> ·ч) |                    |
|-----------------------|---|--------------------|----------------------------------|---|--------------------|
|                       | Угольное отопление                                  | Нефтяное отопление |                                  | Угольное отопление                                  | Нефтяное отопление |
| ЛВ, ПЗ6               | 80  | 80                 | ЭР (40 жаровых труб)<br>ЭМ<br>ТЭ | 60  | 70                 |
| Л, Е <sup>А</sup> , М | 70  | 70                 |                                  | 60  | 70                 |
| СО                    | 55  | 70                 |                                  | 50  | 60                 |
| ЭР, С <sup>У</sup>    | 55  | 65                 |                                  | 50  | 60                 |
|                       |   |                    |                                  | 50  | 60                 |

Снижение значения расчетного коэффициента сцепления при движении по кривым малого радиуса и в тоннелях допускать как исключение; степень этого снижения устанавливать опытным путем.

Таблица 31 Конструкционные скорости паровозов основных серий

| Серия паровозов    | Осевая характеристика | Конструкционная скорость, км/ч | Серия паровозов | Осевая характеристика | Конструкционная скорость, км/ч |
|--------------------|-----------------------|--------------------------------|-----------------|-----------------------|--------------------------------|
| ЛВ                 | 1—5—1                 | 90                             | ЭР, М           | 0—5—0                 | 65                             |
| Л                  | 1—5—0                 | 90                             | ТЭ              | 1—5—0                 | 80                             |
| СО                 | 1—5—0                 | 75                             | ПЗ6             | 2—4—2                 | 125                            |
| Е <sup>А</sup> , М | 1—5—0                 | 80                             | С <sup>У</sup>  | 1—3—1                 | 115                            |

**4.1.5. Расчетные скорости.** Расчетную скорость на расчетных подъемах и в конце скоростных подъемов для грузовых паровозов принимать в соответствии с п. 4.2.2. Для пассажирских паровозов, а также для грузовых при следовании их с ускоренными грузовыми, грузо-пассажирскими и пассажирскими поездами скорости на расчетных подъемах устанавливать по указаниям МПС в соответствии с принятой массой для этих категорий поездов.

**4.1.6. Конструкционные скорости.** Конструкционные скорости паровозов основных серий принимать по табл. 31.

## 4.2. Расчет массы состава

**4.2.1. Порядок расчета.** Масса состава рассчитывается в соответствии с пп. 1.4.1—1.4.5.

**4.2.2. Расчетные скорости и силы тяги.** При расчете массы состава значения расчетной скорости и расчетной силы тяги принимать по табл. 32.

**Таблица 32. Расчетные скорости и силы тяги грузовых паровозов основных серий**

| Серии паровозов | $v_p$ , км/ч | $F_{кр}$ , кгс | Серии паровозов                 | $v_p$ , км/ч | $F_{кр}$ , кгс |
|-----------------|--------------|----------------|---------------------------------|--------------|----------------|
| ЛВ              | 22           | 23 150         | Е <sup>а</sup> , М              | 20           | 22 150         |
| Л               | 21           | 22 150         | Э <sup>р</sup> , Э <sup>м</sup> | 15           | 20 200         |
| СО              | 18           | 20 900         | ТЭ                              | 14           | 19 600         |

**Примечание** В тех случаях, когда необходимое увеличение провозной способности может быть достигнуто за счет повышения расчетной скорости, допускается повышать ее до скорости «порога» включительно.

**Таблица 33. Сила тяги при трогании с места**

| Серии паровозов    | $F_{ктр}$ , кгс | Ограничение     | Серии паровозов | $F_{ктр}$ , кгс | Ограничение  |
|--------------------|-----------------|-----------------|-----------------|-----------------|--------------|
| ЛВ                 | 27 200          | При $\nu = 0,7$ | Э <sup>р</sup>  | 24 200          | По сцеплению |
| Л                  | 27 000          | По сцеплению    | Э <sup>м</sup>  | 23 500          | То же        |
| СО                 | 25 400          | То же           | ТЭ              | 22 000          | »            |
| Е <sup>а</sup> , М | 25 000          | При $\nu = 0,8$ |                 |                 |              |

**4.2.3. Расчет диаграмм ускоряющих сил.** При расчете диаграмм ускоряющих сил значение силы тяги паровозов принимать по толстым линиям, нанесенным на тяговые характеристики (см. приложение 6, рис. 6.1—6.10).

**4.2.4. Сила тяги при трогании с места.** Силу тяги паровозов при трогании с места принимать по табл. 33

### 4.3. Определение расхода воды и топлива

**4.3.1. Определение расхода пара машиной.** Расход пара машиной определять по формуле

$$B_m = H \sum Z_m t_{po}, \quad (124)$$

т. е. как сумму расходов на машину за отрезки времени, соответствующие постоянным  $Z_m$ . При переменных форсировках значения их принимать в соответствии с предварительно построенной зависимостью  $Z_m = Z_m(i)$  для различных ограничивающих скоростей.

**4.3.2. Определение расхода пара котлом.** Количество пара, израсходованного котлом, определять по формуле

$$B_k = \alpha' B_m + (t_{pz} + t_{ст}) Z_0, \quad (125)$$

где  $t_{pz}$ ,  $t_{ст}$  — время хода с закрытым регулятором и время стоянок, ч.

Величины  $Z_0$  и  $\alpha'$  имеют следующие значения:

| Отопление                      | $Z_0$ | $\alpha'$ |
|--------------------------------|-------|-----------|
| Ручное . . . . .               | 3     | 1,04      |
| Стокерное и нефтяное . . . . . | 4     | 1,05      |

**4.3.3. Определение расхода воды из тендера.** Расход воды из тендера определять увеличением расхода пара из котла на 5% при стокерном и нефтяном отоплении и на 10% при ручном отоплении. Кроме того, добавлять расход воды на продувку котла от 5 до 10% в зависимости от качества воды (сухого остатка).

В зимнее время учитывать повышенный расход воды в размере от 10 до 20% в зависимости от климатических условий.

Расход воды из тендера допускать не более 85% полной вместимости шестиосного тендера и не более 80% четырехосного тендера.

**4.3.4. Расход топлива.** Расход топлива для эксплуатируемых линий определять по инструктивным указаниям МПС. Для проектируемых линий расход условного топлива определять исходя из расхода пара, приведенного к удельному количеству теплоты 2680 кДж/кг (640 ккал/кг) (нормальный пар) и испарительности условного топлива 29 308 кДж/кг в нормальном паре

$$E_y = B_{\text{кн}}/u_n, \quad (126)$$

где

$$u_n = 29\,308/2680 \approx 11 \text{ кг/кг};$$

$$B_{\text{кн}} = Z_{\text{кн}} Ht_{\text{по}}; \quad Z_{\text{кн}} = 1,15 \text{ кг/(м}^2 \cdot \text{ч)} \quad (127)$$

или

$$E_y = \frac{1,15 B_{\text{к}}}{11} \approx 0,105 B_{\text{к}}. \quad (128)$$

Расход натурального топлива определять из соотношения

$$E = E_y/\mathcal{E}, \quad (129)$$

где  $\mathcal{E}$  — технический эквивалент топлива.

Расход условного топлива на измеритель (в килограммах на  $10^4$  т·км брутто)

$$e_y = \frac{E_y \cdot 10^4}{QL}. \quad (130)$$

## 5. ТЯГОВЫЕ РАСЧЕТЫ ДЛЯ ЖЕЛЕЗНЫХ ДОРОГ УЗКОЙ КОЛЕИ

### 5.1. Определение силы тяги и сопротивления движению

**5.1.1. Общие указания.** При тяговых расчетах для железных дорог узкой колеи (750 и 1067 мм) руководствоваться изложенными в пп. 1—3 общими принципами и положениями в отношении рас-

чета массы составов, определения перегонных времен хода, решения тормозных задач, определения расхода топлива, используя при этом тяговые, расходные, тормозные и другие характеристики локомотивов и вагонов узкой колеи.

**5.1.2. Тяговые характеристики локомотивов.** Силу тяги тепловозов узкой колеи определять по прилагаемым к настоящим Правилам тяговым характеристикам (см. приложение 7, рис. 7.1—7.5).

Расчетный коэффициент сцепления тепловозов колеи 750 мм определять по формуле

$$\psi_k = 0,20 + \frac{10}{100 + 12v} \quad (131)$$

При кривых малого радиуса на расчетном и труднейших подъемах снижение расчетного коэффициента сцепления определять по формуле (115) с учетом следующих значений коэффициента  $K_{кр}$ :

|                            |      |      |      |      |      |      |      |
|----------------------------|------|------|------|------|------|------|------|
| Радиус кривой, м . . . . . | 200  | 150  | 125  | 100  | 75   | 60   | 40   |
| $K_{кр}$ . . . . .         | 0,91 | 0,89 | 0,87 | 0,85 | 0,82 | 0,80 | 0,75 |

Для тепловозов ТГ16 (колея 1067 мм) расчетный коэффициент сцепления определять по формуле

$$\psi_k = 0,22 + \frac{10}{100 + 50v} \quad (132)$$

В кривых малого радиуса менее 500 м значение расчетного коэффициента сцепления тепловозов ТГ16 определять по формулам:

$$\psi_{ккр} = \psi_k K_{кр}; \quad (133)$$

$$K_{кр} = \frac{400 + 1,5R}{600 + 1,15R} \quad (134)$$

**5.1.3. Конструкционные скорости.** Конструкционные скорости тепловозов узкой колеи принимать по табл. 34.

**5.1.4. Сопروتвление движению локомотивов и вагонов.** Основное удельное сопротивление движению тепловозов как повозки  $\omega'_0$  и на холостом ходу  $\omega_x$  колеи 750 мм принимать по характеристикам этих сопротивлений (см. приложение 7, рис. 7.6).

Таблица 34. Конструкционная скорость локомотивов

| Серия локомотивов | Осевая характеристика                   | Конструкционная скорость, км/ч |
|-------------------|---|--------------------------------|
| ТГ16              | 2 + 2 - 2 + 2                           | 85                             |
| ТУ2, ТУ3          | 0 - 2 <sub>0</sub> - 2 <sub>0</sub> - 0 | 50                             |
| ТУ4, ТУ5          | 0 - 2 - 2 - 0                           | 50                             |

Основное удельное сопротивление движению на холостом ходу тепловозов с гидравлической передачей колеи 750 мм, определять по формуле

$$w_x = 4,3 + 0,2v + 0,0007v^2. \quad (135)$$

Основное удельное сопротивление движению тепловозов ТГ16 как поковки и на холостом ходу определять соответственно по формулам:

$$w'_0 = 1,05 + 0,056v + 0,000167v^2; \quad (136)$$

$$w_x = 1,5 + 0,113v + 0,00027v^2; \quad (137)$$

либо по кривым (см. приложение 7, рис. 7.6).

Основное удельное сопротивление движению грузовых вагонов колеи 750 мм определять по формулам:

порожние вагоны

$$w''_0 = 1,2 + 0,02v + 0,0017v^2; \quad (138)$$

груженые вагоны

$$w''_0 = 1,0 + 0,04v + 0,00032v^2. \quad (139)$$

Основное удельное сопротивление движению четырехосных пассажирских вагонов типа П40 колеи 750 мм определять по формуле

$$w''_0 = 1,7 + 0,062v + 0,0024v^2. \quad (140)$$

Основное удельное сопротивление движению грузовых вагонов колеи 1067 мм определять по формулам:

груженые вагоны ( $q_0 > 6$  т)

$$w''_0 = 0,7 + \frac{7 + 0,3v + 0,0075v^2}{q_0}; \quad (141)$$

порожние вагоны ( $q_0 \leq 6$  т)

$$w''_0 = 1,35 + 0,07v + 0,00045v^2; \quad (142)$$

груженые вагоны-ледники

$$w''_0 = 0,7 + \frac{1,7 + 0,66v + 0,0056v^2}{q_0}; \quad (143)$$

порожние вагоны-ледники

$$w''_0 = 1,1 + 0,1v + 0,00038v^2. \quad (144)$$

Грузовые вагоны колеи 1520 мм на тележках колеи 1067 мм: груженные ( $q_0 > 6$  т)

$$w_0'' = 0,7 + \frac{8 + 0,4v + 0,009v^2}{q_0}; \quad (145)$$

порожние ( $q_0 \leq 6$  т)

$$w_0'' = 1,45 + 0,06v + 0,00075v^2. \quad (146)$$

Основное удельное сопротивление движению пассажирских вагонов колеи 1067 мм определять по формуле

$$w_0'' = 1,2 + 0,0068v + 0,00175v^2. \quad (147)$$

Дополнительное удельное сопротивление движению подвижного состава колеи 750 мм от кривизны пути определять по формулам:

$$w_r = \frac{425}{R}, \quad (148)$$

или

$$w_r = \frac{7,5\alpha^0}{s_{кр}}. \quad (149)$$

Дополнительное удельное сопротивление движению подвижного состава колеи 1067 мм от кривизны пути определять по формулам:

$$w_r = \frac{640}{R}, \quad (150)$$

или

$$w_r = \frac{11,2\alpha^0}{s_{кр}}. \quad (151)$$

**5.1.5. Расчетные силы тяги и скорости движения.** При определении массы составов значения расчетной силы тяги и расчетной скорости движения локомотивов узкой колеи принимать по табл. 35.

Таблица 35. Расчетные силы тяги и скорости движения локомотивов

| Серии локомотивов | $F_{кр}$ , кгс | $v_p$ , км/ч |
|-------------------|----------------|--------------|
| ТГ16              | 31160          | 18           |
| ТУ2               | 4650           | 13           |
| ТУ3               | 4420           | 12,5         |
| ТУ4               | 4500           | 8,0          |
| ТУ5               | 5750           | 8,0          |

Таблица 36. Сила тяги локомотивов при трогании с места

| Серии локомотивов | $F_{ктр}$ , кгс | Ограничение  |
|-------------------|-----------------|--|
| ТГ16              | 43300           | По сцеплению<br>По току тягового генератора<br>По сцеплению<br>То же |
| ТУ2, ТУ3          | 8500            |  |
| ТУ4               | 5400            |  |
| ТУ5               | 7200            |  |

5.1.6. Сила тяги при трогании поезда с места. Силу тяги локомотивов узкой колеи при трогании поездов с места принимать по табл. 36.

5.1.7. Расчет диаграмм ускоряющих сил поезда. Для расчета диаграмм ускоряющих сил значение силы тяги локомотивов узкой колеи принимать по толстым линиям, нанесенным на тяговые характеристики, приведенные в приложении 7 (см. рис. 7.1—7.5).

## 5.2. Проверка на нагревание. Тормозные расчеты. Расход топлива

5.2.1. Проверка тяговых электродвигателей тепловозов на нагревание. На тепловозах узкой колеи проверка на нагревание производится только для тяговых электродвигателей. Эти расчеты выполнять в соответствии с пп. 3.3.1—3.3.4 настоящих Правил.

Ток тягового электродвигателя определять, пользуясь токовыми характеристиками  $I_r = I_r(v)$  (см. приложение 7, рис. 7.7, 7.8). Значения тепловых параметров  $\tau_\infty$  и  $T$  тяговых электродвигателей в зависимости от тока принимать по рис. 7.9, 7.10 (см. приложение 7).

При расчетах перегрева разрешается также пользоваться кривыми нагревания и охлаждения, приведенными на рис. 7.11, 7.12 (см. приложение 7).

Наибольшее допускаемое превышение температуры обмоток главных полюсов тягового электродвигателя тепловоза над температурами окружающего воздуха при его температуре  $\leq 40^\circ\text{C}$  определять по табл. 27.

5.2.2. Тормозные расчеты. Действительный коэффициент трения между тормозными колодками и колесами подвижного состава принимать по формуле

$$\varphi_k = 0,45 \frac{K + 10}{8K + 10} \frac{25}{v + 25}, \quad (152)$$

где  $K$  — действительное нажатие на одну колодку, тс.

Нажатие для вагонов принимать в соответствии с табл. 37.

При следовании локомотивов резервом силу нажатия тормозных колодок принимать в соответствии с табл. 38.

При тормозных расчетах для подвижного состава узкой колеи время подготовки тормозов к действию принимать:  
при автоматическом торможении

$$t_n = 5 - \frac{7t_c}{1000\varphi_k \delta}; \quad (153)$$

при ручном торможении  $t_n = 20$  с.

5.2.3. Определение расхода топлива. Общий расход топлива тепловозами узкой колеи определять в соответствии с п. 3.4.1 настоящих Правил.

Таблица 37. Действительные силы нажатия тормозных колодок вагонов

| Тип вагонов   | Масса тары вагона, т | Сила нажатия тормозных колодок на все оси вагона при торможении, тс |        |
|---|----------------------|---|--------|
|   |                      | автоматическом  | ручном |
| Крытые четырехосные грузовые вагоны грузоподъемностью 16,5 т на режиме: | 6,1—9,5              | —   | —      |
| груженом  | —                    | 9   | 5      |
| порожнем  | —                    | 4   | —      |
| Крытые четырехосные грузовые вагоны грузоподъемностью 20 т на режиме:   | 8—10                 | —   | —      |
| груженом  | —                    | 10  | 6      |
| порожнем  | —                    | 5   | —      |
| Платформы четырехосные грузоподъемностью 16,5 т на режиме:              | 6,5—7,5              | —   | —      |
| груженом  | —                    | 8   | 5      |
| порожнем  | —                    | 4   | —      |
| Платформы четырехосные грузоподъемностью 20 т на режиме:                | 7,5                  | —   | —      |
| груженом  | —                    | 9   | 6      |
| порожнем  | —                    | 5   | —      |
| Пассажирские четырехосные   | 11—12                | 8   | 6      |
| Грузовые вагоны колеи 1067 мм грузоподъемностью 40—46 т на режиме:      | 17—18                | —   | —      |
| груженом  | —                    | 18  | 8      |
| среднем   | —                    | 12  | —      |
| порожнем  | —                    | 8   | —      |
| Грузовые вагоны колеи 1520 мм на тележках колеи 1067 мм на режиме:      | 20—23                | —   | —      |
| груженом  | —                    | 22  | 8      |
| среднем   | —                    | 16  | —      |
| порожнем  | —                    | 10  | —      |
| Цельнометаллические пассажирские вагоны колеи 1067 мм                   | 40                   | 24  | 8      |

Расход топлива тепловозами серий ТГ16, ТУ2, ТУ3, ТУ4 и ТУ5 определять по диаграммам (см. приложение 7, рис. 7.13—7.20).

При определении расхода топлива на стоянках пользоваться кривыми расходов топлива на холостом ходу (см. приложение 7,

Таблица 38. Действительная сила нажатия тормозных колодок локомотива

| Серии локомотивов | Масса локомотива, т | Сила нажатия тормозных колодок на все оси локомотива при торможении, тс |        |
|-------------------|---------------------|---|--------|
|                   |                     | автоматическом  | ручном |
| ТГ16              | 138                 | 48  | 8      |
| ТУ2, ТУ3          | 32                  | 15  | 8      |
| ТУ4               | 18                  | 12  | 2,5*   |
| ТУ5               | 24                  | 16  | 2,5*   |

\* Ручной стояночный тормоз на одну ось.

рис. 7.14, 7.18—7.20) в зависимости от частоты вращения вала дизеля  $n_d$ , которую принимать: ТГ16 — 750 об/мин; ТУ2 — 750 об/мин; ТУ3 — 660 об/мин; ТУ4, ТУ5 — 750 об/мин.

## 6. ТЯГОВЫЕ РАСЧЕТЫ НА ЭВМ

### 6.1. Подготовка информации об участках сети

6.1.1. **Общие указания.** Каждая дорога должна быть разделена на расчетные участки. Расчетный участок представляет собой отрезок пути, для которого готовится самостоятельное задание и на основании его выполняется тяговый расчет. В качестве границ расчетных участков выбирать станции, где происходит перелом норм массы поездов, смена локомотива или локомотивной бригады и т. д.

6.1.2. **Содержание информации об участках.** Информацию об участках дороги готовить в виде библиотеки, где каждому расчетному участку присваивается определенный шифр.

По каждому расчетному участку представлять следующие сведения:

- а) шифр участка; вид связи на участке;
- б) профиль участка;
- в) перечень отдельных пунктов с указанием перегонных расстояний и расстояний от осей отдельных пунктов до входных и выходных стрелок;
- г) места изменения начала отсчета километровых расстояний;
- д) характеристика кривых участков пути;
- е) расстановка сигналов автоблокировки (для участков, оборудованных автоблокировкой);
- ж) характеристика подстанций, расположенных на электрифицированных участках;
- з) расположение и длина нейтральных вставок (для электрифицированных участков);
- и) установленные скорости движения на перегонах;
- к) допускаемые скорости движения на станционных путях (главных и боковых);
- л) допускаемые скорости движения на кривых малого радиуса;
- м) длительные и постоянные предупреждения по скорости;
- н) места проверки действия тормозов на эффективность;
- о) тип пути (звеньевой, бесстыковой).

### 6.2. Подготовка информации о подвижном составе

6.2.1. **Общие указания.** Информация о подвижном составе должна содержать: библиотеку тяговых подвижных средств; общую информацию, характеризующую вагонный парк; массив нормативов,

определяющих порядок проведения тяговых расчетов; библиотеку составов.

### 6.2.2. Содержание информации о тяговом подвижном составе.

Информацию о тяговых средствах, используемых на сети, готовить в виде библиотеки, где каждому типу тяговых средств присваивается определенный номер.

Для каждого типа тяговых подвижных средств независимо от вида тяги готовить следующую информацию:

- а) шифр (серия) локомотива, электропоезда или дизель-поезда;
- б) расчетная масса и сцепной вес;
- в) расчетная и конструкционная скорости;
- г) тяговые характеристики  $F_k = F_k(v)$  для различных позиций контроллера машиниста;
- д) характеристики удельного сопротивления в режиме тяги и на холостом ходу  $\omega'_0 = \omega'_0(v)$ ,  $\omega_x = \omega_x(v)$ ;
- е) коэффициент сцепления  $\psi_k$ ,  $\psi_{k \text{ кр.}}$ .

6.2.3. Электрическая тяга на постоянном токе. Для электровозов и электропоездов постоянного тока, помимо информации, перечисленной в п. 6.2.2., представлять следующие сведения:

- а) номинальное напряжение на токоприемнике  $U$ ;
- б) токовые характеристики электровоза или моторного вагона электропоезда  $I_s = I_s(v)$  и двигателя  $I_d = I_d(v)$  для различных позиций контроллера машиниста;
- в) тепловые характеристики двигателя при движении поезда под током  $\tau_\infty = \tau_\infty(I_d)$ ,  $T = T(I_d)$  и характеристику  $T_x$  при  $I_d = 0$ ;
- г) сопротивление двигателя  $r_d$ ;
- д) тормозные  $B_{\text{тр}} = B_{\text{тр}}(v)$  и токовые  $I_d = I_d(v)$  характеристики рекуперативного и реостатного торможения для локомотивов, обеспечивающих режим электрического торможения.

6.2.4. Электрическая тяга на переменном токе. Для электровозов и электропоездов переменного тока, кроме информации, перечисленной в п. 6.2.2., представлять следующие сведения:

- а) номинальное напряжение на токоприемнике  $U$ ;
- б) характеристики активного тока электровоза или моторного вагона электропоезда  $I_{da} = I_{da}(v)$  и тока двигателя  $I_d = I_d(v)$  для различных позиций контроллера машиниста;
- в) тепловые характеристики двигателя при движении поезда под током  $\tau_\infty = \tau_\infty(I_d)$  и  $T = T(I_d)$  и характеристику  $T_x$  при  $I_d = 0$ ;
- г) сопротивление двигателя  $r_d$ ;
- д) коэффициент трансформации  $K_T$  для каждой позиции контроллера машиниста электровоза или моторного вагона электропоезда;
- е) сопротивление трансформатора  $Z_T$  для каждой позиции контроллера машиниста;
- ж) номинальное выпрямленное напряжение для расчета тяговых характеристик при изменении напряжения на токоприемнике;
- з) тормозные  $B_{\text{тр}} = B_{\text{тр}}(v)$  и токовые  $I_d = I_d(v)$  характеристики рекуперативного и реостатного торможения для локомотивов, обеспечивающих режим электрического торможения.

**6.2.5. Тепловозная тяга и дизель-поезда.** Для тепловозов и дизель-поездов, кроме информации, указанной в п. 6.2.2, представлять следующие сведения:

а) характеристики расхода топлива при движении поезда в режиме тяги  $G=G(v)$  для различных позиций контроллера машиниста;

б) характеристику расхода топлива на холостом ходу  $g_x=g_x(n_d)$ ;

в) характеристики тока генератора или тягового электродвигателя  $I_r=I_r(v)$ ;  $I_d=I_d(v)$  для различных позиций контроллера машиниста;

г) тепловые характеристики  $\tau_\infty=\tau_\infty(I_r)$ ,  $T=T(I_r)$  или  $\tau_\infty=\tau_\infty(I_d)$ ,  $T=T(I_d)$  при движении поезда в режиме тяги и характеристику  $T_x$  при  $I=0$ .

**6.2.6. Паровозная тяга.** Для паровозов, кроме информации, указанной в п. 6.2.2, задавать константы расхода условного топлива в режиме тяги

$$C_{po} = \frac{\alpha' HZ_m}{60} 0,105 \quad (154)$$

и при закрытом регуляторе

$$C_{pz} = \frac{HZ_0}{60} 0,105. \quad (155)$$

**6.2.7. Содержание информации о вагонном парке.** Общая информация о вагонном парке характеризует все виды вагонов, используемых на сети, и содержит:

а) характеристики основного удельного сопротивления движению и удельного сопротивления при трогании поезда с места  $\omega_0'' = \omega_0''(v)$ ,  $\omega_{тр} = \omega_{тр}(q_0)$  для всех типов вагонов;

б) характеристики расчетного коэффициента трения тормозной колодки о колесо  $\varphi_{кр} = \varphi_{кр}(v)$  для всех типов колодок.

**6.2.8. Содержание нормативной информации.** Данная информация содержит:

а) таблицы значений коэффициентов  $K_B$  и  $K_{нт}$ , учитывающих увеличение основного сопротивления движению поезда от встречного и бокового ветра и низкой температуры наружного воздуха;

б) нормативы регулировочного торможения;

в) таблицы поправок  $\Delta v$  при разных спусках (см. табл. 13);

г) нормы времени подготовки тормозов к действию;

д) нормативы, определяющие порядок проверки действия тормозов на эффективность;

е) допускаемые превышения температуры обмоток тяговых электрических машин.

**6.2.9. Библиотека составов.** Библиотека составов содержит информацию по каждому типу состава, встречающемуся на сети. Для каждого типа состава отводить определенный номер и готовить следующую информацию:

- а) допускаемую скорость по состоянию состава;
- б) расчетный тормозной коэффициент поезда  $\phi_r$ ;
- в) процентное содержание (по массе) вагонов различных видов, входящих в состав, с указанием массы, приходящейся на ось вагона  $q_0$ ;
- г) тип тормозных колодок, применяемых в составе;
- д) дополнительное сопротивление от подвагонного генератора;
- е) указание, какие из нормативных таблиц следует использовать для данного типа состава.

### 6.3. Характеристика программ тяговых расчетов на ЭВМ

**6.3.1. Общие указания.** Вся информация об участках, подлежащих расчету, и о подвижном составе проходит первичную обработку и организуется в соответствующие библиотеки, которые хранятся во внешней памяти машины.

Программа обеспечивает контроль всех видов информации, используемой в тяговых расчетах.

Конкретный вариант тягового расчета по участку определяет специальное задание на расчет, содержащее следующие сведения: шифр участка; библиотечные номера используемых локомотивов и состава; масса состава; степень использования мощности локомотива, число секций и диапазон используемых при расчете позиций контроллера машиниста; места использования дополнительной тяги; показатели, определяющие начало, окончание и условия проведения расчета.

Программа предусматривает выдачу следующих результатов по каждому перегону: времени хода, разгона и замедления; расход энергии или топлива на движение без остановок и на разгон; место наибольшего перегрева двигателей или тягового генератора, а также температура их обмоток в конце перегона и в месте наибольшего перегрева; места следования поезда со скоростью ниже расчетной как при движении без остановок, так и при разгоне; возврат электроэнергии в сеть для участков с рекуперацией; механическая работа локомотива, силы сопротивления и тормозные силы.

Основной вид печати, обеспечиваемый программой, — печать итогов по перегонам; дополнительно может предусматриваться графическое построение зависимостей скорости и времени хода поезда на участке с указанием спрямленного профиля и кривых в плане пути.

Инструкции, определяющие правила подготовки информации и порядок проведения расчетов на ЭВМ, прилагаются к программам тяговых расчетов, утвержденных МПС.

Все изменения в порядке тяговых расчетов, связанные с расширением информации и возможностей программ, будут оговариваться в соответствующих документах, сопровождающих программы.

**6.3.2. Определение скорости движения и времени хода поезда.** Уравнение (92) движения поезда в диапазоне скоростей от  $v_{\min}$

(15—25 км/ч) до допускаемой скорости  $v_{\text{доп}}$  интегрировать по переменной  $s$ . При этом использовать разложение функции  $v=v(s)$  в ряд Тейлора с сохранением трех его членов

$$v(s) = v_0 + v' \Delta s + v'' \frac{\Delta s^2}{2}. \quad (156)$$

При этом в качестве шага по пути выбирать весь элемент профиля или его часть таким образом, чтобы удовлетворялось требование точности интегрирования — достаточная малость отбрасываемой части ряда Тейлора

$$v'' \frac{\Delta s^2}{2} < \Delta v_{\text{доп}2} (0,1-0,5 \text{ км/ч})$$

На малых скоростях при  $v < v_{\text{мин}}$  интегрировать по скорости. При этом принимать  $\Delta v \ll \Delta v_{\text{доп}1}$  (3—5 км/ч)

$$v_{\text{ср}} = \frac{2v_0 + \Delta v}{2}; \quad (157)$$

$$\Delta s = \frac{v_{\text{ср}} \Delta v}{\zeta f(v_{\text{ср}})}, \quad (158)$$

где  $f(v_{\text{ср}})$  — приведенное ускоряющее или замедляющее усилие в точке  $v_{\text{ср}}$ .

При расчете силы тяги учитывать влияние изменения напряжения [см. формулу (105)].

Режим движения поезда на каждом шаге интегрирования выбирать по следующим правилам:

1. Если скорость в начале шага меньше допустимой, то выбирать режим тяги, обеспечивающий максимальное приращение скорости. Если при электрической тяге на этом шаге имеется нейтральная вставка, будет выбран выбег.

2. При достижении допустимой скорости  $v_{\text{доп}}$  на элементе пути, отличном от «вредного» спуска, выбирать два смежных режима (две позиции регулирования или позиция минимальной тяги с выбегом), обеспечивающих при их чередовании движение со средней скоростью, близкой к допустимой.

3. На «вредном» спуске при достижении скорости  $v_{\text{доп}} - \Delta v(i_k)^*$  предусматривать переход на выбег, а после выхода на скорость  $v_{\text{доп}}$  применять регулировочное торможение для обеспечения движения со средней скоростью

$$v_{\text{ср}} = v_{\text{доп}} - \Delta v(i_k). \quad (159)$$

На участках с рекуперацией выбирать характеристику рекуперативного торможения, обеспечивающую движение со средней скоростью, определяемой по формуле (159).

\*  $\Delta v(i_k)$  смотри в табл. 13.

Если за «вредным» спуском следует тяжелый подъем (т. е. элемент профиля, на котором тяговые позиции не могут обеспечить положительное приращение скорости), предполагается, что поезд выходит на него с максимально возможной скоростью.

Программа должна предусматривать проверку действия тормозов на эффективность в местах, заданных в информации об участке, с учетом параметров, указанных в нормативной информации. Все виды ограничения по скорости выдерживать с учетом длины поезда.

В случае недопустимого перегрева использовать более низкие ступени ослабления возбуждения и полное возбуждение на перегоне, где получился перегрев, или на его части.

В процессе расчета для каждого перегона определять скорость  $v=v(s)$ : для движения поезда без остановок на отдельных пунктах, при отправлении с места от начальной станции и прибытии на стоянку на конечной станции перегона

Кроме основного варианта тягового расчета, программа по требованию задания выполняет еще не менее трех вариантов расчета с учетом длительных и постоянных предупреждений по скорости, заданных в информации по участку

Независимо от способа интегрирования уравнения движения поезда приращение по времени принимать на каждом шаге

$$\Delta t = \frac{2\Delta s}{2v_0 + \Delta v} \quad (160)$$

**6.3.3. Расчет расхода электроэнергии и топлива.** Расход электроэнергии или топлива при движении поезда в режиме тяги и возврат электроэнергии при рекуперации рассчитывать по формулам (110), (111), (122) с учетом выбранной позиции контроллера машиниста. В случае тепловозной тяги учитывать расход топлива при движении поезда на холостом ходу. Расход топлива и воды паровозом определять по формулам (126)—(130) и (124), (125).

**6.3.4. Расчет температуры перегрева тягового двигателя и генератора.** Перегрев генератора или тяговых электродвигателей при движении поезда в режиме тяги и остывание их при езде без тока рассчитывать по формулам (107)—(109).

*Зам директора Всесоюзного  
научно-исследовательского института  
железнодорожного транспорта*

**В Г ИНОЗЕМЦЕВ**

*Главный инженер Главного  
управления движения МПС*

**Е В. СТЕПАНОВ**

*Главный инженер Главного управления  
локомотивного хозяйства МПС*

**А Н БЕВЗЕНКО**

Условные обозначения, сокращения и единицы измерения,  
принятые в тексте и на рисунках

| Обозначения<br>величин и<br>сокращения | Единица<br>измерения    | Величина  |
|--|-------------------------|---|
| <i>A</i>                               | кВт·ч                   | Расход электроэнергии на токоприемнике электровоза или моторного вагона электропоезда                                   |
| <i>a</i>                               | Вт ч/(т км)             | Удельный (на один тонно-километр брутто) расход электроэнергии на токоприемнике   |
| <i>V<sub>к</sub></i>                   | кг                      | Общий расход пара котлом  |
| <i>V<sub>кн</sub></i>                  | кг                      | Общий расход котлом нормального пара, т. е. пара, приведенного к удельному количеству теплоты 2682 кДж/кг (640 ккал/кг) |
| <i>V<sub>м</sub></i>                   | кг                      | Общий расход пара (перегретого или насыщенного) паровой машины паровоза   |
| <i>V<sub>т</sub></i>                   | кгс                     | Общая тормозная сила поезда от действия тормозных колодок   |
| <i>b<sub>т</sub></i>                   | кгс/т                   | Удельная тормозная сила поезда  |
| <i>V<sub>ткп</sub></i>                 | кгс                     | Тормозная сила от действия контрпара  |
| <i>B</i>                               | кгс                     | Тормозная сила от электрического (рекуперативного) торможения   |
| <i>C</i>                               | --                      | Последовательное соединение тяговых электродвигателей   |
| СП                                     | —                       | Последовательно-параллельное соединение тяговых электродвигателей   |
| <i>D</i>                               | мм                      | Диаметр движущих колес локомотива и моторных вагонов по кругу катания   |
| <i>E</i>                               | кг                      | Общий расход натурального топлива   |
| <i>E<sub>у</sub></i>                   | кг                      | Общий расход условного топлива  |
| <i>e<sub>у</sub></i>                   | кг/10 <sup>4</sup> т·км | Расход условного топлива на измеритель 10 <sup>4</sup> т·км (брутто)  |
| <i>F<sub>к</sub></i>                   | кгс                     | Касательная сила тяги (на ободе движущих колес) локомотива или моторных вагонов электропоезда или дизель-поезда         |
| <i>F<sub>кд</sub></i>                  | кгс                     | Касательная сила тяги, отнесенная к одному тяговому электродвигателю  |
| <i>F<sub>к тр</sub></i>                | кгс                     | Касательная сила тяги при трогании с места  |
| <i>F<sub>кр</sub></i>                  | кгс                     | Расчетное значение касательной силы тяги  |
| <i>F<sub>к разг</sub></i>              | кгс                     | Касательная сила тяги локомотива до выхода на автоматическую характеристику   |
| <i>F<sub>к сц</sub></i>                | кгс                     | Касательная сила тяги по сцеплению  |
| <i>F<sub>кч</sub></i>                  | кгс                     | Касательная сила тяги электровоза, соответствующая часовому току тяговых электродвигателей                              |
| <i>F<sub>коо</sub></i>                 | кгс                     | Касательная сила тяги локомотива, соответствующая длительному току тяговых электродвигателей                            |
| <i>F<sub>к м</sub></i>                 | кгс                     | Суммарная касательная сила тяги локомотивов при кратной тяге  |
| <i>F<sub>ко</sub></i>                  | кгс                     | Касательная сила тяги тепловоза при стандартных атмосферных условиях  |
| <i>f<sub>к</sub></i>                   | кгс/т                   | Удельная касательная сила тяги (на 1 т массы поезда)  |

| Обозначения величин и сокращения | Единица измерения | Величина  |
|----------------------------------|-------------------|---|
| $G$                              | кг/мин            | Расход топлива дизелем тепловоза в режиме тяги  |
| $g$                              | м/с <sup>2</sup>  | Ускорение свободного падения  |
| $g_x$                            | кг/мин            | Расход топлива дизелем тепловоза на холостом ходу   |
| $H$                              | м <sup>2</sup>    | Испаряющая (водяная) поверхность нагрева котла  |
| $H_N$                            | м                 | Начальная отметка профиля для участка пути  |
| $H_K$                            | м                 | Конечная отметка профиля для участка пути   |
| $h$                              | мм                | Возвышение наружного рельса   |
| $H_{бар}$                        | гПа               | Атмосферное давление  |
| $I$                              | А                 | Ток   |
| $I_B$                            | А                 | Ток возбуждения тягового электродвигателя   |
| $I_G$                            | А                 | Ток тягового генератора тепловоза   |
| $I_d$                            | А                 | Ток одного тягового электродвигателя  |
| $I_d^M$                          | А                 | Ток одного тягового электродвигателя наиболее нагруженного тепловоза при кратной тяге   |
| $I_{дч}$                         | А                 | Ток тягового электродвигателя в часовом режиме работы   |
| $I_э$                            | А                 | Полный ток, потребляемый электровозом или электропоездом  |
| $I_{эсп}$                        | А                 | Средний за некоторый промежуток времени ток электровоза или электропоезда   |
| $I_э^M$                          | А                 | Суммарный ток, потребляемый электровозами при кратной тяге  |
| $I_d$                            | А                 | Выпрямленный ток электровоза переменного тока, приведенный к первичной обмотке трансформатора (для расчетов системы электроснабжения)                               |
| $I_{da}$                         | А                 | Действующее значение активного тока, потребляемого электровозом на тягу (для расчета расхода электроэнергии)  |
| $I_{da}^M$                       | А                 | Действующее значение суммарного активного тока, потребляемого электровозами при кратной тяге (при расчете расхода электроэнергии)                                   |
| $I_d^M$                          | А                 | Суммарный выпрямленный ток электровозов переменного тока при кратной тяге, приведенный к первичным обмоткам трансформаторов (для расчетов системы электроснабжения) |
| $I_{\infty}$                     | А                 | Ток тягового электродвигателя (тягового генератора) в продолжительном режиме работы   |
| $i$                              | ‰/00              | Уклон (подъем или спуск) Знак (+) ставится при подъеме, знак (—) ставится при спуске  |
| $i_p$                            | ‰/00              | Расчетный подъем  |
| $i_k$                            | ‰/00              | Приведенный уклон, т. е. с учетом влияния кривой $i_k = i + \omega_r$   |
| $i_{op}$                         | —                 | Передаточное отношение осевого редуктора тепловоза с гидравлической передачей   |
| $i_{тр}$                         | ‰/00              | Уклои участка пути, на котором происходит трогание поезда   |
| $i_c$                            | ‰/00              | Уклон участка пути, спрямленного в продольном профиле и плане   |

| Обозначения величин и сокращения | Единица измерения | Величина  |
|----------------------------------|-------------------|---|
| $i'_c$                           | °/00              | Уклон участка пути, спрямленного в продольном профиле   |
| $i''_c$                          | °/00              | Уклон участка пути, спрямленного в плане  |
| $\Delta i$                       | °/00              | Абсолютная разность между уклоном спрямляемого участка и уклоном любого элемента, входящего в спрямляемый участок   |
| $K$                              | тс                | Сила нажатия на одну тормозную колодку  |
| $K_{\text{в}}$                   | тс                | Расчетная сила нажатия на одну тормозную колодку  |
| $\kappa$                         | мм                | Масштаб сил, применяемый для построения диаграмм ускоряющих и замедляющих усилий  |
| $K_{\text{в}}$                   |                   | Коэффициент, учитывающий увеличение основного сопротивления движению от встречного и бокового ветра   |
| $K_{\text{кр}}$                  |                   | Коэффициент снижения силы тяги локомотива или моторного вагона по сцеплению при движении его в кривых участках пути   |
| $K_{\text{ив}}$                  |                   | Коэффициент приведения превышения температуры тяговых электрических машин к расчетной температуре окружающего воздуха   |
| $K_{\text{нт}}$                  |                   | Коэффициент, учитывающий увеличение основного сопротивления движению от низкой температуры наружного воздуха  |
| $K_{\text{п}}$                   |                   | Коэффициент, учитывающий уменьшение расхода охлаждающего воздуха при работе тепловоза на промежуточных позициях контроллера машиниста, используемый при расчете температуры обмоток тяговых электродвигателей |
| $K_{\text{сз}}$                  |                   | Коэффициент, учитывающий влияние устройств снегозащиты на нагревание обмоток тяговых электродвигателей  |
| $K_{\text{д}}$                   |                   | Коэффициент приведения тока тягового электродвигателя наиболее нагруженного электровагона при кратной тяге  |
| $k_{\text{р}}$                   |                   | Коэффициент, учитывающий изменение мощности дизеля тепловоза от атмосферного давления   |
| $k_{\text{т}}$                   |                   | Коэффициент, учитывающий изменение мощности дизеля тепловоза от температуры наружного воздуха   |
| $K_{\text{в}}$                   |                   | Коэффициент формы кривой напряжения на токоприемнике электровагона или электропоезда переменного тока   |
| $L$                              | км                | Длина тягового участка  |
| $l_{\text{п}}$                   | м                 | Длина поезда  |
| $l_{\text{с}}$                   | м                 | Длина состава   |
| $l_{\text{л}}$                   | м                 | Длина локомотива  |
| $l_{\text{поп}}$                 | м                 | Длина присемо-отправочных путей   |
| $l_{\text{т}}$                   | м                 | Длина вагона данного типа по осям автосцепки  |
| $m$                              | мм                | Масштаб скорости при построении графиков $v = v(s)$ способом МПС  |
| $m_{\text{дп}}$                  | шт.               | Число вагонов дизель-поезда   |
| $m_{\text{л}}$                   | шт.               | Число локомотивов в поезде  |
| $m_{\text{п}}$                   | шт.               | Число вагонов в пассажирском поезде   |

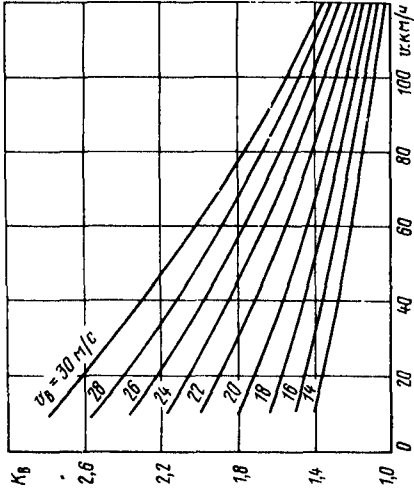
| Обозначения величин и сокращения | Единица измерения   | Величина   |
|----------------------------------|---------------------|--|
| $m_m$                            | шт.                 | Число моторных вагонов дизель-поезда   |
| $m_э$                            | шт                  | Число шести-, восьми-, двенадцатиосных электровозов, работающих в хвосте поезда  |
| НП                               |                     | Нормальное возбуждение режим работы тяговых электродвигателей, при котором установлены их номинальные данные   |
| $n$                              | об/мин              | Частота вращения якоря тягового электродвигателя   |
| $n_{БК}$                         | шт.                 | Число вагонов пассажирского поезда без кондиционеров   |
| $n_d$                            | об/мин              | Частота вращения коленчатого вала дизеля тепловоза   |
| $n_k$                            | -                   | Положение (позиция) контроллера машиниста  |
| $n_{кв}$                         | шт.                 | Число вагонов с кондиционированием воздуха в составе пассажирского поезда  |
| $n_э$                            | шт.                 | Число шести-, восьми-, двенадцатиосных электровозов, работающих в голове поезда  |
| $n_l$                            | шт                  | Число одноосных вагонов в составе  |
| ОП1—ОП5                          | -                   | Ступени ослабления возбуждения тягового электродвигателя   |
| $P$                              | т                   | Расчетная масса локомотива, моторных вагонов: для паровозов с учетом массы тендера при 2/3 запаса воды и топлива; для тепловозов и дизель-поездов при 2/3 запаса топлива и песка |
| $P_{Гк}$                         | кВт                 | Мощность подвагонного генератора, расходуемая на кондиционирование воздуха   |
| $P_{Пг}$                         | кВт                 | Фактическая мощность подвагонного генератора   |
| $P_{сш}$                         | тс                  | Сцепной вес локомотива (для тепловоза при 1/3 запасов топлива и песка)   |
| $P'$                             | кВт                 | Средняя условная мощность подвагонного генератора  |
| $P$                              |                     | Параллельное соединение тяговых электродвигателей  |
| ПП                               |                     | Полное возбуждение тяговых электродвигателей   |
| $Q$                              | т                   | Масса состава (вагонов) В электро- и дизель-поездах масса прицепных вагонов  |
| $Q_v$                            | м <sup>3</sup> /мин | Подача охлаждающего воздуха, прогоняемого через тяговый электродвигатель   |
| $Q_{тр}$                         | т                   | Масса состава, рассчитанная по условиям трогания его локомотивом с места   |
| $q$                              | т                   | Масса одного вагона брутто   |
| $q_l$                            | т                   | Средняя масса вагона (брутто) для группы одноосных вагонов   |
| $q_0$                            | т                   | Масса, приходящаяся на ось колесной пары   |
| $q'_0$                           | тс                  | Нагрузка от колесной пары на рельсы наименее нагруженного вагона   |
| $R$                              | м                   | Радиус кривой  |
| $R_l$                            | м                   | Радиус кривой в пределах спрямленного участка пути   |
| $s$                              | м                   | Расстояние, путь, длина элементов профиля  |

| Обозначения величин и сокращения | Единица измерения | Величина  |
|----------------------------------|-------------------|---|
| $s_{крi}$                        | м                 | Длина кривой данного радиуса в пределах спрямляемого участка пути   |
| $s_{кр}$                         | м                 | Длина кривоуго участка пути   |
| $s_c$                            | м                 | Длина спрямляемого участка профиля  |
| $s_d$                            | м                 | Условный тормозной путь, который проходит поезд при полном действии тормозных колодок                                   |
| $s_{п}$                          | м                 | Путь, проходимый поездом при подготовке тормозов к действию   |
| $s_T$                            | м                 | Полный (расчетный) тормозной путь   |
| $s_k$                            | м                 | Расстояние между кругами катания колес  |
| $T$                              | мин               | Тепловая постоянная времени в уравнении нагревания  |
| $t$                              | ч, мин, с         | Время   |
| $t_{ст}$                         | ч, мин            | Время стоянок   |
| $t_{п}$                          | с                 | Время подготовки тормозов к действию (условное)   |
| $t_{ро}$                         | ч, мин            | Время хода паровоза с открытым регулятором  |
| $t_{рз}$                         | ч, мин            | Время хода паровоза с закрытым регулятором  |
| $t_x$                            | мин               | Время работы дизеля на холостом ходу  |
| $\Delta t$                       | мин, с            | Интервал времени  |
| $t_{нв}$                         | °С                | Температура наружного воздуха   |
| $t_{ген}$                        | °С                | Температура воздуха, охлаждающего генератор   |
| $U_{э}$                          | В                 | Номинальное напряжение на токоприемнике электровоза, моторного вагона электропоезда                                     |
| $U'_{э}$                         | В                 | Расчетное пониженное напряжение на токоприемнике электровоза, электропоезда   |
| $U_d$                            | В                 | Напряжение на коллекторе тягового электродвигателя  |
| $u_n$                            | кг                | Испарительная способность 1 кг условного топлива в нормальном паре  |
| $v$                              | км/ч              | Скорость движения   |
| $v_k$                            | км/ч              | Конечная скорость   |
| $v_n$                            | км/ч              | Начальная скорость  |
| $v_0$                            | км/ч              | Скорость поезда в начале торможения   |
| $v_B$                            | м/с               | Скорость ветра  |
| $v_p$                            | км/ч              | Расчетная скорость  |
| $v_ч$                            | км/ч              | Скорость электровоза, соответствующая часовому току тягового электродвигателя   |
| $v'$                             | км/ч              | Скорость движения электровоза, электропоезда при пониженном напряжении на токоприемнике                                 |
| $v_{оо}$                         | км/ч              | Скорость электровоза, соответствующая длительному току тягового электродвигателя  |
| $w_i$                            | кгс/т             | Дополнительное удельное сопротивление движению подвижного состава от уклона   |
| $w'_0$                           | кгс/т             | Основное удельное сопротивление движению локомотива, дизель-поезда или электропоезда как повозки (при движении с тягой) |
| $w_0^n$                          | кгс/т             | Основное удельное сопротивление движению состава (вагонов)  |
| $w_0$                            | кгс/т             | Основное удельное сопротивление движению поезда   |

| Обозначения<br>величины и<br>сокращения | Единица<br>измерения       | Величина  |
|---|----------------------------|---|
| $\omega_{ох}$                           | кгс/т                      | Основное удельное сопротивление движению поезда при холостом ходе локомотива, дизель-поезда или электропоезда |
| $\omega_{х}$                            | кгс/т                      | Основное удельное сопротивление движению локомотива на холостом ходу  |
| $\omega_{пг}$                           | кгс/т                      | Дополнительное удельное сопротивление движению поезда от подвагонных генераторов                              |
| $\omega_{тр}$                           | кгс/т                      | Удельное сопротивление состава при трогании с места (основное и дополнительное -- суммарно)                   |
| $\omega_{г}$                            | кгс/т                      | Дополнительное удельное сопротивление подвижного состава при движении по кривой                               |
| $\omega_{к}$                            | кгс/т                      | Общее удельное сопротивление движению поезда  |
| $x$                                     | мм                         | Масштаб времени (минута), применяемый при построении графика $t=t(s)$ способом МПС                            |
| $X$                                     | мм                         | Масштаб времени (час), применяемый при построении графика $t=t(s)$ способом МПС                               |
| $y$                                     | мм                         | Масштаб пути, применяемый при построении графиков $v=v(s)$ и $t=t(s)$ способом МПС                            |
| $Z_0$                                   | кг/(м <sup>2</sup> ·ч)     | Форсировка котла, соответствующая расходу пара котлом на стоянках и при движении с закрытым регулятором       |
| $Z_m$                                   | кг/(м <sup>2</sup> ·ч)     | Форсировка испаряющей поверхности нагрева котла по машине   |
| $Z_k$                                   | кг/(м <sup>2</sup> ·ч)     | Полная форсировка испаряющей поверхности нагрева котла  |
| $Z_{кн}$                                | кг/(м <sup>2</sup> ·ч)     | То же в нормальном паре   |
| $\mathcal{E}$                           | -                          | Технический эквивалент в взаимозаменяемости топлива   |
| $\alpha$                                | %                          | Степень ослабления возбуждения яговых электродвигателей   |
| $\alpha'$                               | -                          | Коэффициент, учитывающий дополнительный расход пара котлом  |
| $\alpha^0$                              | град                       | Центральный угол кривой участка пути  |
| $\alpha_i$                              | -                          | Доля (по массе) состава, приходящаяся на данную группу одноэтажных вагонов                                    |
| $\Delta$                                | мм                         | Постоянный отрезок, применяемый при построении графика $t=t(s)$ способом МПС                                  |
| $\epsilon$                              | -                          | Степень наполнения (отсечка) цилиндров паровоза   |
| $\zeta$                                 | км/ч <sup>2</sup> /(кгс/т) | Ускорение или замедление поезда при удельной силе 1 кгс/т   |
| $\eta_d$                                | %                          | Коэффициент полезного действия тягового электродвигателя, относенный к ободу колеса                           |
| $\vartheta$                             | тс/т                       | Тормозной коэффициент поезда  |
| $\vartheta_p$                           | тс/т                       | Расчетный тормозной коэффициент поезда  |
| $\mu$                                   | -                          | Передаточное число зубчатой передачи на движущую ось  |
| $\rho$                                  | кг/м <sup>3</sup>          | Плотность воздуха   |
| $\tau$                                  | °С                         | Превышение температуры обмотки генератора или тягового электродвигателя над температурой охлаждающего воздуха |
| $\tau_{дп}$                             | °С                         | Перегрев обмотки добавочных полюсов тягового электродвигателя   |

| Обозначения величин и сокращения | Единица измерения | Величина  |
|----------------------------------|-------------------|---|
| $\tau_{\text{доп}}$              | °С                | Допускаемое превышение температур обмоток тяговых электрических машин над температурой охлаждающего воздуха   |
| $\tau_{\text{к}}$                | м/с <sup>2</sup>  | Непогашенное центробежное ускорение поезда в кривой   |
| $\tau_0$                         | °С                | Начальное превышение температуры обмоток тяговых электрических машин для расчетного промежутка времени  |
| $\tau_{\text{р}}$                | °С                | Превышение температуры обмоток тяговых электрических машин, приведенное к расчетной температуре охлаждающего воздуха с учетом устройств снегозащиты |
| $\tau_{\infty}$                  | °С                | Установившееся превышение температуры обмоток тяговых электрических машин над температурой охлаждающего воздуха                                     |
| $\varphi_{\text{к}}$             | —                 | Коэффициент трения тормозной колодки о колесо   |
| $\varphi_{\text{кр}}$            | —                 | Расчетный коэффициент трения тормозной колодки о колесо   |
| $\psi_{\text{к}}$                | —                 | Расчетный коэффициент сцепления движущих колес локомотива или моторного вагона с рельсами   |
| $\psi_{\text{к кр}}$             | —                 | Расчетный коэффициент сцепления движущих колес локомотива или моторного вагона с рельсами при движении его по кривым малого радиуса                 |

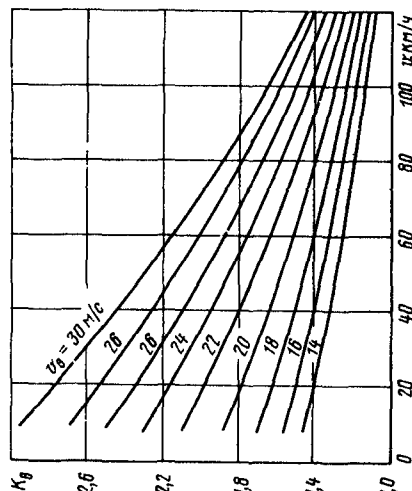
НОМОГРАММЫ ДЛЯ ОПРЕДЕЛЕНИЯ КОЭФФИЦИЕНТА  $K_v$ , УЧИТЫВАЮЩЕГО УВЕЛИЧЕНИЕ ОСНОВНОГО УДЕЛЬНОГО СОПРОТИВЛЕНИЯ ДВИЖЕНИЮ ПОЕЗДА ОТ ВСТРЕЧНОГО И БОКОВОГО ВЕТРА, В ЗАВИСИМОСТИ ОТ СКОРОСТИ ВЕТРА И СКОРОСТИ ДВИЖЕНИЯ (РИС. 2.1—2.7).



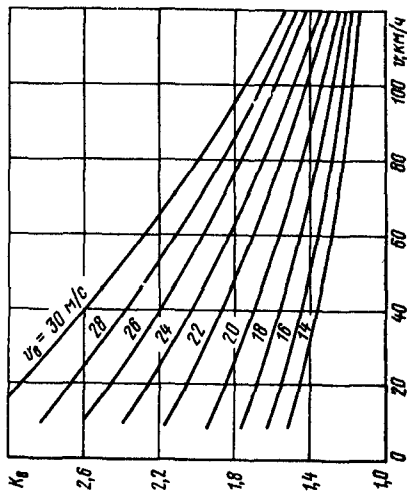
| $v_0$ | $v$  |      |      |      |      |      |      |      |      |      |      |      |
|-------|------|------|------|------|------|------|------|------|------|------|------|------|
|       | 10   | 20   | 30   | 40   | 50   | 60   | 70   | 80   | 90   | 100  | 110  | 120  |
| 14    | 1,40 | 1,36 | 1,32 | 1,27 | 1,24 | 1,21 | 1,17 | 1,14 | 1,11 | 1,07 | 1,05 | 1,03 |
| 16    | 1,50 | 1,46 | 1,40 | 1,35 | 1,31 | 1,26 | 1,23 | 1,19 | 1,16 | 1,12 | 1,10 | 1,06 |
| 18    | 1,63 | 1,57 | 1,51 | 1,46 | 1,40 | 1,35 | 1,30 | 1,25 | 1,22 | 1,17 | 1,14 | 1,10 |
| 20    | 1,78 | 1,71 | 1,64 | 1,58 | 1,51 | 1,44 | 1,38 | 1,33 | 1,28 | 1,22 | 1,18 | 1,14 |
| 22    | 1,98 | 1,88 | 1,80 | 1,72 | 1,63 | 1,55 | 1,48 | 1,41 | 1,34 | 1,28 | 1,23 | 1,18 |
| 24    | 2,16 | 2,04 | 1,94 | 1,85 | 1,75 | 1,66 | 1,58 | 1,50 | 1,43 | 1,36 | 1,28 | 1,22 |
| 26    | 2,36 | 2,22 | 2,10 | 1,98 | 1,87 | 1,77 | 1,67 | 1,58 | 1,49 | 1,41 | 1,34 | 1,27 |
| 28    | 2,55 | 2,39 | 2,25 | 2,11 | 1,99 | 1,89 | 1,77 | 1,67 | 1,57 | 1,47 | 1,40 | 1,32 |
| 30    | 2,78 | 2,61 | 2,45 | 2,30 | 2,16 | 2,02 | 1,88 | 1,75 | 1,65 | 1,55 | 1,45 | 1,36 |

Рис. 2.1. Коэффициент  $K_v$  при  $\rho_v = 1,0 \text{ кг/м}^3$

| $v_6$ | $v$  |      |      |      |      |      |      |      |      |      |      |      |
|-------|------|------|------|------|------|------|------|------|------|------|------|------|
|       | 10   | 20   | 30   | 40   | 50   | 60   | 70   | 80   | 90   | 100  | 110  | 120  |
| 14    | 1,44 | 1,40 | 1,36 | 1,32 | 1,28 | 1,25 | 1,21 | 1,18 | 1,15 | 1,12 | 1,10 | 1,08 |
| 16    | 1,55 | 1,50 | 1,45 | 1,40 | 1,36 | 1,32 | 1,28 | 1,24 | 1,20 | 1,17 | 1,14 | 1,12 |
| 18    | 1,68 | 1,62 | 1,56 | 1,51 | 1,45 | 1,40 | 1,35 | 1,30 | 1,26 | 1,22 | 1,18 | 1,16 |
| 20    | 1,87 | 1,78 | 1,72 | 1,65 | 1,57 | 1,51 | 1,45 | 1,39 | 1,33 | 1,28 | 1,24 | 1,20 |
| 22    | 2,05 | 1,96 | 1,88 | 1,80 | 1,71 | 1,63 | 1,55 | 1,48 | 1,42 | 1,35 | 1,30 | 1,24 |
| 24    | 2,27 | 2,15 | 2,05 | 1,95 | 1,84 | 1,74 | 1,66 | 1,58 | 1,50 | 1,42 | 1,35 | 1,29 |
| 26    | 2,48 | 2,34 | 2,21 | 2,09 | 1,97 | 1,85 | 1,76 | 1,67 | 1,55 | 1,50 | 1,42 | 1,34 |
| 28    | 2,68 | 2,53 | 2,39 | 2,26 | 2,13 | 2,00 | 1,88 | 1,77 | 1,67 | 1,57 | 1,48 | 1,40 |
| 30    | 2,95 | 2,77 | 2,60 | 2,45 | 2,29 | 2,15 | 2,00 | 1,87 | 1,75 | 1,64 | 1,53 | 1,45 |

Рис. 2.2. Коэффициент  $K_6$  при  $\rho_a = 1,1$  кг/м<sup>3</sup>

| $v_6$ | $v$  |      |      |      |      |      |      |      |      |      |      |      |
|-------|------|------|------|------|------|------|------|------|------|------|------|------|
|       | 10   | 20   | 30   | 40   | 50   | 60   | 70   | 80   | 90   | 100  | 110  | 120  |
| 14    | 1,51 | 1,45 | 1,40 | 1,36 | 1,32 | 1,29 | 1,26 | 1,24 | 1,20 | 1,17 | 1,16 | 1,14 |
| 16    | 1,62 | 1,55 | 1,50 | 1,45 | 1,40 | 1,37 | 1,33 | 1,29 | 1,25 | 1,23 | 1,20 | 1,18 |
| 18    | 1,75 | 1,68 | 1,62 | 1,57 | 1,51 | 1,46 | 1,41 | 1,37 | 1,33 | 1,28 | 1,25 | 1,22 |
| 20    | 1,84 | 1,85 | 1,78 | 1,71 | 1,64 | 1,57 | 1,51 | 1,46 | 1,40 | 1,34 | 1,30 | 1,28 |
| 22    | 2,16 | 2,05 | 1,96 | 1,88 | 1,79 | 1,70 | 1,63 | 1,56 | 1,50 | 1,42 | 1,37 | 1,31 |
| 24    | 2,38 | 2,25 | 2,14 | 2,04 | 1,93 | 1,83 | 1,74 | 1,66 | 1,57 | 1,50 | 1,43 | 1,37 |
| 26    | 2,60 | 2,46 | 2,32 | 2,20 | 2,08 | 1,97 | 1,87 | 1,77 | 1,67 | 1,58 | 1,50 | 1,43 |
| 28    | 2,81 | 2,67 | 2,51 | 2,37 | 2,24 | 2,12 | 2,00 | 1,88 | 1,76 | 1,65 | 1,56 | 1,48 |
| 30    | 3,11 | 2,92 | 2,75 | 2,60 | 2,43 | 2,28 | 2,13 | 1,98 | 1,87 | 1,75 | 1,63 | 1,55 |

Рис. 2.3. Коэффициент  $K_6$  при  $\rho_a = 1,2$  кг/м<sup>3</sup>

| $v_6$ | $v$  |      |      |      |      |      |      |      |      |      |      |      |
|-------|------|------|------|------|------|------|------|------|------|------|------|------|
|       | 10   | 20   | 30   | 40   | 50   | 60   | 70   | 80   | 90   | 100  | 110  | 120  |
| 14    | 1,54 | 1,49 | 1,45 | 1,41 | 1,37 | 1,35 | 1,31 | 1,29 | 1,26 | 1,23 | 1,21 | 1,19 |
| 16    | 1,67 | 1,60 | 1,55 | 1,50 | 1,45 | 1,42 | 1,37 | 1,35 | 1,31 | 1,28 | 1,25 | 1,23 |
| 18    | 1,81 | 1,74 | 1,68 | 1,63 | 1,57 | 1,52 | 1,47 | 1,43 | 1,38 | 1,34 | 1,31 | 1,28 |
| 20    | 2,00 | 1,97 | 1,84 | 1,78 | 1,70 | 1,64 | 1,58 | 1,52 | 1,47 | 1,41 | 1,37 | 1,33 |
| 22    | 2,25 | 2,14 | 2,05 | 1,96 | 1,87 | 1,78 | 1,70 | 1,63 | 1,56 | 1,49 | 1,44 | 1,38 |
| 24    | 2,48 | 2,36 | 2,24 | 2,14 | 2,03 | 1,92 | 1,83 | 1,74 | 1,66 | 1,58 | 1,50 | 1,44 |
| 26    | 2,74 | 2,59 | 2,45 | 2,31 | 2,18 | 2,06 | 1,95 | 1,86 | 1,76 | 1,67 | 1,58 | 1,51 |
| 28    | 2,98 | 2,81 | 2,64 | 2,48 | 2,36 | 2,23 | 2,10 | 1,99 | 1,87 | 1,77 | 1,67 | 1,58 |
| 30    | 3,11 | 2,97 | 2,80 | 2,65 | 2,51 | 2,37 | 2,22 | 2,10 | 1,97 | 1,85 | 1,74 | 1,65 |

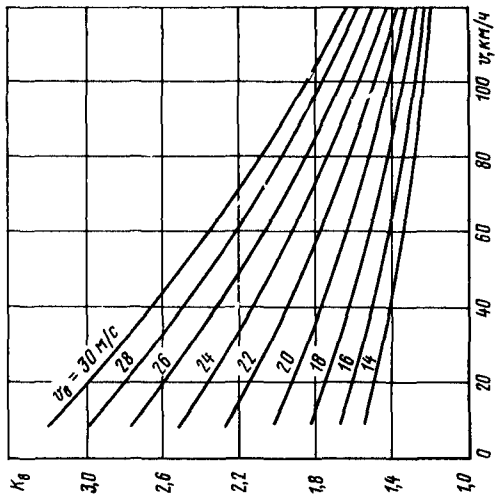


Рис. 2.4. Коэффициент  $K_6$  при  $\rho_s = 1,3 \text{ кг/м}^3$

| $v_6$ | $v$  |      |      |      |      |      |      |      |      |      |      |      |
|-------|------|------|------|------|------|------|------|------|------|------|------|------|
|       | 10   | 20   | 30   | 40   | 50   | 60   | 70   | 80   | 90   | 100  | 110  | 120  |
| 14    | 1,60 | 1,54 | 1,49 | 1,45 | 1,41 | 1,38 | 1,35 | 1,34 | 1,30 | 1,28 | 1,26 | 1,25 |
| 16    | 1,71 | 1,65 | 1,60 | 1,55 | 1,50 | 1,47 | 1,42 | 1,40 | 1,36 | 1,33 | 1,31 | 1,29 |
| 18    | 1,88 | 1,80 | 1,75 | 1,70 | 1,64 | 1,58 | 1,54 | 1,49 | 1,45 | 1,40 | 1,38 | 1,34 |
| 20    | 2,08 | 1,99 | 1,92 | 1,86 | 1,77 | 1,70 | 1,64 | 1,59 | 1,53 | 1,47 | 1,43 | 1,39 |
| 22    | 2,35 | 2,23 | 2,13 | 2,04 | 1,94 | 1,86 | 1,77 | 1,70 | 1,63 | 1,56 | 1,50 | 1,45 |
| 24    | 2,68 | 2,46 | 2,34 | 2,24 | 2,12 | 2,01 | 1,93 | 1,82 | 1,75 | 1,66 | 1,59 | 1,52 |
| 26    | 2,86 | 2,71 | 2,56 | 2,42 | 2,29 | 2,16 | 2,05 | 1,96 | 1,86 | 1,75 | 1,67 | 1,59 |
| 28    | 3,12 | 2,96 | 2,79 | 2,63 | 2,49 | 2,35 | 2,22 | 2,08 | 1,97 | 1,85 | 1,76 | 1,67 |
| 30    | 3,55 | 3,33 | 3,11 | 2,79 | 2,71 | 2,53 | 2,36 | 2,21 | 2,07 | 1,95 | 1,84 | 1,74 |

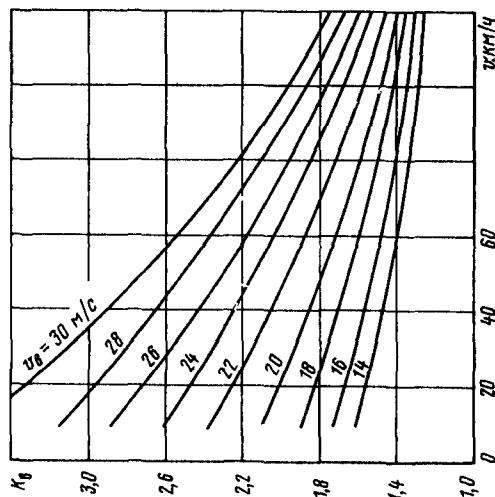


Рис. 2.5. Коэффициент  $K_6$  при  $\rho_s = 1,4 \text{ кг/м}^3$

| $v_6$ | $v$  |      |      |      |      |      |      |      |      |      |      |      |
|-------|------|------|------|------|------|------|------|------|------|------|------|------|
|       | 10   | 20   | 30   | 40   | 50   | 60   | 70   | 80   | 90   | 100  | 110  | 120  |
| 14    | 1,62 | 1,58 | 1,54 | 1,50 | 1,47 | 1,44 | 1,42 | 1,39 | 1,36 | 1,33 | 1,32 | 1,30 |
| 16    | 1,75 | 1,70 | 1,65 | 1,60 | 1,56 | 1,52 | 1,48 | 1,45 | 1,42 | 1,39 | 1,37 | 1,35 |
| 18    | 1,92 | 1,86 | 1,80 | 1,75 | 1,68 | 1,63 | 1,58 | 1,55 | 1,50 | 1,46 | 1,43 | 1,40 |
| 20    | 2,14 | 2,06 | 1,98 | 1,91 | 1,84 | 1,77 | 1,71 | 1,65 | 1,60 | 1,54 | 1,50 | 1,46 |
| 22    | 2,43 | 2,32 | 2,21 | 2,11 | 2,01 | 1,93 | 1,84 | 1,77 | 1,70 | 1,63 | 1,57 | 1,52 |
| 24    | 2,71 | 2,57 | 2,45 | 2,33 | 2,21 | 2,10 | 2,00 | 1,91 | 1,81 | 1,73 | 1,65 | 1,59 |
| 26    | 3,00 | 2,83 | 2,67 | 2,53 | 2,39 | 2,26 | 2,15 | 2,05 | 1,94 | 1,84 | 1,75 | 1,67 |
| 28    | 3,24 | 3,07 | 2,92 | 2,73 | 2,59 | 2,45 | 2,32 | 2,19 | 2,07 | 1,95 | 1,85 | 1,75 |
| 30    | 3,62 | 3,41 | 3,20 | 3,00 | 2,82 | 2,64 | 2,47 | 2,33 | 2,20 | 2,06 | 1,94 | 1,83 |

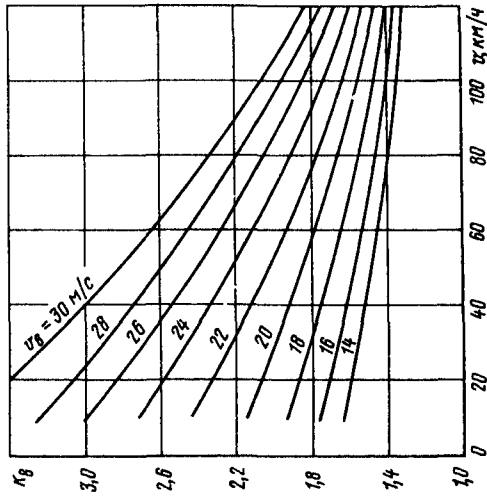


Рис. 2.6. Коэффициент  $K_8$  при  $\rho_s = 1,5 \text{ кг/м}^3$

| $v_6$ | $v$  |      |      |      |      |      |      |      |      |      |      |      |
|-------|------|------|------|------|------|------|------|------|------|------|------|------|
|       | 10   | 20   | 30   | 40   | 50   | 60   | 70   | 80   | 90   | 100  | 110  | 120  |
| 14    | 1,66 | 1,62 | 1,58 | 1,55 | 1,52 | 1,49 | 1,46 | 1,44 | 1,42 | 1,40 | 1,37 | 1,36 |
| 16    | 1,80 | 1,75 | 1,70 | 1,65 | 1,61 | 1,57 | 1,54 | 1,51 | 1,48 | 1,44 | 1,42 | 1,40 |
| 18    | 1,98 | 1,91 | 1,86 | 1,80 | 1,74 | 1,69 | 1,64 | 1,60 | 1,56 | 1,51 | 1,49 | 1,46 |
| 20    | 2,22 | 2,13 | 2,06 | 1,98 | 1,91 | 1,84 | 1,77 | 1,72 | 1,66 | 1,60 | 1,56 | 1,52 |
| 22    | 2,52 | 2,40 | 2,30 | 2,20 | 2,10 | 2,01 | 1,92 | 1,85 | 1,77 | 1,70 | 1,64 | 1,59 |
| 24    | 2,80 | 2,67 | 2,54 | 2,42 | 2,29 | 2,18 | 2,08 | 1,99 | 1,89 | 1,81 | 1,73 | 1,66 |
| 26    | 3,12 | 2,96 | 2,80 | 2,65 | 2,51 | 2,37 | 2,24 | 2,14 | 2,02 | 1,93 | 1,84 | 1,75 |
| 28    | 3,44 | 3,24 | 3,06 | 2,86 | 2,71 | 2,57 | 2,42 | 2,29 | 2,16 | 2,04 | 1,94 | 1,84 |
| 30    | 3,80 | 3,58 | 3,33 | 3,07 | 2,93 | 2,75 | 2,59 | 2,44 | 2,29 | 2,16 | 2,03 | 1,93 |

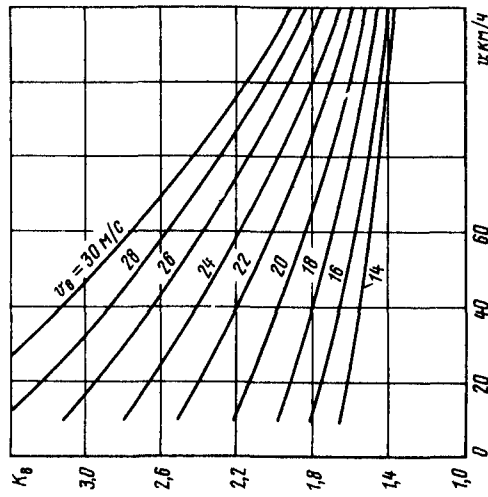


Рис. 2.7. Коэффициент  $K_8$  при  $\rho_s = 1,6 \text{ кг/м}^3$

**НОМОГРАММЫ ДЛЯ ОПРЕДЕЛЕНИЯ ТОРМОЗНОГО ПУТИ В ЗАВИСИМОСТИ ОТ РАСЧЕТНОГО ТОРМОЗНОГО КОЭФФИЦИЕНТА ( $100\phi_p$ ) И СКОРОСТИ В НАЧАЛЕ ТОРМОЖЕНИЯ**

На рис. 3.1--3.11 приведены тормозные пути грузовых поездов в зависимости от расчетного нажатия в тонно-силах на 100 т массы состава; на рис. 3.12--3.22 тормозные пути пассажирских поездов в зависимости от расчетного нажатия в тонно-силах на 100 т массы поезда.

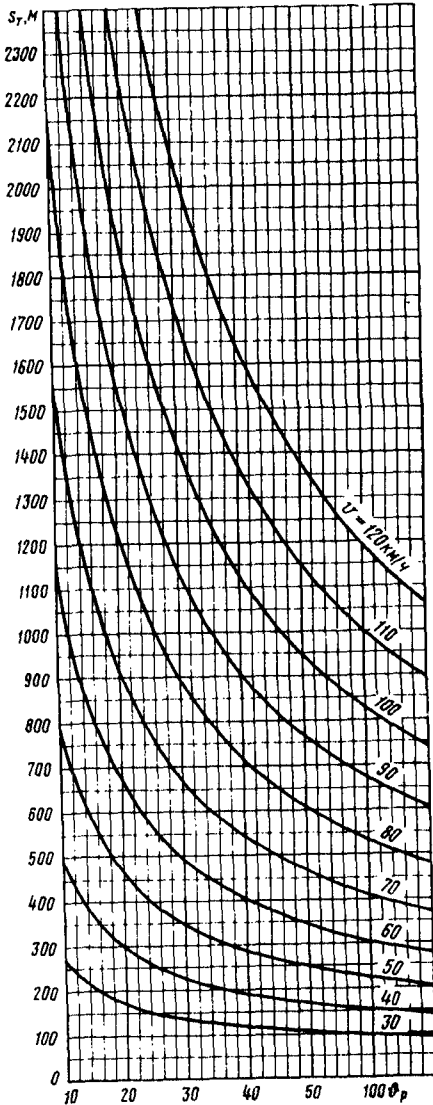


Рис. 3.1. Тормозной путь грузового поезда на площадке  $i=0\%$

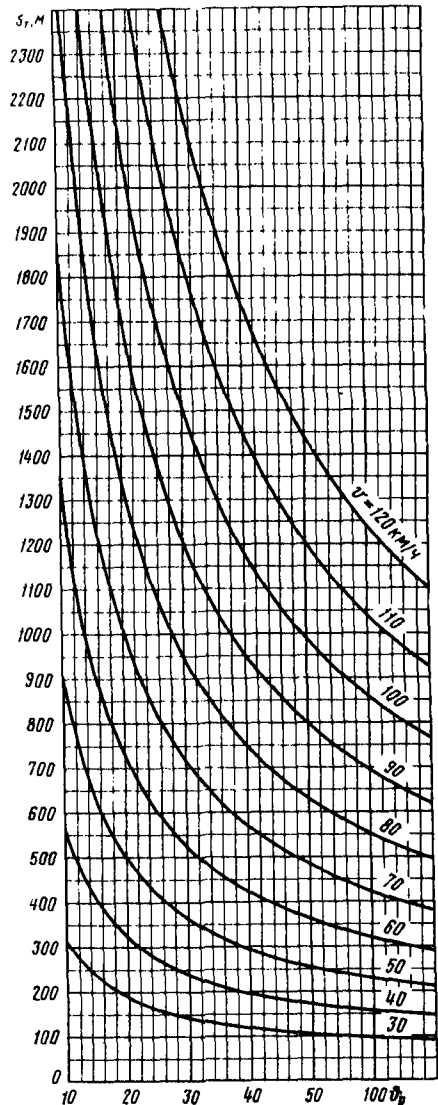


Рис. 3.2. Тормозной путь грузового поезда на спуске  $i=2\%$

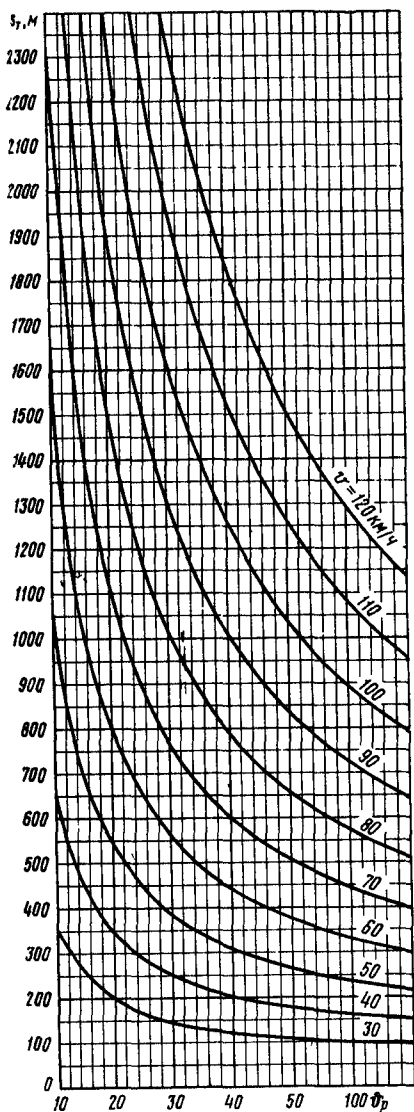


Рис 3.3 Тормозной путь грузового поезда на спуске  $i = -4‰$

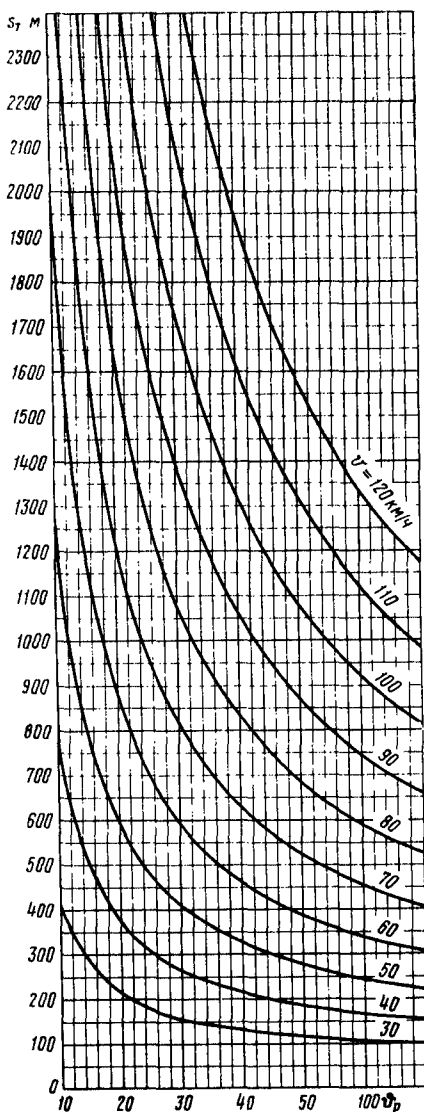


Рис 3.4 Тормозной путь грузового поезда на спуске  $i = -6‰$

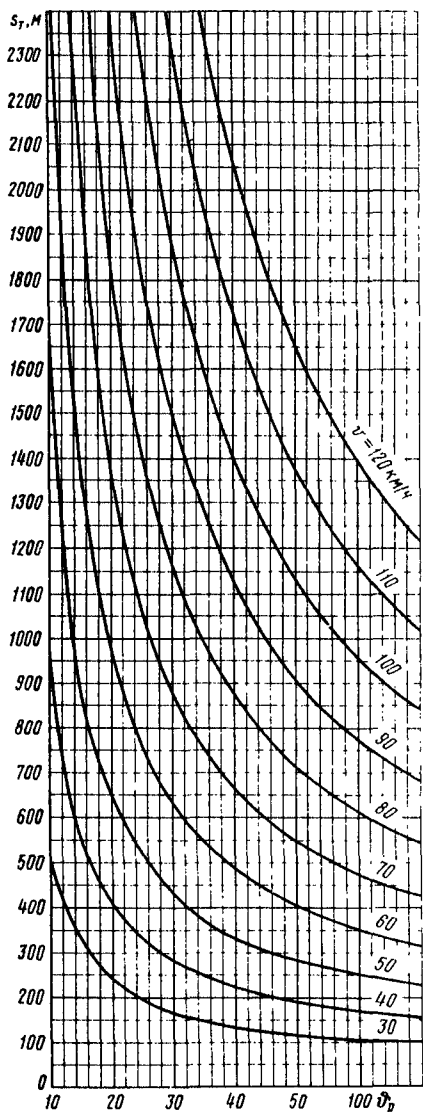


Рис. 35. Тормозной путь грузового поезда на спуске  $i = -8\%$

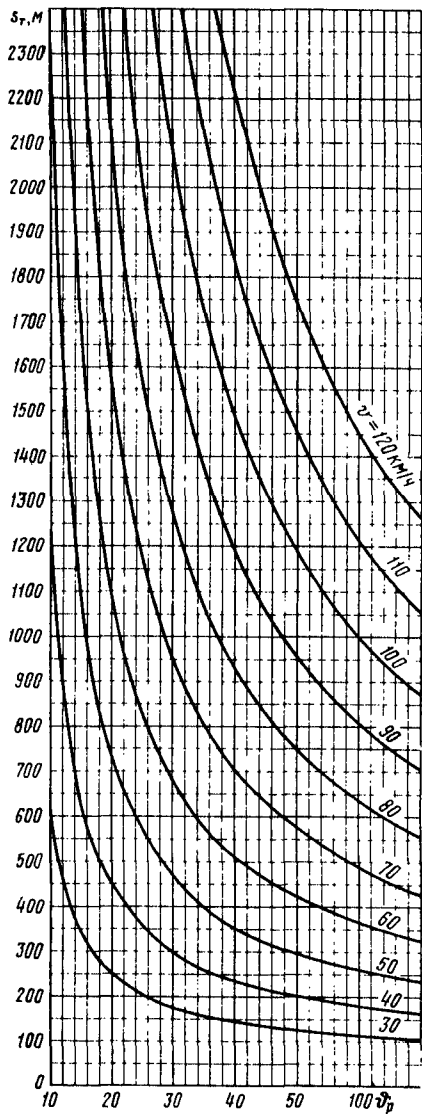


Рис. 36 Тормозной путь грузового поезда на спуске  $i = -10\%$

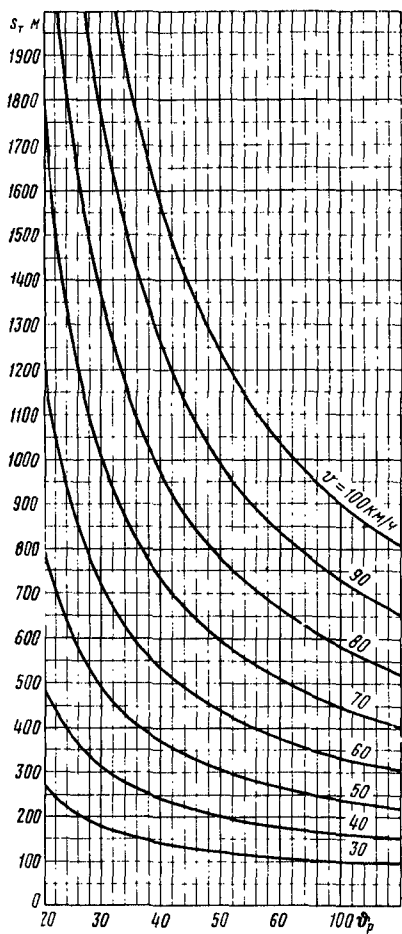


Рис 37 Тормозной путь грузового поезда на спуске  $i = -12\%$

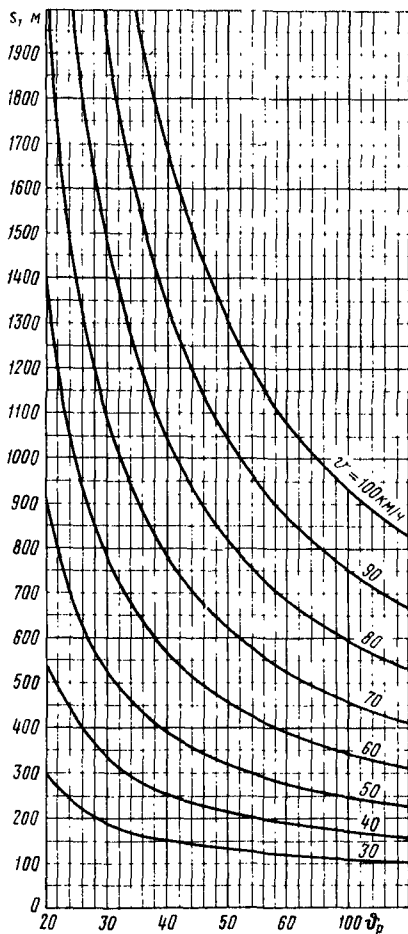


Рис 38 Тормозной путь грузового поезда на спуске  $i = 14\%$

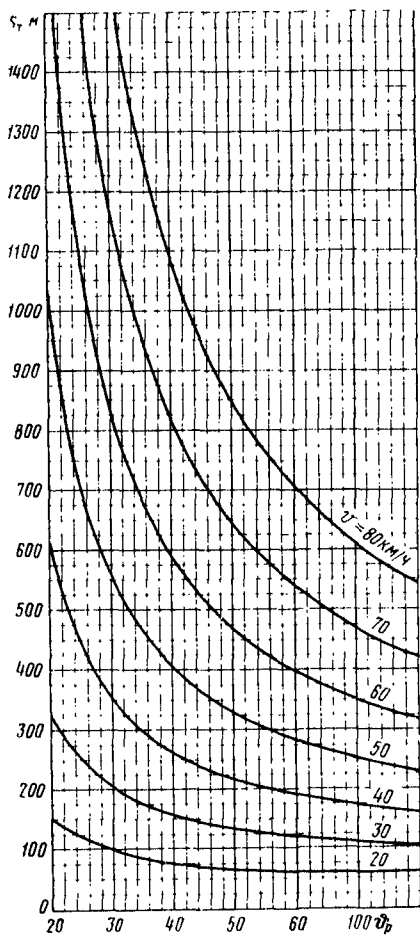


Рис 39 Тормозной путь грузового поезда на спуске  $i = 16\text{‰}$

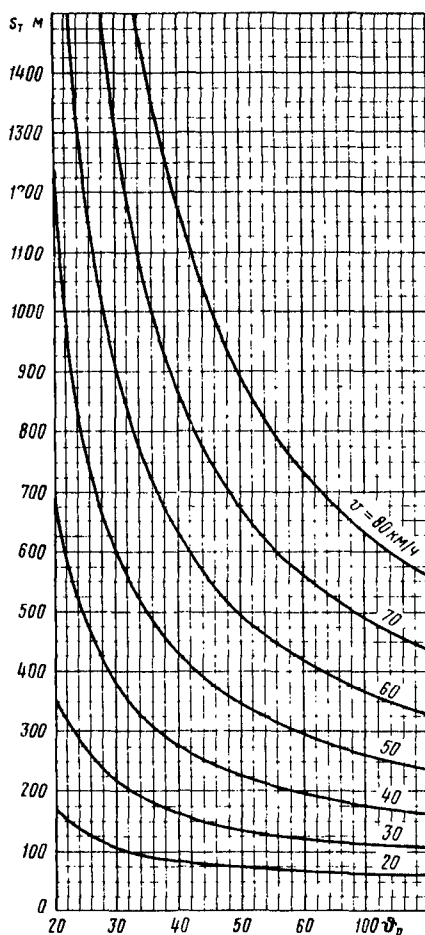


Рис 310. Тормозной путь грузового поезда на спуске  $i = 18\text{‰}$

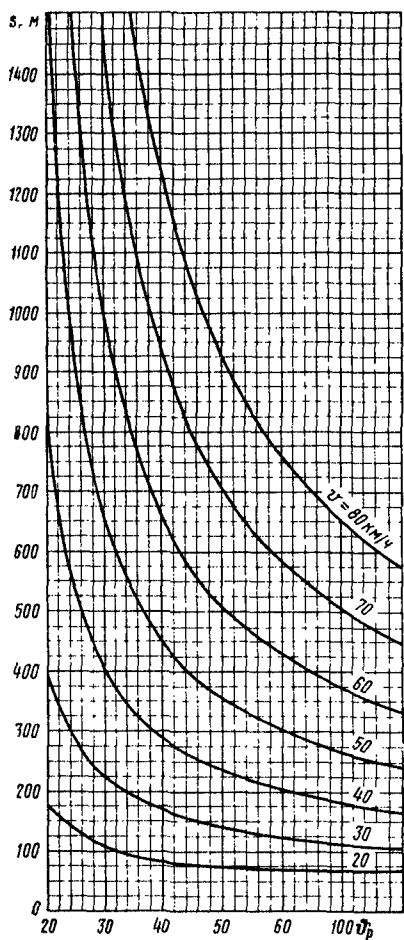
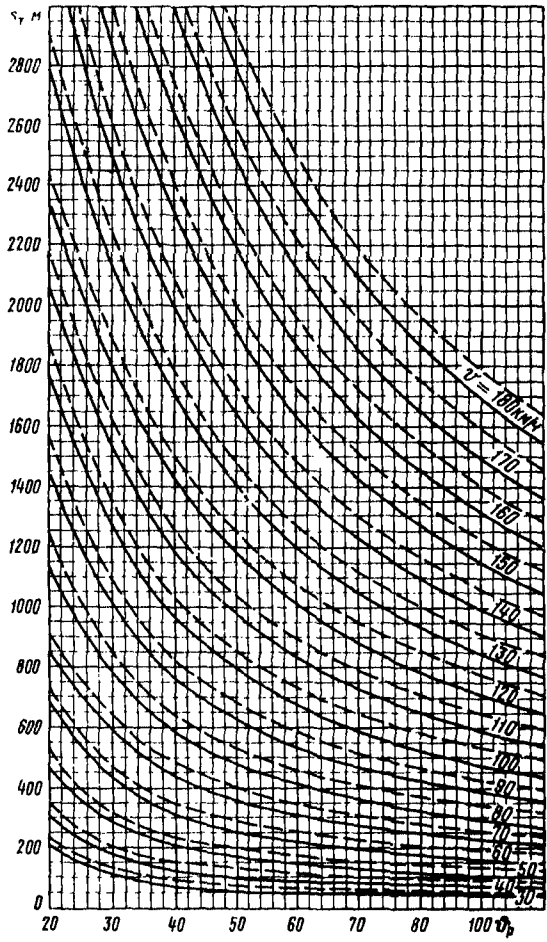


Рис 3 11 Тормозной путь грузового поезда на спуске  $i = -20\%$

Рис 312 Тормозной путь пассажирского поезда на площадке  $i=0\%$  (колодки чугунные сплошные линии электропневматическое торможение штриховые воздушное)



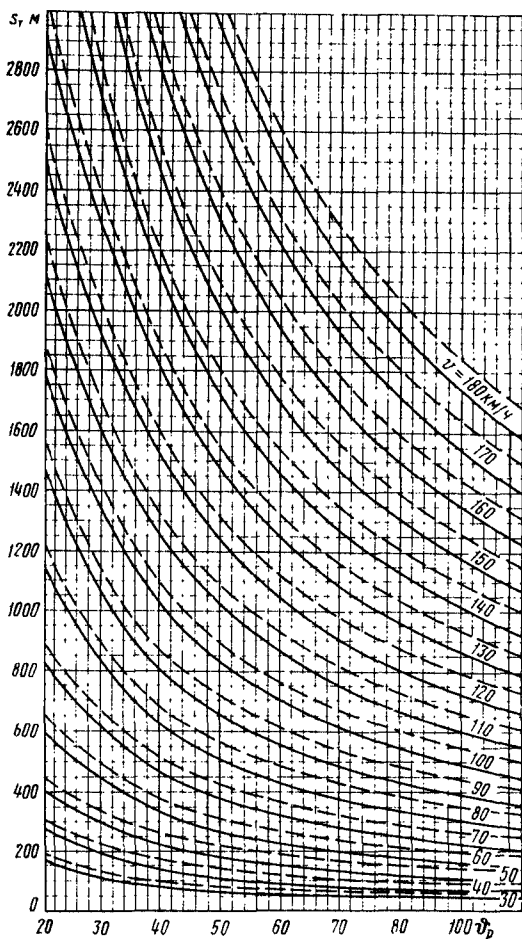
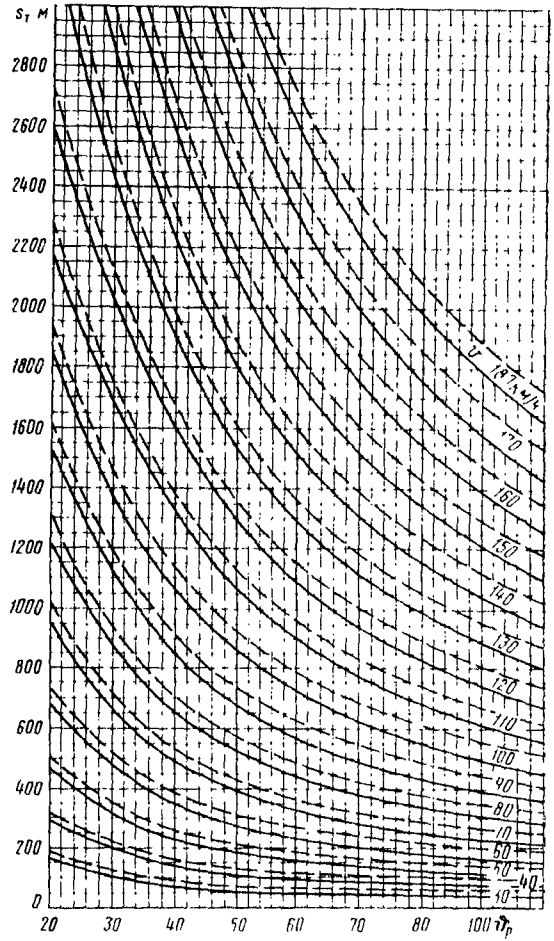


Рис 313 Тормозной путь пассажирского поезда на спуске  $i = 2\%$  (обозначения см на рис 312)

Рис 314 Тормозной путь пассажирского поезда на спуске  $i = 4\%$  (обозначения см на рис 312)



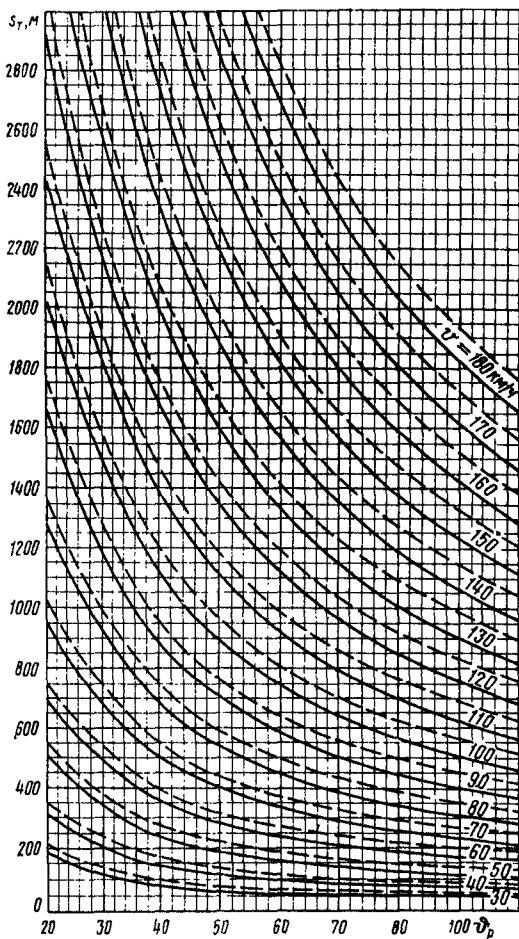
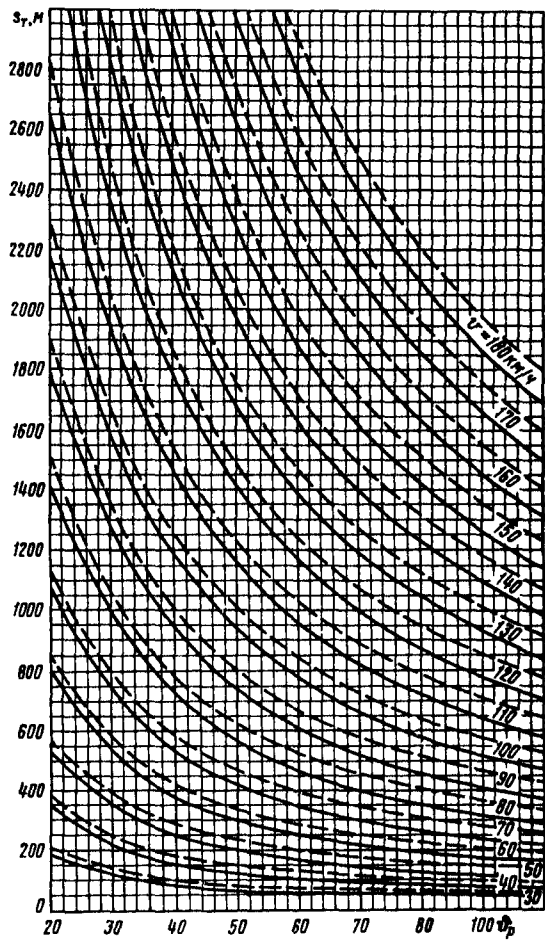


Рис. 3.15. Тормозной путь пассажирского поезда на спуске  $i = -6\%$  (обозначения см. на рис. 3.12)

Рис. 3.16. Тормозной путь пассажирского поезда на спуске  $i = -8\%$  (обозначения см. на рис. 3.12)



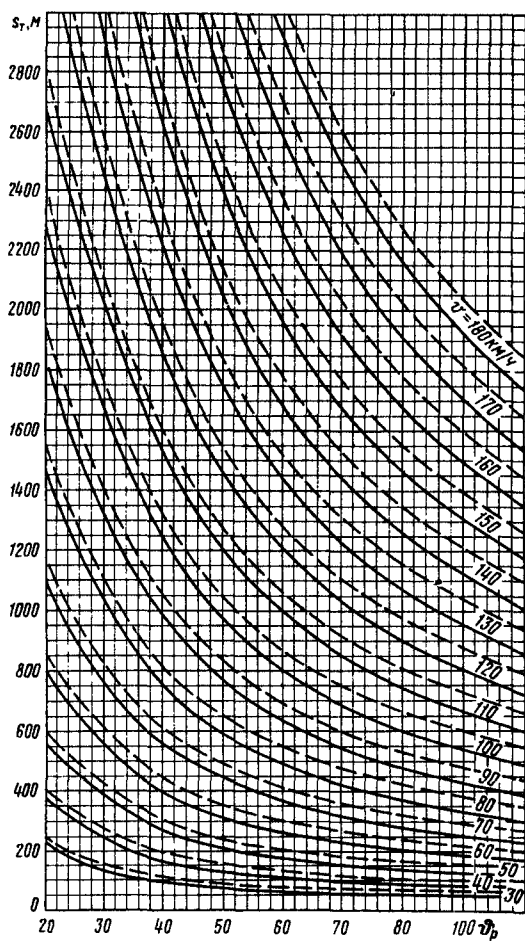


Рис 3 17 Тормозной путь пассажирского поезда на спуске  $i = -10\%$  (обозначения см. на рис. 3.12)

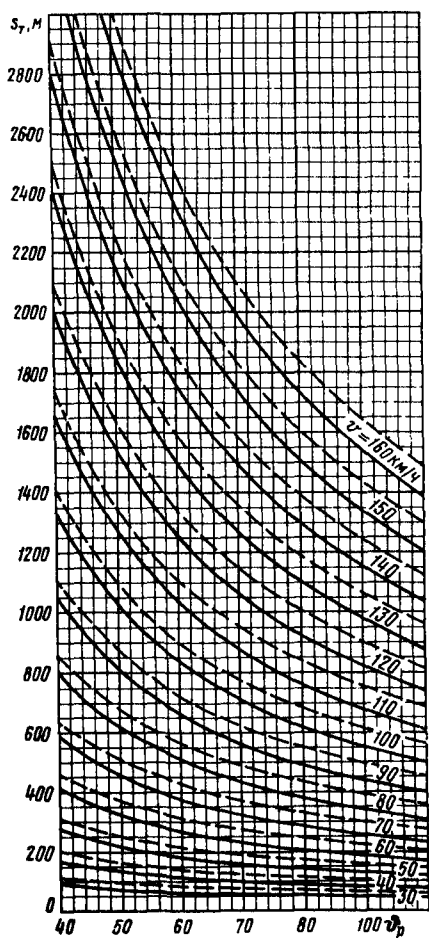


Рис 3.18 Тормозной путь пассажирского поезда на спуске  $i = -12\%$  (обозначения см на рис 3.12)

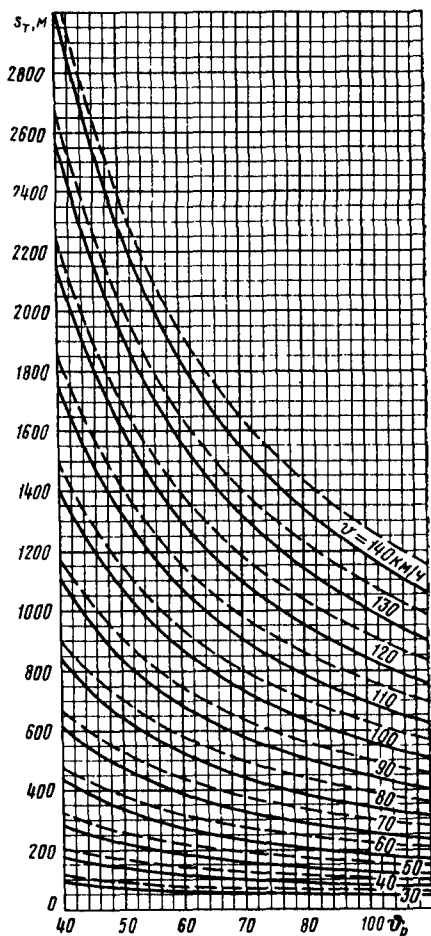


Рис 3.19 Тормозной путь пассажирского поезда на спуске  $i = -14\%$  (обозначения см на рис 3.12)

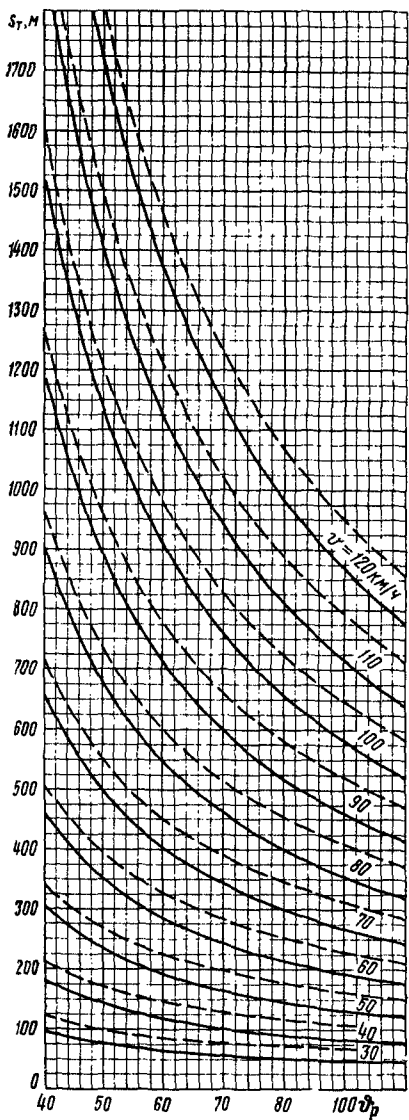


Рис. 3.20. Тормозной путь пассажирского поезда на спуске  $i = -16\%$  (обозначения см. на рис. 3.12)

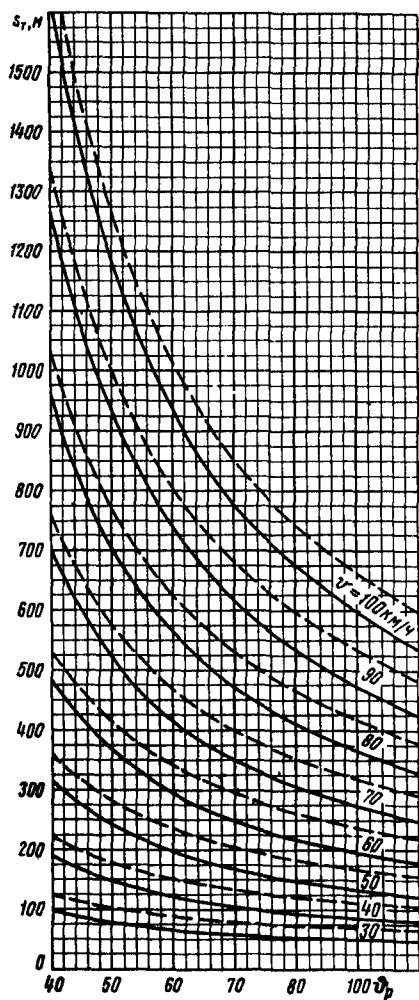


Рис. 3.21. Тормозной путь пассажирского поезда на спуске  $i = -18\%$  (обозначения см. на рис. 3.12)

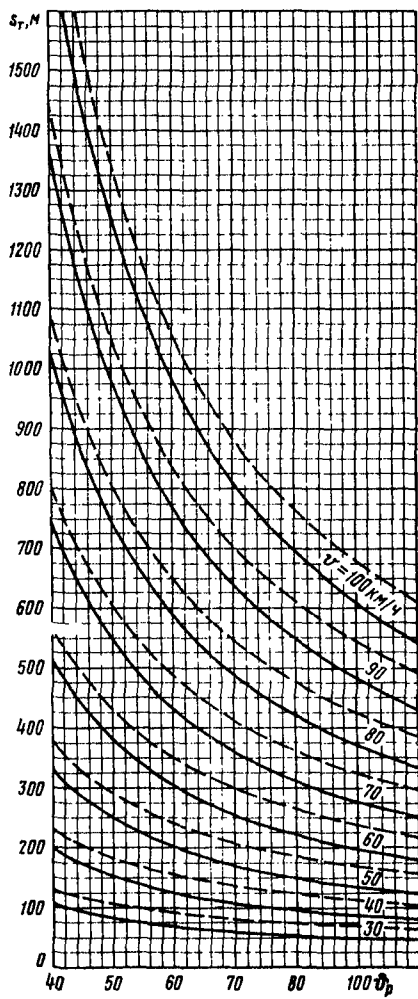


Рис. 3.22. Тормозной путь пассажирского поезда на спуске  $i = -20\%$  (обозначения см. на рис. 3.12)

ХАРАКТЕРИСТИКИ ЭЛЕКТРОВЗОВ И ЭЛЕКТРОПОЕЗДОВ  
(РИС. 4.1—4.132)

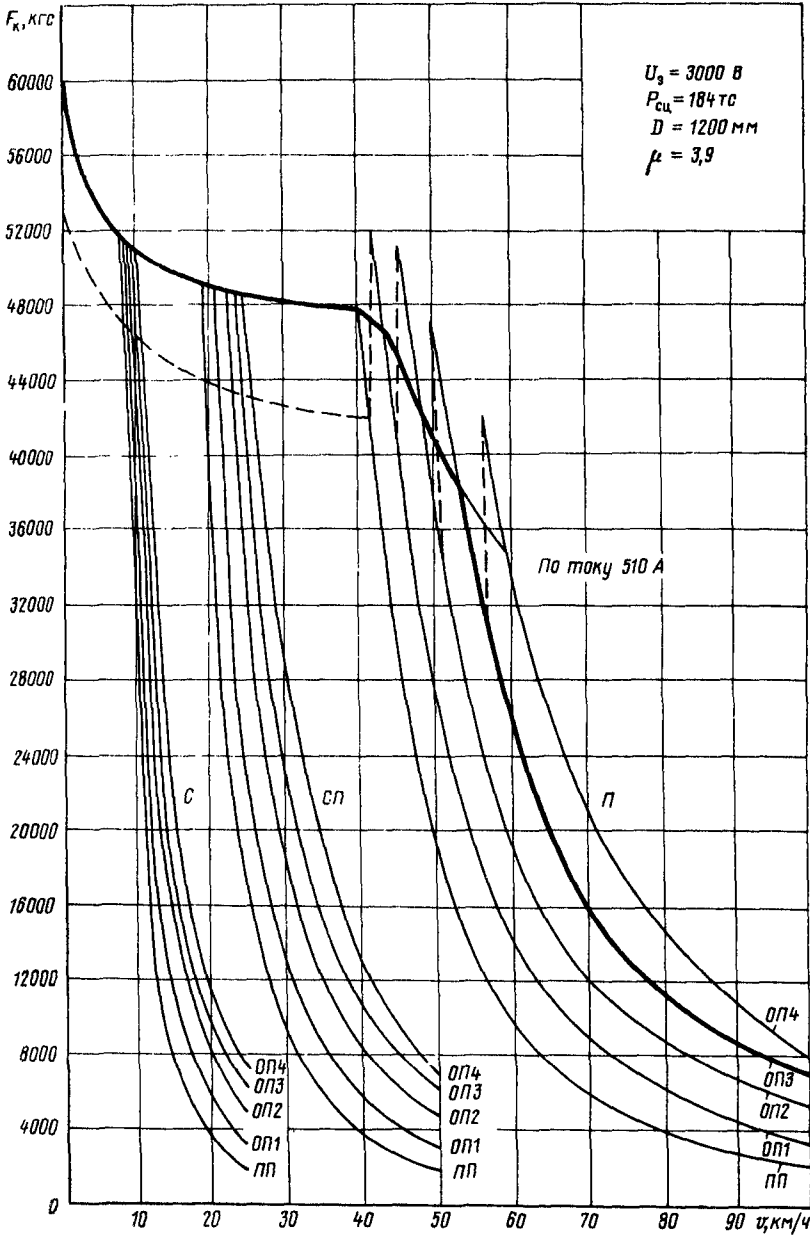


Рис 41 Тяговые характеристики  
 $F_{к\infty} = 30\ 300 \text{ кгс}$ ,  $v_{\infty} = 44,3 \text{ км/ч}$ ,  $F_{кч} = 35\ 400 \text{ кгс}$ ,

| v    | F <sub>к</sub> |       |       |       |       |       |       |       |       |       |       |       |       |       |       |
|------|----------------|-------|-------|-------|-------|-------|-------|-------|-------|-------|-------|-------|-------|-------|-------|
|      | C              |       |       |       |       | CП    |       |       |       |       | П     |       |       |       |       |
|      | пп             | оп1   | оп2   | оп3   | оп4   | пп    | оп1   | оп2   | оп3   | оп4   | пп    | оп1   | оп2   | оп3   | оп4   |
| 8    | 51600          | -     | -     | -     | -     | -     | -     | -     | -     | -     | -     | -     | -     | -     | -     |
| 9    | 39100          | 46000 | -     | -     | -     | -     | -     | -     | -     | -     | -     | -     | -     | -     | -     |
| 10   | 24500          | 36000 | 41100 | 46500 | -     | -     | -     | -     | -     | -     | -     | -     | -     | -     | -     |
| 12,5 | 15000          | 17000 | 22000 | 28500 | 33400 | -     | -     | -     | -     | -     | -     | -     | -     | -     | -     |
| 15   | 8000           | 11600 | 15500 | 18000 | 21900 | -     | -     | -     | -     | -     | -     | -     | -     | -     | -     |
| 20   | 3500           | 5400  | 8000  | 9200  | 11200 | 37800 | 50000 | -     | -     | -     | -     | -     | -     | -     | -     |
| 25   | 1900           | 3100  | 4900  | 6100  | 9300  | 17000 | 24000 | 31400 | 38800 | -     | -     | -     | -     | -     | -     |
| 30   | -              | -     | -     | -     | -     | 9000  | 12900 | 18100 | 22900 | 29200 | -     | -     | -     | -     | -     |
| 35   | -              | -     | -     | -     | -     | 6000  | 8300  | 12000 | 15000 | 19700 | -     | -     | -     | -     | -     |
| 40   | -              | -     | -     | -     | -     | 4000  | 6000  | 8600  | 10600 | 13300 | 45600 | -     | -     | -     | -     |
| 45   | -              | -     | -     | -     | -     | 2800  | 4400  | 6400  | 8000  | 9600  | 28800 | 40500 | -     | -     | -     |
| 50   | -              | -     | -     | -     | -     | 2000  | 3100  | 4800  | 6200  | 7200  | 19400 | 28000 | 36900 | 48800 | -     |
| 60   | -              | -     | -     | -     | -     | -     | -     | -     | -     | -     | 10000 | 14300 | 19800 | 25900 | 33700 |
| 70   | -              | -     | -     | -     | -     | -     | -     | -     | -     | -     | 6200  | 8900  | 12100 | 16000 | 21500 |
| 80   | -              | -     | -     | -     | -     | -     | -     | -     | -     | -     | 4200  | 6200  | 9000  | 11400 | 15000 |
| 90   | -              | -     | -     | -     | -     | -     | -     | -     | -     | -     | 2900  | 4500  | 6800  | 8800  | 10900 |
| 100  | -              | -     | -     | -     | -     | -     | -     | -     | -     | -     | 2000  | 3300  | 5200  | 6800  | 7800  |

Ограничение по сцеплению и току

| v                   | 0     | 8     | 9,3   | 10    | 20    | 30    | 39,7  | 43,3  | 48,3  | 53,2  | 59,6  |
|---------------------|-------|-------|-------|-------|-------|-------|-------|-------|-------|-------|-------|
| F <sub>к</sub>      | 60700 | 51600 | 51200 | 51000 | 49000 | 48100 | 47600 | 46500 | 42200 | 38400 | 34400 |
| F <sub>к до32</sub> | 60700 | 47300 | 46500 | 46300 | 43800 | 43000 | 42400 | -     | -     | -     | -     |

Ограничение по ОП

| v              | 52,0  | 60    | 65    | 70    | 75    | 80    | 85    | 90   | 95   | 100  |
|----------------|-------|-------|-------|-------|-------|-------|-------|------|------|------|
| F <sub>к</sub> | 42500 | 25300 | 20200 | 16000 | 13400 | 11600 | 10200 | 8800 | 7800 | 6800 |

| Переход   | F             | v    |
|-----------|---------------|------|
| пп - оп1  | 41800 - 52000 | 41,5 |
| оп1 - оп2 | 40000 - 51400 | 45   |
| оп2 - оп3 | 35000 - 46800 | 51   |
| оп3 - оп4 | 31000 - 41400 | 56,5 |

гики электровоза ВЛ18.

$v_ч = 42,6$  км/ч.  $F_{кр} = 46\ 500$  кгс.  $v_p = 43,3$  км/ч

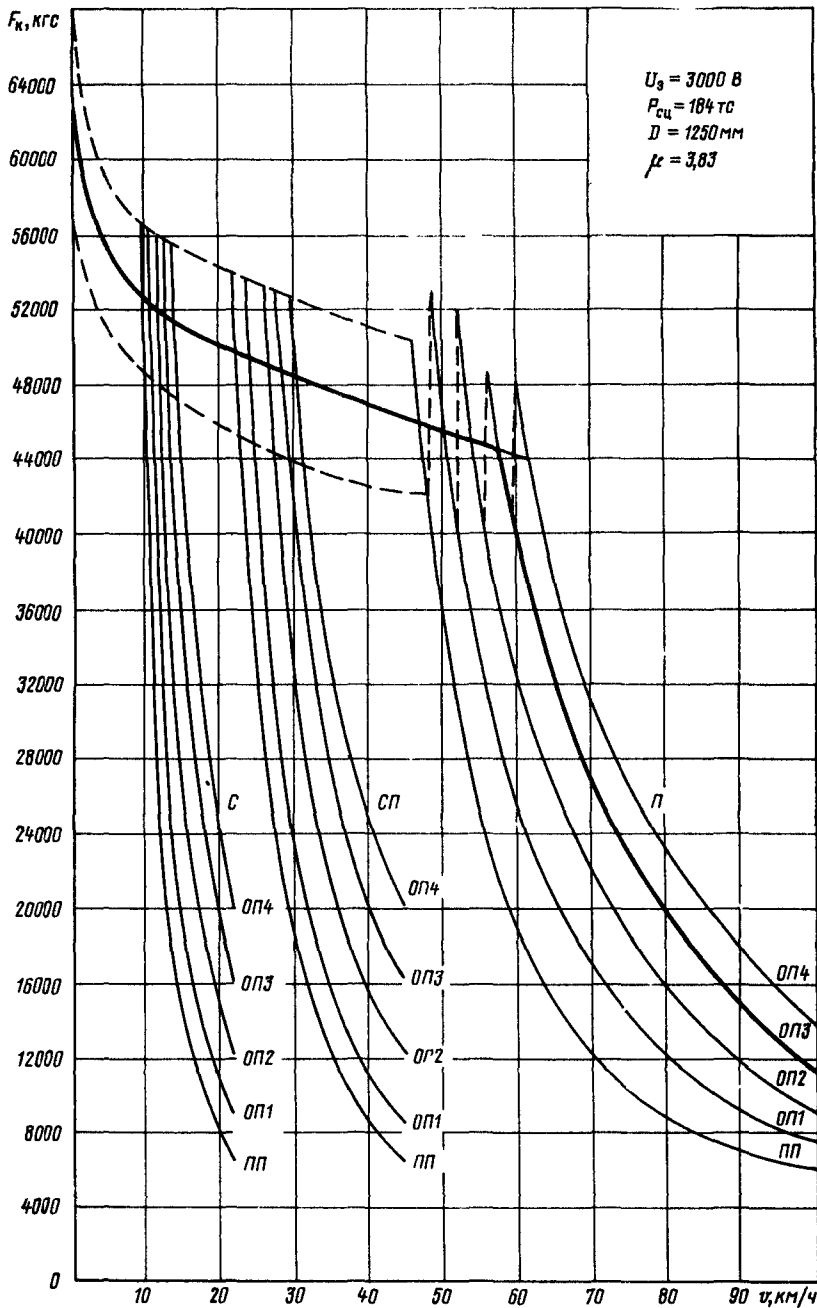


Рис 42 Тяговые характе  
 $F_{к\infty} = 32\ 480 \text{ кгс}$ ,  $v_{\infty} = 51,2 \text{ км/ч}$ ,  $F_{кч} = 39\ 760 \text{ кгс}$ ,

| v    | F <sub>к</sub> |       |       |       |       |       |       |       |       |       |       |       |       |       |       |
|------|----------------|-------|-------|-------|-------|-------|-------|-------|-------|-------|-------|-------|-------|-------|-------|
|      | C              |       |       |       |       | СП    |       |       |       |       | П     |       |       |       |       |
|      | ПП             | ОП1   | ОП2   | ОП3   | ОП4   | ПП    | ОП1   | ОП2   | ОП3   | ОП4   | ПП    | ОП1   | ОП2   | ОП3   | ОП4   |
| 10   | 50800          |       | -     | -     | -     | -     | -     | -     | -     | -     | -     | -     | -     | -     | -     |
| 11   | 37200          | 48600 |       | -     | -     | -     | -     | -     | -     | -     | -     | -     | -     | -     | -     |
| 12,5 | 24300          | 33000 | 46200 | 59700 | -     | -     | -     | -     | -     | -     | -     | -     | -     | -     | -     |
| 14   | 17100          | 24200 | 32400 | 40800 | 50000 | -     | -     | -     | -     | -     | -     | -     | -     | -     | -     |
| 15   | 15200          | 19700 | 27000 | 35300 | 43700 | -     | -     | -     | -     | -     | -     | -     | -     | -     | -     |
| 17,5 | 11200          | 14400 | 19600 | 26900 | 32800 | -     | -     | -     | -     | -     | -     | -     | -     | -     | -     |
| 20   | 8400           | 10800 | 14800 | 20000 | 24600 | -     | -     | -     | -     | -     | -     | -     | -     | -     | -     |
| 22   | 6500           | 8800  | 12000 | 16000 | 20000 | 50700 | -     | -     | -     | -     | -     | -     | -     | -     | -     |
| 25   | -              | -     | -     | -     | -     | 32500 | 45200 | 59900 | -     | -     | -     | -     | -     | -     | -     |
| 27,5 | -              | -     | -     | -     | -     | 24600 | 32800 | 45000 | 56500 | -     | -     | -     | -     | -     | -     |
| 30   | -              | -     | -     | -     | -     | 18400 | 23900 | 32800 | 43100 | 50800 | -     | -     | -     | -     | -     |
| 35   | -              | -     | -     | -     | -     | 12200 | 15700 | 21600 | 27600 | 32900 | -     | -     | -     | -     | -     |
| 40   | -              | -     | -     | -     | -     | 8600  | 11000 | 15600 | 20300 | 25480 | -     | -     | -     | -     | -     |
| 45   | -              | -     | -     | -     | -     | 6500  | 8500  | 12000 | 16000 | 20000 | 54000 | -     | -     | -     | -     |
| 50   | -              | -     | -     | -     | -     | -     | -     | -     | -     | -     | 36100 | 45600 | 60000 | -     | -     |
| 55   | -              | -     | -     | -     | -     | -     | -     | -     | -     | -     | 25600 | 33000 | 42800 | 52300 | -     |
| 60   | -              | -     | -     | -     | -     | -     | -     | -     | -     | -     | 18800 | 25300 | 32100 | 40100 | 47200 |
| 65   | -              | -     | -     | -     | -     | -     | -     | -     | -     | -     | 14900 | 20200 | 26200 | 32300 | 37300 |
| 70   | -              | -     | -     | -     | -     | -     | -     | -     | -     | -     | 12100 | 16700 | 22000 | 26900 | 30900 |
| 75   | -              | -     | -     | -     | -     | -     | -     | -     | -     | -     | 10200 | 14300 | 18600 | 23100 | 26500 |
| 80   | -              | -     | -     | -     | -     | -     | -     | -     | -     | -     | 8800  | 12100 | 16000 | 20000 | 23200 |
| 90   | -              | -     | -     | -     | -     | -     | -     | -     | -     | -     | 7000  | 9000  | 11700 | 15000 | 18000 |
| 100  | -              | -     | -     | -     | -     | -     | -     | -     | -     | -     | 6000  | 7600  | 9100  | 11200 | 13700 |

Ограничение по сцеплению

| v                   | 0     | 5     | 10    | 15    | 20    | 30    | 40    | 46,7  | 50    | 54    | 57,5  | 61,5  |
|---------------------|-------|-------|-------|-------|-------|-------|-------|-------|-------|-------|-------|-------|
| F <sub>к</sub>      | 82600 | 54600 | 52400 | 51200 | 50200 | 48500 | 47000 | 46000 | 45600 | 45000 | 44600 | 44000 |
| F <sub>к разг</sub> | 62600 | 50700 | 48600 | 47000 | 45800 | 43900 | 42600 | 42200 |       | -     | -     | -     |

| переход   | F <sub>к</sub> | v    |
|-----------|----------------|------|
| ПП - ОП1  | 40600 - 52800  | 48,5 |
| ОП1 - ОП2 | 40500 - 51800  | 52   |
| ОП2 - ОП3 | 40200 - 48400  | 56   |
| ОП3 - ОП4 | 40700 - 48000  | 59,5 |

Ограничение по ОП

| v              | 57,5  | 60    | 65    | 70    | 75    | 80    | 90    | 100   |
|----------------|-------|-------|-------|-------|-------|-------|-------|-------|
| F <sub>к</sub> | 44600 | 40100 | 32300 | 26900 | 23100 | 20000 | 15000 | 11200 |

ростки электровоза ВЛ10

v<sub>ч</sub> = 48 7 км/ч, F<sub>кр</sub> = 46 000 кгс v<sub>р</sub> = 46 7 км/ч

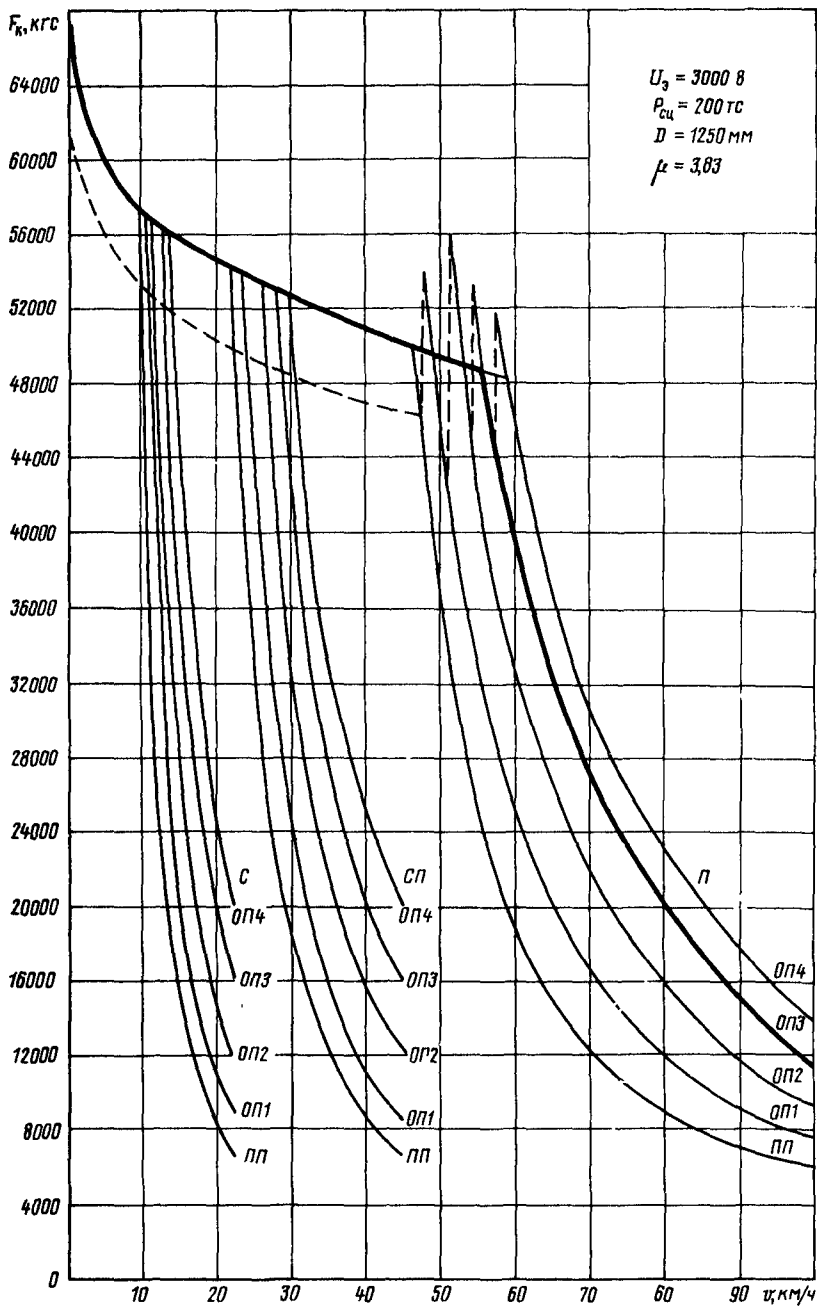


Рис. 4.3. Тяговые характе  
 $F_{к\infty} = 32\,480 \text{ кгс}$ ,  $v_{\infty} = 51,2 \text{ км/ч}$ ;  $F_{кч} = 39\,760 \text{ кгс}$ ,

| v    | F <sub>к</sub> |       |       |       |       |       |       |       |       |       |       |       |       |       |       |
|------|----------------|-------|-------|-------|-------|-------|-------|-------|-------|-------|-------|-------|-------|-------|-------|
|      | C              |       |       |       |       | СП    |       |       |       |       | П     |       |       |       |       |
|      | ПП             | ОП1   | ОП2   | ОП3   | ОП4   | ПП    | ОП1   | ОП2   | ОП3   | ОП4   | ПП    | ОП1   | ОП2   | ОП3   | ОП4   |
| 10   | 50800          | -     | -     | -     | -     | -     | -     | -     | -     | -     | -     | -     | -     | -     | -     |
| 11   | 37200          | 48600 | -     | -     | -     | -     | -     | -     | -     | -     | -     | -     | -     | -     | -     |
| 12,5 | 24300          | 33000 | 42200 | 56900 | -     | -     | -     | -     | -     | -     | -     | -     | -     | -     | -     |
| 14   | 17100          | 24200 | 32400 | 40800 | 50000 | -     | -     | -     | -     | -     | -     | -     | -     | -     | -     |
| 15   | 15200          | 19700 | 27000 | 35300 | 43700 | -     | -     | -     | -     | -     | -     | -     | -     | -     | -     |
| 17,5 | 11200          | 14400 | 19600 | 26900 | 32800 | -     | -     | -     | -     | -     | -     | -     | -     | -     | -     |
| 20   | 8400           | 10800 | 14800 | 20000 | 24600 | -     | -     | -     | -     | -     | -     | -     | -     | -     | -     |
| 22   | 6500           | 8800  | 12000 | 16000 | 20000 | 50700 | -     | -     | -     | -     | -     | -     | -     | -     | -     |
| 25   | -              | -     | -     | -     | -     | 32500 | 45200 | 59900 | -     | -     | -     | -     | -     | -     | -     |
| 27,5 | -              | -     | -     | -     | -     | 24600 | 32800 | 45000 | 52900 | -     | -     | -     | -     | -     | -     |
| 30   | -              | -     | -     | -     | -     | 18400 | 23900 | 32800 | 43100 | 50800 | -     | -     | -     | -     | -     |
| 35   | -              | -     | -     | -     | -     | 12200 | 15700 | 21800 | 27600 | 32900 | -     | -     | -     | -     | -     |
| 40   | -              | -     | -     | -     | -     | 8600  | 11000 | 15600 | 20300 | 25400 | -     | -     | -     | -     | -     |
| 45   | -              | -     | -     | -     | -     | 6500  | 8500  | 12000 | 16000 | 20000 | 54000 | -     | -     | -     | -     |
| 50   | -              | -     | -     | -     | -     | -     | -     | -     | -     | -     | 36100 | 45600 | 60000 | -     | -     |
| 55   | -              | -     | -     | -     | -     | -     | -     | -     | -     | -     | 25600 | 33000 | 42800 | 52300 | -     |
| 60   | -              | -     | -     | -     | -     | -     | -     | -     | -     | -     | 18800 | 25300 | 32100 | 40100 | 47200 |
| 65   | -              | -     | -     | -     | -     | -     | -     | -     | -     | -     | 14900 | 20200 | 26200 | 32300 | 37300 |
| 70   | -              | -     | -     | -     | -     | -     | -     | -     | -     | -     | 12100 | 16700 | 22000 | 26900 | 30900 |
| 75   | -              | -     | -     | -     | -     | -     | -     | -     | -     | -     | 10200 | 14300 | 18600 | 23100 | 26500 |
| 80   | -              | -     | -     | -     | -     | -     | -     | -     | -     | -     | 8800  | 12100 | 16000 | 20000 | 23200 |
| 90   | -              | -     | -     | -     | -     | -     | -     | -     | -     | -     | 7000  | 9000  | 11700 | 15000 | 18000 |
| 100  | -              | -     | -     | -     | -     | -     | -     | -     | -     | -     | 6000  | 7600  | 9100  | 11200 | 13700 |

Ограничение по сцеплению

| v                   | 0     | 5     | 10    | 15    | 20    | 30    | 40    | 45,8  | 49,5  | 53    | 56    | 59,5  |
|---------------------|-------|-------|-------|-------|-------|-------|-------|-------|-------|-------|-------|-------|
| F <sub>к</sub>      | 68000 | 59300 | 57000 | 55600 | 54200 | 52700 | 51100 | 50200 | 49600 | 49100 | 48700 | 48200 |
| F <sub>к разг</sub> | 68000 | 55900 | 53000 | 51400 | 50100 | 48400 | 46800 | 46300 | -     | -     | -     | -     |

Ограничение по ОП

| v              | 56    | 60    | 65    | 70    | 75    | 80    | 90    | 100   |
|----------------|-------|-------|-------|-------|-------|-------|-------|-------|
| F <sub>к</sub> | 48700 | 40100 | 32300 | 26900 | 23100 | 20000 | 15000 | 11200 |

| Переход   | F <sub>к</sub> | v    |
|-----------|----------------|------|
| ПП - ОП1  | 45600 - 54300  | 47,5 |
| ОП1 - ОП2 | 42000 - 56300  | 51   |
| ОП2 - ОП3 | 44600 - 53000  | 54,5 |
| ОП3 - ОП4 | 44800 - 51900  | 58   |

ристики электровоза ВЛ10У:

v<sub>ч</sub> = 48,7 км/ч; F<sub>кр</sub> = 50 200 кгс, v<sub>р</sub> = 45,8 км/ч

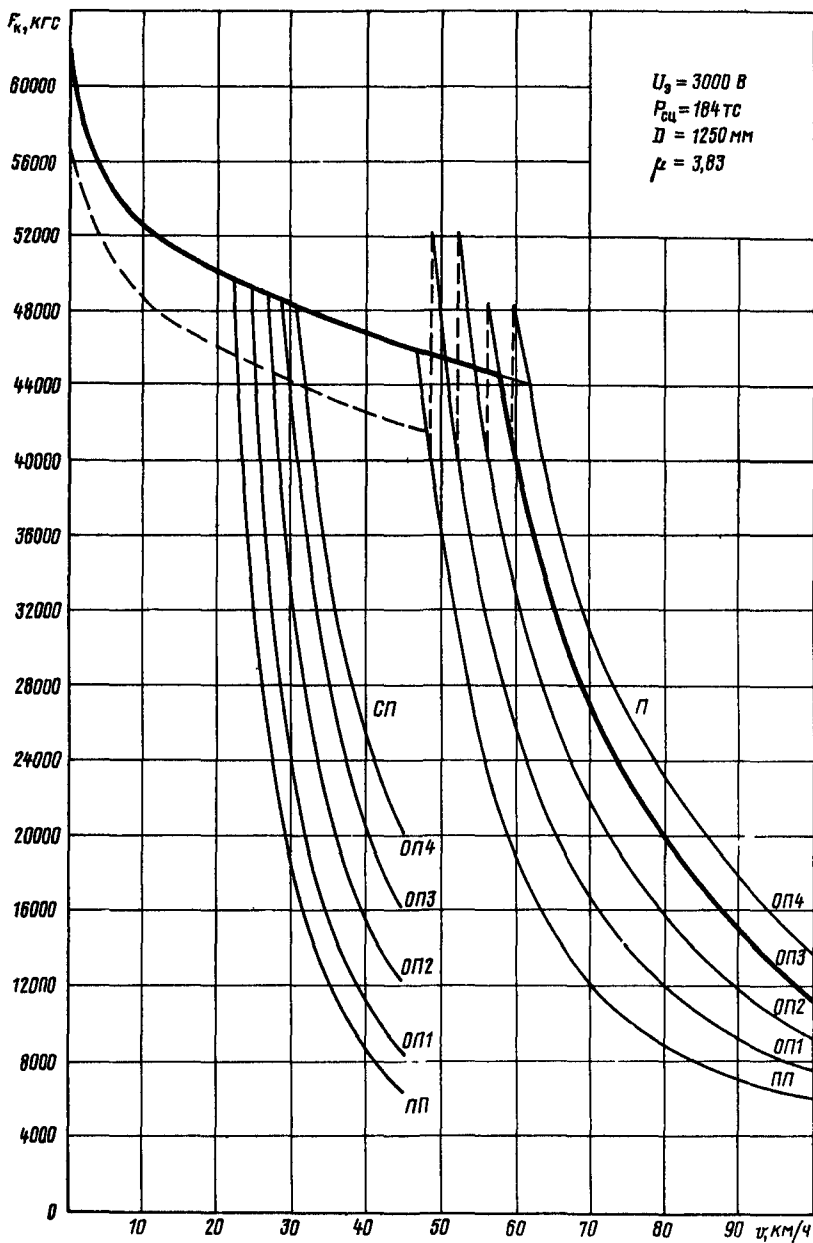


Рис. 4.4. Тяговые характеристики  
 $F_{к\infty} = 32\,480 \text{ кгс}$ ,  $v_{\infty} = 51,2 \text{ км/ч}$ ;  $F_{кч} = 39\,760 \text{ кгс}$ .

| v    | F <sub>к</sub> |       |       |       |       |       |       |       |       |       |
|------|----------------|-------|-------|-------|-------|-------|-------|-------|-------|-------|
|      | СП             |       |       |       |       | П     |       |       |       |       |
|      | ПП             | ОП1   | ОП2   | ОП3   | ОП4   | ПП    | ОП1   | ОП2   | ОП3   | ОП4   |
| 22   | 50700          | —     | —     | —     | —     | —     | —     | —     | —     | —     |
| 25   | 32500          | 45200 | 59900 | —     | —     | —     | —     | —     | —     | —     |
| 27,5 | 24600          | 32800 | 45000 | 56500 | —     | —     | —     | —     | —     | —     |
| 30   | 18400          | 23900 | 32800 | 43100 | 50800 | —     | —     | —     | —     | —     |
| 35   | 12200          | 15700 | 21800 | 27600 | 32900 | —     | —     | —     | —     | —     |
| 40   | 8600           | 11000 | 15600 | 20300 | 25400 | —     | —     | —     | —     | —     |
| 45   | 6500           | 8500  | 12000 | 16000 | 20000 | 54000 | —     | —     | —     | —     |
| 50   | —              | —     | —     | —     | —     | 36100 | 45600 | 60000 | —     | —     |
| 55   | —              | —     | —     | —     | —     | 25600 | 33000 | 42800 | 52300 | —     |
| 60   | —              | —     | —     | —     | —     | 18800 | 25300 | 32100 | 40100 | 47200 |
| 65   | —              | —     | —     | —     | —     | 14900 | 20200 | 26200 | 32300 | 37300 |
| 70   | —              | —     | —     | —     | —     | 12100 | 16700 | 22000 | 26900 | 30900 |
| 75   | —              | —     | —     | —     | —     | 10200 | 14300 | 18600 | 23100 | 26500 |
| 80   | —              | —     | —     | —     | —     | 8800  | 12100 | 16000 | 20000 | 23200 |
| 90   | —              | —     | —     | —     | —     | 7000  | 9000  | 11700 | 15000 | 18000 |
| 100  | —              | —     | —     | —     | —     | 6000  | 7600  | 9100  | 11200 | 13700 |

Ограничение по сцеплению

| v                   | 0     | 5     | 10    | 15    | 20    | 30    | 40    | 46,7  | 50    | 54    | 57,5  | 61,5  |
|---------------------|-------|-------|-------|-------|-------|-------|-------|-------|-------|-------|-------|-------|
| F <sub>к</sub>      | 62600 | 54600 | 52400 | 51200 | 50200 | 48500 | 47000 | 46000 | 45600 | 45000 | 44600 | 44000 |
| F <sub>к разг</sub> | 62600 | 50700 | 48600 | 47000 | 45800 | 43900 | 42600 | 42200 | —     | —     | —     | —     |

| Переход   | F <sub>к</sub> | v    |
|-----------|----------------|------|
| ПП - ОП1  | 40600 - 52800  | 48,5 |
| ОП1 - ОП2 | 40500 - 51800  | 52   |
| ОП2 - ОП3 | 40200 - 48400  | 56   |
| ОП3 - ОП4 | 40700 - 48000  | 59,5 |

Ограничение по ОП

| v              | 57,5  | 60    | 65    | 70    | 75    | 80    | 90    | 100   |
|----------------|-------|-------|-------|-------|-------|-------|-------|-------|
| F <sub>к</sub> | 44600 | 40100 | 32300 | 26900 | 23100 | 20000 | 15000 | 11200 |

электровоза ВЛ11 (2 секции):

v<sub>ч</sub> = 48,7 км/ч; F<sub>кр</sub> = 46 000 кгс, v<sub>p</sub> = 46,7 км/ч

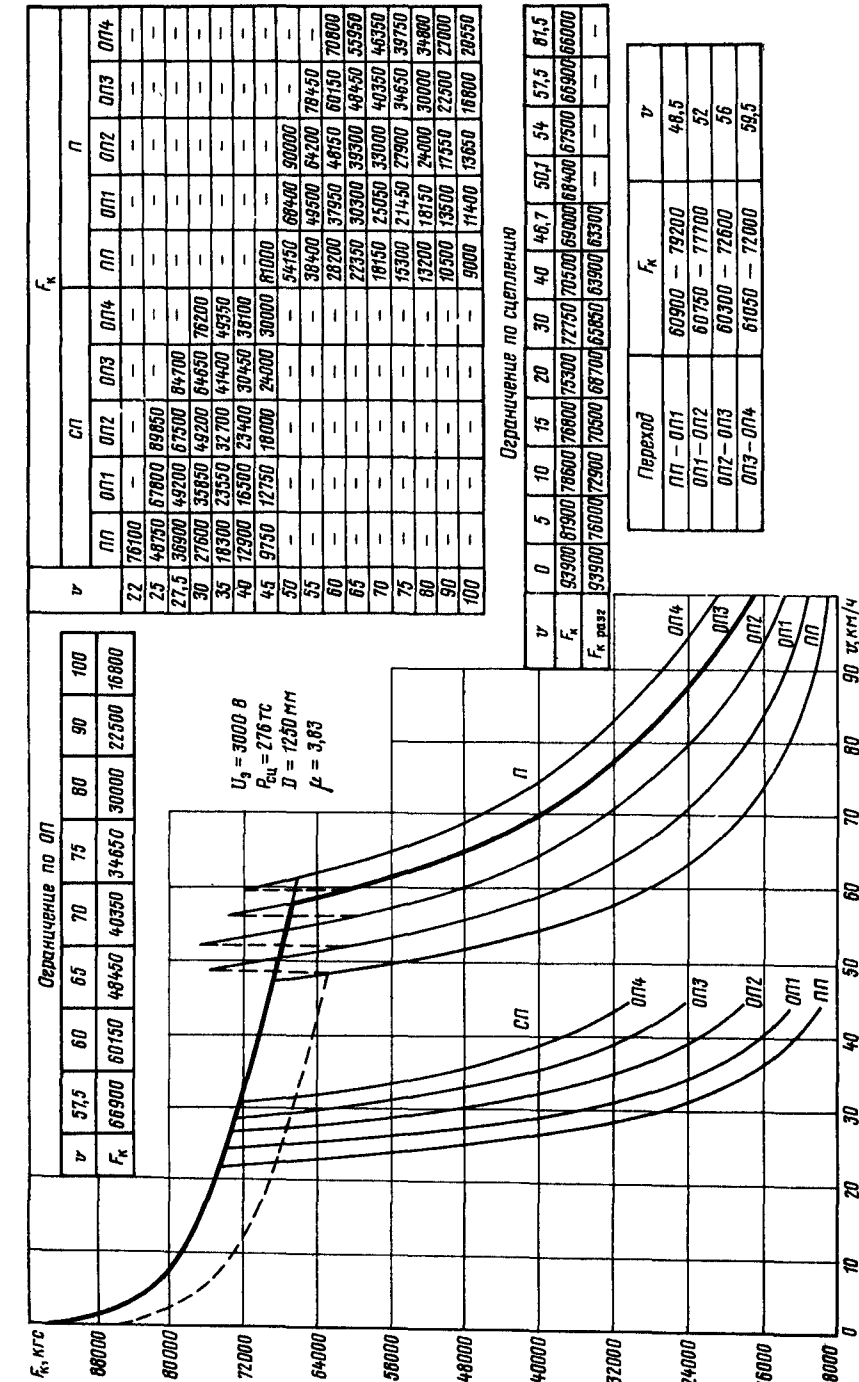


Рис. 45. Тяговые характеристики электровоза ВЛ11 (3 секции)  
 $F_{\text{к.о.}} = 48720 \text{ кгс}$ ;  $v_{\infty} = 51,2 \text{ км/ч}$ ;  $F_{\text{к.ч}} = 5940 \text{ кгс}$ ;  $v_{\text{ч}} = 48,7 \text{ км/ч}$ ;  $F_{\text{к.р}} = 69000 \text{ кгс}$ ;  $v_{\text{р}} = 46,7 \text{ км/ч}$

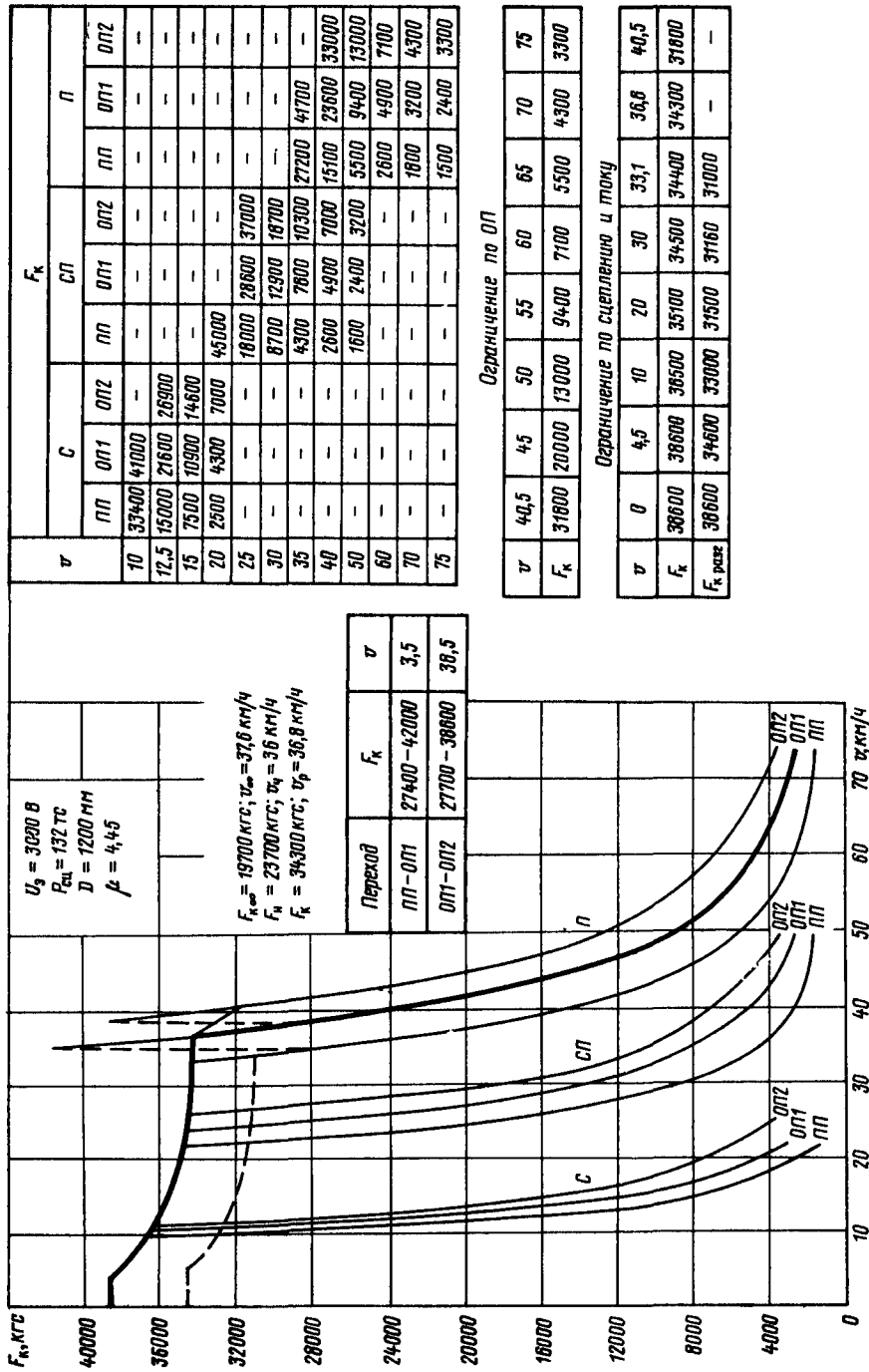


Рис. 4.6. Тяговые характеристики электролиза ВЛ22М с тяговым электродвигателем ДПЭ-400:  
 $F_{k,\infty} = 19700 \text{ кгс, } v_{\infty} = 37,6 \text{ км/ч; } F_N = 23700 \text{ кгс, } v_N = 36 \text{ км/ч; } F_K = 34300 \text{ кгс, } v_F = 36,8 \text{ км/ч}$

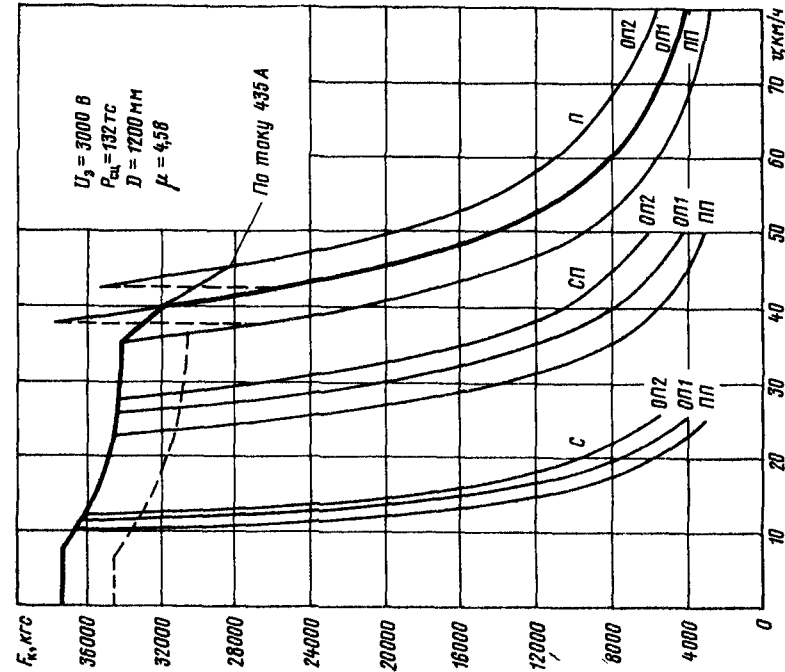


Рис. 4.7. Тяговые характеристики электровоза ВЛ122м с тяговым электродвигателем НБ-411:  
 $F_{к\text{ос}} = 15\ 300 \text{ кгс}$ ,  $v_{\text{ос}} = 44 \text{ км/ч}$ ;  $F_{к\text{р}} = 21\ 700 \text{ кгс}$ ,  $v_{\text{р}} = 34,5 \text{ км/ч}$

| v    | F <sub>к</sub> |       |       |       |       |       |       |       |       |       |       |       |    |     |
|------|----------------|-------|-------|-------|-------|-------|-------|-------|-------|-------|-------|-------|----|-----|
|      | С              |       |       |       |       |       | СП    |       |       |       |       |       | П  |     |
|      | ПП             | ОП1   | ОП2   | ПП    | ОП1   | ОП2   | ПП    | ОП1   | ОП2   | ПП    | ОП1   | ОП2   | ПП | ОП1 |
| 10   | 36000          | 43000 | —     | —     | —     | —     | —     | —     | —     | —     | —     | —     | —  | —   |
| 12,5 | 19300          | 25500 | 30800 | —     | —     | —     | —     | —     | —     | —     | —     | —     | —  | —   |
| 15   | 11500          | 15300 | 19700 | —     | —     | —     | —     | —     | —     | —     | —     | —     | —  | —   |
| 20   | 5500           | 7200  | 9500  | —     | —     | —     | —     | —     | —     | —     | —     | —     | —  | —   |
| 25   | 3000           | 4100  | 5000  | 25400 | 35400 | 43900 | —     | —     | —     | —     | —     | —     | —  | —   |
| 30   | —              | —     | —     | 14000 | 19800 | 26100 | —     | —     | —     | —     | —     | —     | —  | —   |
| 35   | —              | —     | —     | 8000  | 12000 | 16000 | —     | —     | —     | —     | —     | —     | —  | —   |
| 40   | —              | —     | —     | 5400  | 7900  | 10700 | 21700 | 27000 | 32000 | 32000 | 42900 | —     | —  | —   |
| 45   | —              | —     | —     | 4000  | 5700  | 7900  | 14000 | 14000 | 21500 | 21500 | 29500 | —     | —  | —   |
| 50   | —              | —     | —     | 3100  | 4400  | 6200  | 7400  | 7400  | 14300 | 14300 | 20600 | —     | —  | —   |
| 60   | —              | —     | —     | —     | —     | —     | —     | —     | 5600  | 5600  | 8200  | 11000 | —  | —   |
| 70   | —              | —     | —     | —     | —     | —     | —     | —     | 3800  | 3800  | 5400  | 7600  | —  | —   |
| 80   | —              | —     | —     | —     | —     | —     | —     | —     | 2700  | 2700  | 4000  | 5700  | —  | —   |

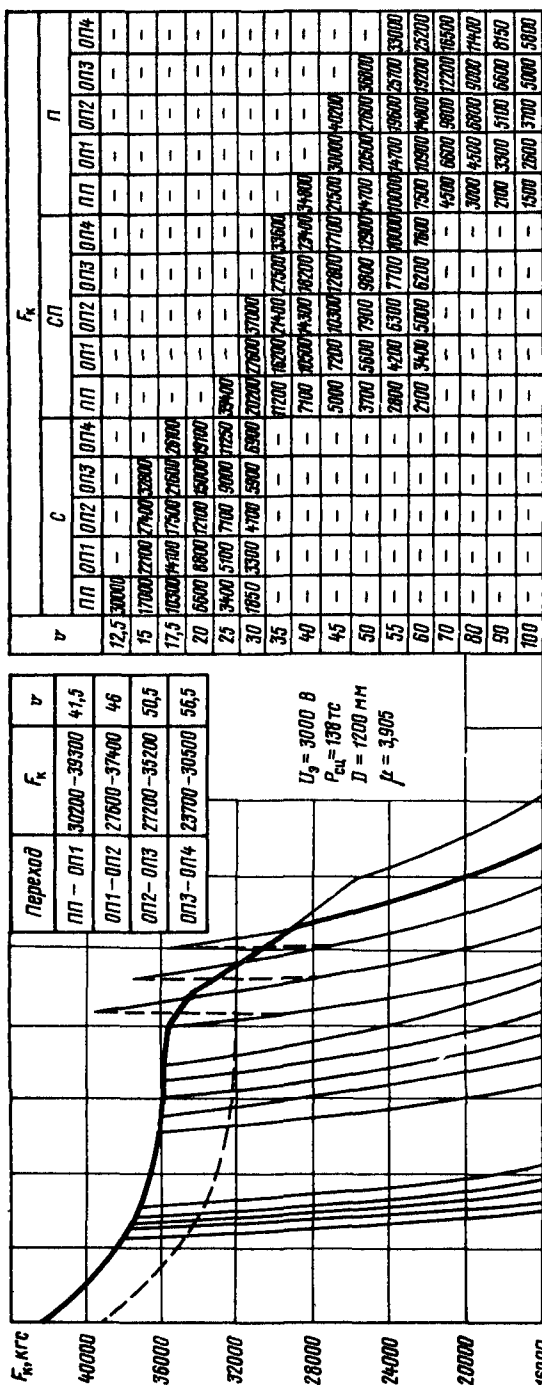
Ограничение по ОП

|                |       |       |       |       |      |      |      |      |
|----------------|-------|-------|-------|-------|------|------|------|------|
| v              | 45,5  | 50    | 55    | 60    | 65   | 70   | 75   | 80   |
| F <sub>к</sub> | 28200 | 20600 | 14100 | 11000 | 9200 | 7600 | 6400 | 5700 |

Ограничение по сцеплению и току

|                      |       |       |       |       |       |       |       |       |
|----------------------|-------|-------|-------|-------|-------|-------|-------|-------|
| v                    | 0     | 2,6   | 10    | 20    | 30    | 35,1  | 40,2  | 45,5  |
| F <sub>к</sub>       | 37200 | 37200 | 36500 | 35700 | 34500 | 34300 | 31800 | 28200 |
| F <sub>к.рест.</sub> | 37200 | 35500 | 32900 | 31600 | 31000 | 30900 | 31600 | 29700 |

| Переход   | F <sub>к</sub> | v    |
|-----------|----------------|------|
| ПП — ОП1  | 27200 — 38000  | 37,5 |
| ОП1 — ОП2 | 25600 — 35000  | 42,5 |



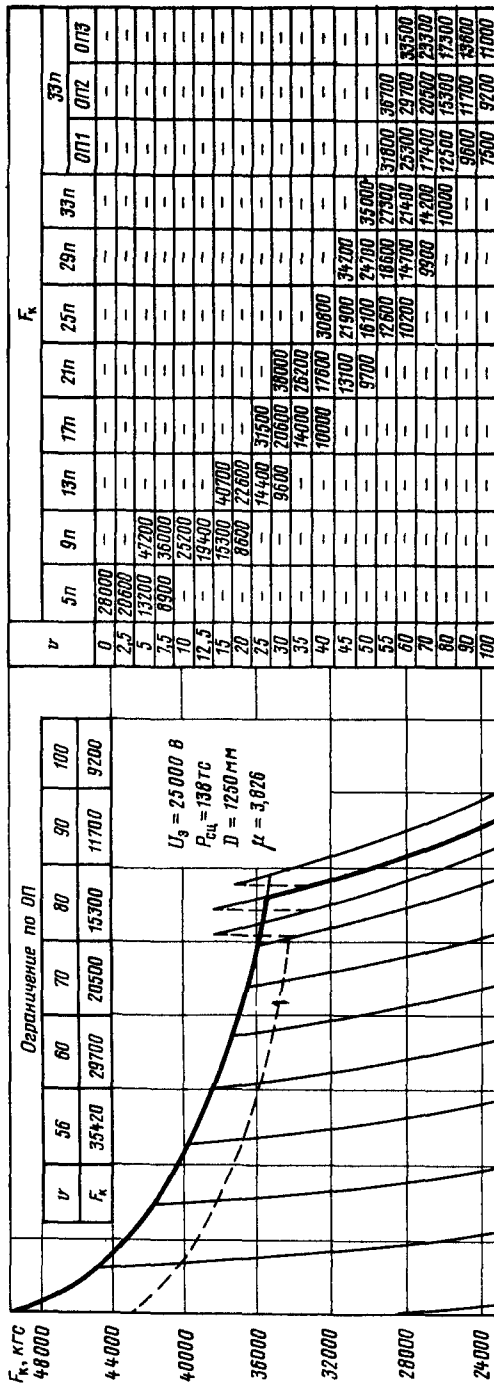
Перемещение по сцеплению и толку

|            |       |       |       |       |       |       |       |       |
|------------|-------|-------|-------|-------|-------|-------|-------|-------|
| $v$        | 0     | 11,5  | 20    | 30    | 39,7  | 48,3  | 53,2  | 59,2  |
| $F_k$      | 45500 | 36000 | 36700 | 36100 | 35700 | 34900 | 34600 | 25000 |
| $F_k$ макс | 55500 | 34700 | 33000 | 32400 | 32000 | -     | -     | -     |

Перемещение по ПП

|       |       |       |       |       |       |       |      |      |      |      |      |
|-------|-------|-------|-------|-------|-------|-------|------|------|------|------|------|
| $v$   | 53,2  | 55    | 60    | 65    | 70    | 75    | 80   | 85   | 90   | 95   | 100  |
| $F_k$ | 28800 | 25700 | 19200 | 15080 | 12200 | 10400 | 9080 | 7780 | 6600 | 5700 | 5000 |

Рис. 4.8. Тяговые характеристики электровоза ВЛ23:  
 $F_{\text{т.сн}} = 22700 \text{ кгс}$ ,  $v_{\infty} = 44,3 \text{ км/ч}$ ;  $F_{\text{кп}} = 26500 \text{ кгс}$ ,  $v_{\text{ч}} = 42,6 \text{ км/ч}$ ;  $F_{\text{кр}} = 34900 \text{ кгс}$ ,  $v_{\text{р}} = 43,3 \text{ км/ч}$



Ограничение по сцеплению

| v       | 0     | 5,5   | 14,5  | 22,5  | 30    | 37    | 43,5  | 49    | 52,5  | 56    | 59    |
|---------|-------|-------|-------|-------|-------|-------|-------|-------|-------|-------|-------|
| Fк      | 49800 | 44800 | 41470 | 39760 | 38650 | 37800 | 36800 | 36180 | 35800 | 35420 | 35120 |
| Fк разл | 49680 | 44500 | 38000 | 36800 | 35800 | 35100 | 34600 | —     | —     | —     | —     |

| Переход на 33п | Fк          | v    |
|----------------|-------------|------|
| кп оп1         | 34000-38400 | 50,6 |
| оп1-оп2        | 33200-38200 | 54   |
| оп2-оп3        | 33000-37000 | 57,5 |

Рис 49. Тяговые характеристики электровозов ВЛ60<sup>к</sup> и ВЛ60<sup>р</sup>  
 $F_{к\text{до}} = 26400 \text{ кгс}$ ,  $v_{\text{ср}} = 56,2 \text{ км/ч}$ ;  $F_{к\text{ч}} = 31800 \text{ кгс}$ ,  $v_{\text{ч}} = 52,5 \text{ км/ч}$ ;  $F_{к\text{р}} = 36800 \text{ кгс}$ ,  $v_{\text{р}} = 43,5 \text{ км/ч}$

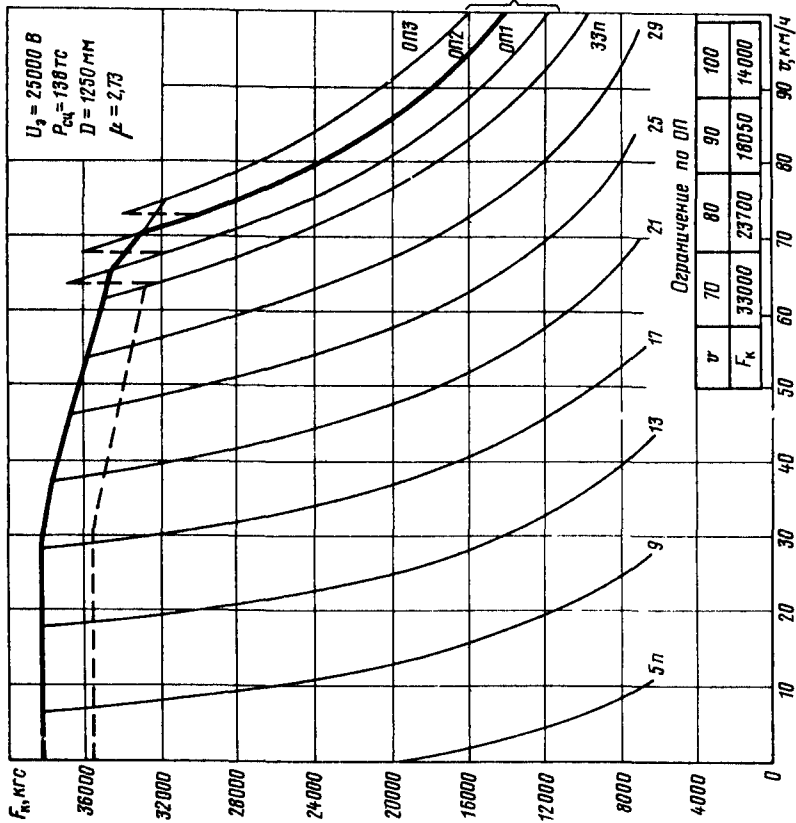


Рис 4 10. Тяговые характеристики электровоза ВЛ60<sup>лр</sup>  
 $F_{\text{к}\infty} = 18840 \text{ кгс}$ ,  $v_{\infty} = 78,7 \text{ км ч}$ ,  $F_{\text{кн}} = 22700 \text{ кгс}$ ,  $v_{\text{ч}} = 73,5 \text{ км ч}$

| $v$  | $F_{\text{к}}$ |       |       |       |       |       |       |       |       |          |
|------|----------------|-------|-------|-------|-------|-------|-------|-------|-------|----------|
|      | 5n             | 9n    | 13n   | 17n   | 21n   | 25n   | 29n   | 33n   | 33n   |          |
|      |                |       |       |       |       |       |       |       | 0П1   | 0П2, 0П3 |
| 0    | 21600          | —     | —     | —     | —     | —     | —     | —     | —     | —        |
| 2,5  | 14400          | —     | —     | —     | —     | —     | —     | —     | —     | —        |
| 5    | 11500          | —     | —     | —     | —     | —     | —     | —     | —     | —        |
| 7,5  | 8800           | 33200 | —     | —     | —     | —     | —     | —     | —     | —        |
| 10   | 6700           | 26000 | —     | —     | —     | —     | —     | —     | —     | —        |
| 12,5 | —              | 20950 | —     | —     | —     | —     | —     | —     | —     | —        |
| 15   | —              | 17000 | —     | —     | —     | —     | —     | —     | —     | —        |
| 20   | —              | 11620 | 34000 | —     | —     | —     | —     | —     | —     | —        |
| 25   | —              | 7900  | 17650 | —     | —     | —     | —     | —     | —     | —        |
| 30   | —              | —     | 14400 | 33000 | —     | —     | —     | —     | —     | —        |
| 35   | —              | —     | 10400 | 24200 | —     | —     | —     | —     | —     | —        |
| 40   | —              | —     | —     | 19400 | 37300 | —     | —     | —     | —     | —        |
| 45   | —              | —     | —     | 7950  | 23400 | —     | —     | —     | —     | —        |
| 50   | —              | —     | —     | —     | 17500 | 34000 | —     | —     | —     | —        |
| 55   | —              | —     | —     | —     | 13400 | 27100 | —     | —     | —     | —        |
| 60   | —              | —     | —     | —     | 10620 | 20000 | 28700 | —     | —     | —        |
| 70   | —              | —     | —     | —     | 6550  | 17600 | 17900 | 25200 | 29700 | 33000    |
| 80   | —              | —     | —     | —     | —     | 8700  | 12000 | 17700 | 20700 | 23700    |
| 90   | —              | —     | —     | —     | —     | —     | 8700  | 12000 | 15300 | 18050    |
| 100  | —              | —     | —     | —     | —     | —     | —     | 9600  | 11710 | 14200    |

| Ограничение по сдвигению и току |   |
|---------------------------------|---|
| $v$                             | 0, 28,0, 37,5, 46,5, 53,5, 61,5, 65,5, 70,0, 74,5             |
| $F_{\text{к}}$                  | 38250, 38250, 37500, 36650, 35700, 35000, 34460, 33000, 31700 |
| $F_{\text{к, макс}}$            | 38250, 35600, 33200, 34300, 33700, 32900                      |

| Переход на 33n |               |
|----------------|---------------|
| $F_{\text{к}}$ | 32600 - 37000 |
| $v$            | 63,5          |
| 0П1 - 0П2      |               |
| $F_{\text{к}}$ | 31600 - 36200 |
| $v$            | 67,5          |
| 0П2 - 0П3      |               |
| $F_{\text{к}}$ | 30400 - 34000 |
| $v$            | 72,5          |

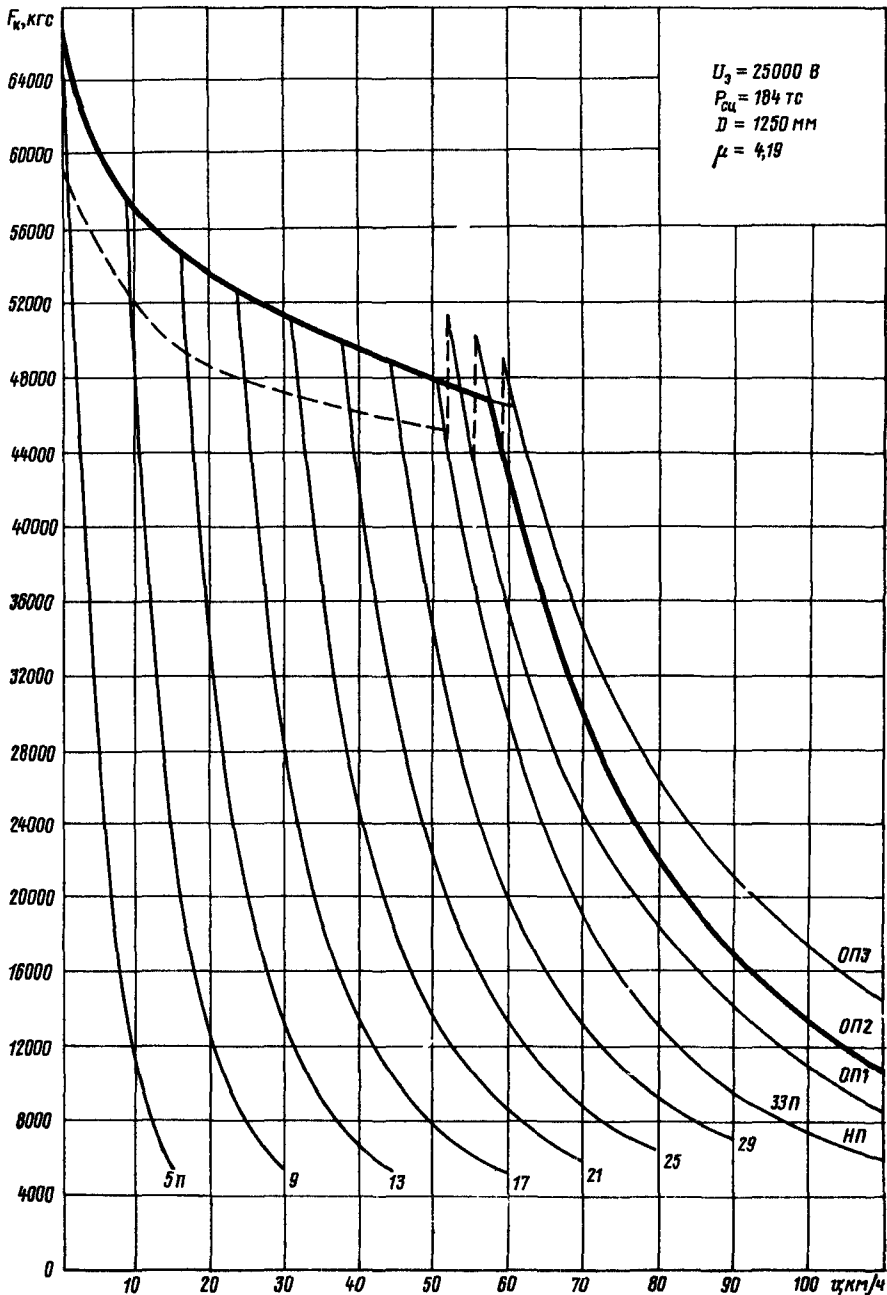


Рис. 4.11. Тяговые характе  
 $F_{к\infty} = 40\,800 \text{ кгс}$ ,  $v_{\infty} = 53,6 \text{ км/ч}$ ;  $F_{кч} = 44\,960 \text{ кгс}$ ,  $v_{ч} = 51,9 \text{ км/ч}$ ;

| v    | F <sub>к</sub> |       |       |       |       |       |       |       |       |       |       |
|------|----------------|-------|-------|-------|-------|-------|-------|-------|-------|-------|-------|
|      | 5п             | 9п    | 13п   | 17п   | 21п   | 25п   | 29п   | 33п   | 33п   |       |       |
|      |                |       |       |       |       |       |       |       | 0П1   | 0П2   | 0П3   |
| 1    | 57000          | -     | -     | -     | -     | -     | -     | -     | -     | -     | -     |
| 2,5  | 44300          | -     | -     | -     | -     | -     | -     | -     | -     | -     | -     |
| 5    | 29200          | -     | -     | -     | -     | -     | -     | -     | -     | -     | -     |
| 7,5  | 18300          | 73000 | -     | -     | -     | -     | -     | -     | -     | -     | -     |
| 10   | 11500          | 47800 | -     | -     | -     | -     | -     | -     | -     | -     | -     |
| 12,5 | 7800           | 34000 | -     | -     | -     | -     | -     | -     | -     | -     | -     |
| 15   | 5600           | 24300 | 65400 | -     | -     | -     | -     | -     | -     | -     | -     |
| 17,5 | -              | 17600 | 47300 | -     | -     | -     | -     | -     | -     | -     | -     |
| 20   | -              | 13100 | 35300 | -     | -     | -     | -     | -     | -     | -     | -     |
| 22,5 | -              | 10100 | 26300 | 61000 | -     | -     | -     | -     | -     | -     | -     |
| 25   | -              | 8100  | 21100 | 47400 | -     | -     | -     | -     | -     | -     | -     |
| 30   | -              | 5400  | 13600 | 29600 | 56000 | -     | -     | -     | -     | -     | -     |
| 35   | -              | -     | 9300  | 19800 | 37000 | 62000 | -     | -     | -     | -     | -     |
| 40   | -              | -     | 6900  | 13900 | 25300 | 42700 | 85300 | -     | -     | -     | -     |
| 45   | -              | -     | 5300  | 10200 | 18300 | 30400 | 46800 | 67000 | -     | -     | -     |
| 50   | -              | -     | -     | 7950  | 13800 | 22650 | 34800 | 49300 | 57300 | 64400 | -     |
| 55   | -              | -     | -     | 6300  | 10800 | 17200 | 25900 | 38000 | 45000 | 52500 | 58200 |
| 60   | -              | -     | -     | 5300  | 8700  | 13600 | 20300 | 29800 | 35700 | 43200 | 47900 |
| 70   | -              | -     | -     | -     | 5900  | 8900  | 13200 | 19200 | 24800 | 30200 | 34400 |
| 80   | -              | -     | -     | -     | -     | 6450  | 9400  | 13300 | 18600 | 22200 | 26700 |
| 90   | -              | -     | -     | -     | -     | -     | 7200  | 9650  | 14400 | 17300 | 21300 |
| 100  | -              | -     | -     | -     | -     | -     | 5500  | 7550  | 11100 | 13700 | 17800 |
| 110  | -              | -     | -     | -     | -     | -     | -     | 6050  | 8600  | 10800 | 14500 |

Ограничение по сцеплению

| v                   | 0     | 8,7   | 16,2  | 23,5  | 31    | 38    | 44,2  | 50,5  | 53,5  | 57,1  | 61    |
|---------------------|-------|-------|-------|-------|-------|-------|-------|-------|-------|-------|-------|
| F <sub>к</sub>      | 66200 | 57800 | 54700 | 52800 | 51200 | 50000 | 49000 | 48000 | 47600 | 47000 | 46500 |
| F <sub>к пасс</sub> | 66200 | 52500 | 49300 | 48000 | 47100 | 46400 | 45800 | 45200 | -     | -     | -     |

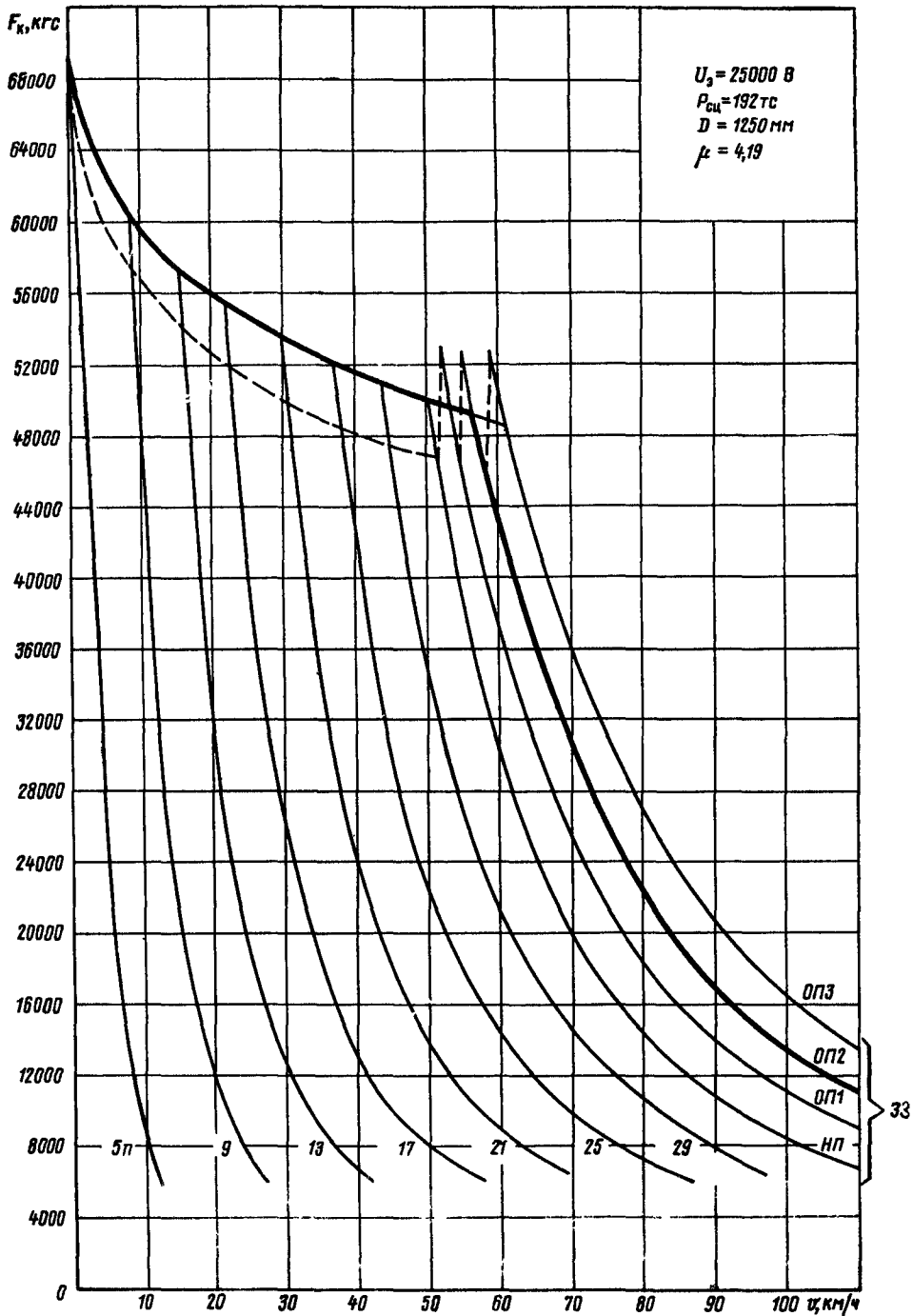
| Переход на 33п | F <sub>к</sub> | v    |
|----------------|----------------|------|
| НП - 0П1       | 44800-51200    | 52   |
| 0П1 - 0П2      | 43600-50400    | 55,7 |
| 0П2 - 0П3      | 44400-48900    | 59,2 |

Ограничение по ОП

| v              | 57,5  | 60    | 70    | 80    | 90    | 100   | 110   |
|----------------|-------|-------|-------|-------|-------|-------|-------|
| F <sub>к</sub> | 47000 | 43200 | 30200 | 22200 | 17300 | 13700 | 10800 |

ристки электровоза ВЛ180\*

F<sub>кр29п</sub>=49 000 кгс, v<sub>p29п</sub>=44,2 км/ч, F<sub>кр25п</sub>=50 000 кгс, v<sub>p25п</sub>=38 км/ч



| $v$  | $F_k$ |       |       |       |       |       |       |       |       |       |       |       |
|------|-------|-------|-------|-------|-------|-------|-------|-------|-------|-------|-------|-------|
|      | 5п    | 9п    | 13п   | 17п   | 21п   | 25п   | 29п   | 33п   | 33п   |       |       |       |
|      |       |       |       |       |       |       |       |       | 0П1   | 0П2   | 0П3   |       |
| 1    | 57000 | -     | -     | -     | -     | -     | -     | -     | -     | -     | -     |       |
| 2,5  | 44300 | -     | -     | -     | -     | -     | -     | -     | -     | -     | -     |       |
| 5    | 29200 | -     | -     | -     | -     | -     | -     | -     | -     | -     | -     |       |
| 7,5  | 18300 | -     | -     | -     | -     | -     | -     | -     | -     | -     | -     |       |
| 10   | 11500 | 47800 | -     | -     | -     | -     | -     | -     | -     | -     | -     |       |
| 12,5 | 7800  | 34000 | -     | -     | -     | -     | -     | -     | -     | -     | -     |       |
| 15   | 5600  | 24300 | 65400 | -     | -     | -     | -     | -     | -     | -     | -     |       |
| 17,5 | -     | 17800 | 47300 | -     | -     | -     | -     | -     | -     | -     | -     |       |
| 20   | -     | 13100 | 35300 | -     | -     | -     | -     | -     | -     | -     | -     |       |
| 22,5 | -     | 10100 | 26300 | 61000 | -     | -     | -     | -     | -     | -     | -     |       |
| 25   | -     | 8100  | 21100 | 47400 | -     | -     | -     | -     | -     | -     | -     |       |
| 30   | -     | 5400  | 13600 | 29600 | 56000 | -     | -     | -     | -     | -     | -     |       |
| 35   | -     | -     | 9300  | 19800 | 37000 | 62000 | -     | -     | -     | -     | -     |       |
| 40   | -     | -     | 6900  | 13900 | 25300 | 42700 | 65300 | -     | -     | -     | -     |       |
| 45   | -     | -     | 5300  | 10200 | 18300 | 30400 | 46800 | 67000 | -     | -     | -     |       |
| 50   | -     | -     | -     | 7950  | 13800 | 22650 | 34800 | 49300 | 57300 | 64400 | -     |       |
| 55   | -     | -     | -     | 6300  | 10800 | 17200 | 25900 | 38000 | 45000 | 52500 | 58200 |       |
| 60   | -     | -     | -     | 5300  | 8700  | 13600 | 20300 | 29800 | 35700 | 43200 | 47900 |       |
| 70   | -     | -     | -     | -     | 5900  | 8900  | 13200 | 19200 | 24800 | 30200 | 34400 |       |
| 80   | -     | -     | -     | -     | -     | 6450  | 9400  | 13300 | 18600 | 22200 | 26700 |       |
| 90   | -     | -     | -     | -     | -     | -     | 7200  | 9650  | 14400 | 17300 | 21300 |       |
| 100  | -     | -     | -     | -     | -     | -     | -     | 5500  | 7550  | 11100 | 13700 | 17600 |
| 110  | -     | -     | -     | -     | -     | -     | -     | -     | 6050  | 8600  | 10800 | 14500 |

Ограничение по сцеплению

| $v$   | 0     | 8,5   | 16    | 23    | 30,5  | 37,5  | 43,5  | 49,5  | 53,2  | 56,5  | 59,4  |
|-------|-------|-------|-------|-------|-------|-------|-------|-------|-------|-------|-------|
| $F_k$ | 69100 | 60300 | 57100 | 55100 | 53460 | 52300 | 51800 | 50100 | 49700 | 49050 | 46500 |

| Переход на 33п | $F_k$         | $v$  |
|----------------|---------------|------|
| НП - 0П1       | 46000 - 53600 | 51,5 |
| 0П1 - 0П2      | 46600 - 52400 | 54,5 |
| 0П2 - 0П3      | 47000 - 51000 | 58   |

Ограничение по ОП

| $v$   | 56,5  | 60    | 70    | 80    | 90    | 100   | 110   |
|-------|-------|-------|-------|-------|-------|-------|-------|
| $F_k$ | 49200 | 43200 | 30200 | 22200 | 17300 | 13700 | 10800 |

Рис. 4 12. Тяговые характеристики электровозов ВЛ180с, ВЛ180т:

$F_{\infty}=40800$  кгс,  $v_{\infty}=53,6$  км/ч;  $F_{ч}=44900$  кгс,  $v_{ч}=51,9$  км/ч;  $F_{кр29п}=51200$  кгс,  $v_{р29п}=43,5$  км/ч;  
 $F_{к25п}=52170$  кг,  $v_{р25п}=37,5$  км/ч

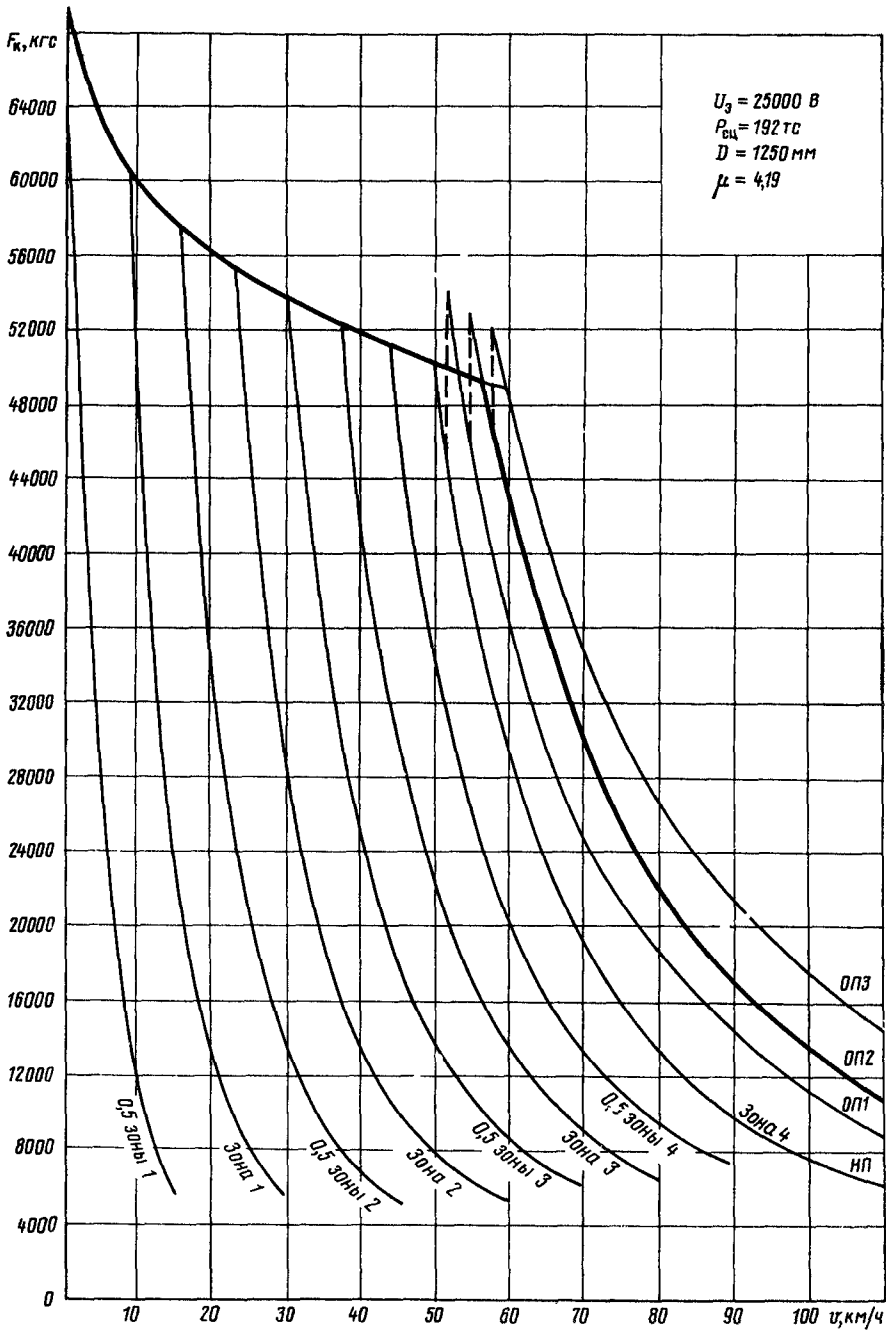


Рис 4.13 Тяговые характеристики  
 $F_{\text{к00}} = 40\,800 \text{ кгс}$ ,  $v_{\text{00}} = 54,4 \text{ км/ч}$ ;  $F_{\text{кч}} = 44\,900 \text{ кгс}$ ,  $v_{\text{ч}} = 52,5 \text{ км/ч}$ ; 0,5 зоны

| v    | F <sub>к</sub> |        |               |        |               |        |               |        |       |       |       |
|------|----------------|--------|---------------|--------|---------------|--------|---------------|--------|-------|-------|-------|
|      | 0,5<br>зоны 1  | Зона 1 | 0,5<br>зоны 2 | Зона 2 | 0,5<br>зоны 3 | Зона 3 | 0,5<br>зоны 4 | Зона 4 |       |       |       |
|      |                |        |               |        |               |        |               | нп     | оп1   | оп2   | оп3   |
| 2,5  | 50000          | —      | —             | —      | —             | —      | —             | —      | —     | —     | —     |
| 5    | 27600          | —      | —             | —      | —             | —      | —             | —      | —     | —     | —     |
| 7,5  | 14500          | —      | —             | —      | —             | —      | —             | —      | —     | —     | —     |
| 10   | 9100           | 47200  | —             | —      | —             | —      | —             | —      | —     | —     | —     |
| 12,5 | 5900           | 31200  | —             | —      | —             | —      | —             | —      | —     | —     | —     |
| 15   | —              | 21300  | —             | —      | —             | —      | —             | —      | —     | —     | —     |
| 17,5 | —              | 15400  | 44400         | —      | —             | —      | —             | —      | —     | —     | —     |
| 20   | —              | 11800  | 32500         | —      | —             | —      | —             | —      | —     | —     | —     |
| 22,5 | —              | 9100   | 24000         | 53000  | —             | —      | —             | —      | —     | —     | —     |
| 25   | —              | 7300   | 18600         | 40800  | —             | —      | —             | —      | —     | —     | —     |
| 30   | —              | —      | 12500         | 26100  | 51500         | —      | —             | —      | —     | —     | —     |
| 35   | —              | —      | 8900          | 18200  | 34600         | —      | —             | —      | —     | —     | —     |
| 40   | —              | —      | 6700          | 13200  | 24000         | 42200  | —             | —      | —     | —     | —     |
| 45   | —              | —      | —             | 10000  | 17600         | 30000  | 47000         | —      | —     | —     | —     |
| 50   | —              | —      | —             | 7900   | 13600         | 22400  | 35000         | —      | —     | —     | —     |
| 55   | —              | —      | —             | 6500   | 11000         | 17700  | 26500         | 39200  | 46200 | —     | —     |
| 60   | —              | —      | —             | 5700   | 9000          | 14400  | 20800         | 30400  | 37400 | 43600 | —     |
| 70   | —              | —      | —             | —      | 6300          | 9700   | 14400         | 19900  | 25300 | 30700 | 35500 |
| 80   | —              | —      | —             | —      | —             | 7100   | 10500         | 14300  | 18200 | 22600 | 26700 |
| 90   | —              | —      | —             | —      | —             | —      | 8000          | 10800  | 13700 | 17000 | 20900 |
| 100  | —              | —      | —             | —      | —             | —      | 6100          | 8400   | 11000 | 13400 | 16400 |
| 110  | —              | —      | —             | —      | —             | —      | —             | 6700   | 8900  | 11100 | 13200 |

Ограничение по ОП

| v              | 57    | 60    | 70    | 80    | 90    | 100   | 110   |
|----------------|-------|-------|-------|-------|-------|-------|-------|
| F <sub>к</sub> | 49100 | 43600 | 30700 | 22600 | 17000 | 13400 | 11100 |

Ограничение по сцеплению

| v              | 0     | 0,5   | 6,5   | 15,5  | 22    | 29,5  | 37    | 43,5  | 50,5  | 53,5  | 57    | 61    |
|----------------|-------|-------|-------|-------|-------|-------|-------|-------|-------|-------|-------|-------|
| F <sub>к</sub> | 69000 | 67900 | 60480 | 57300 | 53400 | 53600 | 52300 | 51200 | 50000 | 49600 | 49100 | 48800 |

| Переход | F <sub>к</sub> | v  |
|---------|----------------|----|
| нп-оп1  | 46000 - 53400  | 52 |
| оп1-оп2 | 46000 - 52700  | 55 |
| оп2-оп3 | 45600 - 52500  | 59 |

стики электровоза ВЛ80Р

4--F<sub>кр</sub>=51 200 кгс, v<sub>p</sub> =43,5 км/ч; зона 3--F<sub>кр</sub>=52 300 кгс, v<sub>p</sub> =37,0 км/ч

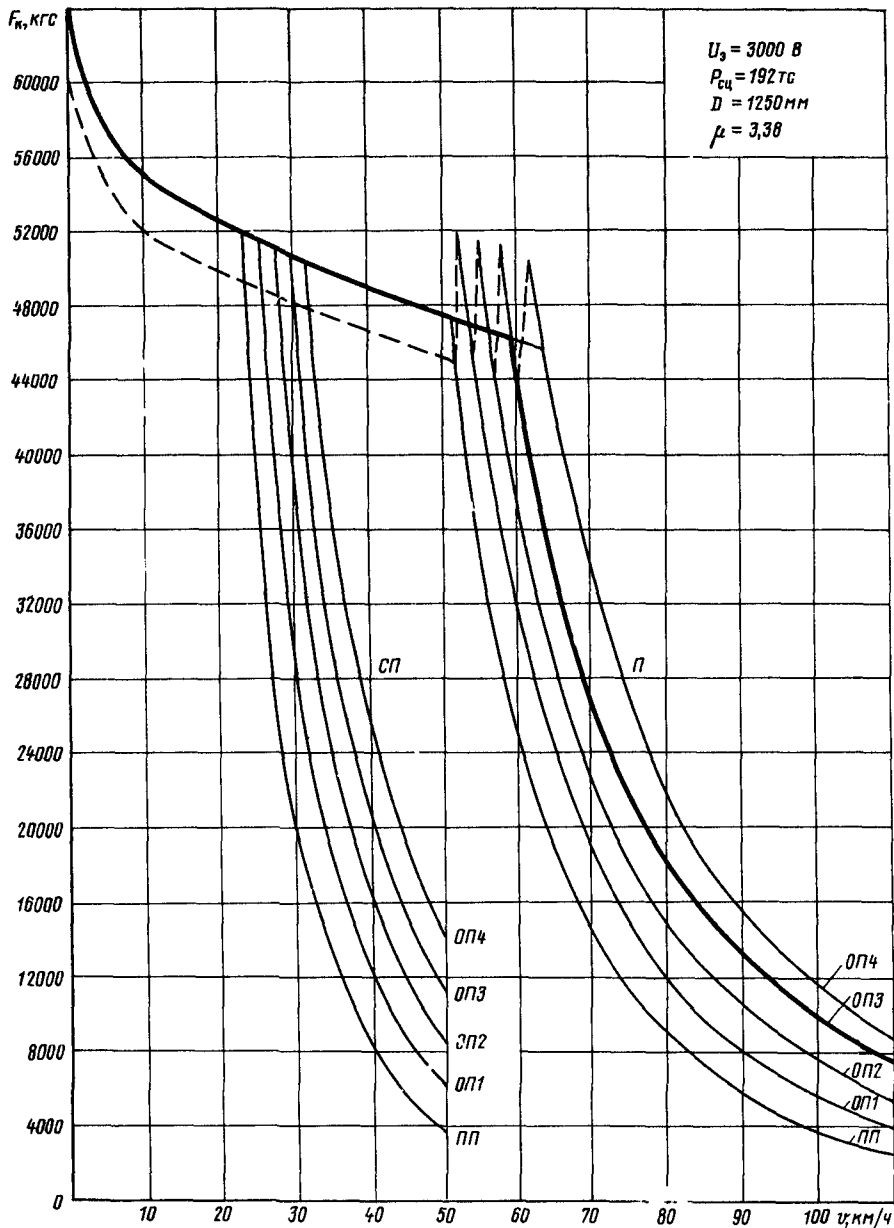


Рис 4 14 Тяговые характеристики электро  
 $F_{к\infty} = 38\ 000 \text{ кгс}$ ,  $v_{\infty} = 53,5 \text{ км/ч}$ ,  $F_{кч} = 40\ 400 \text{ кгс}$ ,

| $\nu$ | $F_k$ |       |       |       |       |       |       |       |       |       |
|-------|-------|-------|-------|-------|-------|-------|-------|-------|-------|-------|
|       | СП    |       |       |       |       | П     |       |       |       |       |
|       | ПП    | ОП1   | ОП2   | ОП3   | ОП4   | ПП    | ОП1   | ОП2   | ОП3   | ОП4   |
| 23    | 56300 | -     | -     | -     | -     | -     | -     | -     | -     | -     |
| 25    | 40800 | 57200 | -     | -     | -     | -     | -     | -     | -     | -     |
| 27,5  | 29900 | 41600 | 53600 | -     | -     | -     | -     | -     | -     | -     |
| 30    | 21200 | 30800 | 39700 | 49000 | 59100 | -     | -     | -     | -     | -     |
| 35    | 12800 | 18600 | 24600 | 30200 | 37500 | -     | -     | -     | -     | -     |
| 40    | 8500  | 12800 | 17000 | 21100 | 26900 | -     | -     | -     | -     | -     |
| 45    | 5600  | 8800  | 12200 | 15600 | 19400 | -     | -     | -     | -     | -     |
| 50    | 3600  | 6000  | 8200  | 10900 | 14000 | 51000 | 63000 | -     | -     | -     |
| 55    | -     | -     | -     | -     | -     | 34800 | 42800 | 51000 | 62400 | -     |
| 60    | -     | -     | -     | -     | -     | 25200 | 32000 | 37000 | 45600 | 54000 |
| 65    | -     | -     | -     | -     | -     | 18700 | 24400 | 28800 | 34500 | 42000 |
| 70    | -     | -     | -     | -     | -     | 14200 | 18600 | 22200 | 27000 | 33400 |
| 80    | -     | -     | -     | -     | -     | 8900  | 11800 | 15000 | 18000 | 21900 |
| 90    | -     | -     | -     | -     | -     | 5800  | 8300  | 10600 | 13200 | 15700 |
| 100   | -     | -     | -     | -     | -     | 3600  | 5500  | 7600  | 9800  | 11500 |
| 110   | -     | -     | -     | -     | -     | 2600  | 4000  | 5400  | 7400  | 8600  |

Ограничение по сцеплению

| $\nu$               | 0     | 5     | 10    | 15    | 20    | 30    | 40    | 51    | 53,5  | 56,5  | 59,5  | 63,5  |
|---------------------|-------|-------|-------|-------|-------|-------|-------|-------|-------|-------|-------|-------|
| $F_k$               | 65300 | 57000 | 54700 | 53400 | 52400 | 50600 | 49100 | 47400 | 47100 | 46600 | 46200 | 45600 |
| $F_{k, \text{доп}}$ | 65300 | 54400 | 52000 | 50600 | 49700 | 48200 | 46600 | 44900 | -     | -     | -     | -     |

Ограничение по ОП

| $\nu$ | 59,5  | 65    | 70    | 80    | 90    | 100  | 110  |
|-------|-------|-------|-------|-------|-------|------|------|
| $F_k$ | 46200 | 34500 | 27000 | 18000 | 13200 | 9800 | 7400 |

| Переход   | $F_k$         | $\nu$ |
|-----------|---------------|-------|
| ПП - ОП1  | 43200 - 52000 | 52,2  |
| ОП1 - ОП2 | 42800 - 51000 | 55    |
| ОП2 - ОП3 | 42200 - 50600 | 58    |
| ОП3 - ОП4 | 41800 - 49400 | 61,5  |

воза ВЛ82 (работа на постоянном токе)

$\nu_4 = 52,5$  км/ч,  $\Gamma_{кр} = 47\ 400$  кгс,  $\nu_p = 51$  км/ч

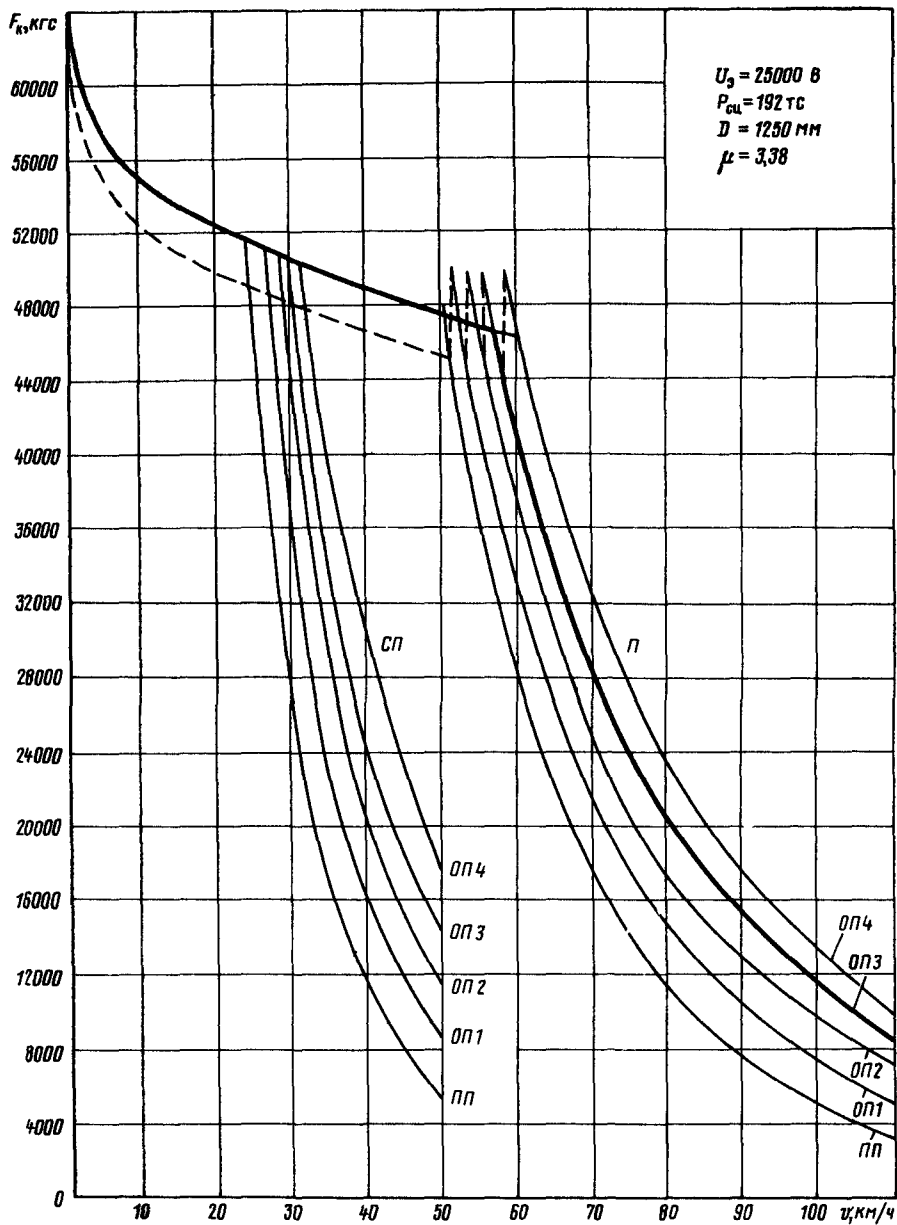


Рис. 4.15. Тяговые характеристики электро  
 $F_{\text{к}\infty} = 38\ 000 \text{ кгс}$ ,  $v_{\infty} = 54,0 \text{ км/ч}$ ;  $F_{\text{кч}} = 40\ 400 \text{ кгс}$ ,

| $\nu$ | $F_k$ |       |       |       |       |       |       |       |       |       |
|-------|-------|-------|-------|-------|-------|-------|-------|-------|-------|-------|
|       | СП    |       |       |       |       | П     |       |       |       |       |
|       | ПП    | ОП1   | ОП2   | ОП3   | ОП4   | ПП    | ОП1   | ОП2   | ОП3   | ОП4   |
| 23    | 60200 | -     | -     | -     | -     | -     | -     | -     | -     | -     |
| 25    | 48600 | 61100 | -     | -     | -     | -     | -     | -     | -     | -     |
| 27,5  | 36400 | 48600 | 57400 | 84800 | -     | -     | -     | -     | -     | -     |
| 30    | 28200 | 37400 | 45000 | 52700 | 60500 | -     | -     | -     | -     | -     |
| 35    | 17000 | 23200 | 29600 | 34700 | 41200 | -     | -     | -     | -     | -     |
| 40    | 11800 | 16000 | 20800 | 24600 | 30900 | -     | -     | -     | -     | -     |
| 45    | 8000  | 11700 | 15300 | 18300 | 23100 | 64500 | 69200 | -     | -     | -     |
| 50    | 5200  | 8600  | 11400 | 14000 | 17400 | 47600 | 54000 | 59000 | 64000 | 67600 |
| 55    | -     | -     | -     | -     | -     | 36400 | 41800 | 46200 | 51700 | 55600 |
| 60    | -     | -     | -     | -     | -     | 28600 | 33600 | 37600 | 41600 | 46900 |
| 65    | -     | -     | -     | -     | -     | 22400 | 26700 | 31000 | 34500 | 39000 |
| 70    | -     | -     | -     | -     | -     | 17600 | 21600 | 25200 | 28200 | 32800 |
| 80    | -     | -     | -     | -     | -     | 11400 | 14700 | 17400 | 20500 | 23600 |
| 90    | -     | -     | -     | -     | -     | 7500  | 10400 | 12800 | 15200 | 17600 |
| 100   | -     | -     | -     | -     | -     | 5000  | 7400  | 9600  | 11400 | 13400 |
| 110   | -     | -     | -     | -     | -     | 3200  | 5000  | 7000  | 8400  | 9800  |

Ограничение по сцеплению

| $\nu$               | 0     | 5     | 10    | 15    | 20    | 30    | 40    | 50    | 52,5  | 54,8  | 57,5  | 60,5  |
|---------------------|-------|-------|-------|-------|-------|-------|-------|-------|-------|-------|-------|-------|
| $F_k$               | 65300 | 57000 | 54700 | 53400 | 52400 | 50800 | 49100 | 47600 | 47200 | 46900 | 46500 | 46100 |
| $F_k_{\text{доп2}}$ | 65300 | 54400 | 52000 | 50600 | 49700 | 48200 | 46600 | 45100 | -     | -     | -     | -     |

Ограничение по ОП

| $\nu$ | 57,5  | 65    | 70    | 80    | 90    | 100   | 110  |
|-------|-------|-------|-------|-------|-------|-------|------|
| $F_k$ | 46500 | 34500 | 28200 | 20500 | 15200 | 11400 | 8400 |

| Переход   | $F_k$         | $\nu$ |
|-----------|---------------|-------|
| ПП - ОП1  | 44300 - 50000 | 51,7  |
| ОП1 - ОП2 | 44200 - 49400 | 53,8  |
| ОП2 - ОП3 | 44000 - 49200 | 58,2  |
| ОП3 - ОП4 | 43800 - 48200 | 59    |

воза ВЛ82 (работа на переменном токе):

$\nu_{\text{ч}} = 53,0 \text{ км/ч}$ ;  $F_{\text{кр}} = 47\ 400 \text{ кгс}$ ,  $\nu_p = 51 \text{ км/ч}$

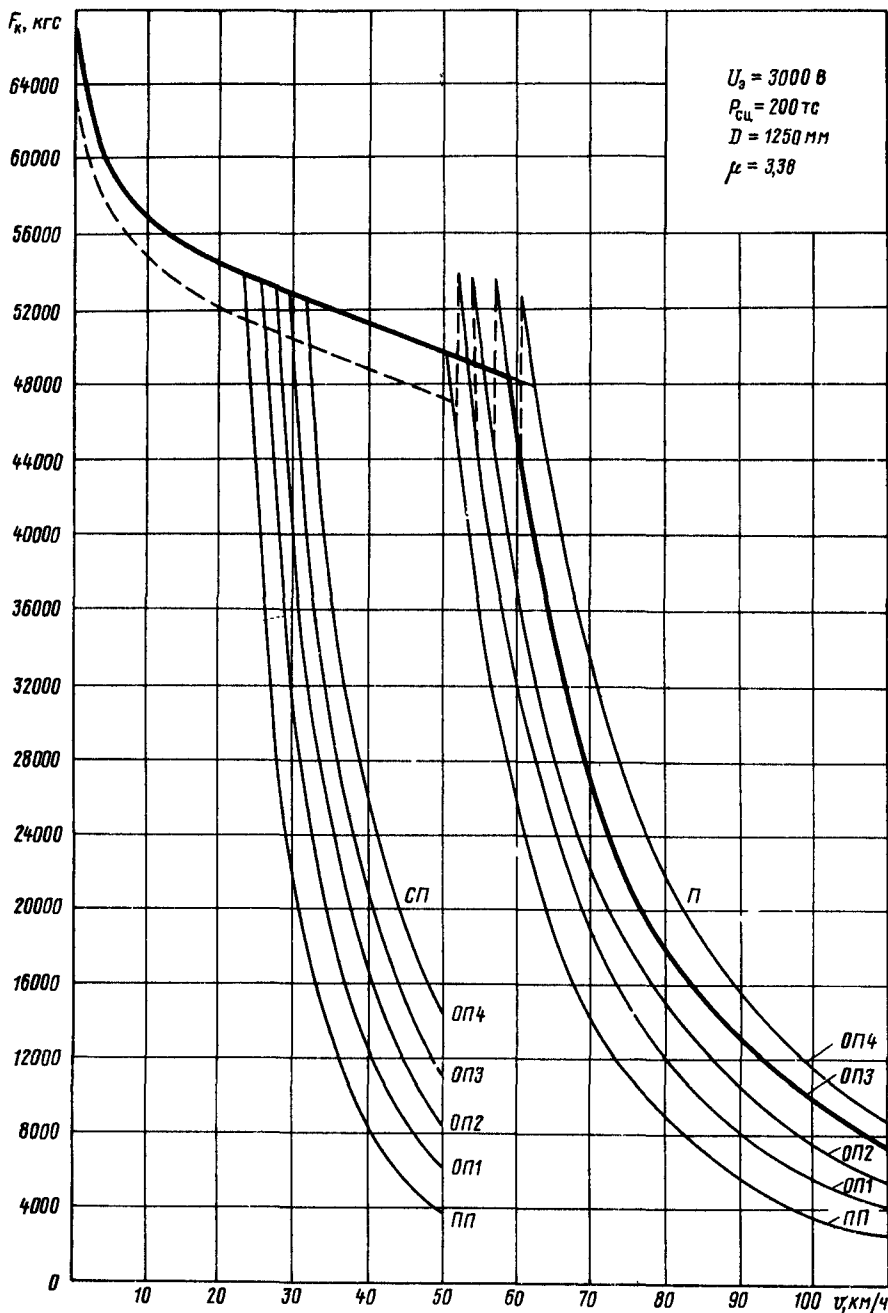


Рис. 4.16. Тяговые характеристики электро  
 $F_{к\infty} = 38\ 000 \text{ кгс}$ ,  $v_{\infty} = 53,6 \text{ км/ч}$ ;  $F_{кч} = 40\ 400 \text{ кгс}$ ,

| $\nu$ | $F_k$ |       |       |       |       |       |       |       |       |       |
|-------|-------|-------|-------|-------|-------|-------|-------|-------|-------|-------|
|       | СП    |       |       |       |       | П     |       |       |       |       |
|       | ПП    | ОП1   | ОП2   | ОП3   | ОП4   | ПП    | ОП1   | ОП2   | ОП3   | ОП4   |
| 23    | 56300 | —     | —     | —     | —     | —     | —     | —     | —     | —     |
| 25    | 40800 | 57200 | —     | —     | —     | —     | —     | —     | —     | —     |
| 27,5  | 29900 | 41600 | 53600 | —     | —     | —     | —     | —     | —     | —     |
| 30    | 21200 | 30800 | 39600 | 48900 | 59000 | —     | —     | —     | —     | —     |
| 35    | 12800 | 18600 | 24600 | 30200 | 37500 | —     | —     | —     | —     | —     |
| 40    | 8600  | 12800 | 17200 | 21000 | 26900 | —     | —     | —     | —     | —     |
| 45    | 5600  | 8800  | 12200 | 15800 | 19400 | —     | —     | —     | —     | —     |
| 50    | 3600  | 6000  | 8200  | 10900 | 14000 | 51000 | 83000 | —     | —     | —     |
| 55    | —     | —     | —     | —     | —     | 34800 | 42800 | 51000 | 62000 | —     |
| 60    | —     | —     | —     | —     | —     | 25200 | 32000 | 37000 | 45600 | 54000 |
| 65    | —     | —     | —     | —     | —     | 18700 | 24400 | 28800 | 34500 | 42000 |
| 70    | —     | —     | —     | —     | —     | 14200 | 18600 | 22200 | 27000 | 33400 |
| 80    | —     | —     | —     | —     | —     | 8900  | 11800 | 15000 | 18000 | 21900 |
| 90    | —     | —     | —     | —     | —     | 5800  | 8300  | 10600 | 13200 | 15700 |
| 100   | —     | —     | —     | —     | —     | 3600  | 5500  | 7600  | 9800  | 11500 |
| 110   | —     | —     | —     | —     | —     | 2600  | 4000  | 5000  | 7400  | 8600  |

Ограничение по сцеплению

| $\nu$      | 0     | 5     | 10    | 15    | 20    | 30    | 40    | 50,5  | 53    | 55,5  | 58,5  | 62,0  |
|------------|-------|-------|-------|-------|-------|-------|-------|-------|-------|-------|-------|-------|
| $F_k$      | 66000 | 59400 | 56990 | 55800 | 54600 | 52700 | 51200 | 49700 | 49300 | 49000 | 46400 | 48000 |
| $F_k$ разг | 66000 | 57000 | 54800 | 53100 | 52000 | 50500 | 48800 | 47300 | —     | —     | —     | —     |

Ограничение по ОП

| $\nu$ | 58,5  | 65    | 70    | 80    | 90    | 100  | 110  |
|-------|-------|-------|-------|-------|-------|------|------|
| $F_k$ | 48400 | 34500 | 27000 | 18000 | 13200 | 9800 | 7400 |

| Переход | $F_k$         | $\nu$ |
|---------|---------------|-------|
| ПП-ОП1  | 45000 - 54000 | 52    |
| ОП1-ОП2 | 45200 - 53800 | 54,5  |
| ОП2-ОП3 | 44400 - 53500 | 57    |
| ОП3-ОП4 | 44200 - 52600 | 60,5  |

воза ВЛ182<sup>ж</sup> (работа на постоянном токе):  
 $v_{ч} = 52,5$  км/ч;  $F_{кр} = 49\ 700$  кгс,  $v_p = 50,5$  км/ч

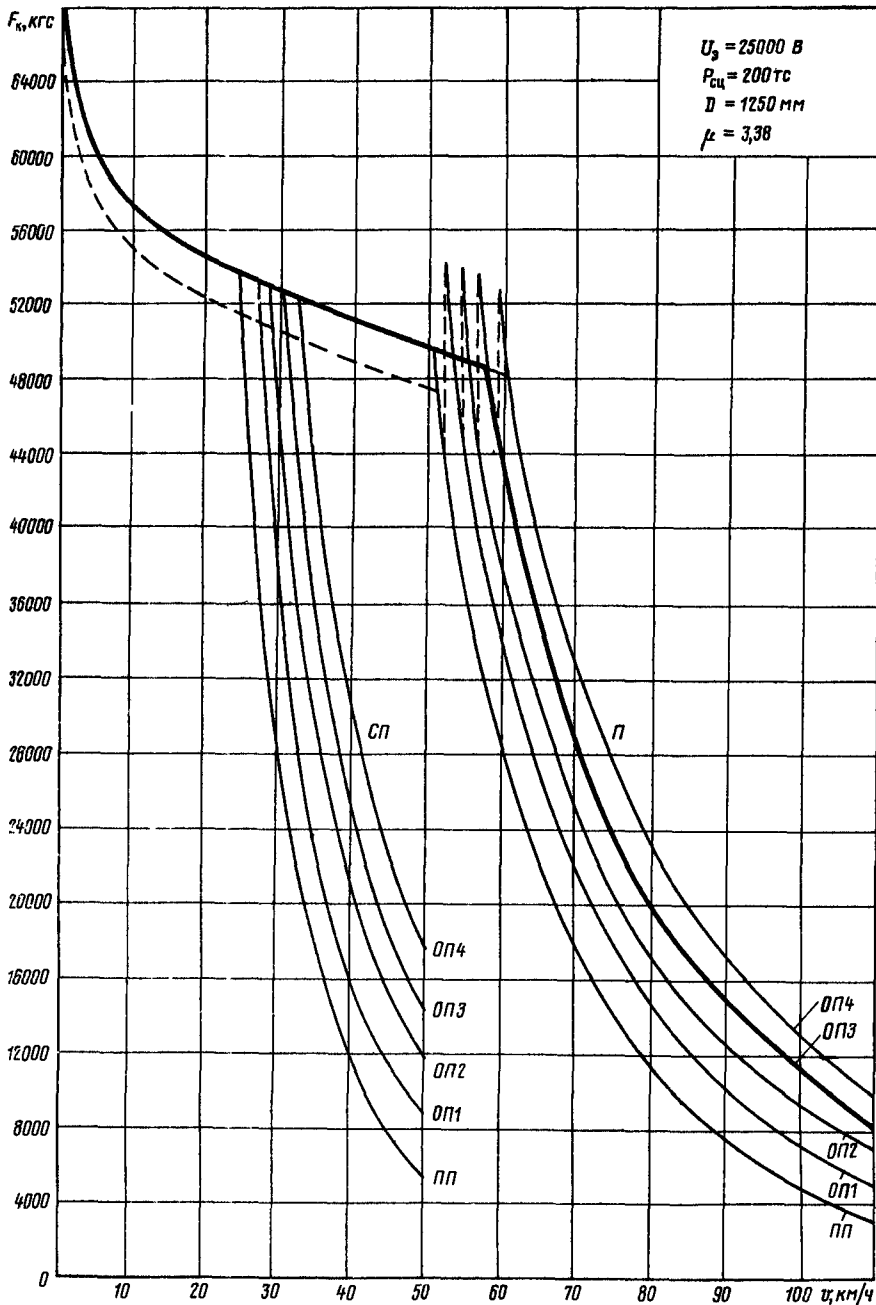


Рис. 4 17. Тяговые характеристики электровоза ВЛ82<sup>м</sup>  
 $F_{к\infty} = 38\ 600 \text{ кгс}$ ,  $v_{\infty} = 54,0 \text{ км/ч}$ ;  $F_{кч} = 40\ 400 \text{ кгс}$ .

| v    | F <sub>к</sub> |       |       |       |       |       |       |       |       |       |
|------|----------------|-------|-------|-------|-------|-------|-------|-------|-------|-------|
|      | СП             |       |       |       |       | П     |       |       |       |       |
|      | ПП             | ОП1   | ОП2   | ОП3   | ОП4   | ПП    | ОП1   | ОП2   | ОП3   | ОП4   |
| 23   | 60200          | —     | —     | —     | —     | —     | —     | —     | —     | —     |
| 25   | 48600          | 61100 | —     | —     | —     | —     | —     | —     | —     | —     |
| 27,5 | 38400          | 48600 | 57400 | 64800 | —     | —     | —     | —     | —     | —     |
| 30   | 28200          | 37400 | 45000 | 52700 | 60500 | —     | —     | —     | —     | —     |
| 35   | 17000          | 23200 | 29600 | 34700 | 41200 | —     | —     | —     | —     | —     |
| 40   | 11800          | 16000 | 20800 | 24600 | 30900 | —     | —     | —     | —     | —     |
| 45   | 8000           | 11700 | 15300 | 18300 | 23100 | 64500 | 69200 | —     | —     | —     |
| 50   | 5200           | 8800  | 11400 | 14000 | 17400 | 47600 | 54000 | 59000 | 64000 | 67600 |
| 55   | —              | —     | —     | —     | —     | 36400 | 41800 | 46200 | 51700 | 55800 |
| 60   | —              | —     | —     | —     | —     | 28600 | 33600 | 37600 | 41600 | 46900 |
| 65   | —              | —     | —     | —     | —     | 22400 | 28700 | 31000 | 34500 | 39000 |
| 70   | —              | —     | —     | —     | —     | 17600 | 21800 | 25200 | 28200 | 32800 |
| 80   | —              | —     | —     | —     | —     | 11400 | 14700 | 17400 | 20500 | 23600 |
| 90   | —              | —     | —     | —     | —     | 7300  | 10900 | 12600 | 15200 | 17600 |
| 100  | —              | —     | —     | —     | —     | 5000  | 7400  | 9600  | 11400 | 13400 |
| 110  | —              | —     | —     | —     | —     | 3200  | 5000  | 7000  | 8400  | 9800  |

Ограничение по сцеплению

| v                   | 0     | 5     | 10    | 15    | 20    | 30    | 40    | 49,4  | 51,8  | 53,8  | 56,5  | 59,2  |
|---------------------|-------|-------|-------|-------|-------|-------|-------|-------|-------|-------|-------|-------|
| F <sub>к</sub>      | 68000 | 59400 | 56900 | 55800 | 54800 | 52700 | 51200 | 49700 | 49300 | 49000 | 48800 | 48200 |
| F <sub>к разг</sub> | 68000 | 57000 | 54800 | 53100 | 52000 | 50500 | 48800 | 47300 | —     | —     | —     | —     |

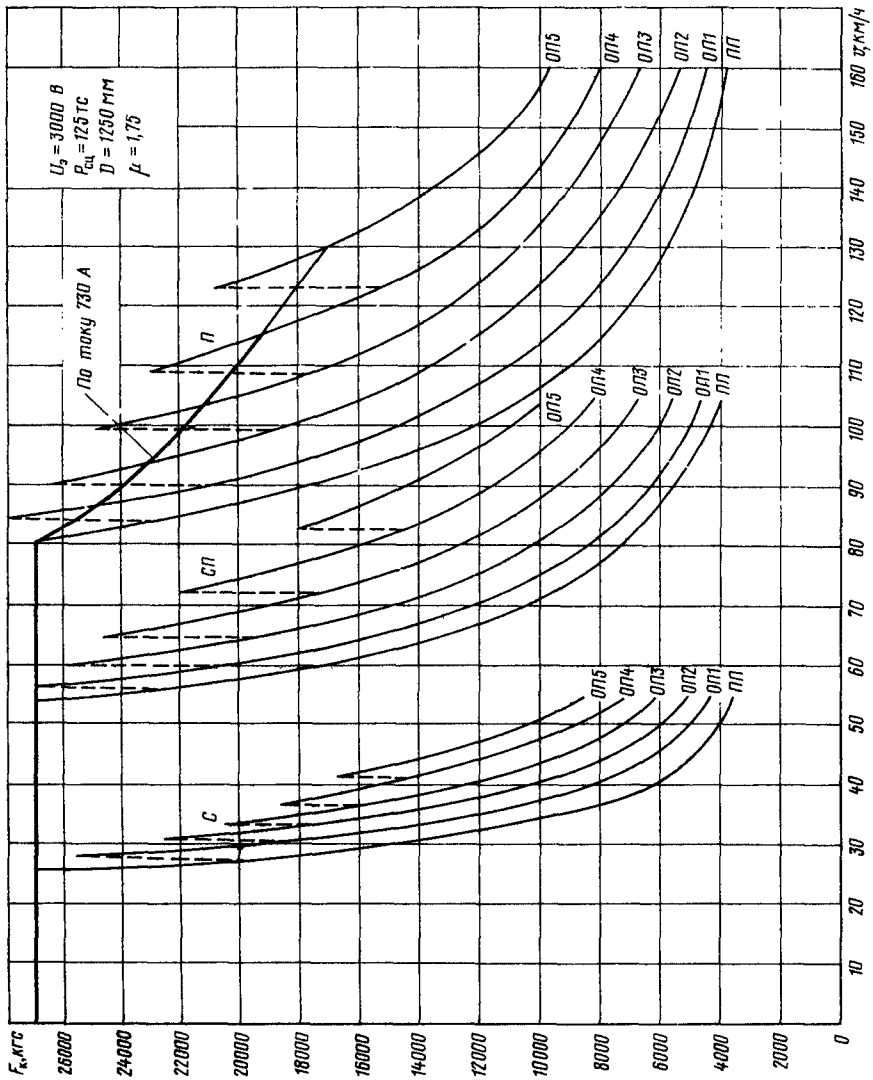
Ограничение по ОП

| v              | 56,5  | 65    | 70    | 80    | 90    | 100   | 110  |
|----------------|-------|-------|-------|-------|-------|-------|------|
| F <sub>к</sub> | 48600 | 34500 | 28200 | 20500 | 15200 | 11400 | 8400 |

| Переход   | F <sub>к</sub> | v    |
|-----------|----------------|------|
| ПП - ОП1  | 45700 - 54000  | 52,0 |
| ОП1 - ОП2 | 44800 - 54000  | 54,0 |
| ОП2 - ОП3 | 43400 - 53600  | 56,5 |
| ОП3 - ОП4 | 44600 - 52800  | 58,5 |

(работа на переменном токе):

v<sub>ч</sub> = 53,0 км/ч; F<sub>кр</sub> = 49 700 кгс, v<sub>p</sub> = 50,5 км/ч



| v    | F <sub>K</sub> |       |       |       |       |       |       |       |       |       |       |       |       |       |       |       |       |     |
|------|----------------|-------|-------|-------|-------|-------|-------|-------|-------|-------|-------|-------|-------|-------|-------|-------|-------|-----|
|      | C              |       |       |       |       | СП    |       |       |       |       | П     |       |       |       |       |       |       |     |
|      | ПП             | ОП1   | ОП2   | ОП3   | ОП4   | ОП5   | ПП    | ОП1   | ОП2   | ОП3   | ОП4   | ОП5   | ПП    | ОП1   | ОП2   | ОП3   | ОП4   | ОП5 |
| 25   | 27000          | -     | -     | -     | -     | -     | -     | -     | -     | -     | -     | -     | -     | -     | -     | -     | -     | -   |
| 28,5 | 16500          | 26300 | -     | -     | -     | -     | -     | -     | -     | -     | -     | -     | -     | -     | -     | -     | -     | -   |
| 30   | 14500          | 20400 | -     | -     | -     | -     | -     | -     | -     | -     | -     | -     | -     | -     | -     | -     | -     | -   |
| 33   | 9400           | 17300 | 15500 | 19000 | -     | -     | -     | -     | -     | -     | -     | -     | -     | -     | -     | -     | -     | -   |
| 40   | 6700           | 8500  | 70300 | 12900 | 16700 | -     | -     | -     | -     | -     | -     | -     | -     | -     | -     | -     | -     | -   |
| 45   | 5300           | 6600  | 7800  | 5500  | 12300 | 14500 | -     | -     | -     | -     | -     | -     | -     | -     | -     | -     | -     | -   |
| 50   | 4200           | 5200  | 6300  | 7600  | 9500  | 11200 | -     | -     | -     | -     | -     | -     | -     | -     | -     | -     | -     | -   |
| 55   | 3700           | 4600  | 5500  | 6400  | 7600  | 9000  | 24200 | -     | -     | -     | -     | -     | -     | -     | -     | -     | -     | -   |
| 60   | -              | -     | -     | -     | -     | 17100 | 22000 | 26400 | -     | -     | -     | -     | -     | -     | -     | -     | -     | -   |
| 65   | -              | -     | -     | -     | -     | 12900 | 16500 | 19400 | 24300 | -     | -     | -     | -     | -     | -     | -     | -     | -   |
| 70   | -              | -     | -     | -     | -     | 10100 | 12800 | 15200 | 19200 | -     | -     | -     | -     | -     | -     | -     | -     | -   |
| 75   | -              | -     | -     | -     | -     | 8700  | 10700 | 12500 | 15900 | 20200 | -     | -     | -     | -     | -     | -     | -     | -   |
| 80   | -              | -     | -     | -     | -     | 7000  | 8400  | 10500 | 13300 | 16900 | -     | -     | -     | -     | -     | -     | -     | -   |
| 85   | -              | -     | -     | -     | -     | 6000  | 7400  | 9000  | 11200 | 14400 | 18000 | -     | -     | -     | -     | -     | -     | -   |
| 90   | -              | -     | -     | -     | -     | 5300  | 6500  | 8000  | 9700  | 12500 | 15800 | 26500 | -     | -     | -     | -     | -     | -   |
| 100  | -              | -     | -     | -     | -     | 4100  | 5000  | 6100  | 7400  | 9600  | 11000 | 17500 | 24500 | -     | -     | -     | -     | -   |
| 105  | -              | -     | -     | -     | -     | 3700  | 4300  | 5300  | 6500  | 8500  | 9900  | 10700 | 14900 | 18000 | -     | -     | -     | -   |
| 110  | -              | -     | -     | -     | -     | 3200  | 3700  | 4700  | 5800  | 7400  | 8800  | 10700 | 12700 | 15300 | 20300 | -     | -     | -   |
| 115  | -              | -     | -     | -     | -     | -     | -     | -     | -     | -     | -     | 7900  | 9900  | 12000 | 15100 | 19000 | -     | -   |
| 120  | -              | -     | -     | -     | -     | -     | -     | -     | -     | -     | -     | 7100  | 8900  | 10700 | 13300 | 16700 | -     | -   |
| 125  | -              | -     | -     | -     | -     | -     | -     | -     | -     | -     | -     | 6500  | 7800  | 9700  | 12000 | 15000 | 19100 | -   |
| 130  | -              | -     | -     | -     | -     | -     | -     | -     | -     | -     | -     | 6000  | 7100  | 8800  | 10800 | 13500 | 17100 | -   |
| 140  | -              | -     | -     | -     | -     | -     | -     | -     | -     | -     | -     | 4800  | 5900  | 7300  | 9000  | 10900 | 13400 | -   |
| 150  | -              | -     | -     | -     | -     | -     | -     | -     | -     | -     | -     | 4200  | 5100  | 6200  | 7600  | 9000  | 11000 | -   |
| 160  | -              | -     | -     | -     | -     | -     | -     | -     | -     | -     | -     | 3700  | 4400  | 5300  | 6600  | 7900  | 9600  | -   |

Ограничение по ОП

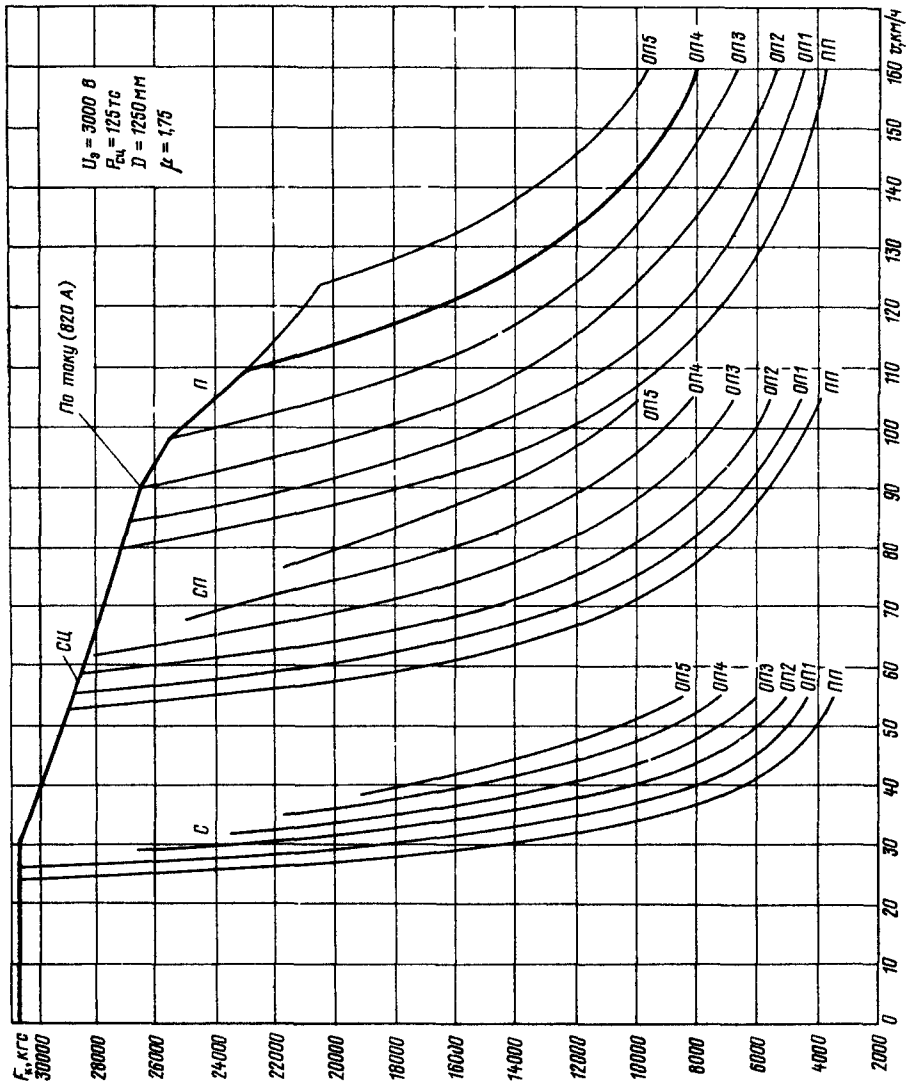
|                |       |       |       |      |      |      |      |
|----------------|-------|-------|-------|------|------|------|------|
| v              | 115,3 | 130   | 140   | 145  | 150  | 155  | 160  |
| F <sub>K</sub> | 18800 | 13500 | 10900 | 9300 | 9000 | 8500 | 7900 |

Ограничение по току

|                |       |       |       |       |       |       |       |       |
|----------------|-------|-------|-------|-------|-------|-------|-------|-------|
| v              | 0     | 25    | 53,6  | 80,3  | 93,5  | 103,6 | 115,3 | 130,6 |
| F <sub>K</sub> | 27000 | 27000 | 27000 | 27000 | 25400 | 21400 | 18800 | 16800 |

| Переход   | F <sub>K</sub> | v   |
|-----------|----------------|-----|
| ПП - ОП1  | 23000 - 26200  | 84  |
| ОП1 - ОП2 | 21400 - 26400  | 90  |
| ОП2 - ОП3 | 19300 - 25000  | 99  |
| ОП3 - ОП4 | 17700 - 23000  | 109 |
| ОП4 - ОП5 | 15500 - 20900  | 123 |

Рис. 418 Тяговые характеристики электровоза ЧС2  
 $F_{K\infty} = 13\ 600$  кгс,  $v_{\infty} = 96,5$  км/ч;  $F_{Kv} = 16\ 300$  кгс,  $v_{ч} = 91,8$  км/ч



| Переход   | $F_k$         | $v$   |
|-----------|---------------|-------|
| ПП - ОП1  | 27700 - 32500 | 79,5  |
| ОП1 - ОП2 | 25800 - 31600 | 85,5  |
| ОП2 - ОП3 | 23300 - 29900 | 83,5  |
| ОП3 - ОП4 | 20900 - 27000 | 104   |
| ОП4 - ОП5 | 18700 - 24800 | 116,5 |

| $v$  | $F_k$ |       |       |       |       |       |       |       |       |       |       |       |       |       |       |       |       |       |
|------|-------|-------|-------|-------|-------|-------|-------|-------|-------|-------|-------|-------|-------|-------|-------|-------|-------|-------|
|      | С     |       |       |       |       |       |       |       |       | П     |       |       |       |       |       |       |       |       |
|      | ПП    | ОП1   | ОП2   | ОП3   | ОП4   | ОП5   | ПП    | ОП1   | ОП2   | ОП3   | ОП4   | ОП5   | ПП    | ОП1   | ОП2   | ОП3   | ОП4   | ОП5   |
| 25   | 27000 | -     | -     | -     | -     | -     | -     | -     | -     | -     | -     | -     | -     | -     | -     | -     | -     | -     |
| 28,5 | 16500 | 25300 | -     | -     | -     | -     | -     | -     | -     | -     | -     | -     | -     | -     | -     | -     | -     | -     |
| 30   | 14500 | 20400 | -     | -     | -     | -     | -     | -     | -     | -     | -     | -     | -     | -     | -     | -     | -     | -     |
| 35   | 9400  | 12300 | 15500 | 19000 | -     | -     | -     | -     | -     | -     | -     | -     | -     | -     | -     | -     | -     | -     |
| 40   | 6700  | 6500  | 10300 | 12800 | 16700 | -     | -     | -     | -     | -     | -     | -     | -     | -     | -     | -     | -     | -     |
| 45   | 5300  | 6600  | 7800  | 9500  | 12300 | 14500 | -     | -     | -     | -     | -     | -     | -     | -     | -     | -     | -     | -     |
| 50   | 4200  | 5200  | 6300  | 7600  | 9500  | 11700 | -     | -     | -     | -     | -     | -     | -     | -     | -     | -     | -     | -     |
| 55   | 3700  | 4600  | 5600  | 6700  | 7600  | 9000  | 12400 | -     | -     | -     | -     | -     | -     | -     | -     | -     | -     | -     |
| 60   | -     | -     | -     | -     | -     | -     | 17100 | 12200 | 26740 | -     | -     | -     | -     | -     | -     | -     | -     | -     |
| 65   | -     | -     | -     | -     | -     | -     | 12900 | 16500 | 19400 | 24300 | -     | -     | -     | -     | -     | -     | -     | -     |
| 70   | -     | -     | -     | -     | -     | -     | 10100 | 12800 | 15200 | 19200 | -     | -     | -     | -     | -     | -     | -     | -     |
| 75   | -     | -     | -     | -     | -     | -     | 8100  | 10700 | 12500 | 15900 | 20200 | -     | -     | -     | -     | -     | -     | -     |
| 80   | -     | -     | -     | -     | -     | -     | 7000  | 9400  | 10650 | 13300 | 16900 | 27200 | -     | -     | -     | -     | -     | -     |
| 85   | -     | -     | -     | -     | -     | -     | 6000  | 7400  | 9000  | 11200 | 14400 | 18000 | 22100 | 26400 | -     | -     | -     | -     |
| 90   | -     | -     | -     | -     | -     | -     | 5300  | 6500  | 8000  | 9700  | 12500 | 15800 | 17800 | 21500 | 26500 | -     | -     | -     |
| 100  | -     | -     | -     | -     | -     | -     | 4400  | 5000  | 6700  | 7400  | 9600  | 11000 | 11700 | 14900 | 18000 | 23500 | -     | -     |
| 105  | -     | -     | -     | -     | -     | -     | 3700  | 4300  | 5300  | 6500  | 8500  | 9500  | 10700 | 12700 | 15300 | 20300 | -     | -     |
| 110  | -     | -     | -     | -     | -     | -     | 3200  | 3700  | 4700  | 5600  | 7400  | 8500  | 9500  | 11000 | 13500 | 17200 | 21700 | -     |
| 115  | -     | -     | -     | -     | -     | -     | -     | -     | -     | -     | -     | -     | 7900  | 9900  | 12200 | 15100 | 19000 | -     |
| 120  | -     | -     | -     | -     | -     | -     | -     | -     | -     | -     | -     | -     | 7100  | 8900  | 10700 | 13300 | 16700 | -     |
| 125  | -     | -     | -     | -     | -     | -     | -     | -     | -     | -     | -     | -     | 6500  | 7800  | 9700  | 12000 | 15000 | 19100 |
| 130  | -     | -     | -     | -     | -     | -     | -     | -     | -     | -     | -     | -     | 6000  | 7100  | 8900  | 10800 | 13500 | 17700 |
| 140  | -     | -     | -     | -     | -     | -     | -     | -     | -     | -     | -     | -     | 4800  | 5900  | 7300  | 9000  | 10900 | 13400 |
| 150  | -     | -     | -     | -     | -     | -     | -     | -     | -     | -     | -     | -     | 4200  | 5100  | 6200  | 7600  | 9000  | 11000 |
| 160  | -     | -     | -     | -     | -     | -     | -     | -     | -     | -     | -     | -     | 3700  | 4400  | 5300  | 6600  | 7900  | 9600  |

Ограничение по ОП

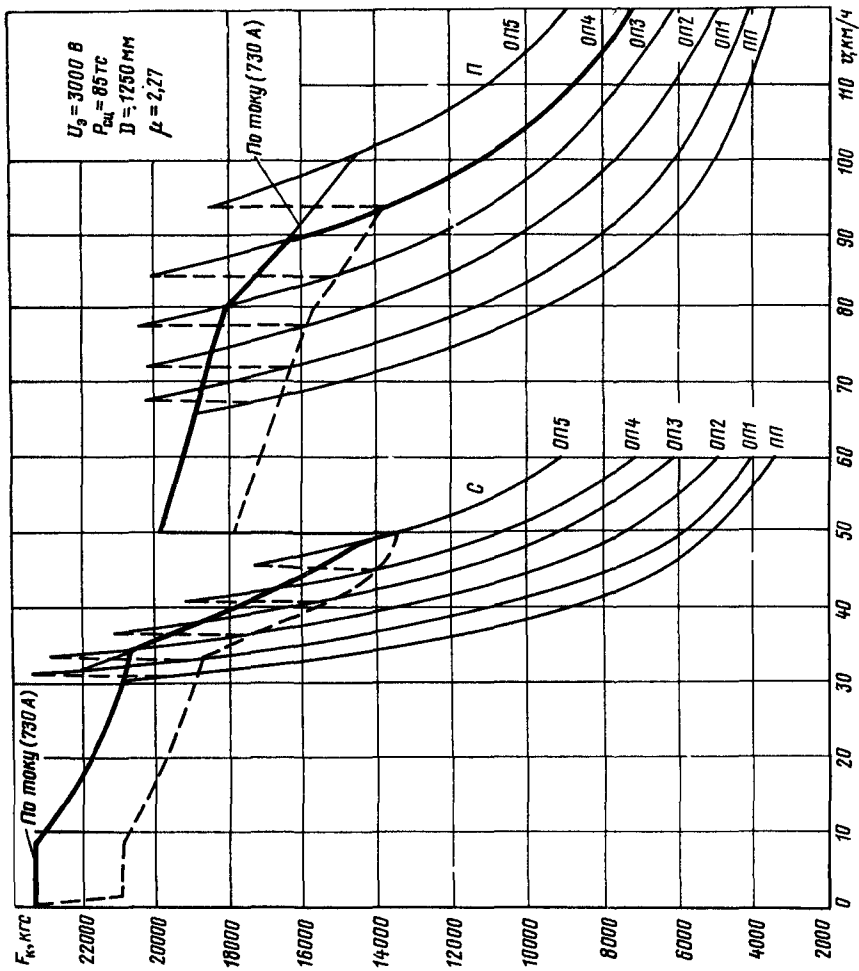
| $v$   | 109   | 115   | 120   | 125   | 130   | 140   | 150  | 160  |
|-------|-------|-------|-------|-------|-------|-------|------|------|
| $F_k$ | 22200 | 19000 | 16700 | 16000 | 13500 | 10900 | 9000 | 7900 |

Ограничение по сцеплению и току

| $v$   | 0     | 30    | 53,2  | 80,3  | 85    | 90,4  | 97,5  | 109   | 122,5 |
|-------|-------|-------|-------|-------|-------|-------|-------|-------|-------|
| $F_k$ | 30800 | 30800 | 28600 | 27000 | 25500 | 26100 | 25100 | 22200 | 19900 |

Рис. 4.19. Тяговые характеристики электровоза ЧС2т:

$F_{к\text{св}} = 15\ 600\ \text{кгс}$ ,  $v_{\text{св}} = 93\ \text{км/ч}$ ,  $F_{к\text{т}} = 18\ 500\ \text{кгс}$ ,  $v_{\text{т}} = 89\ \text{км/ч}$



| v    | F <sub>к</sub> |       |       |       |       |       |       |       |       |       |       |       |    |     |     |     |     |     |
|------|----------------|-------|-------|-------|-------|-------|-------|-------|-------|-------|-------|-------|----|-----|-----|-----|-----|-----|
|      | C              |       |       |       |       |       |       |       | п     |       |       |       |    |     |     |     |     |     |
|      | пп             | оп1   | оп2   | оп3   | оп4   | оп5   | пп    | оп1   | оп2   | оп3   | оп4   | оп5   | пп | оп1 | оп2 | оп3 | оп4 | оп5 |
| 29,5 | 23400          | —     | —     | —     | —     | —     | —     | —     | —     | —     | —     | —     | —  | —   | —   | —   | —   | —   |
| 31   | 19000          | 23400 | —     | —     | —     | —     | —     | —     | —     | —     | —     | —     | —  | —   | —   | —   | —   | —   |
| 32   | 17000          | 21500 | —     | —     | —     | —     | —     | —     | —     | —     | —     | —     | —  | —   | —   | —   | —   | —   |
| 33   | 15500          | 19000 | 23000 | —     | —     | —     | —     | —     | —     | —     | —     | —     | —  | —   | —   | —   | —   | —   |
| 35   | 13000          | 16000 | 19500 | —     | —     | —     | —     | —     | —     | —     | —     | —     | —  | —   | —   | —   | —   | —   |
| 37   | 11200          | 13600 | 16500 | 20600 | —     | —     | —     | —     | —     | —     | —     | —     | —  | —   | —   | —   | —   | —   |
| 40   | 8850           | 10800 | 13120 | 16400 | 20500 | —     | —     | —     | —     | —     | —     | —     | —  | —   | —   | —   | —   | —   |
| 43   | 7200           | 8650  | 10800 | 13300 | 16250 | 20000 | —     | —     | —     | —     | —     | —     | —  | —   | —   | —   | —   | —   |
| 47   | 5700           | 6800  | 8600  | 10400 | 12500 | 15600 | —     | —     | —     | —     | —     | —     | —  | —   | —   | —   | —   | —   |
| 53   | 4360           | 5140  | 6480  | 7920  | 9290  | 11400 | —     | —     | —     | —     | —     | —     | —  | —   | —   | —   | —   | —   |
| 60   | 3400           | 4050  | 4900  | 5960  | 7000  | 8320  | —     | —     | —     | —     | —     | —     | —  | —   | —   | —   | —   | —   |
| 61,7 | —              | —     | —     | —     | —     | —     | 23400 | —     | —     | —     | —     | —     | —  | —   | —   | —   | —   | —   |
| 63   | —              | —     | —     | —     | —     | —     | 21150 | —     | —     | —     | —     | —     | —  | —   | —   | —   | —   | —   |
| 65   | —              | —     | —     | —     | —     | —     | 19500 | 23400 | —     | —     | —     | —     | —  | —   | —   | —   | —   | —   |
| 68   | —              | —     | —     | —     | —     | —     | 16650 | 19900 | —     | —     | —     | —     | —  | —   | —   | —   | —   | —   |
| 70   | —              | —     | —     | —     | —     | —     | 15050 | 18020 | 22120 | —     | —     | —     | —  | —   | —   | —   | —   | —   |
| 72   | —              | —     | —     | —     | —     | —     | 13500 | 16210 | 20200 | —     | —     | —     | —  | —   | —   | —   | —   | —   |
| 75   | —              | —     | —     | —     | —     | —     | 11600 | 14040 | 17600 | 22800 | —     | —     | —  | —   | —   | —   | —   | —   |
| 80   | —              | —     | —     | —     | —     | —     | 9420  | 11500 | 14160 | 18200 | —     | —     | —  | —   | —   | —   | —   | —   |
| 85   | —              | —     | —     | —     | —     | —     | 7800  | 9460  | 11710 | 14560 | 19400 | —     | —  | —   | —   | —   | —   | —   |
| 90   | —              | —     | —     | —     | —     | —     | 6550  | 8030  | 10100 | 12270 | 15720 | —     | —  | —   | —   | —   | —   | —   |
| 95   | —              | —     | —     | —     | —     | —     | 5700  | 6950  | 8720  | 10630 | 13120 | 17650 | —  | —   | —   | —   | —   | —   |
| 100  | —              | —     | —     | —     | —     | —     | 5050  | 6150  | 7700  | 9380  | 11160 | 14700 | —  | —   | —   | —   | —   | —   |
| 105  | —              | —     | —     | —     | —     | —     | 4560  | 5460  | 6830  | 8320  | 9760  | 12560 | —  | —   | —   | —   | —   | —   |
| 110  | —              | —     | —     | —     | —     | —     | 4110  | 4910  | 6110  | 7490  | 8650  | 11030 | —  | —   | —   | —   | —   | —   |
| 120  | —              | —     | —     | —     | —     | —     | 3420  | 4100  | 4900  | 5100  | 7220  | 8900  | —  | —   | —   | —   | —   | —   |

Ограничение по сцеплению и току

|                |       |       |       |       |       |       |       |       |
|----------------|-------|-------|-------|-------|-------|-------|-------|-------|
| v              | 0     | 8,5   | 20    | 29,5  | 32,2  | 34,5  | 36,5  | 42,9  |
| F <sub>к</sub> | 23400 | 23400 | 21600 | 20900 | 20800 | 20400 | 18400 | 16400 |

|       |       |       |       |       |       |       |       |       |
|-------|-------|-------|-------|-------|-------|-------|-------|-------|
| 48,4  | 50    | 60    | 65,5  | 63,2  | 74,1  | 80    | 89    | 100,4 |
| 14600 | 13500 | 19800 | 18900 | 18600 | 16500 | 18200 | 16400 | 14600 |

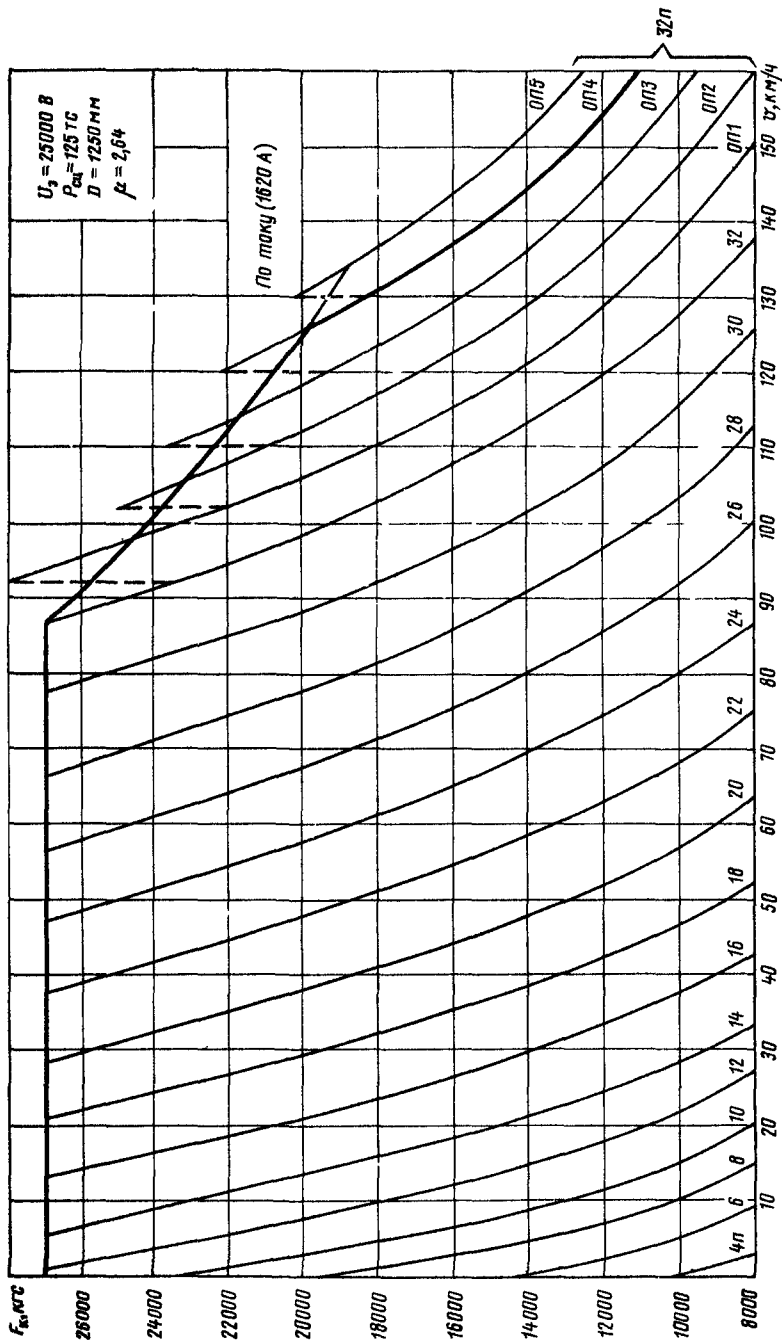
|           |                |      |
|-----------|----------------|------|
| Переход   | F <sub>к</sub> | v    |
| пп - оп1  | 17400 - 20400  | 67,5 |
| оп1 - оп2 | 16400 - 20200  | 72,0 |
| оп2 - оп3 | 16000 - 20200  | 71,5 |
| оп3 - оп4 | 15300 - 20000  | 84,0 |
| оп4 - оп5 | 13700 - 18500  | 94,0 |

Ограничение по ОП

|                |       |       |       |      |      |      |
|----------------|-------|-------|-------|------|------|------|
| v              | 88,3  | 95    | 100   | 105  | 110  | 120  |
| F <sub>к</sub> | 16850 | 13120 | 11160 | 9760 | 8650 | 7220 |

Рис. 4.20. Тяговые характеристики электровоза ЧЭС:

F<sub>ксо</sub> = 11 900 кгс, v<sub>со</sub> = 74,5 км/ч; F<sub>кч</sub> = 14 400 кгс, v<sub>ч</sub> = 70,8 км/ч



Ограничение по току

|             |       |       |       |       |       |       |       |
|-------------|-------|-------|-------|-------|-------|-------|-------|
| $\nu$       | 0     | 86,5  | 97    | 105   | 115,3 | 126,5 | 135,3 |
| $F_k$       | 27000 | 27000 | 24800 | 23750 | 21550 | 19700 | 18650 |
| $F_k$ по 32 | 27000 | 25200 | -     | -     | -     | -     | -     |

Ограничение по ОП

|       |       |       |       |       |       |
|-------|-------|-------|-------|-------|-------|
| $\nu$ | 126,5 | 130   | 140   | 150   | 160   |
| $F_k$ | 19700 | 18300 | 15200 | 12800 | 11100 |

| $\nu$ | $F_k$ |       |       |       |       |       |       |       |       |       |       |       |       |       |       |       |       |       |       |       |
|-------|-------|-------|-------|-------|-------|-------|-------|-------|-------|-------|-------|-------|-------|-------|-------|-------|-------|-------|-------|-------|
|       | 32 п  |       |       |       |       |       |       |       |       |       |       |       |       |       |       |       |       |       |       |       |
|       | 0П1   | 0П2   | 0П3   | 0П4   | 0П5   | 30п   | 28п   | 26п   | 24п   | 22п   | 20п   | 18п   | 16п   | 14п   | 12п   | 10п   | 8п    | 6п    | 4п    |       |
| 2,5   | -     | -     | -     | -     | -     | -     | -     | -     | -     | -     | -     | -     | -     | -     | -     | -     | -     | -     | -     | -     |
| 5     | 13800 | 17000 | 22500 | 28100 | -     | -     | -     | -     | -     | -     | -     | -     | -     | -     | -     | -     | -     | -     | -     | -     |
| 10    | 6900  | 13500 | 17700 | 27000 | 30800 | -     | -     | -     | -     | -     | -     | -     | -     | -     | -     | -     | -     | -     | -     | -     |
| 15    | -     | 4700  | 7000  | 9900  | 13660 | 18410 | 25200 | -     | -     | -     | -     | -     | -     | -     | -     | -     | -     | -     | -     | -     |
| 20    | -     | -     | 5000  | 7200  | 10500 | 14800 | 20600 | 27400 | -     | -     | -     | -     | -     | -     | -     | -     | -     | -     | -     | -     |
| 30    | -     | -     | -     | 4000  | 6300  | 9100  | 13000 | 19700 | 25700 | -     | -     | -     | -     | -     | -     | -     | -     | -     | -     | -     |
| 40    | -     | -     | -     | -     | 3800  | 5800  | 8600  | 13000 | 18300 | 25300 | -     | -     | -     | -     | -     | -     | -     | -     | -     | -     |
| 50    | -     | -     | -     | -     | -     | 3700  | 5900  | 8700  | 12700 | 18400 | 25000 | -     | -     | -     | -     | -     | -     | -     | -     | -     |
| 60    | -     | -     | -     | -     | -     | -     | 4000  | 6000  | 9000  | 13200 | 18600 | 25000 | -     | -     | -     | -     | -     | -     | -     | -     |
| 70    | -     | -     | -     | -     | -     | -     | -     | 4300  | 6400  | 9400  | 13600 | 18700 | 24600 | -     | -     | -     | -     | -     | -     | -     |
| 80    | -     | -     | -     | -     | -     | -     | -     | -     | 4700  | 7100  | 10000 | 14000 | 18700 | 25200 | -     | -     | -     | -     | -     | -     |
| 90    | -     | -     | -     | -     | -     | -     | -     | -     | -     | 5300  | 7600  | 10400 | 14300 | 19300 | 25600 | 28300 | -     | -     | -     | -     |
| 100   | -     | -     | -     | -     | -     | -     | -     | -     | -     | 4100  | 5900  | 8100  | 10900 | 14700 | 19400 | 23000 | 25900 | -     | -     | -     |
| 110   | -     | -     | -     | -     | -     | -     | -     | -     | -     | -     | 4700  | 6400  | 8600  | 11500 | 15100 | 18700 | 20800 | 23500 | -     | -     |
| 120   | -     | -     | -     | -     | -     | -     | -     | -     | -     | -     | -     | 3700  | 5200  | 6800  | 9000  | 11900 | 14300 | 16700 | 19300 | 22100 |
| 130   | -     | -     | -     | -     | -     | -     | -     | -     | -     | -     | -     | -     | 4200  | 5700  | 7300  | 9400  | 11600 | 13600 | 15600 | 18300 |
| 140   | -     | -     | -     | -     | -     | -     | -     | -     | -     | -     | -     | -     | -     | 4600  | 6100  | 7700  | 9800  | 11500 | 13200 | 15200 |
| 150   | -     | -     | -     | -     | -     | -     | -     | -     | -     | -     | -     | -     | -     | -     | 3600  | 5100  | 6500  | 8500  | 9700  | 11300 |
| 160   | -     | -     | -     | -     | -     | -     | -     | -     | -     | -     | -     | -     | -     | -     | -     | 4300  | 5500  | 7000  | 8100  | 9600  |

|                |               |       |
|----------------|---------------|-------|
| Переход по 32п | $F_k$         | $\nu$ |
| 0П1 - 0П1      | 23500 - 27800 | 92,5  |
| 0П1 - 0П2      | 21900 - 25100 | 102   |
| 0П2 - 0П3      | 20900 - 23500 | 110   |
| 0П3 - 0П4      | 19300 - 22100 | 120   |
| 0П4 - 0П5      | 18300 - 20300 | 130   |

Рис. 4.21 Тяговые характеристики электровозов ЧС4 и ЧС4Г  
 $F_{ксо} = 16\ 400$  кгс,  $\nu_{\infty} = 10,5$  км/ч,  $F_{кч} = 17\ 200$  кгс,  $\nu_{ч} = 104,5$  км/ч

|         |              |             |
|---------|--------------|-------------|
| переход | $F_k$        | $v$         |
| пп-оп   | 7100 - 10000 | 43,0 - 45,8 |

Ограничение по току

|       |      |      |      |
|-------|------|------|------|
| $v$   | 0    | 39,4 | 49,9 |
| $F_k$ | 9800 | 9800 | 7600 |

|     |       |       |      |       |
|-----|-------|-------|------|-------|
| $v$ | $F_k$ |       |      |       |
|     | с     |       | п    |       |
|     | пп    | оп    | пп   | оп    |
| 17  | 11000 | —     | —    | —     |
| 20  | 7000  | 10700 | —    | —     |
| 25  | 3400  | 6150  | —    | —     |
| 30  | 1750  | 3400  | —    | —     |
| 35  | 1050  | 2000  | —    | —     |
| 40  | 750   | 1430  | 9600 | —     |
| 45  | 500   | 1000  | 6000 | 10300 |
| 50  | 400   | 800   | 4000 | 7400  |
| 60  | —     | —     | 2000 | 4060  |
| 70  | —     | —     | 1180 | 2560  |
| 80  | —     | —     | 800  | 1760  |
| 90  | —     | —     | 600  | 1250  |
| 100 | —     | —     | 450  | 880   |

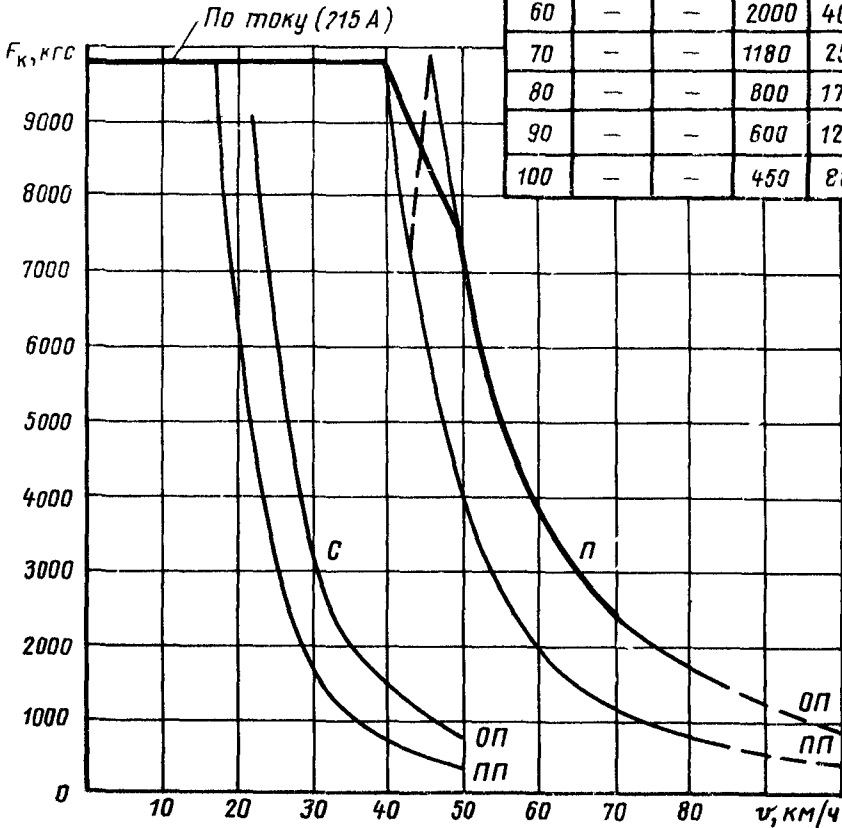


Рис 4 22 Тяговые характеристики моторного вагона электропоездов С<sub>м</sub>, С<sub>р</sub> и С<sub>р</sub><sup>р</sup>  
режим ПП  $I_{к\lambda} = 3500 \text{ кгс}$ ,  $v_{\infty} = 52 \text{ км/ч}$ , режим ОП  $\Gamma_{кч} = 1320 \text{ кгс}$   $v_{ч} = 58,9 \text{ км/ч}$

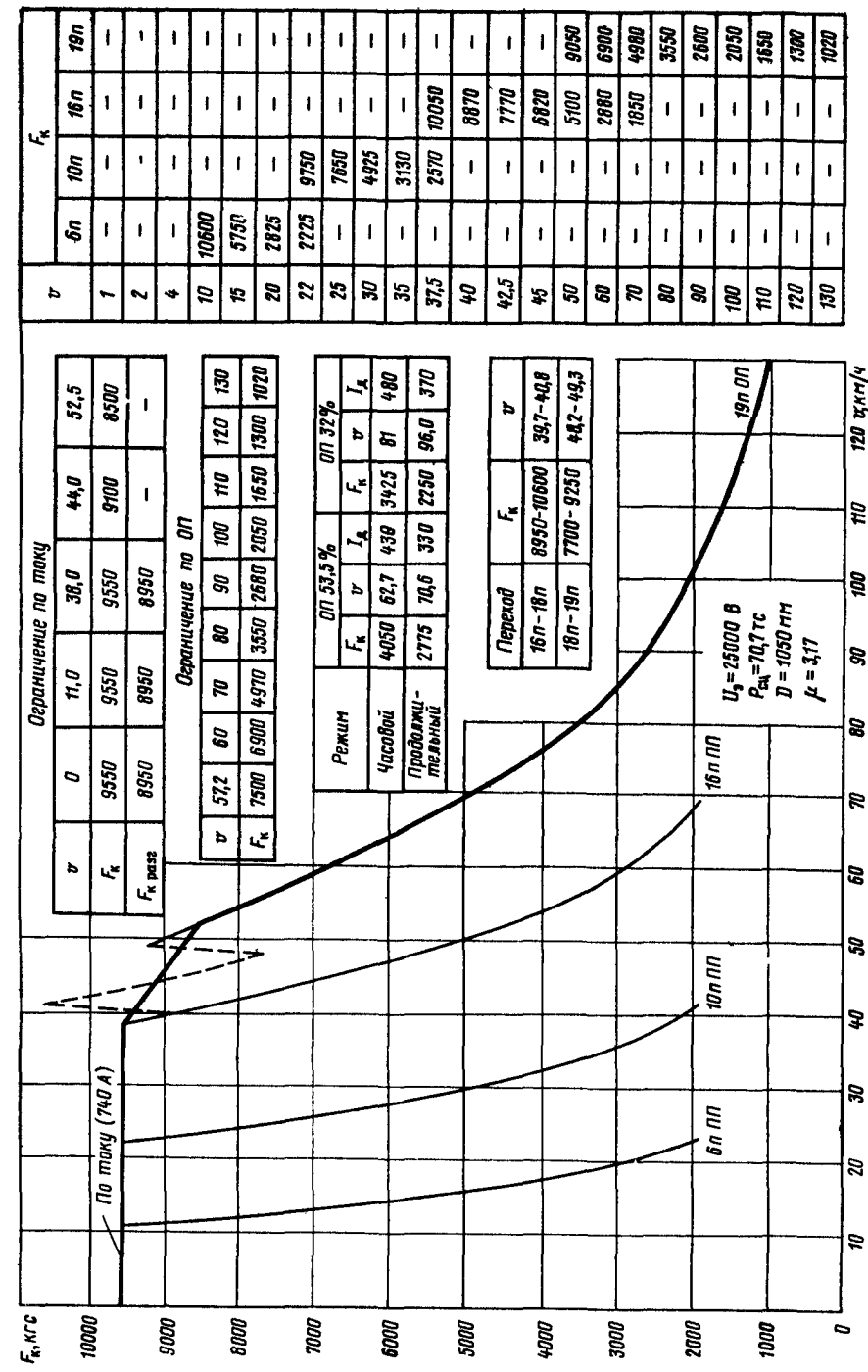


Рис 4 23 Тяговые характеристики мотоворного вагона электропоездов ЭР9, ЭР9П и ЭР9М

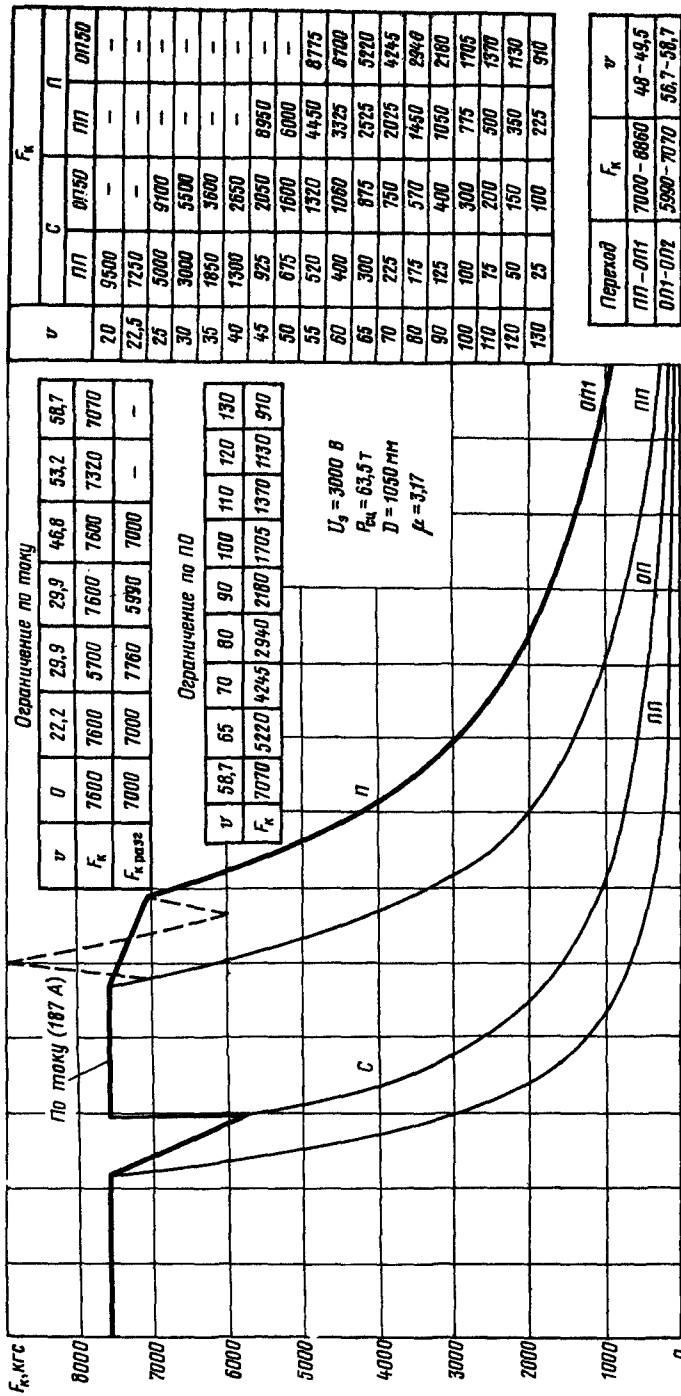


Рис. 4.24. Тяговые характеристики моторного вагона электропоездов ЭР1 н ЭР2: режим ПП —  $F_{k\text{max}} = 3480$  кгс,  $v_{\infty} = 59$  км/ч;  $F_{k\text{ч}} = 5500$  кгс,  $v_{\text{ч}} = 51,5$  км/ч

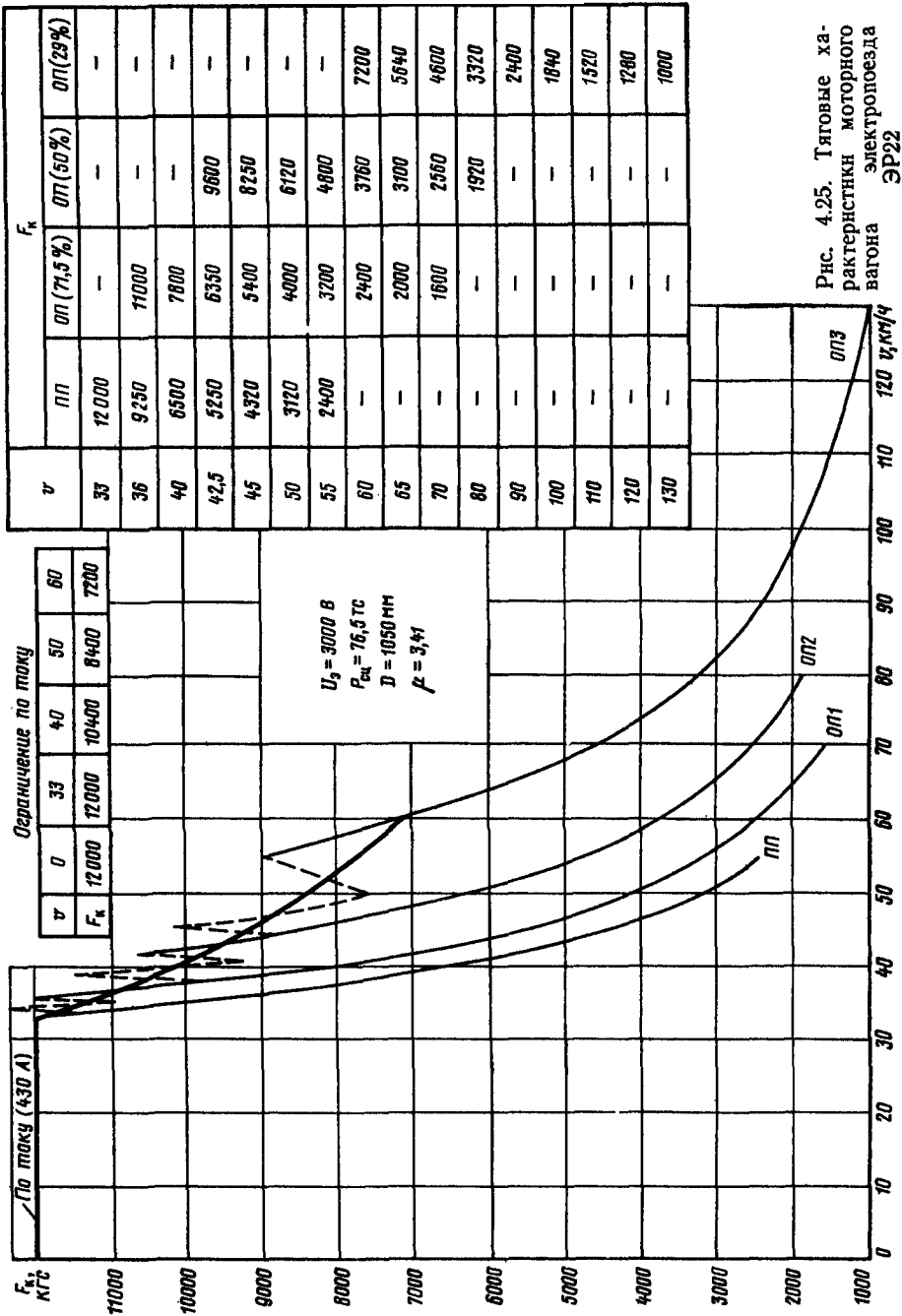


Рис. 4.25. Тяговые характеристики моторного вагона электропоезда ЭР22

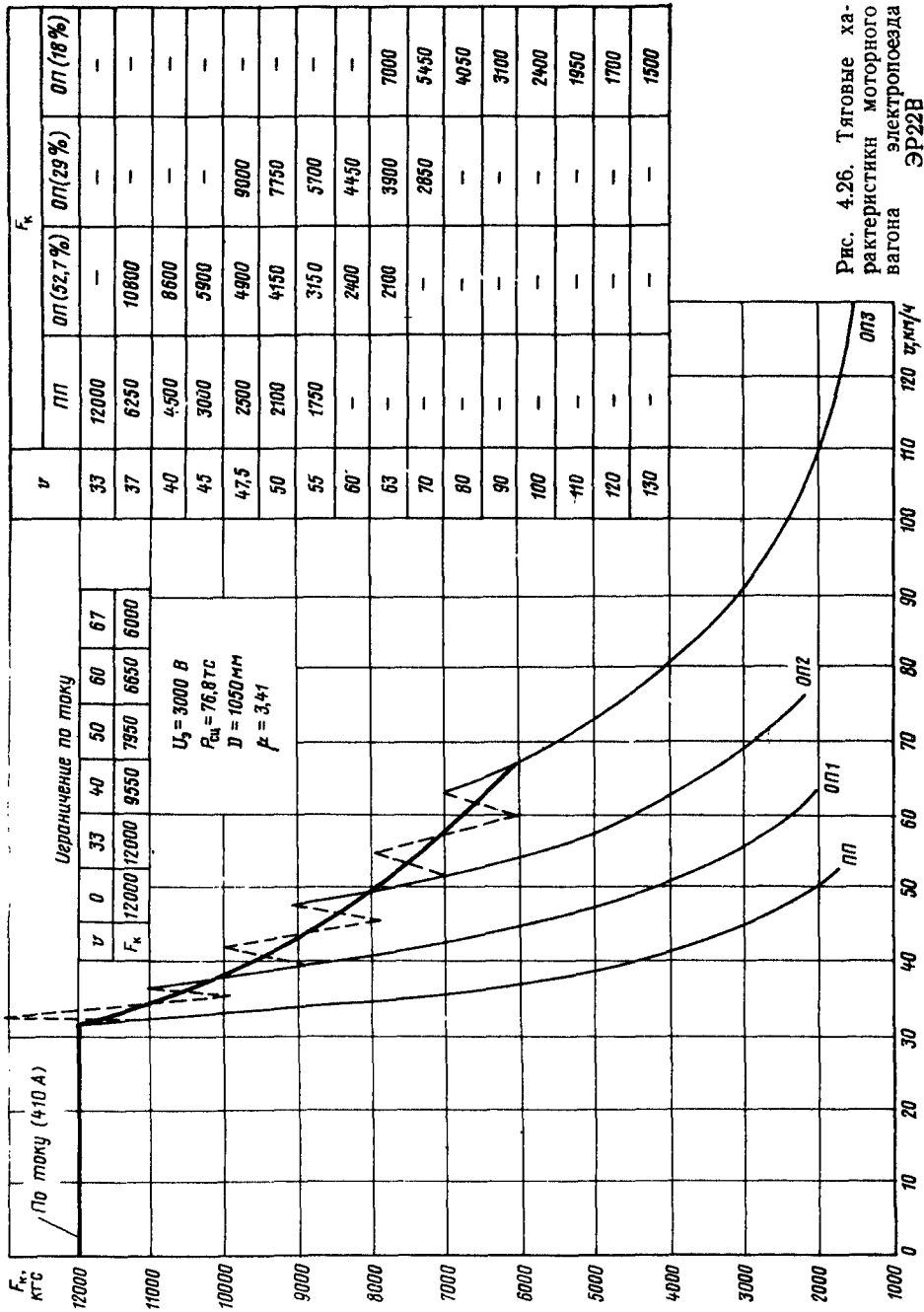


Рис. 4.26. Тяговые характеристики моторного вагона ЭР22В

Ограничение по сцеплению и по  $I_A/I_B$

|       |       |       |       |       |       |       |       |       |       |       |       |       |       |       |
|-------|-------|-------|-------|-------|-------|-------|-------|-------|-------|-------|-------|-------|-------|-------|
| При С | 12,7  | 13,0  | 13,5  | 13,8  | 14,2  | 15,4  | 17,2  | 20,6  | 24,6  | 25,3  | 27,0  | 28,4  | 31,8  | 37,4  |
| В     | 39200 | 39000 | 38900 | 38800 | 38700 | 38400 | 38100 | 37600 | 36900 | 33800 | 27500 | 23800 | 19400 | 11900 |

|        |       |       |       |       |       |       |       |       |       |       |       |       |
|--------|-------|-------|-------|-------|-------|-------|-------|-------|-------|-------|-------|-------|
| При СП | 24,2  | 25,0  | 25,4  | 26,0  | 27,0  | 28,8  | 31,5  | 37,6  | 45,6  | 49,9  | 55,8  | 64,6  |
| В      | 37000 | 36900 | 36850 | 36800 | 36600 | 36400 | 36100 | 35400 | 34500 | 28800 | 22800 | 18000 |

|       |       |       |       |       |       |       |       |       |       |       |       |       |       |       |
|-------|-------|-------|-------|-------|-------|-------|-------|-------|-------|-------|-------|-------|-------|-------|
| При П | 47,6  | 48,8  | 49,9  | 51,2  | 52,5  | 55,6  | 64,4  | 68,8  | 74,4  | 77,0  | 81,6  | 87,0  | 96,0  | 100   |
| В     | 34450 | 34400 | 34300 | 34200 | 34100 | 33800 | 33300 | 32600 | 32000 | 28000 | 23500 | 20000 | 15200 | 13500 |

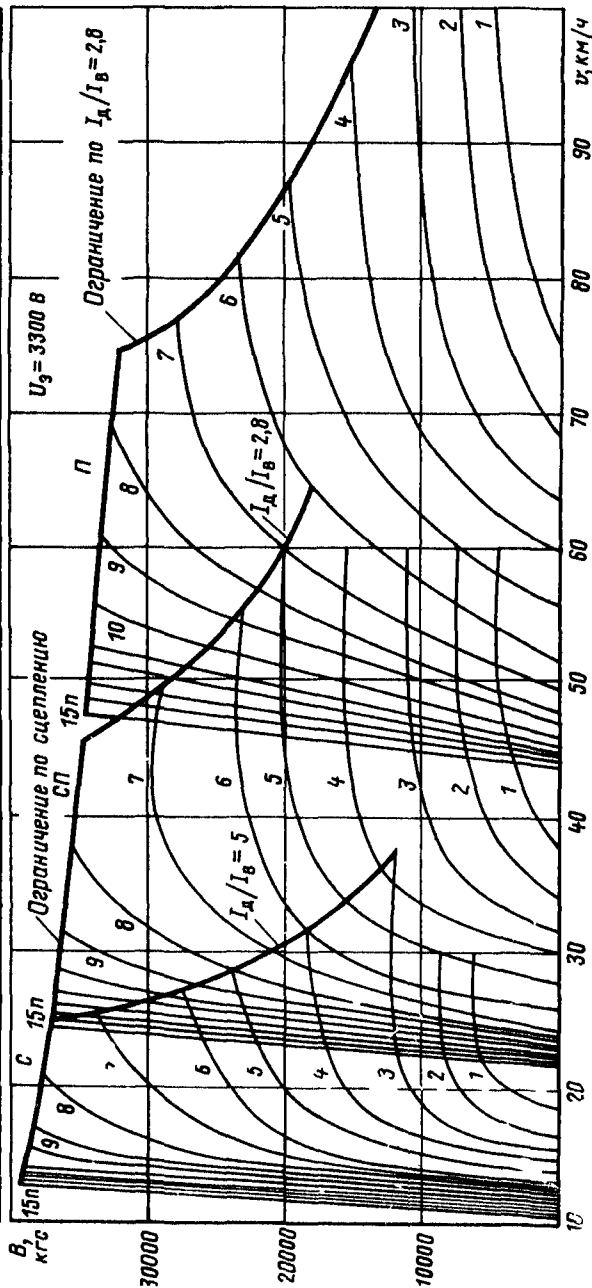


Рис. 4.27. Тормозные характеристики электровоза ВЛ8 при рекуперативном торможении

Ограничение по сцеплению

|        |       |       |       |       |       |       |       |
|--------|-------|-------|-------|-------|-------|-------|-------|
| При С  | 16,2  | 16,7  | 17,5  | 18,5  | 19,5  | 21,0  | 24,5  |
| В      | 40700 | 40800 | 40900 | 40400 | 40200 | 40100 | 39500 |
| При СП | 30,8  | 31,3  | 32,0  | 32,8  | 34,6  | 37,0  | 40,8  |
| В      | 38700 | 38800 | 38900 | 38480 | 38200 | 38000 | 37500 |
| При П  | 59,0  | 60,8  | 62,2  | 63,3  | 66,0  | 68,7  | 72,8  |
| В      | 35500 | 35100 | 34800 | 34700 | 34300 | 34000 | 33400 |

Ограничение по  $I_A/I_B$

|   |       |       |       |       |       |       |
|---|-------|-------|-------|-------|-------|-------|
| В | 31,5  | 31,9  | 34,1  | 37,3  | 41,0  | 51,4  |
| В | 36500 | 36600 | 27800 | 20900 | 14800 | 8900  |
| В | 59,0  | 62,5  | 66,7  | 66,7  | 73,4  | 73,4  |
| В | 35200 | 29800 | 23600 | 23600 | 18000 | 18000 |
| В | 90,0  | 94,4  | 94,4  | 100   | 100   | 100   |
| В | 32200 | 27100 | 27100 | 22400 | 22400 | 22400 |

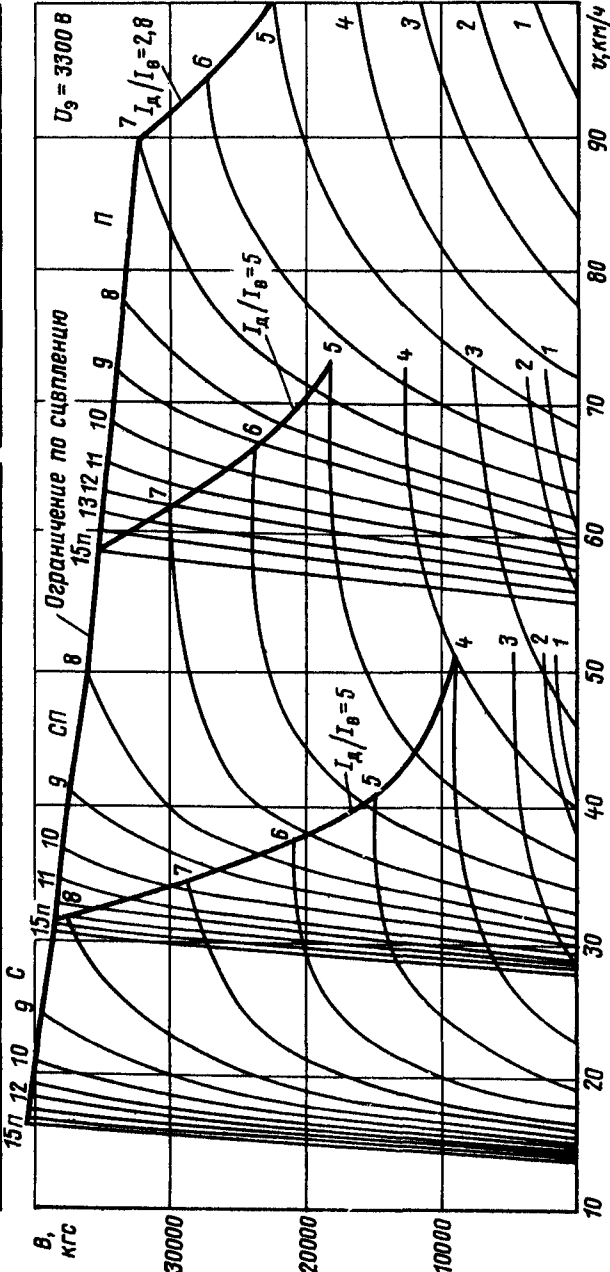


Рис 4 28 Тормозные характеристики электровоза ВЛ10 при рекуперативном торможении

Ограничение по сцеплению

|        |       |       |       |       |       |       |       |
|--------|-------|-------|-------|-------|-------|-------|-------|
| При С  | 16,7  | 17,4  | 18,5  | 19,6  | 20,8  | 22,7  | 27,1  |
| В      | 45300 | 45000 | 44500 | 44000 | 43600 | 43000 | 42000 |
| При Сп | 31,8  | 32,7  | 33,5  | 35,8  | 38,8  | 43,1  | 54,0  |
| В      | 41900 | 41700 | 41600 | 41300 | 40800 | 40400 | 39000 |
| При П  | 59,2  | 60,8  | 62,5  | 64,2  | 67,1  | 70,6  |       |
| В      | 36500 | 36300 | 36100 | 35700 | 35000 | 34200 | 32700 |
|        | 15п   | 14    | 12    | 11    | 10    | Сп    | 75,8  |
|        |       |       |       |       |       |       | 81,6  |
|        |       |       |       |       |       |       | 86,6  |
|        |       |       |       |       |       |       | 90,0  |
|        |       |       |       |       |       |       | 94,4  |
|        |       |       |       |       |       |       | 97,8  |
|        |       |       |       |       |       |       | 100   |

Ограничение по току (720 А) и по  $I_A/I_B$

|   |       |       |       |       |       |      |
|---|-------|-------|-------|-------|-------|------|
| В | 30,7  | 31,9  | 34,1  | 37,3  | 41,0  | 51,4 |
| В | 42200 | 36600 | 27800 | 20900 | 14800 | 6900 |
| В | 54,0  | 59,0  | 62,5  | 66,7  | 73,4  |      |
| В | 39000 | 35200 | 29800 | 23600 | 16000 |      |
| В | 87,8  | 90,0  | 94,4  | 97,8  | 100   |      |
| В | 33300 | 32200 | 37100 | 42400 |       |      |

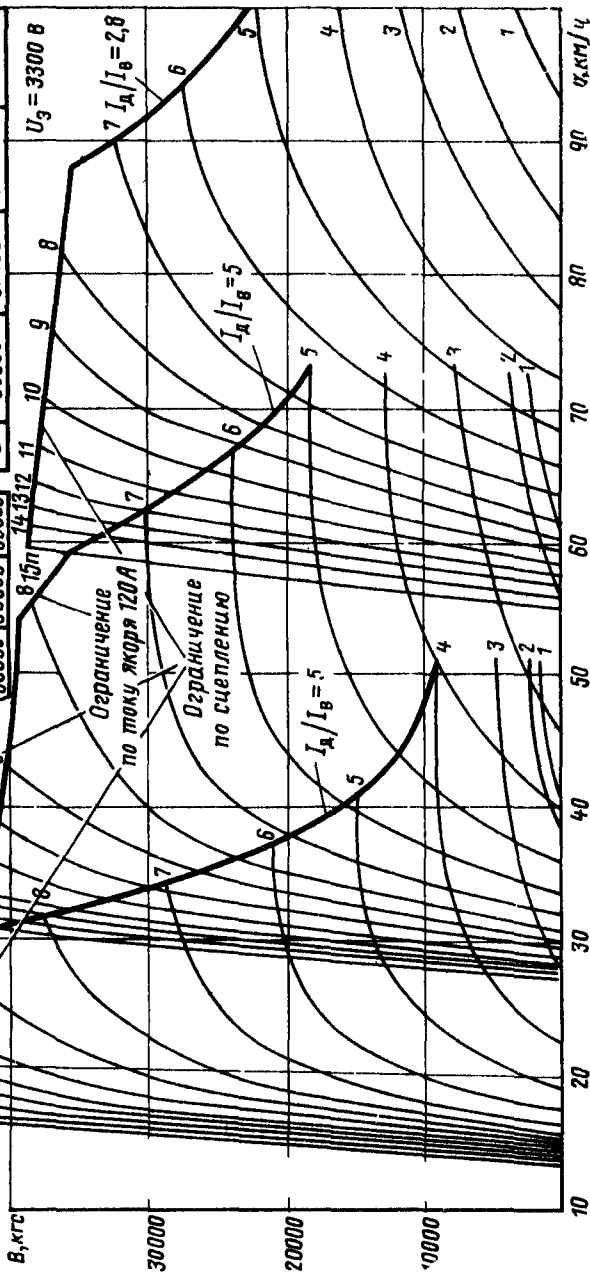


Рис 4.29 Тормозные характеристики электровоза ВЛ10 при рекуперативном торможении

Ограничение по  $I_d/I_B$  и по  $I_d=720A$

|       |       |       |       |       |       |       |       |       |       |       |
|-------|-------|-------|-------|-------|-------|-------|-------|-------|-------|-------|
| При С | $\nu$ | 21,2  | 22,2  | 27,2  | 32,1  | 32,2  | 34,2  | 37,4  | 41,2  | 50,0  |
|       | B     | 59900 | 58400 | 50600 | 43000 | 42000 | 34000 | 25600 | 19500 | 10000 |

|        |       |       |       |       |       |       |       |       |
|--------|-------|-------|-------|-------|-------|-------|-------|-------|
| При СП | $\nu$ | 57,0  | 61,0  | 65,8  | 67,2  | 71,0  | 75,6  | 85,0  |
|        | B     | 52900 | 50400 | 47500 | 44000 | 36200 | 29200 | 22400 |

|       |       |       |       |       |       |
|-------|-------|-------|-------|-------|-------|
| При П | $\nu$ | 91,0  | 92,5  | 98,0  | 100   |
|       | B     | 48000 | 44700 | 39300 | 38000 |

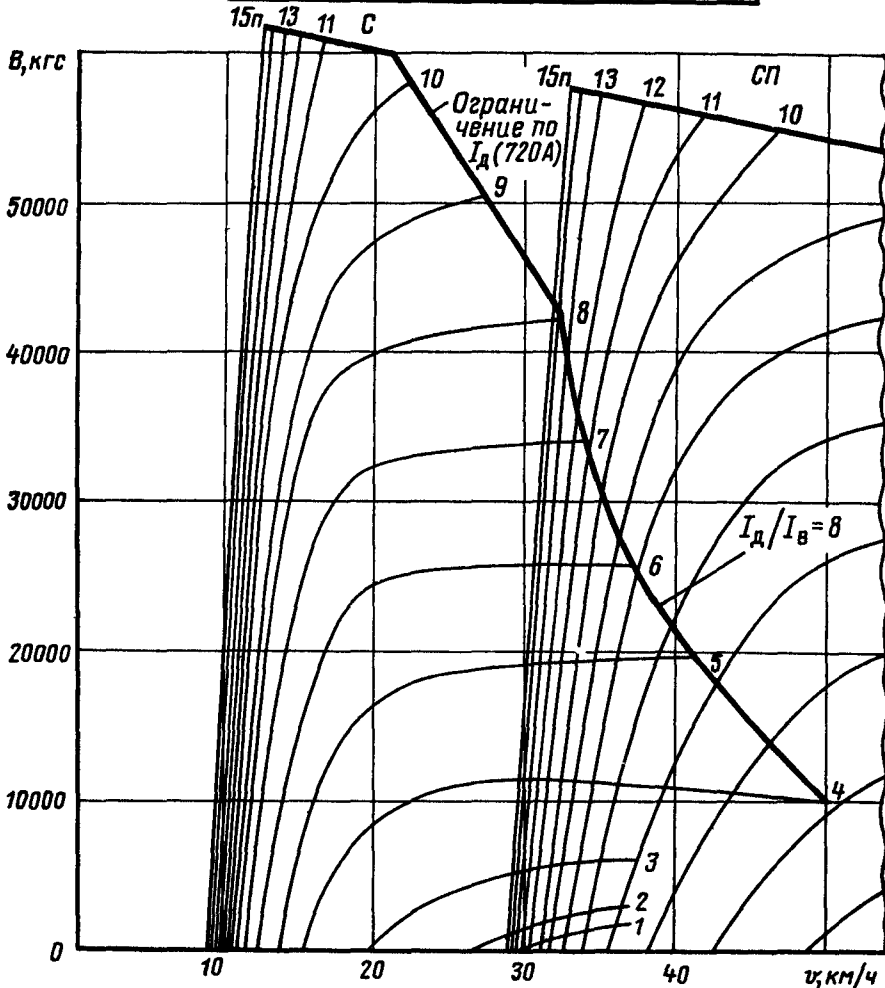


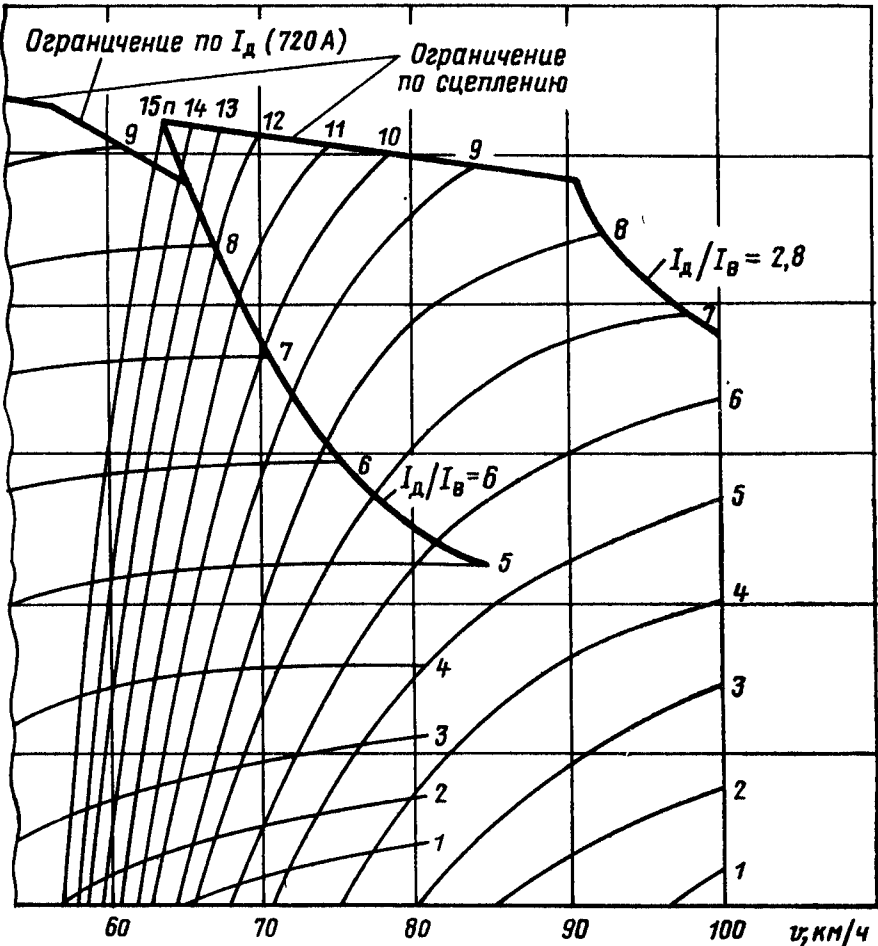
Рис 430. Тормозные характеристики электровоза

### Ограничение по сцеплению

|          |       |       |       |       |       |       |       |
|----------|-------|-------|-------|-------|-------|-------|-------|
| <i>v</i> | 12,4  | 13,2  | 14,0  | 15,0  | 16,6  | 21,2  | 33,0  |
| <i>B</i> | 61800 | 61500 | 61300 | 61200 | 60800 | 59900 | 57600 |

|  |       |       |       |       |       |       |       |
|--|-------|-------|-------|-------|-------|-------|-------|
|  | 33,7  | 34,9  | 38,0  | 41,8  | 46,9  | 57,0  | 64,0  |
|  | 57500 | 57200 | 56700 | 56000 | 54900 | 52900 | 52000 |

|  |       |       |       |       |       |       |       |
|--|-------|-------|-------|-------|-------|-------|-------|
|  | 66,0  | 68,0  | 70,4  | 75,0  | 79,0  | 84,3  | 91,0  |
|  | 51800 | 51500 | 51200 | 50500 | 50000 | 49200 | 48000 |



ВЛ11 при рекуперативном торможении (3 секции)

Ограничение по сцеплению

|        |       |       |       |       |       |       |       |
|--------|-------|-------|-------|-------|-------|-------|-------|
| При С  | 16,2  | 16,7  | 17,5  | 18,5  | 19,5  | 21,0  | 24,5  |
| В      | 40700 | 40600 | 40500 | 40400 | 40200 | 40100 | 39500 |
| При СЛ | 30,8  | 31,3  | 32,0  | 32,8  | 34,6  | 37,0  | 40,8  |
| В      | 38700 | 38600 | 38600 | 38400 | 38200 | 38000 | 36200 |
| При П  | 59,0  | 60,8  | 62,2  | 63,3  | 66,0  | 68,7  | 72,8  |
| В      | 35500 | 35100 | 34800 | 35000 | 34700 | 34300 | 34000 |
|        |       |       |       |       |       |       | 33400 |
|        |       |       |       |       |       |       | 32200 |

Ограничение по  $I_A/I_B$

|   |       |       |       |       |       |      |
|---|-------|-------|-------|-------|-------|------|
| У | 31,5  | 31,9  | 34,1  | 37,3  | 41,0  | 51,4 |
| В | 38500 | 36800 | 27800 | 20900 | 14800 | 8900 |
| У | 59,0  | 62,5  | 66,7  | 66,7  | 73,4  |      |
| В | 32200 | 29800 | 23600 | 18000 |       |      |
| У | 90,0  |       | 94,4  |       |       |      |
| В | 32200 |       | 37100 |       |       |      |

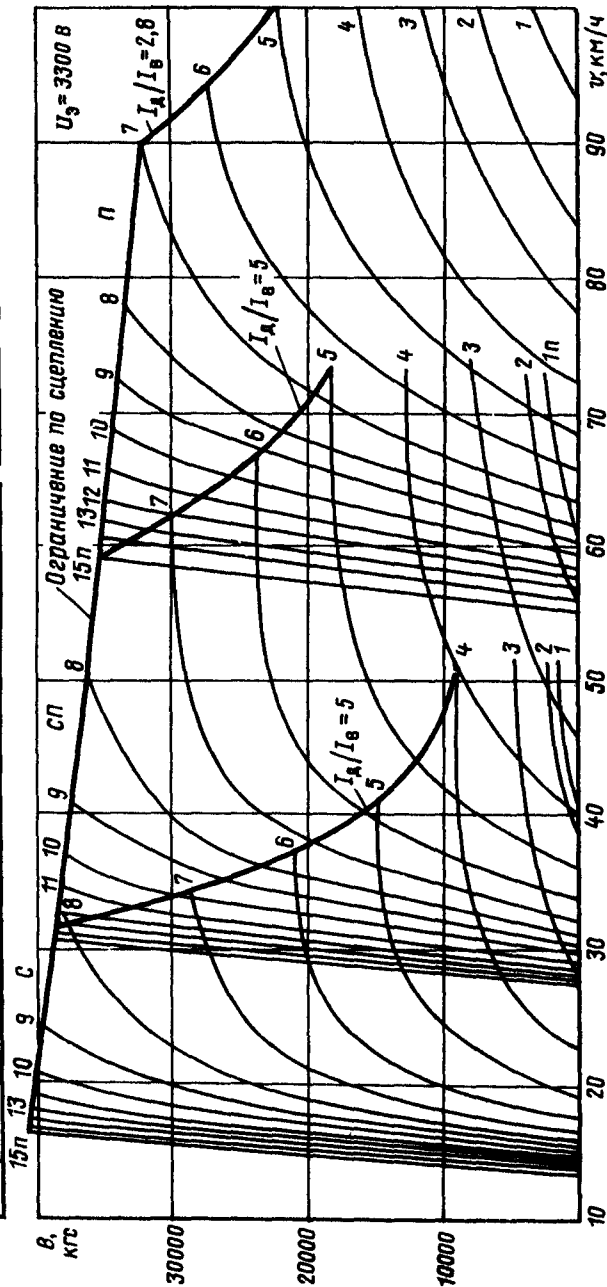


Рис. 4.31. Тормозные характеристики электровоза ВЛ11 при рекуперативном торможении (2 секции)

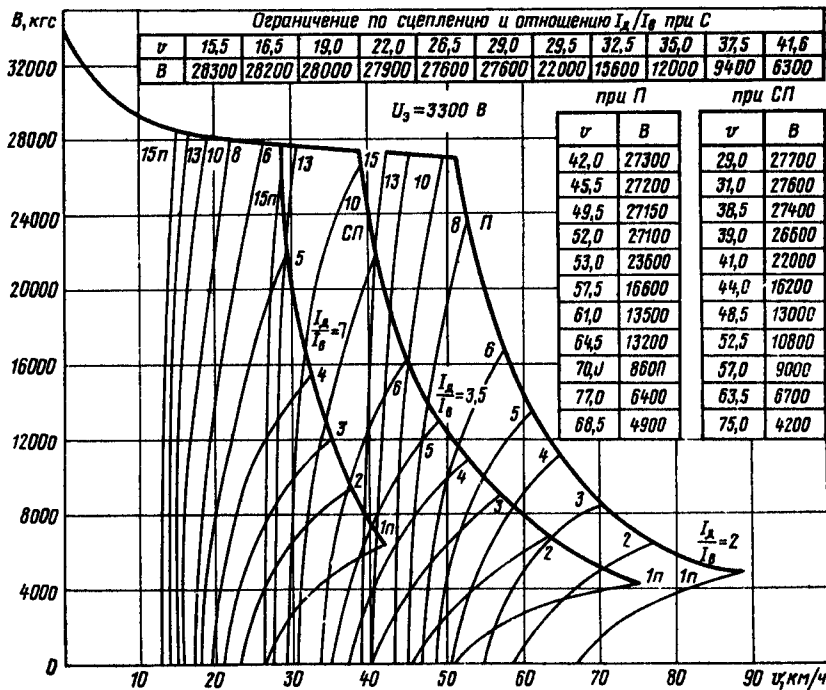


Рис. 4.32. Тормозные характеристики электровоза ВЛ122<sup>м</sup> при рекуперативном торможении

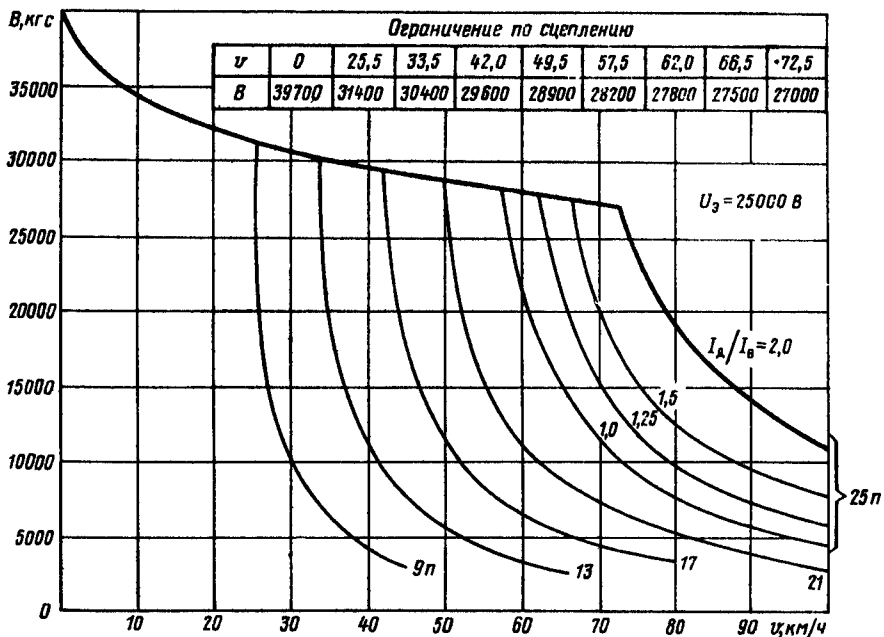


Рис. 4.33. Тормозные характеристики электровоза ВЛ160<sup>р</sup> при рекуперативном торможении

| Ограничи-<br>тельница | по току<br>возбужде-<br>ния | по сцеплению |       |       |       |       |       | по току тормозных<br>резисторов |       |       |       | по коммутации |       |      |      |      |
|-----------------------|-----------------------------|--------------|-------|-------|-------|-------|-------|---------------------------------|-------|-------|-------|---------------|-------|------|------|------|
| $v$                   | 0                           | 32,5         | 32,5  | 38,7  | 52,7  | 83,0  | 68,5  | 66,5                            | 70,5  | 79,0  | 86,5  | 86,5          | 90    | 95   | 100  | 110  |
| $B$                   | 0                           | 39200        | 39200 | 37600 | 34700 | 33200 | 32700 | 32700                           | 30800 | 27500 | 25200 | 25200         | 22400 | 8400 | 4580 | 2200 |

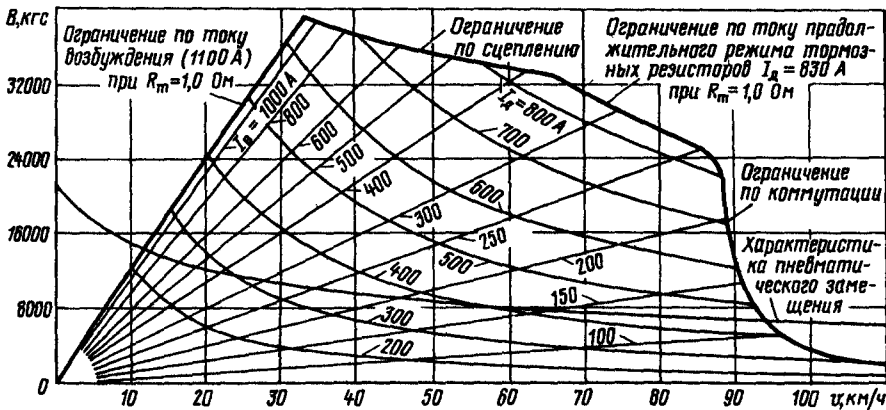


Рис. 4.34. Тормозные характеристики электровоза ВЛ80<sup>т</sup> до № 1173 при реостатном торможении

| $R_m = 0,54 \text{ Ом}$ |   | $R_m = 1,0 \text{ Ом}$ |   |
|-------------------------|---|------------------------|---|
| $v$                     | 0 | 19,5                   | 0 |
| $B$                     | 0 | 43000                  | 0 |

| $R_m = 0,54 \text{ Ом}$ |       |       |       | $R_m = 1,0 \text{ Ом}$ |       |       |       |
|-------------------------|-------|-------|-------|------------------------|-------|-------|-------|
| $v$                     | 30,3  | 35,1  | 47,7  | 67,7                   | 92,5  | 66,5  | 70,5  |
| $B$                     | 39700 | 34300 | 25200 | 17800                  | 13000 | 32700 | 30800 |

|     |       |       |      |      |      |
|-----|-------|-------|------|------|------|
| $v$ | 86,5  | 90    | 95   | 100  | 110  |
| $B$ | 25200 | 22400 | 8400 | 4580 | 2200 |

|     |       |       |       |       |       |       |       |
|-----|-------|-------|-------|-------|-------|-------|-------|
| $v$ | 19,5  | 30,5  | 32,5  | 38,7  | 52,7  | 63,0  | 66,5  |
| $B$ | 43000 | 39700 | 39200 | 37600 | 34700 | 33200 | 32700 |

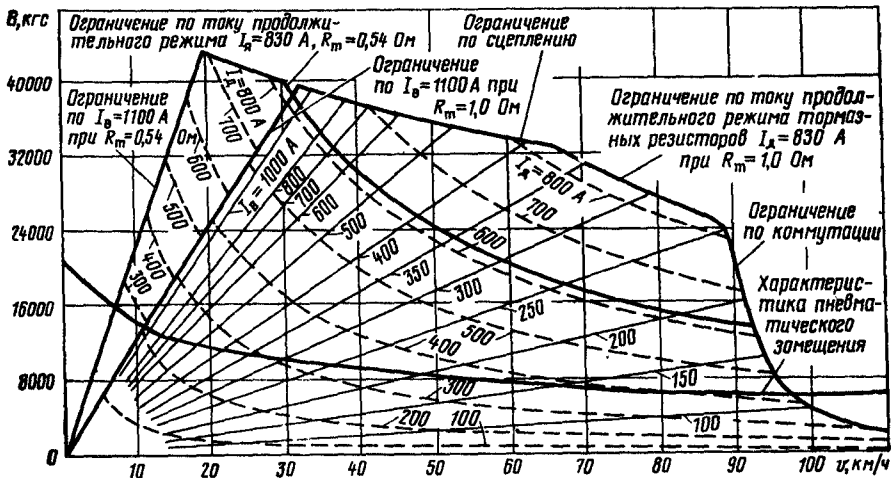


Рис. 4.35. Тормозные характеристики электровозов ВЛ80<sup>т</sup> с № 1173 и ВЛ80<sup>с</sup> при реостатном торможении

Скорости при  $V=0$

|              |                         |           |        |           |        |           |        |           |        |      |      |      |      |      |      |       |
|--------------|-------------------------|-----------|--------|-----------|--------|-----------|--------|-----------|--------|------|------|------|------|------|------|-------|
| $I_B$        | 880                     |           |        |           |        |           |        |           | 880    | 800  | 700  | 600  | 500  | 400  | 300  | 270   |
| Режим работы | Граничный <sup>1)</sup> | 0,5 зоны1 | Зона 1 | 0,5 зоны2 | Зона 2 | 0,5 зоны3 | Зона 3 | 0,5 зоны4 | Зона 4 |      |      |      |      |      |      |       |
| $v$          | 0                       | 6,7       | 13,4   | 20,2      | 26,7   | 33,5      | 40,1   | 46,9      | 53,8   | 55,4 | 59,2 | 62,8 | 67,9 | 77,0 | 93,8 | 101,7 |

|                          |               |                         |           |        |           |        |           |        |           |        |       |
|--------------------------|---------------|-------------------------|-----------|--------|-----------|--------|-----------|--------|-----------|--------|-------|
| Ограничение по сцеплению |               |                         |           |        |           |        |           |        |           |        |       |
| $I_B$                    | 880           |                         |           |        |           |        |           |        | 880       | 600    |       |
| Режим работы             | Начало зоны 1 | Граничный <sup>1)</sup> | 0,5 зоны1 | Зона 1 | 0,5 зоны2 | Зона 2 | 0,5 зоны3 | Зона 3 | 0,5 зоны4 | Зона 4 |       |
| $v$                      | 0             | 8,5                     | 15,5      | 21,8   | 28,0      | 34,5   | 40,5      | 46,7   | 52,7      | 58,4   | 60,8  |
| $B$                      | 55300         | 48300                   | 45880     | 44400  | 43250     | 42220  | 41370     | 40560  | 39830     | 39160  | 38890 |

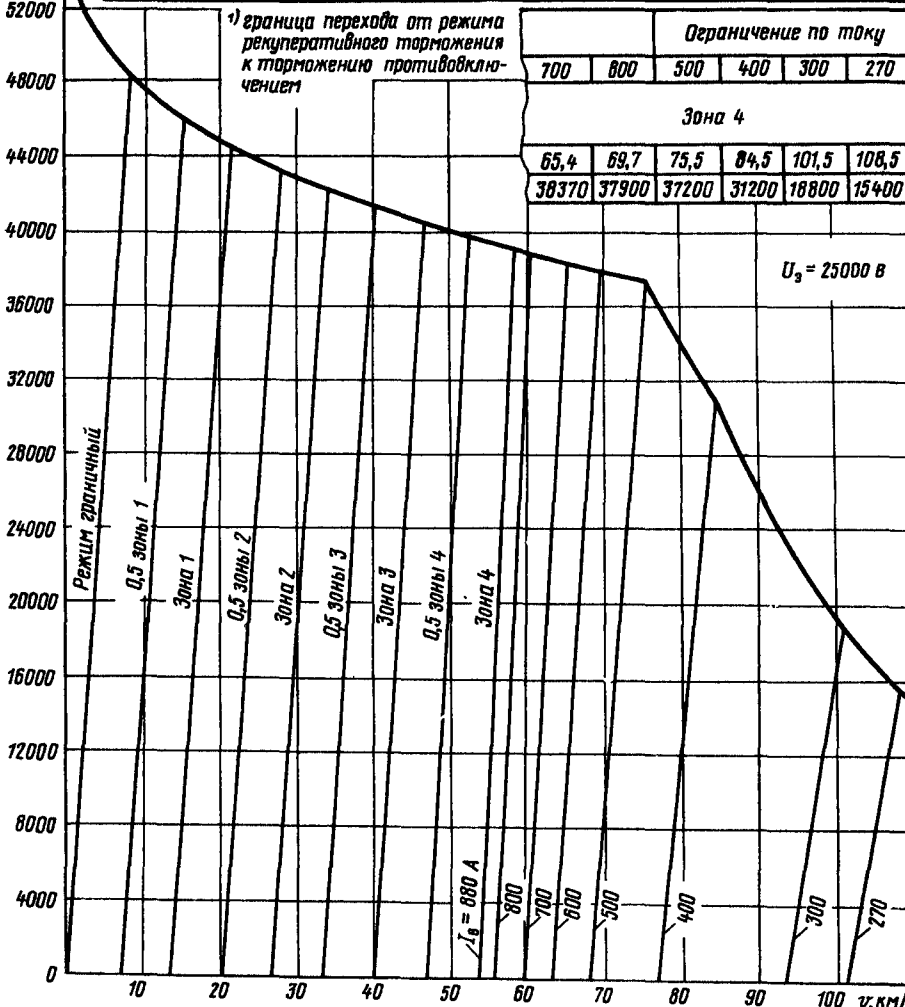


Рис. 4.36. Тормозные характеристики электровоза ВЛ80<sup>В</sup> при рекуперативном торможении

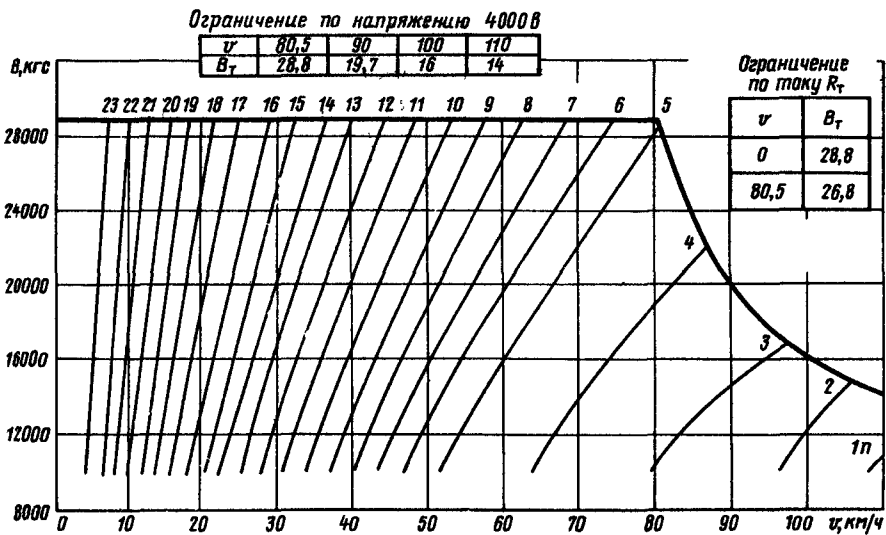


Рис. 4.37 Тормозные характеристики электровозов ВЛ182 и ВЛ182<sup>м</sup> при реостатном торможении

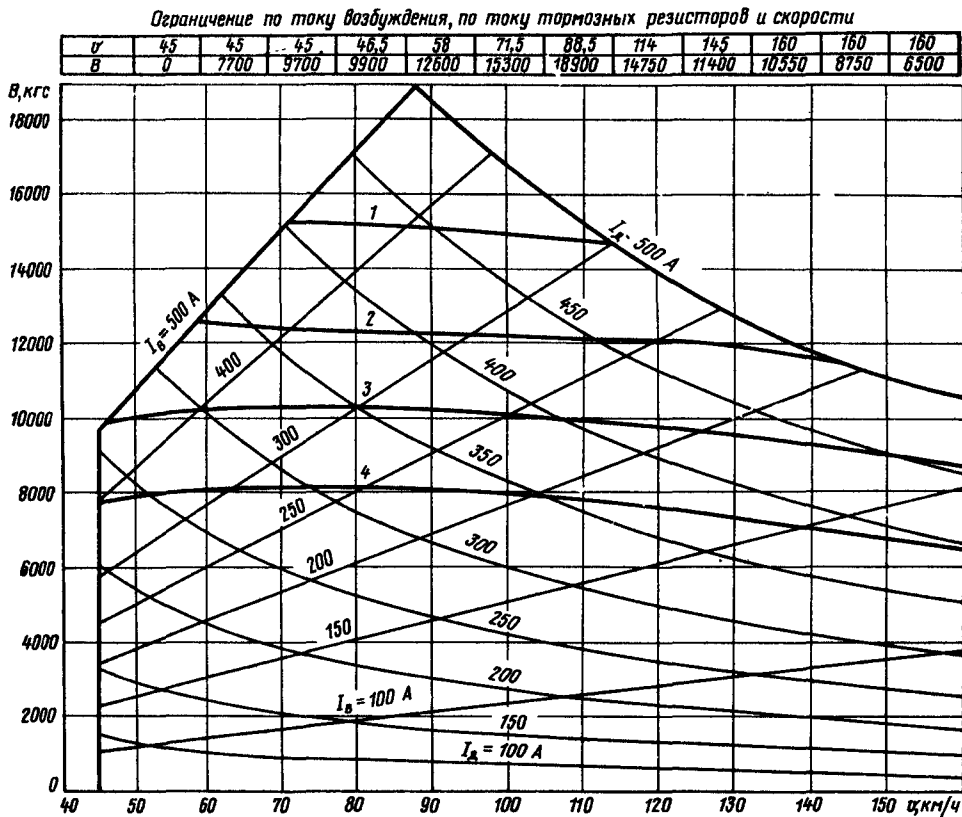


Рис. 4.38. Тормозные характеристики электровоза ЧС2Г при реостатном торможении

Ограничение по току возбуждения, по току тормозных резисторов и скорости

|       |   |       |       |       |       |       |       |       |
|-------|---|-------|-------|-------|-------|-------|-------|-------|
| $\nu$ | 0 | 64    | 75    | 85    | 96    | 112,5 | 147,5 | 160   |
| $\nu$ | 0 | 13600 | 16000 | 18200 | 20800 | 17800 | 13400 | 10800 |

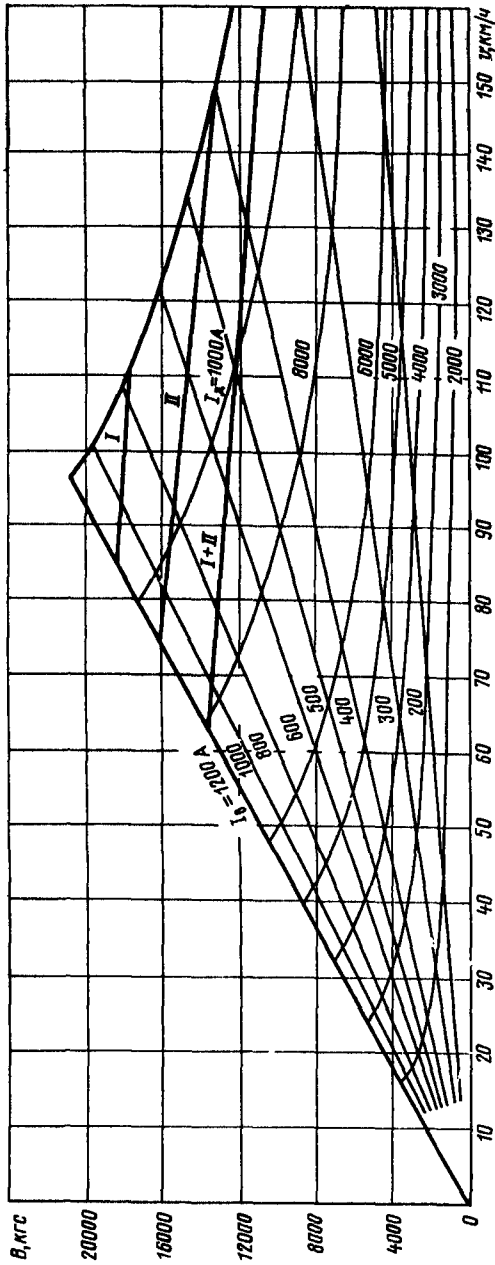


Рис. 4.39. Тормозные характеристики электровоза ЧС47 при разном уровне ограничения тормозной силы: I, II, I+II — ступени ограничения тормозной силы

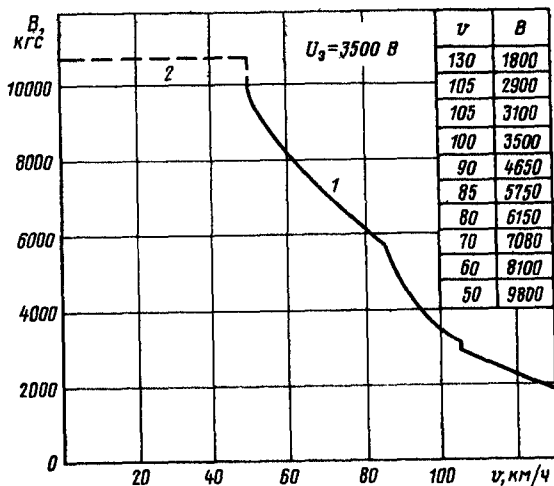


Рис 4.40 Тормозные характеристики моторного вагона электропоезда ЭР22 при рекуперативном (1) и реостатном (2) торможении

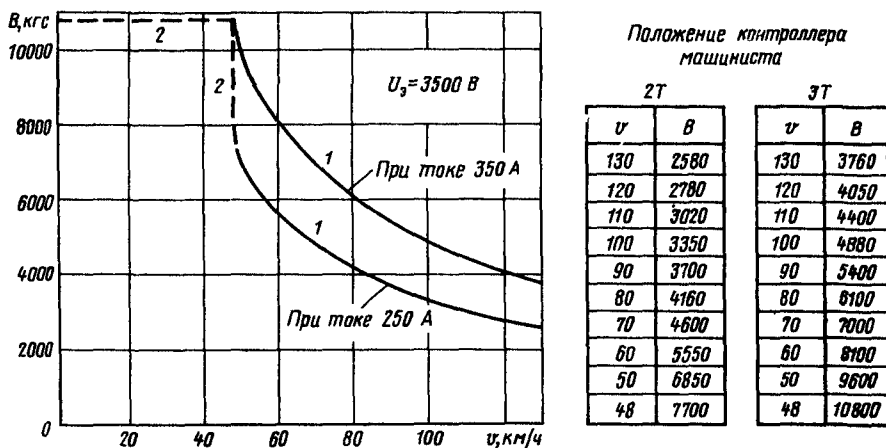


Рис 4.41. Тормозные характеристики моторного вагона электропоезда ЭР22В при рекуперативном (1) и реостатном (2) торможении

Ограничение по сцеплению и току

|       |     |     |     |     |      |      |      |      |      |      |      |      |      |      |      |      |
|-------|-----|-----|-----|-----|------|------|------|------|------|------|------|------|------|------|------|------|
| $\nu$ | 0   | 1   | 5,0 | 8,2 | 8,2  | 9,3  | 10,0 | 15,0 | 18,5 | 18,5 | 25,0 | 30,0 | 35,0 | 39,7 | 43,3 | 59,6 |
| $I_3$ | 570 | 540 | 520 | 515 | 1030 | 1020 | 1010 | 1000 | 980  | 1960 | 1940 | 1920 | 1915 | 1910 | 2040 | 2040 |

Ограничение по ОП

|       |      |      |      |      |      |     |     |     |     |     |
|-------|------|------|------|------|------|-----|-----|-----|-----|-----|
| $\nu$ | 52   | 60   | 65   | 70   | 75   | 80  | 85  | 90  | 95  | 100 |
| $I_3$ | 2150 | 1530 | 1290 | 1130 | 1020 | 930 | 860 | 800 | 750 | 700 |

| Переход   | $I_3$       | $\nu$ |
|-----------|-------------|-------|
| ПП - ОП1  | 1610 - 2320 | 41,5  |
| ОП1 - ОП2 | 1750 - 2350 | 45,5  |
| ОП2 - ОП3 | 1770 - 2340 | 51,5  |
| ОП3 - ОП4 | 1770 - 2315 | 56,5  |

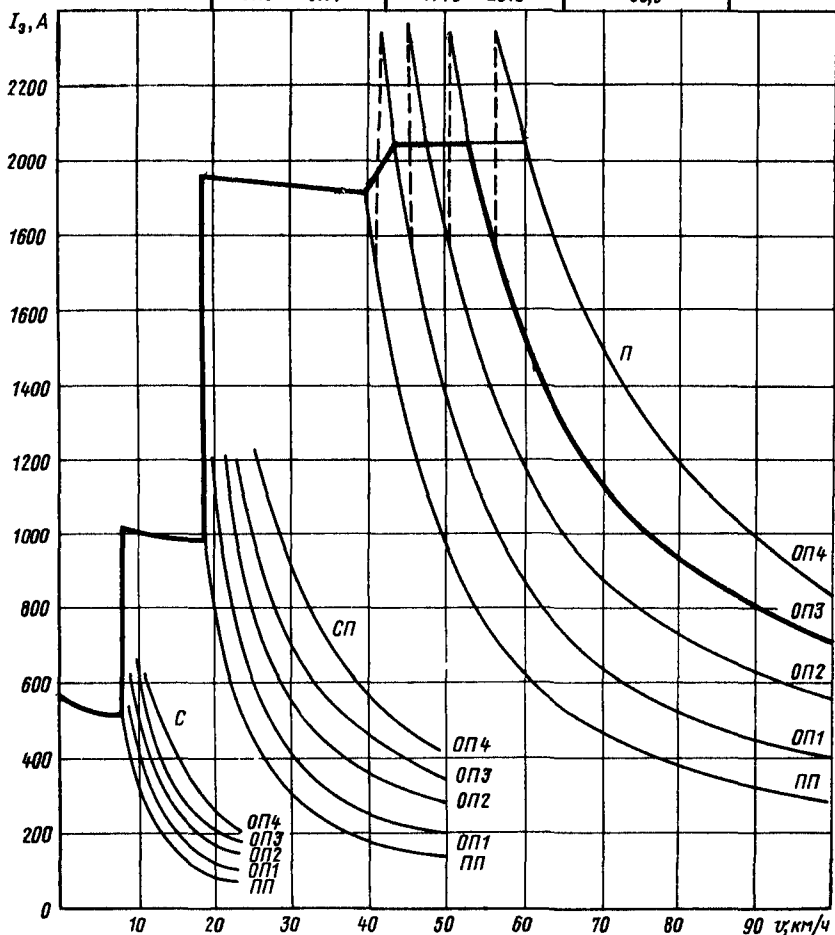


Рис. 4.42. Токовые характеристики электровоза ВЛ8

Ограничение по сцеплению

|       |     |     |     |      |      |      |      |      |      |      |      |      |      |      |
|-------|-----|-----|-----|------|------|------|------|------|------|------|------|------|------|------|
| $v$   | 0   | 5   | 10  | 10   | 15   | 22   | 22   | 30   | 40   | 46,7 | 50   | 54   | 57,5 | 61,5 |
| $I_3$ | 685 | 615 | 595 | 1190 | 1160 | 1150 | 2300 | 2230 | 2170 | 2140 | 2250 | 2420 | 2570 | 2720 |

Ограничение по ОП

|       |      |      |      |      |      |      |      |
|-------|------|------|------|------|------|------|------|
| $v$   | 57,5 | 60   | 65   | 70   | 60   | 90   | 100  |
| $I_3$ | 2570 | 2420 | 2090 | 1670 | 1575 | 1360 | 1210 |

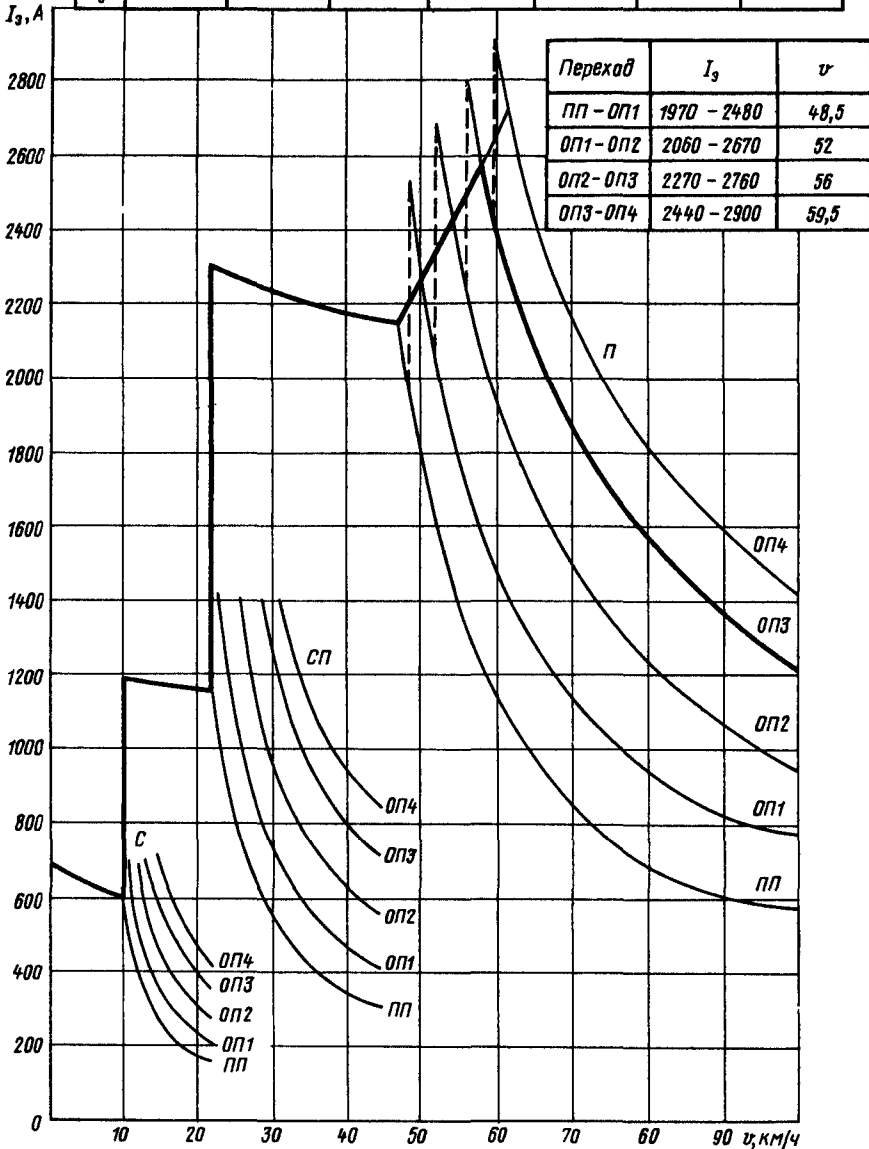


Рис. 4.43. Токвые характеристики электровоза ВЛ10

Ограничение по сцеплению

|          |          |     |     |      |      |      |      |      |      |      |      |      |      |      |
|----------|----------|-----|-----|------|------|------|------|------|------|------|------|------|------|------|
| $\sigma$ | $\theta$ | 5   | 10  | 10   | 15   | 21,5 | 21,5 | 30   | 40   | 45,8 | 9,5  | 53   | 56   | 59,5 |
| $I_3$    | 735      | 670 | 635 | 1270 | 1244 | 1216 | 2432 | 2380 | 2320 | 2300 | 2400 | 2560 | 2740 | 2890 |

Ограничение по ОП

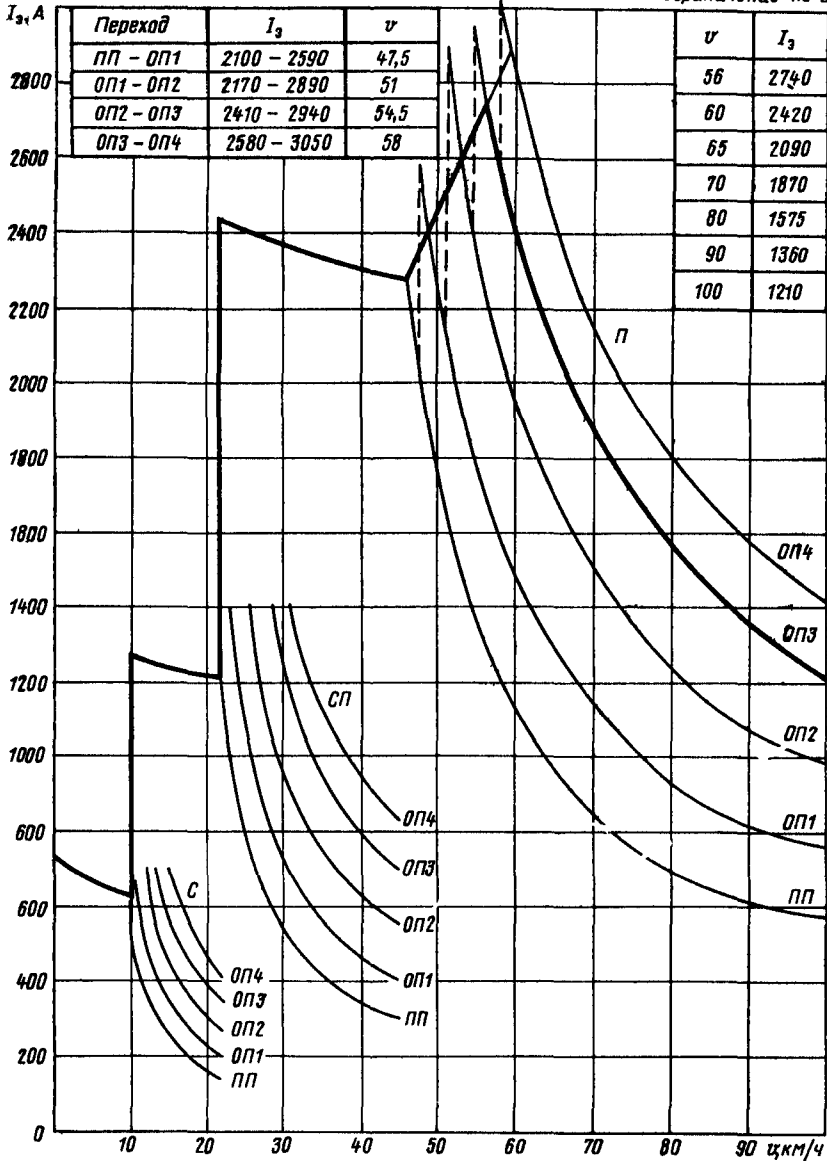


Рис 4 44 Токовые характеристики электровоза ВЛ10у

Ограничение по сцеплению

|       |      |      |      |      |      |      |      |      |      |      |      |      |      |
|-------|------|------|------|------|------|------|------|------|------|------|------|------|------|
| $\nu$ | 0    | 5    | 10   | 15   | 22,2 | 22,2 | 30   | 40   | 46,7 | 50   | 54   | 57,5 | 61,5 |
| $I_3$ | 1370 | 1230 | 1190 | 1160 | 1140 | 2280 | 2230 | 2170 | 2140 | 2250 | 2420 | 2570 | 2720 |

Ограничение по ОП

|       |      |      |      |      |      |      |      |
|-------|------|------|------|------|------|------|------|
| $\nu$ | 57,5 | 60   | 65   | 70   | 80   | 90   | 100  |
| $I_3$ | 2570 | 2420 | 2090 | 1870 | 1575 | 1360 | 1210 |

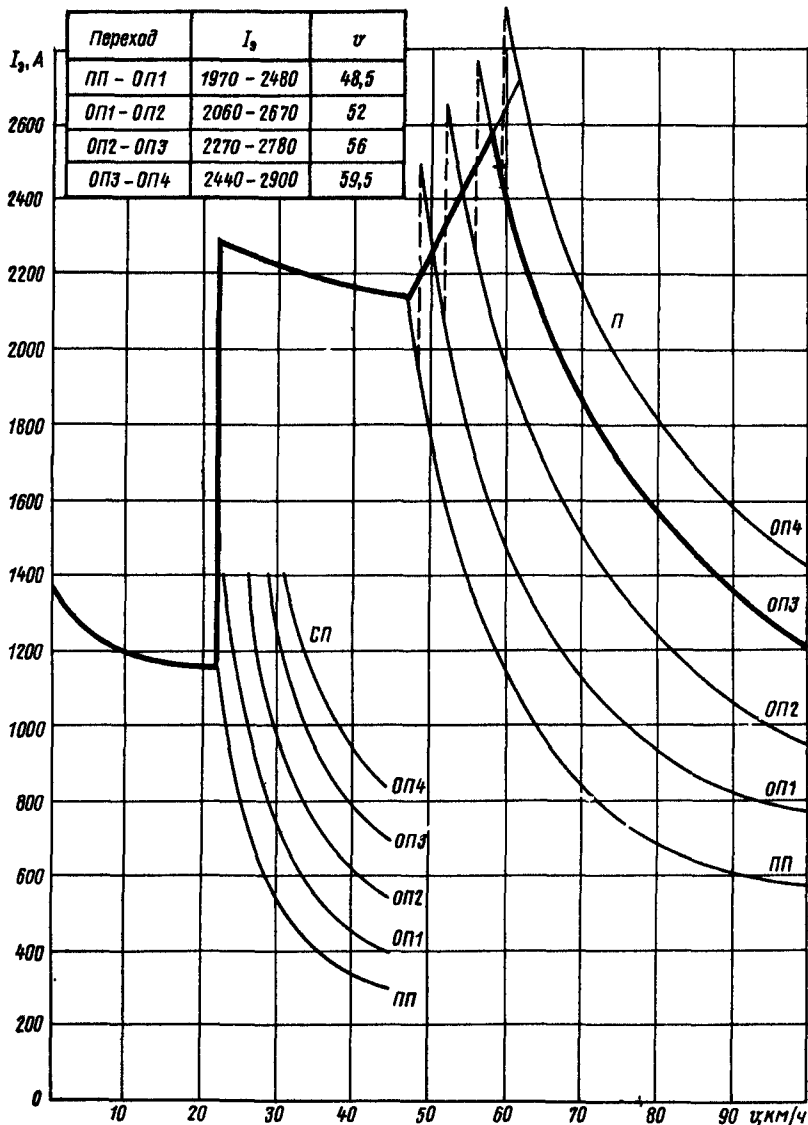


Рис. 4.45. Токовые характеристики электровоза ВЛ11 (2 секции)

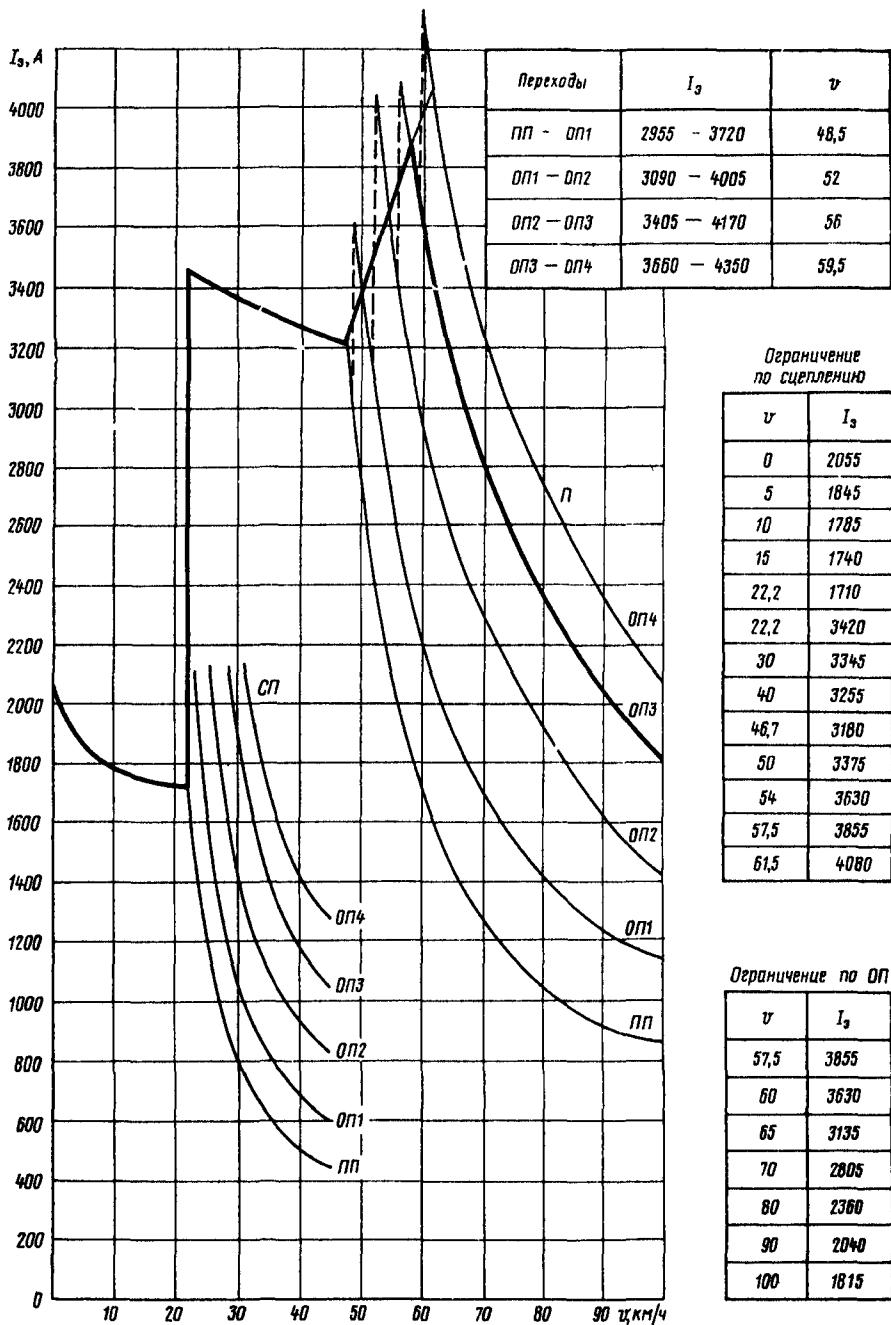


Рис. 4.46. Токвые характеристики электровоза ВЛ11 (3 секции)

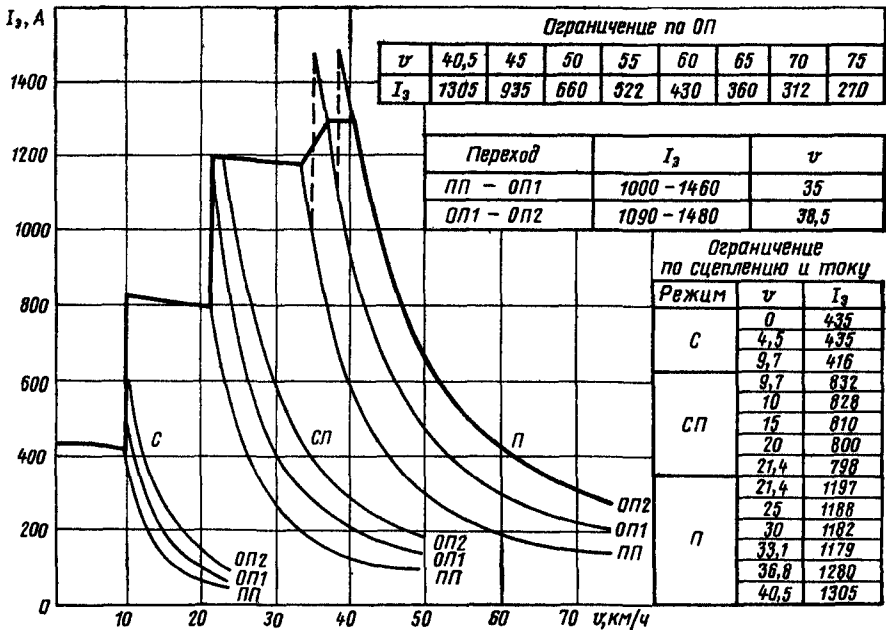


Рис. 4.47 Токвые характеристики электровоза ВЛ22<sup>м</sup> с тяговым электродвигателем ДПЭ-400

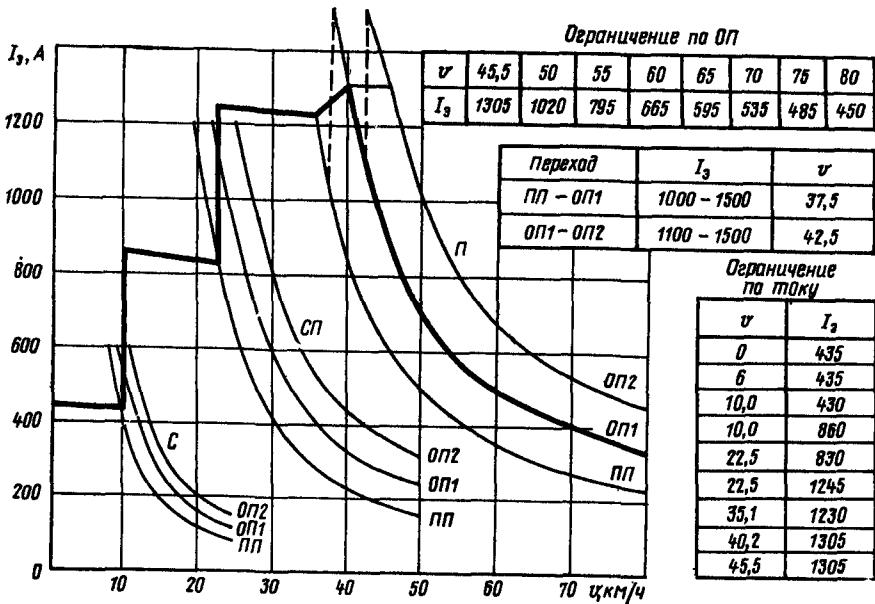


Рис. 4.48. Токвые характеристики электровоза ВЛ22<sup>м</sup> с тяговым электродвигателем НБ-411

Ограничение по ОП

|       |      |      |      |      |      |      |      |      |      |      |     |
|-------|------|------|------|------|------|------|------|------|------|------|-----|
| $v$   | 53,2 | 55,0 | 60,0 | 65,0 | 70,0 | 75,0 | 80,0 | 85,0 | 90,0 | 95,0 | 100 |
| $I_3$ | 1530 | 1405 | 1145 | 985  | 850  | 765  | 700  | 645  | 600  | 560  | 525 |

Ограничение по сцеплению и току

|       |     |     |      |      |      |      |      |      |      |      |
|-------|-----|-----|------|------|------|------|------|------|------|------|
| $v$   | 0   | 5   | 11,5 | 11,5 | 20,0 | 25,5 | 25,5 | 38,7 | 43,3 | 58,5 |
| $I_3$ | 550 | 525 | 510  | 1020 | 970  | 960  | 1440 | 1435 | 1530 | 1530 |

| Переход   | $I_3$       | $v$  |
|-----------|-------------|------|
| ПП - ОП1  | 1250 - 1670 | 41,5 |
| ОП1 - ОП2 | 1300 - 1700 | 46,0 |
| ОП2 - ОП3 | 1330 - 1790 | 50,5 |
| ОП3 - ОП4 | 1340 - 1750 | 56,5 |

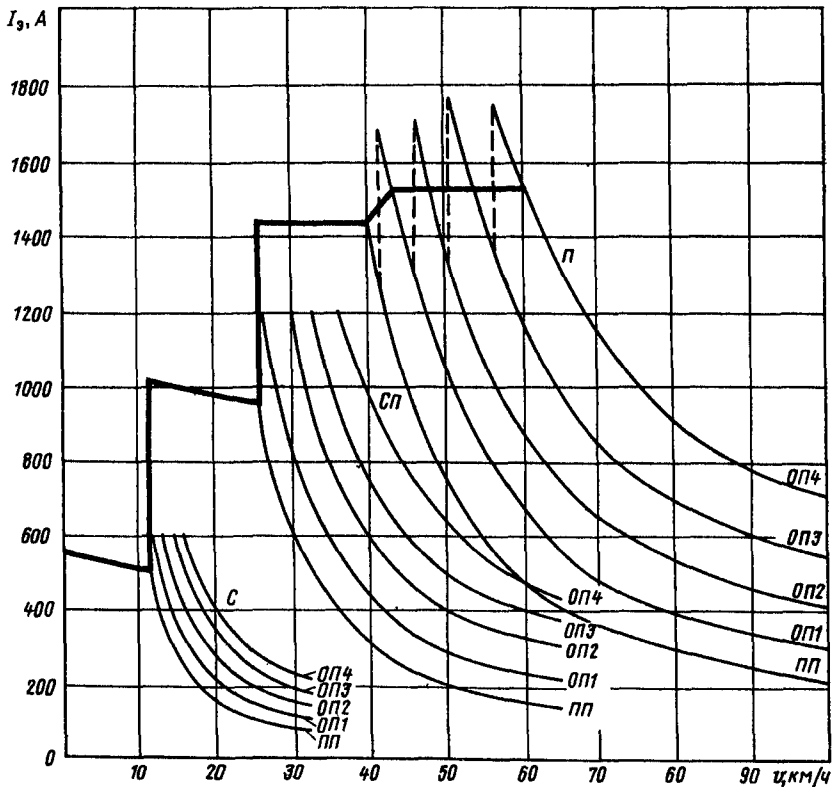


Рис. 4.49. Токвые характеристики электровоза ВЛ23

Ограничение по сцеплению

|       |      |      |      |      |      |      |      |      |      |      |      |      |      |      |
|-------|------|------|------|------|------|------|------|------|------|------|------|------|------|------|
| $\nu$ | 0    | 5    | 10   | 15   | 20   | 23,5 | 23,5 | 30   | 40   | 51   | 53,5 | 56,5 | 59,5 | 63,5 |
| $I_3$ | 1580 | 1400 | 1350 | 1330 | 1314 | 1300 | 2600 | 2560 | 2490 | 2430 | 2520 | 2590 | 2720 | 2840 |

Ограничение по ОП

| Переход   | $I_3$       | $\nu$ |
|-----------|-------------|-------|
| ПП - ОП1  | 2200 - 2760 | 52,2  |
| ОП1 - ОП2 | 2350 - 2780 | 55    |
| ОП2 - ОП3 | 2390 - 2900 | 56    |
| ОП3 - ОП4 | 2540 - 3020 | 61,5  |

|       |      |      |      |      |      |      |     |
|-------|------|------|------|------|------|------|-----|
| $\nu$ | 53,5 | 65   | 70   | 80   | 90   | 100  | 110 |
| $I_3$ | 2720 | 2190 | 1860 | 1470 | 1230 | 1050 | 920 |

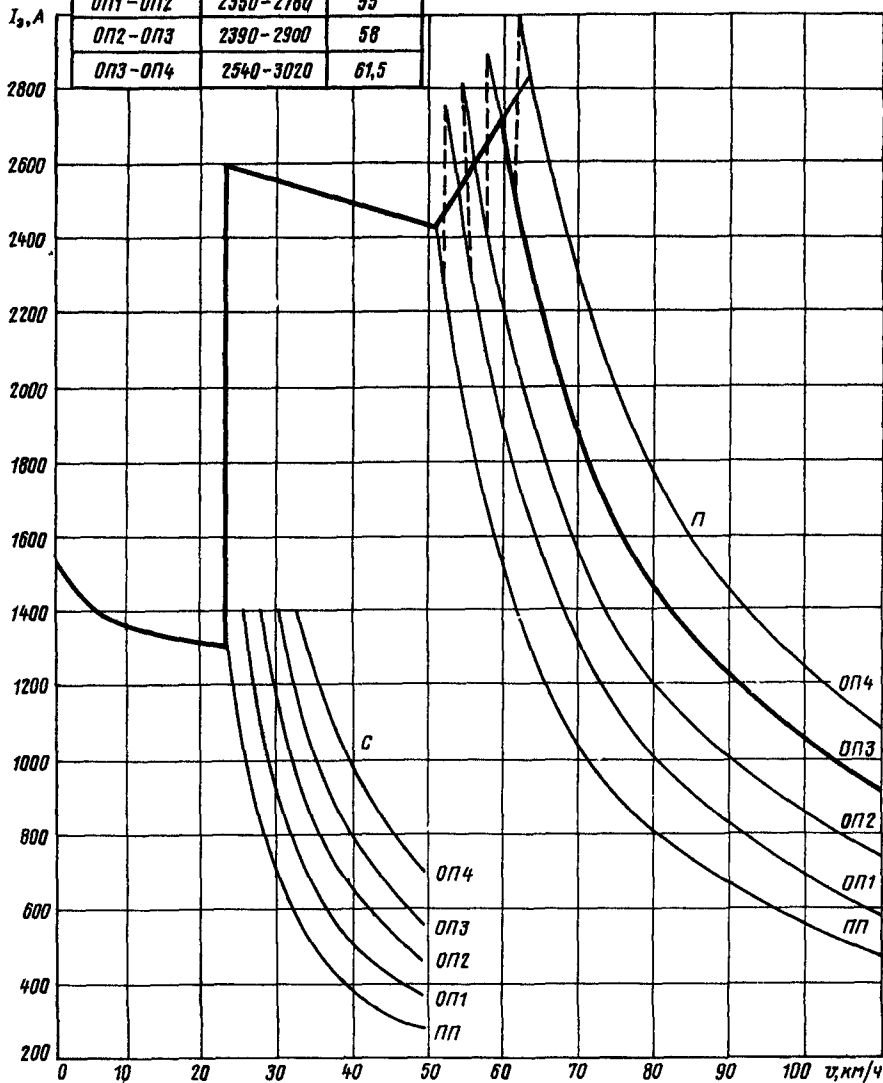


Рис. 4.50 Токовые характеристики электровоза ВЛ82 (работа на постоянном токе)

Ограничение по сцеплению

|       |      |      |      |      |      |      |      |      |      |      |      |      |      |      |
|-------|------|------|------|------|------|------|------|------|------|------|------|------|------|------|
| $\nu$ | 0    | 5    | 10   | 15   | 20   | 23,3 | 23,3 | 30   | 40   | 50,5 | 53   | 55,5 | 58,5 | 62,0 |
| $I_s$ | 1622 | 1456 | 1404 | 1383 | 1366 | 1350 | 2700 | 2662 | 2589 | 2530 | 2620 | 2680 | 2790 | 2900 |

Ограничение по ОП

|       |      |      |      |      |      |      |     |
|-------|------|------|------|------|------|------|-----|
| $\nu$ | 58,5 | 65   | 70   | 80   | 90   | 100  | 110 |
| $I_s$ | 2790 | 2190 | 1860 | 1470 | 1230 | 1050 | 920 |

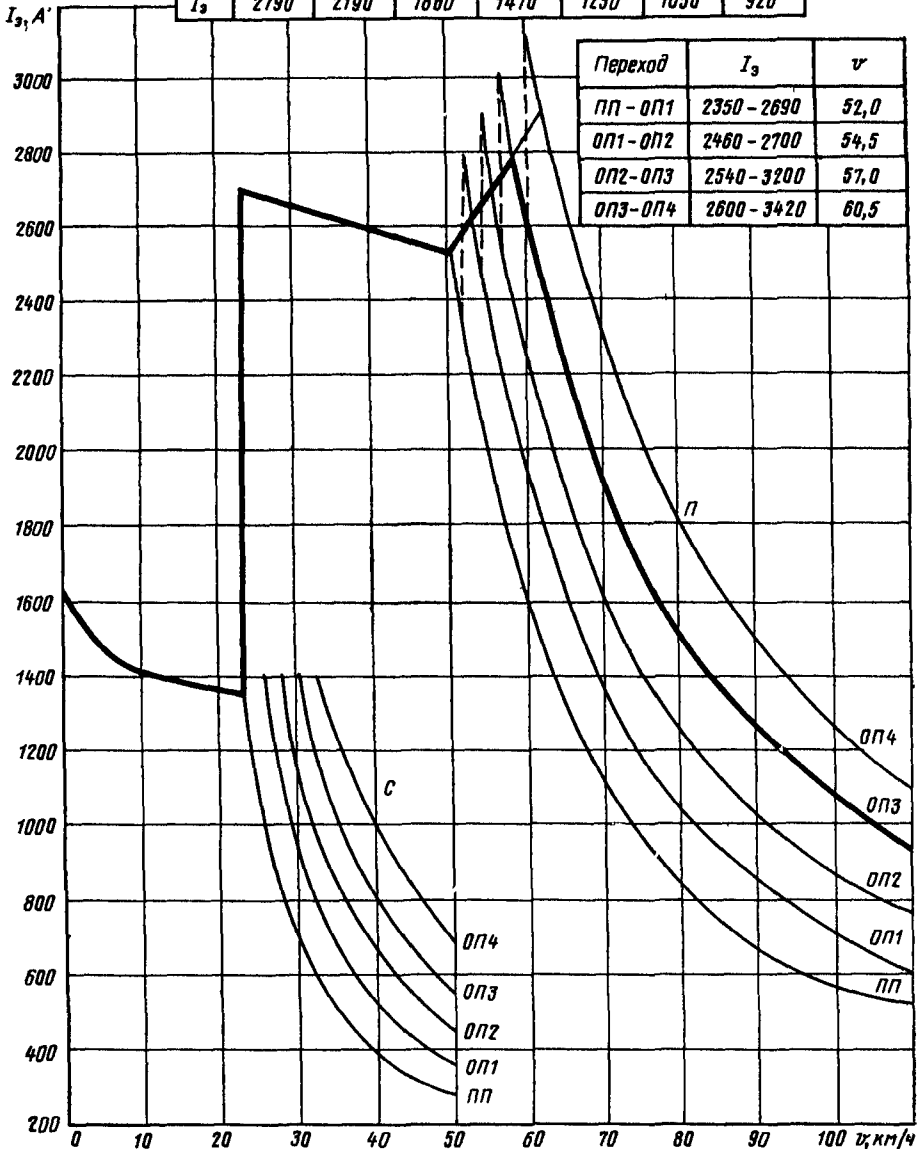


Рис. 4.51. Токовые характеристики электровоза ВЛ82<sup>м</sup> (работа на постоянном токе)

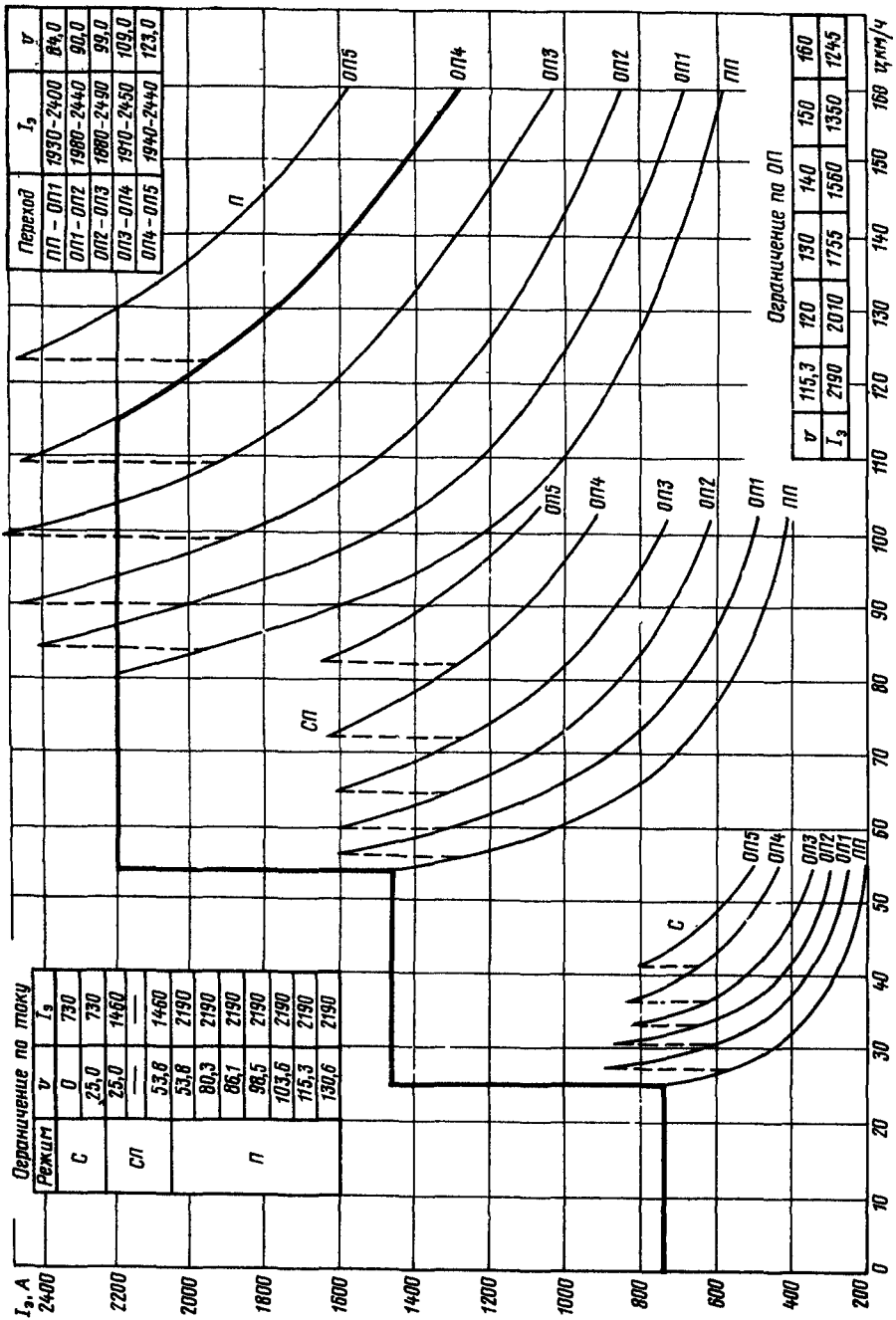


Рис. 4.52. Токвые характеристики электровоза ЭС2

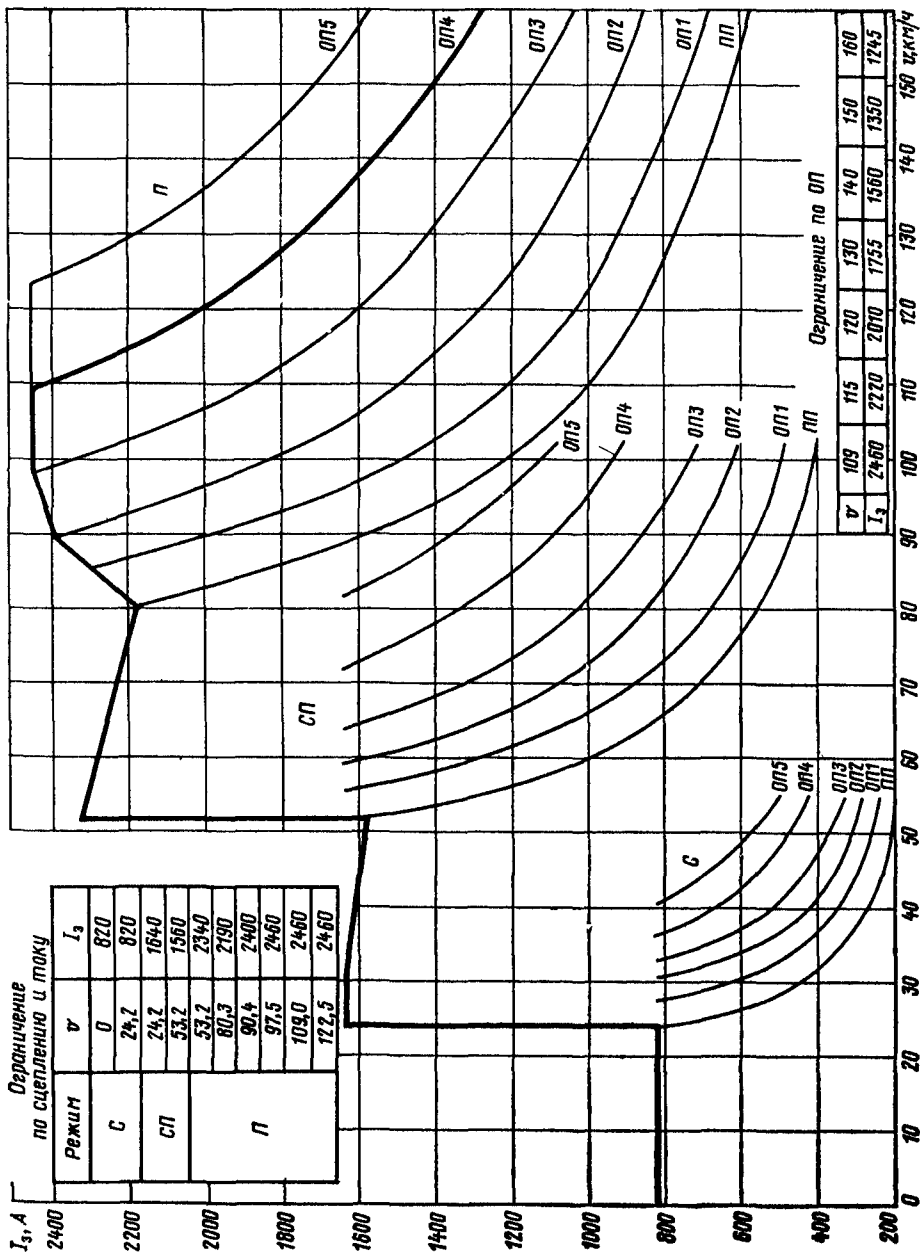
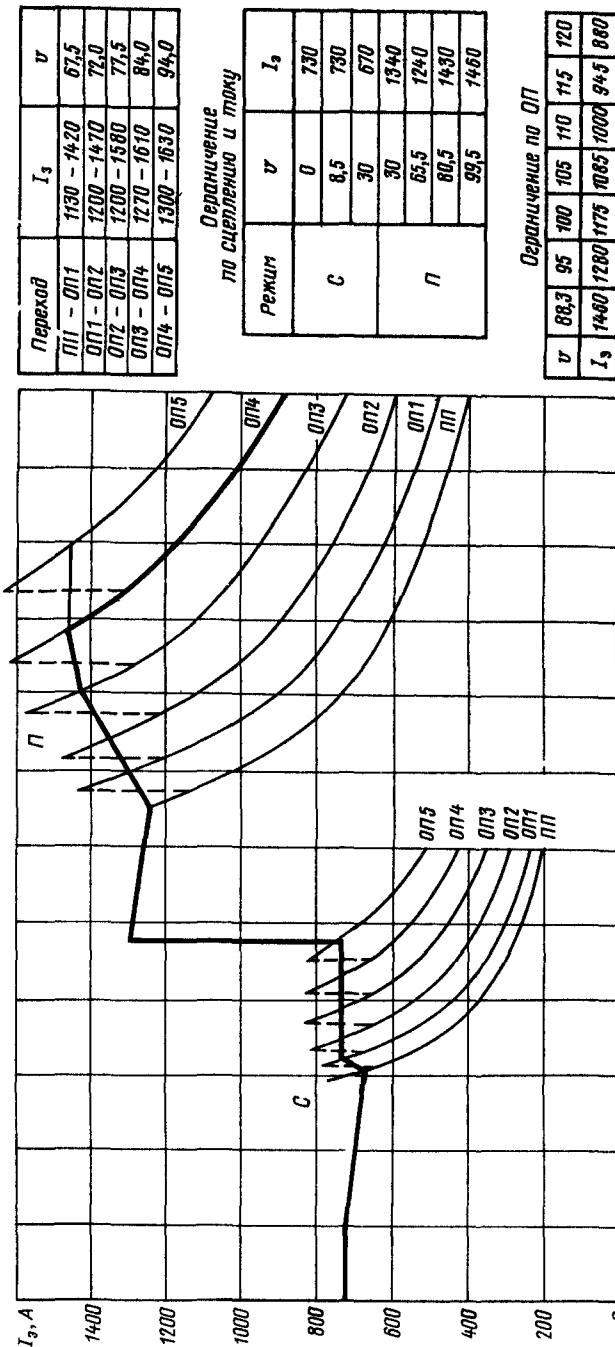


Рис. 4.53. Токвые характеристики электровоза ЧС2\*



| Переход   | $I_s$       | $\nu$ |
|-----------|-------------|-------|
| П1 - П11  | 1130 - 1420 | 67,5  |
| П11 - П12 | 1200 - 1470 | 72,0  |
| П12 - П13 | 1200 - 1580 | 77,5  |
| П13 - П14 | 1270 - 1610 | 84,0  |
| П14 - П15 | 1300 - 1630 | 94,0  |

Ограничение по силе тока и току

| Режим | $\nu$ | $I_s$ |
|-------|-------|-------|
| С     | 0     | 730   |
|       | 8,5   | 730   |
|       | 30    | 670   |
| П     | 30    | 1340  |
|       | 65,5  | 1240  |
|       | 80,5  | 1430  |
|       | 99,5  | 1460  |

Ограничение по ОП

|       |      |      |      |      |      |     |     |
|-------|------|------|------|------|------|-----|-----|
| $\nu$ | 88,3 | 95   | 100  | 105  | 110  | 115 | 120 |
| $I_s$ | 1460 | 1280 | 1175 | 1065 | 1000 | 945 | 880 |

Рис. 4.54. Токные характеристики электролиза ЧСЗ

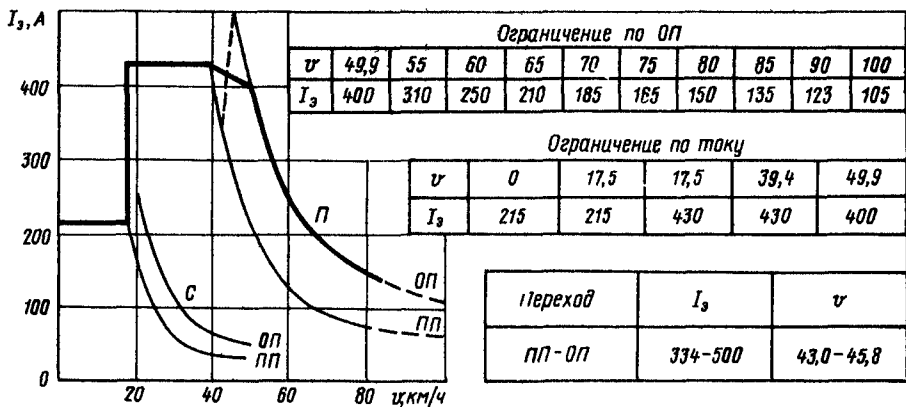


Рис. 4.55. Токвые характеристики моторного вагона электропоездов  $C^m$ ,  $C^p$  и  $C^p_3$

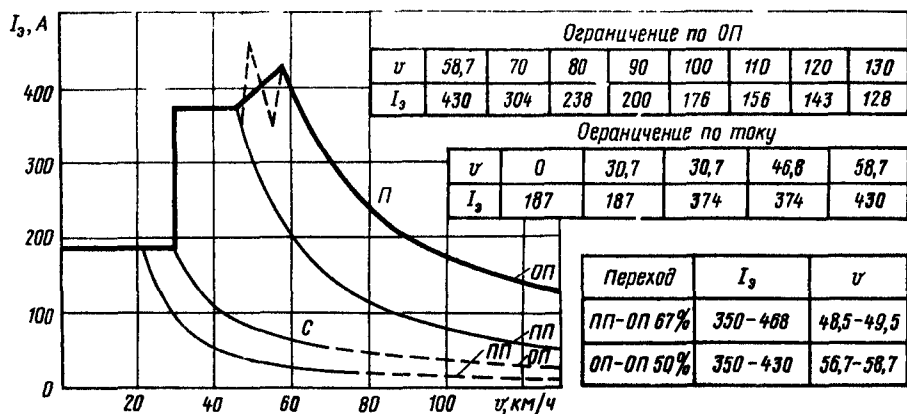


Рис. 4.56. Токвые характеристики моторного вагона электропоездов ЭР1 и ЭР2

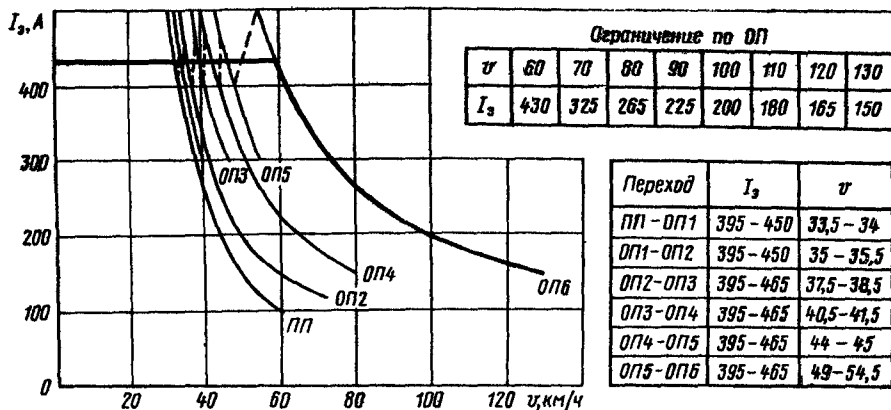


Рис 4.57. Токвые характеристики моторного вагона электропоезда ЭР22

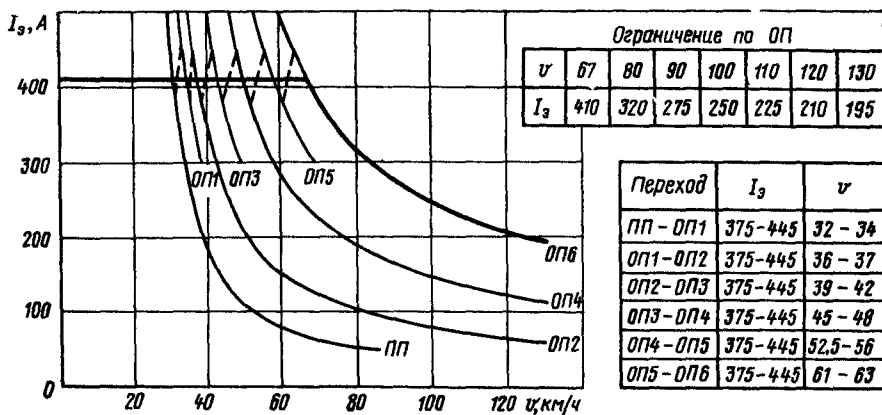


Рис. 4.58. Токвые характеристики моторного вагона электропоезда ЭР22В

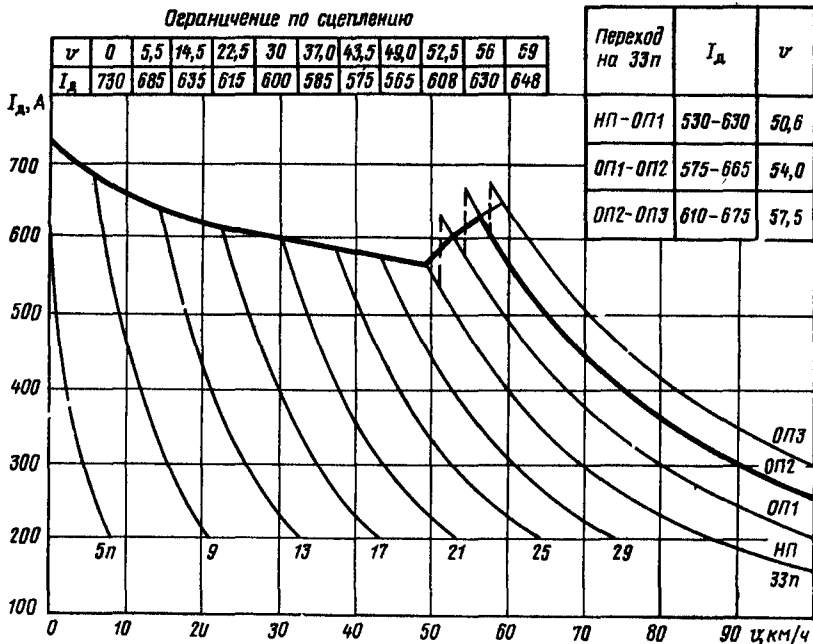


Рис. 4.59. Токовые характеристики тягового электродвигателя НБ-412К электровозов ВЛ60<sup>к</sup> и ВЛ60<sup>р</sup>

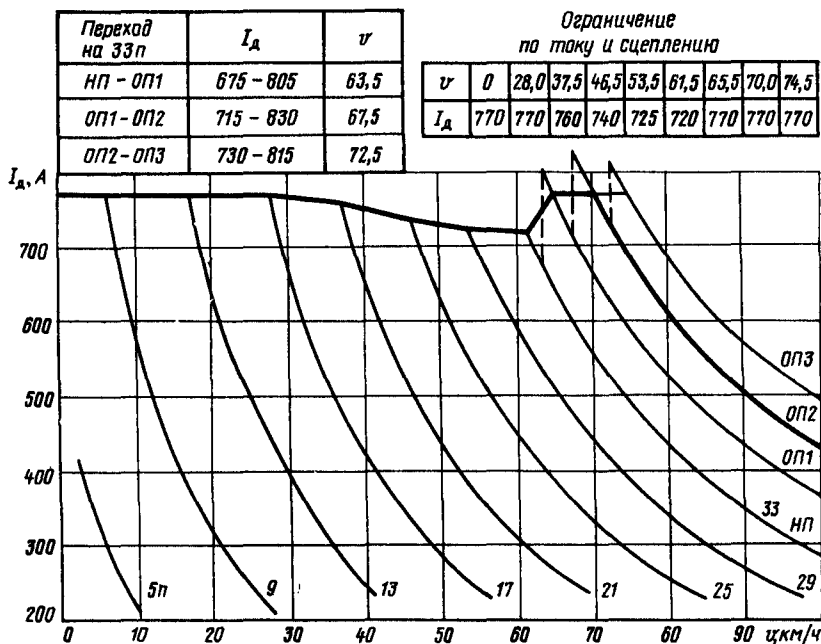


Рис. 4.60. Токовые характеристики тягового электродвигателя НБ-412К электровоза ВЛ60<sup>нк</sup>

Ограничение по сцеплению

|                |      |      |      |      |     |     |      |      |      |      |      |
|----------------|------|------|------|------|-----|-----|------|------|------|------|------|
| $v$            | 0    | 8,7  | 16,2 | 23,5 | 31  | 38  | 44,2 | 50,5 | 53,5 | 57,5 | 61   |
| $I_{\text{д}}$ | 1195 | 1055 | 1010 | 990  | 970 | 955 | 945  | 935  | 985  | 1040 | 1087 |

| Переход на 33п | $I_{\text{д}}$ | $v$  |
|----------------|----------------|------|
| нп - оп1       | 880 - 1045     | 52   |
| оп1 - оп2      | 920 - 1095     | 55,7 |
| оп2 - оп3      | 1000 - 1135    | 59,2 |

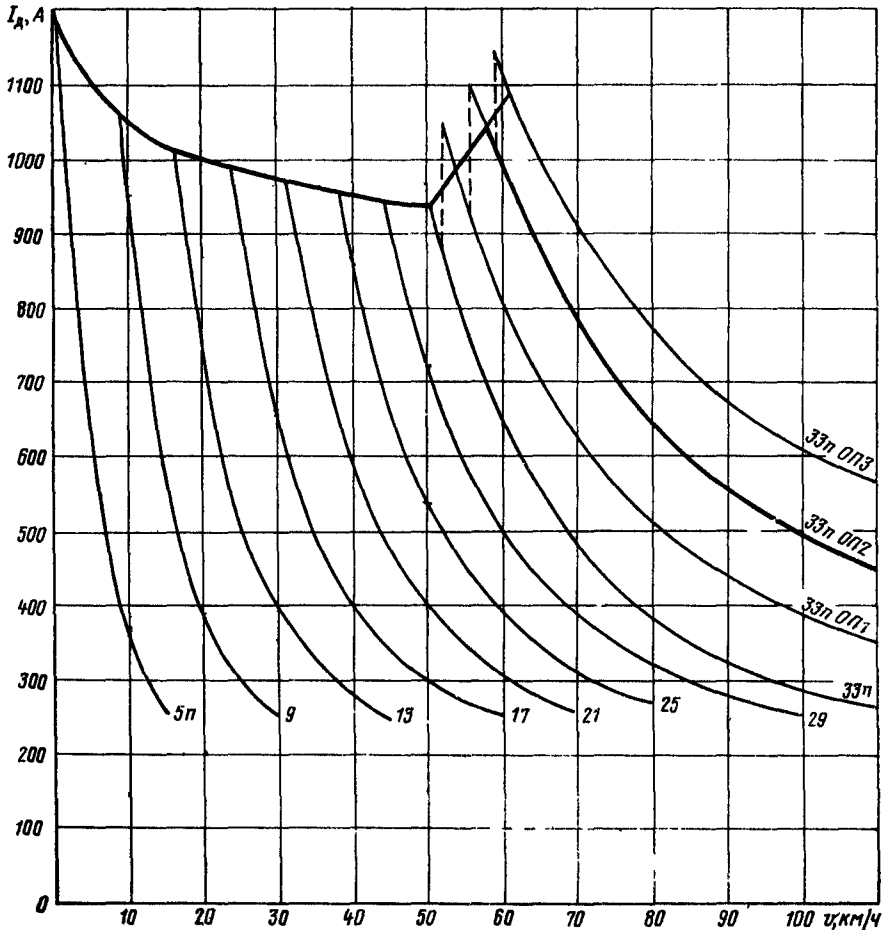


Рис. 4.61. Токовые характеристики тягового электродвигателя НБ-418К электровоза ВЛ80\*

Ограничение по сцеплению

|       |      |      |      |      |      |      |      |      |      |      |      |      |
|-------|------|------|------|------|------|------|------|------|------|------|------|------|
| $\nu$ | 0    | 0,5  | 8,5  | 15,5 | 22,0 | 29,5 | 37,0 | 43,5 | 50,5 | 53,5 | 57,0 | 61,0 |
| $I_d$ | 1225 | 1210 | 1070 | 1020 | 1000 | 985  | 970  | 960  | 950  | 1015 | 1090 | 1170 |

| Переход   | $I_d$       | $\nu$ |
|-----------|-------------|-------|
| НП — ОП1  | 900 — 1070  | 52,0  |
| ОП1 — ОП2 | 970 — 1145  | 55,0  |
| ОП2 — ОП3 | 1030 — 1235 | 59,0  |

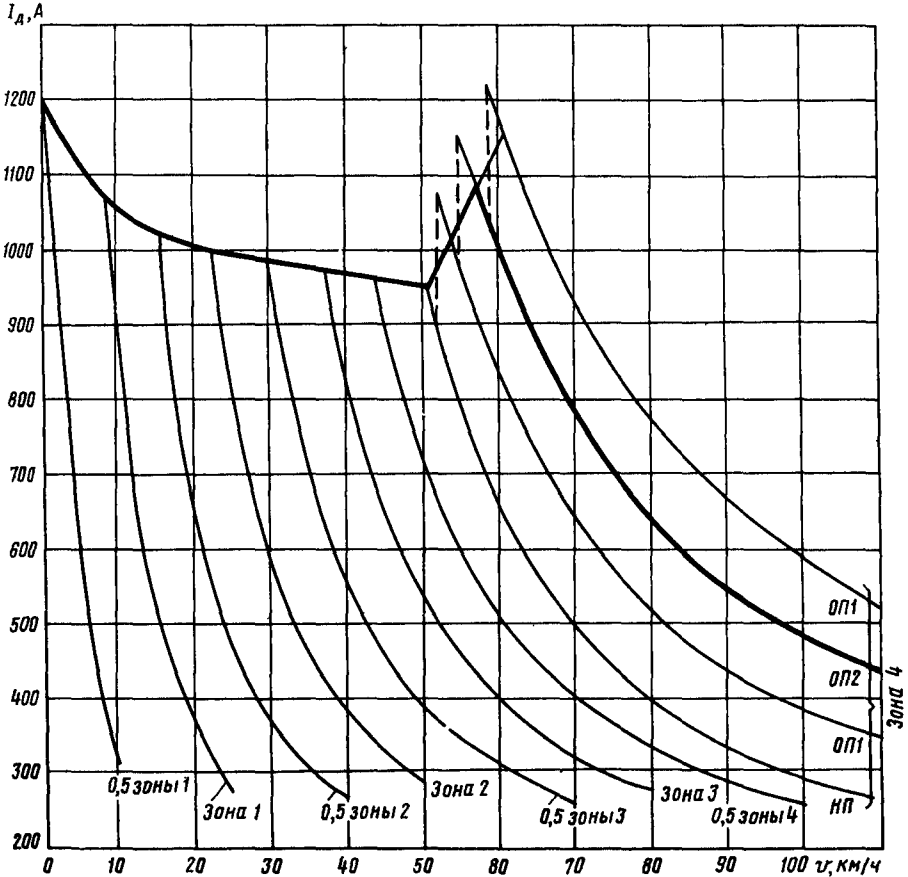


Рис. 4.62. Точковые характеристики тягового электродвигателя НБ-418К электро-воза ВЛ80Р

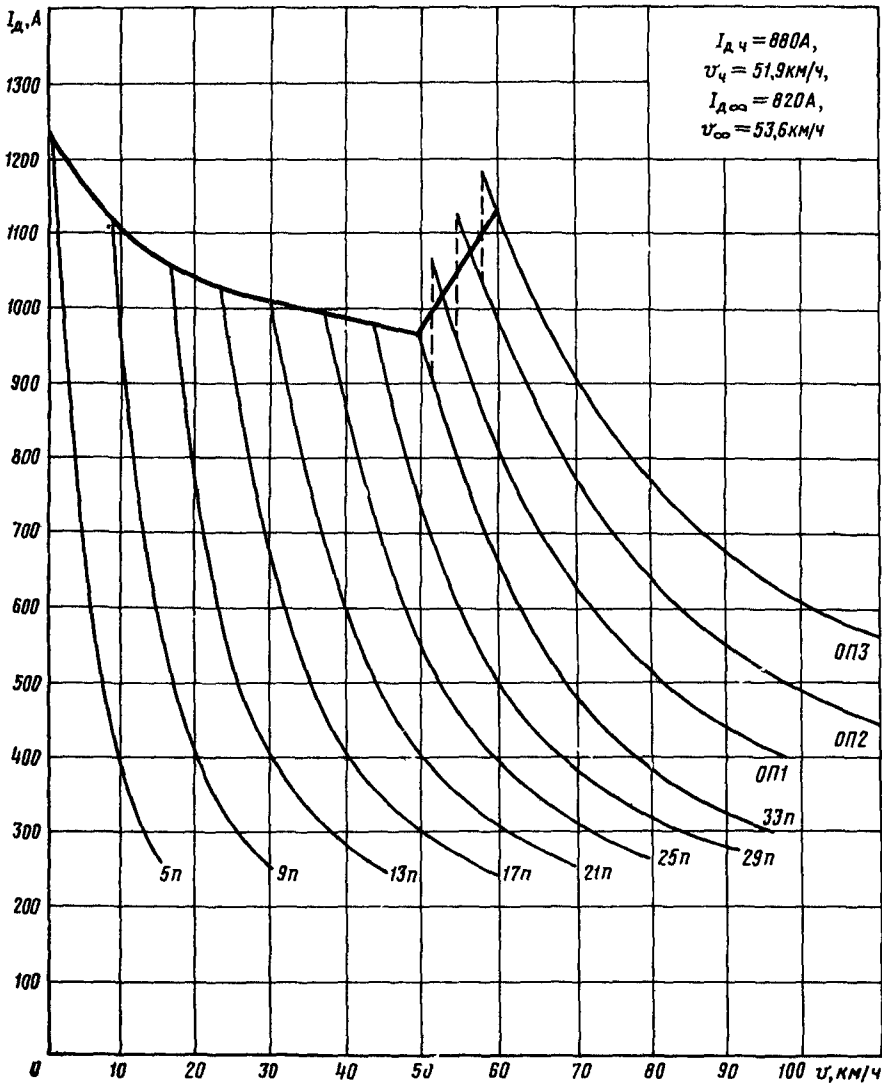


Рис 4 63 Токowe характеристики тягового электродвигателя

| $v$  | $I_A$ |      |      |      |      |      |      |      |      |      |      |
|------|-------|------|------|------|------|------|------|------|------|------|------|
|      | 5n    | 9n   | 13n  | 17n  | 21n  | 25n  | 29n  | 33n  | 33n  |      |      |
|      |       |      |      |      |      |      |      |      | 0П1  | 0П2  | 0П3  |
| 1    | 1230  | —    | —    | —    | —    | —    | —    | —    | —    | —    | —    |
| 2,5  | 875   | —    | —    | —    | —    | —    | —    | —    | —    | —    | —    |
| 5    | 645   | 1540 | —    | —    | —    | —    | —    | —    | —    | —    | —    |
| 7,5  | 470   | 1205 | —    | —    | —    | —    | —    | —    | —    | —    | —    |
| 10   | 360   | 935  | —    | —    | —    | —    | —    | —    | —    | —    | —    |
| 12,5 | 294   | 723  | 1415 | —    | —    | —    | —    | —    | —    | —    | —    |
| 15   | 257   | 575  | 1140 | —    | —    | —    | —    | —    | —    | —    | —    |
| 20   | —     | 387  | 745  | 1325 | —    | —    | —    | —    | —    | —    | —    |
| 25   | —     | 296  | 510  | 928  | 1438 | —    | —    | —    | —    | —    | —    |
| 30   | —     | 250  | 395  | 651  | 1050 | 1440 | —    | —    | —    | —    | —    |
| 35   | —     | —    | 322  | 492  | 770  | 1110 | 1470 | —    | —    | —    | —    |
| 40   | —     | —    | 277  | 399  | 582  | 850  | 1165 | 1445 | —    | —    | —    |
| 45   | —     | —    | 248  | 338  | 472  | 660  | 900  | 1180 | 1350 | 1580 | —    |
| 50   | —     | —    | —    | 297  | 400  | 540  | 723  | 962  | 1130 | 1310 | 1435 |
| 55   | —     | —    | —    | 270  | 349  | 453  | 593  | 776  | 940  | 1120 | 1230 |
| 60   | —     | —    | —    | 249  | 308  | 389  | 502  | 645  | 806  | 985  | 1125 |
| 65   | —     | —    | —    | —    | 274  | 345  | 435  | 551  | 701  | 872  | 1000 |
| 70   | —     | —    | —    | —    | 258  | 312  | 387  | 480  | 628  | 775  | 902  |
| 80   | —     | —    | —    | —    | —    | 268  | 322  | 384  | 515  | 640  | 770  |
| 90   | —     | —    | —    | —    | —    | —    | 282  | 327  | 442  | 552  | 674  |
| 100  | —     | —    | —    | —    | —    | —    | 252  | 287  | 390  | 491  | 608  |
| 110  | —     | —    | —    | —    | —    | —    | —    | 259  | 349  | 448  | 587  |

Ограничение по сцеплению

| $v$   | 0    | 8,5  | 16   | 23   | 30,5 | 37,5 | 43,5 | 49,5 | 53,2 | 56,5 | 59,4 |
|-------|------|------|------|------|------|------|------|------|------|------|------|
| $I_A$ | 1230 | 1115 | 1056 | 1030 | 1015 | 980  | 975  | 962  | 1015 | 1075 | 1130 |

| Переход на 33n | По I        | По $v$ |
|----------------|-------------|--------|
| нп — 0П1       | 810 — 1060  | 51,5   |
| 0П1 — 0П2      | 860 — 1120  | 54,5   |
| 0П2 — 0П3      | 1075 — 1130 | 58     |

НБ-418К электровоза ВЛ80<sup>от</sup> при  $\mu = 4,19$

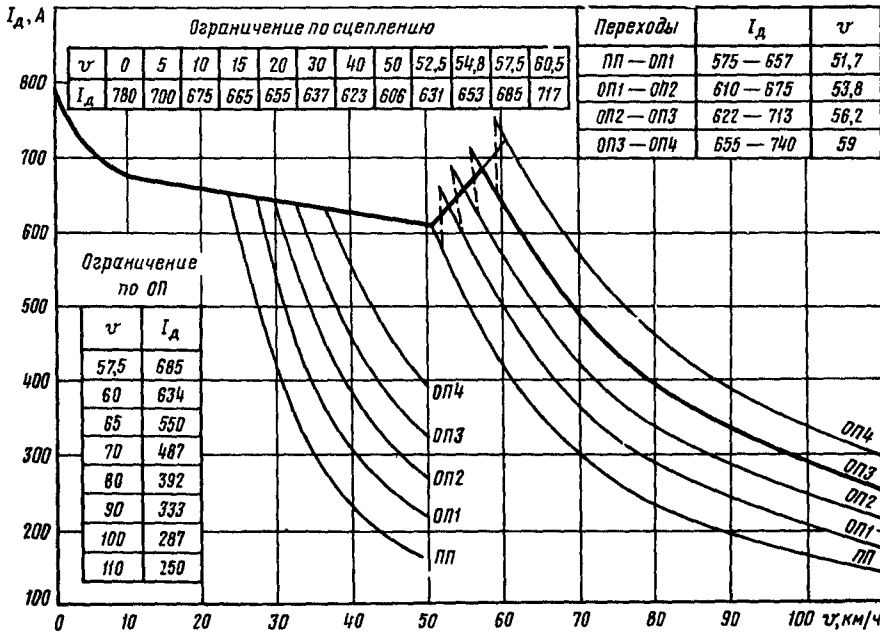


Рис. 4.64. Токowe характеристики тягового электродвигателя НБ-407Б электропоза ВЛ182 (работа на переменном токе)

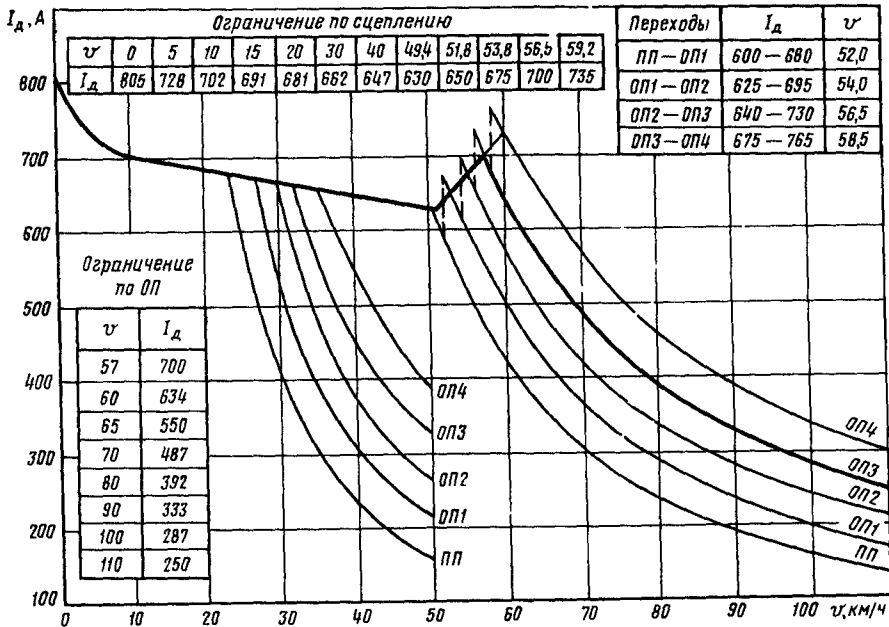


Рис. 4.65. Токowe характеристики тягового электродвигателя НБ-407Б электропоза ВЛ182<sup>м</sup> (работа на переменном токе)

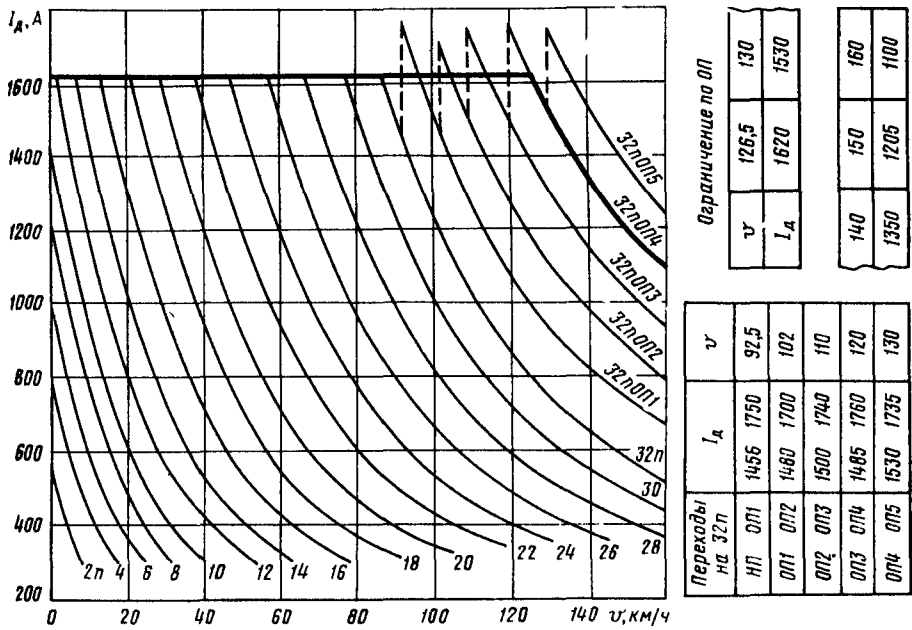


Рис. 4.66. Токowe характеристики тягового электродвигателя AL4442 пр электровозов ЧС4 и ЧС4<sup>7</sup>

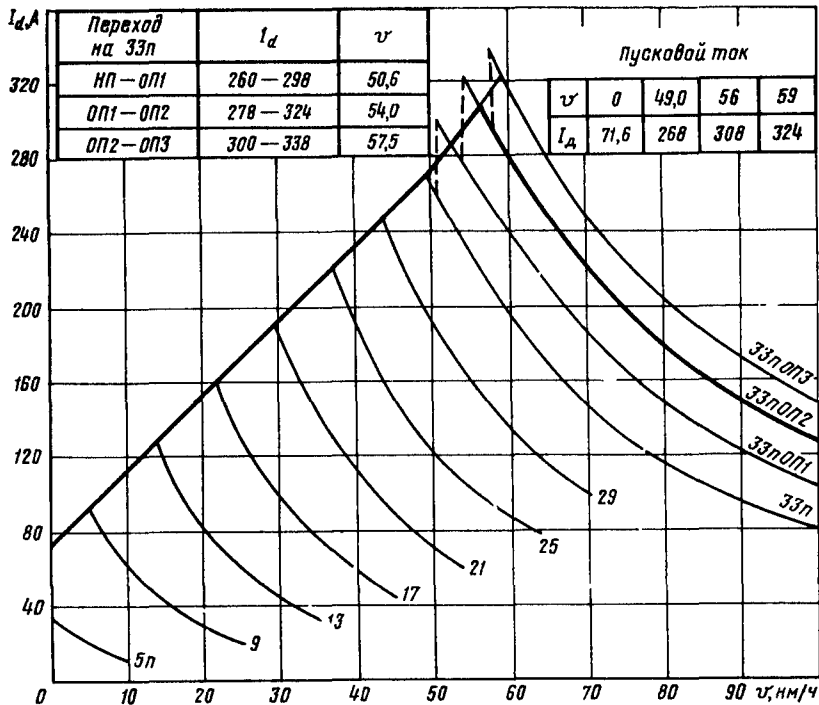


Рис. 4.67. Токowe характеристики электровозов ВЛ60<sup>а</sup> и ВЛ60<sup>б</sup> (приведенный выпрямленный ток)

| Переход на 33п | $I_d$   | $\nu$ |
|----------------|---------|-------|
| НП-ОП1         | 333-398 | 63,5  |
| ОП1-ОП2        | 352-410 | 67,5  |
| ОП2-ОП3        | 362-420 | 72,5  |

| Пусковой ток |    |      |      |      |
|--------------|----|------|------|------|
| $\nu$        | 0  | 40,0 | 65,5 | 74,5 |
| $I_d$        | 58 | 253  | 376  | 394  |

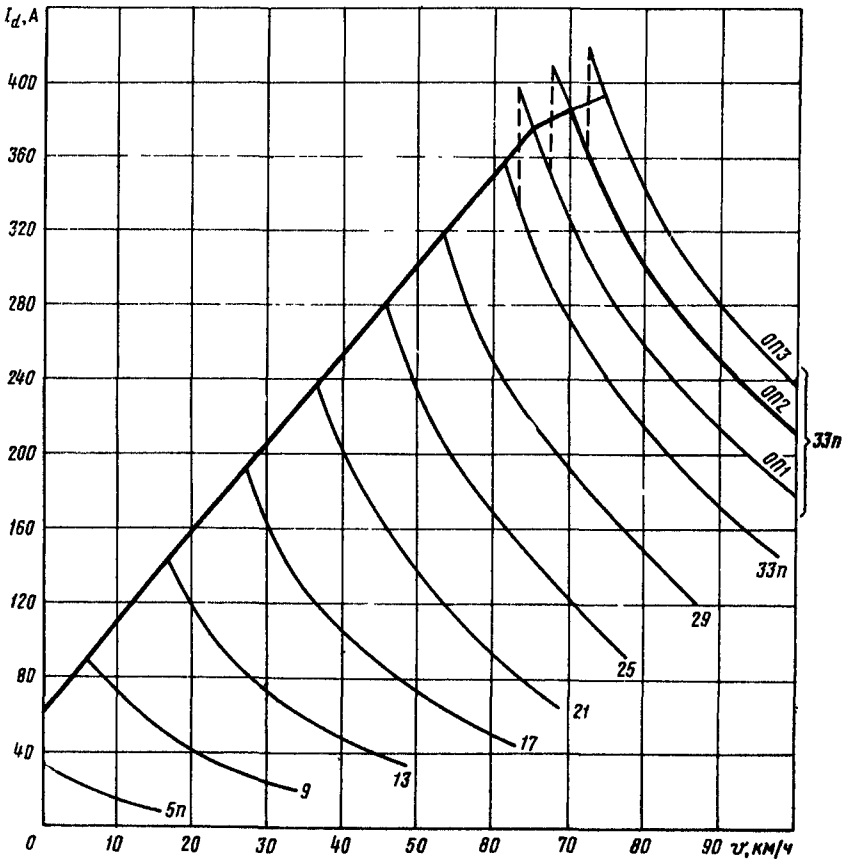


Рис 4 68 Токвые характеристики электровоза ВЛ60<sup>пк</sup> (приведенный выпрямленный ток)

| Переход на 33 п | По току $I$ | По скорости $v$ |
|-----------------|-------------|-----------------|
| нп - оп1        | 336 - 408   | 52              |
| оп1 - оп2       | 356 - 426   | 55,7            |
| оп2 - оп3       | 388 - 446   | 59,2            |

Пусковой ток

|       |    |      |     |
|-------|----|------|-----|
| $v$   | 0  | 50,5 | 61  |
| $I_d$ | 66 | 356  | 427 |

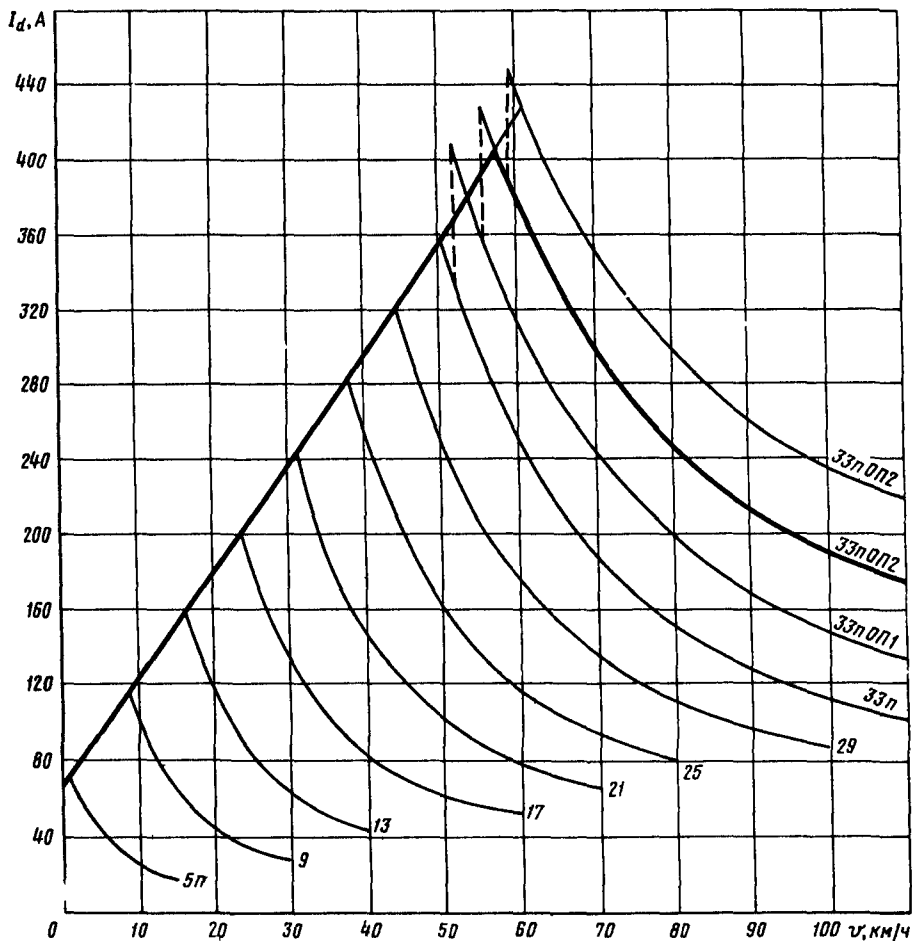
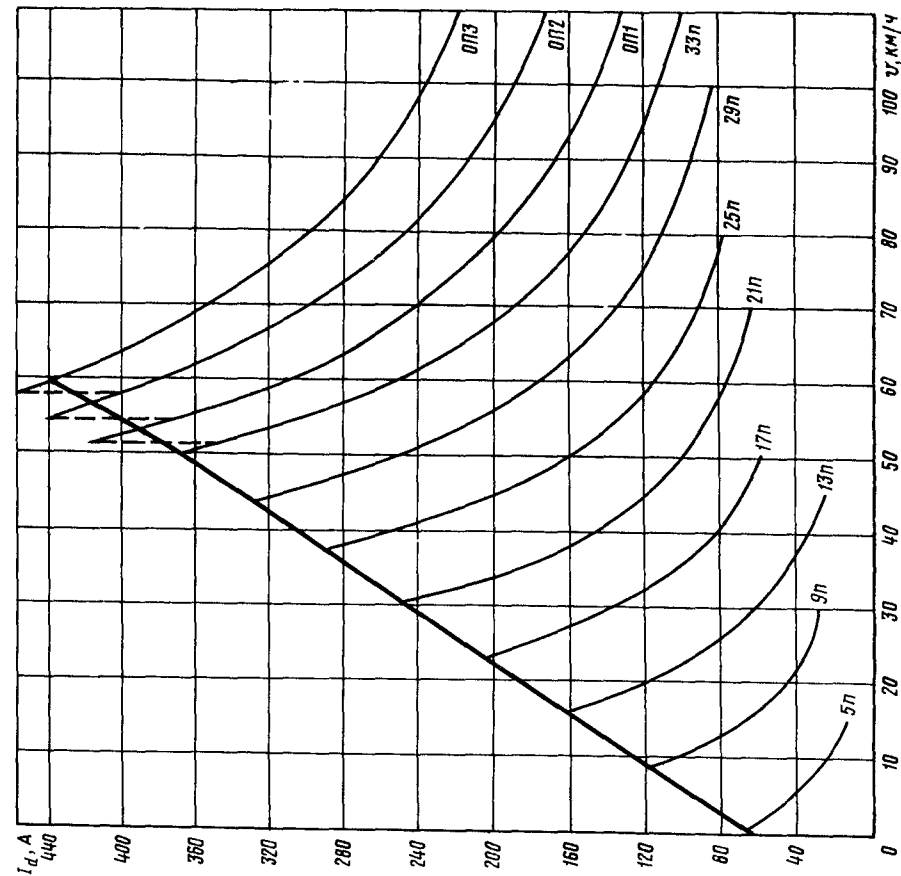


Рис 4 69. Токвые характеристики электровозов ВЛ80\* (приведенный выпрямленный ток)



| $\nu$ | $I_d$ |       |      |      |      |       |       |     |       |     |
|-------|-------|-------|------|------|------|-------|-------|-----|-------|-----|
|       | 5n    | 9n    | 13n  | 17n  | 21n  | 25n   | 29n   | 33n | 33n   | 33n |
| 5     | 42    | 174   | —    | —    | —    | —     | —     | —   | —     | —   |
| 10    | 24    | 105,5 | —    | —    | —    | —     | —     | —   | —     | —   |
| 15    | 17,2  | 65    | 182  | —    | —    | —     | —     | —   | —     | —   |
| 20    | —     | 43,8  | 119  | 279  | —    | —     | —     | —   | —     | —   |
| 30    | —     | 28,3  | 63,2 | 135  | 266  | 432   | —     | —   | —     | —   |
| 40    | —     | —     | 44,2 | 82,7 | 147  | 253,7 | 485   | 570 | —     | —   |
| 50    | —     | —     | —    | 61,5 | 101  | 162   | 251   | 379 | 440   | 510 |
| 60    | —     | —     | —    | 51,7 | 78   | 116,5 | 175   | 264 | 313   | 383 |
| 70    | —     | —     | —    | —    | 65,4 | 93,5  | 135   | 189 | 244   | 301 |
| 80    | —     | —     | —    | —    | 80,4 | 112   | 151,5 | 200 | 248   | 299 |
| 90    | —     | —     | —    | —    | —    | 98    | 129   | 169 | 214   | 262 |
| 100   | —     | —     | —    | —    | —    | 81,5  | 113   | 147 | 190   | 236 |
| 110   | —     | —     | —    | —    | —    | —     | —     | 102 | 135,5 | 174 |

| Переход на 33n | По I      | По $\nu$ |
|----------------|-----------|----------|
| П1 — П11       | 544 — 424 | 51,5     |
| П11 — П12      | 373 — 440 | 54,5     |
| П12 — П13      | 400 — 460 | 58       |

Пусковой ток

| $\nu$ | По I | По $\nu$ |
|-------|------|----------|
| 5     | 0    | 49,5     |
| 10    | 68   | 368      |
| 110   | —    | 594      |
| 120   | —    | 440      |

Рис. 4.70. Токвые характеристики электроваза ВЛ180ст с электродвигателями ИВ-418К (приведенный выпрямленный ток)

Ограничение по сцеплению

|       |    |    |     |     |      |     |      |      |     |      |      |     |
|-------|----|----|-----|-----|------|-----|------|------|-----|------|------|-----|
| $\nu$ | 0  | 1  | 8,5 | 15  | 21,0 | 29  | 36,5 | 43,5 | 50  | 53,6 | 57,5 | 61  |
| $I_d$ | 52 | 59 | 110 | 158 | 204  | 248 | 291  | 335  | 378 | 399  | 421  | 445 |

| Переход   | $I_d$     | $\nu$ |
|-----------|-----------|-------|
| НП — ОП1  | 345 — 420 | 52    |
| ОП1 — ОП2 | 372 — 447 | 56    |
| ОП2 — ОП3 | 403 — 465 | 59    |

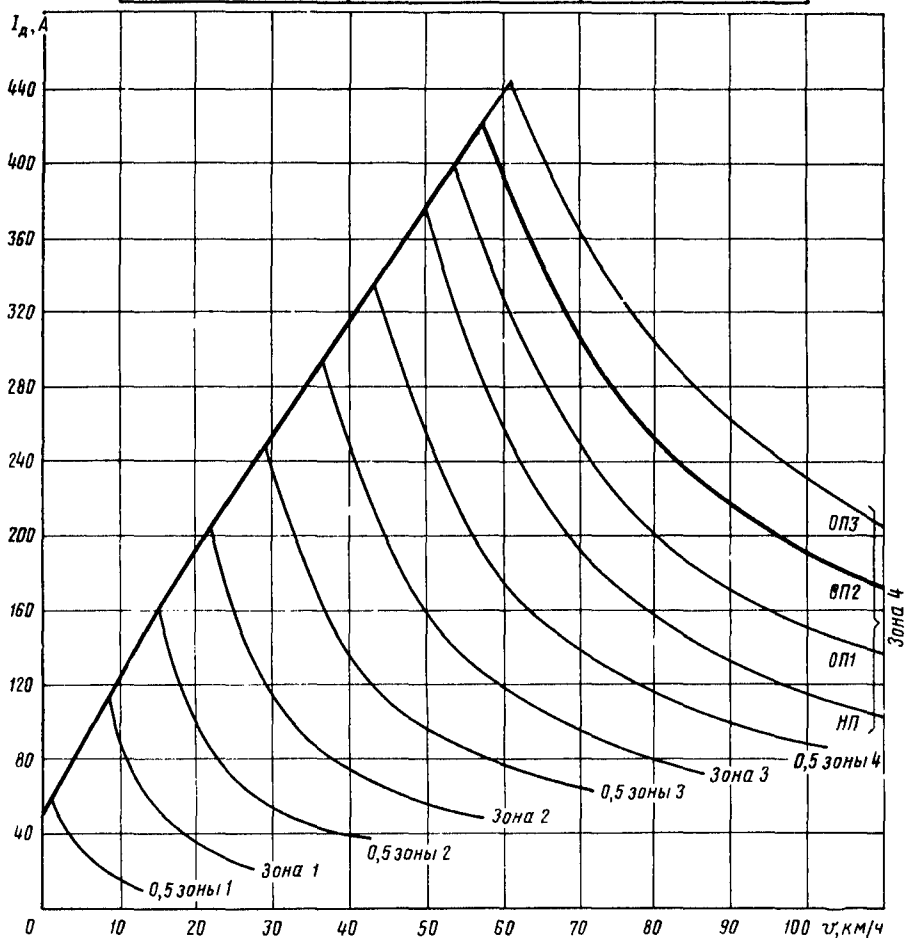


Рис. 4.71. Токвые характеристики электровоза ВЛ80<sup>р</sup> (приведенный выпрямленный ток)

| Переходы  | $I_d$     | $v$  |
|-----------|-----------|------|
| ПП — ОП1  | 344 — 382 | 51,7 |
| ОП1 — ОП2 | 362 — 404 | 53,8 |
| ОП2 — ОП3 | 377 — 426 | 56,2 |
| ОП3 — ОП4 | 392 — 445 | 59   |

Ограничение по сцеплению

| Режим | $v$  | $I_d$ |
|-------|------|-------|
| с     | 0    | 237   |
|       | 5    | 220   |
|       | 10   | 208   |
|       | 20   | 195   |
|       | 24,2 | 192   |
| п     | 24,2 | 384   |
|       | 30   | 379   |
|       | 40   | 369   |
|       | 51   | 358   |
|       | 52,5 | 371   |
|       | 54,8 | 389   |
|       | 57,5 | 408   |
|       | 60,5 | 428   |

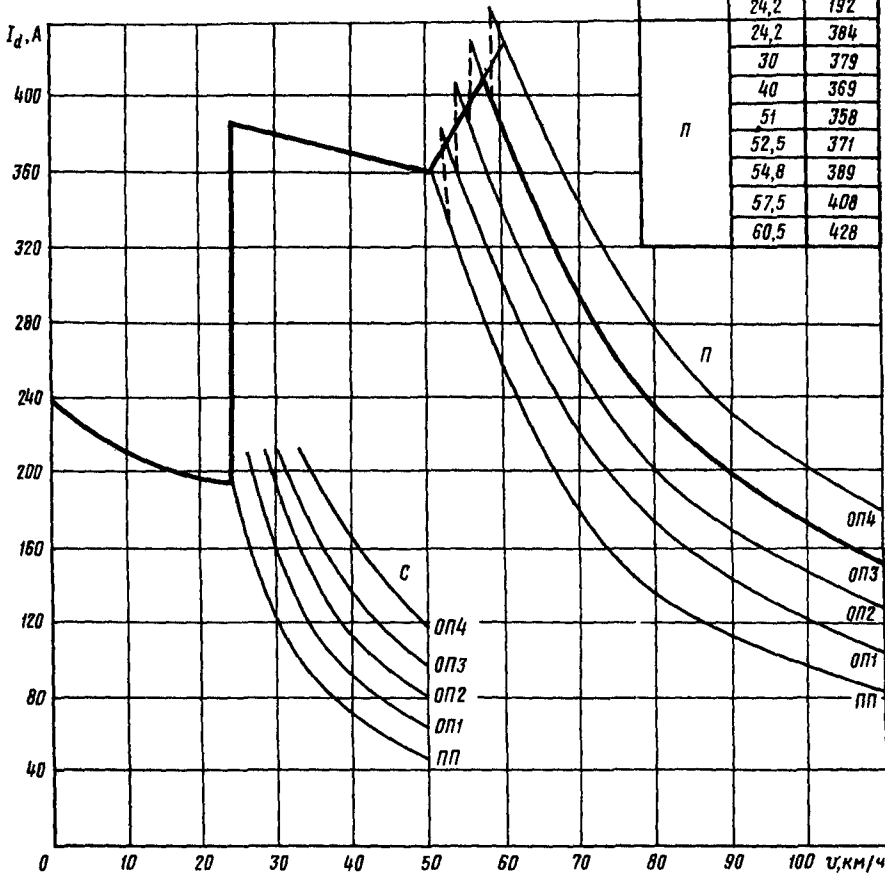


Рис. 4.72. Токвые характеристики электровоза ВЛ82 (приведенный выпрямленный ток)

Ограничение по сцеплению

| Переход   | $I_d$     | $\nu$ |
|-----------|-----------|-------|
| ПП — ОП1  | 354 — 400 | 52,0  |
| ОП1 — ОП2 | 364 — 420 | 54,0  |
| ОП2 — ОП3 | 382 — 423 | 56,5  |
| ОП3 — ОП4 | 392 — 434 | 58,5  |

| Режим | $\nu$ | $I_d$ |
|-------|-------|-------|
| СП    | 0     | 246   |
|       | 5     | 229   |
|       | 10    | 216   |
|       | 20    | 203   |
|       | 24,2  | 200   |
| П     | 24,2  | 400   |
|       | 30    | 394   |
|       | 40    | 383   |
|       | 49,4  | 374   |
|       | 51,8  | 382   |
|       | 53,8  | 396   |
|       | 56,5  | 408   |
|       | 59,2  | 422   |

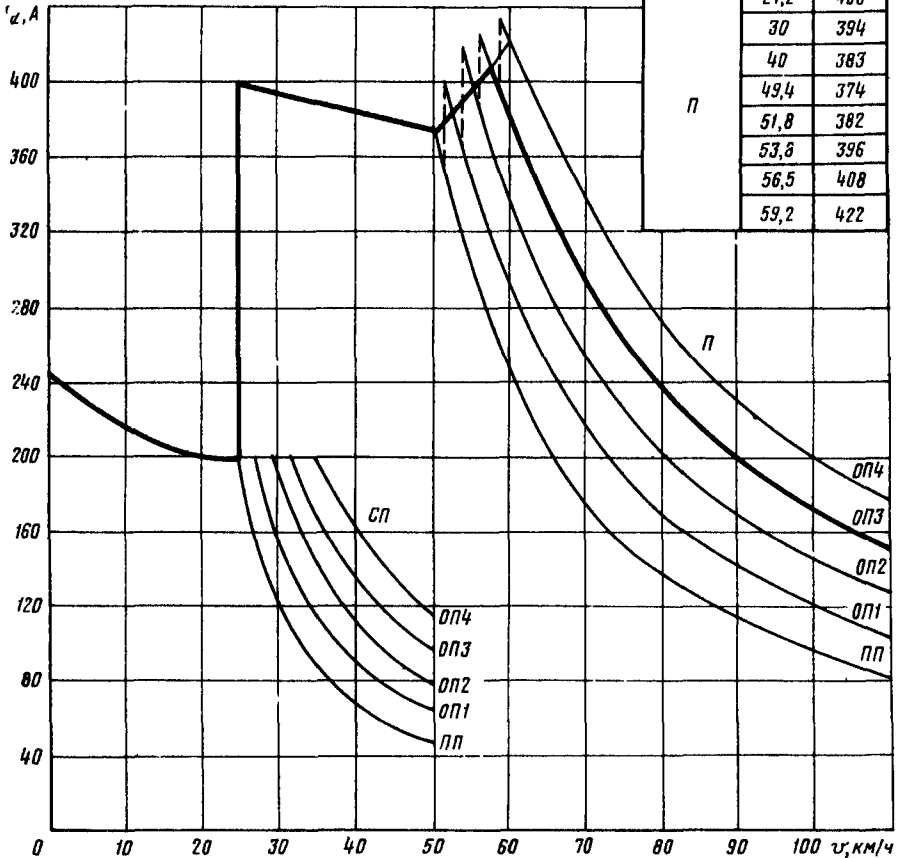


Рис. 4.73. Токвые характеристики электровоза ВЛ82<sup>М</sup> (приведенный выпрямленный ток)

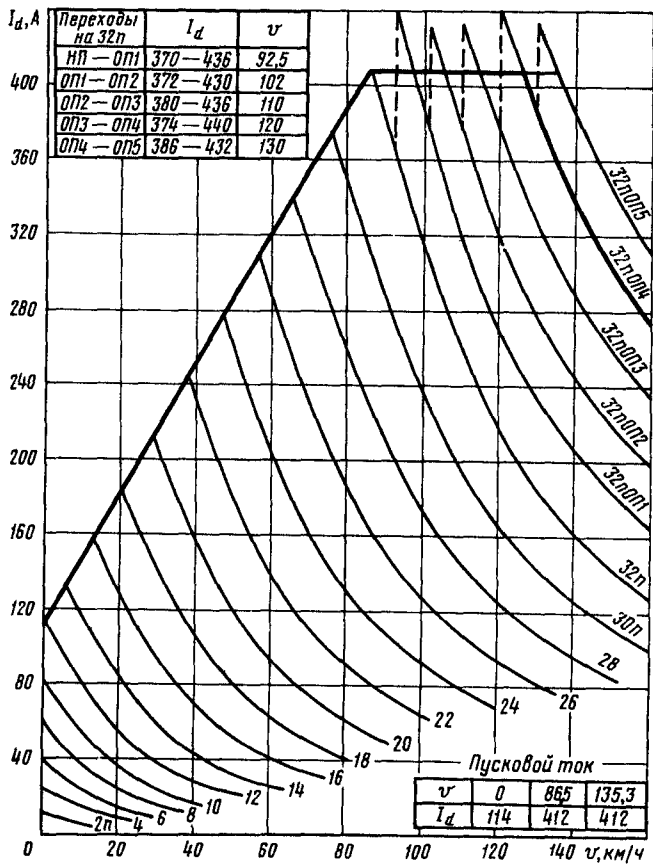


Рис. 4.74. Токвые характеристики электровозов ЧС4 и ЧС4Г (приведенный выпрямленный ток)

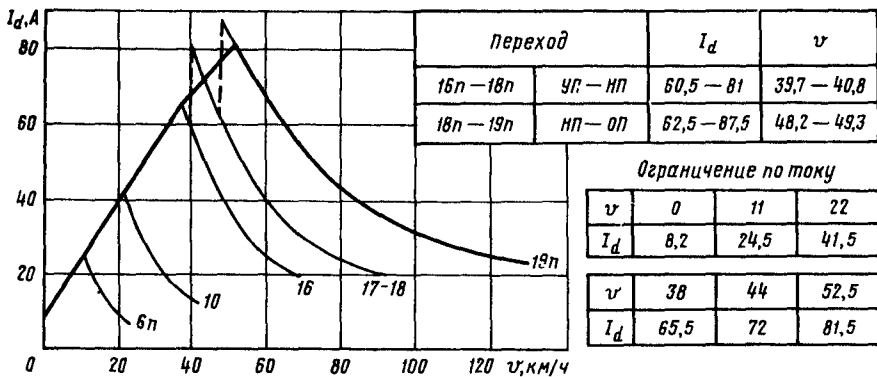


Рис. 4.75. Токвые характеристики моторного вагона электропоездов ЭР9, ЭР9П и ЭР9М (приведенный выпрямленный ток)

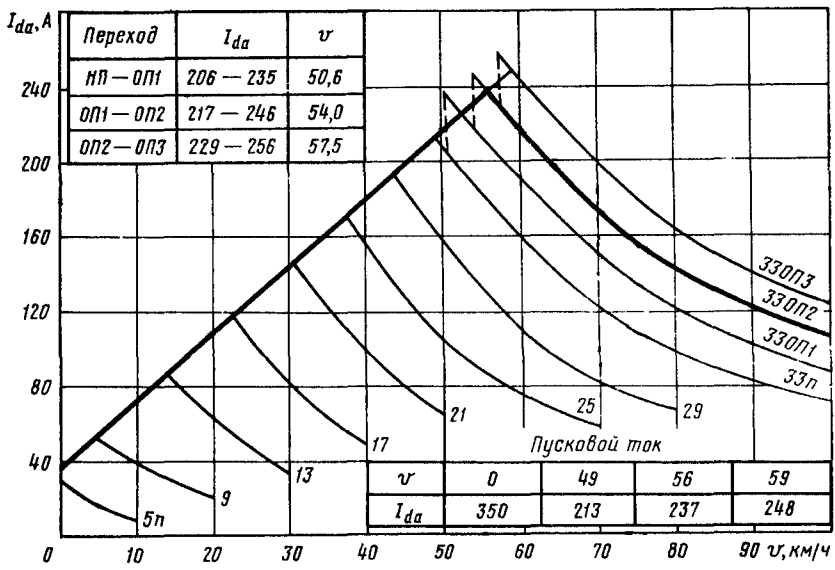


Рис. 4.76. Токовые характеристики электровзоров ВЛ60к и ВЛ60р (активный ток)

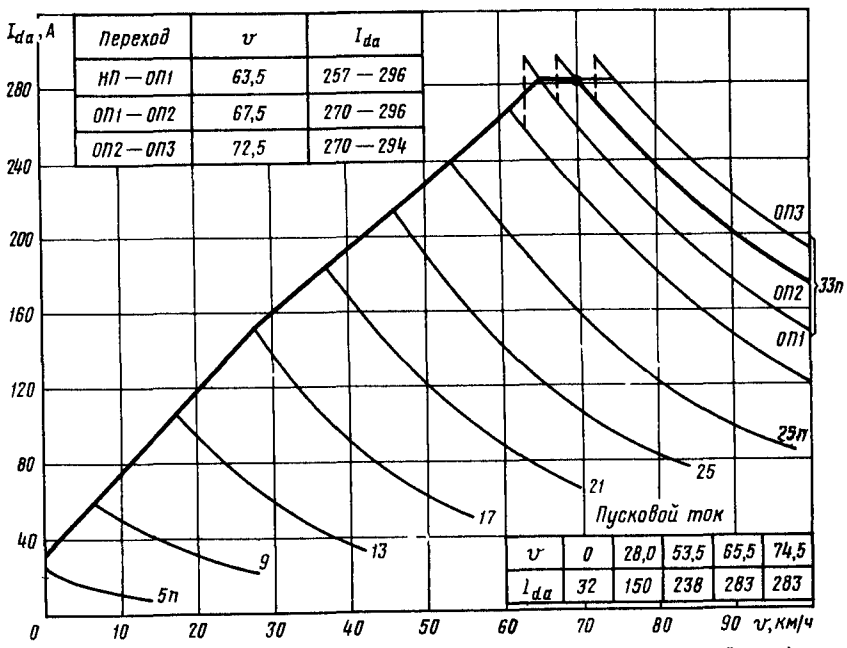


Рис. 4.77. Токовые характеристики электровза ВЛ60пк (активный ток)

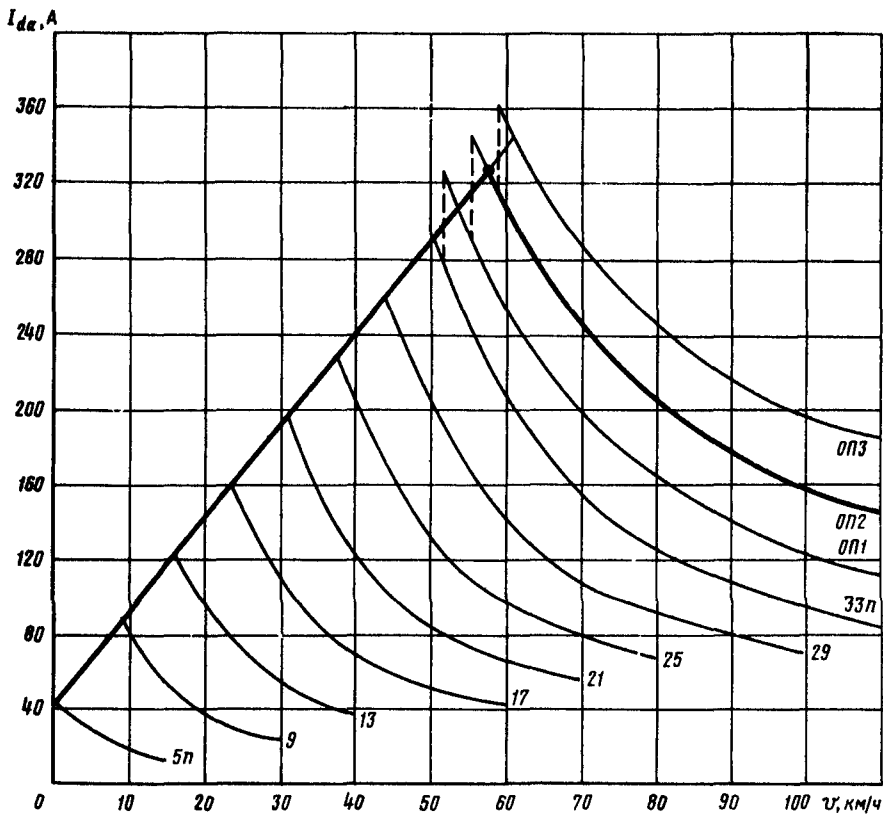
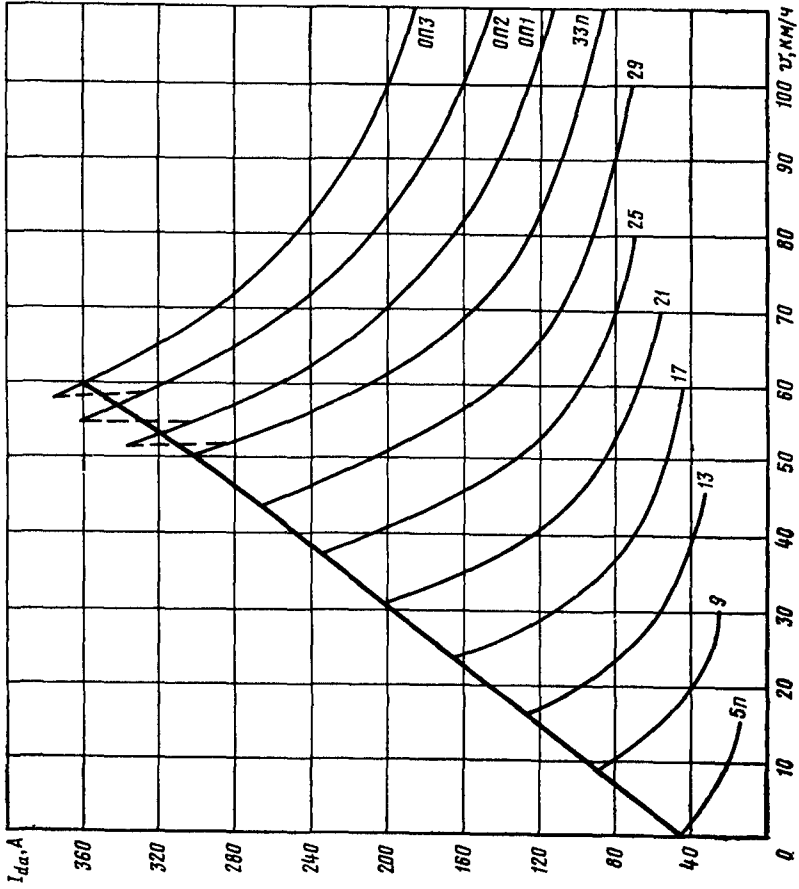


Рис. 4 78 Токовые характеристики электровоза ВЛ180<sup>к</sup> (активный ток)



| $\nu$ | $I_{da}$ |    |     |     |     |     |     |     |     |     |     |   |   |
|-------|----------|----|-----|-----|-----|-----|-----|-----|-----|-----|-----|---|---|
|       | 5n       | 9n | 13n | 17n | 21n | 25n | 29n | 33n | 33n |     |     |   |   |
| 5     | 28       | —  | —   | —   | —   | —   | —   | —   | —   | —   | —   | — | — |
| 10    | 19       | 77 | —   | —   | —   | —   | —   | —   | —   | —   | —   | — | — |
| 15    | 14       | 53 | 140 | —   | —   | —   | —   | —   | —   | —   | —   | — | — |
| 20    | —        | 36 | 95  | 211 | —   | —   | —   | —   | —   | —   | —   | — | — |
| 30    | —        | 24 | 52  | 110 | 214 | 335 | —   | —   | —   | —   | —   | — | — |
| 40    | —        | —  | 37  | 68  | 122 | 205 | 308 | 429 | —   | —   | —   | — | — |
| 50    | —        | —  | —   | 51  | 85  | 133 | 206 | 300 | 348 | 408 | 460 | — | — |
| 60    | —        | —  | —   | 43  | 66  | 96  | 140 | 206 | 254 | 312 | 356 | — | — |
| 70    | —        | —  | —   | —   | 55  | 78  | 108 | 155 | 200 | 247 | 287 | — | — |
| 80    | —        | —  | —   | —   | —   | 68  | 90  | 125 | 165 | 208 | 246 | — | — |
| 90    | —        | —  | —   | —   | —   | —   | 79  | 107 | 140 | 178 | 218 | — | — |
| 100   | —        | —  | —   | —   | —   | —   | 71  | 94  | 122 | 158 | 196 | — | — |
| 110   | —        | —  | —   | —   | —   | —   | —   | 85  | 113 | 145 | 184 | — | — |

| Переход на 33n | $I_{da}$  | $\nu$ |
|----------------|-----------|-------|
| П1 — П1        | 284 — 332 | 51,5  |
| П1 — П2        | 302 — 360 | 54,5  |
| П2 — П3        | 330 — 370 | 58    |

Границы по сдвигу

|          |      |      |      |
|----------|------|------|------|
| $\nu$    | 0    | 49,5 | 59,4 |
| $I_{da}$ | 46,3 | 299  | 360  |

Рис. 4.79 Токвые характеристики электродов ВЛ80 и ВЛ80г (активный ток)

Ограничение по сцеплению

|          |    |    |     |     |      |     |      |      |     |      |      |     |
|----------|----|----|-----|-----|------|-----|------|------|-----|------|------|-----|
| $\nu$    | 0  | 1  | 8,5 | 15  | 21,8 | 29  | 36,5 | 43,5 | 50  | 53,6 | 57,5 | 61  |
| $I_{da}$ | 24 | 33 | 86  | 118 | 161  | 189 | 207  | 262  | 299 | 315  | 332  | 348 |

| Переход   | $I_{da}$  | $\nu$ |
|-----------|-----------|-------|
| НП — ОП1  | 260 — 326 | 52    |
| ОП1 — ОП2 | 287 — 340 | 56    |
| ОП2 — ОП3 | 295 — 360 | 59    |

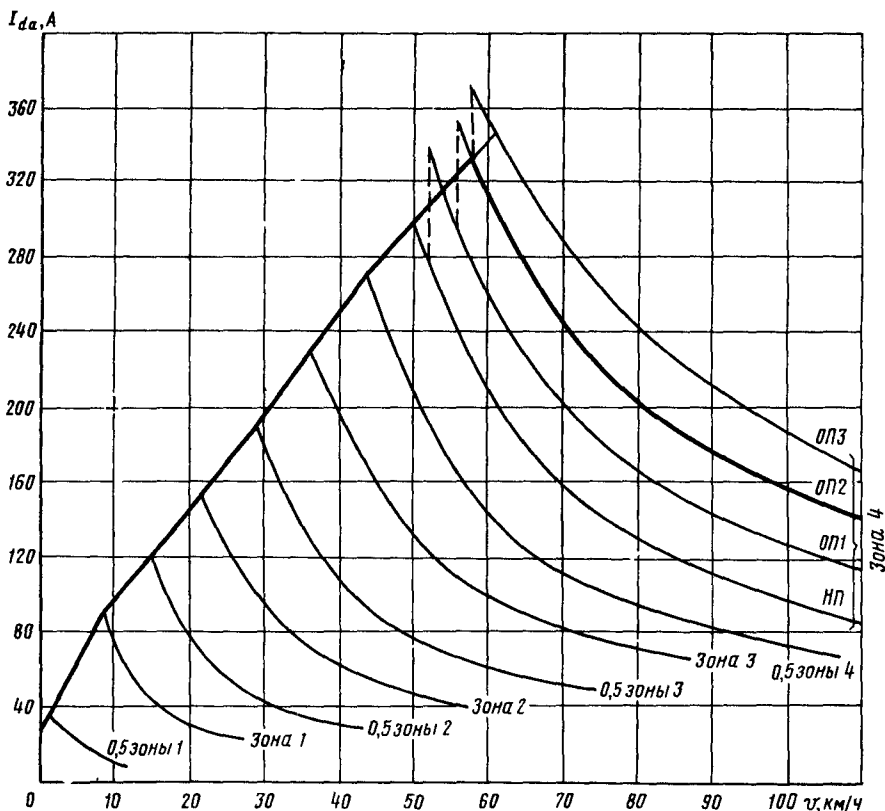


Рис. 480. Токвые характеристики электровоза ВЛ80Р (активный ток)

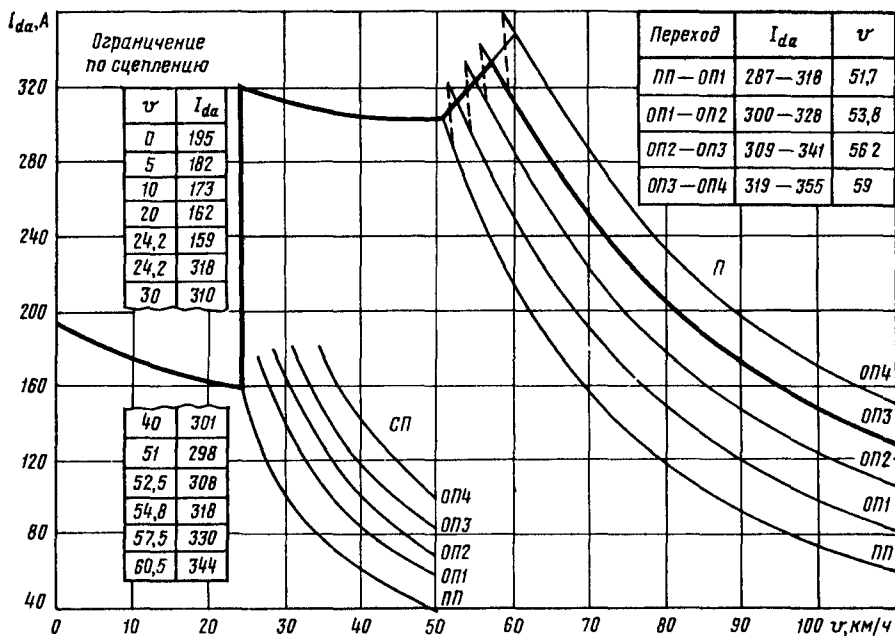


Рис 4 81 Токовые характеристики электровоза ВЛ82 (активный ток)

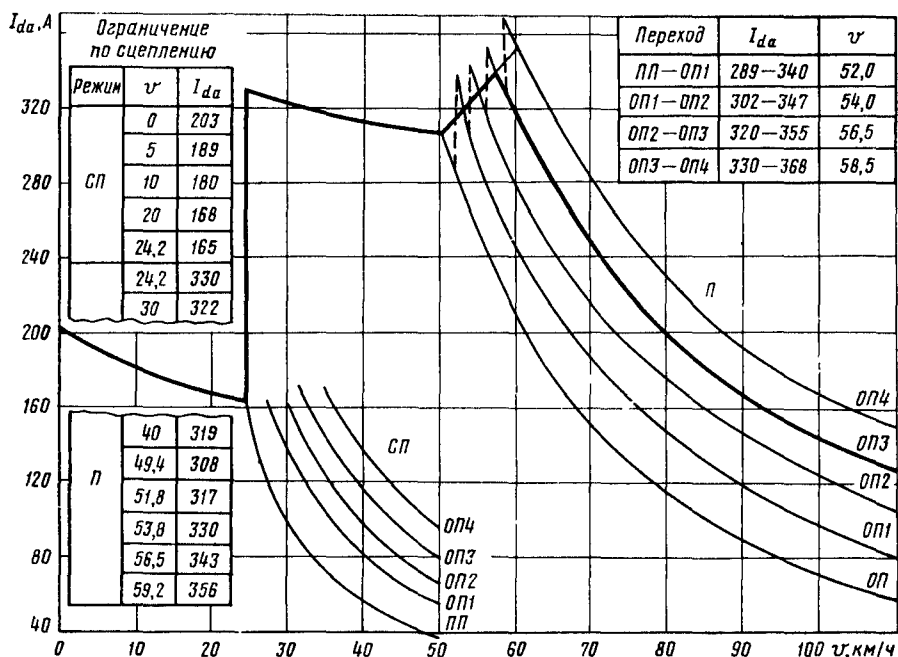


Рис. 4.82. Токовые характеристики электровоза ВЛ82<sup>М</sup> (активный ток)

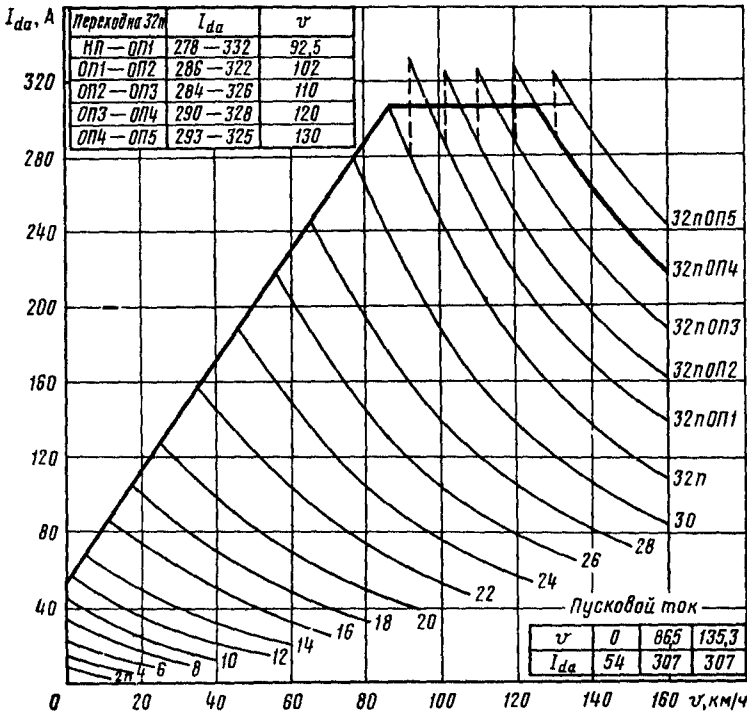


Рис. 4.83. Токowe характеристики электровозов ЧС4 и ЧС4Т (активный ток)

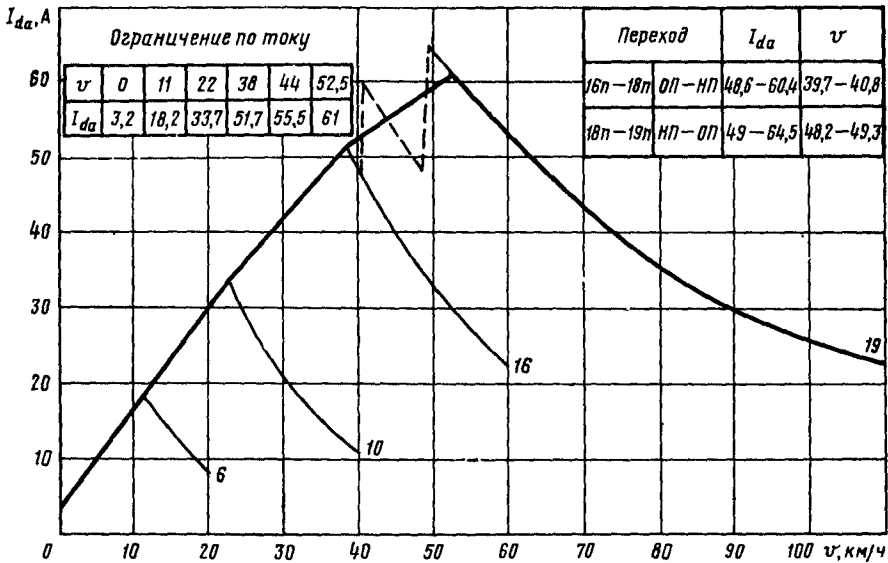


Рис. 4.84. Токowe характеристики моторного вагона электропоездов ЭР9, ЭР9П и ЭР9М (активный ток)

Ограничение по сцеплению, по  $I_d / I_R$

При  $c$

|       |      |     |      |      |      |      |      |      |      |      |      |      |      |      |
|-------|------|-----|------|------|------|------|------|------|------|------|------|------|------|------|
| $v$   | 12,7 | 13  | 13,5 | 13,8 | 14,2 | 15,4 | 17,2 | 20,6 | 24,6 | 25,3 | 27,0 | 28,4 | 31,8 | 37,4 |
| $I_d$ | 268  | 270 | 273  | 280  | 290  | 350  | 438  | 480  | 504  | 480  | 472  | 358  | 283  | 227  |

При  $c \cdot \Pi$

|       |      |      |      |      |      |      |      |      |      |      |      |     |
|-------|------|------|------|------|------|------|------|------|------|------|------|-----|
| $v$   | 24,2 | 25,0 | 25,4 | 26,0 | 27,0 | 28,8 | 31,5 | 37,6 | 49,9 | 53,8 | 64,6 |     |
| $I_d$ | 302  | 374  | 322  | 332  | 360  | 384  | 422  | 474  | 504  | 430  | 367  | 376 |

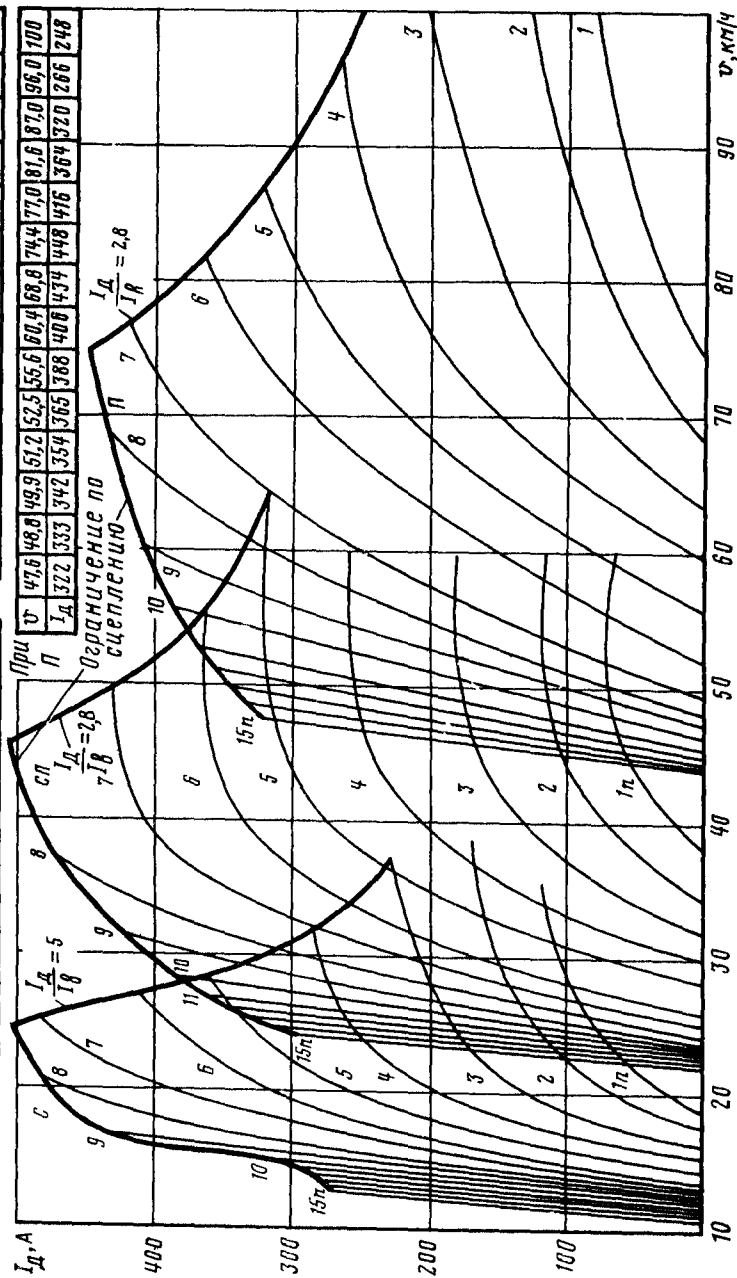


Рис. 4.85. Токвые характеристики тягового электродвигателя НБ-406 электровоза ВЛ8 при рекуперативном торможении

### Ограничение по сцеплению

|              |                      |      |      |      |      |      |      |      |      |     |
|--------------|----------------------|------|------|------|------|------|------|------|------|-----|
| <i>при С</i> | <i>v</i>             | 16,2 | 16,7 | 17,5 | 18,5 | 19,5 | 21   | 24,5 |      |     |
|              | <i>I<sub>д</sub></i> | 463  | 470  | 484  | 500  | 516  | 543  | 603  |      |     |
| <i>сп</i>    | <i>v</i>             | 30,8 | 31,3 | 32   | 32,8 | 34,6 | 37   | 40,8 | 50   |     |
|              | <i>I<sub>д</sub></i> | 422  | 428  | 435  | 444  | 464  | 490  | 529  | 625  |     |
| <i>п</i>     | <i>v</i>             | 59   | 60,8 | 62,2 | 63,3 | 66   | 68,7 | 72,8 | 78,1 | 90  |
|              | <i>I<sub>д</sub></i> | 440  | 446  | 450  | 454  | 464  | 473  | 496  | 504  | 543 |

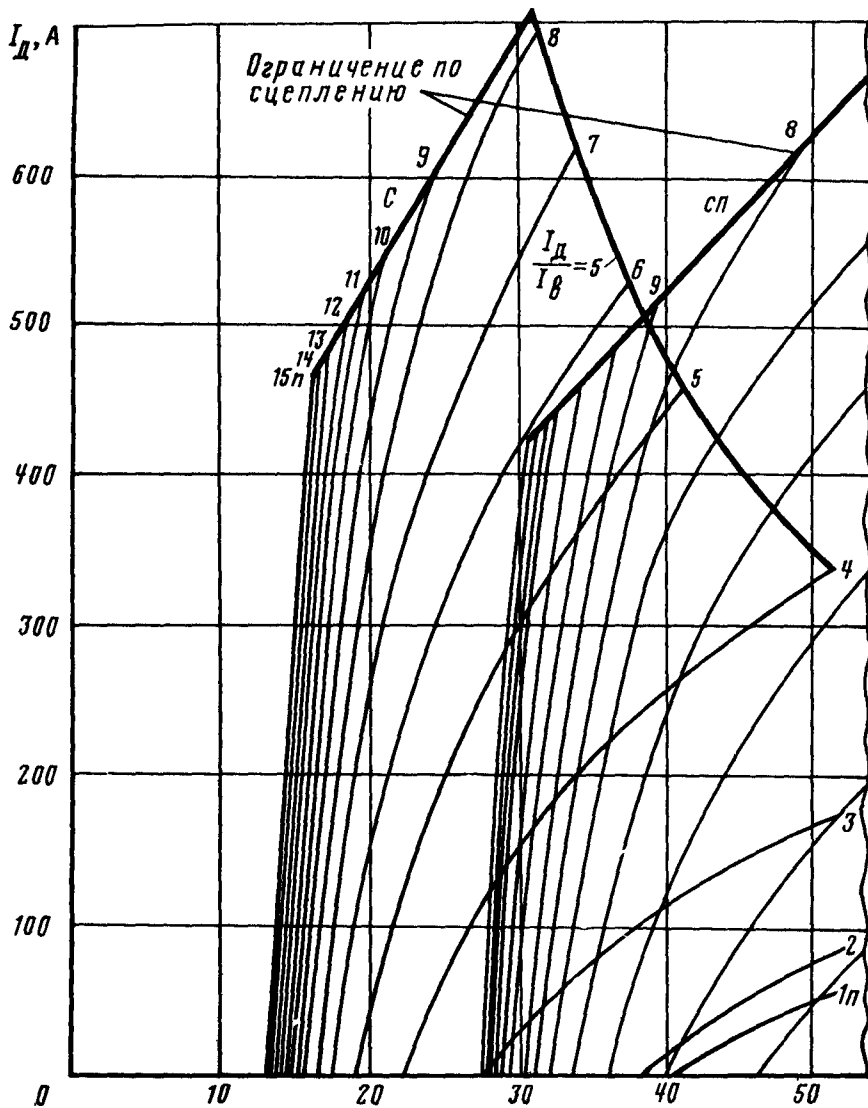
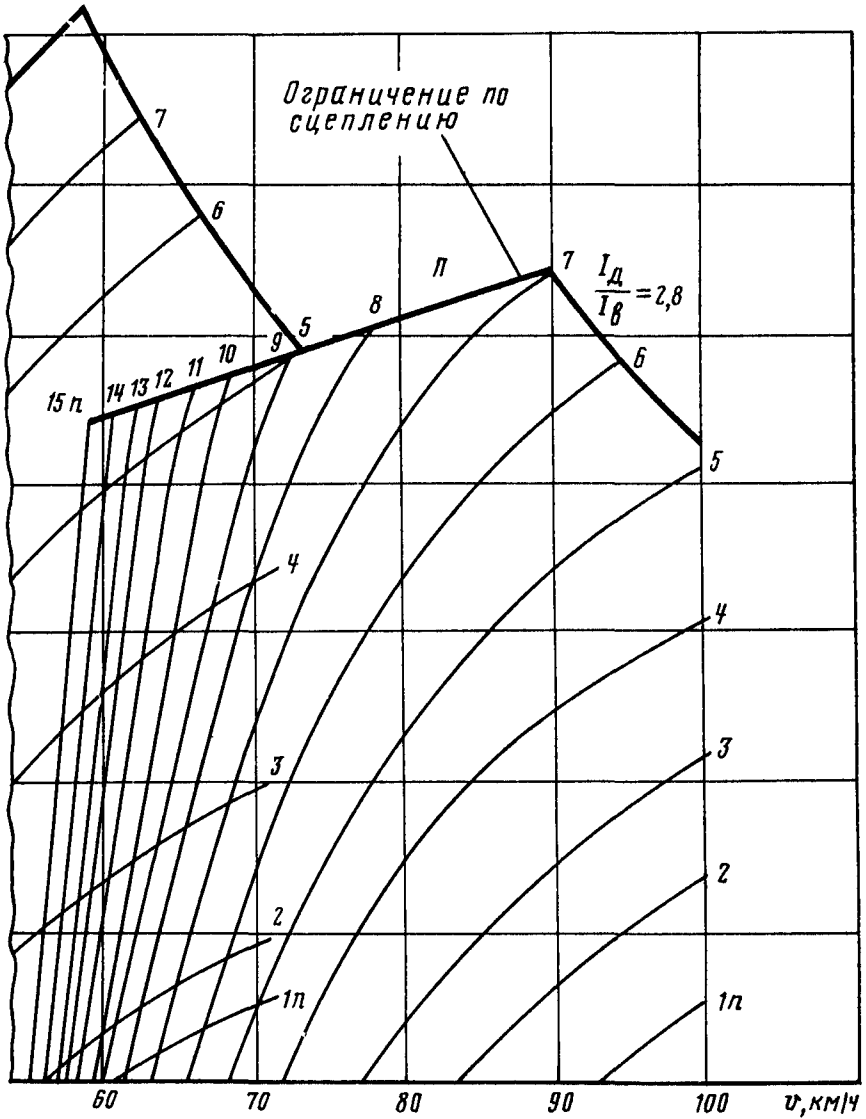


Рис. 4.86. Токовые характеристики тягового электродвигателя

Ограничение по  $I_D / I_B$

|       |       |      |      |      |      |     |      |
|-------|-------|------|------|------|------|-----|------|
| При с | $v$   | 31,5 | 31,9 | 34,1 | 37,3 | 41  | 51,4 |
|       | $I_D$ | 705  | 700  | 619  | 524  | 456 | 335  |
| СП    | $v$   | 59,0 | 62,5 | 66,7 | 73,4 |     |      |
|       | $I_D$ | 718  | 644  | 579  | 487  |     |      |
| П     | $v$   | 90   | 84,4 | 100  |      |     |      |
|       | $I_D$ | 543  | 483  | 424  |      |     |      |



ТЛ2К-1 электровоза ВЛ10 при рекуперативном торможении

Ограничение по сцеплению

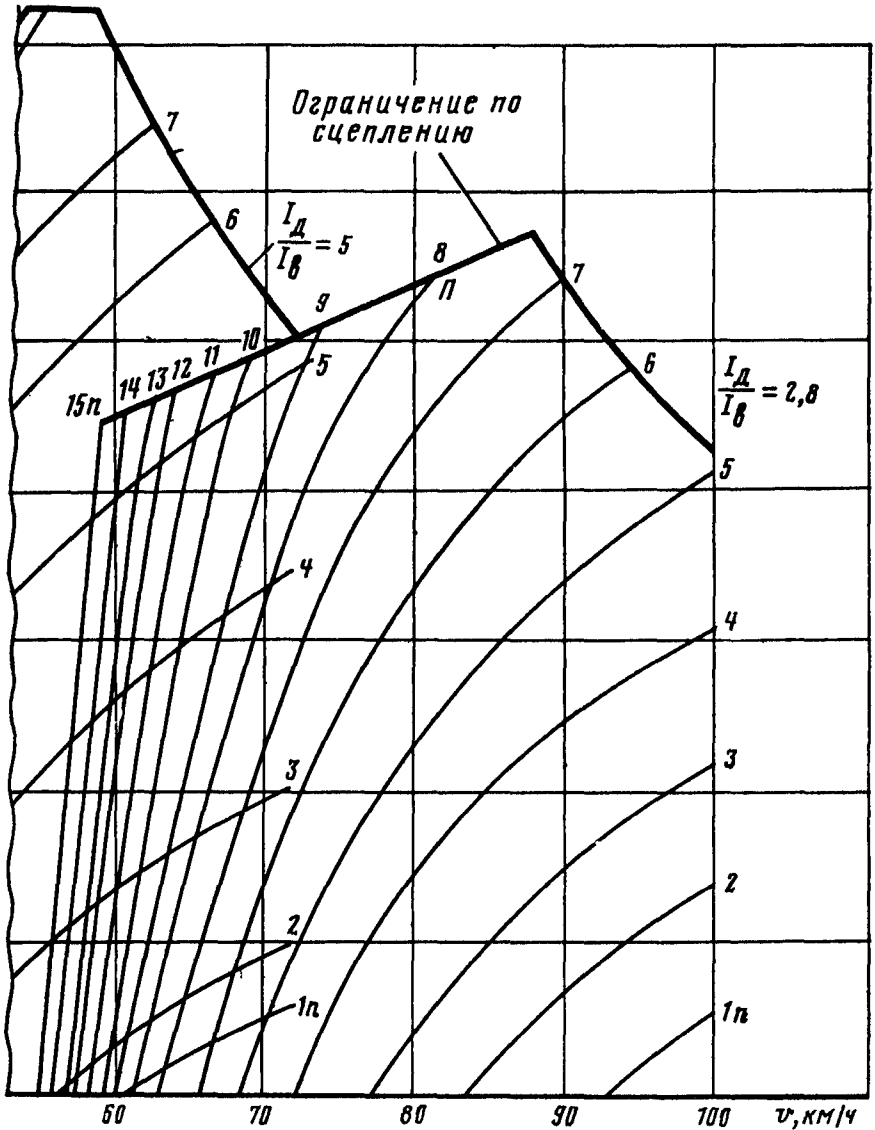
| Прис | U              | 16,7 | 17,4 | 18,5 | 19,6 | 20,8 | 22,7 | 27,1 |      |      |
|------|----------------|------|------|------|------|------|------|------|------|------|
|      | I <sub>д</sub> | 552  | 560  | 573  | 585  | 598  | 620  | 675  |      |      |
| СП   | U              | 31   | 31,8 | 32,7 | 33,5 | 35,8 | 38,8 | 43,1 | 54   |      |
|      | I <sub>д</sub> | 456  | 466  | 475  | 486  | 512  | 548  | 593  | 722  |      |
| П    | U              | 59,2 | 60,8 | 62,5 | 64,2 | 67,1 | 70,6 | 75,8 | 81,6 | 87,8 |
|      | I <sub>д</sub> | 445  | 452  | 460  | 467  | 478  | 489  | 510  | 544  | 573  |



Рис. 4.87. Токовые характеристики тягового электродвигателя

Ограничение по току (720А) и по  $I_D/I_B$

|       |       |      |      |      |      |      |      |
|-------|-------|------|------|------|------|------|------|
| При С | $v$   | 30,7 | 31,9 | 34,1 | 37,3 | 41   | 51,4 |
|       | $I_D$ | 718  | 698  | 615  | 525  | 455  | 336  |
| СП    | $v$   | 54   | 59   | 62,5 | 66,7 | 73,4 |      |
|       | $I_D$ | 722  | 722  | 645  | 579  | 488  |      |
| П     | $v$   | 87,8 | 90   | 94,4 | 100  |      |      |
|       | $I_D$ | 573  | 542  | 481  | 426  |      |      |



ТЛ2К-1 электровоза ВЛ10У при рекуперативном торможении

### Ограничение по сцеплению

|              |        |      |      |      |      |      |      |      |
|--------------|--------|------|------|------|------|------|------|------|
| <i>При С</i> | $\psi$ | 16,2 | 16,7 | 17,5 | 18,5 | 19,5 | 21   | 24,5 |
|              | $I_D$  | 463  | 470  | 484  | 500  | 516  | 543  | 603  |
| <i>СП</i>    | $\psi$ | 30,8 | 31,3 | 32   | 32,8 | 34,6 | 37   | 40,8 |
|              | $I_D$  | 422  | 428  | 436  | 444  | 464  | 490  | 529  |
| <i>П</i>     | $\psi$ | 59   | 60,8 | 62,2 | 63,3 | 66   | 68,7 | 72,8 |
|              | $I_D$  | 440  | 446  | 450  | 451  | 464  | 473  | 496  |

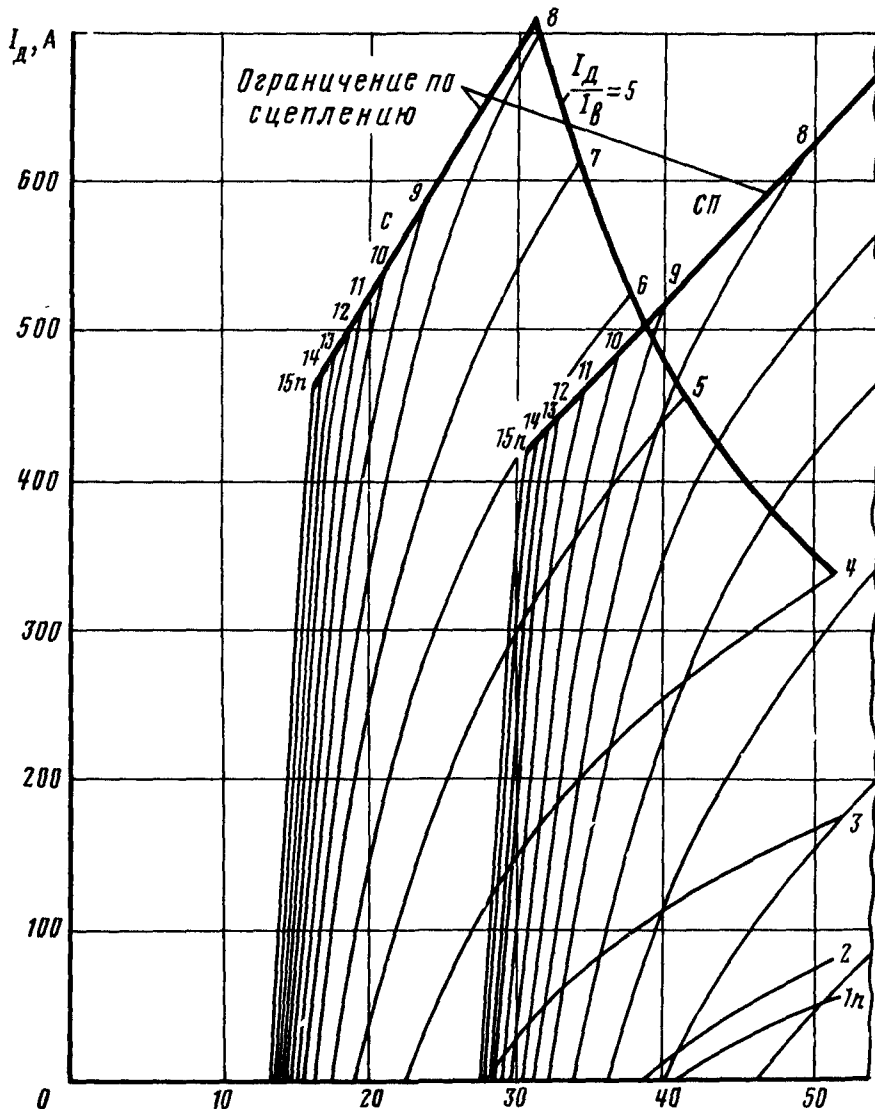
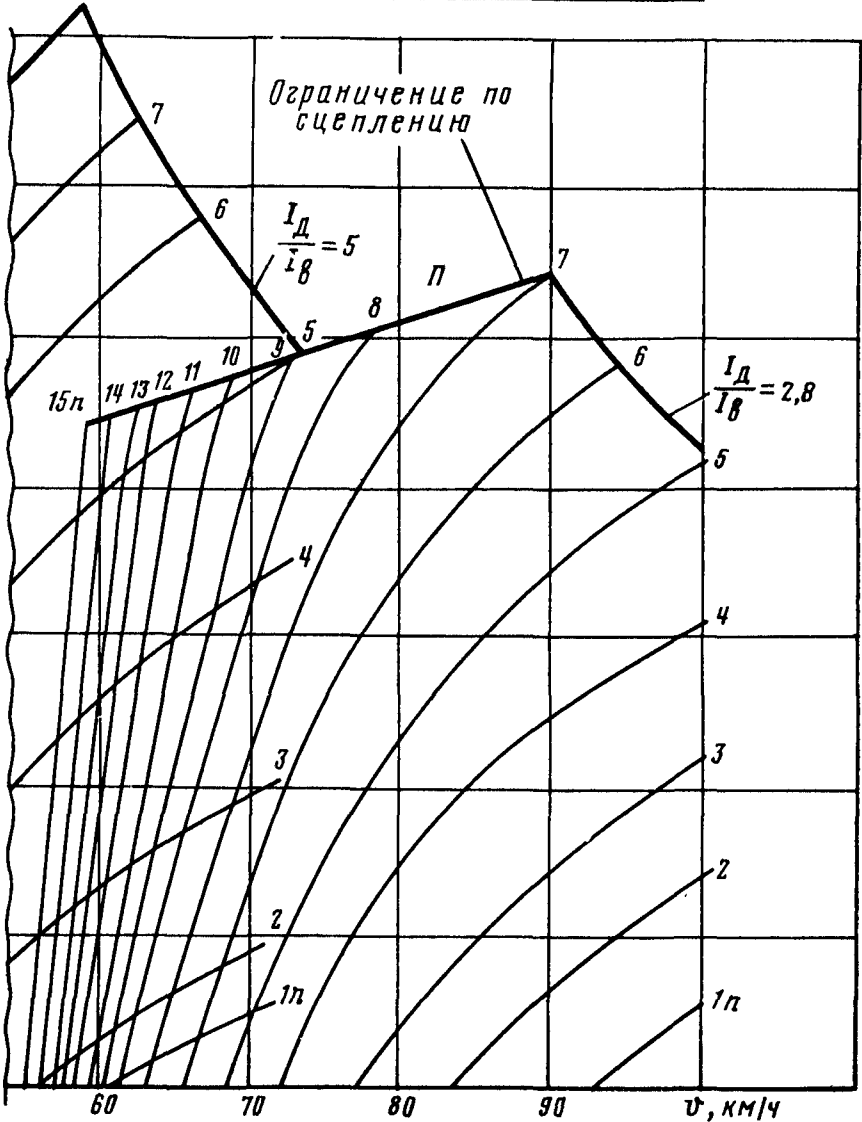


Рис 4.88. Токовые характеристики тягового электродвигателя

### Ограничение по $I_d / I_B$

|       |       |      |      |      |      |     |      |
|-------|-------|------|------|------|------|-----|------|
| При С | $v$   | 31,5 | 31,9 | 34,1 | 37,3 | 41  | 51,4 |
|       | $I_d$ | 705  | 700  | 619  | 524  | 456 | 335  |
| СП    | $v$   | 59,0 | 62,5 | 66,7 | 73,4 |     |      |
|       | $I_d$ | 718  | 644  | 579  | 487  |     |      |
| П     | $v$   | 90   | 94,4 | 100  |      |     |      |
|       | $I_d$ | 543  | 483  | 424  |      |     |      |



ТЛ2К-1 электровоза ВЛ11 при рекуперативном торможении (2 секции)

Ограничение по сцеплению

|       |       |      |      |      |      |      |      |      |     |
|-------|-------|------|------|------|------|------|------|------|-----|
| При с | $v$   | 12,4 | 13,2 | 14   | 15   | 16,6 | 21,2 |      |     |
|       | $I_d$ | 509  | 528  | 550  | 578  | 616  | 720  |      |     |
| СП    | $v$   | 33,8 | 33,7 | 34,9 | 38   | 41,8 | 46,9 | 57,8 |     |
|       | $I_d$ | 442  | 450  | 466  | 506  | 560  | 622  | 720  |     |
| П     | $v$   | 64   | 66   | 68   | 70,4 | 75   | 79   | 84,3 | 91  |
|       | $I_d$ | 464  | 470  | 474  | 479  | 490  | 498  | 510  | 526 |

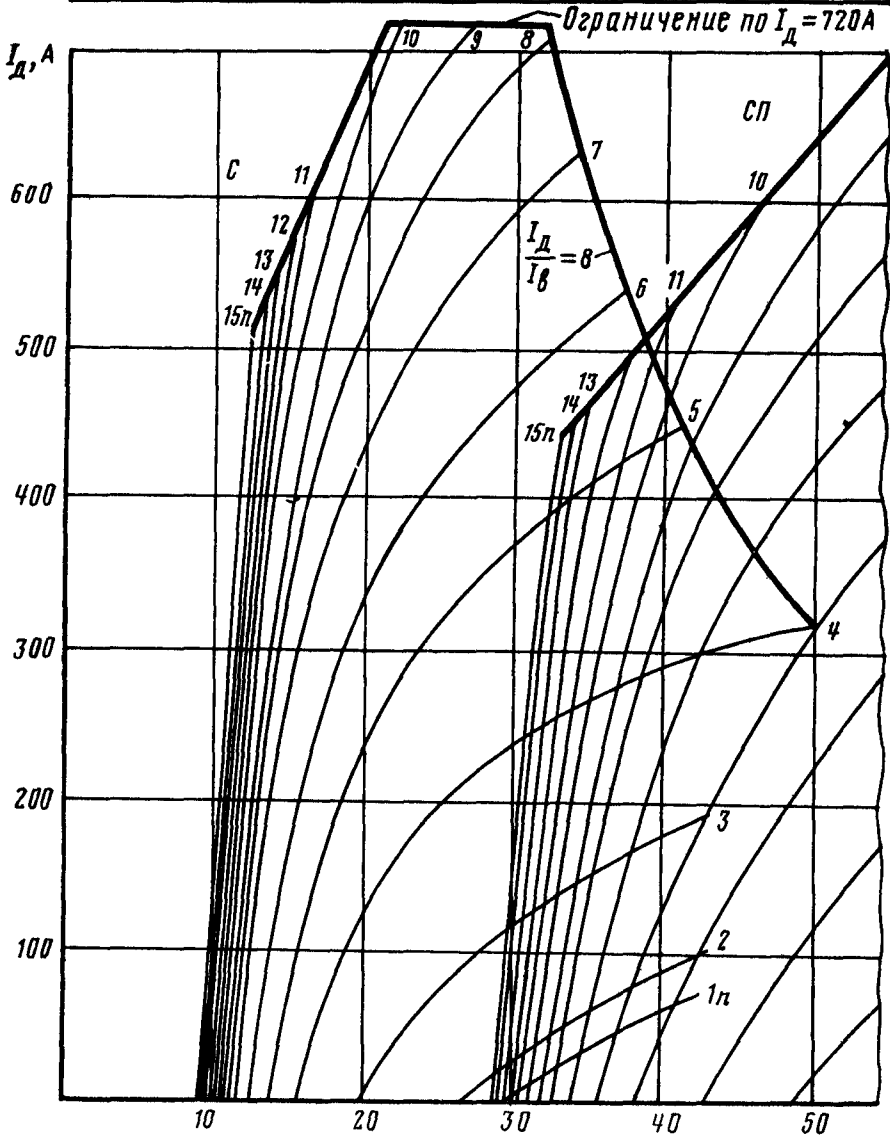
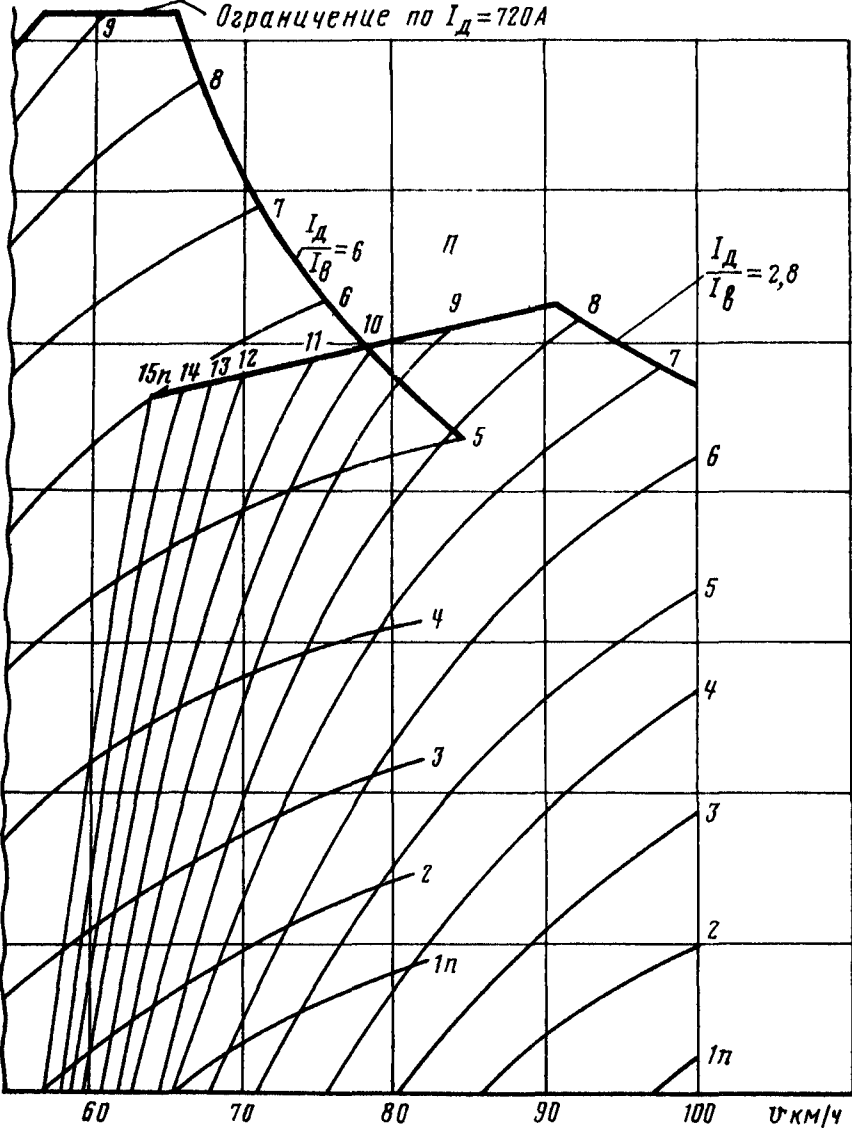


Рис. 4.89. Токвые характеристики тягового электродвигателя ТЛ2К-1

Ограничение по  $I_d/I_B$

|       |       |      |      |      |      |      |      |      |      |      |
|-------|-------|------|------|------|------|------|------|------|------|------|
| При С | $v$   | 21,2 | 22,2 | 27,2 | 32,1 | 32,2 | 34,2 | 37,4 | 41,2 | 50,0 |
|       | $I_d$ | 720  | 720  | 720  | 720  | 713  | 634  | 543  | 452  | 320  |
| СП    | $v$   | 57,0 | 61,0 | 65,8 | 67,2 | 71,0 | 75,6 | 85   |      |      |
|       | $I_d$ | 720  | 720  | 720  | 674  | 590  | 526  | 434  |      |      |
| П     | $v$   | 91   | 92,6 | 98,0 | 100  |      |      |      |      |      |
|       | $I_d$ | 526  | 516  | 484  | 472  |      |      |      |      |      |



электровоза ВЛ11 при рекуперативном торможении (3 секции)

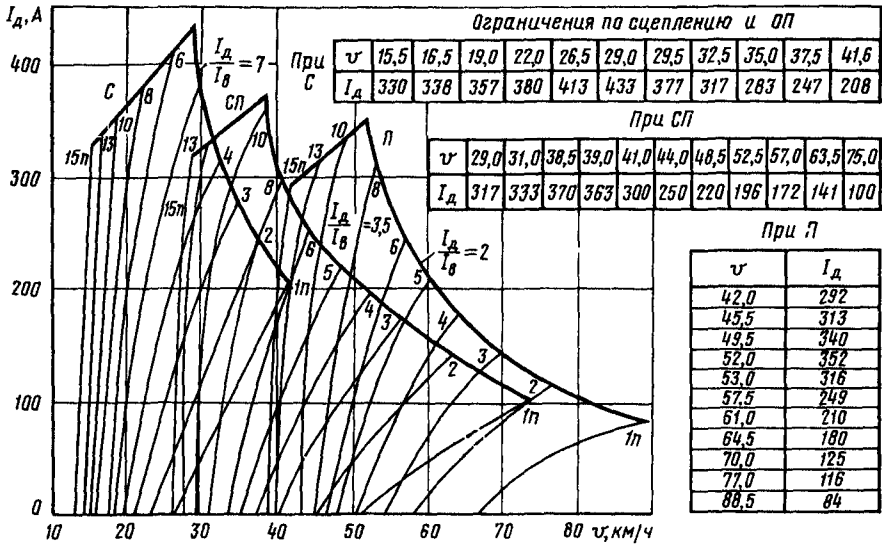


Рис. 4.90. Токвые характеристики тягового электродвигателя ДПЭ-400 электровоза ВЛ22<sup>м</sup> при рекуперативном торможении

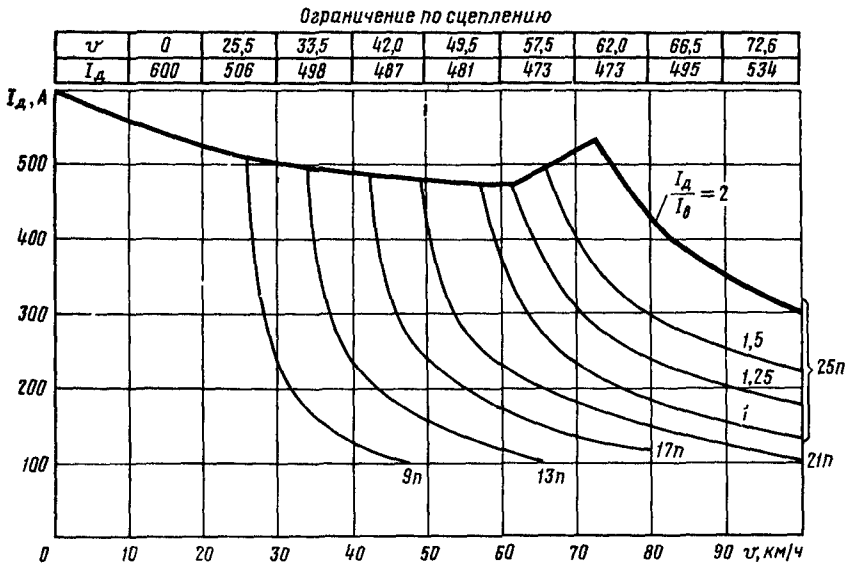


Рис. 4.91. Токвые характеристики тягового электродвигателя НБ-412К электровоза ВЛ60<sup>в</sup> при рекуперативном торможении

**Ограничение по току возбуждения, по сцеплению,  
по току продолжительного режима тормозных резисторов  
и по коммутации**

|       |     |      |     |     |      |      |      |     |     |     |      |     |     |     |     |     |
|-------|-----|------|-----|-----|------|------|------|-----|-----|-----|------|-----|-----|-----|-----|-----|
| $v$   | 10  | 19,5 | 25  | 30  | 31,5 | 31,5 | 37,5 | 40  | 50  | 60  | 66,5 | 80  | 89  | 95  | 100 | 110 |
| $I_d$ | 350 | 685  | 775 | 830 | 830  | 610  | 630  | 685 | 750 | 800 | 830  | 830 | 820 | 510 | 385 | 275 |

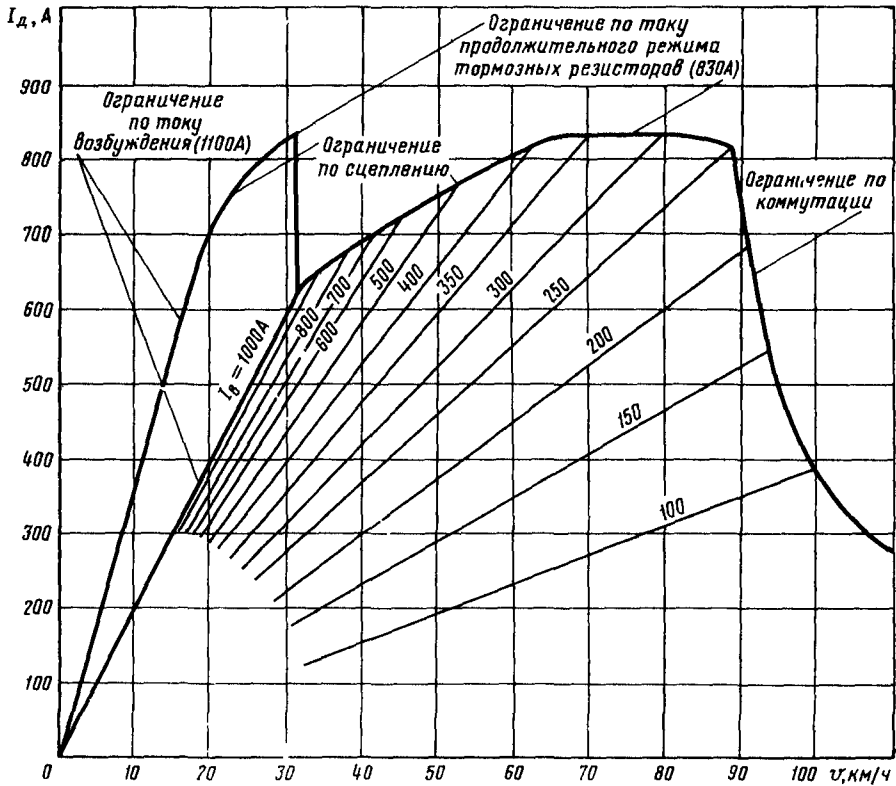


Рис. 4.92. Токвые характеристики тягового электродвигателя НБ-418К электровозов ВЛ80<sup>а</sup> с № 1173 и ВЛ80<sup>с</sup> при реостатном торможении

Ограничение по току возбуждения, по сцеплению,  
по току тормозных резисторов и по коммутации

|       |   |     |     |     |     |     |     |     |     |      |     |     |     |
|-------|---|-----|-----|-----|-----|-----|-----|-----|-----|------|-----|-----|-----|
| $v$   | 0 | 10  | 20  | 33  | 40  | 50  | 60  | 67  | 80  | 87,5 | 95  | 100 | 110 |
| $I_d$ | 0 | 195 | 385 | 635 | 695 | 760 | 810 | 830 | 830 | 825  | 445 | 370 | 275 |

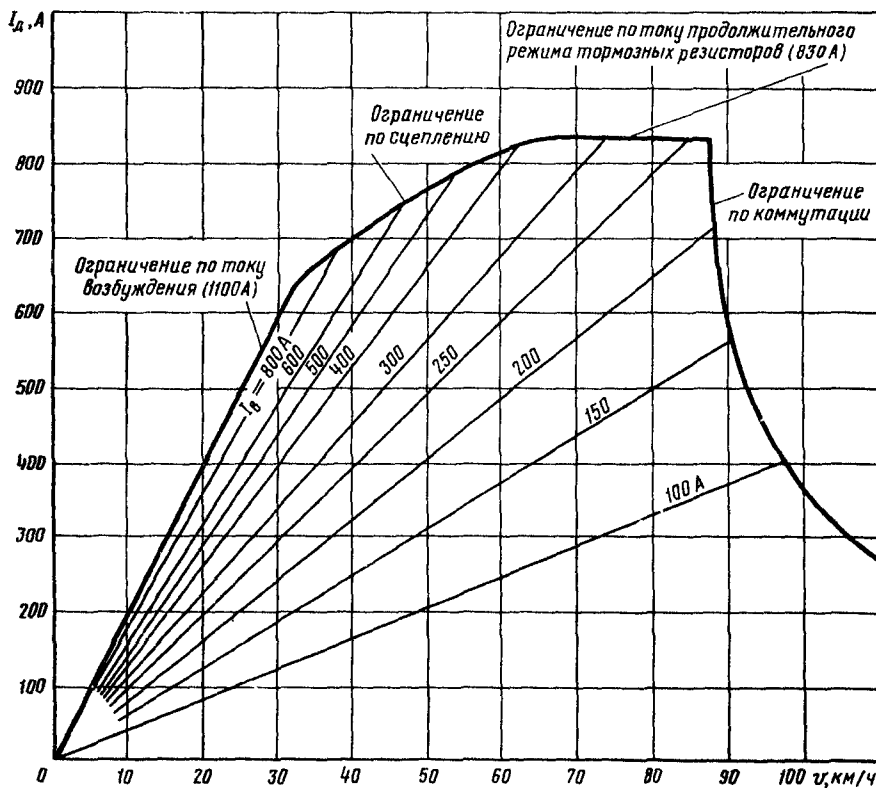


Рис. 493. Токвые характеристики тягового электродвигателя НБ-418К электровагона ВЛ180<sup>г</sup> до № 1173 при реостатном торможении

Скорости при  $I_d = v$

| $I_b$        | 880        |           |       |           |       |           |       |           | 800   | 700  | 600  | 500  | 400   | 300 | 270  |       |
|--------------|------------|-----------|-------|-----------|-------|-----------|-------|-----------|-------|------|------|------|-------|-----|------|-------|
| Режим работы | границный* | 0,5 зоны1 | Зона1 | 0,5 зоны2 | Зона2 | 0,5 зоны3 | Зона3 | 0,5 зоны4 | Зона4 |      |      |      | Зона4 |     |      |       |
| $v$          | 0          | 6,7       | 13,4  | 20,2      | 26,7  | 33,5      | 40,1  | 46,9      | 53,8  | 55,4 | 59,2 | 62,8 | 67,9  | 77  | 93,8 | 101,7 |

| Ограничение по сцеплению |              |            |           |       |           |       |           |       |           |       |      |      | Ограничение по току на коллекторе |       |      |       |       |     |     |
|--------------------------|--------------|------------|-----------|-------|-----------|-------|-----------|-------|-----------|-------|------|------|-----------------------------------|-------|------|-------|-------|-----|-----|
| $I_b$                    | 880          |            |           |       |           |       |           |       |           |       |      |      | 800                               | 700   | 600  | 500   | 400   | 300 | 270 |
| Режим работы             | начало зоны1 | границный* | 0,5 зоны1 | Зона1 | 0,5 зоны2 | Зона2 | 0,5 зоны3 | Зона3 | 0,5 зоны4 | Зона4 |      |      |                                   | Зона4 |      |       |       |     |     |
| $v$                      | 0            | 8,5        | 15,5      | 21,8  | 28,0      | 34,5  | 40,5      | 46,7  | 52,7      | 58,4  | 60,8 | 65,4 | 69,7                              | 75,5  | 84,5 | 101,5 | 108,5 |     |     |
| $I_d$                    | 804          | 805        | 740       | 705   | 680       | 670   | 665       | 660   | 657       | 655   | 690  | 765  | 815                               | 820   | 735  | 570   | 515   |     |     |

\* - граница перехода от рекуперативного торможения к торможению противовключением

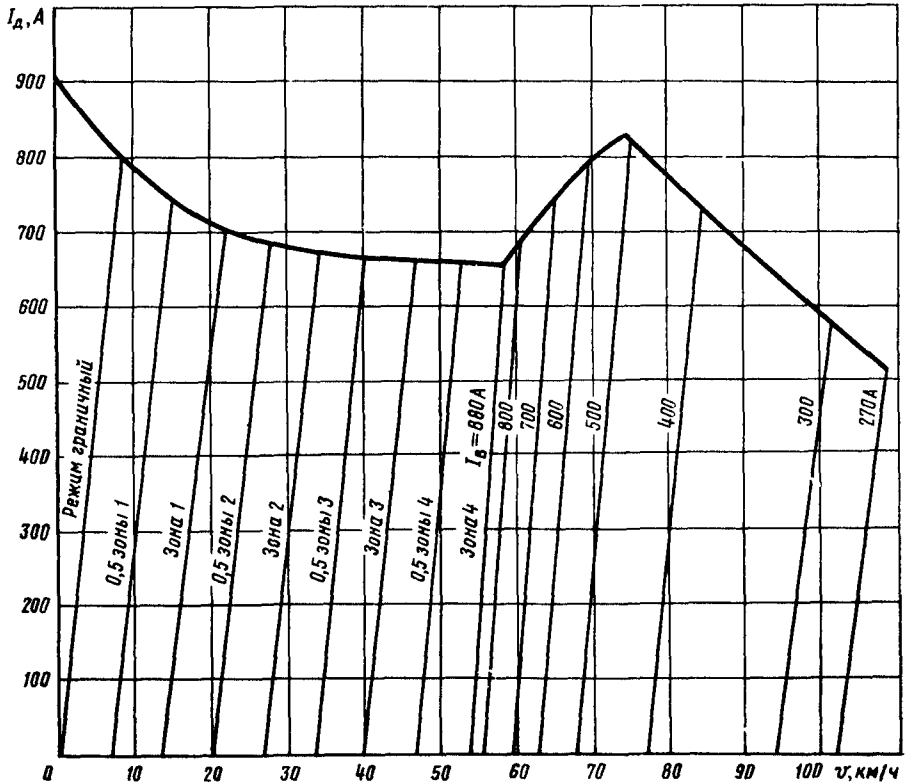


Рис. 4.94. Токвые характеристики тягового электродвигателя НБ-418К электровоза ВЛ80Р при рекуперативном торможении

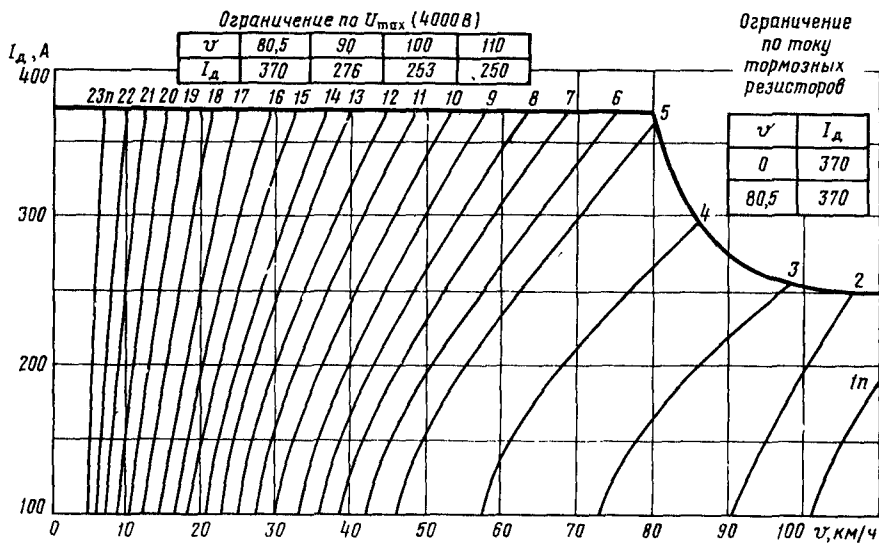


Рис. 4.95. Токвые характеристики тягового электродвигателя НВ-407Б электровозов ВЛ82 и ВЛ82<sup>м</sup> при реостатном торможении

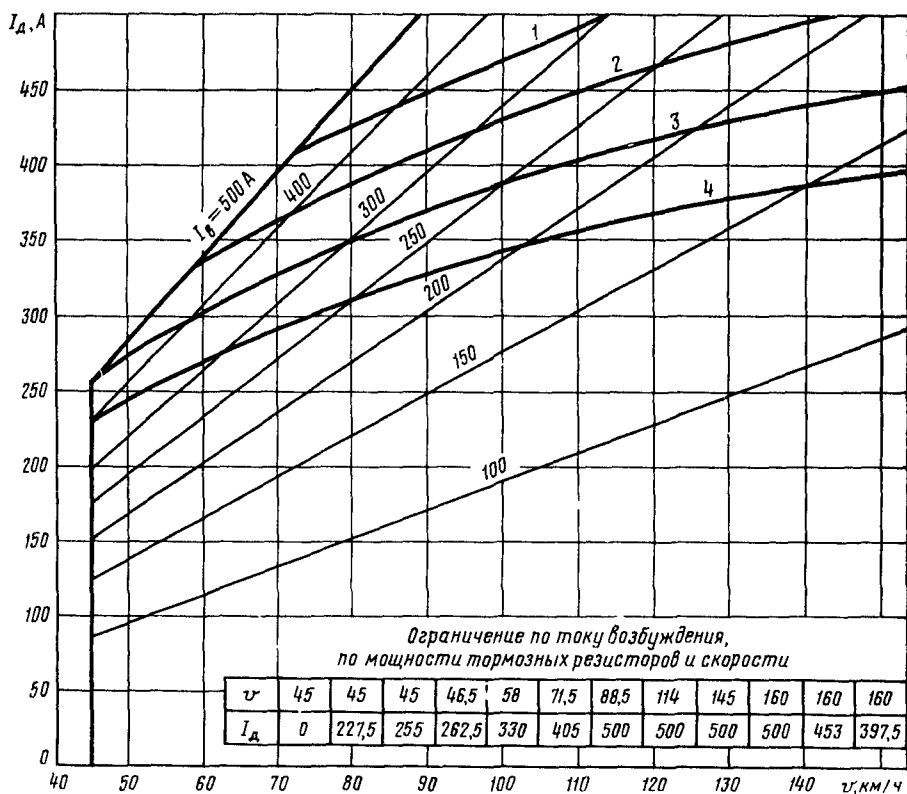
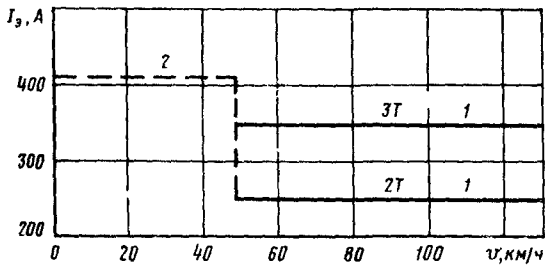


Рис. 4.96. Токвые характеристики тягового электродвигателя AL4846d<sup>т</sup> электровоза ЧС2<sup>т</sup> при реостатном торможении





**Зона рекуперации**

| Положение контроллера магнистра | $I_a$ | $v$    |
|---------------------------------|-------|--------|
| 3Т                              | 350   | 130—48 |
| 2Т                              | 250   | 130—48 |

Рис 4 99 Токowe характеристики моторного вагона с тяговым электродвигателем 1ДТ003 1 электропоезда ЭР22В при торможении  
1 — рекуперативное, 2 — реостатное

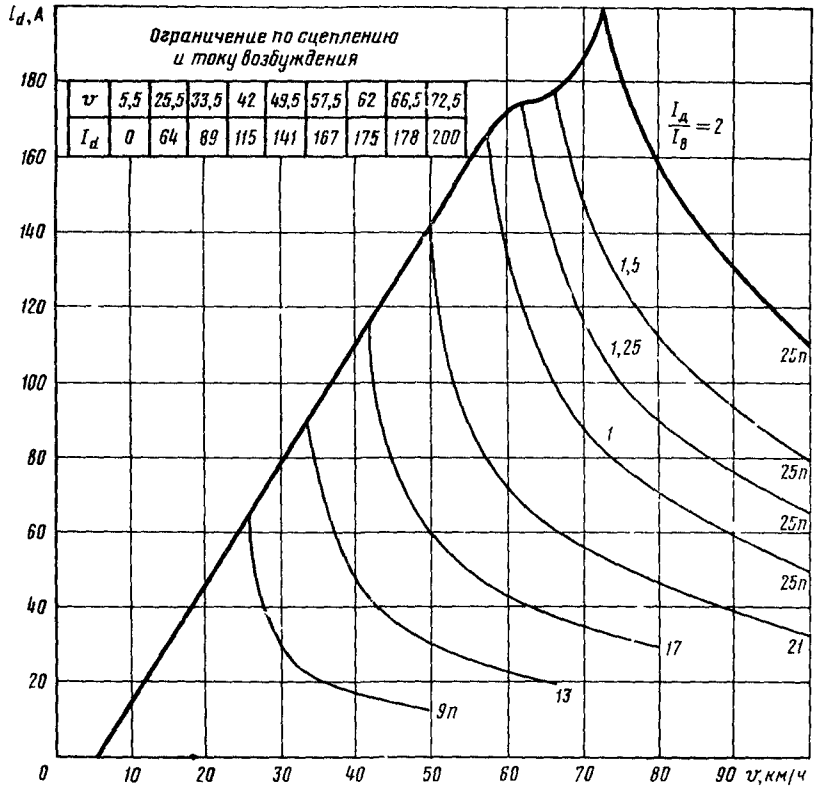


Рис 4 100 Токowe характеристики электропоезда ВЛ60Р при рекуперативном торможении (приведенный выпрямленный ток)

Скорости при  $I_d = 0$

|              |            |           |       |           |       |           |       |           |       |      |      |      |      |      |      |       |
|--------------|------------|-----------|-------|-----------|-------|-----------|-------|-----------|-------|------|------|------|------|------|------|-------|
| $I_B$        | 880        |           |       |           |       |           |       |           |       | 800  | 700  | 600  | 500  | 400  | 300  | 270   |
| Режим работы | границный* | 0,5 зоны1 | Зона1 | 0,5 зоны2 | Зона2 | 0,5 зоны3 | Зона3 | 0,5 зоны4 | Зона4 |      |      |      |      |      |      |       |
| $v$          | 0          | 6,7       | 13,4  | 20,2      | 26,7  | 33,5      | 40,1  | 46,9      | 53,8  | 55,4 | 59,2 | 62,8 | 67,9 | 77,0 | 93,8 | 101,7 |

|                          |              |            |           |       |           |       |           |       |           |       |      |      |   |      |      |       |       |
|--------------------------|--------------|------------|-----------|-------|-----------|-------|-----------|-------|-----------|-------|------|------|---|------|------|-------|-------|
| Ограничение по сцеплению |              |            |           |       |           |       |           |       |           |       |      |      | Ограничение по току съему на коллекторе |      |      |       |       |
| $I_B$                    | 880          |            |           |       |           |       |           |       |           | 800   | 700  | 600  | 500                                     | 400  | 300  | 270   |       |
| Режим работы             | начало зоны1 | границный* | 0,5 зоны1 | Зона1 | 0,5 зоны2 | Зона2 | 0,5 зоны3 | Зона3 | 0,5 зоны4 | Зона4 |      |      |   |      |      |       |       |
| $v$                      | 0            | 8,5        | 15,5      | 21,8  | 28,0      | 34,5  | 40,5      | 46,7  | 52,7      | 58,4  | 60,8 | 65,4 | 69,7                                    | 75,5 | 84,5 | 101,5 | 103,5 |
| $I_d$                    | 99,0         | 82         | 76        | 80    | 95        | 132   | 168       | 208   | 244       | 280   | 295  | 324  | 352                                     | 350  | 329  | 250   | 220   |

\* - граница перехода от режима рекуперативного торможения к торможению противобуксующим

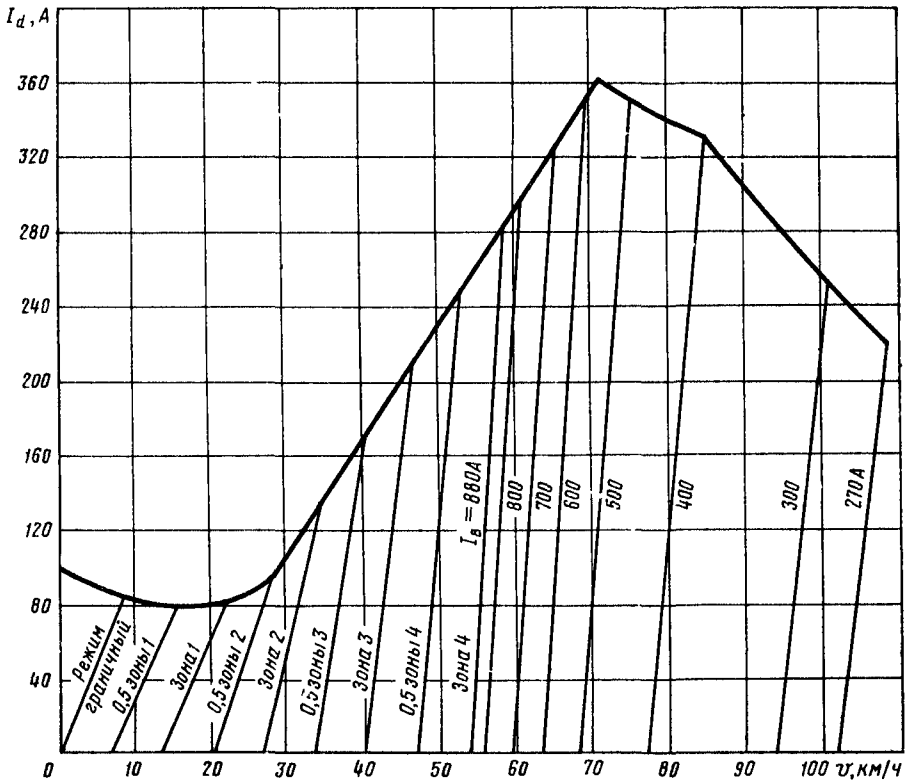


Рис. 4.101. Токовые характеристики электровоза ВЛ80<sup>Р</sup> при рекуперативном торможении (приведенный выпрямленный ток)

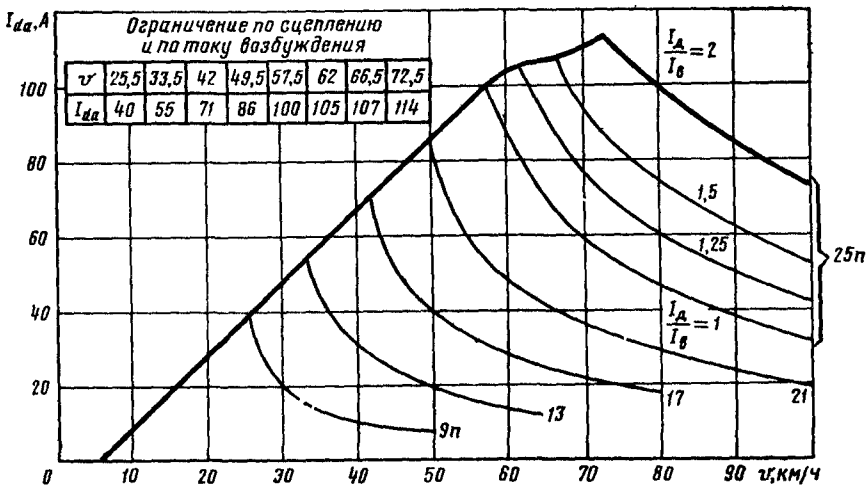


Рис. 4.102. Токовые характеристики электровоза ВЛ160<sup>р</sup> при рекуперативном торможении (активный ток)

Скорости при  $I_{da}=0$

|              |        |            |        |            |        |            |        |      |      |      |      |      |      |       |
|--------------|--------|------------|--------|------------|--------|------------|--------|------|------|------|------|------|------|-------|
| $I_B$        | 880    |            |        |            |        |            | 800    | 700  | 600  | 500  | 400  | 300  | 270  |       |
| Режим работы | Зона 1 | 0,5 зоны 2 | Зона 2 | 0,5 зоны 3 | Зона 3 | 0,5 зоны 4 | Зона 4 |      |      |      |      |      |      |       |
| $v$          | 13,4   | 20,2       | 26,7   | 33,5       | 40,1   | 46,9       | 53,8   | 55,4 | 59,2 | 62,8 | 67,9 | 77,0 | 93,8 | 101,7 |

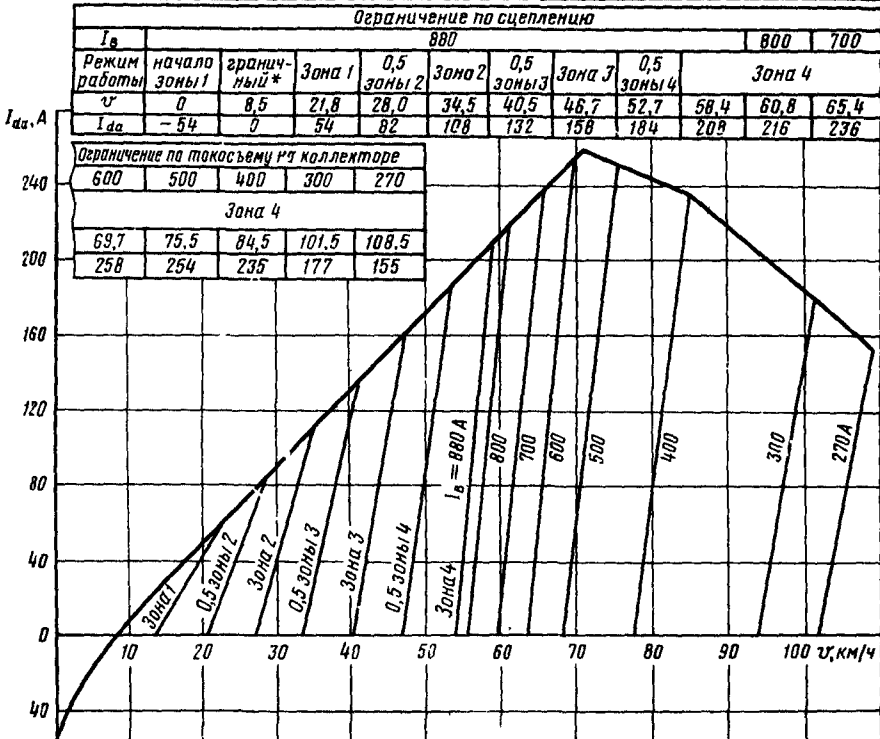
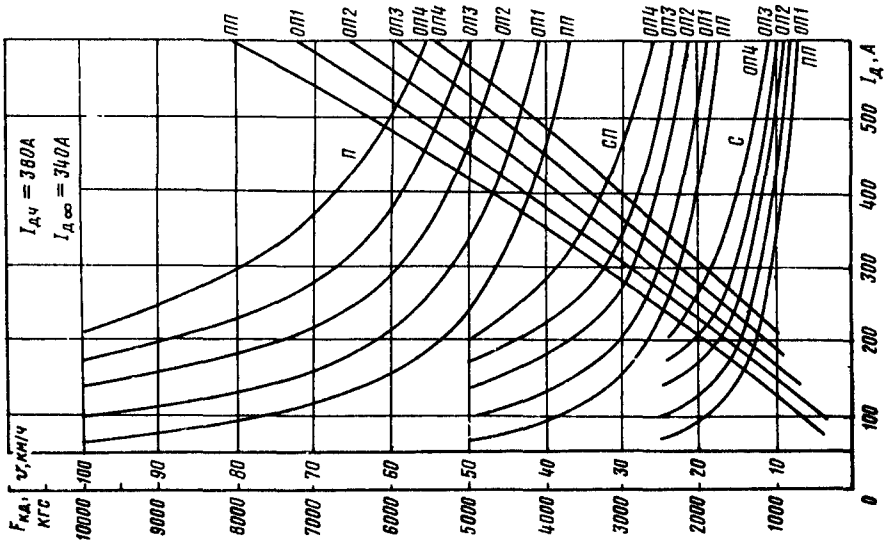


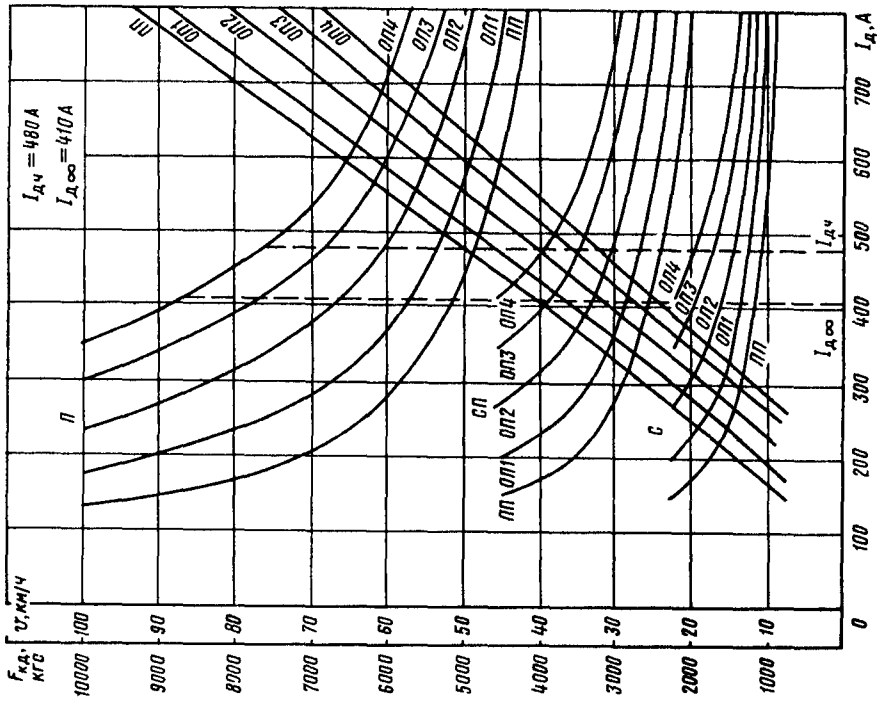
Рис. 4.103. Токовые характеристики электровоза ВЛ180<sup>р</sup> при рекуперативном торможении (активный ток)



| I <sub>d</sub> | Полное возбуждение |      |      |       |       |      | 0П1(75%)        |      |       |      |      |      | 0П2(55%)        |      |      |      |       |      | 0П3(43%)        |      |   |   |    |   | 0П4(36%)        |    |   |   |  |  |
|----------------|--------------------|------|------|-------|-------|------|-----------------|------|-------|------|------|------|-----------------|------|------|------|-------|------|-----------------|------|---|---|----|---|-----------------|----|---|---|--|--|
|                | F <sub>kA</sub>    |      |      | v     |       |      | F <sub>kA</sub> |      |       | v    |      |      | F <sub>kA</sub> |      |      | v    |       |      | F <sub>kA</sub> |      |   | v |    |   | F <sub>kA</sub> |    |   | v |  |  |
|                | C                  | СП   | П    | C     | СП    | П    | C               | СП   | П     | C    | СП   | П    | C               | СП   | П    | C    | СП    | П    | C               | СП   | П | C | СП | П | C               | СП | П |   |  |  |
| 68             | 250                | 24,5 | 49,7 | 100,0 | —     | —    | —               | —    | —     | —    | —    | —    | —               | —    | —    | —    | —     | —    | —               | —    | — | — | —  | — | —               | —  | — |   |  |  |
| 80             | 360                | 21,8 | 44,3 | 98,5  | —     | —    | —               | —    | —     | —    | —    | —    | —               | —    | —    | —    | —     | —    | —               | —    | — | — | —  | — | —               | —  | — |   |  |  |
| 90             | 470                | 19,8 | 40,8 | 92,0  | —     | —    | —               | —    | —     | —    | —    | —    | —               | —    | —    | —    | —     | —    | —               | —    | — | — | —  | — | —               | —  | — |   |  |  |
| 100            | 580                | 18,6 | 38,0 | 87,0  | 4,30  | 24,2 | 48,4            | 100  | —     | —    | —    | —    | —               | —    | —    | —    | —     | —    | —               | —    | — | — | —  | — | —               | —  | — |   |  |  |
| 140            | 1050               | 15,0 | 31,1 | 63,0  | 88,0  | 18,2 | 37,7            | 76,3 | 64,0  | 24,8 | 49,3 | 100  | —               | —    | —    | —    | —     | —    | —               | —    | — | — | —  | — | —               | —  | — |   |  |  |
| 150            | 1180               | 14,5 | 29,9 | 60,9  | 100,0 | 17,2 | 35,7            | 72,6 | 75,5  | 22,4 | 46,2 | 94,0 | —               | —    | —    | —    | —     | —    | —               | —    | — | — | —  | — | —               | —  | — |   |  |  |
| 175            | 1510               | 13,4 | 27,8 | 56,7  | 128,5 | 15,8 | 32,8            | 67,0 | 103,0 | 19,7 | 41,0 | 83,5 | 84,0            | 23,5 | 49,0 | 100  | —     | —    | —               | —    | — | — | —  | — | —               | —  | — |   |  |  |
| 200            | 1840               | 12,5 | 26,3 | 53,7  | 159,5 | 14,6 | 30,8            | 62,3 | 132,0 | 17,7 | 37,0 | 75,8 | 109,0           | 21,0 | 44,0 | 90,0 | —     | —    | —               | —    | — | — | —  | — | —               | —  | — |   |  |  |
| 210            | 1970               | 12,3 | 25,8 | 52,7  | 172,0 | 14,2 | 29,8            | 61,0 | 144,0 | 17,0 | 35,7 | 73,2 | 120,0           | 20,1 | 42,2 | 86,4 | 97,0  | 23,3 | 49,0            | 100  | — | — | —  | — | —               | —  | — |   |  |  |
| 250            | 2320               | 11,4 | 24,0 | 49,6  | 222,0 | 13,0 | 27,5            | 56,5 | 194,0 | 15,0 | 31,6 | 65,0 | 164,5           | 17,3 | 36,9 | 76,0 | 136,0 | 20,6 | 43,8            | 90,0 | — | — | —  | — | —               | —  | — |   |  |  |
| 300            | 3230               | 10,5 | 22,3 | 46,3  | 288,0 | 11,8 | 25,3            | 52,4 | 256,0 | 13,3 | 28,7 | 59,3 | 274,0           | 15,2 | 32,7 | 67,7 | 189,0 | 18,1 | 38,8            | 80,5 | — | — | —  | — | —               | —  | — |   |  |  |
| 340            | 3780               | 9,9  | 21,3 | 44,3  | 342,0 | 11,1 | 24,0            | 50,0 | 306,0 | 12,4 | 27,0 | 56,1 | 273,0           | 14,0 | 30,4 | 63,2 | 234,0 | 16,3 | 34,9            | 73,0 | — | — | —  | — | —               | —  | — |   |  |  |
| 350            | 3860               | 9,7  | 21,0 | 43,8  | 355,0 | 10,9 | 23,7            | 49,5 | 319,0 | 12,2 | 26,6 | 55,4 | 285,0           | 13,7 | 29,9 | 62,4 | 245,0 | 15,7 | 34,9            | 73,0 | — | — | —  | — | —               | —  | — |   |  |  |
| 380            | 4420               | 9,3  | 20,0 | 42,6  | 397,0 | 10,5 | 23,0            | 48,0 | 358,0 | 11,6 | 25,7 | 53,6 | 320,0           | 13,1 | 28,8 | 60,2 | 280,0 | 15,1 | 33,2            | 69,4 | — | — | —  | — | —               | —  | — |   |  |  |
| 400            | 4720               | 9,1  | 20,0 | 41,9  | 426,0 | 10,2 | 22,4            | 47,0 | 383,0 | 11,3 | 25,1 | 52,5 | 343,0           | 12,7 | 28,1 | 58,9 | 302,0 | 14,6 | 32,2            | 67,4 | — | — | —  | — | —               | —  | — |   |  |  |
| 450            | 5490               | 8,6  | 19,1 | 40,4  | 497,0 | 9,6  | 21,4            | 45,2 | 448,0 | 10,6 | 23,9 | 50,4 | 406,0           | 11,8 | 26,5 | 56,0 | 352,0 | 13,4 | 30,0            | 63,2 | — | — | —  | — | —               | —  | — |   |  |  |
| 500            | 6270               | 8,1  | 18,4 | 39,0  | 568,0 | 9,0  | 20,6            | 43,6 | 514,0 | 10,0 | 22,9 | 48,6 | 469,0           | 11,1 | 25,3 | 53,7 | 421,0 | 12,4 | 28,2            | 60,0 | — | — | —  | — | —               | —  | — |   |  |  |
| 550            | 7090               | 7,7  | 17,7 | 37,8  | 642,0 | 8,5  | 19,8            | 42,3 | 581,0 | 9,5  | 22,1 | 47,0 | 528,0           | 10,5 | 24,3 | 52,0 | 480,0 | 11,6 | 27,0            | 57,6 | — | — | —  | — | —               | —  | — |   |  |  |
| 600            | 7940               | 7,2  | 17,0 | 36,8  | 716,0 | 8,1  | 19,3            | 41,0 | 649,0 | 9,0  | 21,3 | 45,8 | 590,0           | 9,9  | 23,5 | 50,5 | 536,0 | 11,0 | 25,9            | 55,7 | — | — | —  | — | —               | —  | — |   |  |  |

Рис. 4.104. Характеристики тягового электродвигателя НБ-406  
электровоза ВЛ8





| $I_d$ | ПП       |       |      | ПП1 (15%) |       |      | ПП2 (55%) |      |       | ПП3 (43%) |      |      | ПП4 (36%) |      |      |
|-------|----------|-------|------|-----------|-------|------|-----------|------|-------|-----------|------|------|-----------|------|------|
|       | $F_{кА}$ | $U$   | $C$  | $F_{кА}$  | $U$   | $C$  | $F_{кА}$  | $U$  | $C$   | $F_{кА}$  | $U$  | $C$  | $F_{кА}$  | $U$  | $C$  |
| 150   | 810      | 172,1 | 46,5 | 167,5     | —     | —    | —         | —    | —     | —         | —    | —    | —         | —    | —    |
| 200   | 1400     | 173,3 | 35,4 | 107,6     | 72,1  | 46,5 | 180,0     | —    | —     | —         | —    | —    | —         | —    | —    |
| 250   | 2040     | 147,3 | 31,4 | 63,9      | 162,0 | 18,8 | 37,5      | 76,2 | 125,0 | —         | —    | —    | —         | —    | —    |
| 300   | 2500     | 134,4 | 28,6 | 58,0      | 220,0 | 16,0 | 33,2      | 67,7 | 181,0 | 20,3      | 44,5 | 83,8 | 140,0     | —    | —    |
| 350   | 3200     | 127,5 | 26,7 | 54,5      | 286,0 | 14,2 | 30,3      | 61,8 | 240,0 | 17,6      | 38,4 | 74,3 | 200,0     | 22,1 | 45,1 |
| 400   | 3860     | 120,0 | 25,4 | 52,2      | 354,0 | 13,0 | 28,6      | 57,3 | 300,0 | 16,0      | 33,7 | 67,5 | 250,0     | 19,6 | 39,5 |
| 480   | 4970     | 110,0 | 23,6 | 48,7      | 457,0 | 12,3 | 26,5      | 53,5 | 400,0 | 14,2      | 30,7 | 60,2 | 352,0     | 17,2 | 34,6 |
| 550   | 5960     | 103,5 | 22,5 | 46,7      | 553,0 | 11,5 | 25,0      | 50,5 | 493,0 | 13,3      | 28,4 | 56,5 | 440,0     | 15,0 | 32,0 |
| 600   | 6650     | 100,0 | 21,9 | 45,4      | 622,0 | 11,3 | 24,5      | 49,7 | 556,0 | 12,7      | 27,7 | 54,7 | 500,0     | 14,2 | 30,7 |
| 700   | 8000     | 92,2  | 20,8 | 43,5      | 757,0 | 10,4 | 23,0      | 46,4 | 687,0 | 12,0      | 25,5 | 51,6 | 625,0     | 13,0 | 28,6 |
| 800   | 9360     | 88,0  | 19,8 | 41,8      | 890,0 | 10,0 | 21,8      | 44,5 | 817,0 | 11,5      | 24,5 | 49,8 | 746,0     | 12,5 | 27,0 |

Рис. 4.106. Характеристики тягового электродвигателя Т-1-2К, электровоза ВЛ11

| $I_d$ | ПП         |      |      |       |       |  | ОНП(67%)   |      |      |       |       |   | ОНП(50%)   |      |      |       |  |  |
|-------|------------|------|------|-------|-------|--|------------|------|------|-------|-------|---|------------|------|------|-------|--|--|
|       | $F_{к.д.}$ | $C$  | $СП$ | $\Pi$ | $\nu$ |  | $F_{к.д.}$ | $C$  | $СП$ | $\Pi$ | $\nu$ |   | $F_{к.д.}$ | $C$  | $СП$ | $\Pi$ |  |  |
| 50    | 242        | 24,2 | 48,9 | 73,5  | —     |  | —          | —    | —    | —     |       | — | —          | —    | —    | —     |  |  |
| 65    | 440        | 19,5 | 39,5 | 59,8  | 400   |  | 400        | 24,5 | 49,8 | 75,0  | —     |   | —          | —    | —    | —     |  |  |
| 90    | 800        | 16,8 | 34,2 | 51,6  | 700   |  | 700        | 21,1 | 42,9 | 65,0  | 550   |   | 24,3       | 49,6 | 75,0 | —     |  |  |
| 100   | 935        | 16,2 | 33,0 | 50,0  | 802   |  | 802        | 19,8 | 40,4 | 61,0  | 660   |   | 23,2       | 47,2 | 71,2 | —     |  |  |
| 150   | 1690       | 13,9 | 28,7 | 43,5  | 1450  |  | 1450       | 16,3 | 33,6 | 51,0  | 1260  |   | 15,5       | 38,7 | 58,7 | —     |  |  |
| 200   | 2480       | 12,6 | 26,3 | 40,0  | 2170  |  | 2170       | 14,4 | 30,1 | 45,8  | 1910  |   | 16,3       | 34,2 | 52,0 | —     |  |  |
| 250   | 3230       | 11,6 | 24,3 | 37,6  | 2900  |  | 2900       | 13,0 | 28,4 | 43,0  | 2590  |   | 14,9       | 31,6 | 48,3 | —     |  |  |
| 290   | 3740       | 11,0 | 23,5 | 36,0  | 3490  |  | 3490       | 12,6 | 26,8 | 41,2  | 3130  |   | 14,1       | 30,0 | 46,1 | —     |  |  |
| 350   | 5000       | 10,4 | 22,2 | 34,2  | 4430  |  | 4430       | 11,7 | 25,4 | 39,0  | 4000  |   | 13,0       | 28,3 | 43,5 | —     |  |  |
| 400   | 5830       | 9,8  | 21,3 | 33,0  | 5200  |  | 5200       | 11,0 | 24,3 | 37,5  | 4790  |   | 12,2       | 26,9 | 41,6 | —     |  |  |
| 450   | 6740       | 9,3  | 20,6 | 31,8  | 6030  |  | 6030       | 10,5 | 23,4 | 36,2  | 5520  |   | 11,6       | 25,8 | 40,0 | —     |  |  |
| 500   | 7640       | 8,7  | 19,9 | 30,8  | 6850  |  | 6850       | 10,0 | 22,6 | 35,1  | 6300  |   | 10,9       | 24,8 | 38,5 | —     |  |  |
| 550   | 8520       | 8,4  | 19,2 | 30,0  | 7680  |  | 7680       | 9,5  | 22,1 | 34,4  | 7110  |   | 10,3       | 23,8 | 37,1 | —     |  |  |
| 600   | 9450       | 8,0  | 18,6 | 29,2  | 8530  |  | 8530       | 9,1  | 21,1 | 33,2  | 7930  |   | 9,7        | 22,7 | 35,9 | —     |  |  |

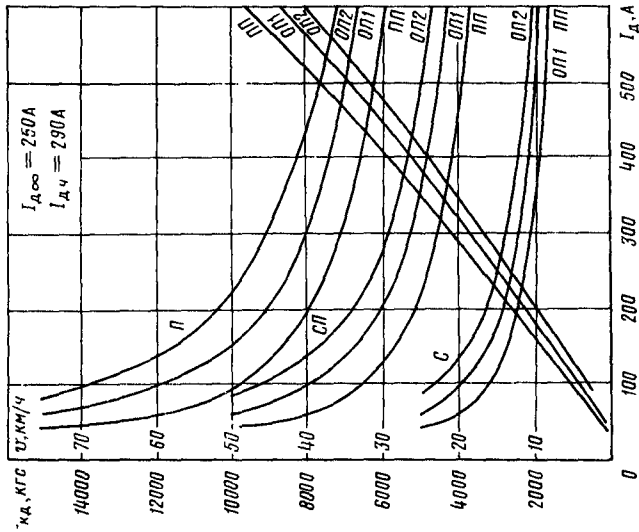


Рис. 4 107. Характеристики тягового электродвигателя ДПЭ-400 электровоза В.122<sup>н</sup>



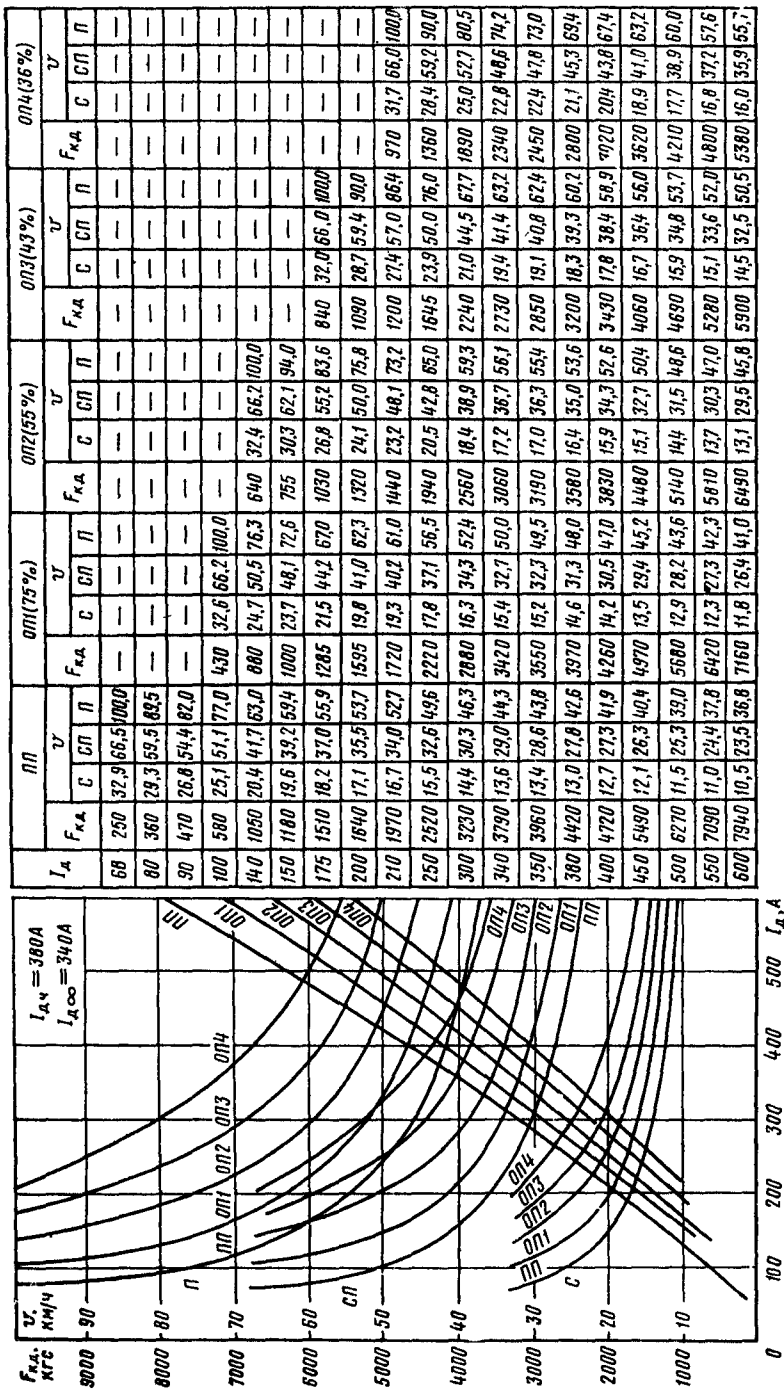
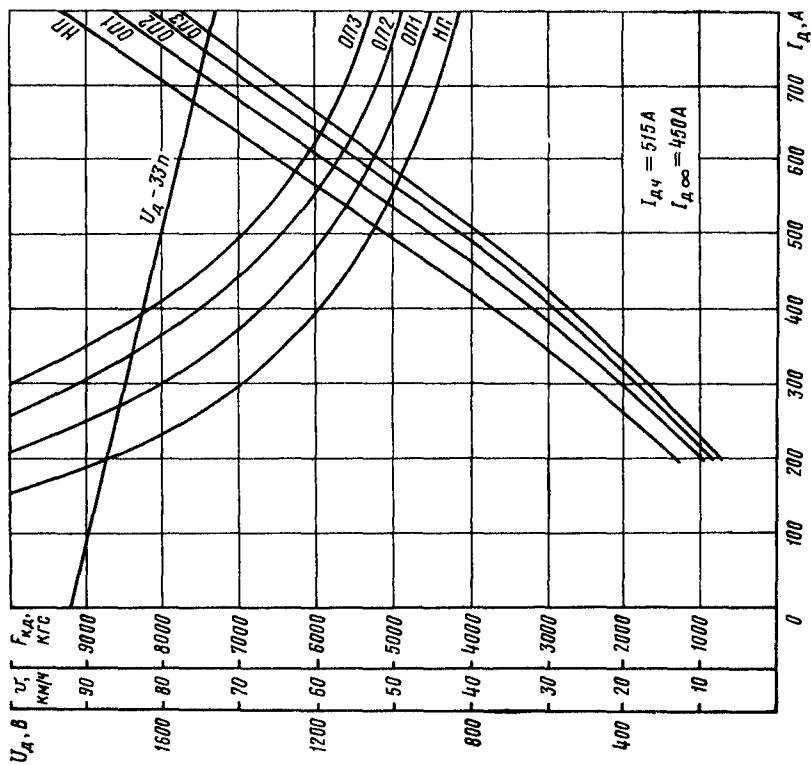


Рис. 4.109 Характеристики тягового электродвигателя НБ-406 электровоза ВЛ23



| $I_A$ | $U_A$ |      | 33лнн     |       | 33л0н1    |      | 33л0н2    |      | 33л0н3    |     |
|-------|-------|------|-----------|-------|-----------|------|-----------|------|-----------|-----|
|       | 33л   | $v$  | $F_{к.д}$ | $v$   | $F_{к.д}$ | $v$  | $F_{к.д}$ | $v$  | $F_{к.д}$ | $v$ |
| 200   | 1750  | 86,8 | 1310      | 103   | —         | —    | —         | —    | —         | —   |
| 300   | 1705  | 69,3 | 2410      | 00,0  | 7050      | 92,5 | —         | —    | —         | —   |
| 400   | 1660  | 59,8 | 3680      | 66,8  | 3210      | 75,1 | 2910      | 82,0 | 2730      | —   |
| 500   | 1615  | 53,0 | 5070      | 58,4  | 4480      | 64,6 | 4120      | 69,4 | 3920      | —   |
| 600   | 1575  | 48,0 | 6470      | 52,9  | 5860      | 57,6 | 5400      | 61,3 | 5140      | —   |
| 700   | 1515  | 44,6 | 7870      | 40,8  | 7190      | 52,6 | 6740      | 56,6 | 6420      | —   |
| 800   | 1480  | 41,1 | 8330      | 45,15 | 8590      | 48,0 | 8110      | 52,6 | 7700      | —   |

Рис 4110. Характеристики тягового электродвигателя НБ-412К электровозов ВЛ60\* и ВЛ60<sup>р</sup>

| $I_A$ | $U_A$ | 33nHn |          | 33nOn1 |          | 33nOn2 |          | 33nOn3 |          |
|-------|-------|-------|----------|--------|----------|--------|----------|--------|----------|
|       | 33n   | $v$   | $F_{KД}$ | $v$    | $F_{KД}$ | $v$    | $F_{KД}$ | $v$    | $F_{KД}$ |
| 200   | 1750  | 121,6 | 935      | 144,3  | —        | —      | —        | —      | —        |
| 300   | 1705  | 97,1  | 1721     | 112,1  | 1464     | 129,6  | —        | 140    | —        |
| 400   | 1660  | 83,8  | 2628     | 93,6   | 2292     | 105,2  | 2078     | 114,9  | 1949     |
| 500   | 1615  | 74,3  | 3620     | 81,8   | 3199     | 90,5   | 2942     | 97,2   | 2799     |
| 600   | 1575  | 67,2  | 4620     | 74,1   | 4184     | 80,7   | 3856     | 85,9   | 3670     |
| 700   | 1515  | 62,5  | 5619     | 68,4   | 5134     | 73,7   | 4812     | 79,3   | 4584     |
| 800   | 1480  | 57,6  | 6662     | 63,3   | 6133     | 67,2   | 5791     | 73,7   | 5498     |

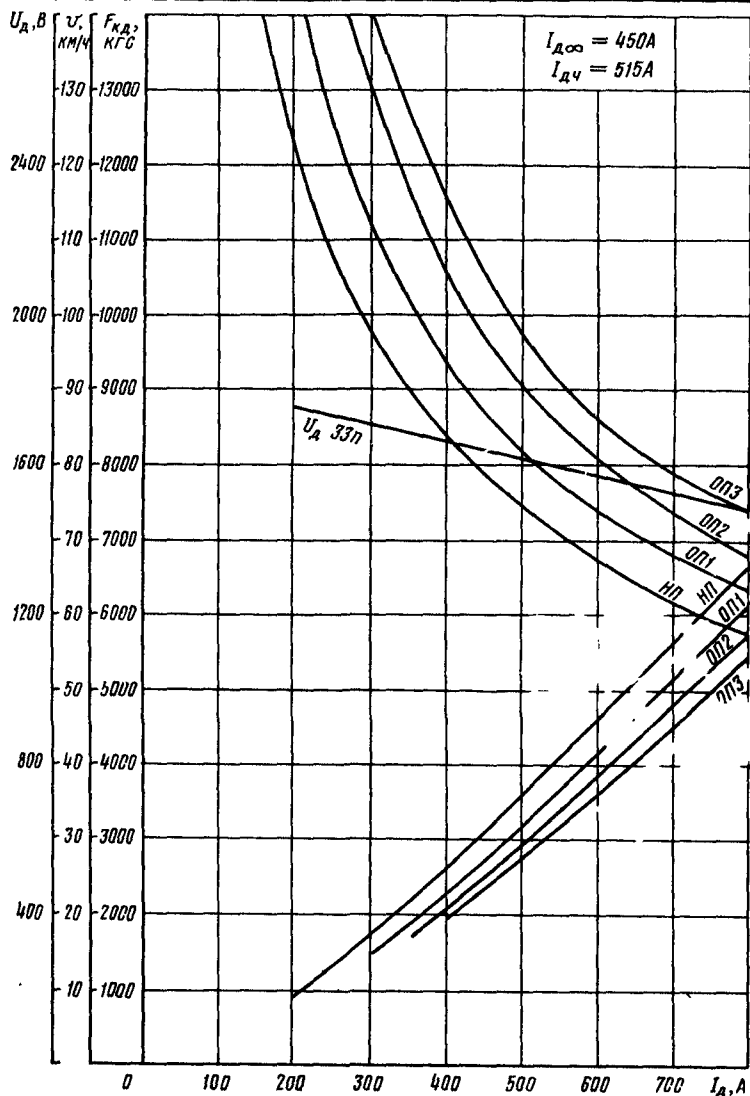


Рис. 4.111. Характеристики тягового электродвигателя НБ-412К электроваза ВЛ60<sup>мк</sup>

| $I_d$ | $U_d$ | 33нНП    |       | 33нОП1   |       | 33нОП2   |       | 33нОП3   |       |
|-------|-------|----------|-------|----------|-------|----------|-------|----------|-------|
|       |       | $F_{кд}$ | $\nu$ | $F_{кд}$ | $\nu$ | $F_{кд}$ | $\nu$ | $F_{кд}$ | $\nu$ |
| 250   | 1065  | 681      | 114,2 | —        | —     | —        | —     | —        | —     |
| 300   | 1060  | 1020     | 96,5  | 850      | —     | —        | —     | —        | —     |
| 350   | 1052  | 1370     | 85,5  | 1090     | 109,2 | 820      | —     | —        | —     |
| 400   | 1046  | 1770     | 78,2  | 1400     | 97,1  | 1125     | —     | —        | —     |
| 450   | 1040  | 2138     | 72,7  | 1847     | 88,9  | 1458     | 108,8 | 1100     | —     |
| 500   | 1032  | 2520     | 68,5  | 2200     | 82    | 1777     | 98,2  | 1432     | —     |
| 600   | 1019  | 3300     | 62,4  | 2940     | 72    | 2482     | 84,1  | 2139     | 101,5 |
| 700   | 1005  | 4120     | 57,8  | 3670     | 65    | 3200     | 75,2  | 2844     | 86,8  |
| 800   | 990   | 4935     | 54,2  | 4460     | 60    | 3970     | 68,5  | 3595     | 77,4  |
| 900   | 978   | 5770     | 51,4  | 5250     | 56,4  | 4725     | 63,6  | 4300     | 70    |
| 1000  | 965   | 6620     | 49    | 6070     | 53,5  | 5520     | 59,4  | 5040     | 65    |
| 1100  | 950   | 7500     | 46,8  | 6900     | 50,8  | 6375     | 55,7  | 5800     | 60,8  |
| 1200  | 937   | 8370     | 44,6  | 7770     | 48,2  | 7130     | 52,7  | 6550     | 57,6  |
| 1300  | 925   | 9240     | 42,7  | 8620     | 46    | 7940     | 50,3  | 7300     | 54,8  |
| 1400  | 911   | 10230    | 40,8  | 9550     | 43,8  | 8800     | 48,1  | 8160     | 52,4  |
| 1500  | 899   | —        | 39,1  | 10550    | 42,2  | 9650     | 46,2  | 9050     | 49,8  |

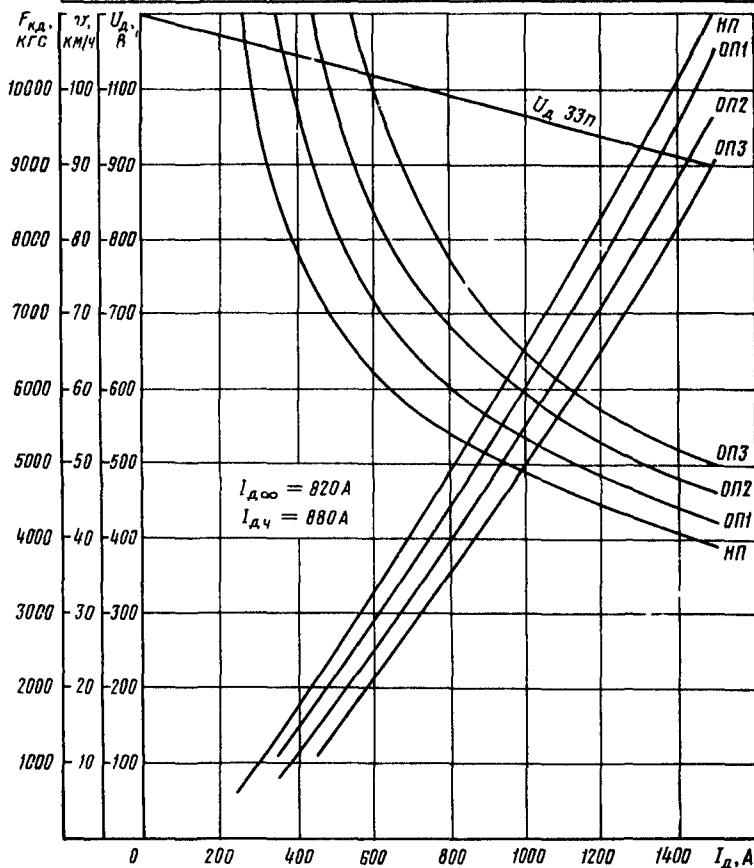
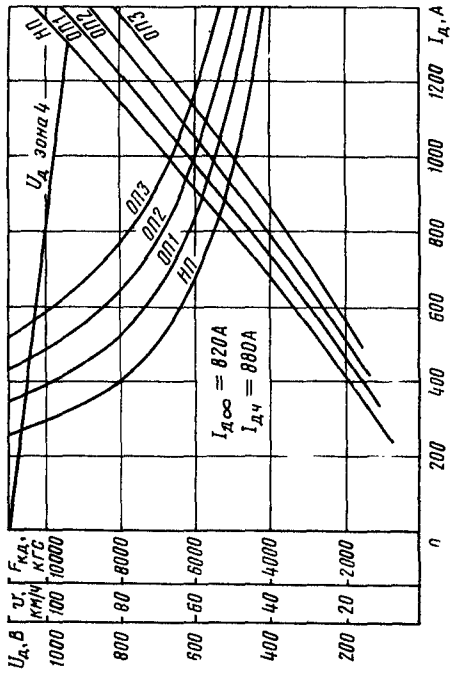


Рис. 4.112. Характеристики тягового электродвигателя НБ-418К электровозов ВЛ180<sup>к</sup>, ВЛ180<sup>г</sup> и ВЛ180<sup>с</sup>



| $I_A$ | $U_A$ | ηП       |       | 0.071    |       | 0.072    |       | 0.073    |       |
|-------|-------|----------|-------|----------|-------|----------|-------|----------|-------|
|       |       | $F_{кА}$ | $\nu$ | $F_{кА}$ | $\nu$ | $F_{кА}$ | $\nu$ | $F_{кА}$ | $\nu$ |
| 250   | 1070  | 740      | 115.6 | —        | —     | —        | —     | —        | —     |
| 300   | 1064  | 1100     | 98    | —        | —     | —        | —     | —        | —     |
| 350   | 1058  | 1410     | 87.6  | 1115     | 108.5 | —        | —     | —        | —     |
| 400   | 1052  | 1810     | 79.8  | 1450     | 96.7  | —        | —     | —        | —     |
| 450   | 1046  | 2170     | 73.6  | 1785     | 88.2  | —        | —     | —        | —     |
| 500   | 1040  | 2560     | 69.1  | 2160     | 81.9  | 1810     | 96.6  | 1565     | —     |
| 600   | 1028  | 3350     | 62.5  | 2940     | 73    | 2550     | 84    | 2160     | 98    |
| 700   | 1016  | 4150     | 58.4  | 3740     | 66.2  | 3240     | 76    | 2870     | 86.7  |
| 800   | 1004  | 4970     | 54.5  | 4520     | 61.3  | 4000     | 69.4  | 3560     | 77.9  |
| 900   | 992   | 5810     | 51.6  | 5340     | 57.5  | 4770     | 63.5  | 4310     | 71.3  |
| 1000  | 980   | 6740     | 49.1  | 6180     | 54.3  | 5600     | 59.5  | 5060     | 66.1  |
| 1100  | 968   | 7615     | 46.5  | 6990     | 51.4  | 6360     | 56.2  | 5820     | 62    |
| 1200  | 956   | 8550     | 44.8  | 7850     | 49    | 7200     | 53.3  | 6600     | 58.5  |
| 1300  | 944   | 9420     | 42.8  | 8700     | 46.9  | 8020     | 50.7  | 7375     | 55.7  |
| 1400  | 932   | 10350    | 41.3  | 9620     | 44.9  | 8880     | 48.5  | 8180     | 53.3  |

Рис. 4.113. Характеристики тягового электродвигателя НБ-418К электровоза ВЛ80р

| $I_A$ | 0п1(97%) |      |      | 0п1(74%) |      |      | 0п2(59%) |      |       | 0п3(48%) |      |       | 0п4(39%) |      |       |
|-------|----------|------|------|----------|------|------|----------|------|-------|----------|------|-------|----------|------|-------|
|       | $F_{кд}$ | $v$  |      | $F_{кд}$ | $v$  |      | $F_{кд}$ | $v$  |       | $F_{кд}$ | $v$  |       | $F_{кд}$ | $v$  |       |
|       |          | с    | п    |          | с    | п    |          | с    | п     |          | с    | п     |          | с    | п     |
| 150   | 550      | 46,6 | 95   | —        | —    | 108  | —        | —    | —     | —        | —    | —     | —        | —    | —     |
| 200   | 1120     | 39,2 | 80   | 930      | 47   | 92,5 | 710      | —    | 104,5 | —        | —    | —     | —        | —    | —     |
| 250   | 1670     | 34,3 | 71,4 | 1460     | 41,2 | 80,2 | 1310     | 47   | 90    | 1050     | —    | 103,5 | —        | —    | —     |
| 300   | 2250     | 31,6 | 65,8 | 2000     | 36,7 | 73   | 1850     | 42,2 | 80,3  | 1580     | 47,7 | 91,4  | 1300     | —    | 102,3 |
| 350   | 2830     | 29,8 | 62   | 2580     | 33,8 | 68   | 2360     | 38,5 | 73,5  | 2100     | 43,5 | 82,3  | 1810     | 49,2 | 92,5  |
| 400   | 3400     | 28,2 | 58,8 | 3140     | 31,8 | 64,4 | 2900     | 35,7 | 69    | 2630     | 40   | 76,2  | 2350     | 45,5 | 84,7  |
| 450   | 4020     | 26,9 | 56,4 | 3740     | 30,3 | 61,2 | 3500     | 33,3 | 65,4  | 3160     | 37,5 | 71,5  | 2870     | 42,3 | 78,7  |
| 500   | 4610     | 25,8 | 53,8 | 4330     | 29   | 58,4 | 4080     | 31,6 | 62,5  | 3710     | 35,2 | 67,8  | 3420     | 39,7 | 74,2  |
| 535   | 5050     | 25   | 52,5 | 4750     | 28,3 | 56,7 | 4500     | 30,8 | 60,5  | 4120     | 33,8 | 65,8  | 3800     | 38,3 | 72    |
| 600   | 5850     | 24,1 | 51   | 5520     | 27,1 | 54,5 | 5260     | 29,5 | 57,7  | 4870     | 32   | 62,6  | 4500     | 35,6 | 68,3  |
| 700   | 7130     | 22,9 | 49   | 6760     | 25,4 | 52   | 6470     | 27,8 | 54,8  | 6000     | 30,2 | 59,2  | 5600     | 32,8 | 63,7  |
| 800   | 8450     | 21,8 | 47   | 8050     | 24,2 | 49,7 | 7700     | 26,3 | 52,5  | 7140     | 28,5 | 56,4  | 6670     | 31,2 | 60,2  |
| 900   | 9720     | 20,8 | 45,2 | 9300     | 23,4 | 48   | 8870     | 25   | 50,5  | 8300     | 27,3 | 53,9  | 7730     | 29,5 | 57    |
| 1000  | 11040    | 20,3 | 43,7 | 10570    | 22,5 | 46   | 10060    | 24   | 48,5  | 9500     | 26,3 | 51,3  | 8820     | 28,4 | 54    |
| 1100  | 12330    | 19,5 | 42   | 11850    | 21,7 | 44,4 | 11280    | 23,2 | 46,8  | 10670    | 25,2 | 49    | 9950     | 27,5 | 51,3  |

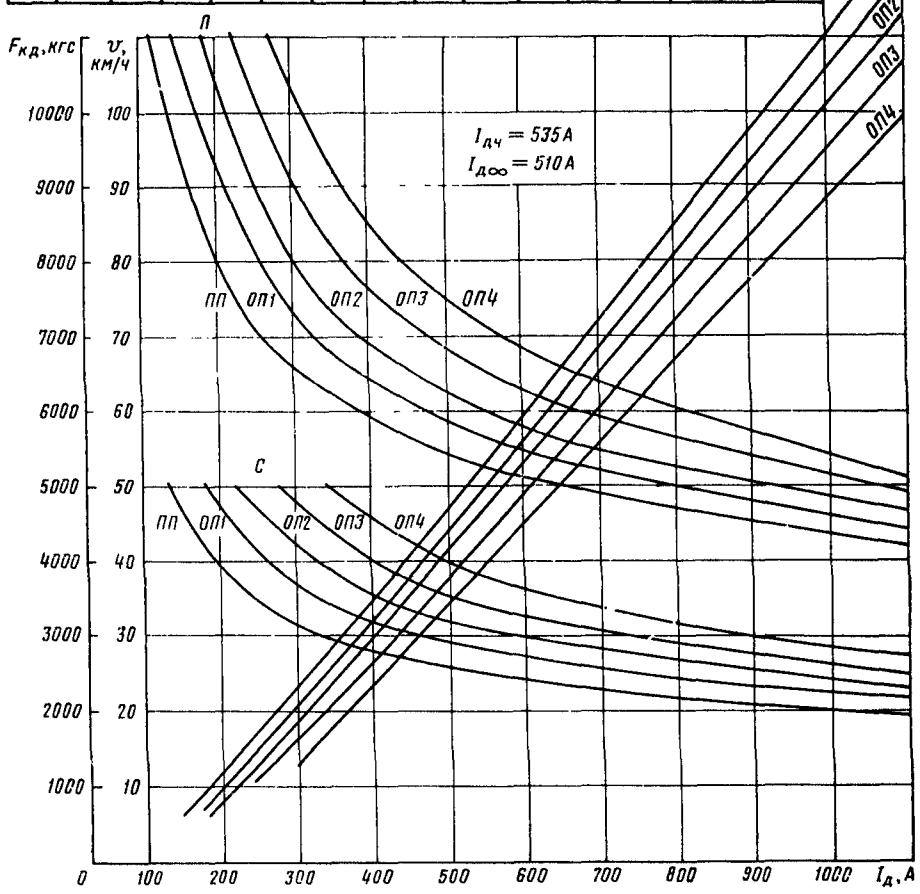


Рис. 4.114 Характеристики тягового электродвигателя НБ-407Б электровозов ВЛ182 и ВЛ182<sup>м</sup> (работа на постоянном токе)

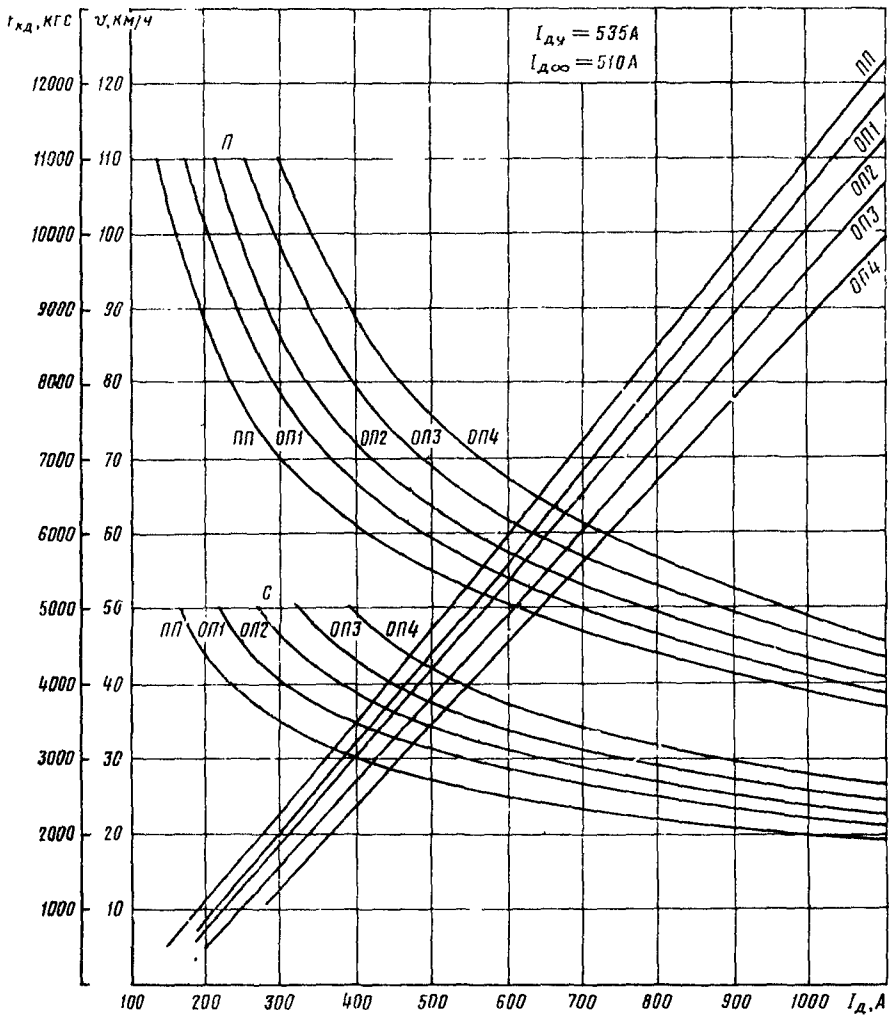


Рис. 4.115. Характеристика тягового электродвигателя

| I <sub>д</sub> | 0П1(97%)        |      |       | 0П1(74%)        |      |       | 0П2(59%)        |      |       | 0П3(48%)        |      |      | 0П4(39%)        |      |       |
|----------------|-----------------|------|-------|-----------------|------|-------|-----------------|------|-------|-----------------|------|------|-----------------|------|-------|
|                | F <sub>кд</sub> | v    |       | F <sub>кд</sub> | v    |       | F <sub>кд</sub> | v    |       | F <sub>кд</sub> | v    |      | F <sub>кд</sub> | v    |       |
|                |                 | с    | п     |                 | с    | п     |                 | с    | п     |                 | с    | п    |                 | с    | п     |
| 150            | 550             | 51,9 | 104,4 | —               | —    | 117,7 | —               | —    | —     | —               | —    | —    | —               | —    | —     |
| 200            | 1120            | 43,4 | 86,4  | 930             | 52,0 | 100,6 | 770             | —    | 113,6 | —               | —    | —    | —               | —    | —     |
| 250            | 1670            | 38,0 | 76,1  | 1460            | 45,3 | 86,5  | 1310            | 51,5 | 98,2  | 1050            | —    | 110  | —               | —    | —     |
| 300            | 2250            | 34,5 | 69,7  | 2000            | 40,1 | 77,6  | 1850            | 46,1 | 85,4  | 1580            | 52,1 | 97,2 | 1300            | —    | 108,7 |
| 350            | 2830            | 32,2 | 64,8  | 2580            | 36,5 | 71,2  | 2360            | 41,6 | 77,5  | 2100            | 47,0 | 87,0 | 1810            | —    | 96,8  |
| 400            | 3400            | 30,4 | 61,2  | 3140            | 34,3 | 67,2  | 2900            | 38,5 | 71,8  | 2630            | 43,1 | 79,2 | 2350            | 49,0 | 88,1  |
| 450            | 4020            | 28,8 | 57,7  | 3740            | 32,2 | 62,7  | 3500            | 35,7 | 67,5  | 3160            | 39,7 | 73,5 | 2870            | 45,1 | 80,7  |
| 500            | 4610            | 27,4 | 54,3  | 4330            | 30,8 | 59,2  | 4080            | 33,6 | 63,6  | 3710            | 37,4 | 68,7 | 3420            | 42,2 | 75,2  |
| 535            | 5050            | 26,5 | 53,0  | 4750            | 30,0 | 57,0  | 4500            | 32,5 | 61,2  | 4120            | 35,7 | 66,0 | 3800            | 40,5 | 72,2  |
| 600            | 5850            | 25,3 | 50,3  | 5520            | 28,4 | 53,8  | 5260            | 30,7 | 57,0  | 4870            | 33,5 | 61,8 | 4500            | 37,3 | 67,4  |
| 700            | 7130            | 23,6 | 47,1  | 6760            | 26,2 | 50,0  | 6470            | 28,7 | 52,7  | 6000            | 31,1 | 56,9 | 5600            | 33,8 | 61,2  |
| 800            | 8450            | 22,1 | 44,0  | 8050            | 24,6 | 46,5  | 7700            | 26,7 | 49,1  | 7140            | 29,0 | 52,7 | 6670            | 31,7 | 56,1  |
| 900            | 9720            | 20,8 | 41,0  | 9300            | 23,4 | 43,6  | 8870            | 25   | 45,9  | 8300            | 27,3 | 48,9 | 7730            | 29,7 | 52,4  |
| 1000           | 11040           | 19,9 | 39,2  | 10570           | 22,0 | 41,0  | 10060           | 23,5 | 43,4  | 9500            | 25,8 | 46,4 | 8820            | 27,8 | 48,7  |
| 1100           | 12330           | 18,7 | 36,7  | 11850           | 20,8 | 38,7  | 11280           | 22,3 | 40,8  | 10570           | 24,2 | 43,5 | 9950            | 26,4 | 46,0  |

НБ-407Б электровозов ВЛ82 и ВЛ82<sup>м</sup> (работа на переменном токе)

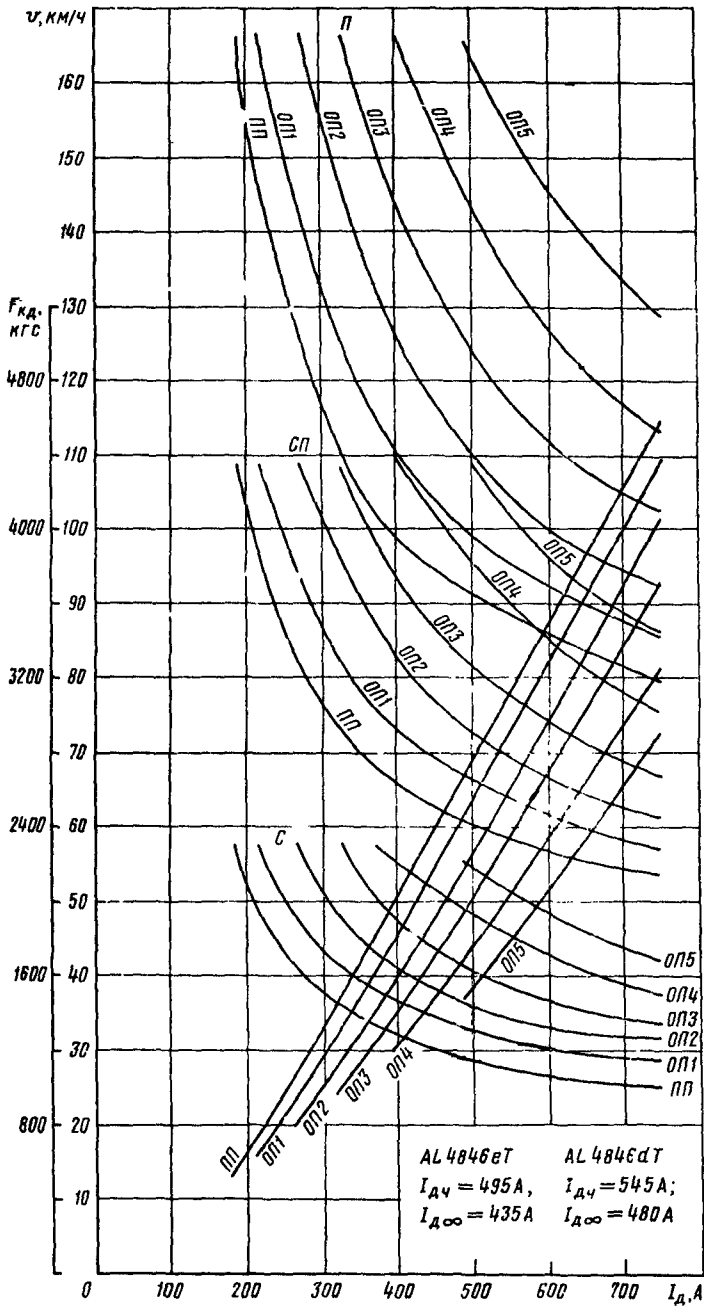


Рис. 4.116. Характеристики тяговых электродвигателе

| I <sub>д</sub> | 0П              |      |       |       | 0П1(85%)        |      |       |       | 0П2(70%)        |      |       |       |
|----------------|-----------------|------|-------|-------|-----------------|------|-------|-------|-----------------|------|-------|-------|
|                | F <sub>кд</sub> | У    |       |       | F <sub>кд</sub> | У    |       |       | F <sub>кд</sub> | У    |       |       |
|                |                 | С    | СП    | П     |                 | С    | СП    | П     |                 | С    | СП    | П     |
| 185            | 560             | 57,5 | 108,5 | 166   | —               | —    | —     | —     | —               | —    | —     | —     |
| 200            | 650             | 52,5 | 102,5 | 155,5 | —               | —    | —     | —     | —               | —    | —     | —     |
| 215            | 740             | 48,5 | 97,0  | 147   | 650             | 57,5 | 108,5 | 166   | —               | —    | —     | —     |
| 250            | 960             | 43,0 | 86,5  | 132,5 | 840             | 50,5 | 100   | 150   | —               | —    | —     | —     |
| 270            | 1080            | 40,5 | 82,0  | 125   | 960             | 47,5 | 94,0  | 142   | 820             | 57,5 | 108,5 | 166   |
| 300            | 1280            | 38,0 | 76,7  | 116,3 | 1160            | 44,0 | 87,0  | 132,5 | 980             | 52,0 | 102,5 | 154   |
| 327            | 1480            | 35,7 | 73,0  | 110   | 1320            | 41,0 | 82,0  | 125   | 1140            | 47,5 | 96,0  | 145   |
| 345            | 1600            | 34,7 | 71,0  | 106,5 | 1450            | 39,7 | 79,2  | 121   | 1260            | 45,5 | 92    | 139   |
| 387            | 1930            | 32,5 | 67,2  | 100,5 | 1730            | 37,2 | 74,0  | 112,5 | 1500            | 41,7 | 84,5  | 129,5 |
| 402            | 2030            | 31,7 | 66,0  | 99,0  | 1840            | 36,2 | 72,8  | 110   | 1610            | 40,5 | 82,5  | 125   |
| 450            | 2400            | 30,0 | 63,0  | 95,0  | 2180            | 34,3 | 69,5  | 104   | 1920            | 38,0 | 77,0  | 116,5 |
| 490            | 2680            | 28,7 | 61,0  | 92,3  | 2480            | 33,0 | 67,0  | 100   | 2220            | 30,5 | 73,5  | 110,5 |
| 517            | 2900            | 28,0 | 59,7  | 90,0  | 2670            | 32,2 | 65,5  | 97,7  | 2400            | 35,5 | 71,2  | 107   |
| 583            | 3370            | 26,7 | 57,5  | 87,0  | 3150            | 30,7 | 62,5  | 93,5  | 2870            | 34,0 | 67,2  | 101   |
| 600            | 3500            | 26,5 | 57,0  | 86,0  | 3280            | 30,5 | 61,8  | 92,5  | 3000            | 33,5 | 66,5  | 100   |
| 650            | 3880            | 26,0 | 55,5  | 84,0  | 3640            | 29,4 | 60,0  | 89,6  | 3360            | 32,5 | 64,2  | 97,3  |
| 700            | 4240            | 25,2 | 54,3  | 81,6  | 4000            | 29,0 | 58,5  | 87,5  | 3700            | 31,8 | 62,5  | 94,8  |
| 750            | 4600            | 25,0 | 53,5  | 79,6  | 4380            | 28,5 | 57,0  | 85,3  | 4080            | 31,2 | 61,0  | 92,6  |

| I <sub>д</sub> | 0П3(57,5%)      |      |       |       | 0П4(47,5%)      |      |       |       | 0П5(40%)        |      |       |       |
|----------------|-----------------|------|-------|-------|-----------------|------|-------|-------|-----------------|------|-------|-------|
|                | F <sub>кд</sub> | У    |       |       | F <sub>кд</sub> | У    |       |       | F <sub>кд</sub> | У    |       |       |
|                |                 | С    | СП    | П     |                 | С    | СП    | П     |                 | С    | СП    | П     |
| 185            | —               | —    | —     | —     | —               | —    | —     | —     | —               | —    | —     | —     |
| 200            | —               | —    | —     | —     | —               | —    | —     | —     | —               | —    | —     | —     |
| 215            | —               | —    | —     | —     | —               | —    | —     | —     | —               | —    | —     | —     |
| 250            | —               | —    | —     | —     | —               | —    | —     | —     | —               | —    | —     | —     |
| 270            | —               | —    | —     | —     | —               | —    | —     | —     | —               | —    | —     | —     |
| 300            | —               | —    | —     | —     | —               | —    | —     | —     | —               | —    | —     | —     |
| 327            | 1000            | 57,5 | 108,5 | 166   | —               | —    | —     | —     | —               | —    | —     | —     |
| 345            | 1100            | 54,0 | 104   | 160   | —               | —    | —     | —     | —               | —    | —     | —     |
| 387            | 1340            | 48,7 | 96,5  | 147   | —               | —    | —     | —     | —               | —    | —     | —     |
| 402            | 1420            | 47,2 | 94,5  | 143,2 | 1240            | 55,5 | 110   | 166   | —               | —    | —     | —     |
| 450            | 1720            | 43,5 | 88,0  | 132,5 | 1480            | 51,5 | 103,5 | 154   | —               | —    | —     | —     |
| 490            | 1960            | 41,3 | 83,0  | 126   | 1700            | 48,5 | 97,0  | 145   | 1480            | 55,5 | 110   | 166   |
| 517            | 2160            | 40,0 | 80,5  | 121   | 1860            | 47,0 | 94,0  | 140   | 1600            | 53,5 | 104,5 | 161   |
| 583            | 2600            | 37,5 | 75,5  | 113,7 | 2240            | 43,7 | 87,0  | 130,7 | 1940            | 49,0 | 98,0  | 148,3 |
| 600            | 2700            | 37,0 | 74,5  | 112   | 2350            | 43,0 | 85,5  | 127,7 | 2060            | 48,2 | 96,5  | 145,5 |
| 650            | 3040            | 35,5 | 71,3  | 108,2 | 2660            | 40,6 | 81,5  | 121,6 | 2320            | 45,7 | 92,5  | 139   |
| 700            | 3380            | 34,2 | 68,7  | 105   | 2980            | 39,0 | 78,3  | 117   | 2630            | 43,8 | 89,0  | 133,5 |
| 750            | 3720            | 33,4 | 66,5  | 102,3 | 3280            | 37,5 | 75,5  | 113,4 | 2920            | 42,2 | 86,0  | 128,6 |

AL4846eT и AL4846dT электровозов ЧС2 и ЧС2T

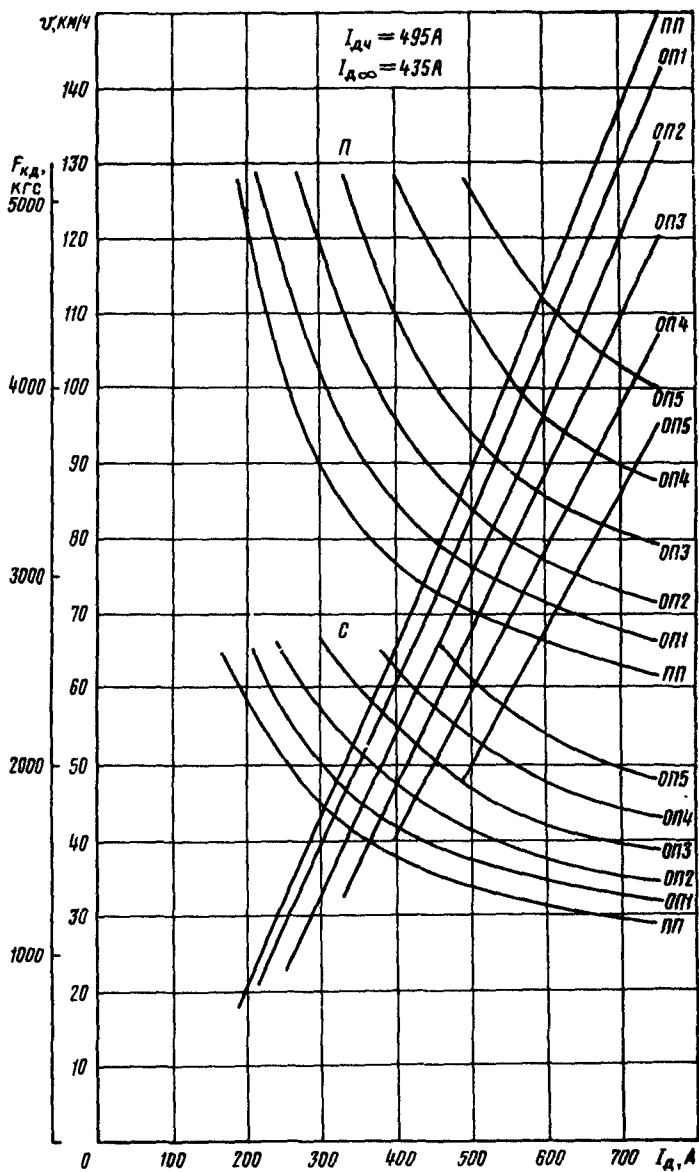
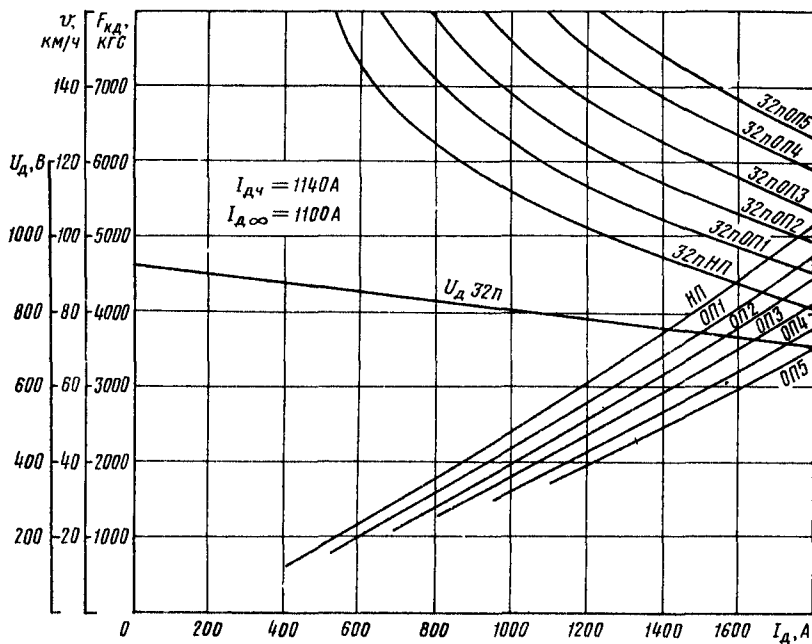


Рис. 4.117. Характеристики тягового эле

| I <sub>д</sub> | ПП              |      |       | ОП1(85%)        |      |      | ОП2(70%)        |      |     | ОП3(57,5%)      |      |      | ОП4(47,5%)      |      |      | ОП5(40%)        |      |     |
|----------------|-----------------|------|-------|-----------------|------|------|-----------------|------|-----|-----------------|------|------|-----------------|------|------|-----------------|------|-----|
|                | F <sub>кд</sub> | У    |       | F <sub>кд</sub> | У    |      | F <sub>кд</sub> | У    |     | F <sub>кд</sub> | У    |      | F <sub>кд</sub> | У    |      | F <sub>кд</sub> | У    |     |
|                |                 | С    | П     |                 | С    | П    |                 | С    | П   |                 | С    | П    |                 | С    | П    |                 | С    | П   |
| 185            | 726             | 61,3 | 128   | —               | —    | —    | —               | —    | —   | —               | —    | —    | —               | —    | —    | —               | —    | —   |
| 200            | 843             | 58,3 | 119,9 | —               | —    | —    | —               | —    | —   | —               | —    | —    | —               | —    | —    | —               | —    | —   |
| 215            | 960             | 55,5 | 113   | 843             | 63,5 | 128  | —               | —    | —   | —               | —    | —    | —               | —    | —    | —               | —    | —   |
| 250            | 1245            | 50,5 | 102,2 | 1039            | 57,2 | 116  | —               | —    | —   | —               | —    | —    | —               | —    | —    | —               | —    | —   |
| 270            | 1401            | 48,2 | 96    | 1245            | 54,3 | 109  | 1064            | 61,7 | 128 | —               | —    | —    | —               | —    | —    | —               | —    | —   |
| 300            | 1660            | 45,0 | 89,7  | 1505            | 50,0 | 102  | 1271            | 57,6 | 119 | —               | —    | —    | —               | —    | —    | —               | —    | —   |
| 327            | 1920            | 42,5 | 85    | 1712            | 47,5 | 96,4 | 1479            | 55,0 | 112 | 1297            | 62,5 | 128  | —               | —    | —    | —               | —    | —   |
| 345            | 2075            | 41,4 | 82    | 1881            | 45,8 | 93,3 | 1634            | 52,5 | 107 | 1427            | 60,5 | 123  | —               | —    | —    | —               | —    | —   |
| 387            | 2503            | 38,5 | 77,5  | 2244            | 42,6 | 86,7 | 1946            | 48,5 | 100 | 1738            | 56,0 | 113  | —               | —    | —    | —               | —    | —   |
| 402            | 2633            | 37,8 | 76,3  | 2386            | 41,9 | 84,8 | 2088            | 47,4 | 96  | 1842            | 54,8 | 110  | 1608            | 62,5 | 128  | —               | —    | —   |
| 450            | 3113            | 35,7 | 73,3  | 2828            | 39,5 | 80,8 | 2490            | 44,2 | 90  | 2231            | 50,5 | 102  | 1920            | 57,5 | 119  | —               | —    | —   |
| 490            | 3476            | 34,2 | 71,1  | 3216            | 37,6 | 77,1 | 2879            | 41,9 | 85  | 2542            | 47,5 | 97   | 2205            | 54,4 | 112  | 1920            | —    | —   |
| 517            | 3761            | 33,4 | 69,4  | 3463            | 36,7 | 75,3 | 3113            | 40,5 | 83  | 2802            | 46,0 | 93,3 | 2412            | 52,5 | 108  | 2075            | 60,0 | 124 |
| 583            | 4371            | 31,5 | 67,1  | 4088            | 34,7 | 72,1 | 3722            | 38,0 | 78  | 3372            | 42,5 | 88   | 2505            | 48,4 | 101  | 2516            | 65,0 | 114 |
| 600            | 4540            | 31,3 | 66,3  | 4254            | 34,3 | 71,3 | 3891            | 37,4 | 77  | 3502            | 42,0 | 86   | 3048            | 47,5 | 98   | 2672            | 64,0 | 112 |
| 650            | 5032            | 30,2 | 64,8  | 4321            | 33,2 | 69,1 | 4358            | 36,0 | 75  | 3943            | 40,5 | 83   | 3450            | 45,2 | 94   | 3009            | 61,3 | 107 |
| 700            | 5499            | 29,5 | 62,9  | 5188            | 32,3 | 67,5 | 4799            | 35,0 | 73  | 4384            | 39,0 | 81   | 3865            | 44,0 | 89,5 | 3411            | 69,0 | 103 |
| 750            | 5968            | 28,7 | 61,4  | 5681            | 31,5 | 66,8 | 5292            | 34,3 | 71  | 4825            | 38,3 | 79   | 4254            | 42,5 | 87   | 3787            | 67,5 | 99  |

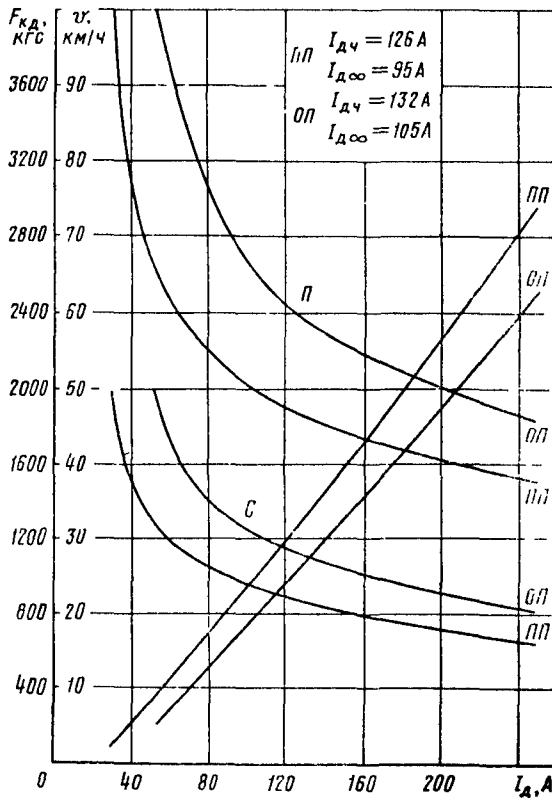
кродвигателя AL4846EТ электровоза ЧС3



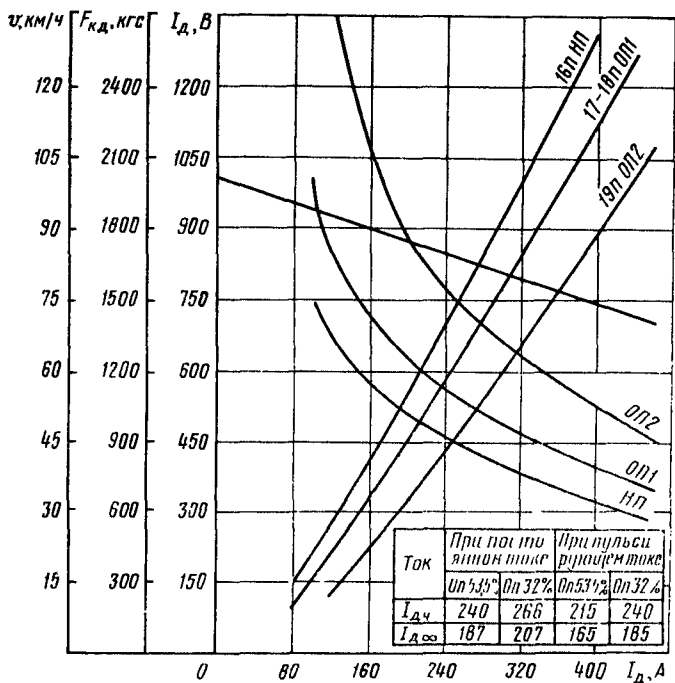
| $I_d$ | $U_d$ | 0п1   |          | 0п2   |          | 0п3   |          | 0п4   |          | 0п5   |          |       |      |
|-------|-------|-------|----------|-------|----------|-------|----------|-------|----------|-------|----------|-------|------|
|       |       | $v$   | $F_{kd}$ |       |      |
| 400   | 870   | 182,1 | 630      | —     | —        | —     | —        | —     | —        | —     | —        |       |      |
| 600   | 846   | 145   | 1170     | 169   | 1000     | —     | —        | —     | —        | —     | —        |       |      |
| 800   | 823   | 124,6 | 1780     | 142,2 | 1565     | 158,1 | 1415     | —     | —        | —     | —        |       |      |
| 1000  | 800   | 111,8 | 2405     | 125   | 2170     | 137,9 | 1375     | 153   | 1780     | —     | —        |       |      |
| 1100  | 790   | 106,5 | 2740     | 118,8 | 2480     | 130,1 | 2270     | 144   | 2060     | 160   | 1860     |       |      |
| 1200  | 779   | 102   | 3080     | 113,1 | 2790     | 124   | 2560     | 136,5 | 2340     | 150,6 | 2120     | 163,2 | 1950 |
| 1400  | 755   | 94,5  | 3720     | 104,5 | 3420     | 114   | 3140     | 125   | 2910     | 137,5 | 2660     | 148,2 | 2480 |
| 1600  | 732   | 87,4  | 4430     | 97,2  | 4070     | 106   | 3780     | 115,8 | 3500     | 127,5 | 3210     | 137   | 3000 |
| 1800  | 711   | 81,5  | 5150     | 91,2  | 4740     | 99    | 4450     | 107,5 | 4130     | 118,5 | 3780     | 127   | 3530 |

Рис 4 118 Характеристики тягового электродвигателя AL4442nP электровозов ЧС4 и ЧС4Г

| ПП      |           |      |      | ОП(53%) |           |      |       |
|---------|-----------|------|------|---------|-----------|------|-------|
| $I_{д}$ | $F_{к.д}$ | $v$  |      | $I_{д}$ | $F_{к.д}$ | $v$  |       |
|         |           | С    | П    |         |           | С    | П     |
| 30      | 100       | 49,3 | 100  | —       | —         | —    | —     |
| 50      | 325       | 32,9 | 67,5 | 50      | 200       | 50,2 | 102,5 |
| 75      | 625       | 27,2 | 56,5 | 75      | 450       | 36,4 | 79,2  |
| 95      | 875       | 24,8 | 52,0 | 105     | 780       | 31,0 | 65,0  |
| 126     | 1260      | 22,0 | 47,0 | 132     | 1080      | 27,8 | 58,9  |
| 150     | 1560      | 20,5 | 44,5 | 150     | 1300      | 26,4 | 56,3  |
| 175     | 1890      | 19,2 | 42,2 | 175     | 1590      | 24,4 | 52,7  |
| 200     | 2250      | 18,1 | 40,4 | 200     | 1900      | 22,9 | 49,9  |
| 225     | 2590      | 17,1 | 38,9 | 225     | 2200      | 21,6 | 47,5  |
| 250     | 2940      | 16,3 | 37,6 | 250     | 2500      | 20,5 | 45,8  |

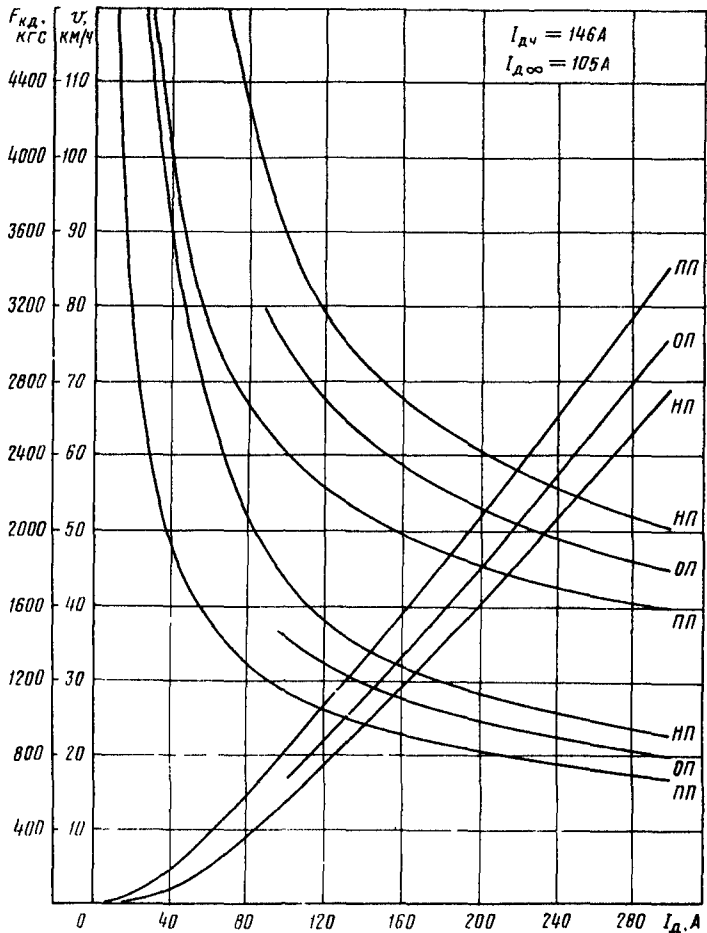


119 Характеристики тягового электродвигателя ДК 103 электропоездов С<sup>м</sup>, С<sup>р</sup> и С<sup>п</sup>



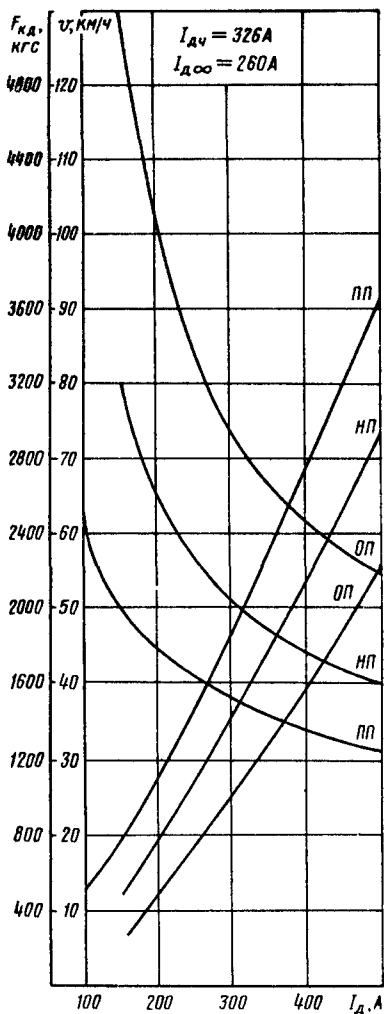
| $I_d$ | $U_d$ | 16n HП 92,5% |      | 17-18n ОП1 53,5% |       | 19n ОП2 32% |       |
|-------|-------|--------------|------|------------------|-------|-------------|-------|
|       |       | $F_{кд}$     | $v$  | $F_{кд}$         | $v$   | $F_{кд}$    | $v$   |
| 80    | 950   | 290          | —    | 180              | —     | —           | —     |
| 100   | 937   | 420          | 73,8 | 300              | 101,7 | —           | —     |
| 120   | 924   | 550          | 66,6 | 420              | 87,7  | 250         | 134,6 |
| 140   | 912   | 675          | 61,0 | 550              | 78,4  | 355         | 118,6 |
| 160   | 899   | 815          | 56,6 | 670              | 71,3  | 450         | 105,6 |
| 180   | 887   | 960          | 53,7 | 800              | 66,6  | 550         | 96,7  |
| 200   | 874   | 1100         | 50,8 | 930              | 62,7  | 660         | 89,0  |
| 220   | 861   | 1250         | 48,5 | 1060             | 59,5  | 760         | 83,0  |
| 240   | 849   | 1390         | 46,3 | 1190             | 56,6  | 865         | 77,8  |
| 260   | 836   | 1540         | 44,7 | 1320             | 53,9  | 980         | 74,2  |
| 280   | 824   | 1700         | 42,5 | 1450             | 51,2  | 1090        | 70,0  |
| 300   | 811   | 1850         | 40,5 | 1590             | 49,1  | 1208        | 66,8  |
| 320   | 798   | 2000         | 38,7 | 1730             | 46,9  | 1330        | 63,8  |
| 340   | 786   | 2168         | 37,2 | 1860             | 44,8  | 1440        | 60,9  |
| 360   | 773   | 2320         | 35,6 | 1990             | 43,1  | 1550        | 58,1  |
| 380   | 761   | 2490         | 34,1 | 2130             | 41,5  | 1670        | 55,3  |
| 400   | 748   | 2650         | 33,1 | 2270             | 39,9  | 1790        | 52,6  |
| 420   | 735   | —            | 31,7 | 2410             | 38,3  | 1910        | 50,4  |
| 440   | 723   | —            | 30,5 | 2550             | 36,8  | 2025        | 48,2  |
| 460   | 710   | —            | 29,2 | —                | 35,7  | 2150        | 46,0  |

Рис 4 120 Характеристики тягового электродвигателя РТ51Д электропоездов ЭР9, ЭР9П и ЭР9М



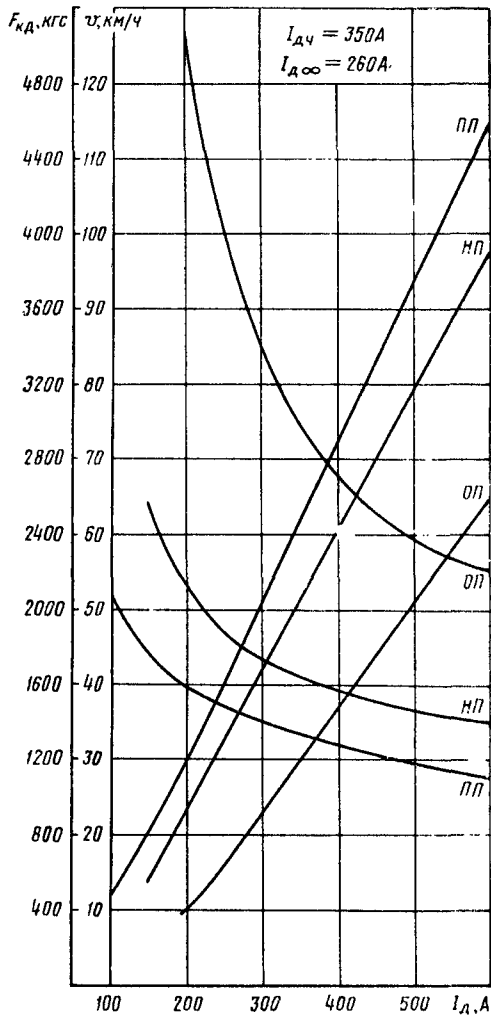
| I <sub>d</sub> | ПП(100%)        |        |      |                 | ОП(67%) |      |                 | НП(50%) |      |  |
|----------------|-----------------|--------|------|-----------------|---------|------|-----------------|---------|------|--|
|                | F <sub>кд</sub> | v      |      | F <sub>кд</sub> | v       |      | F <sub>кд</sub> | v       |      |  |
|                |                 | с      | п    |                 | с       | п    |                 | с       | п    |  |
| 10             | (110)           | (132)  | —    | —               | —       | —    | —               | —       | —    |  |
| 15             | (20)            | (97)   | —    | —               | —       | —    | —               | —       | —    |  |
| 20             | (40)            | (77.5) | —    | —               | —       | —    | —               | —       | —    |  |
| 25             | 6.6             | 64.6   | 1.31 | —               | —       | —    | (30)            | (131)   | —    |  |
| 30             | 5.1             | 59.8   | 1.21 | —               | —       | —    | (45)            | (115)   | —    |  |
| 35             | 12.5            | 54.7   | 1.11 | —               | —       | —    | (60)            | (103)   | —    |  |
| 40             | 16.5            | 49.6   | 1.01 | —               | —       | —    | (83)            | (91)    | —    |  |
| 60             | 35.5            | 38.0   | 78.0 | —               | —       | —    | 200             | 66.9    | 135  |  |
| 70             | 46.5            | 35.0   | 71.5 | —               | —       | —    | 270             | 59.7    | 122  |  |
| 80             | 58.0            | 32.0   | 66.5 | —               | —       | —    | 360             | 52.0    | 107  |  |
| 90             | 69.0            | —      | 63.5 | —               | —       | —    | 44.5            | 47.6    | 98.0 |  |
| 105            | 87.0            | 27.8   | 59.1 | 70.0            | 35.0    | 72.0 | 59.0            | 42.0    | 86.0 |  |
| 120            | 105.0           | 26.5   | 55.8 | 86.5            | 32.7    | 68.1 | 74.5            | 38.1    | 79.5 |  |
| 146            | 137.5           | 24.0   | 51.5 | 115.0           | 29.4    | 61.5 | 99.5            | 34.0    | 71.3 |  |
| 160            | 155.5           | 23.1   | 49.6 | 112.0           | 27.8    | 58.8 | 115.0           | 32.1    | 68.0 |  |
| 180            | 181.5           | 22.0   | 47.5 | 155.8           | 26.2    | 55.9 | 137.0           | 30.2    | 64.0 |  |
| 200            | 208.0           | 21.0   | 45.7 | 179.0           | 24.9    | 53.3 | 159.0           | 28.5    | 61.0 |  |
| 220            | 236.0           | 20.0   | 44.0 | 205.0           | 23.7    | 51.3 | 182.0           | 26.8    | 58.0 |  |
| 240            | 263.0           | 19.2   | 42.7 | 229.0           | 22.6    | 49.2 | 205.0           | 25.7    | 56.0 |  |
| 260            | 288.0           | 18.4   | 41.5 | 254.0           | 21.6    | 47.3 | 228.0           | 24.7    | 54.0 |  |
| 280            | 314.5           | 17.8   | 40.3 | 280.0           | 20.7    | 46.2 | 253.0           | 23.5    | 52.0 |  |
| 300            | 342.0           | 17.1   | 39.3 | 305.0           | 19.6    | 45.0 | 276.0           | 22.3    | 50.5 |  |

Рис 4 121 Характеристики тягового электродвигателя ДК-106Б электропоездов ЭР1 и ЭР2



| $I_d$ | ПП 100%  |      | НП 50%   |      | ОП 29%   |      |
|-------|----------|------|----------|------|----------|------|
|       | $F_{kd}$ | $v$  | $F_{kd}$ | $v$  | $F_{kd}$ | $v$  |
| 100   | 500      | 61   | —        | —    | —        | —    |
| 150   | 780      | 50   | 490      | 80   | 250      | 130  |
| 200   | 1100     | 44,5 | 780      | 64,5 | 460      | 100  |
| 250   | 1500     | 41   | 1100     | 56,5 | 750      | 83   |
| 300   | 1940     | 38   | 1460     | 51   | 1040     | 74   |
| 350   | 2330     | 36   | 1800     | 47   | 1320     | 67   |
| 400   | 2760     | 34   | 2160     | 44   | 1620     | 62   |
| 450   | 3200     | 32,5 | 2560     | 42   | 1950     | 58   |
| 500   | 3680     | 31   | 2950     | 40   | 2250     | 54,5 |

Рис 4.122 Характеристики тягового электродвигателя РТ-113А электропоезда ЭР22



| $I_d$ | ПП 100%  |      | НП 50%   |      | ОП 18%   |      |
|-------|----------|------|----------|------|----------|------|
|       | $F_{kd}$ | $v$  | $F_{kd}$ | $v$  | $F_{kd}$ | $v$  |
| 100   | 450      | 52   | —        | —    | —        | —    |
| 150   | 800      | 44   | 580      | 64   | —        | —    |
| 200   | 1200     | 39,5 | 950      | 54   | 400      | 126  |
| 250   | 1600     | 37   | 1300     | 47   | 600      | 100  |
| 300   | 2050     | 35   | 1700     | 44   | 900      | 84,5 |
| 350   | 2450     | 33,5 | 2050     | 41,5 | 1180     | 74,5 |
| 400   | 2900     | 32   | 2400     | 39   | 1460     | 68   |
| 450   | 3300     | 31   | 2800     | 38   | 1750     | 63   |
| 500   | 3700     | 30   | 3200     | 37   | 2000     | 59   |
| 550   | 4150     | 28   | 3450     | 36   | 2300     | 57,5 |
| 600   | 4600     | 27,5 | 3920     | 35   | 2600     | 55   |

Рис. 4.123. Характеристики тягового электродвигателя 1ДТ.0031 электропоезда ЭР22В

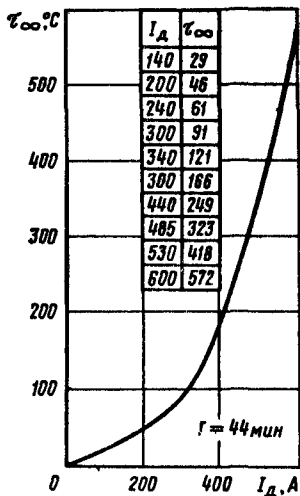


Рис. 4.124. Тепловые характеристики обмотки якоря тягового электродвигателя НБ-406 электровозов ВЛ18 и ВЛ23

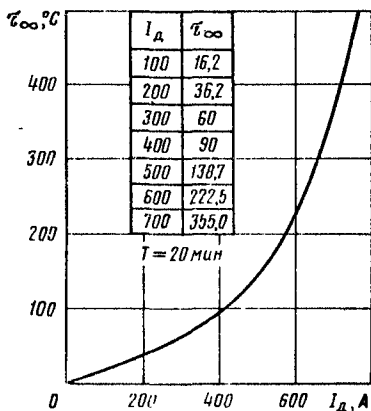


Рис. 4.125. Тепловые характеристики компенсационной обмотки тягового электродвигателя ТЛ-2К1

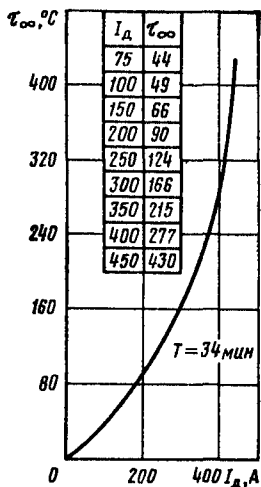


Рис. 4.126. Тепловые характеристики обмотки якоря тягового электродвигателя ДПЭ-400 и НБ-411 электровоза ВЛ22<sup>м</sup>

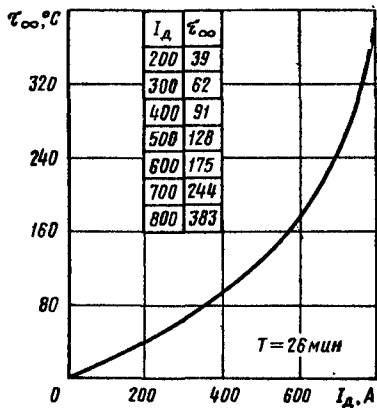


Рис. 4.127. Тепловые характеристики обмотки якоря тягового электродвигателя НБ-412К электровозов ВЛ60<sup>м</sup>, ВЛ60<sup>р</sup> и ВЛ60<sup>пк</sup>

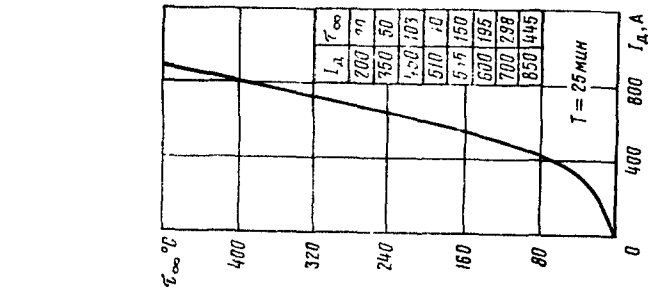


Рис 4 128 Тепловые характеристики обмоток добавочных полюсов тягового электродвигателя NB-407B электровозов ВЛ182 и ВЛ182М

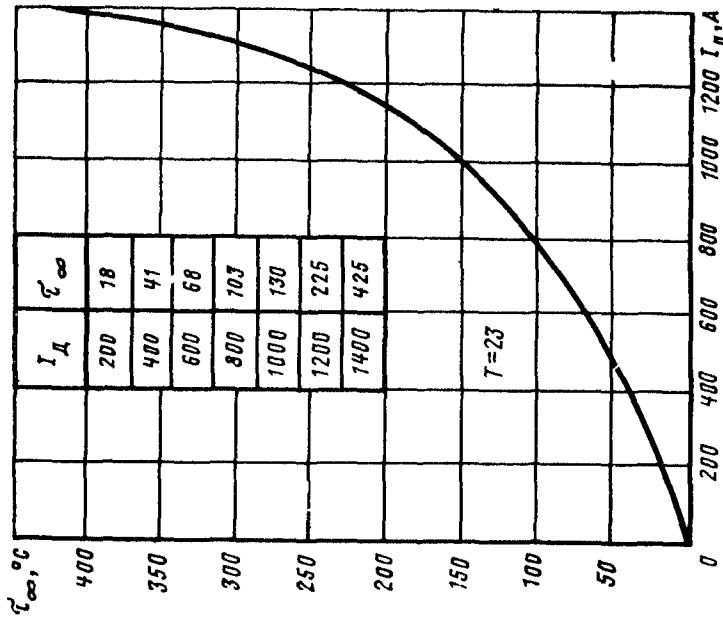


Рис 4 129 Тепловые характеристики обмотки якоря электродвигателя NB-418K электровозов ВЛ180, ВЛ180с, ВЛ180с и ВЛ180Р

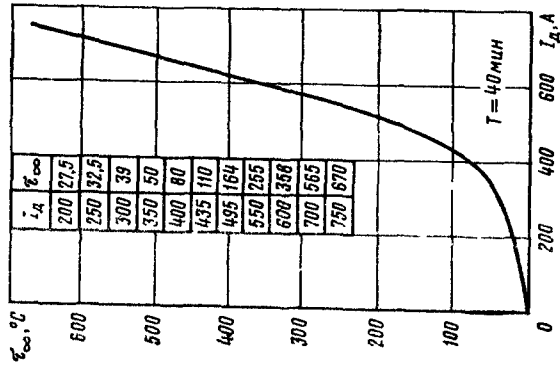
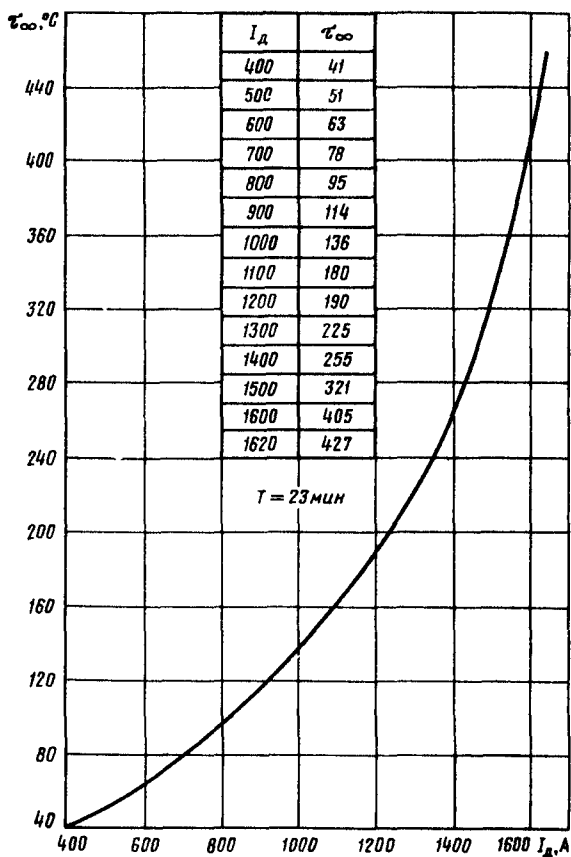


Рис 4 130 Тепловые характеристики обмотки якоря тягового электродвигателя AL4845e1 электровозов ЧС2 и ЧС3



131 Тепловые характеристики обмотки якоря тягового электродвигателя АЛ4442пР электровозов ЧС4 и ЧС4<sup>т</sup>

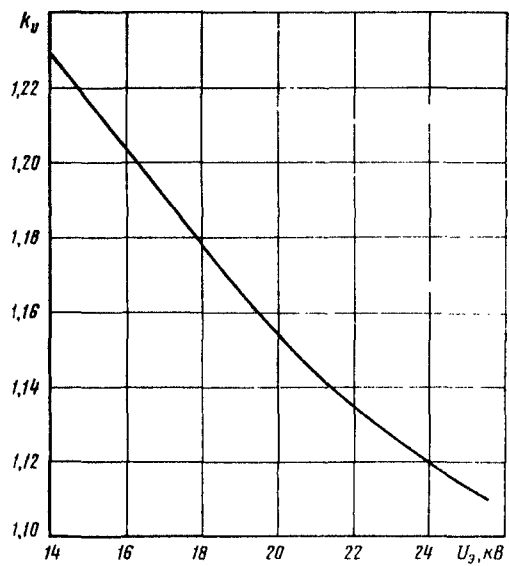


Рис. 4.132. Зависимость коэффициента формы кривой напряжения  $K_v$  от него значения напряжения за полупериод на токоприемнике

ХАРАКТЕРИСТИКА ТЕПЛОВЗОВ И МОТОРНЫХ ВАГОНОВ  
ДИЗЕЛЬ-ПОЕЗДОВ (рис. 5.1 — 5.79)

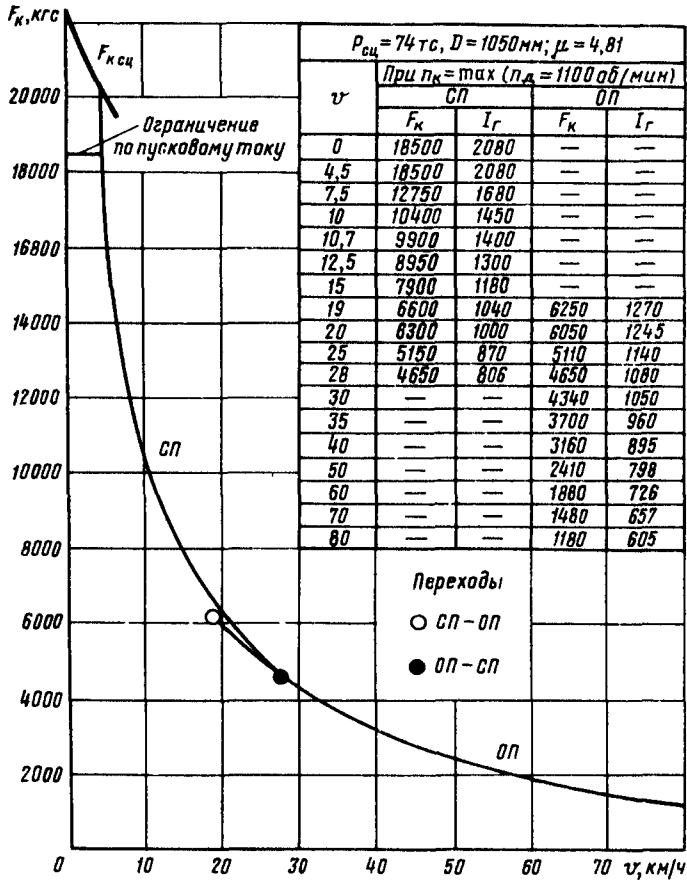


Рис. 5.1. Тяговые характеристики тепловоза ВМЭ1

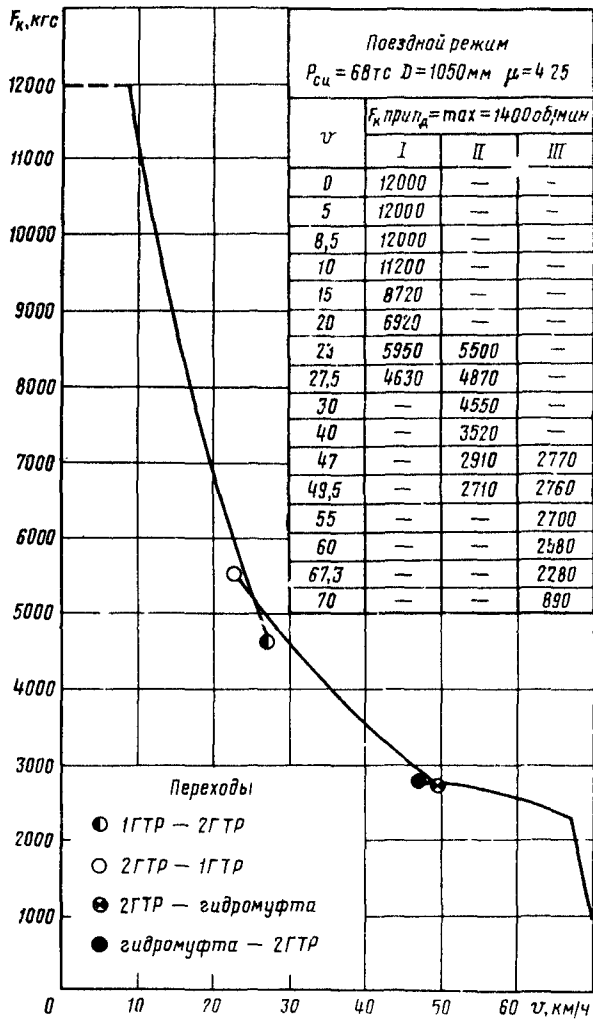


Рис 5.2 Тяговые характеристики тепловоза ТГМЗА

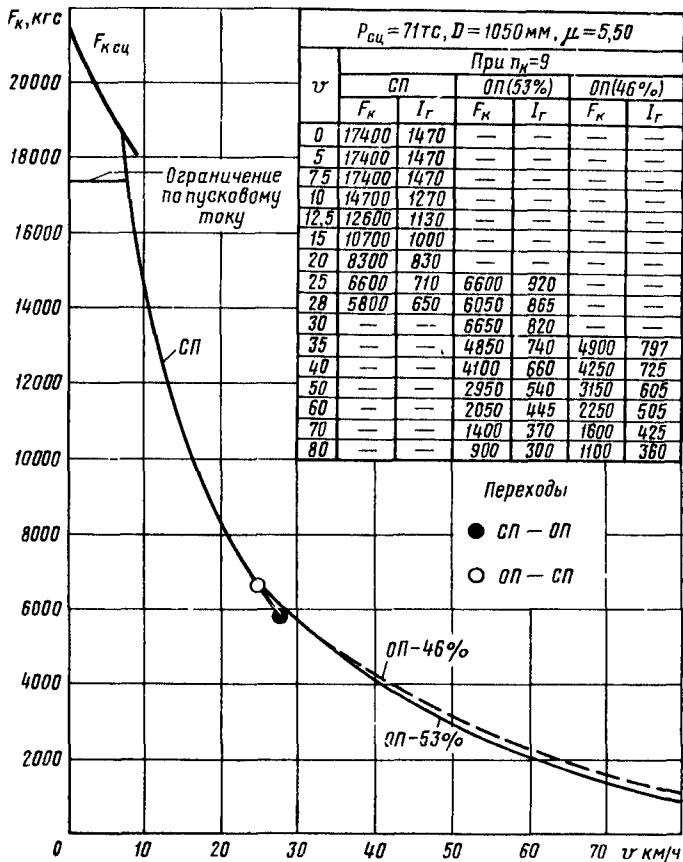


Рис 53 Тяговые характеристики теплового ЧМЭ2

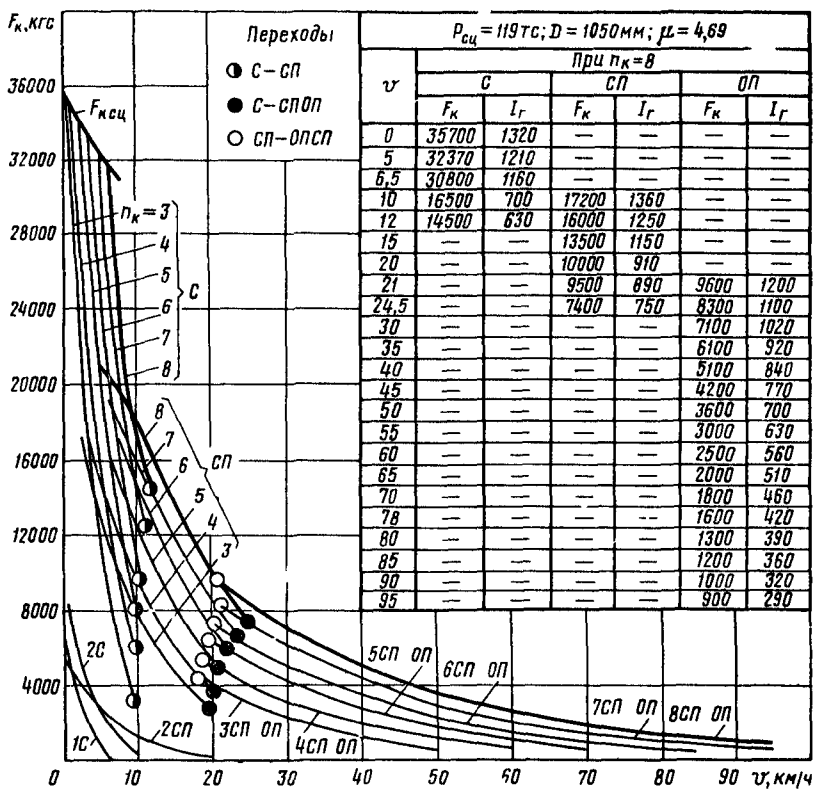


Рис. 5.4. Тяговые характеристики тепловоза ТЭ1

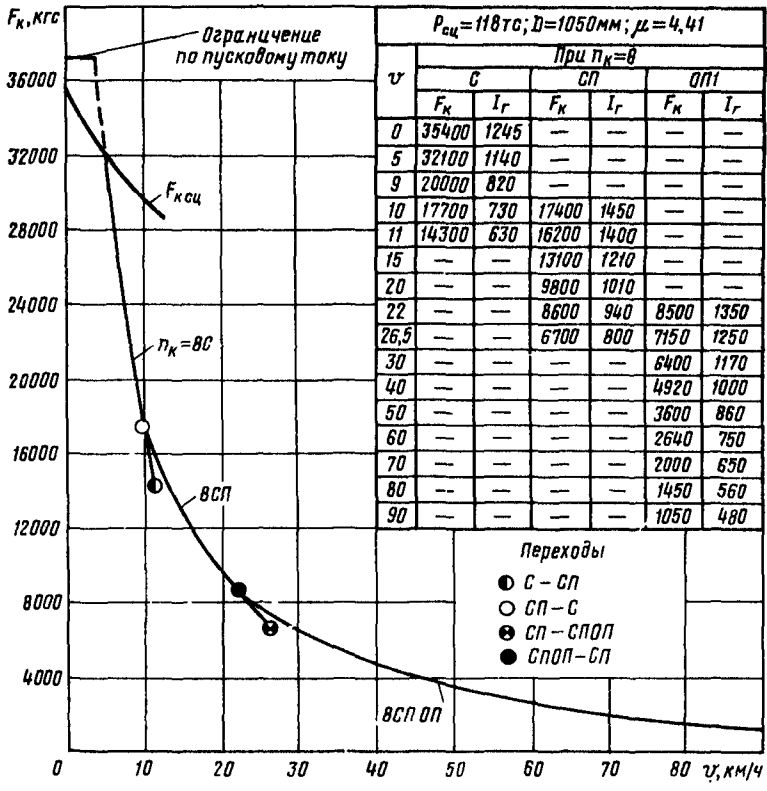


Рис. 5.5. Тяговые характеристики тепловоза ТЭМ1

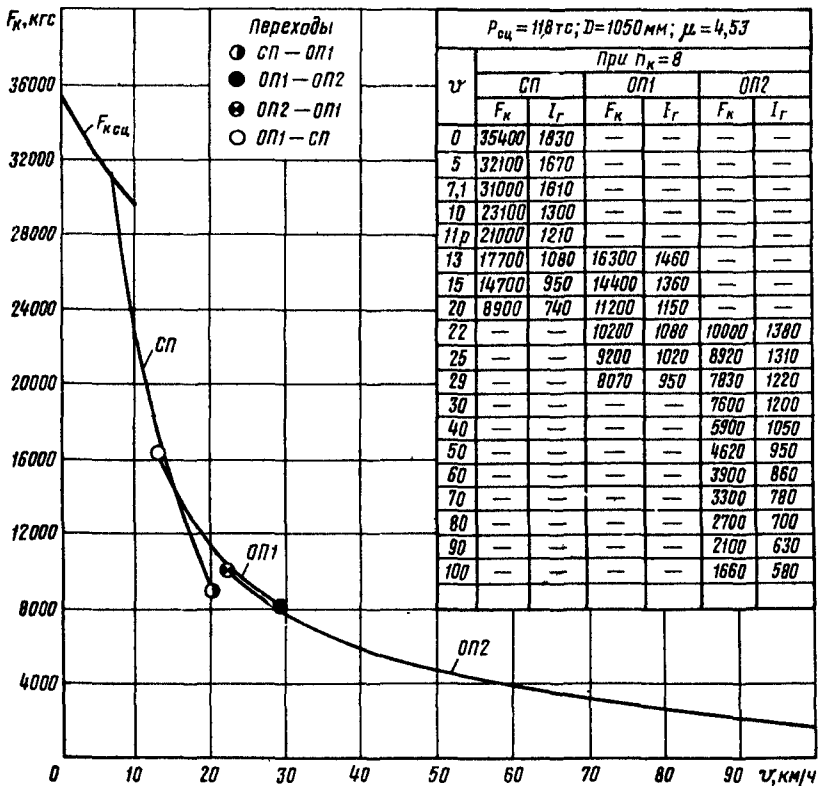


Рис. 5.6 Тяговые характеристики тепловоза ТЭМ2

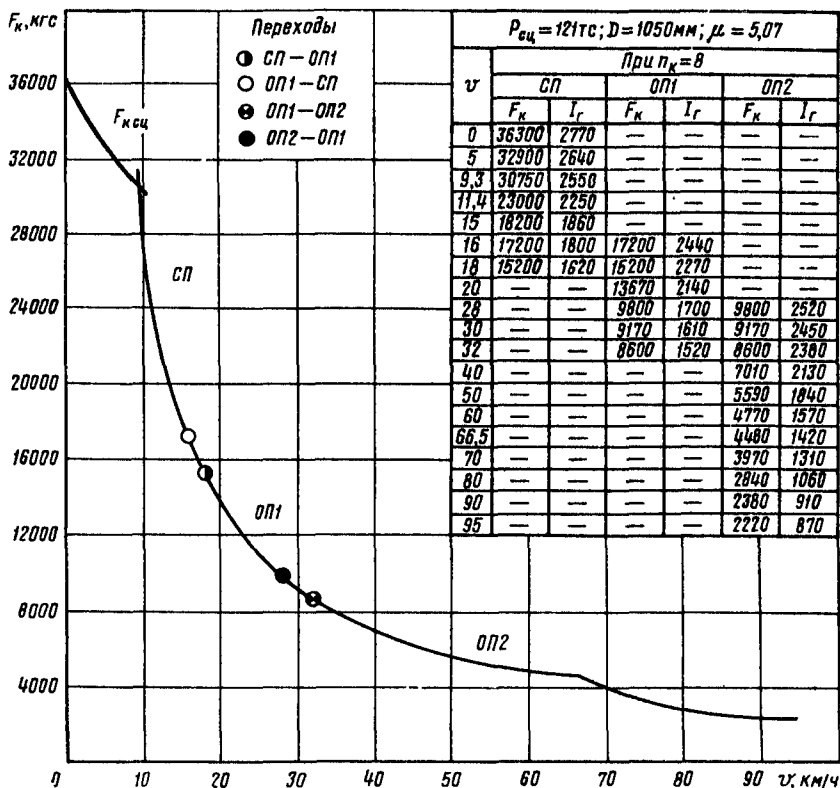


Рис. 5.7. Тяговые характеристики тепловоза ЧМЭЗ

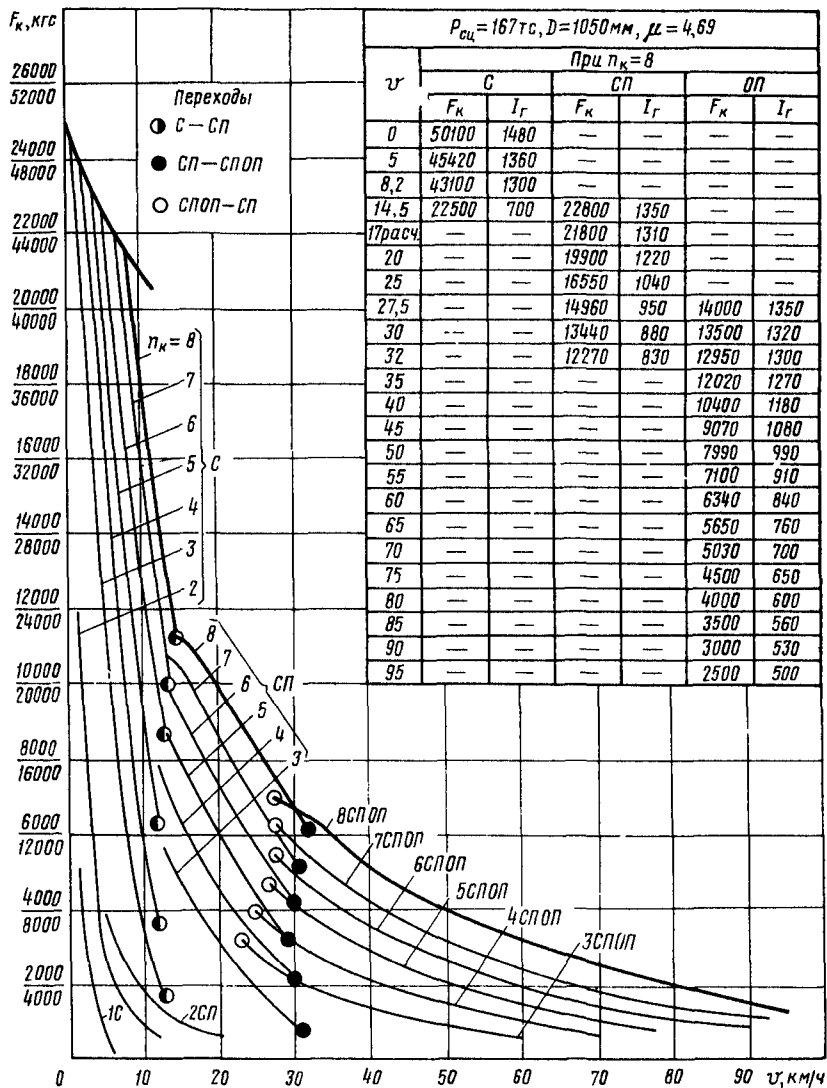


Рис. 5.8 Тяговые характеристики тепловоза ТЭ2

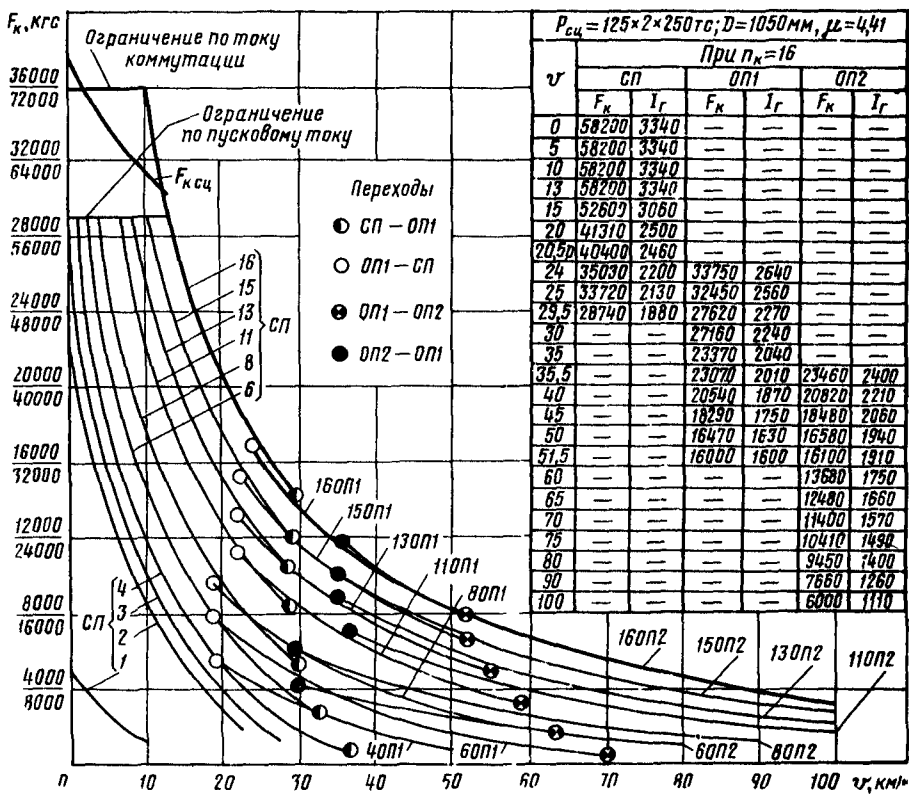


Рис 59 Тяговые характеристики тепловоза ТЭ3

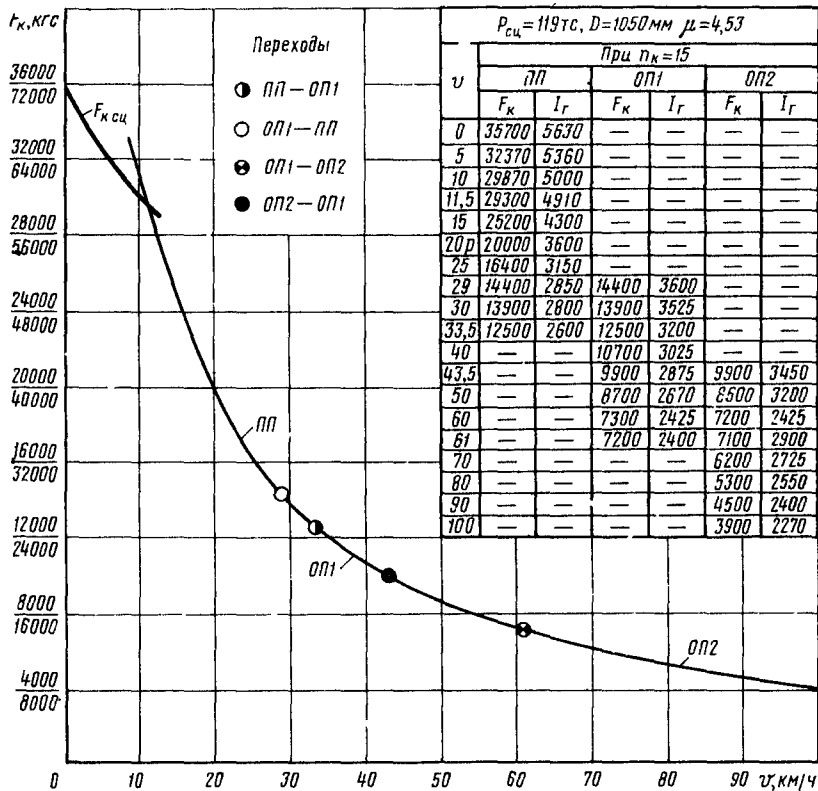


Рис 510 Тяговые характеристики тепловозов М62 (в числителе) и 2М62 (в знаменателе)

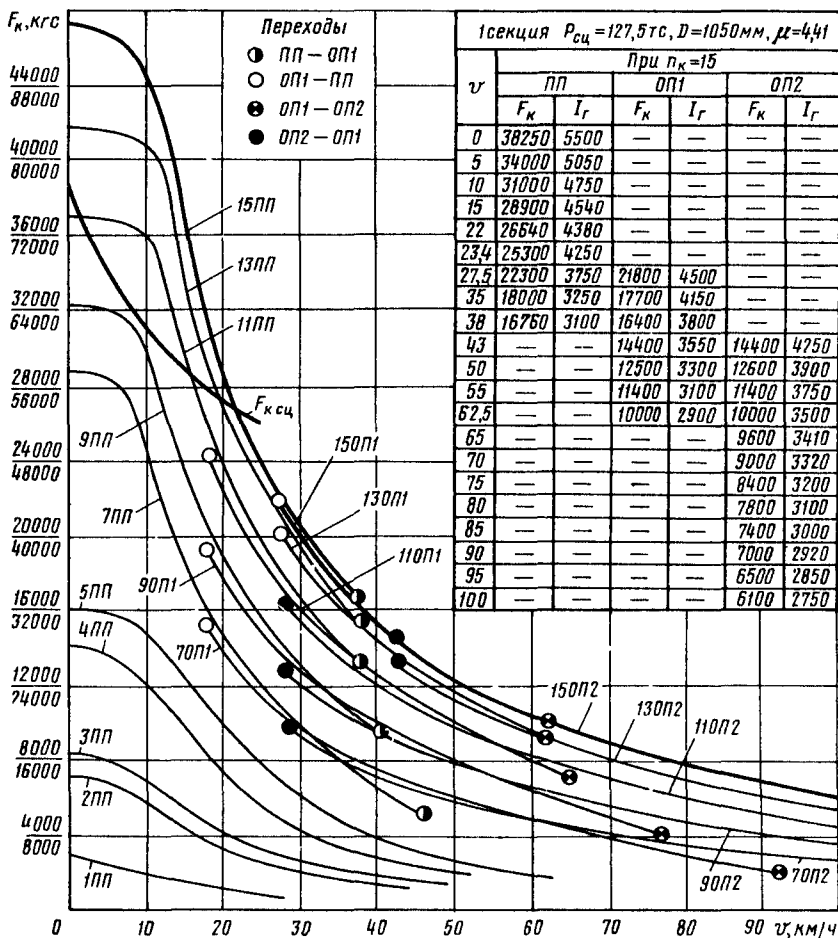


Рис 511 Тяговые характеристики тепловозов 2ТЭ10Л и ТЭ10 (значения  $F_k$  в числителе для одной секции, в знаменателе — для двух секций)

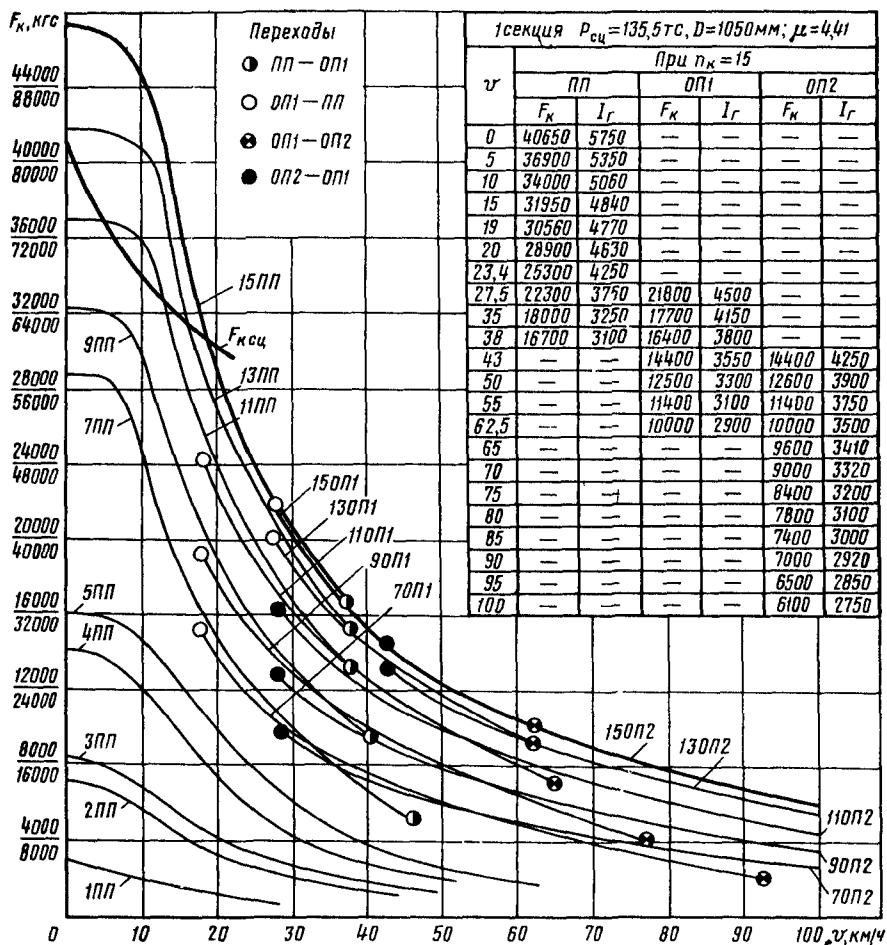


Рис. 5.12. Тяговые характеристики тепловозов 2ТЭ10В, 2ТЭ10М (значения  $F_k$  в числителе для одной секции, в знаменателе — для двух секций)

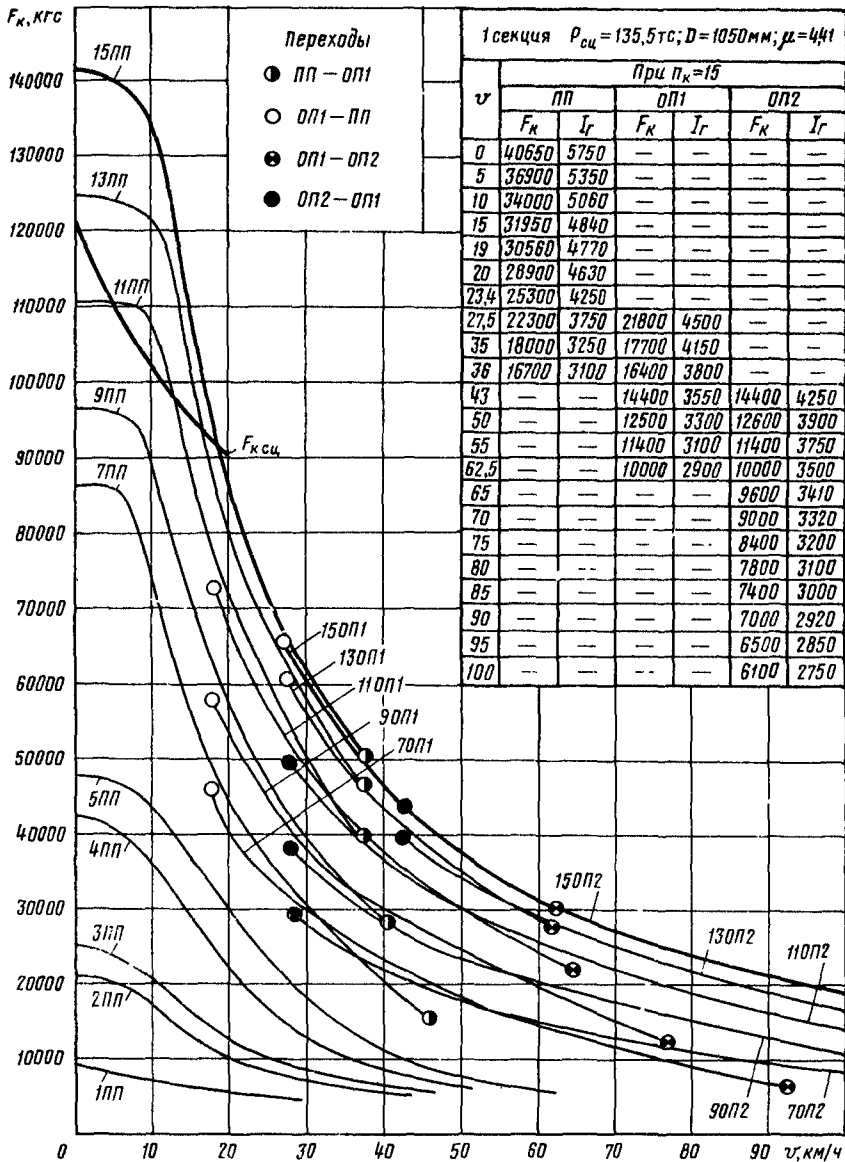


Рис. 5.13. Тяговые характеристики тепловоза 3ТЭ10М

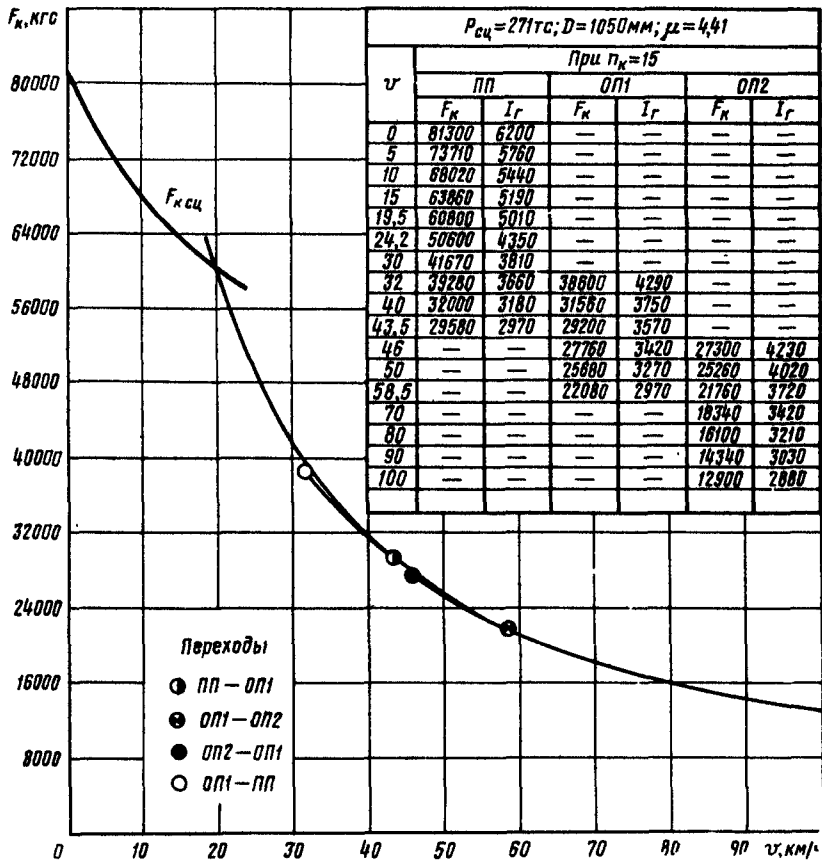


Рис. 5.14. Тяговые характеристики тепловоза 2ТЭ116

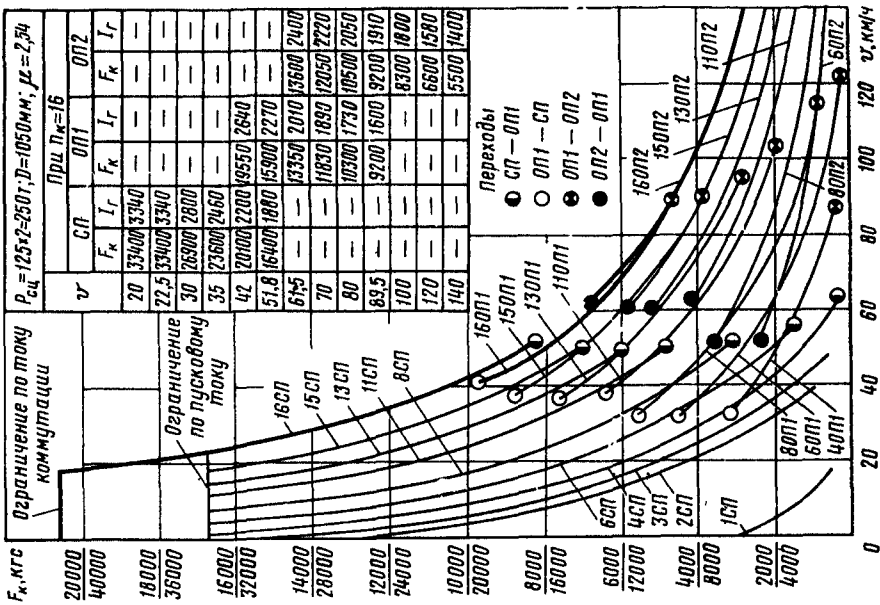


Рис. 5.16. Тяговые характеристики тепловоза ТЭП10 и ТЭП10Д

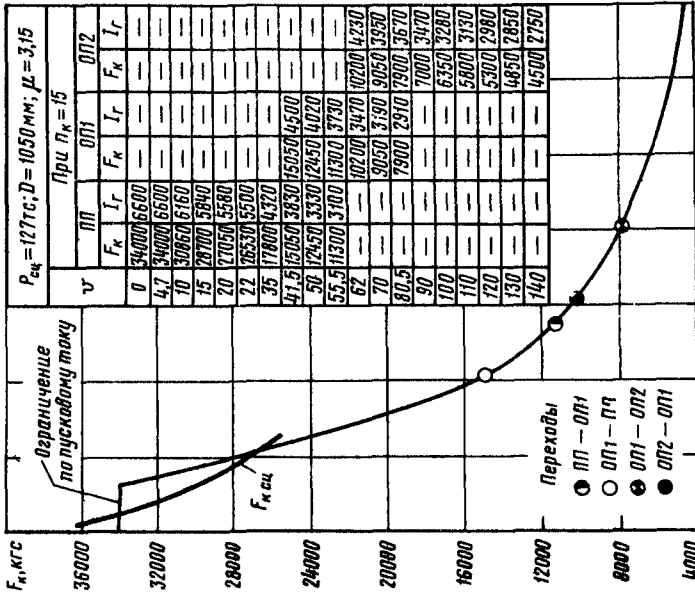


Рис. 5.15. Тяговые характеристики тепловоза ТЭ7 (в числитель — одна секция, в знаменателе — две секции)

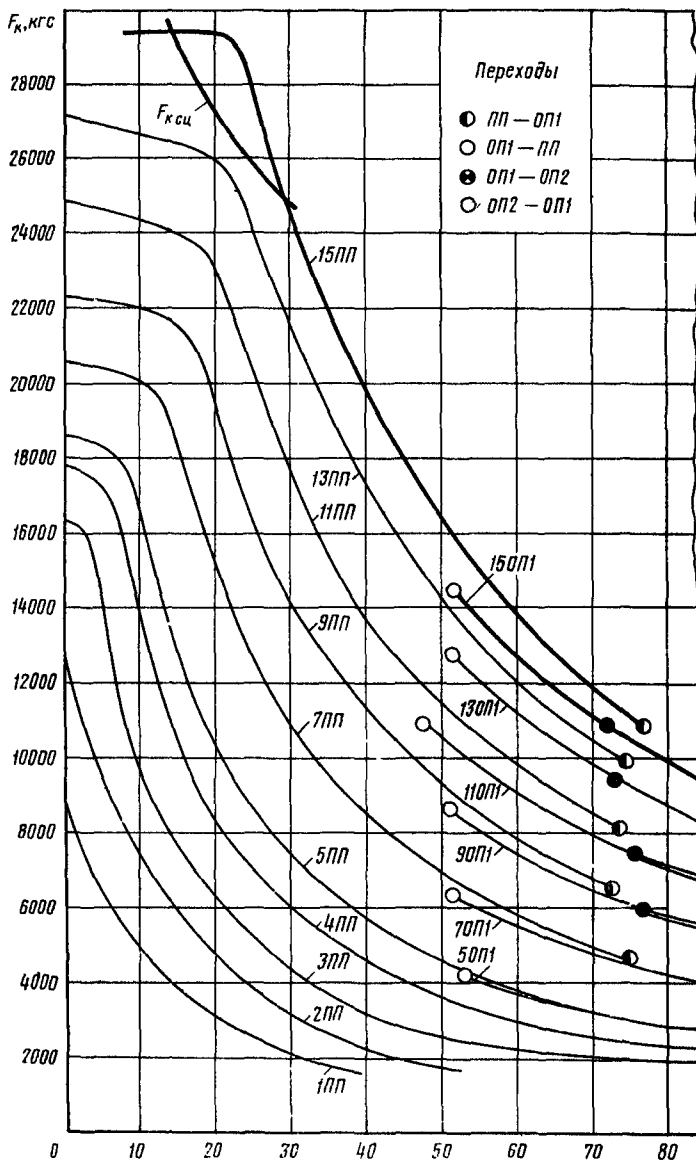
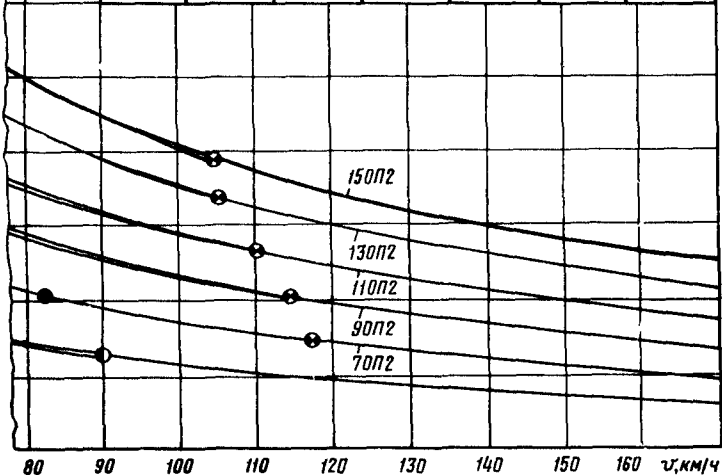


Рис. 5.17. Тяговые характеристики

$P_{сц} = 129 \text{ ТГ}; D = 1220 \text{ мм}; \mu = 3,12$

| $\nu$ | При $n_k = 15$ |       |       |       |       |       |
|-------|----------------|-------|-------|-------|-------|-------|
|       | 0П             |       | 0П1   |       | 0П2   |       |
|       | $F_k$          | $I_r$ | $F_k$ | $I_r$ | $F_k$ | $I_r$ |
| 10    | 29400          | 8400  | --    | --    | --    | --    |
| 14,5  | 29400          | 8400  | --    | --    | --    | --    |
| 20    | 27480          | 8050  | --    | --    | --    | --    |
| 28    | 25550          | 7700  | --    | --    | --    | --    |
| 30    | 24500          | 7250  | --    | --    | --    | --    |
| 40    | 19780          | 6120  | --    | --    | --    | --    |
| 48,3  | 17000          | 5400  | --    | --    | --    | --    |
| 50    | 16450          | 5300  | --    | --    | --    | --    |
| 51,5  | 15990          | 5190  | 14550 | 5920  | --    | --    |
| 60    | 13680          | 4660  | 12780 | 5400  | --    | --    |
| 70    | 11940          | 4180  | 11260 | 4880  | --    | --    |
| 72    | 11610          | 4110  | 10970 | 4780  | 10870 | 5780  |
| 77    | 10870          | 3940  | 10340 | 4580  | 10310 | 5580  |
| 80    | --             | --    | 10020 | 4470  | 9990  | 5460  |
| 90    | --             | --    | 9000  | 4140  | 9045  | 5100  |
| 100   | --             | --    | 8130  | 3880  | 8250  | 4820  |
| 105   | --             | --    | 7750  | 3740  | 7890  | 4680  |
| 110   | --             | --    | --    | --    | 7560  | 4560  |
| 120   | --             | --    | --    | --    | 6960  | 4330  |
| 130   | --             | --    | --    | --    | 6460  | 4160  |
| 140   | --             | --    | --    | --    | 6010  | 4000  |
| 160   | --             | --    | --    | --    | 5270  | 3700  |



тепловоза ТЭП70

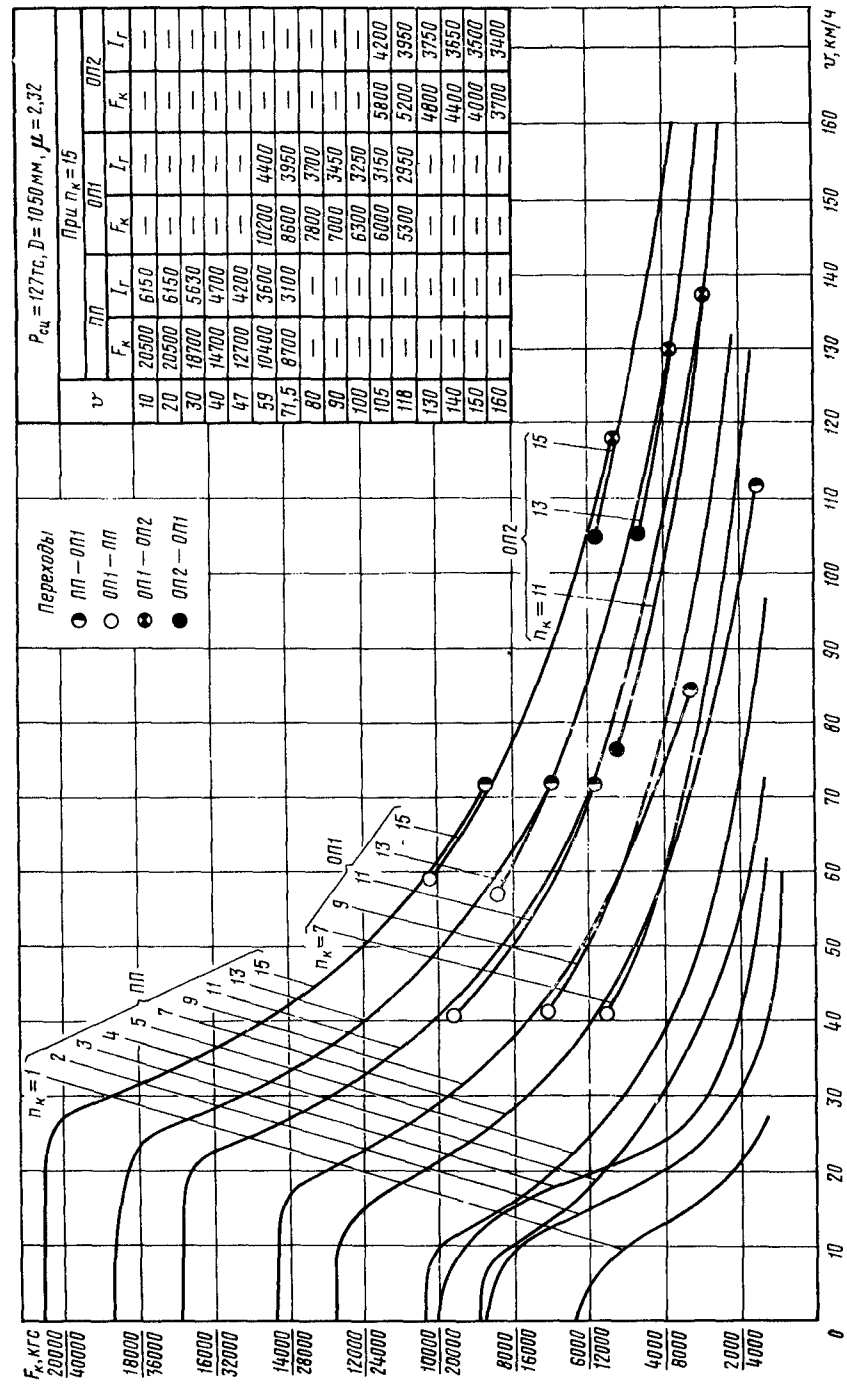


Рис. 5.18 Тяговые характеристики тепловоза ТЭП60 (в числителе) и 2ТЭП60 (в знаменателе)

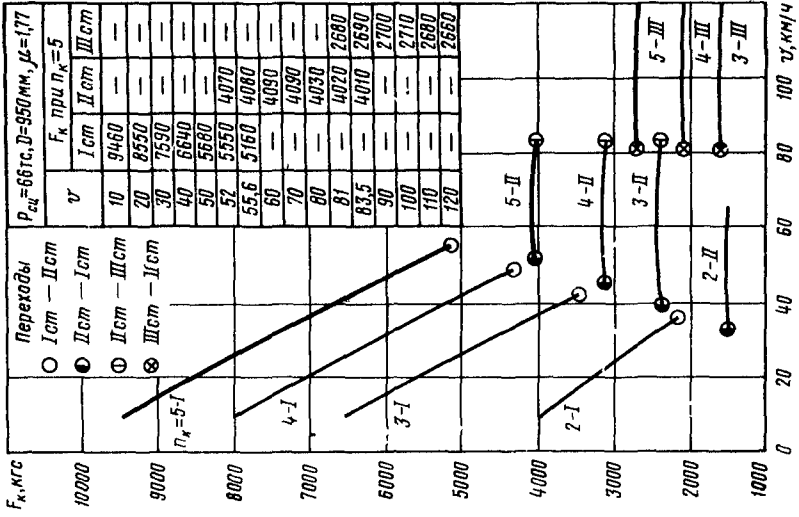


Рис. 5.20 Тяговые характеристики четырехвагонного дизель-поезда Д1 (два моторных вагона)

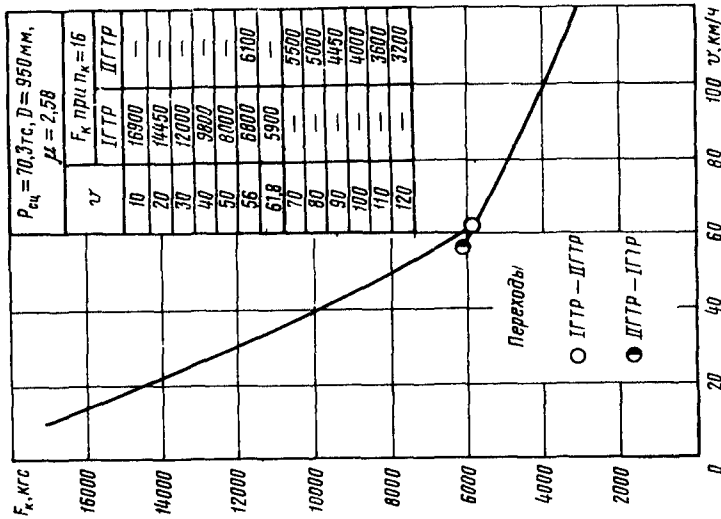


Рис. 5.19 Тяговые характеристики шестивагонного дизель-поезда ДР1 (два моторных вагона)

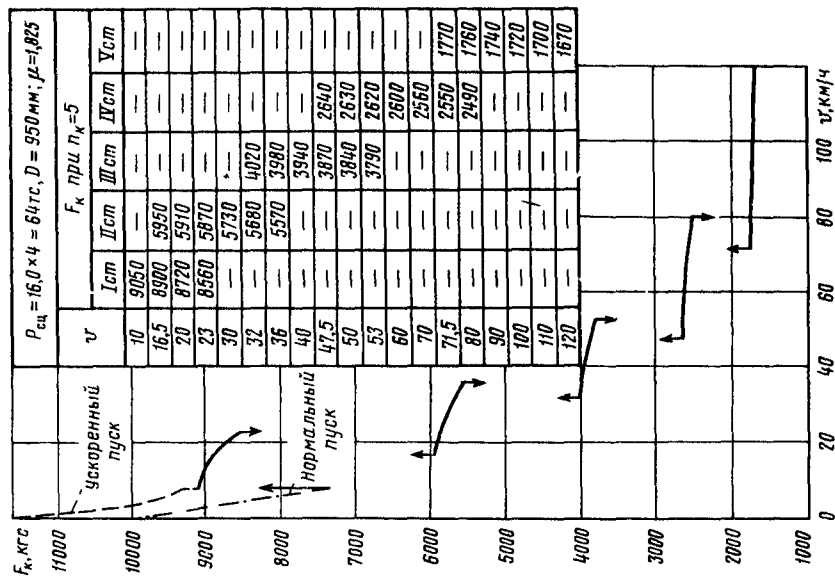
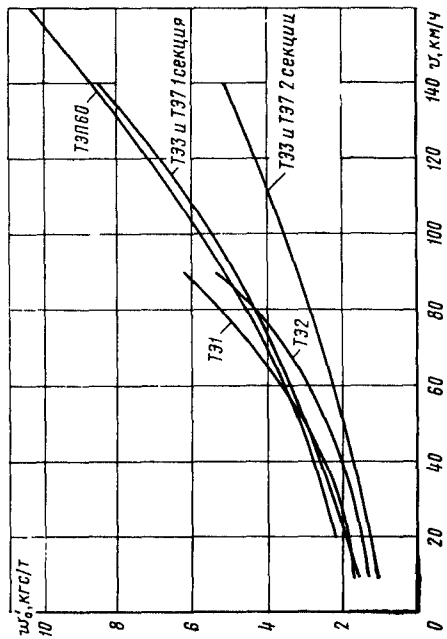


Рис. 5.21. Тяговые характеристики трехвагонного дизель-поезда Д (два моторных вагона)



↑

Рис. 5.22. Основное удельное сопротивление движению тепловозов как повозки

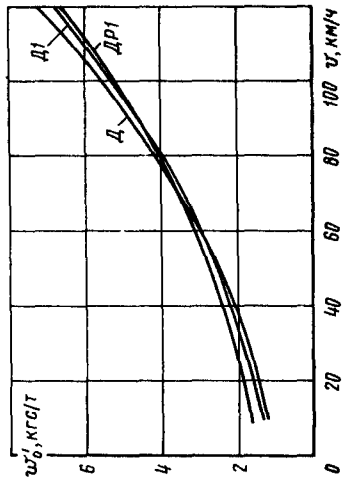


Рис. 5.23. Основное удельное сопротивление движению дизель-поездов как повозки

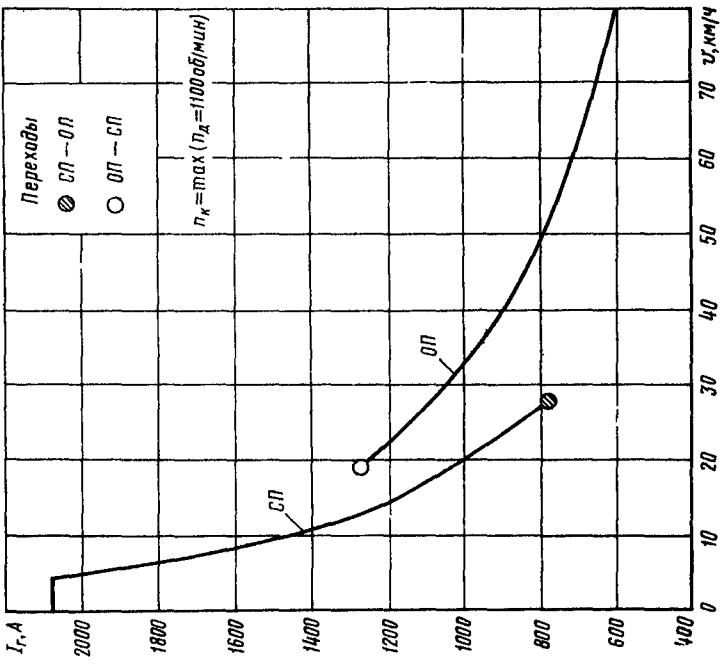


Рис. 5.26. Ток генератора тепловоза ВМЭ1

Рис. 5.25. Основное удельное сопротивление движению дизель-поездов на холостом ходу

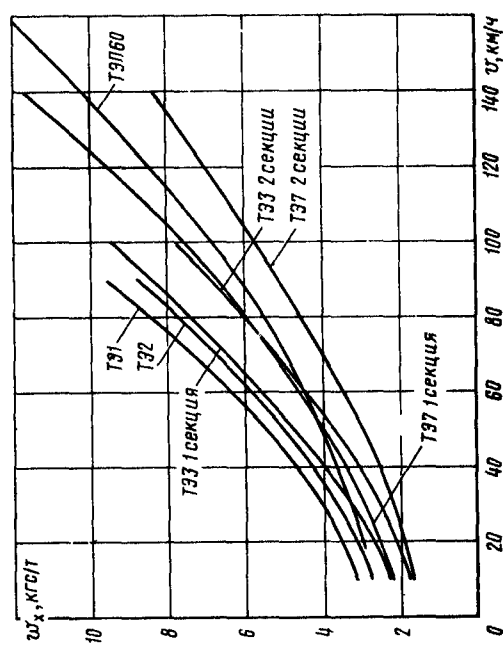
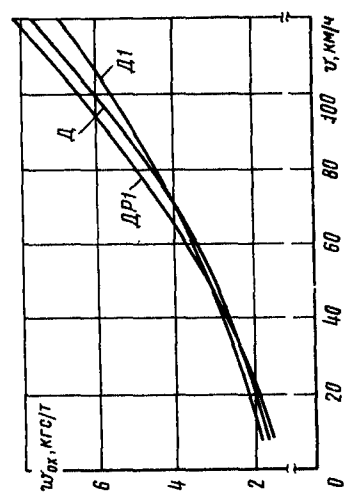


Рис. 5.24. Основное удельное сопротивление движению тепловозов на холостом ходу



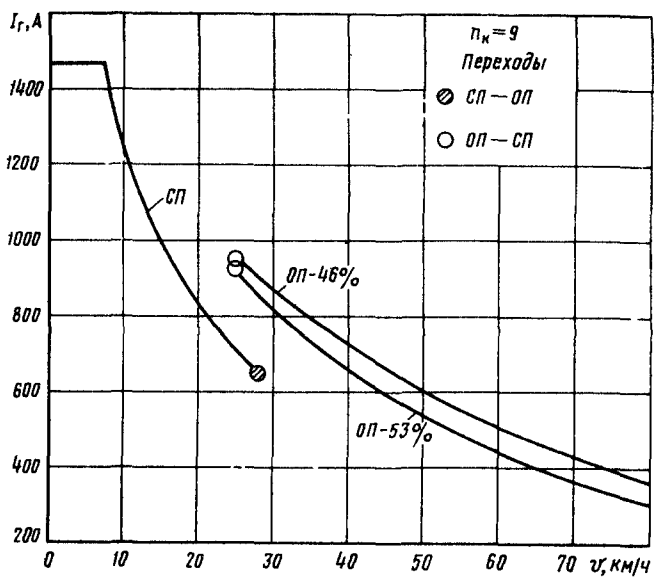


Рис. 5.27. Ток генератора тепловоза ЧМЭ2

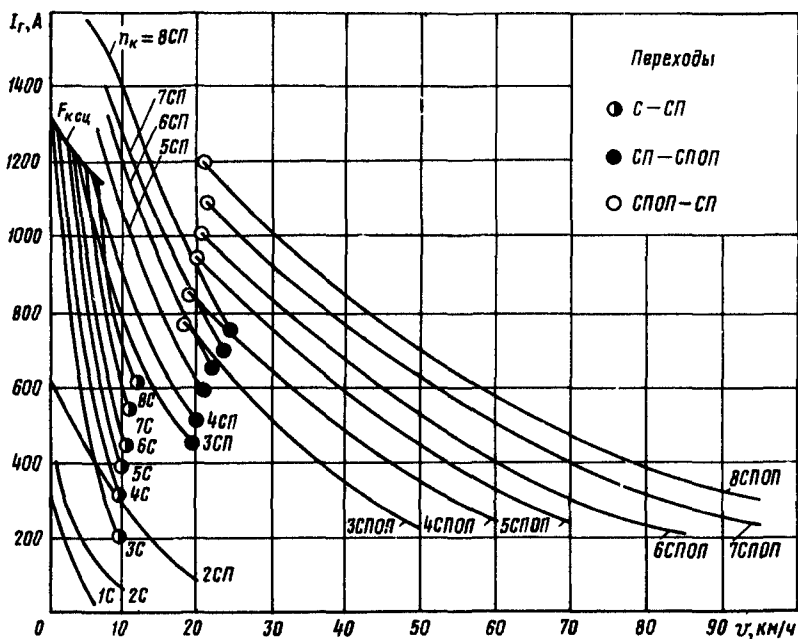


Рис. 5.28. Ток генератора тепловоза ТЭ1

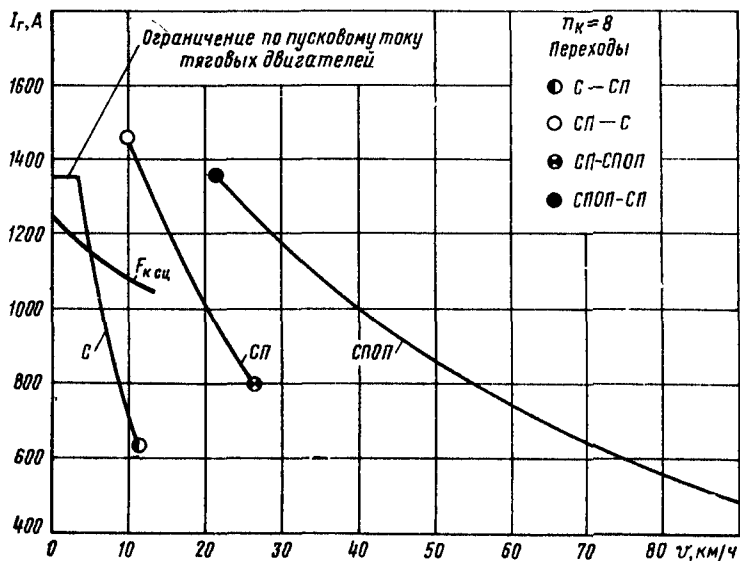


Рис. 5.29. Ток генератора тепловоза ТЭМ1

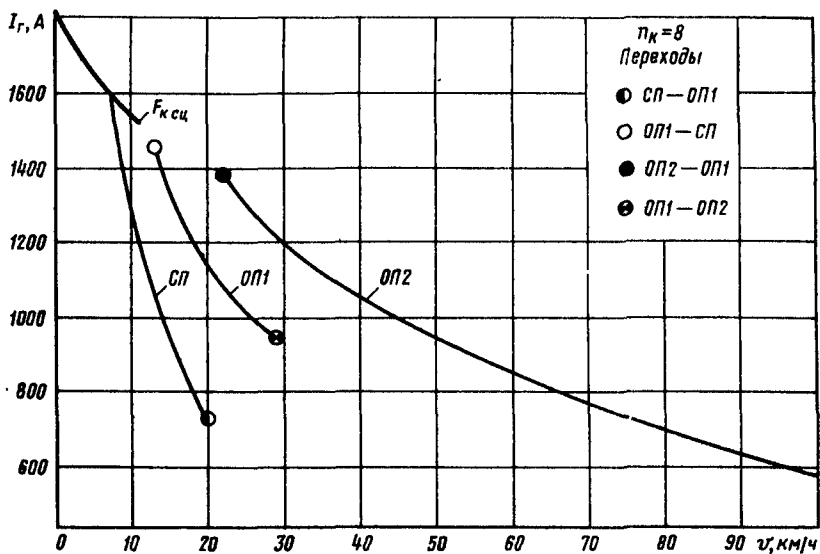


Рис. 5.30. Ток генератора тепловоза ТЭМ2

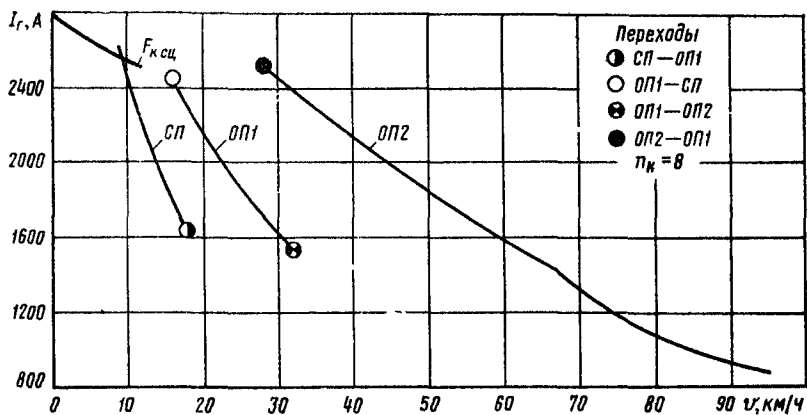


Рис. 5.31. Ток генератора тепловоза ЧМЭЗ

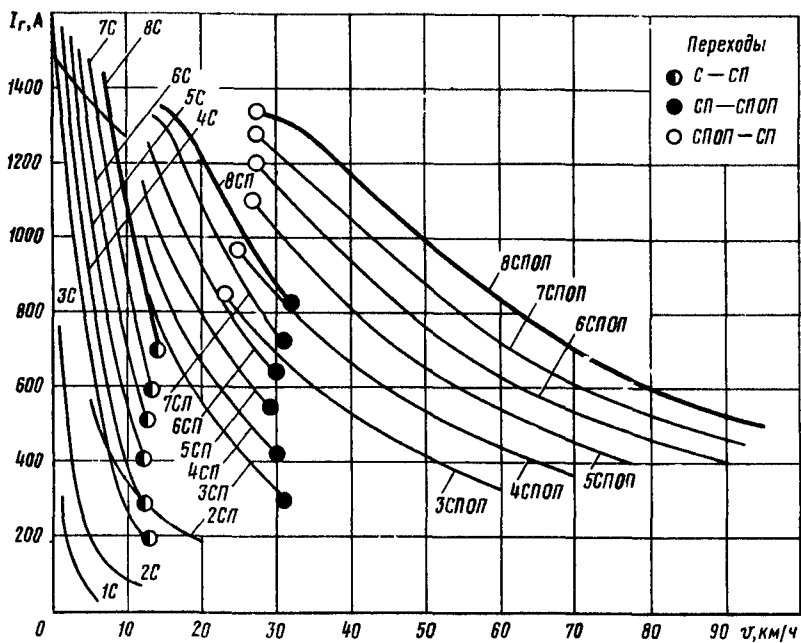


Рис. 5.32. Ток генератора тепловоза ТЭ2

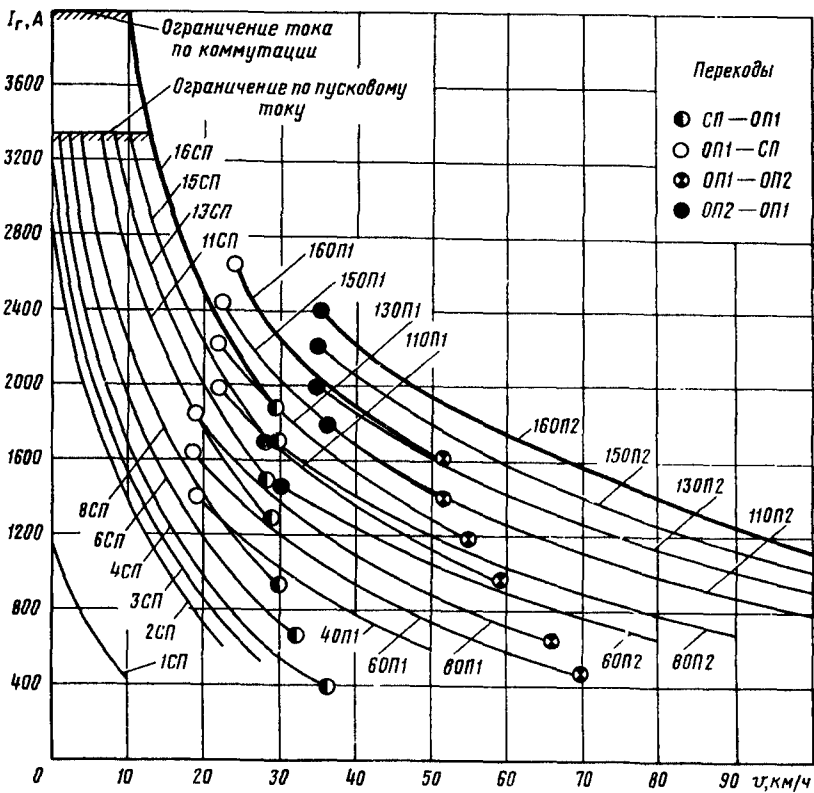


Рис. 5.33. Ток генератора тепловоза ТЭ3

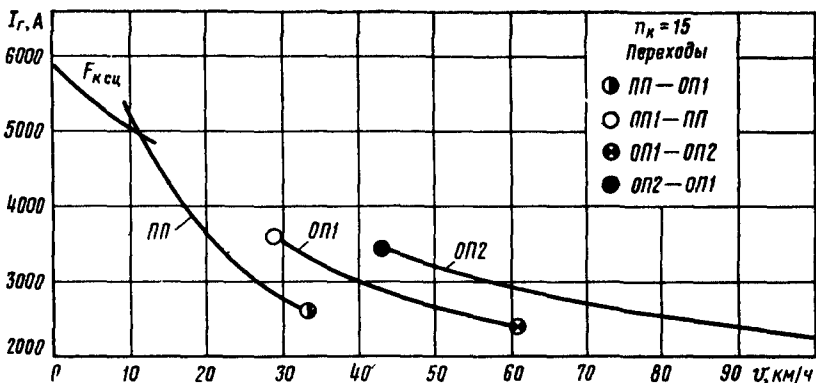


Рис. 5.34. Ток генератора тепловозов М62 и 2М62

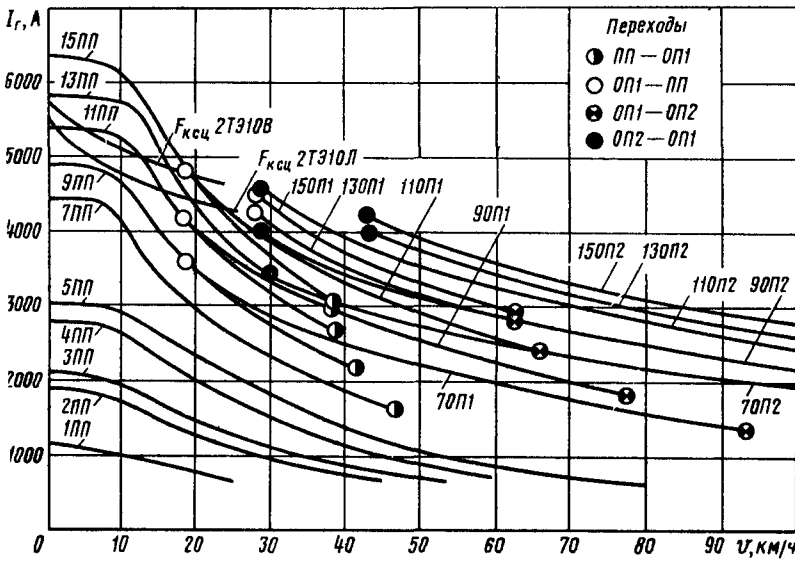


Рис. 5.35. Ток генератора тепловозов 2ТЭ10Л, 2ТЭ10В (М), ТЭ10, 3ТЭ10М

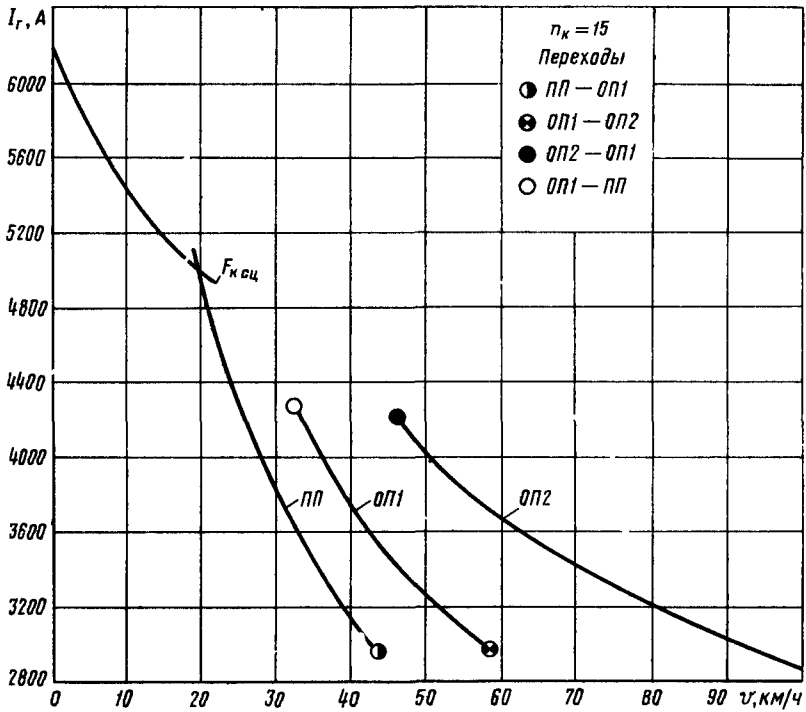


Рис. 5.36. Ток генератора (после выпрямителя) тепловоза 2ТЭ116

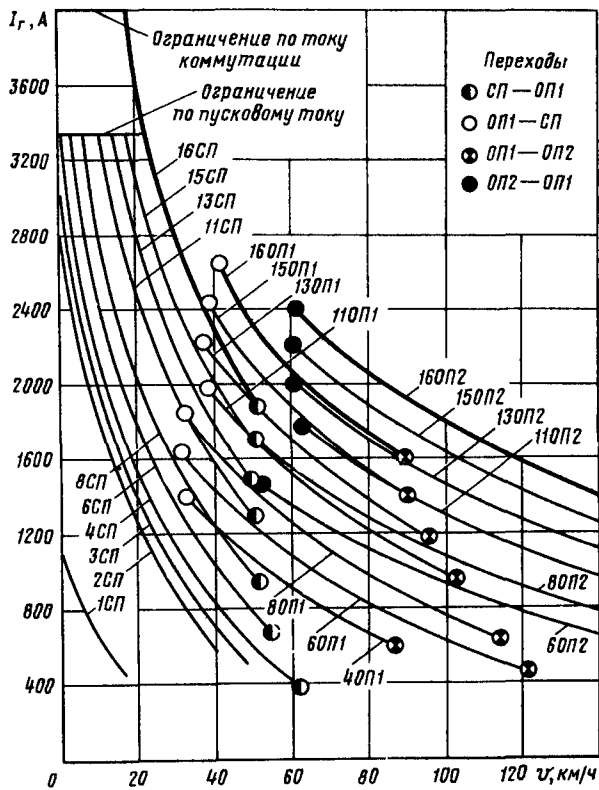


Рис. 5.37. Ток генератора тепловоза ТЭ7

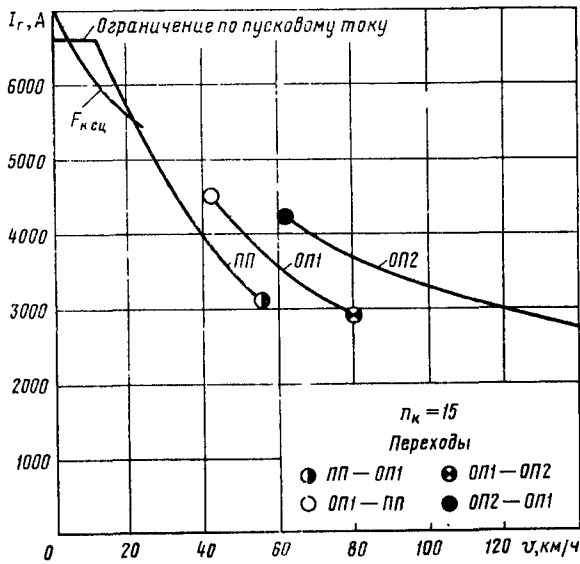


Рис. 5.38. Ток генератора тепловозов ТЭП10 и ТЭП10Л

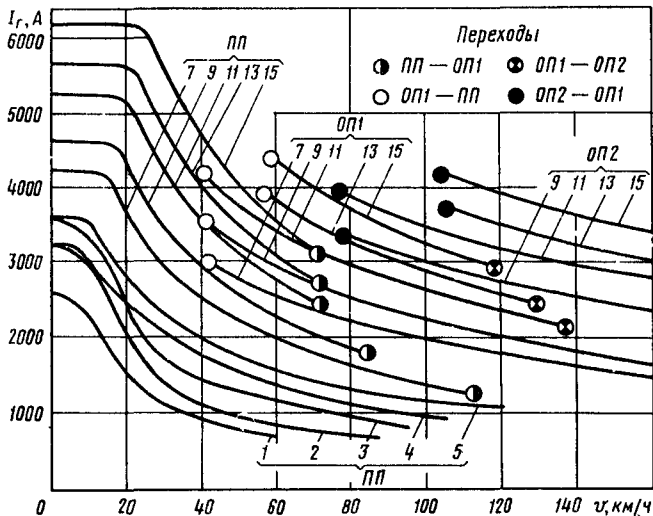


Рис. 5.39. Ток генератора тепловозов ТЭП60 и 2ТЭП60

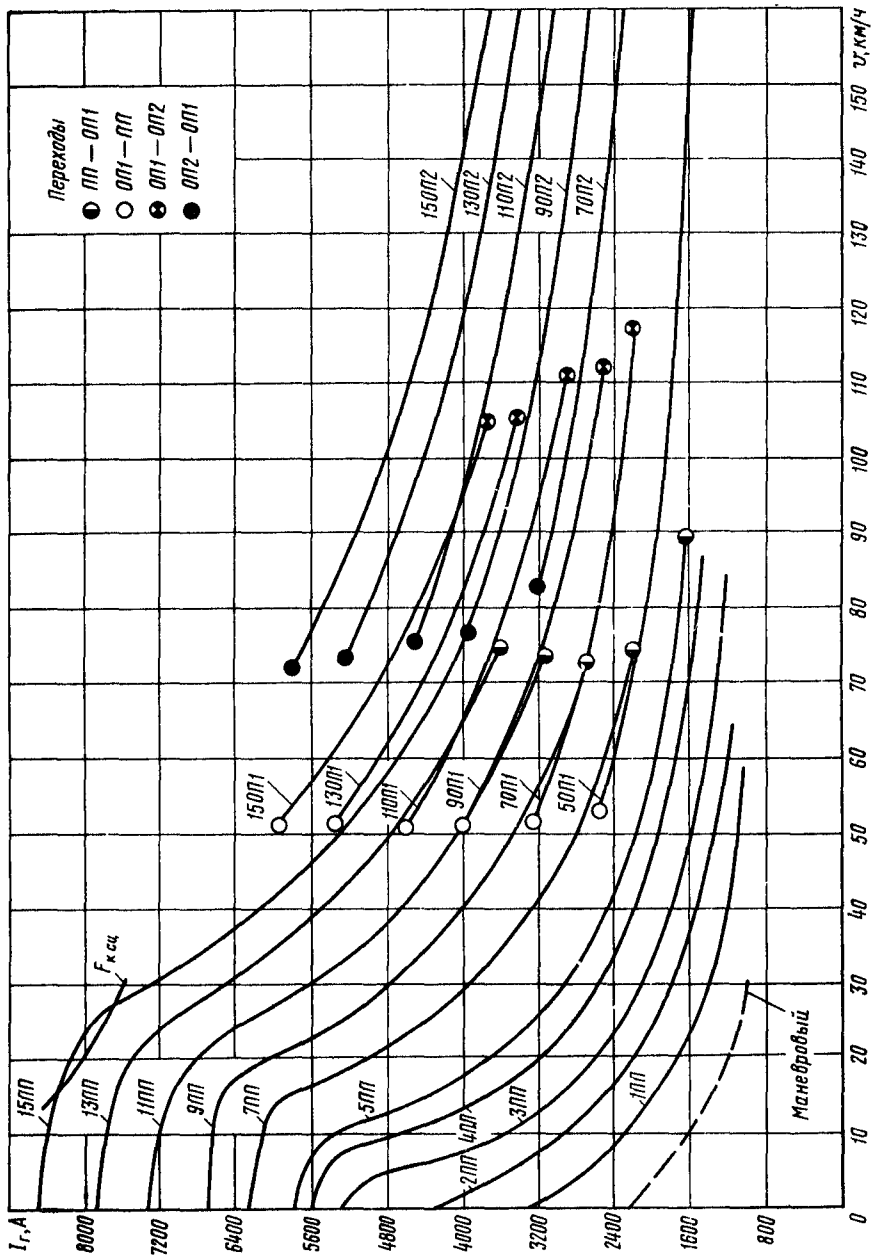


Рис. 5.40. Ток генератора (после выпрямителя) тепловоза ТЭП70

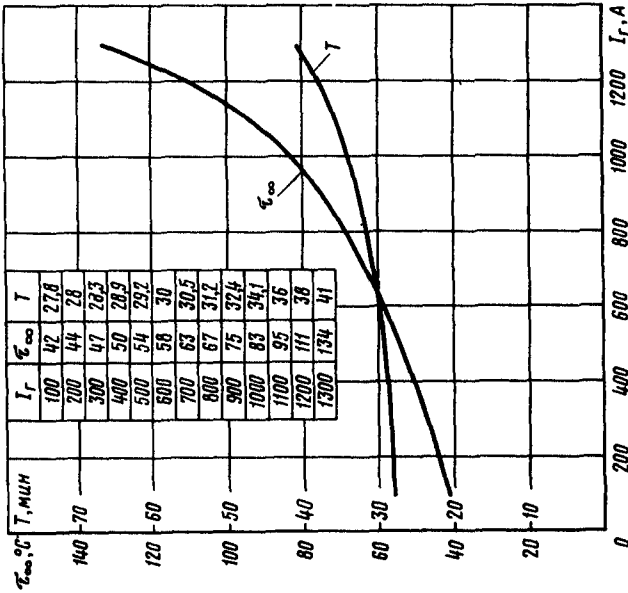


Рис. 5.41. Тепловые характеристики тягового генератора тепловозов ТЭ1, ТЭ2 и ТЭМ1

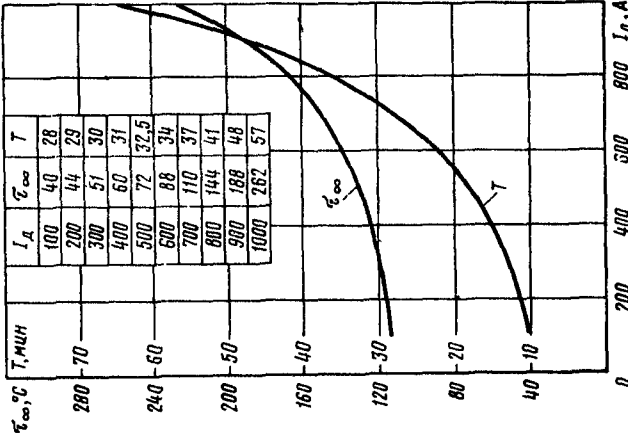


Рис. 5.42. Тепловые характеристики тягового электродвигателя тепловозов ТЭ1 и ТЭ2

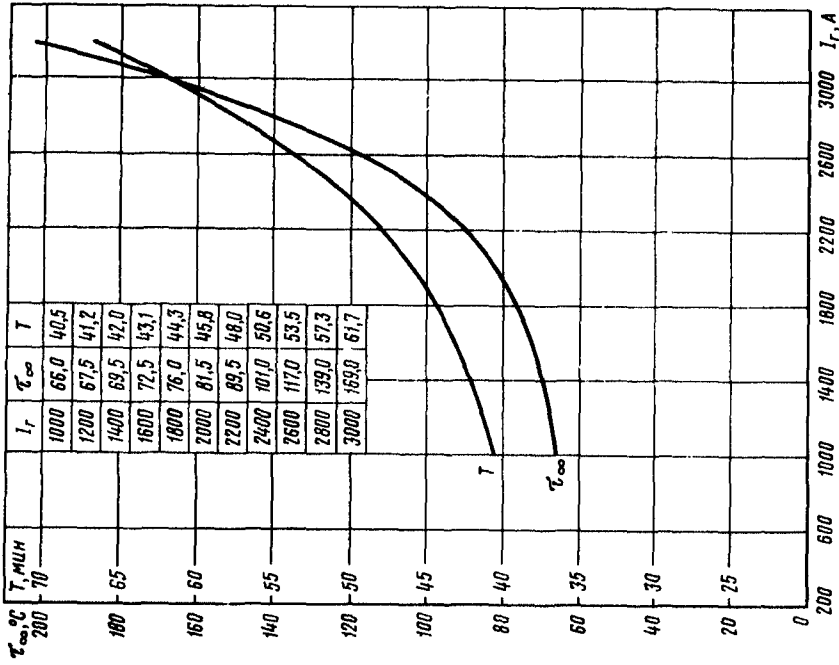


Рис. 5.43. Тепловые характеристики главного генератора тепловозов ТЭЗ и ТЭ7

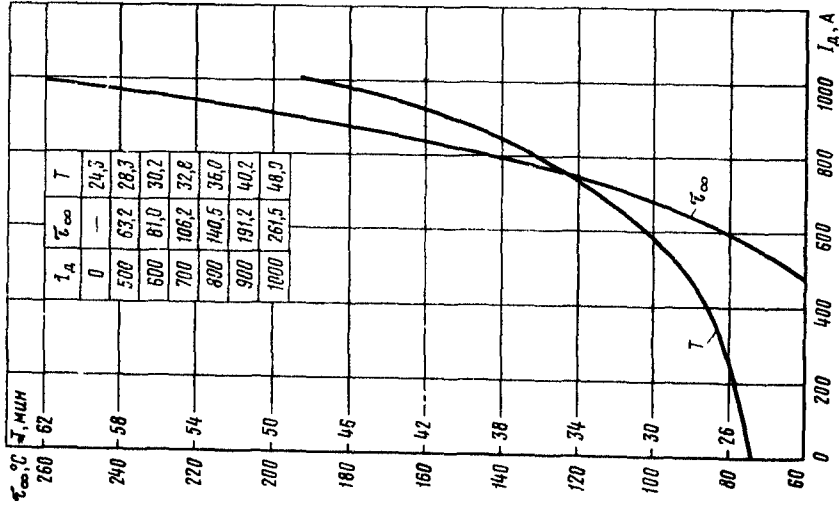


Рис. 5.44. Тепловые характеристики тяговых электродвигателей ЭД107, ЭД107А, ЭД118А тепловозов М62, 2М62, ТЭ10, 2ТЭ10Л, 2ТЭ10В, 2ТЭ10М, 3ТЭ10М, 2ТЭ116

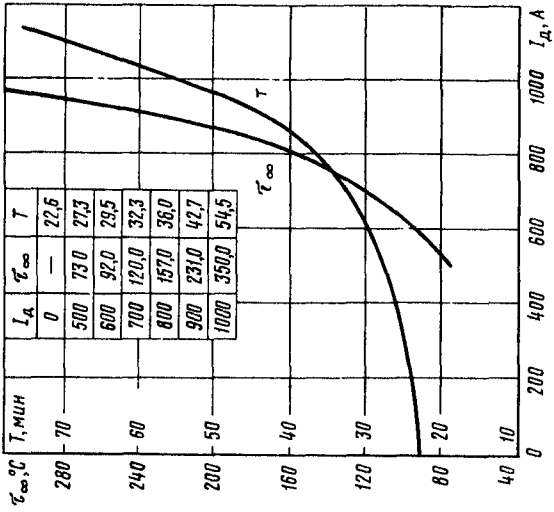


Рис 5 45 Тепловые характеристики тягового электродвигателя тепловоза ТЭП60 (2ТЭП60)

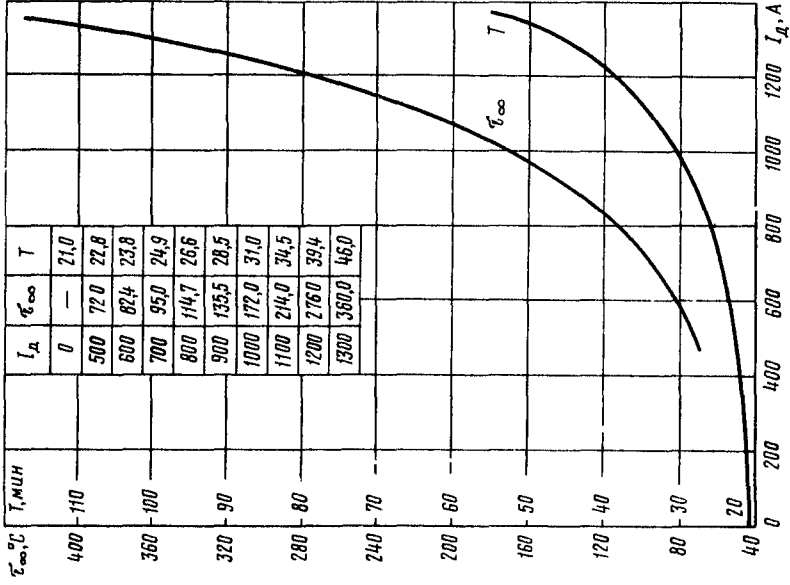


Рис 5 46 Тепловые характеристики тягового электродвигателя тепловоза ТЭП170

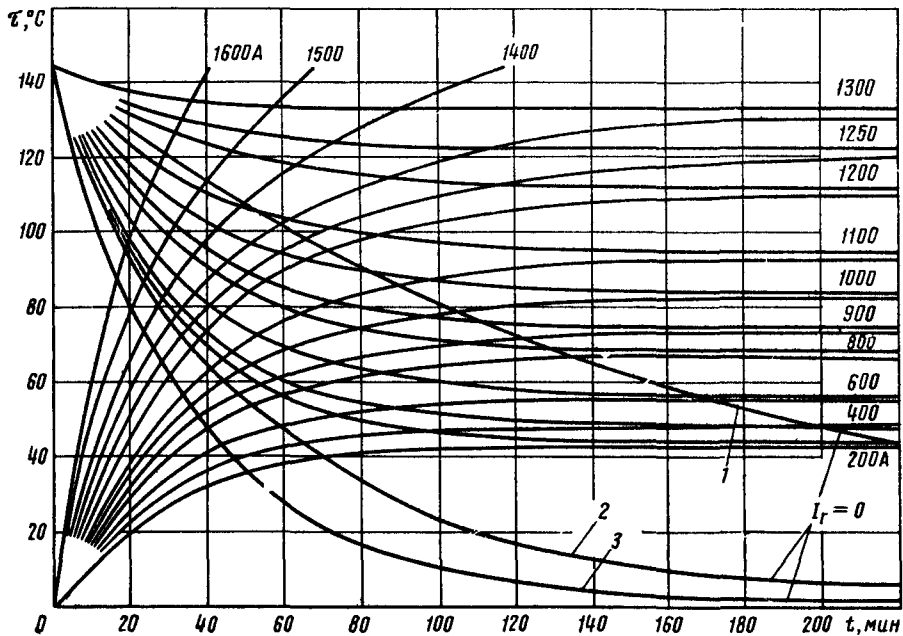


Рис 5 47 Характеристики нагрева и охлаждения обмотки якоря тягового генератора тепловозов ТЭ1, ТЭМ1 и ТЭ2

1 -  $n_d = 0$ , 2 -  $n_d = 270$  об/мин ( $n_k = 0$ ) 3 -  $n_d = 740$  об/мин ( $n_k = 8$ )

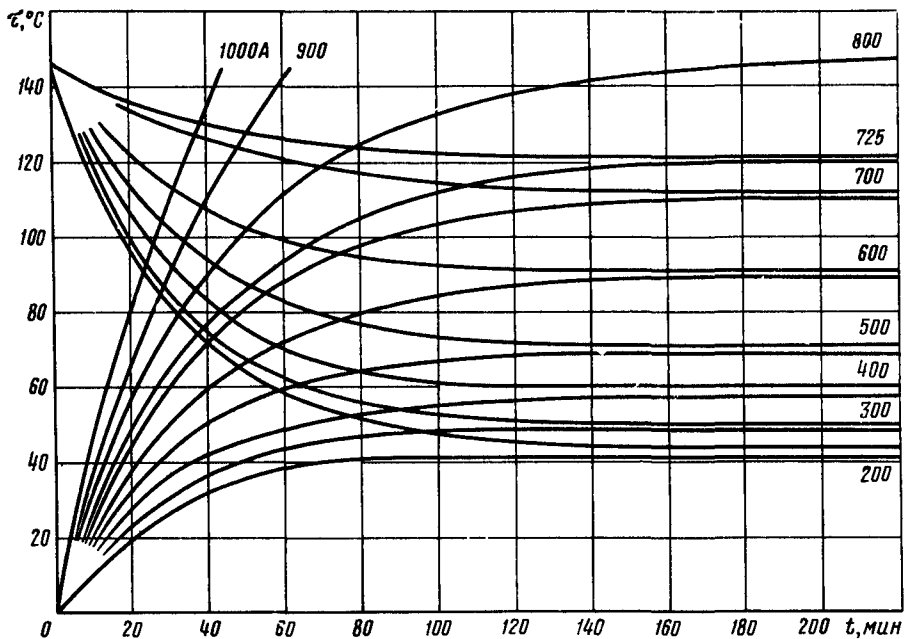


Рис 5 48 Характеристики нагрева и охлаждения обмотки якоря тягового электродвигателя тепловозов ТЭ1, ТЭ2 и ТЭМ1

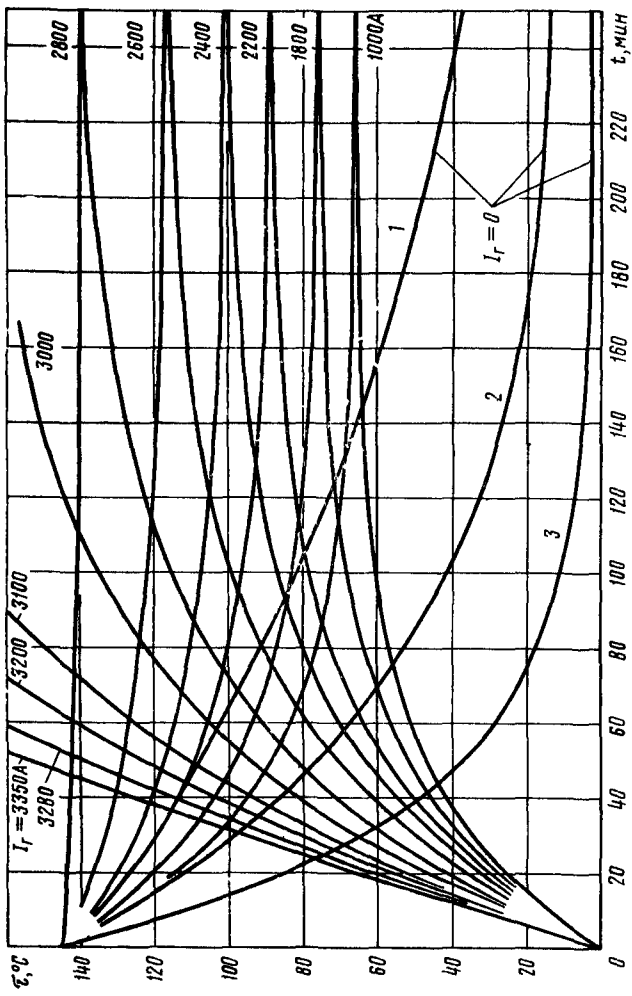


Рис 5 49 Характеристики нагревания и охлаждения обмотки якоря тягового генератора тепловозов ТЭ3 и ТЭ7.  
 1 —  $n_d = 0$ , 2 —  $n_d = 610$  об/мин ( $n_k = 8$ ), 3 —  $n_d = 850$  об/мин ( $n_k = 16$ )

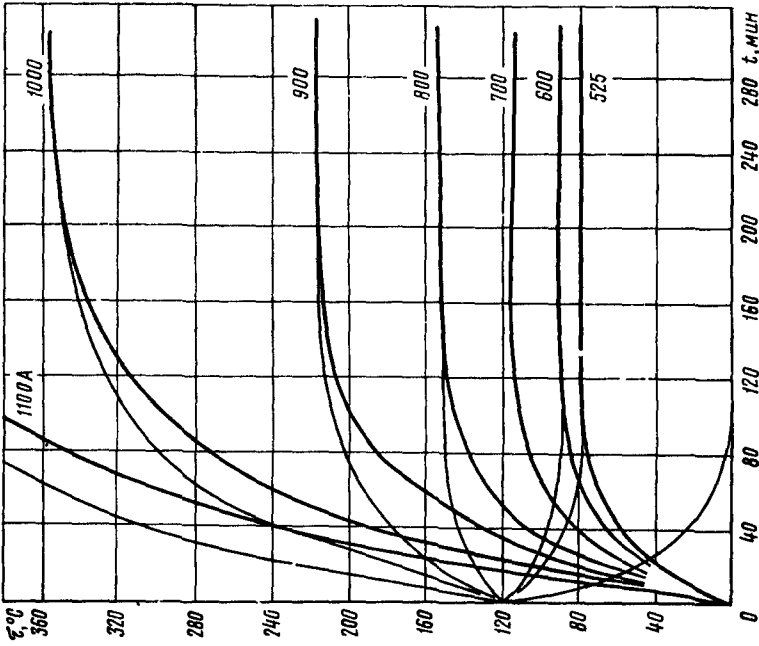
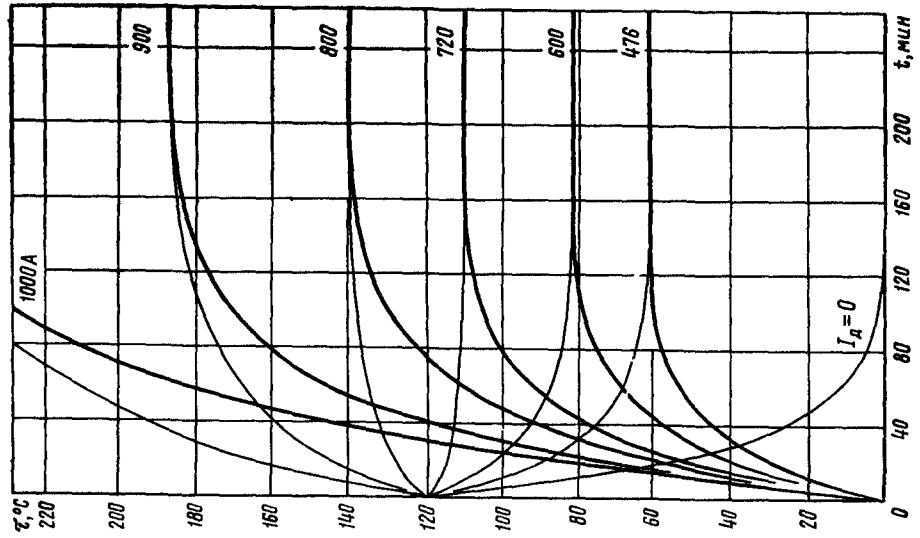


Рис. 5.51. Характеристики нагревания и охлаждения обмотки якоря тягового электродвигателя тепловоза ТЭП160

Рис. 5.50. Характеристики нагревания и охлаждения обмотки якоря тягового электродвигателя тепловозов ТЭ10, 2ТЭ10Л, 2ТЭ10В (М) и 3ТЭ10М

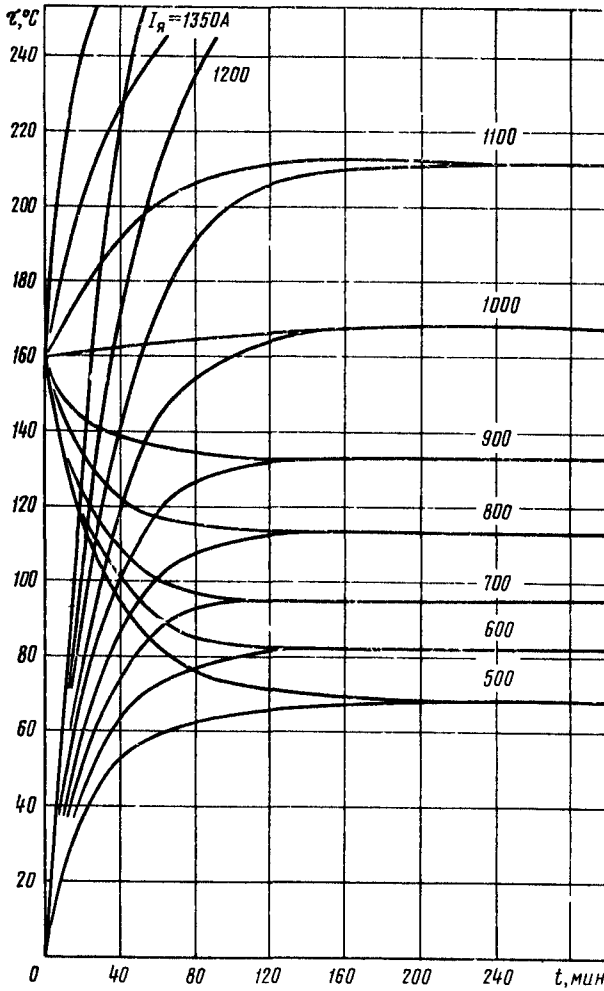


Рис 552 Характеристики нагревания и охлаждения обмотки якоря тягового электродвигателя тепловоза ТЭП70

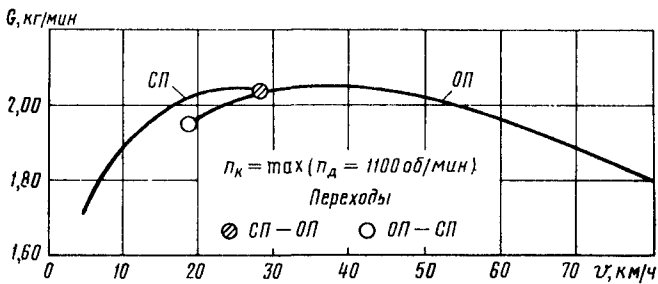


Рис 553 Расход топлива в режиме тяги тепловозом ВМЭ1

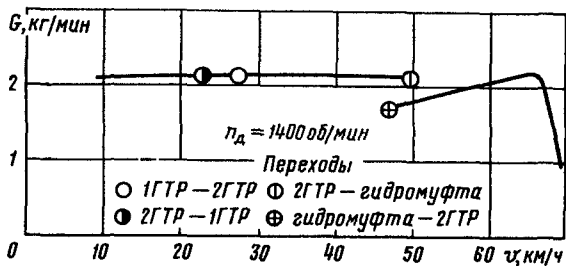


Рис. 5.54. Расход топлива в режиме тяги тепловозом ТГМ3А

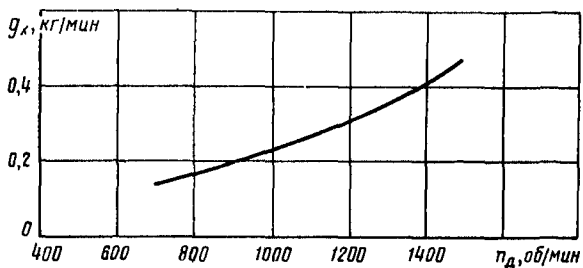


Рис. 5.55. Расход топлива на холостом ходу тепловозом ТГМ3А

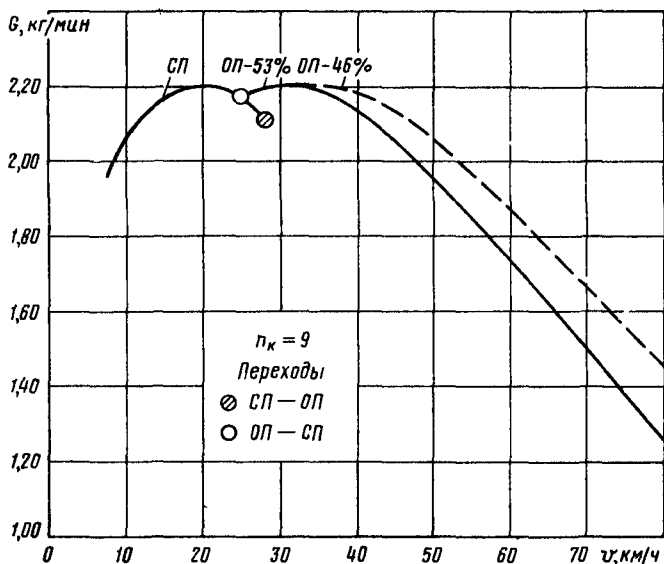


Рис. 5.56. Расход топлива в режиме тяги тепловозом ЧМЭ2

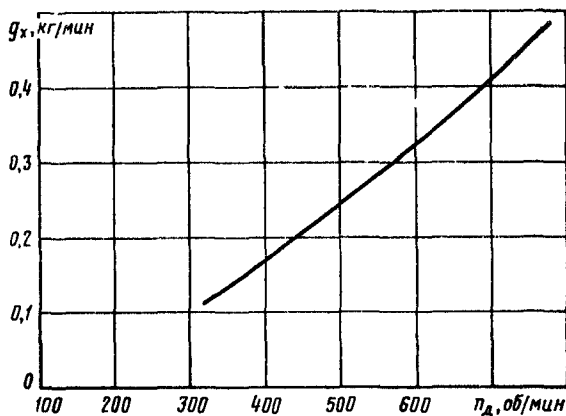


Рис. 5.57. Расход топлива на холостом ходу тепловозом ЧМЭ2

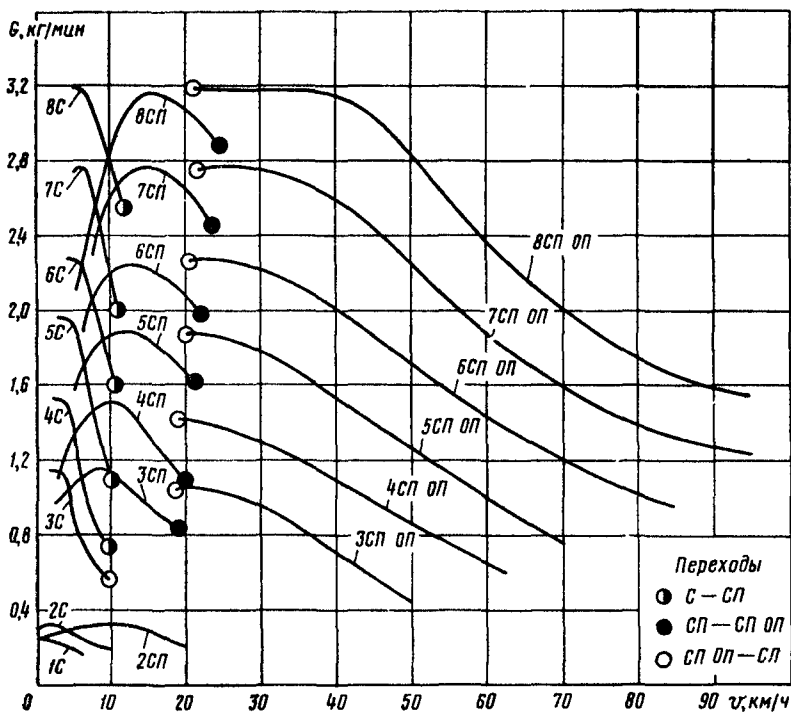


Рис 5.58. Расход топлива в режиме тяги тепловозом ТЭ1

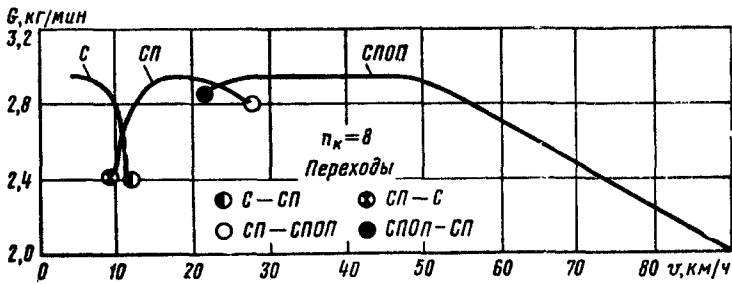


Рис. 5.59. Расход топлива в режиме тяги тепловозом ТЭМ1

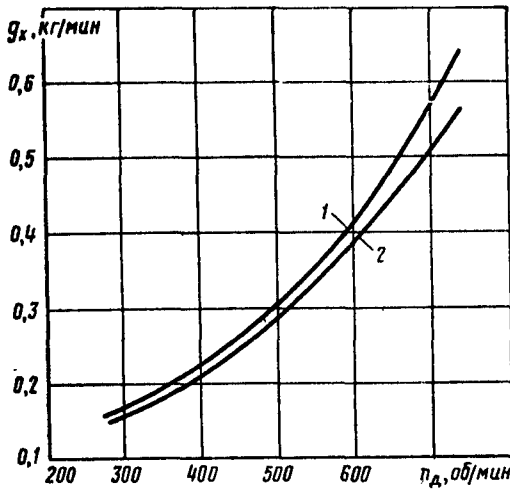
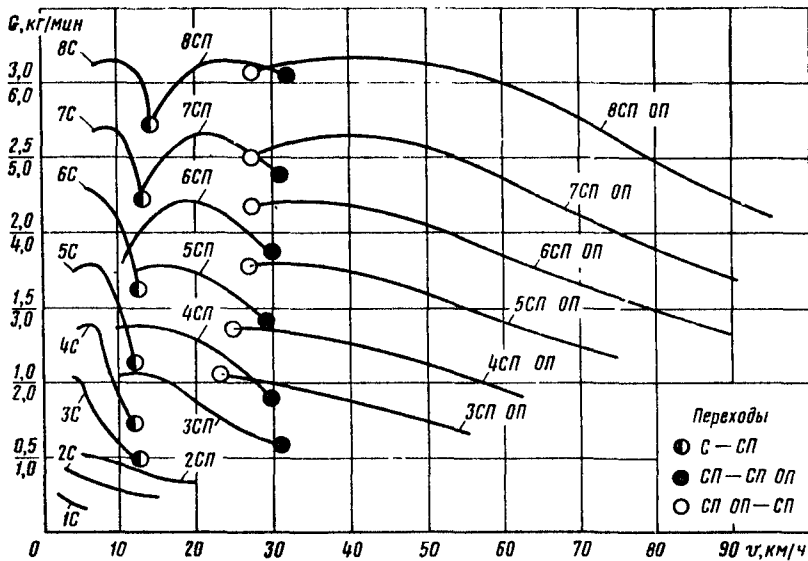


Рис. 5.60. Расход топлива на холостом ходу тепловозами ТЭ1, ТЭМ1 и ТЭ2:  
1 — при включенном вентиляторе;  
2 — при выключенном вентиляторе

Рис. 5.61. Расход топлива в режиме тяги тепловозом ТЭ2 (в числителе — одной секцией; в знаменателе — двумя секциями)



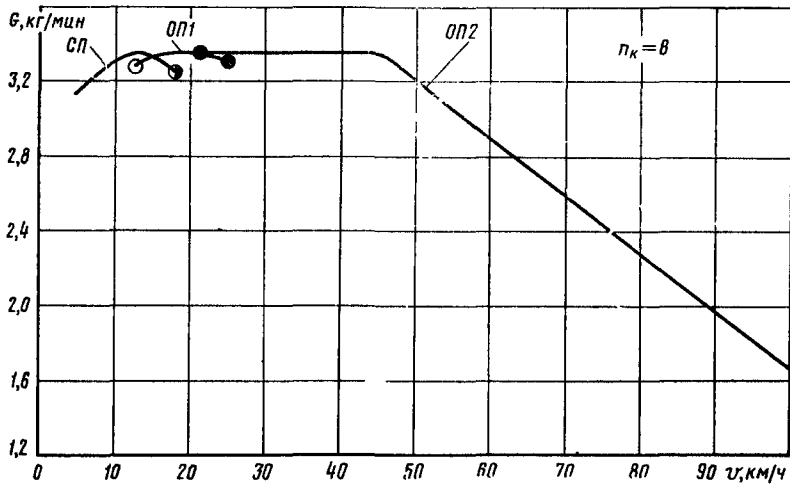


Рис 5 62 Расход топлива в режиме тяги тепловозом ТЭМ2

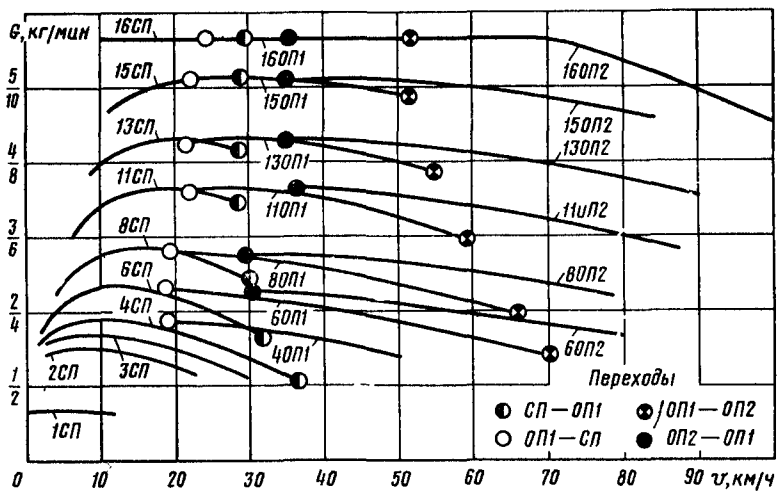


Рис 5 63 Расход топлива в режиме тяги тепловозом ТЭ3 (в числителе — одной секцией, в знаменателе — двумя секциями)

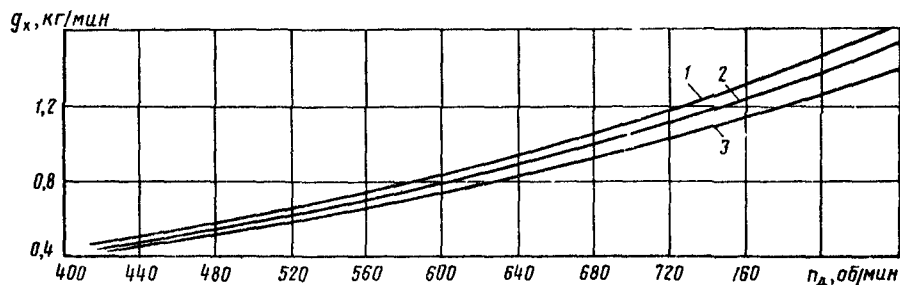


Рис 5 64 Расход топлива на холостом ходу тепловозами ТЭ3 и ТЭ7 (один дизель,  $n_k \geq 2$ )  
1 вентилятор на летнем режиме 2 вентилятор на зимнем режиме 3 вентилятор выключен

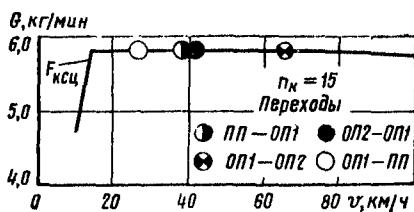


Рис 5 65 Расход топлива в режиме тяги тепловозом М62

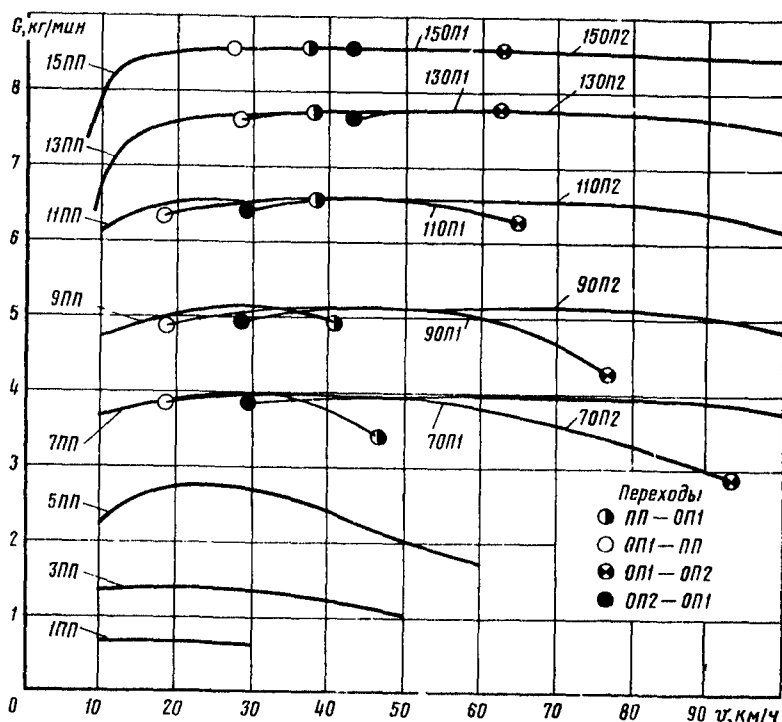


Рис 5 66 Расход топлива в режиме тяги тепловозами 2ТЭ10Л, 2ТЭ10В, 2ТЭ10М ТЭ10 и 3ТЭ10М (одной секцией)

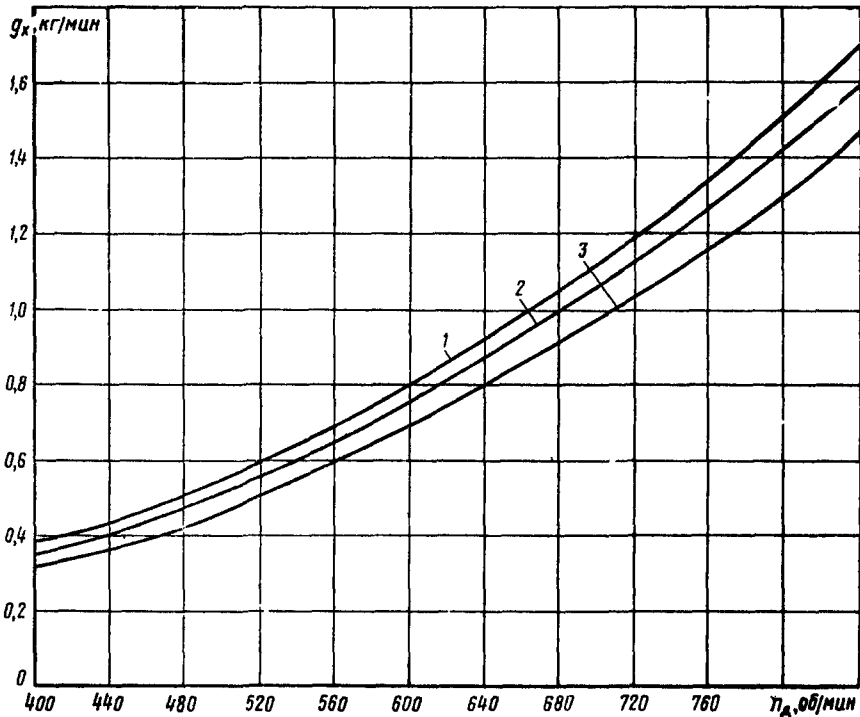


Рис. 5.67. Расход топлива на холостом ходу тепловозами 2ТЭ10Л, 2ТЭ10В, 2ТЭ10М, 3ТЭ10М, ТЭ10, ТЭП10 и ТЭП10Л (одной секцией):

1 — вентилятор включен на вторую ступень; 2 — вентилятор включен на первую ступень; 3 — вентилятор выключен

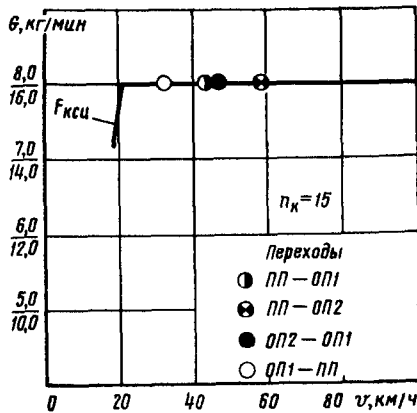


Рис 5.68. Расход топлива в режиме тяги тепловозом 2ТЭ116 (в числителе — одной секцией; в знаменателе — двумя секциями)

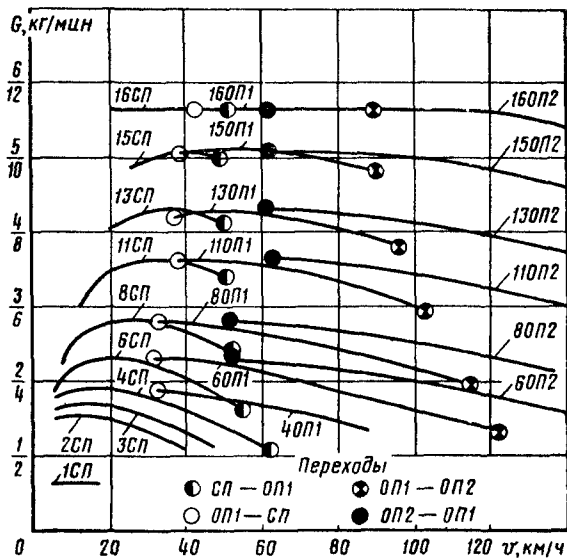


Рис. 5.69. Расход топлива в режиме тяги тепловозом ТЭ7 (в числителе — одной секцией, в знаменателе — двумя секциями)

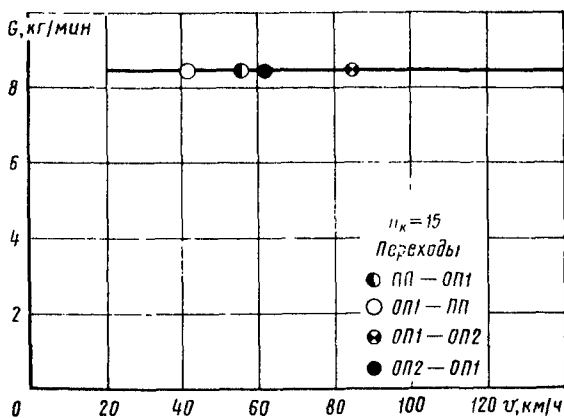


Рис. 5.70. Расход топлива в режиме тяги тепловозами ТЭП10 и ТЭП10Л

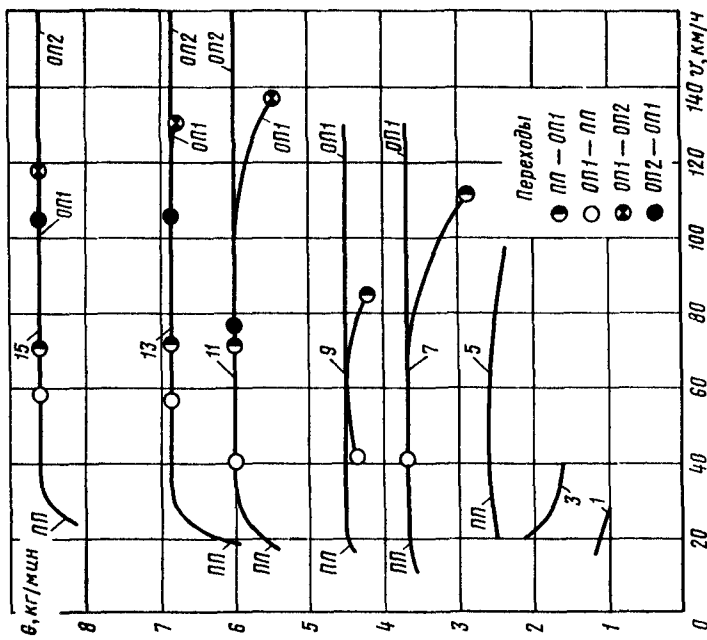


Рис 571 Расход топлива в режиме тяги тепловозом ТЭП60

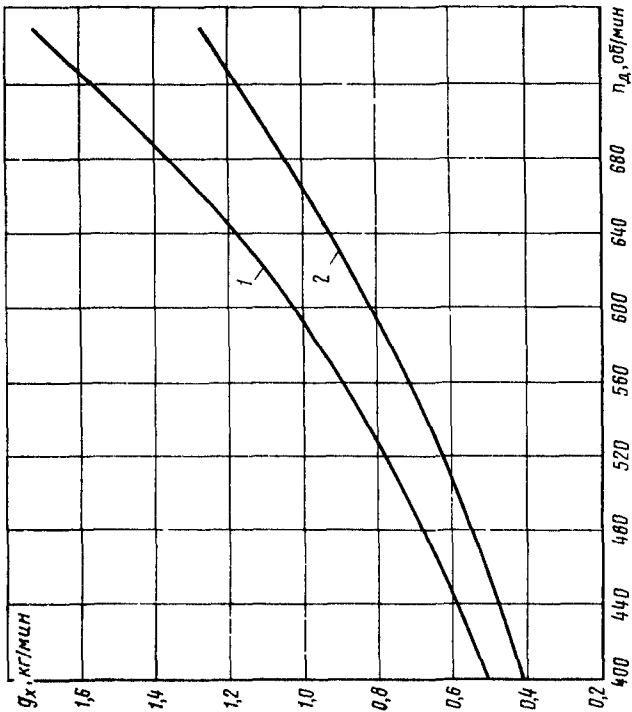


Рис 572 Расход топлива на холостом ходу тепловозом ТЭП60  
1 — при включенных вентиляторах холодильника 2 — при выключенных вентиляторах холодильника

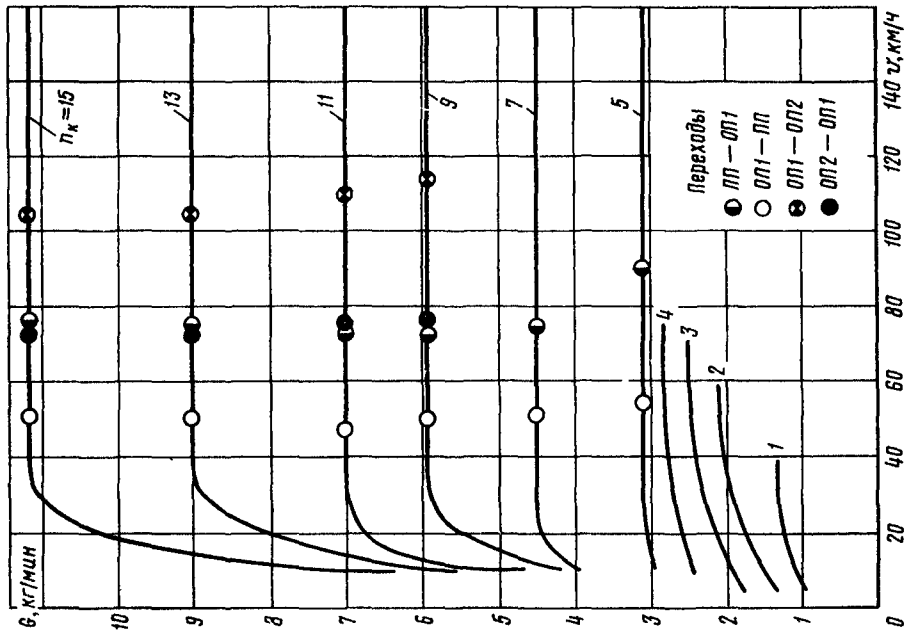


Рис 573 Расход топлива в режиме тяги тепловозом ТЭП70

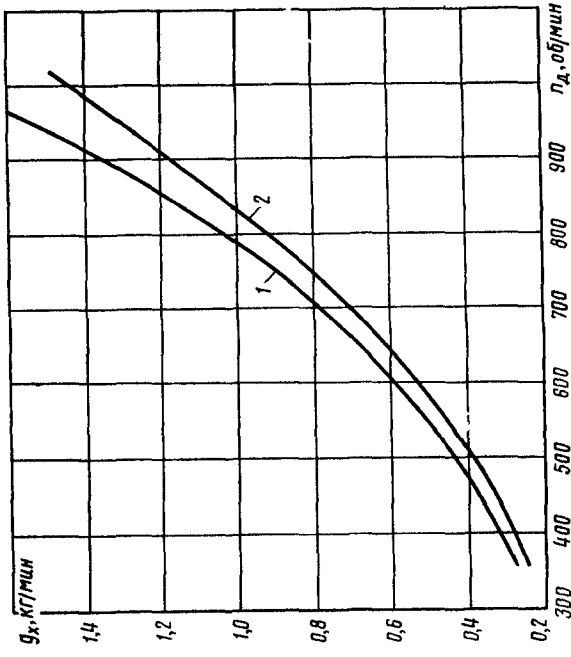


Рис 574 Расход топлива на холодном ходу тепловозом ТЭП70

1 — вентиляторы холодильника включены, 2 — вентиляторы холодильника выключены

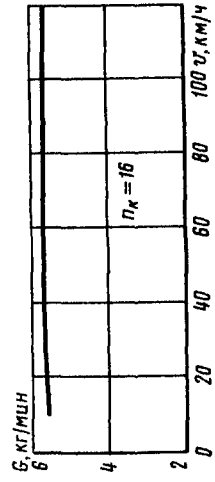


Рис 575 Расход топлива в режиме тяги дизель-поездом ДР1 (двумя дизелями)

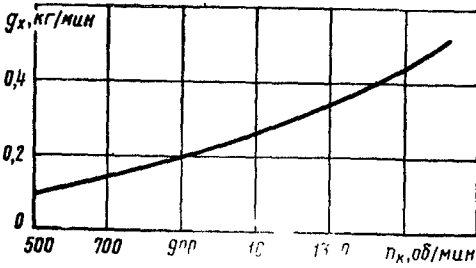


Рис. 5.76. Расход топлива на холостом ходу дизель-поездом ДР1 (одним дизелем)

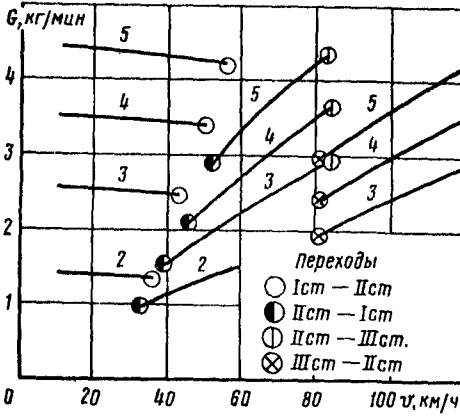


Рис. 5.77. Расход топлива в режиме тяги дизель-поездом Д1 (двумя дизелями)

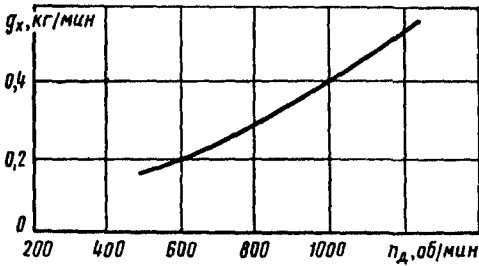


Рис. 5.78. Расход топлива на холостом ходу дизель-поездом Д1 (одним дизелем)

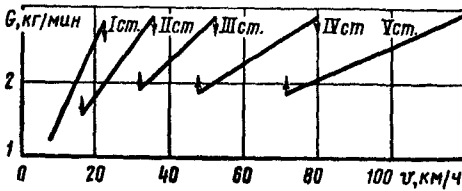


Рис. 5.79. Расход топлива в режиме тяги дизель-поездом Д (двумя дизелями)

ХАРАКТЕРИСТИКИ ПАРОВОЗОВ (рис. 6.1—6.12)

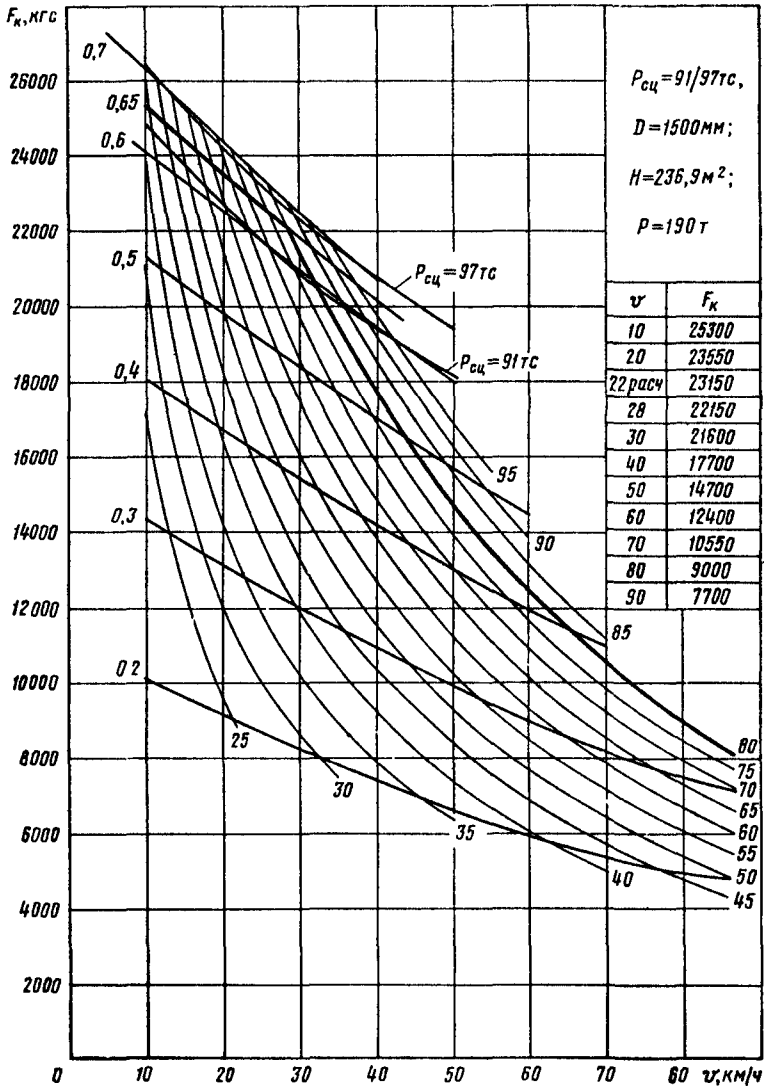


Рис. 6.1. Тяговые характеристики паровоза ЛВ

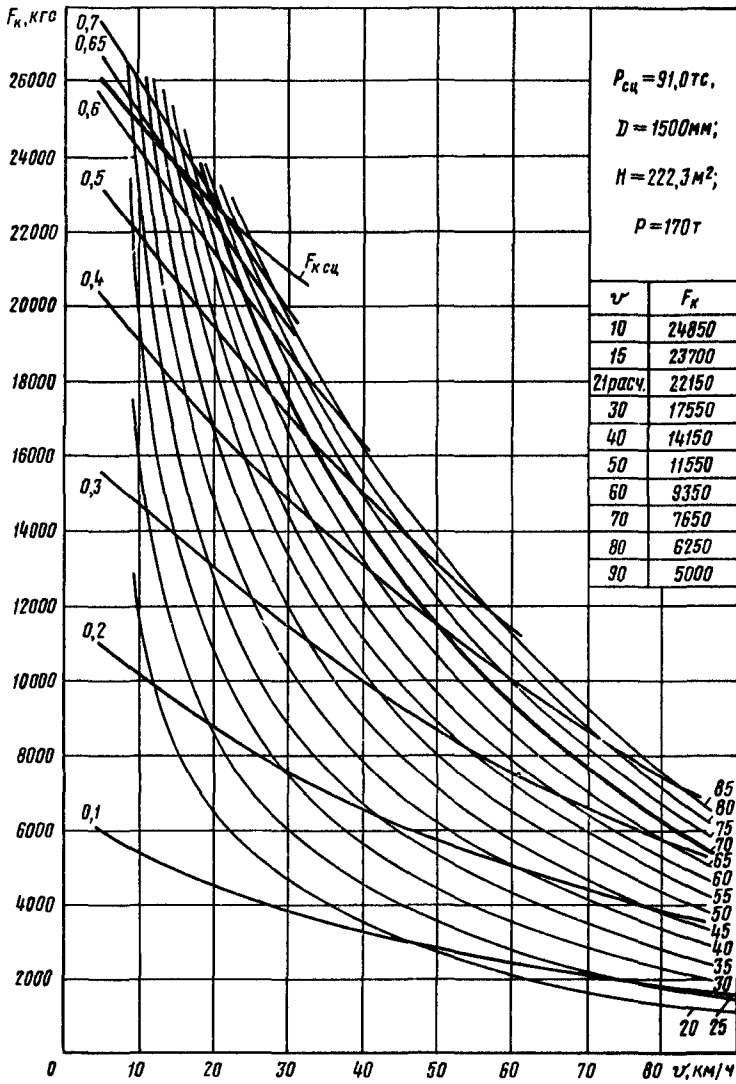


Рис. 6.2. Тяговые характеристики паровоза Л

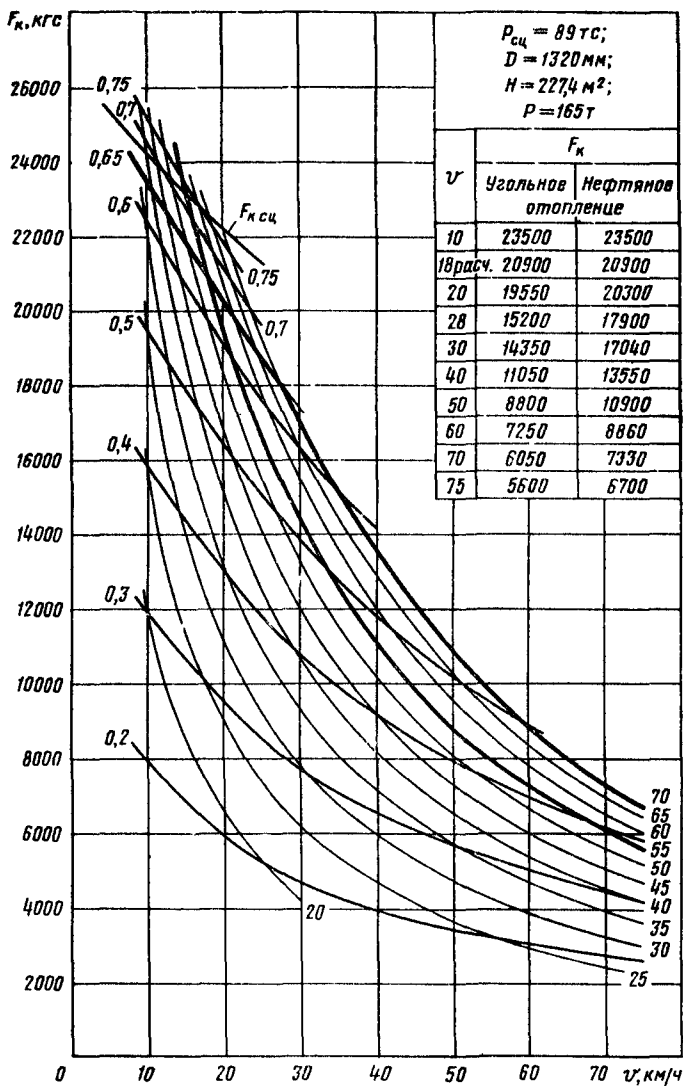


Рис 63. Тяговые характеристики паровоза СО

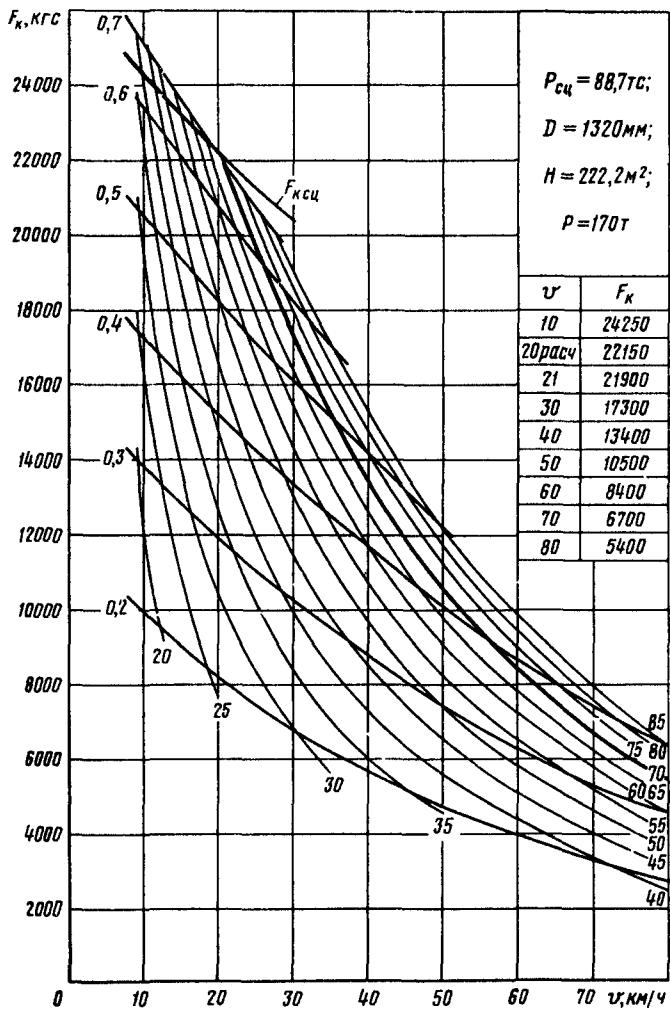


Рис. 6.4. Тяговые характеристики паровозов  $E^a, м$

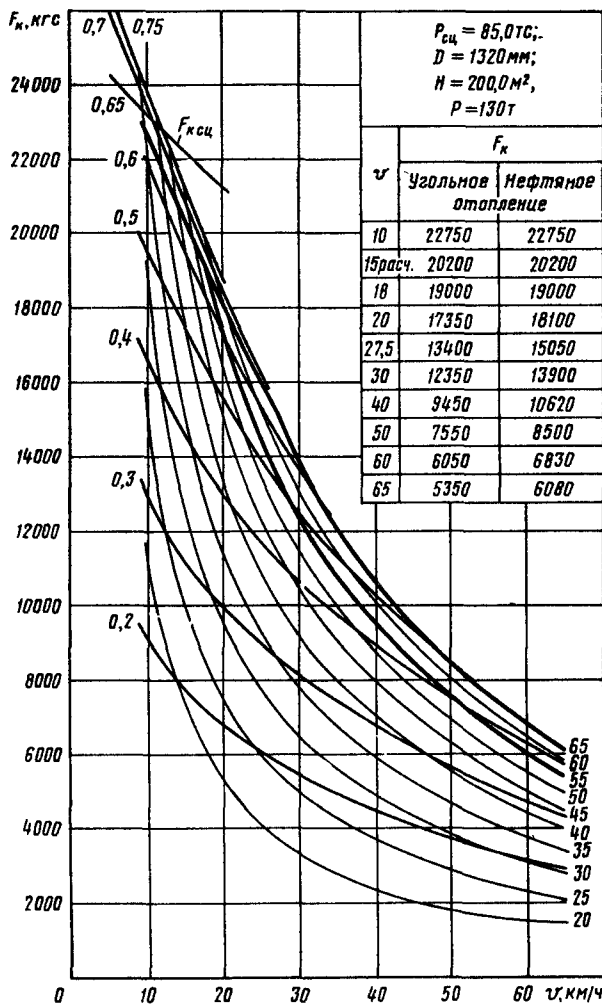


Рис. 6.5. Тяговые характеристики паровоза ЭР (32 жаровые трубы)

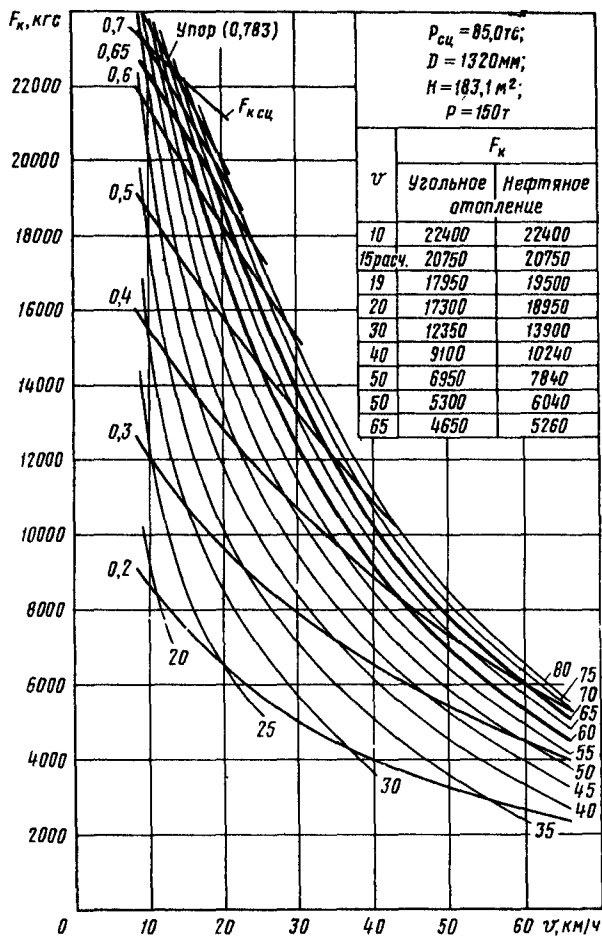


Рис. 6.6 Тяговые характеристики паровоза ЭР (40 жаровых труб)

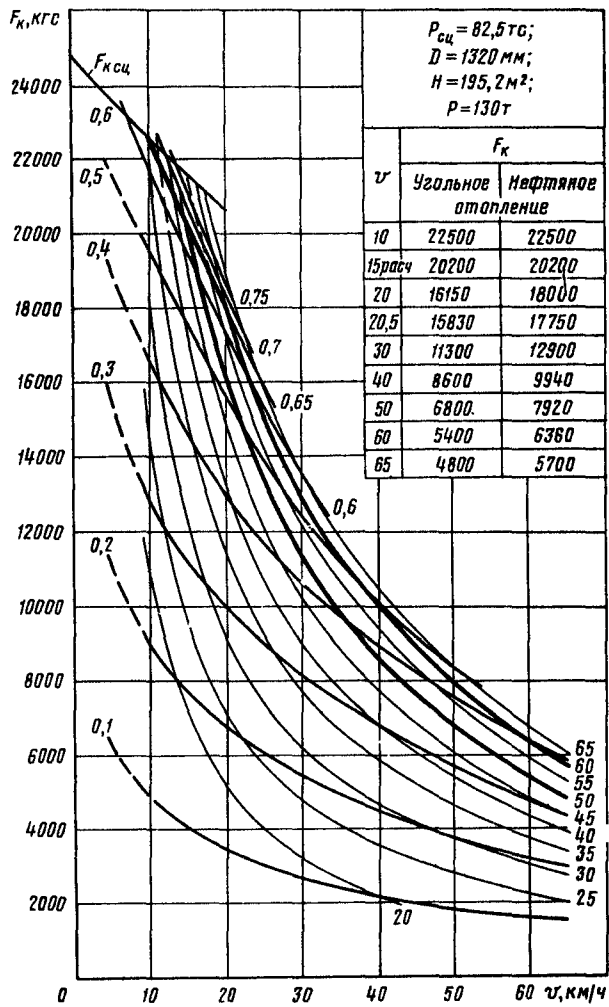


Рис 6.7. Тяговые характеристики паровоза Э<sup>м</sup>

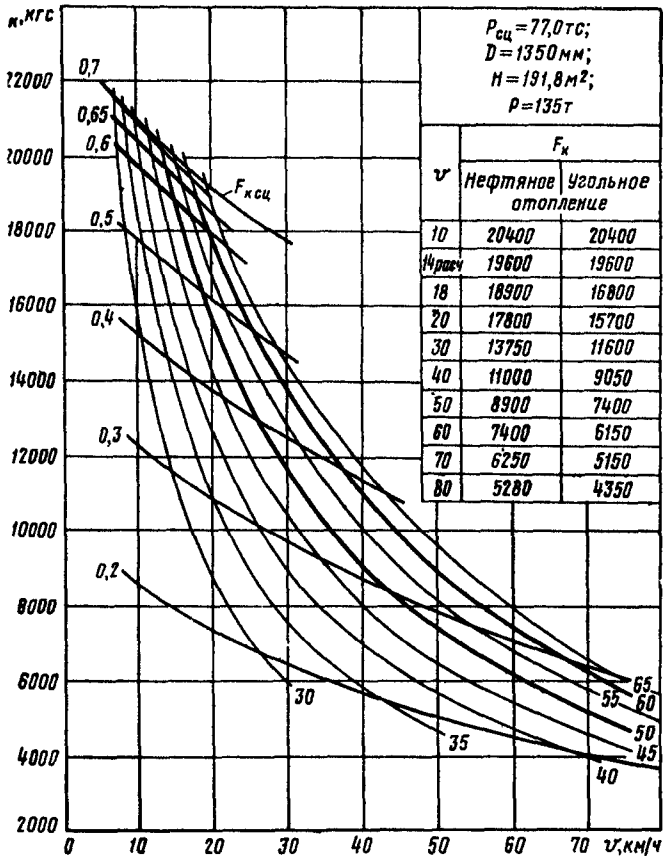


Рис. 6.8. Тяговые характеристики паровоза ТЭ

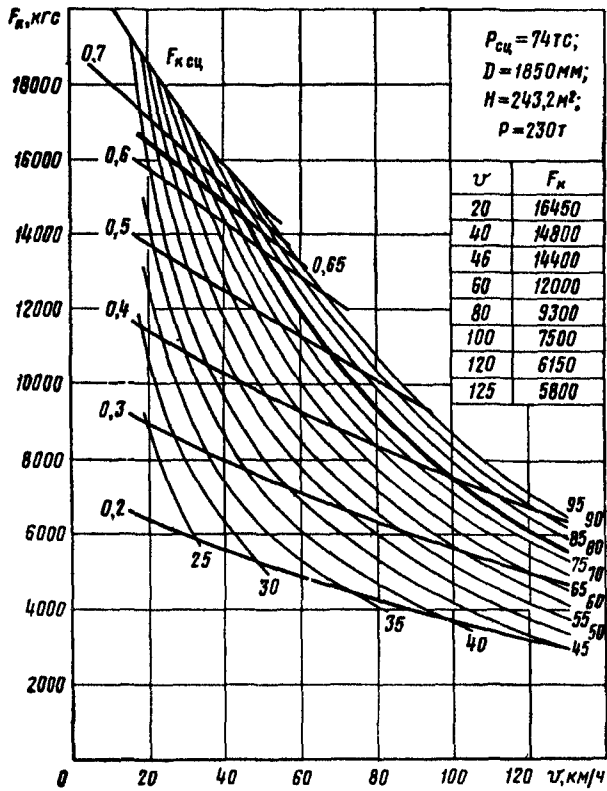


Рис. 6.9. Тяговые характеристики паровоза ПЗ6

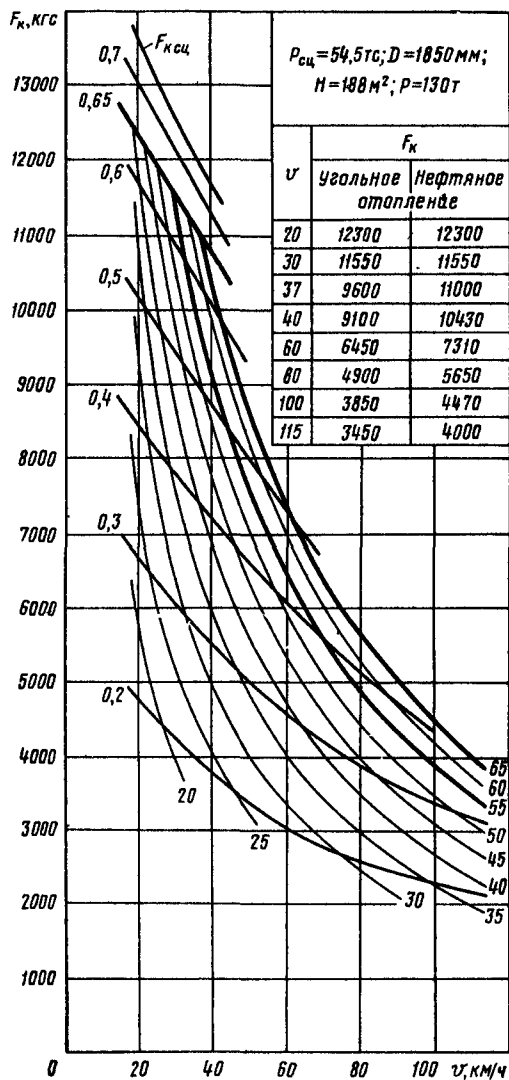


Рис. 6.10. Тяговые характеристики паровоза С7

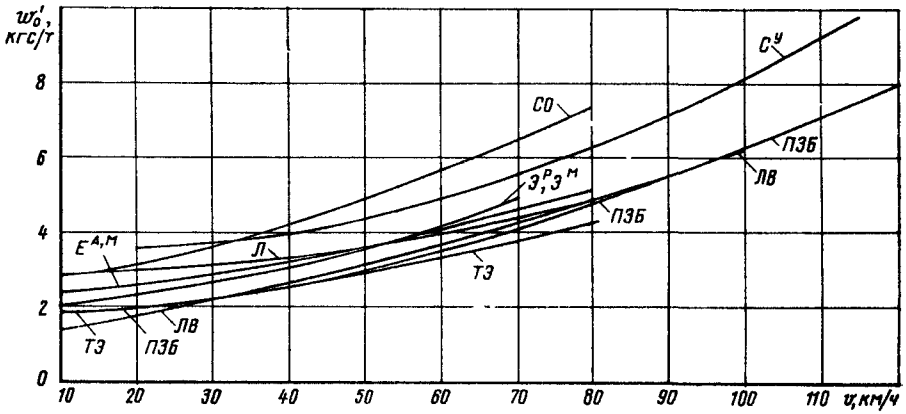


Рис. 6.11. Основное удельное сопротивление движению паровозов как повозки

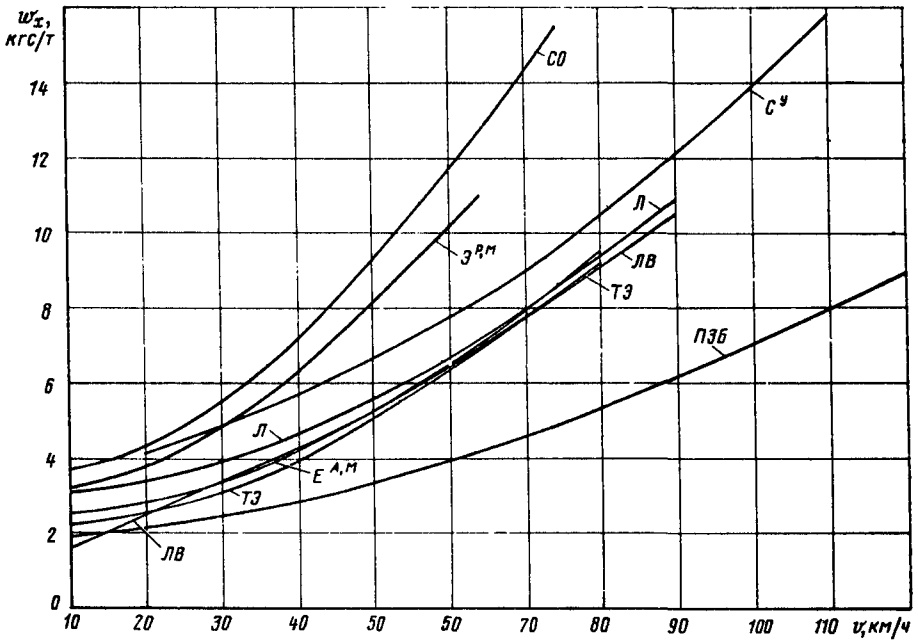


Рис. 6.12. Основное удельное сопротивление движению паровозов на холостом ходу

ХАРАКТЕРИСТИКИ ЛОКОМОТИВОВ УЗКОЙ КОЛЕИ (рис. 7.1—7.20)

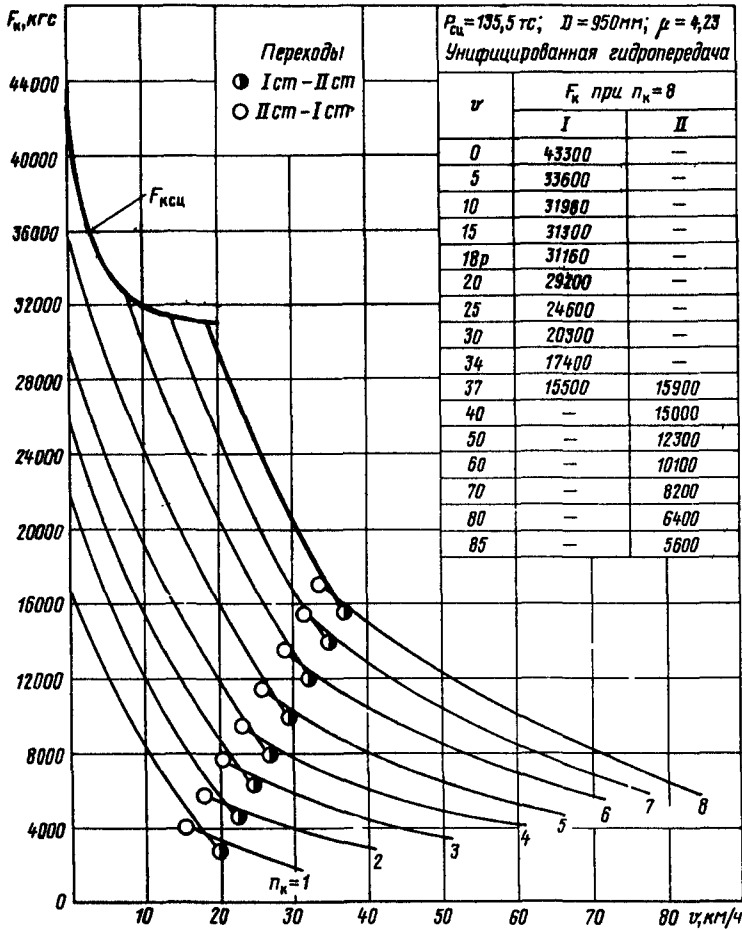


Рис. 7.1. Тяговые характеристики тепловоза ТГ16

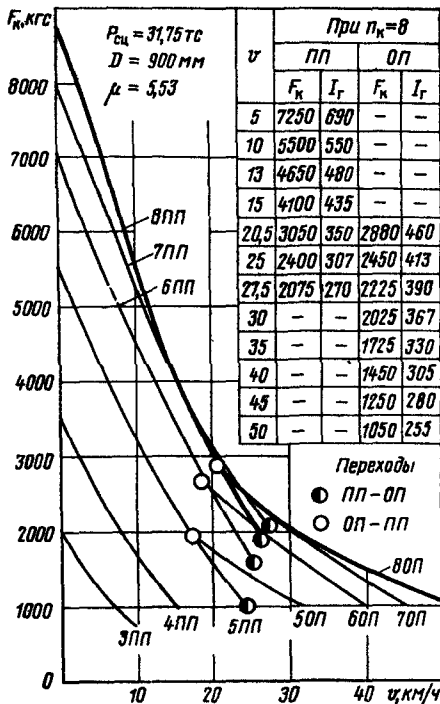


Рис. 7.2. Тяговые характеристики теплового локомотива ТУ2

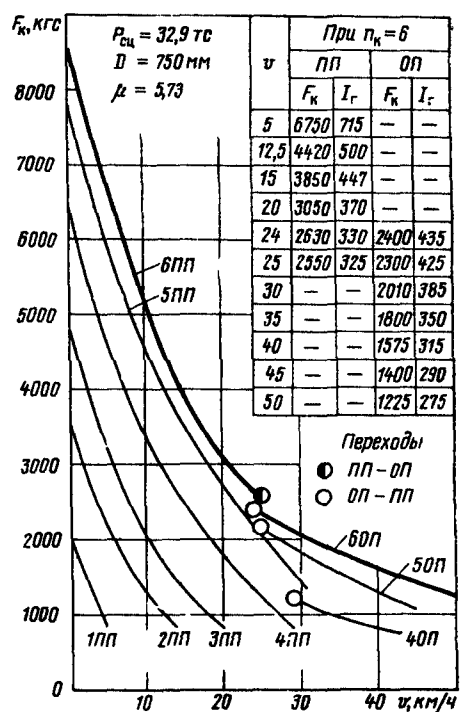


Рис. 7.3. Тяговые характеристики теплового локомотива ТУ3

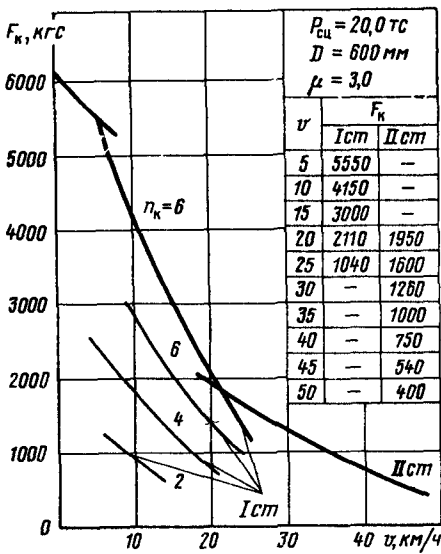


Рис. 7.4. Тяговые характеристики теплового локомотива ТУ4

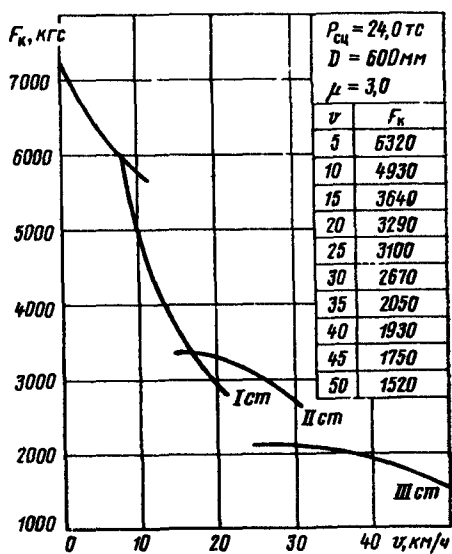


Рис. 7.5. Тяговые характеристики теплового локомотива ТУ5

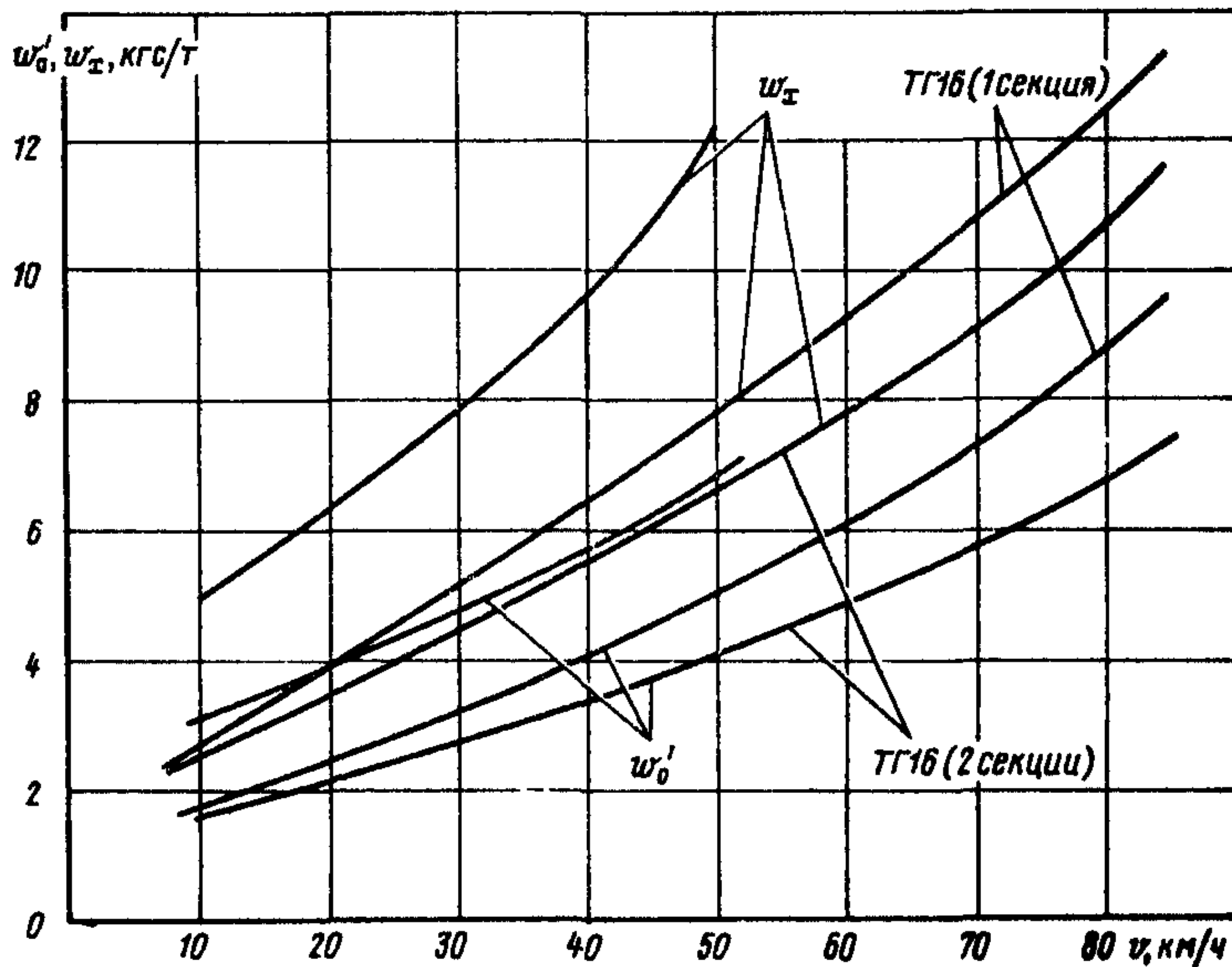


Рис. 7.6. Основное удельное сопротивление движению как поковки ( $\omega_0$ ) и основное удельное сопротивление на холостом ходу ( $\omega_x$ ) тепловозов узкой колеи

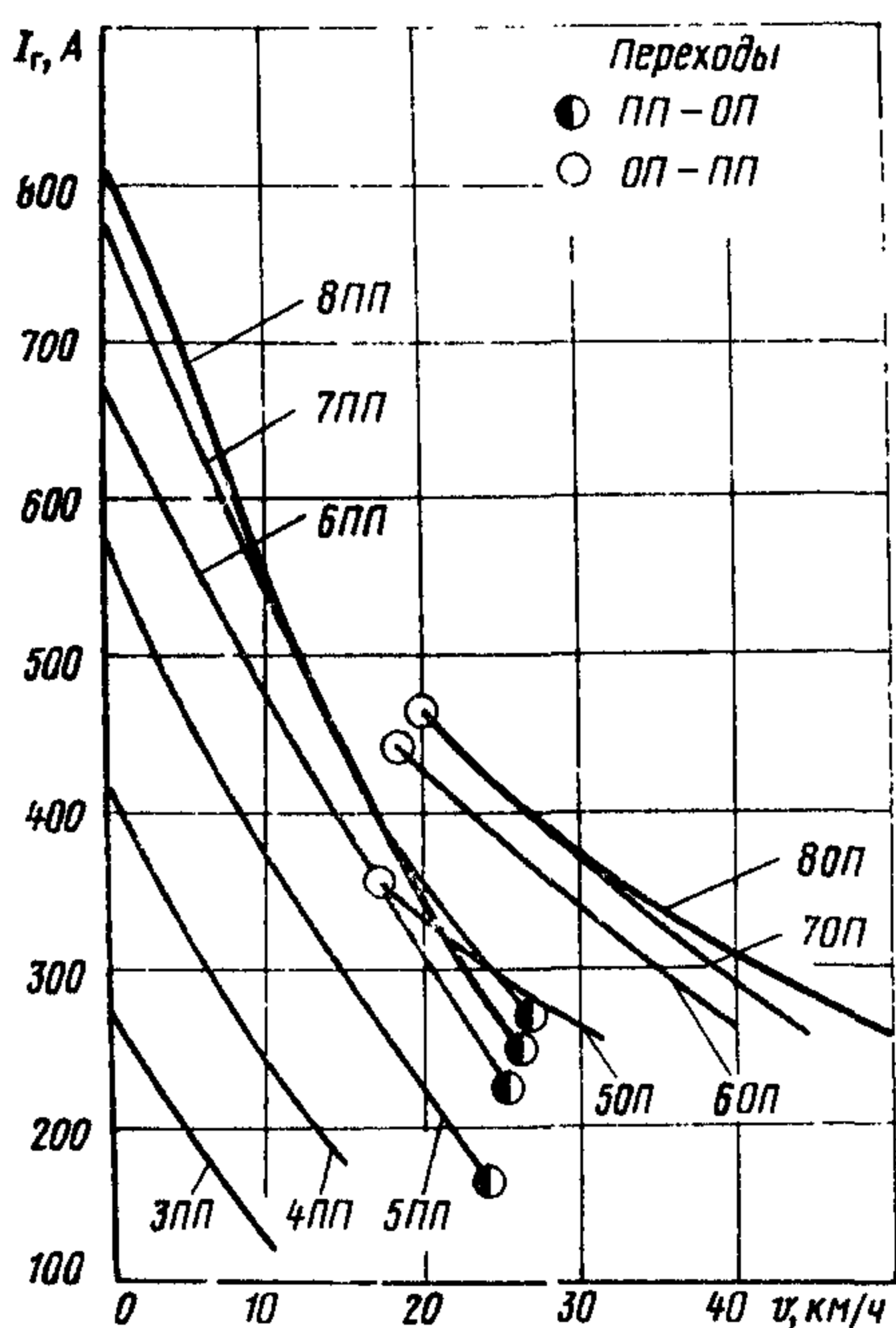


Рис. 7.7 Ток генератора тепловоза ТУ2

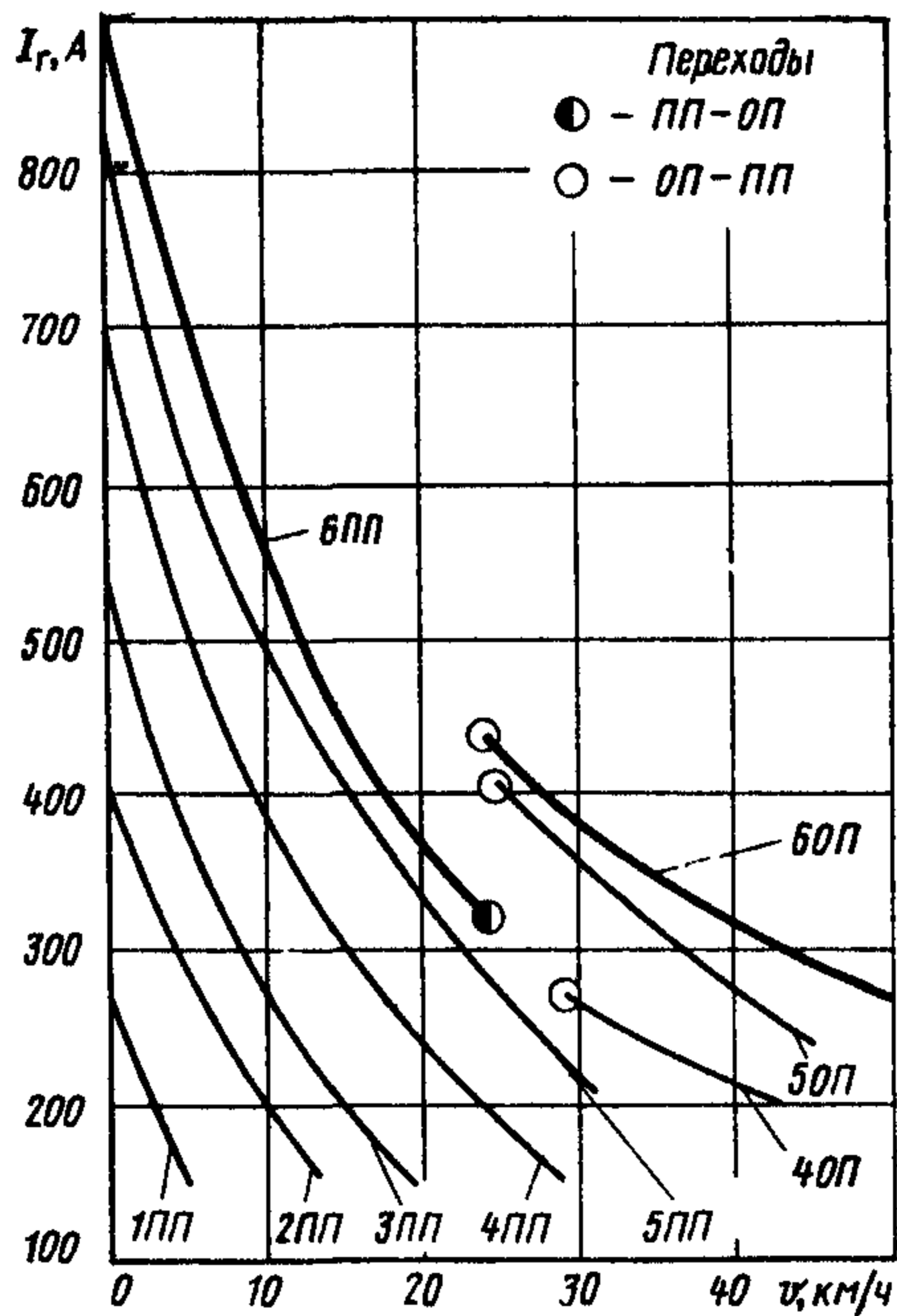


Рис. 7.8. Ток генератора тепловоза ТУ3

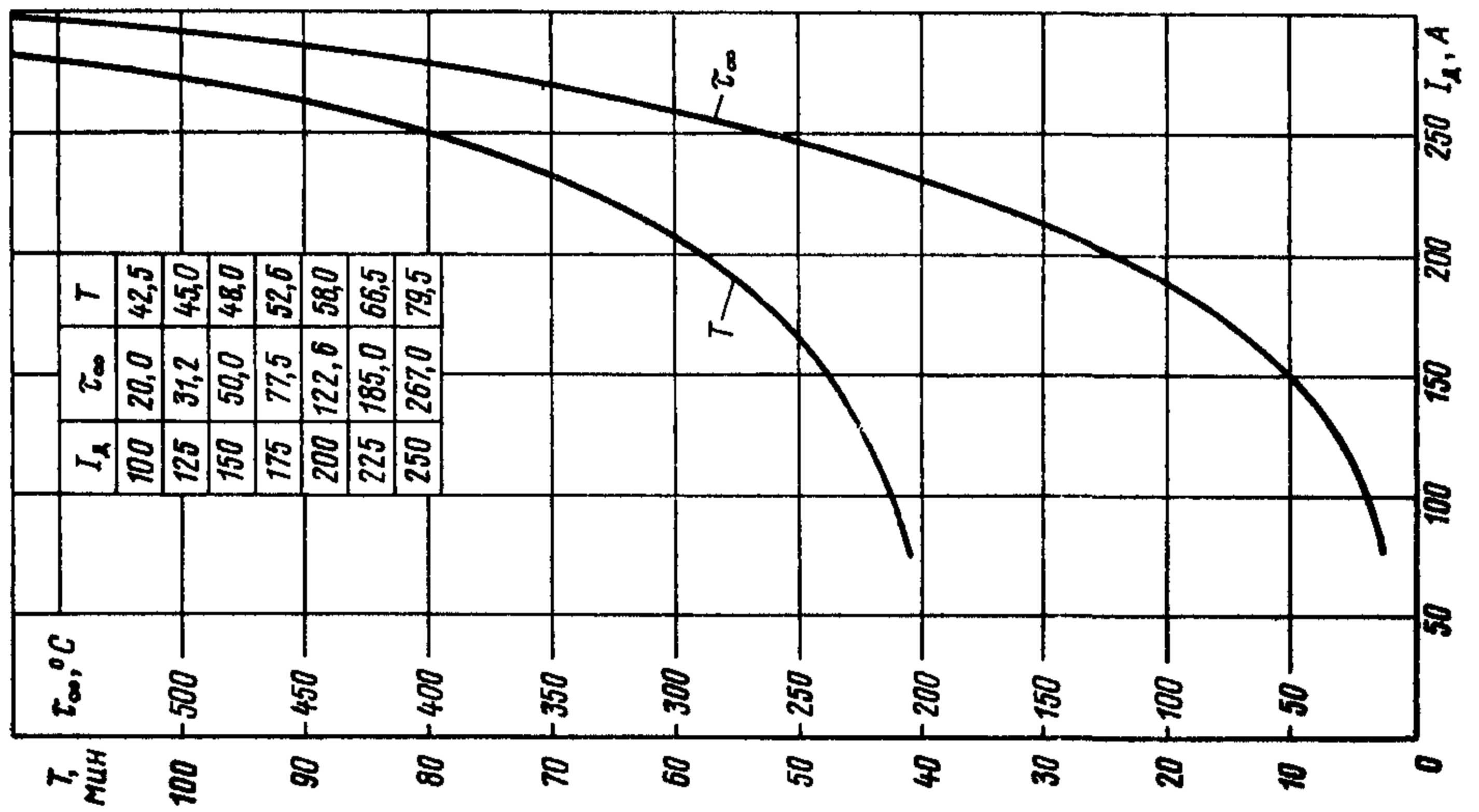


Рис. 7.10. Тепловые характеристики тягового электродвигателя тепловоза ТУЗ

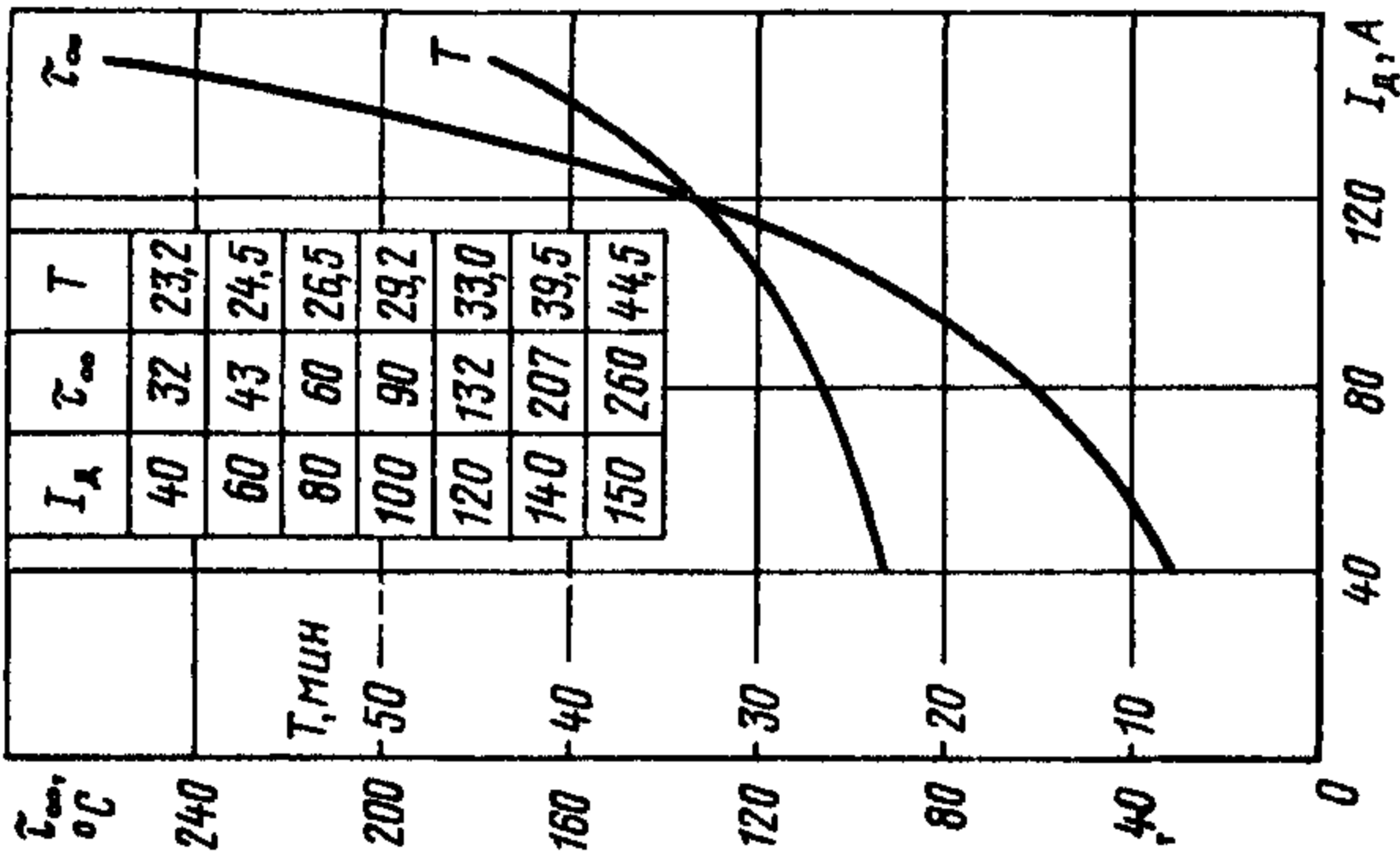


Рис. 7.9. Тепловые характеристики тягового электродвигателя тепловоза ТУЗ

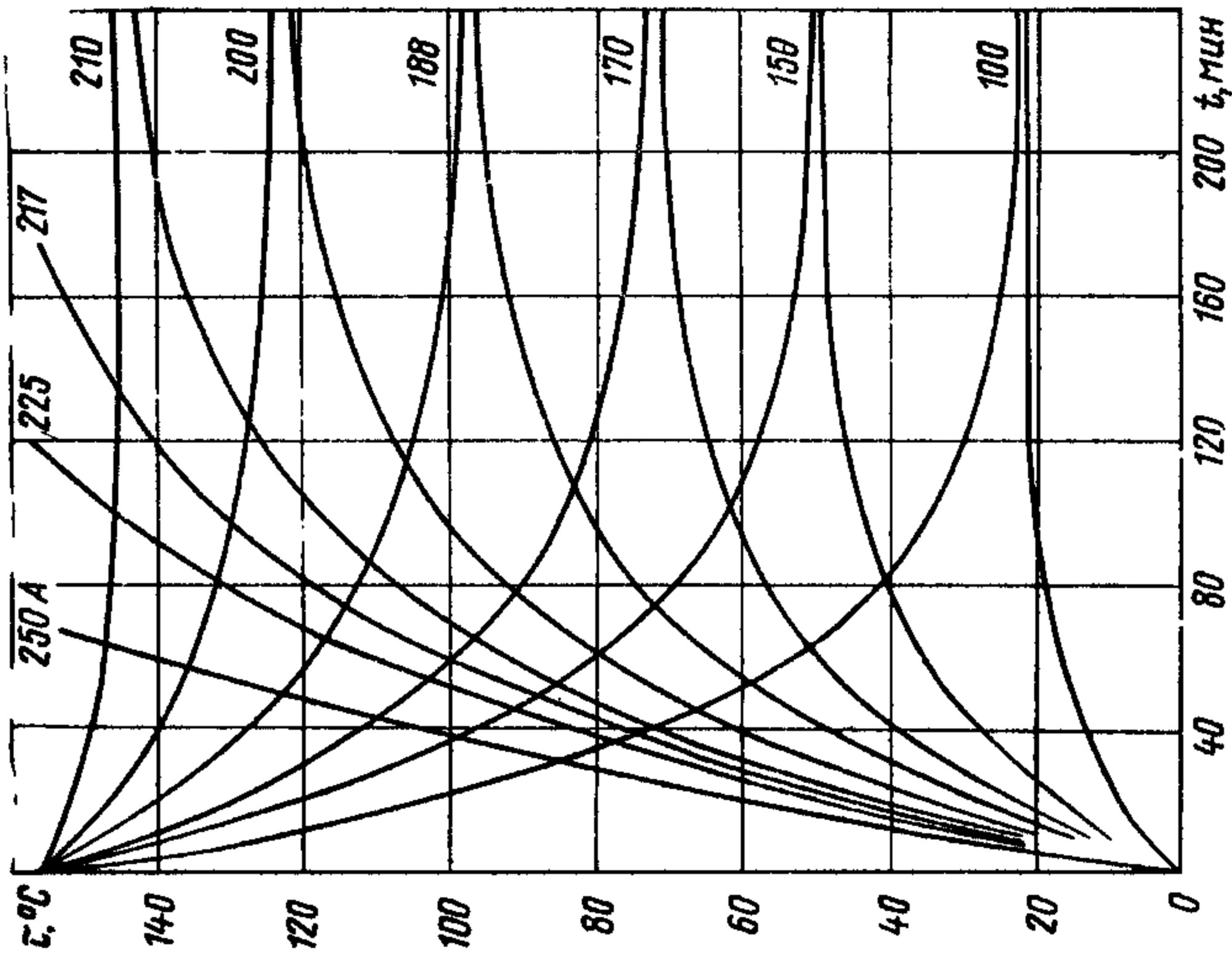


Рис. 7.11. Характеристики нагрева и охлаждения обмотки главных полюсов тягового электродвигателя тепловоза ТУЗ

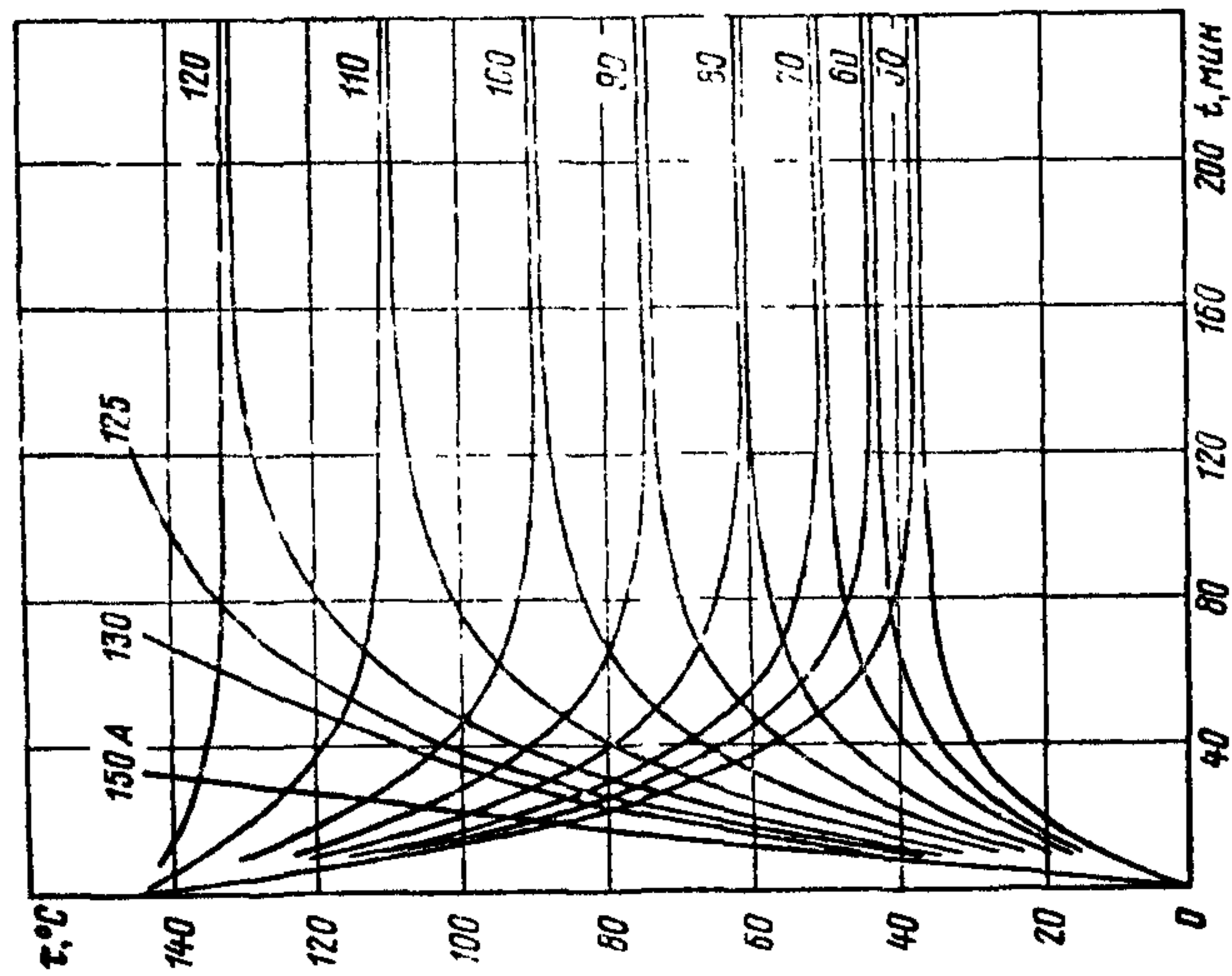


Рис. 7 12. Характеристики нагрева и охлаждения обмотки якоря тягового электродвигателя тепловоза ТУЗ

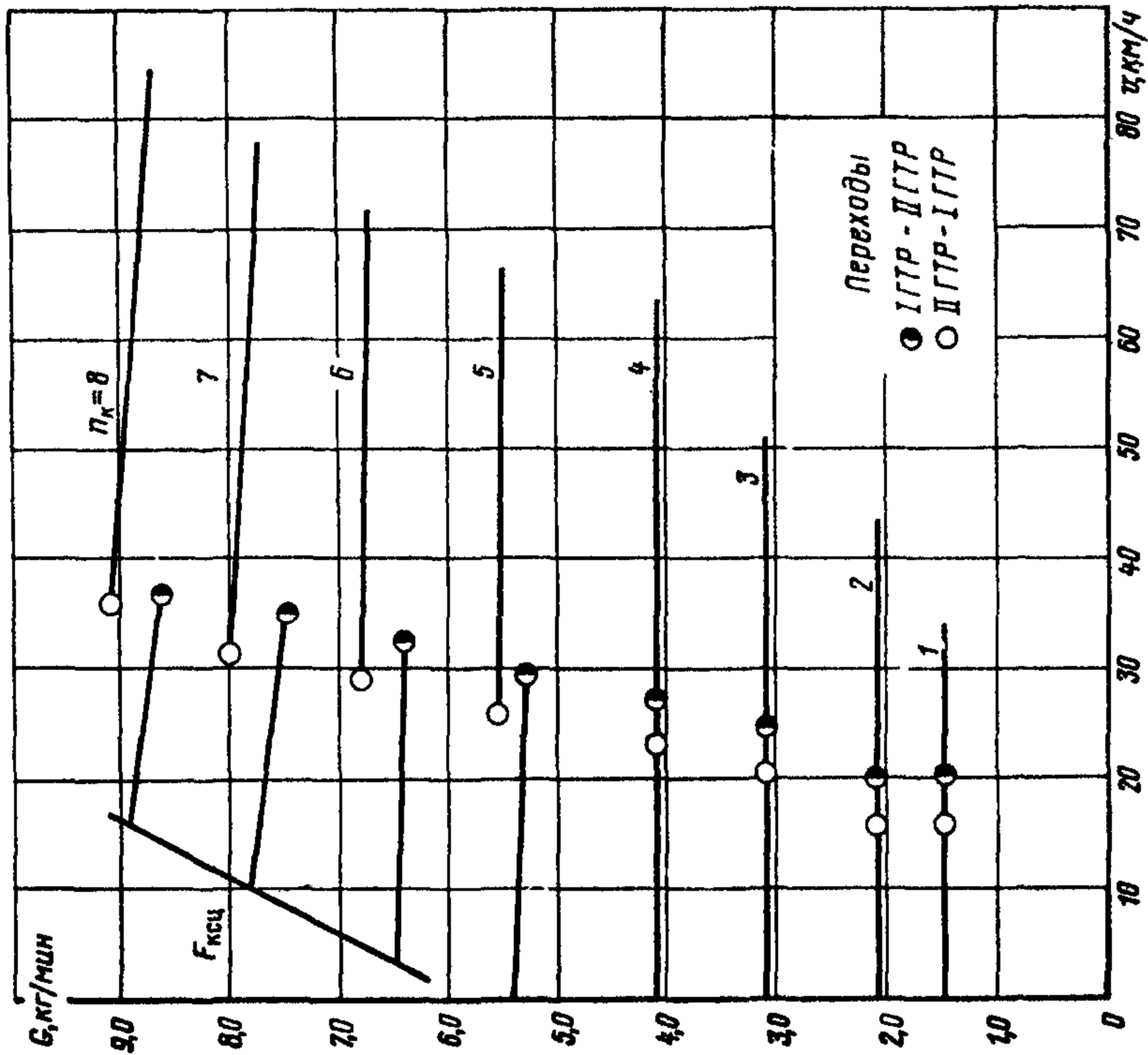


Рис. 7.13. Расход топлива в режиме тяги тепловозом ТГ16

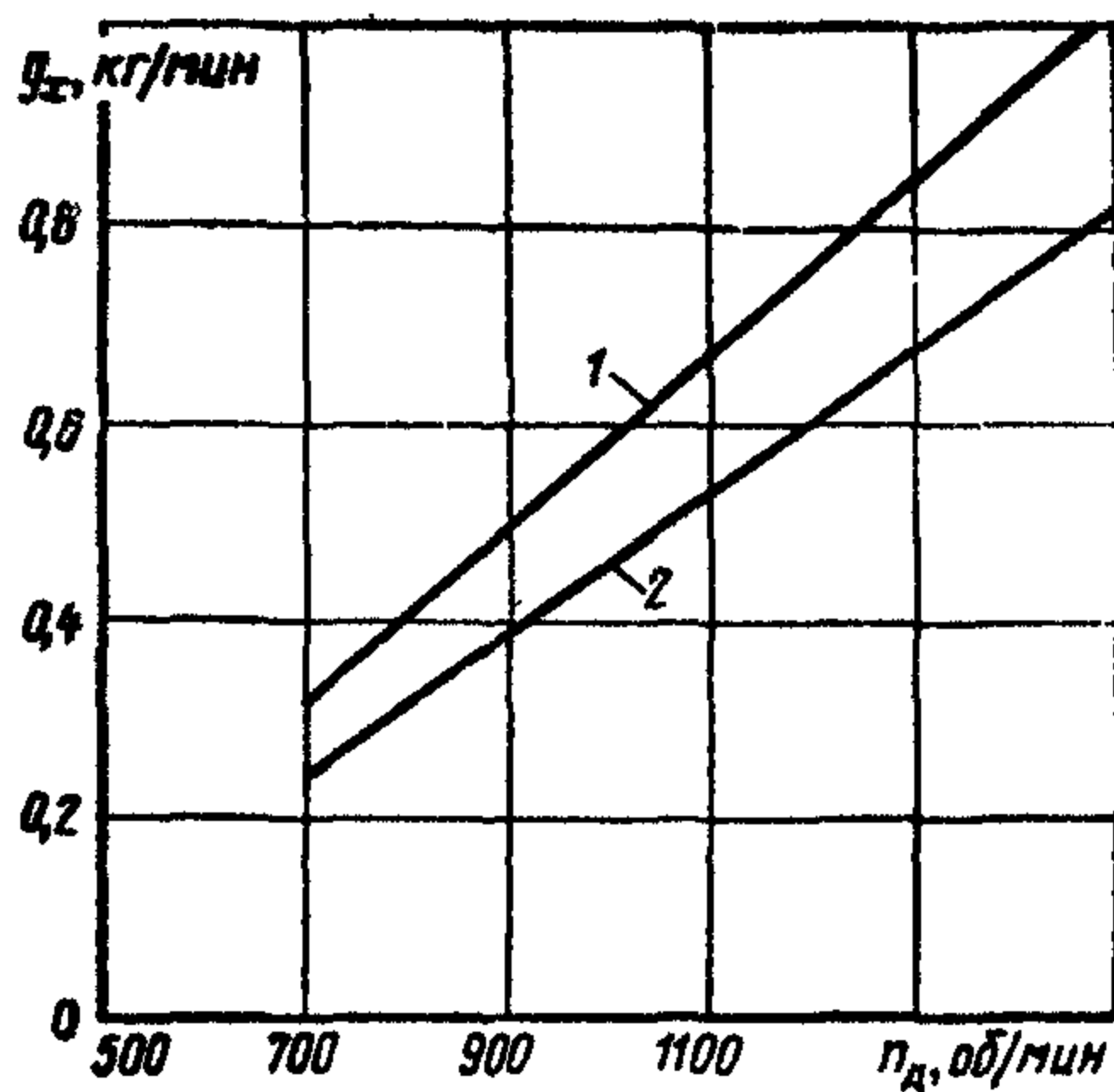


Рис. 7.14. Расход топлива на холостом ходу тепловозом ТГ16 (одна секция):

1 — вентиляторы холодильника и компрессор включены; 2 — вентиляторы выключены, компрессор на холостом ходу

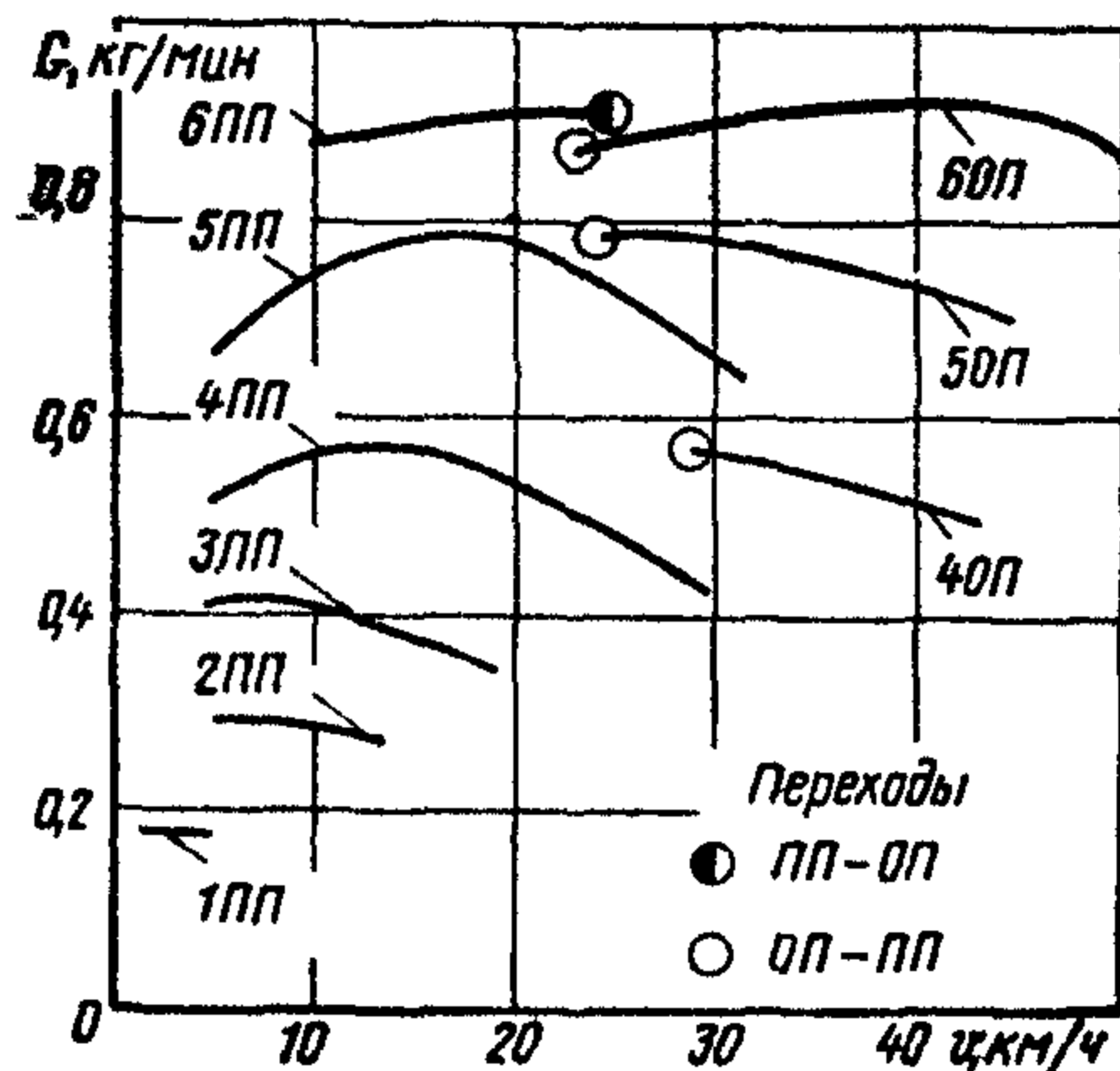


Рис. 7.16. Расход топлива в режиме тяги тепловозом ТУ3

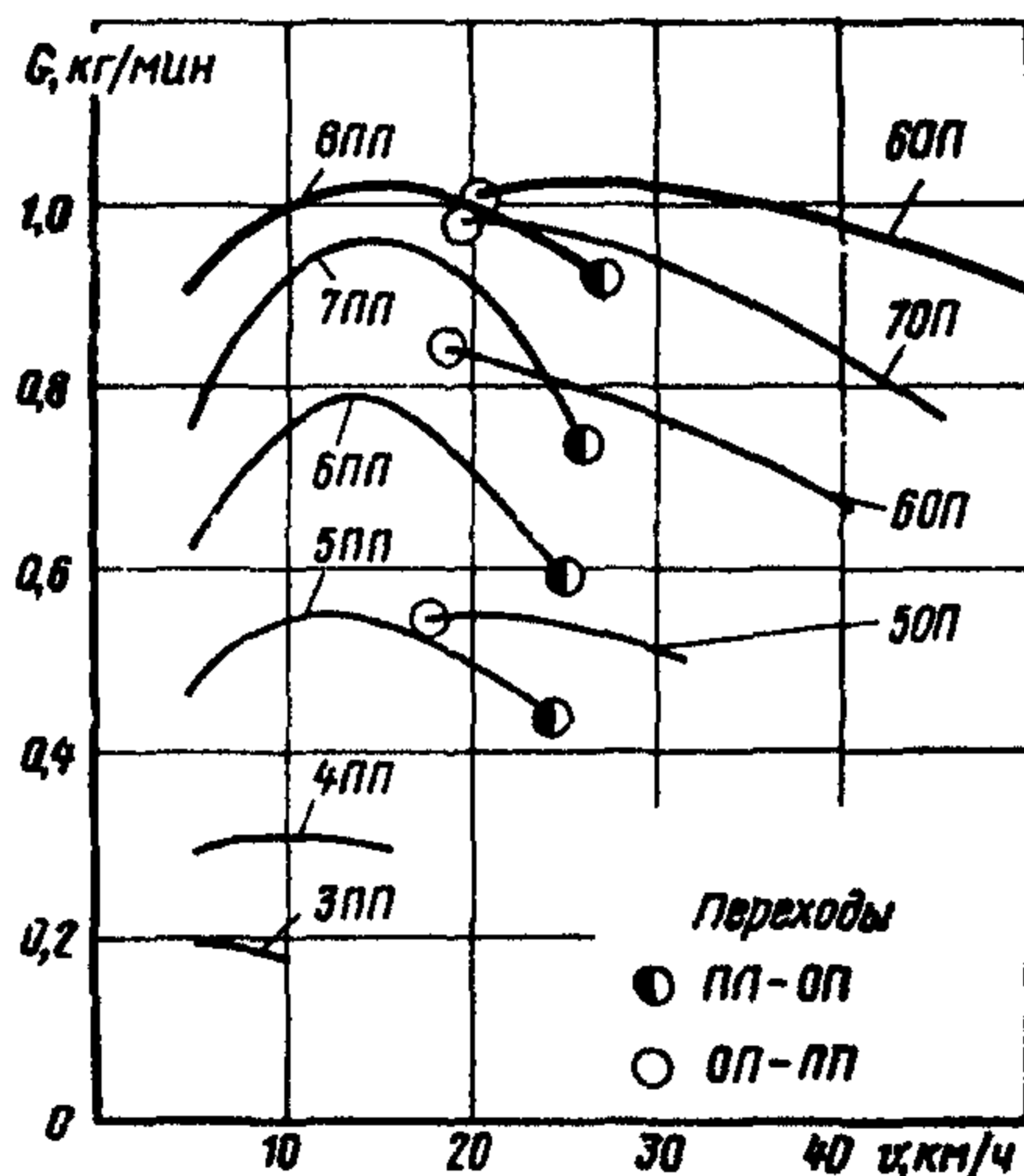


Рис 7.15. Расход топлива в режиме тяги тепловозом ТУ2

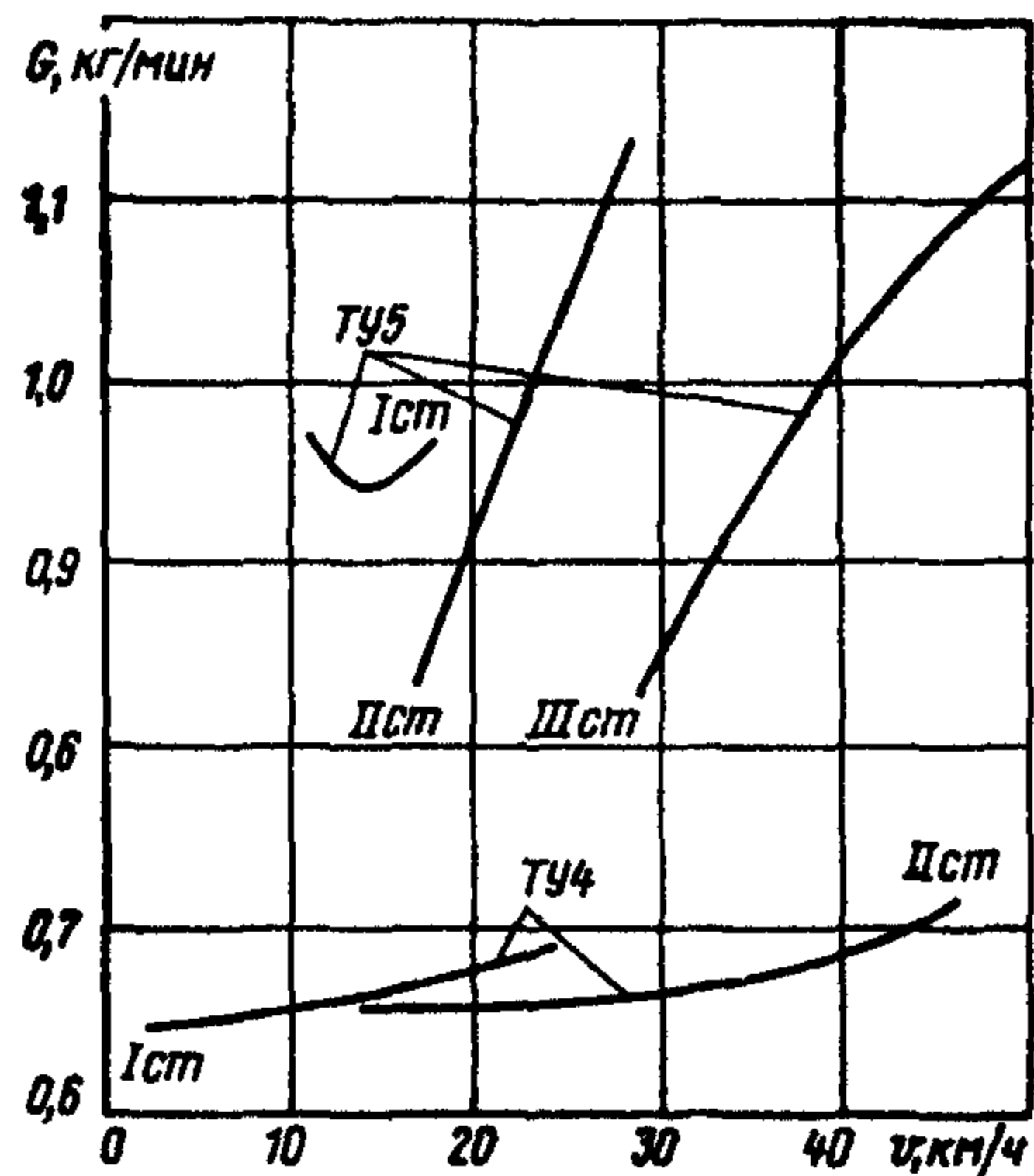


Рис. 7.17. Расход топлива в режиме тяги тепловозами ТУ4 и ТУ5

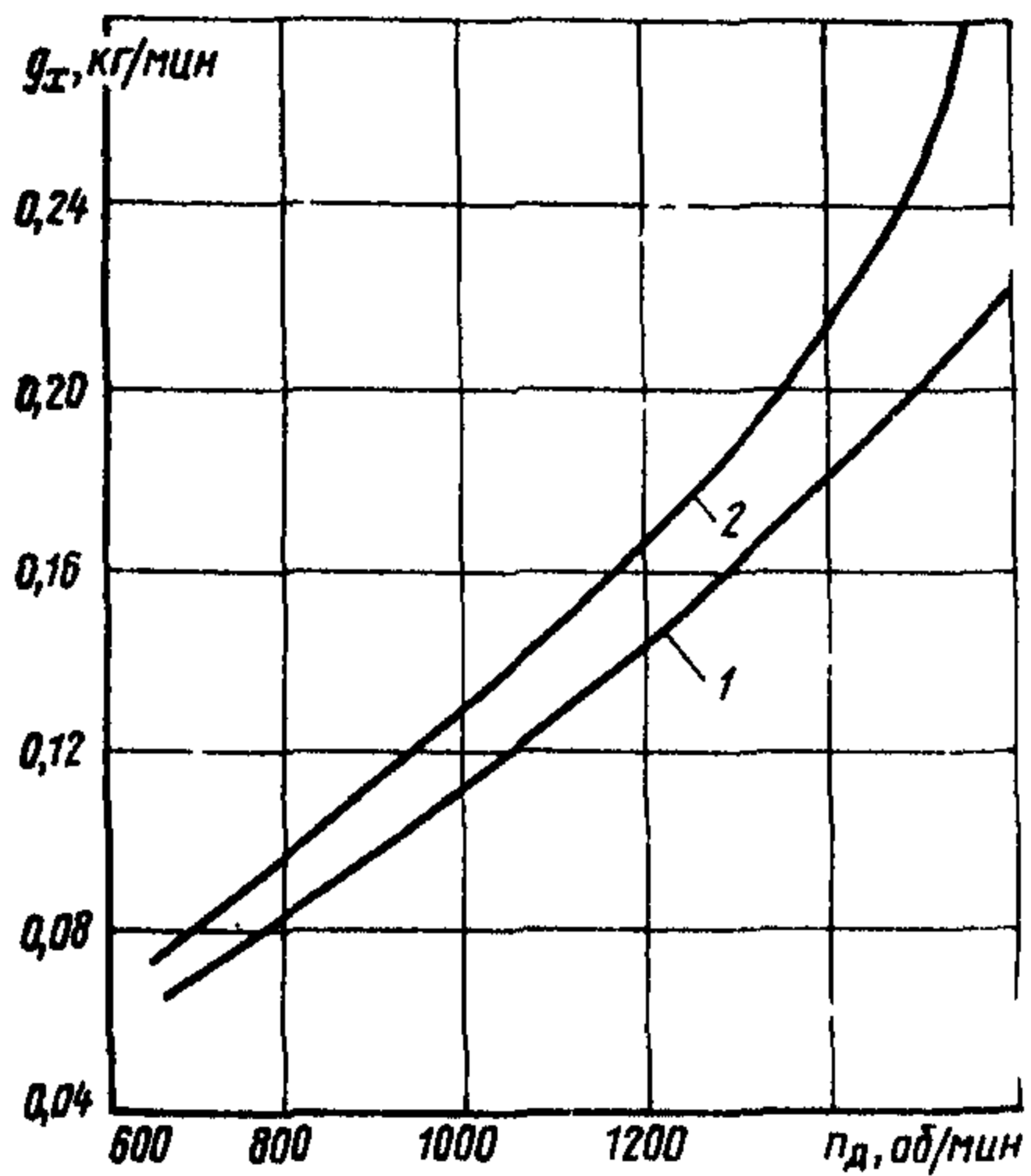


Рис. 7 18. Расход топлива на холостом ходу тепловозом ТУ2:

1 — с выключенным вентилятором холодильника; 2 — с включенным вентилятором холодильника

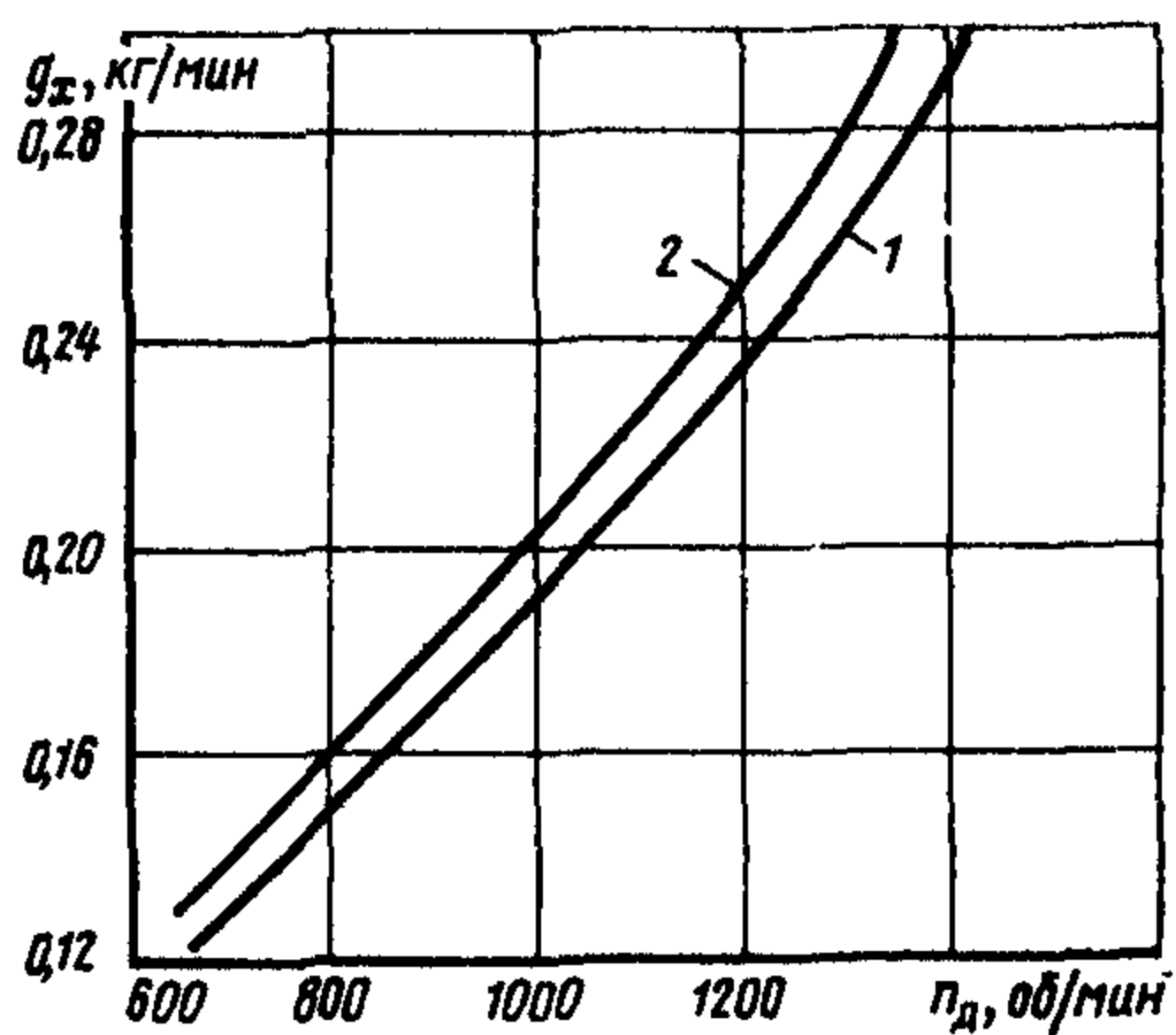


Рис 7 19. Расход топлива на холостом ходу тепловозом ТУ3.

1 — с выключенным вентилятором холодильника; 2 — с включенным вентилятором холодильника

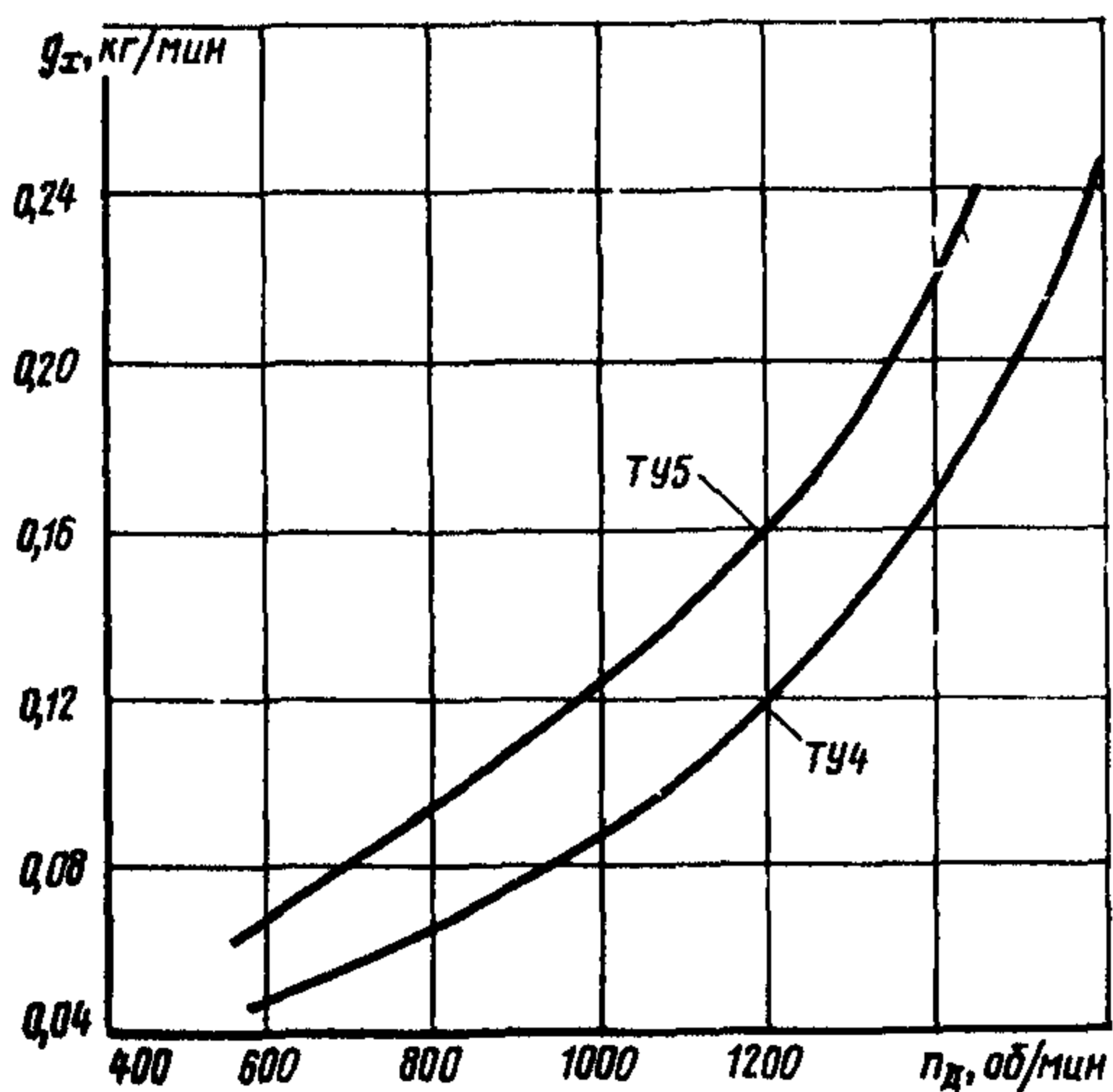


Рис. 7.20. Расход топлива на холостом ходу тепловозами ТУ4 и ТУ5

## ОГЛАВЛЕНИЕ

|   |     |
|---|-----|
| <b>1. Основные положения для расчетов</b>   |     |
| 1.1. Общие указания   | 3   |
| 1.2. Сопротивление движению подвижного состава  | 4   |
| 1.3. Тормозные расчеты  | 11  |
| 1.4. Расчет массы состава и скорости движения поезда  | 21  |
| <b>2 Электрическая тяга</b>   |     |
| 2.1. Определение силы тяги  | 30  |
| 2.2. Расчет массы состава и времени хода по перегонам   | 32  |
| 2.3. Проверка тяговых электродвигателей на нагревание   | 37  |
| 2.4. Определение расхода и рекуперации электрической энергии  | 39  |
| <b>3. Тепловозная тяга</b>  |     |
| 3.1. Определение силы тяги  | 43  |
| 3.2. Расчет массы состава и времени хода по перегонам   | 44  |
| 3.3. Проверка тягового генератора и тяговых электродвигателей на нагревание   | 46  |
| 3.4. Определение расхода топлива  | 49  |
| <b>4 Паровозная тяга</b>  |     |
| 4.1. Определение силы тяги  | 51  |
| 4.2. Расчет массы состава   | 52  |
| 4.3. Определение расхода воды и топлива   | 53  |
| <b>5. Тяговые расчеты для железных дорог узкой колеи</b>  |     |
| 5.1. Определение силы тяги и сопротивления движению   | 54  |
| 5.2. Проверка на нагревание Тормозные расчеты Расход топлива  | 58  |
| <b>6. Тяговые расчеты на ЭВМ</b>  |     |
| 6.1. Подготовка информации об участках сети   | 60  |
| 6.2. Подготовка информации о подвижном составе  | 60  |
| 6.3. Характеристика программ тяговых расчетов на ЭВМ  | 63  |
| <b>Приложения</b>   |     |
| 1. Условные обозначения сокращения и единицы измерения, принятые в тексте и на рисунках   | 66  |
| 2. Номограммы для определения коэффициента $K_v$ , учитывающего увеличение основного удельного сопротивления движению поезда от встречного и бокового ветра, в зависимости от скорости ветра и скорости движения (рис. 2.1—2.7) | 73  |
| 3. Номограммы для определения тормозного пути в зависимости от расчетного тормозного коэффициента ( $100 \phi_p$ ) и скорости в начале торможения   | 77  |
| 4. Характеристики электровозов и электропоездов (рис. 4.1—4.132)  | 92  |
| 5. Характеристики тепловозов и моторных вагонов дизель-поездов (рис. 5.1—5.79)  | 223 |
| 6. Характеристики паровозов (рис. 6.1—6.12)   | 269 |
| 7. Характеристики локомотивов узкой колеи (рис. 7.1—7.20)   | 280 |

**ПРАВИЛА ТЯГОВЫХ РАСЧЕТОВ  
ДЛЯ ПОЕЗДНОЙ РАБОТЫ**

Переплет художника *Л. А. Медведева*  
Технический редактор *О. Н. Крайнова*  
Корректор *Т. А. Ионова*  
Н/К

---

Сдано в набор 29.03.84. Подписано в печать 06.03.85. Формат 60×90<sup>1</sup>/<sub>16</sub>. Бум. тип. № 2.  
Гарнитура литературная. Офсетная печать Усл. печ. л. 18. Усл. кр.-отт. 18  
Уч.-изд. л. 17,7. Тираж 30000 экз. Заказ 1690. Цена 1 р. 20 к. Изд. № 1к-3-1/1 № 2073.  
Ордена «Знак Почета» издательство «ТРАНСПОРТ», 103064, Москва, Басманный туп., 6а.

---

Ордена Трудового Красного Знамени тип издательства Куйбышевского обкома КПСС,  
443086 ГСП, г. Куйбышев, пр. Карла Маркса, 201.